

Л.Е.Шелимова  
В.Н.Томашик  
В.И.Грыцив

---

ДИАГРАММЫ  
СОСТОЯНИЯ  
В ПОЛУПРОВОДНИКОВОМ  
МАТЕРИАЛОВЕДЕНИИ

системы  
на основе халькогенидов  
Si, Ge, Sn, Pb



·НАУКА·

АКАДЕМИЯ НАУК СССР

ИНСТИТУТ МЕТАЛЛУРГИИ

им. А.А. БАЙКОВА

Л.Е. Шелимова

В.Н. Томашик

В.И. Грыцив

ДИАГРАММЫ  
СОСТОЯНИЯ  
В ПОЛУПРОВОДНИКОВОМ  
МАТЕРИАЛОВЕДЕНИИ  
(системы  
на основе халькогенидов  
 $Si$ ,  $Ge$ ,  $Sn$ ,  $Pb$ )

Справочник

Ответственный редактор  
доктор технических наук  
В.С. ЗЕМСКОВ



МОСКВА  
"НАУКА"  
1991

УДК 541.123+541.546

Диаграммы состояния в полупроводниковом материаловедении: системы на основе халькогенидов Si, Ge, Sn, Pb /Шелимова Л.Е., Томашик В.Н., Грыцив В.И. - М.: Наука, 1991. - 368 с. ISBN 5-02-001949-6

В справочнике систематизированы и обобщены результаты исследований диаграмм состояния систем на основе халькогенидов кремния, германия, олова и свинца. Приведены сведения о диаграммах состояния двойных систем метал-халькоген, кристаллической структуре, областях гомогенности, фазовых переходах и термодинамических свойствах халькогенидов Si, Ge, Sn, Pb.

Обобщены данные по фазовым равновесиям в тройных системах A<sup>IV</sup> - B<sup>VI</sup> - Me (A<sup>IV</sup> - Si, Ge, Sn, Pb; B<sup>VI</sup> - S, Se, Te; Me - элементы I-VIII групп периодической системы).

Для специалистов в области физико-химического анализа и полупроводникового материаловедения.

Табл. 36. Ил. 335. Библиогр. II97 назв.

Phase Diagrams in Semiconductor Materials Science: Silicon, Germanium, Tin and Lead Chalcogenide Based Systems / Shelimova L.E., Tomashik V.N., and Grytsiv V.I. - M.: Nauka, 1991. - 368 p. ISBN 5-02-001949-6

The handbook systemizes and generalizes the results of experimental investigations in the phase diagrams of the IV-VI compound based systems. Detailed information is given on the binary phase diagrams "metal-chalcogen" as well as on the crystal structure, homogeneity ranges, phase transitions, and thermodynamic properties of silicon, germanium, tin and lead chalcogenides.

In the book, summarized are the available data on the phase equilibria in ternary IV-VI-M systems where IV is Si, Ge, Sn, Pb; VI is S, Se, Te; M is a metal from the I to VIII Group of the Periodic Table.

The book is intended for research workers and advanced students in physico-chemical analysis, semiconductor materials science as well as metallurgy and chemistry of semiconductors.

Рецензенты: Л.Л.Рохлин, О.Э.Панчук

Ш 2608000000-361 532, II полугодие  
042(02) - 91  
ISBN 5-02-001949-6

© Издательство "Наука",  
1991

## ПРЕДИСЛОВИЕ

Предлагаемый читателю справочник посвящается памяти профессора доктора химических наук Абрикосова Николая Хрисанфовича, который внес большой вклад в развитие физико-химического анализа полупроводниковых систем. Н.Х.Абрикосовым и его научной школой выполнены фундаментальные исследования диаграмм состояния систем на основе халькогенидов I, IV и V групп периодической системы элементов, которые явились научной базой создания новых полупроводниковых материалов с заданными свойствами.

Значительное внимание в этих работах уделялось вопросам отклонения от стехиометрии и влияния собственных точечных дефектов кристаллической решетки на электрофизические свойства полупроводниковых материалов. Большое значение придавалось построению микродиаграмм полупроводник-примесь, изучению температурных зависимостей пределов растворимости легирующих добавок в полупроводнике, а также вопросам взаимодействия легирующей примеси с собственными точечными дефектами кристаллической решетки.

Полупроводниковые соединения  $A^{IV}B^{VI}$  явились предметом многочисленных физико-химических исследований, проводимых в Институте металлургии им. А.А.Байкова АН СССР в течение более четверти века. Эти соединения чрезвычайно интересны с научной точки зрения, так как являются нестехиометрическими соединениями с уникальными физическими свойствами и характеризуются большим разнообразием полиморфных модификаций.

Практическая ценность соединений  $A^{IV}B^{VI}$  связана с перспективами их использования в инфракрасной и лазерной технике, в термоэлектрических генераторах, в ячейках памяти, переключающих устройствах и т.д. Твердотельные источники когерентного излучения на основе соединений  $A^{IV}B^{VI}$  перекрывают "атмосферные окна" в диапазоне 4-14 мкм. Фотоприемники на основе этих соединений характеризуются большей чувствительностью и быстродействием в сравнении с приемниками на основе материалов с примесной проводимостью, обладают значительной радиационной и термической стойкостью, спектральной однородностью и низким уровнем шумов. Важным достоинством источников и приемников излучения на основе соединений  $A^{IV}B^{VI}$  является возможность перестройки их спектральных характеристик в результате изменения состава, температуры, давления, магнитного поля, что обусловлено зависимостью ширины запрещенной зоны от указанных параметров. Соединения  $A^{IV}B^{VI}$  применяются в многокаскадных термоэлектрогенераторах, использующих различные источники тепла, в том числе солнечное тепло, радиоизотопные источники, тепло ядерных реакторов и газовых горел-

лок. Путем сложного легирования халькогенидов германия, олова и свинца изовалентными и гетеровалентными примесями в настоящее время разработаны высокоэффективные термоэлектрические материалы с большим сроком службы.

Проблема получения материалов на основе этих соединений с заданными свойствами не может быть эффективно решена без знания диаграмм состояния систем, образованных соединениями  $A^{IV}B^{VI}$  с металлами и халькогенидами различных групп периодической системы. В настоящее время по указанным диаграммам состояния имеется большое число научных публикаций (более 800) в советских и зарубежных журналах и сборниках, что затрудняет их использование. Систематизация этих данных ни у нас в стране, ни за рубежом не проводилась.

В настоящем справочнике проведено обобщение накопленных в литературе данных (по 1989 г. включительно) по фазовым равновесиям в системах на основе халькогенидов кремния, германия, олова и свинца. Справочник состоит из одиннадцати глав. В первой главе представлены Т-х-проекции Р-Т-х-диаграмм состояния двойных систем  $A^{IV}B^{VI}$ . Р-Т и Р-х-Проекции этих диаграмм подробно анализируются в недавно вышедшей в издательстве "Наука" монографии В.П.Зломанова и А.В.Новоселовой "Р-Т-х-Диаграммы состояния систем металл-халькоген" (1987 г.) и в настоящем справочнике не приводятся. Справочник не затрагивает вопросы жидкого и стеклообразного состояния, которые были освещены в известных монографиях В.М.Глазова, С.Н.Чижевской, Н.Н.Глаголовой "Жидкие полупроводники" (М.: Наука, 1967) и Г.З.Виноградовой "Стеклообразование и фазовые равновесия в халькогенидных системах" (М.: Наука, 1984).

Так как полупроводниковые свойства соединений  $A^{IV}B^{VI}$  определяются отклонением от стехиометрии, в справочнике представлены современные данные о протяженности областей гомогенности этих соединений и природе собственных точечных дефектов кристаллической решетки. Значительное внимание уделено описанию кристаллической структуры этих соединений и вопросам химической связи: В связи со склонностью соединений  $A^{IV}B^{VI}$  к полиморфизму, в первой главе систематизированы также данные по фазовым переходам в этих соединениях в зависимости от температуры и давления. Обобщены данные по термодинамическим свойствам соединений  $A^{IV}B^{VI}$ : теплотам образования и плавления, температурным зависимостям теплоемкости, энергиям диссоциации и т.д., а также по составу и давлению насыщенного пара над твердыми халькогенидами германия, олова и свинца.

Во второй и последующих главах представлены диаграммы состояния систем, образованных халькогенидами кремния, германия, олова и свинца с элементами I-VIII групп периодической системы, их халькогенидами, галогенидами и другими соединениями. Системы в каждой главе размещены соответственно расположению составляющих их компонентов в периодической системе. Материал изложен по единой схеме: тип диаграммы состояния; характеристика физико-химического взаимодействия компонентов; описание тройных соединений, их температура плавления, кристаллическая структура, термо-

динамические свойства (при наличии данных); методика приготовления и термическая обработка образцов; методы исследования диаграмм состояния.

Следует отметить, что при построении большинства диаграмм состояния отклонение от стехиометрии, характерное для соединений  $A^{IV}B^{VI}$ , не учитывалось. В последние годы наметилась тенденция к изучению влияния отклонения от стехиометрии на характер фазовых равновесий в указанных системах. В справочнике впервые обращается внимание на данный аспект исследования диаграмм состояния рассматриваемых систем.

Некоторые из приведенных диаграмм состояния требуют дополнительного исследования и уточнения. Ряд диаграмм построен без учета образования компонентов по перитектической реакции (например,  $GeS$ ,  $GeSe$  и др.). Недостаточное внимание уделялось вопросам полиморфизма, которые весьма существенны для рассматриваемой группы соединений. В справочнике отмечены имеющиеся противоречия в работах различных авторов относительно числа, состава, характера плавления и кристаллической структуры тройных соединений.

Все сведения в справочнике приведены по литературным источникам. Состав дан в молярных процентах, а температура – в кельвинах. В том случае, когда в оригинальной работе использовались массовые проценты, на рисунках дана дополнительная шкала с молярными процентами (под шкалой с мас.%). Если в литературе имеется несколько вариантов диаграмм состояния, находящихся в противоречии друг с другом, приводятся диаграммы, которые, по мнению авторов, являются наиболее достоверными. В тексте же отражены все имеющиеся в литературе противоречивые данные по анализируемой диаграмме.

Авторы будут признательны за все критические замечания по содержанию книги, являющейся первым опытом систематического обобщения диаграмм состояния систем на основе халькогенидов кремния, германия, олова и свинца.

Справочник рассчитан на научных сотрудников и инженеров, работающих в области полупроводникового материаловедения, технологии изготовления полупроводниковых приборов, физики и химии полупроводников, химии твердого тела, а также для студентов и аспирантов, специализирующихся по технологии полупроводников и материалов электронной техники.

В заключение авторы выражают благодарность рецензентам справочника – доктору технических наук Л.Л.Рохлину и доктору химических наук О.Э.Панчуку.

В справочнике использованы следующие условные обозначения:

- |     |                                      |
|-----|--------------------------------------|
| ДТА | - дифференциально-термический анализ |
| МСА | - микроструктурный анализ            |
| РФА | - рентгенофазовый анализ             |
| ХА  | - химический анализ                  |
| ХТР | - химические транспортные реакции    |
| Е   | - тройная эвтектика                  |
| п   | - I, 2, ...                          |

$P_3$	- тройная перитектика
T	- температура, К
x	- концентрация, %
$\alpha, \beta, \gamma, \delta$	- твердые растворы
$\alpha(\text{GeSe}), (\text{CdSe})$	твердые растворы на основе ...
$\alpha-, \beta-, \dots$	- структурная модификация соединений
" "	- несуществующие соединения

## Г л а в а I

### ПОЛУПРОВОДНИКОВЫЕ СОЕДИНЕНИЯ $A^{IV}B^{VI}$

#### I.I. Фазовые равновесия в двойных системах $A^{IV} - B^{VI}$

##### I.I.I. Системы кремний - халькоген

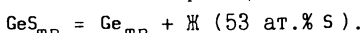
Диаграммы состояния систем Si-S и Si-Se изучены недостаточно. В системе Si-S существуют два соединения - моно- и дисульфид кремния [1]. Дисульфид кремния, плавящийся при 1363 К, кристаллизуется в ромбической решетке (пространственная группа  $I\bar{4}\bar{3}m$  -  $D_{2h}^{26}$ ) с параметрами:  $a = 9,57 \pm 0,02$ ;  $b = 5,61 \pm 0,05$  и  $c = 5,54 \pm 0,01$  Å [2].

В системе Si - Se предполагается существование двух соединений -  $SiSe$  и  $SiSe_2$  [1]. Диселенид кремния, плавящийся при 1243 К, изоструктурен дисульфиду кремния и характеризуется следующими параметрами решетки:  $a = 9,76$ ;  $b = 6,03$ ;  $c = 5,76$  Å [2].

В системе Si-Te существует только одно соединение - сесквителлурид кремния, образующийся по перитектической реакции при 1165 К [3]. Соединение образует эвтектику с теллуром. Координаты эвтектической точки:  $T_e = 682$  К;  $\approx 85$  ат.% Te. Термические эффекты при 673 К связаны с фазовым превращением в твердом состоянии в соединении  $Si_2Te_3$ . Р-Т-проекция системы Si-Te построена с помощью метода оптической плотности паров [3]. Данные по составу и давлению насыщенного пара  $Si_2Te_3$ , а также проекции Р-Т и Р-х-диаграмм состояния Р-Т-х-систем  $A^{IV}-B^{VI}$  обобщены в монографии [4]. Сесквителлурид кремния имеет узкую область гомогенностя: по данным тензиметрического метода при 1023 К граница области гомогенности со стороны кремния лежит при 59,91 ат.% Te, а со стороны теллура - при 60,14 ат.% Te [5]. Соединение  $Si_2Te_3$  относится к тригональной сингонии и имеет периоды решетки:  $a = 7,430$  и  $c = 13,482$  Å (пространственная группа -  $C_{3V}^4 P31c$ ) [6]. Каждый атом кремния имеет тетраэдрическое окружение, состоящее из трех атомов теллура и одного атома кремния с длиной связи Si-Te около 2,55 Å. Теплота образования сесквителлурида кремния составляет  $\Delta H_f^\circ = -76,5 \pm 16$  кДж/моль [7].

##### I.I.2. Системы германий - халькоген

Система Ge - S. Диаграмма состояния системы Ge-S представлена на рис. I.I.1,а [8]. В системе существуют два соединения - моно- и дисульфид германия. Моносульфид германия плавится инконгруэнтно при  $931 \pm 5$  К в соответствии с реакцией:



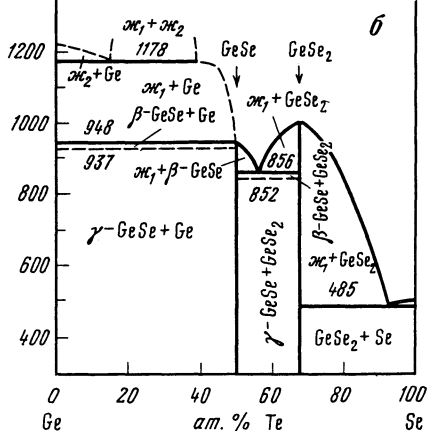
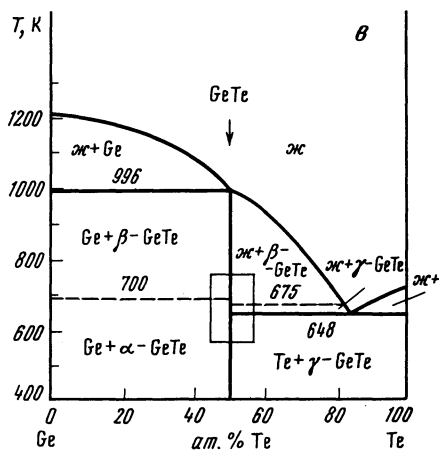
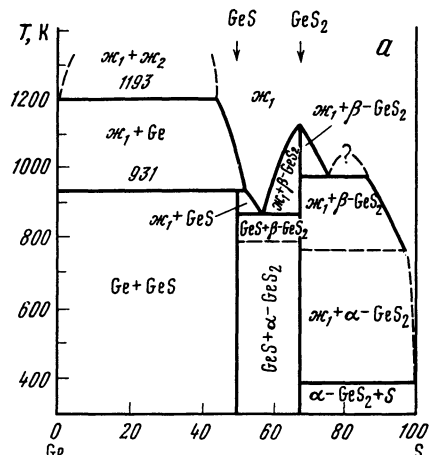


Рис. I.1. Диаграммы состояния систем Ge-S (а), Ge-Se(б), Ge-Te (в) (выделенный участок диаграммы на рис. I.1, в показан на рис. I.3) [1,2]

В области составов между  $\text{GeS}$  и  $\text{GeS}_2$  существует эвтектика с температурой плавления 870 К и составом 57,5 ат.% S. В области составов 3-45 ат.% S в системе Ge-S обнаружена область расслаивания. Температура монотектической реакции - 1193 $\pm$ 2 К. Линия ликвидуса при большом содержании серы не определена достаточно точно из-за склонности сплавов к стеклообразованию.

Дисульфид германия плавится конгруэнтно при 1123 К [8] и претерпевает полиморфное превращение при 793 К со стороны избытка германия относительно стехиометрического состава и при 770 К - со стороны избытка теллура. Низкотемпературная модификация  $\alpha$ - $\text{GeS}_2$  относится к моноклинной сингонии и характеризуется следующими параметрами решетки:  $a = 6,875$ ;  $b = 22,55$ ;  $c = 6,809 \text{ \AA}$ ,  $\alpha = 120,45^\circ$  (пространственная группировка

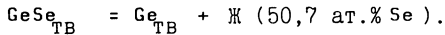
па - Pb). Высокотемпературная модификация также относится к моноклинной сингонии и имеет параметры решетки:  $a = 11,46 \pm 0,05$ ;  $b = 16,1 \pm 0,5$ ;  $c = 6,69 \pm 0,08$ ;  $\alpha = 90^\circ 48' \pm 9'$ ,  $\beta = 101^\circ$  (пространственная группа Р 2/a). Основные свойства дихалькогенидов германия и олова представлены в табл. I.I.

Т а б л и ц а I.I.

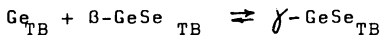
Основные свойства дихалькогенидов германия и олова [2]

Свойство	Соединение				
		GeS <sub>2</sub>	GeSe <sub>2</sub>	SnS <sub>2</sub>	SnSe <sub>2</sub>
Ширина запрещенной зоны (300 К), E <sub>g</sub> , эВ		≈ 3,6	2,3	2,07	1,0
Температура плавления, T, К		1123	1013	1143	943
Теплота образования, ΔH <sub>298</sub> <sup>0</sup> , кДж/моль		158,2	62,8 [11]	182,0	124,7
Энтропия образования, ΔS <sub>298</sub> <sup>0</sup> , Дж/(моль·К)	-18,8	-2,84	+12,5	-17,2	
Свободная энергия образования, -ΔG <sub>298</sub> <sup>0</sup> , кДж/моль	152,6	61,9	185,7	119,6	
Энтропия, S <sub>298</sub> <sup>0</sup> , Дж/(моль·К)		87,4	112,5	107,6	119,0
Теплоемкость, C <sub>p298</sub> , Дж/(моль·К)		65,69	71,2	70,1	-
Плотность, г/см <sup>3</sup>		3,01	4,68	-	-

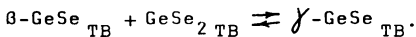
Система Ge-Se. Т-х-Проекция диаграммы P-T-x-системы Ge-Se представлена на рис. I.I,б [12,13]. В системе обнаружены два соединения - моно- и диселенид германия. Моноселенид германия плавится инконгруэнтно при (948±3) К согласно реакции:



Область гомогенности на основе моноселенида германия по данным металлографического исследования лежит целиком на стороне избытка селена относительно стехиометрического состава и ее протяженность не превышает 0,2 ат. % Se (рис. I.2) [14]. Температура γ → β фазового перехода в GeSe зависит от степени отклонения от стехиометрии. Существует хорошее согласие данных работ [13] и [14] в отношении температуры и характера реакции образования γ-модификации со стороны германия:



при 939 и 937 К соответственно. Однако имеются расхождения данных этих работ в отношении температуры и характера образования γ-GeSe со стороны селена. Так, согласно данным работы [14], термический эффект при 852 К, обнаруженный на кривых ДТА, соответствует реакции:



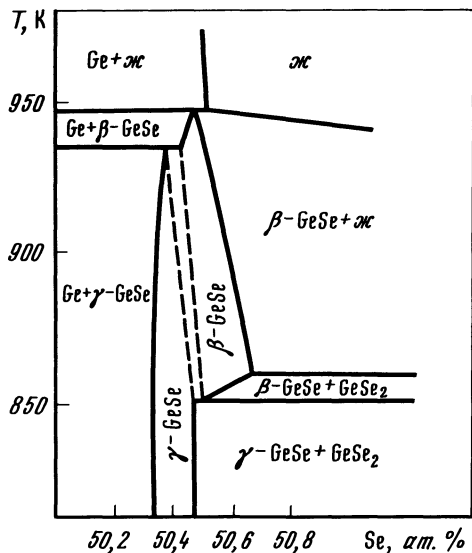
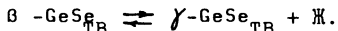


Рис. I.2. Область гомогенности моноселенида германия [14]

В работе же [13] этот эффект считается неравновесным. На кривых ДТА обнаружен новый эффект при 920 К, который связывается с реакцией:



По данным [13] температура  $\gamma \rightarrow \beta$  превращения изменяется в интервале 939–920 К в зависимости от степени отклонения от стехиометрии.

Между моно- и диселенидами германия существует эвтектика при 56,0±0,5 ат.% Se и температуре 856±2 К [13]. В связи со склонностью сплавов, богатых селеном, к стеклообразованию в литературе имелись противоречивые данные, касающиеся положения эвтектики  $GeSe_2 + Se$  [15]. В работе [13] положение этой эвтектики было уточнено: координаты эвтектической точки соответствуют  $94,5 \pm 0,5$  ат.% Se и  $T_e = 485 \pm 1$  К.

Диселенид германия плавится конгруэнтно при  $1013 \pm 4$  К [12]. Известны три полиморфные формы кристаллов диселенида германия [14, 16]. Низкотемпературной является желто-оранжевая  $d$ -модификация, которая рассматривается как деформированная структура типа  $CdI_2$  с параметрами ромбической решетки:  $a = 6,953 \pm 0,001$ ;  $b = 12,220 \pm 0,005$ ;  $c = 23,04 \pm 0,03$  Å (Пространственная группа  $Pmnn$ ) [14]. Желтые монокристаллы  $\beta\text{-GeSe}_2$  легко получаются различными методами кристаллизации из жидкой фазы, а также методом химических транспортных реакций и сублимации. Кристаллическая структура  $\beta\text{-GeSe}_2$  аналогична структуре высокотемпературной модификации  $GeS_2$ .  $\beta\text{-GeSe}_2$  относится к моноклинной сингонии и имеет следующие параметры решетки:  $a = 11,86$ ;  $b = 16,88$  и  $c = 7,036$  Å (Пространственная группа  $P2_1/c$ ) [14]. Третья модификация –  $\gamma\text{-GeSe}_2$  (красного цвета) была получена в работе [16] путем охлаждения расплава, подвергнутого выдержке при температуре 1133–1143 К в течение 100 ч. Кристалли-

ческая структура  $\gamma\text{-GeSe}_2$  не определена. В работе [16] высказано предположение о подобии структуры  $\gamma\text{-GeSe}_2$  структуре  $\text{SnS}_2$ . Термодинамические свойства диселенида германия исследовались в работе [17] (см. табл. I.I).

Система Ge - Te. Т-х-Проекция диаграммы Р-Т-х-системы Ge-Te представлена на рис. I.I, в [18,19]. В системе существует одно соединение – монотеллурид германия, которое образует эвтектику с теллуром. Координаты эвтектической точки – 85 ат.% Te;  $T_\theta = 648$  К. В литературе имеются противоречивые данные относительно характера плавления монотеллурида германия. Согласно данным работы [19], GeTe плавится конгруэнтно при температуре 997 К. Максимум на кривой ликвидуса смешен относительно стехиометрического состава в сторону избытка теллура и отвечает составу 50,61 ат.% Te. Эвтектика (Ge+GeTe) имеет, по данным [19], температуру плавления 996 К и состав 49,85 ат.% Te. В ряде работ [18,20] полагают, что теллурид германия плавится инконгруэнтно при 997 К с положением перитектической точки вблизи 49,8 ат.% Te [20]. В соответствии с этими данными интерпретировались результаты измерения микротвердости теллурида германия с различным отклонением от стехиометрии [21], а также тепловых эффектов, связанных с плавлением и кристаллизацией теллурида германия стехиометрического состава [22]. Анализ данных, связанных с характером плавления теллурида германия, показывает, что большая часть экспериментальных данных [23-26] согласуется с выводом о конгруэнтном характере плавления GeTe в соответствии с данными работы [19]. К таким данным относятся: результаты ДТА сплава состава 50,61 ат.% Te с использованием в качестве эталона сплава эвтектического состава (49,85 ат.% Te); микроструктурного анализа сплавов, закаленных из расплава [23]; характер изменения температурных зависимостей электросопротивления и коэффициента Холла образцов с различным отклонением от стехиометрии в интервале температур 800-900 К [24], а также результаты металлографического исследования слитков, выращенных из расплава с содержанием 50 ат.% Te методом Бриджмена [25]. В соответствии с диаграммой состояния с инконгруэнтно плавящимся GeTe изменение состава такого слитка должно было бы происходить в соответствии с положением границы области гомогенности, насыщенной теллуром, и закончиться кристаллизацией эвтектики (GeTe+Te). Согласно же работе [25] в конечной части слитка наблюдались выделения германия, что является косвенным подтверждением диаграммы состояния, предложенной в работе [19].

Данные термодинамического анализа системы Ge - Te, сделанного в работе [27] в приближении теории регулярных растворов, а также результаты расчетов Р-Т-х-диаграммы состояния в работе [28], согласуются с положением максимума на кривой ликвидуса в системе Ge-Te на стороне избытка теллура относительно стехиометрического состава.

Теллурид германия имеет довольно широкую область гомогенности, простирающуюся от 50,3 до 51,2 ат.% Te [29]. Известны три полиморфные

модификации теллурида германия: высокотемпературная кубическая типа  $\text{NaCl}$  ( $\beta$ ), устойчивая при температурах выше  $700\text{-}675$  К [ $30\text{ J}$ ], и две низкотемпературные - ромбоэдрическая ( $\alpha$ ) [ $30\text{ J}$ ] и ромбическая ( $\gamma$ ) [ $31\text{ J}$ ]. Ромбоэдрическая  $\alpha$ -фаза (структурный тип  $\alpha\text{-As}$  существует в узкой области составов вблизи границы области гомогенности со стороны германия, а  $\gamma$ -фаза при значительном отклонении от стехиометрии (больше 50,8 ат.% Te) [ $29\text{ J}$ ]. Преобладающими нестехиометрическими дефектами в  $\alpha$ -фазе являются дважды ионизированные вакансии в подрешетке германия, обусловливающие высокую концентрацию дырок -  $p = (5\text{-}10) \cdot 10^{20} \text{ см}^{-3}$ . По данным работы [ $32\text{ J}$ ] в сплавах с более высокой концентрацией дырок -  $p = (1,2\text{-}1,5) \cdot 10^{21} \text{ см}^{-3}$ , лежащих по составу в области существования  $\gamma$ -фазы, значительный вклад в дефектообразование вносит антиструктурное разупорядочение.

На рис. I.3 представлена общая картина фазовых превращений в теллуриде германия [ $29\text{ J}$ ]. Ромбоэдрическая  $\alpha$ -фаза образуется по перитектоидной реакции  $\text{Ge} + \text{v} \rightleftharpoons \alpha$  при  $(700\pm 3)$  К, ромбическая  $\gamma$ -фаза - по перитектической реакции  $\text{Ж} + \text{v} \rightleftharpoons \gamma$  при температуре  $(675\pm 3)$  К. При 630 К наблюдается эвтектоидный распад  $\text{v} \rightleftharpoons \alpha + \gamma$ . Положение эвтектоидной точки соответствует 50,6 ат.% Te. Нонвариантная реакция  $\text{Ж} \rightleftharpoons \gamma + \text{Te}$  происходит при температуре  $(655\pm 3)$  К.

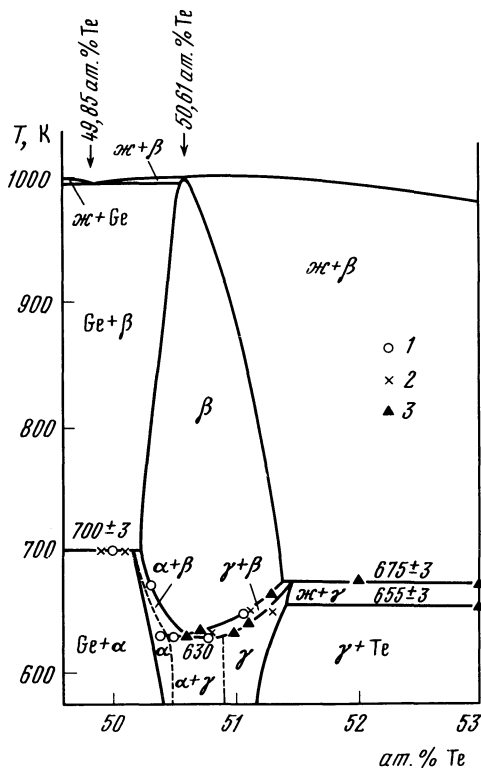


Рис. I.3. Область гомогенности теллурида германия [ $21\text{ J}$ ]

I - дилатометрия, 2 - точки получены из измерений электропроводности, 3 - ДТА

Другие варианты диаграммы состояния системы Ge-Te вблизи теллурида германия представлены в работах [14, 33-35]. Различия в температурах фазовых превращений ( $T_{\text{ф.п.}}$ ) и фазовом составе сплавов, по-видимому, связаны с трудностями достижения равновесия в системе Ge-Te при температурах ниже  $T_{\text{ф.п.}}$  с различной термической предысторией образцов и их состоянием (литые, металлокерамические, мелкодисперсные). Согласно данным [33, 35]  $\gamma$ -GeTe образуется по перитектоидной реакции  $\alpha + \text{Te} \rightleftharpoons \gamma$  при 638 К.

Монотеллурид германия является единственным соединением на равновесной диаграмме состояния системы Ge-Te, однако при переходе из стеклообразного состояния в кристаллическое возможно образование метастабильных промежуточных фаз. Так, в работе [36] было получено соединение  $\text{GeTe}_4$ , которое имеет кубическую решетку с периодом  $a = 11,09 \text{ \AA}$  и довольно узкую область существования по температуре - от 450 до 513 К. В работе [37] при кристаллизации аморфных пленок при 473 К был получен дителлурид германия с кубической структурой типа  $\beta$ -кристобаллита, который при температуре 523 К разлагался на монотеллурид германия и теллур.

### I.I.3. Системы олово - халькоген

Система Sn-S. Р-Т-х-Диаграмма системы Sn-S была построена в работе [38]. Т-х-Проекция диаграммы приведена на рис. I.4, а. В системе существуют два соединения, плавящиеся конгруэнтно: моносульфид и дисульфид олова с температурами плавления - 1154 и 1143 К соответственно. В работе [39] предполагалось существование соединений  $\text{Sn}_2\text{S}_3$  и  $\text{Sn}_3\text{S}_4$ , плавящихся инконгруэнтно, однако при исследовании системы Sn-S с помощью эффекта Мессбауэра существование этих соединений не подтвердилось [40]. Со стороны олова имеется область расслаивания в интервале составов от 10 до 48 ат.% S. Температура монотектической реакции отвечает  $(1133 \pm 5)$  К. В интервале составов 70-90 ат.% S также предполагается наличие расслаивания. Между соединениями  $\text{SnS}$  и  $\text{SnS}_2$  существует эвтектика с координатами: 55 ат.% S;  $T_{\text{Э}} = (1013 \pm 2,5)$  К.

Моносульфид олова имеет узкую область гомогенности, расположенную целиком на стороне избытка серы относительно стехиометрического состава [41, 42]. На рис. I.5 приведены границы области гомогенности моносульфида олова, определенные на основе измерения эффекта Холла после отжига образцов в интервале 625-1010 К при фиксированных давлениях серы. Границы области гомогенности рассчитаны исходя из соотношения  $[V''_{\text{Sn}}] = p/2$ , где  $p$  - холловская концентрация дырок при 300 К, а также на основе квазихимического подхода с учетом электронейтральных вакансий  $[V^x_{\text{Sn}}]$  и ассоциатов  $(V_{\text{Sn}} V_{\text{Sn}})^x$ . Из рис. I.5 видно, что учет вклада электронейтральных дефектов сдвигает границы области гомогенности в сторону большей концентрации сверхстехиометрических атомов серы.

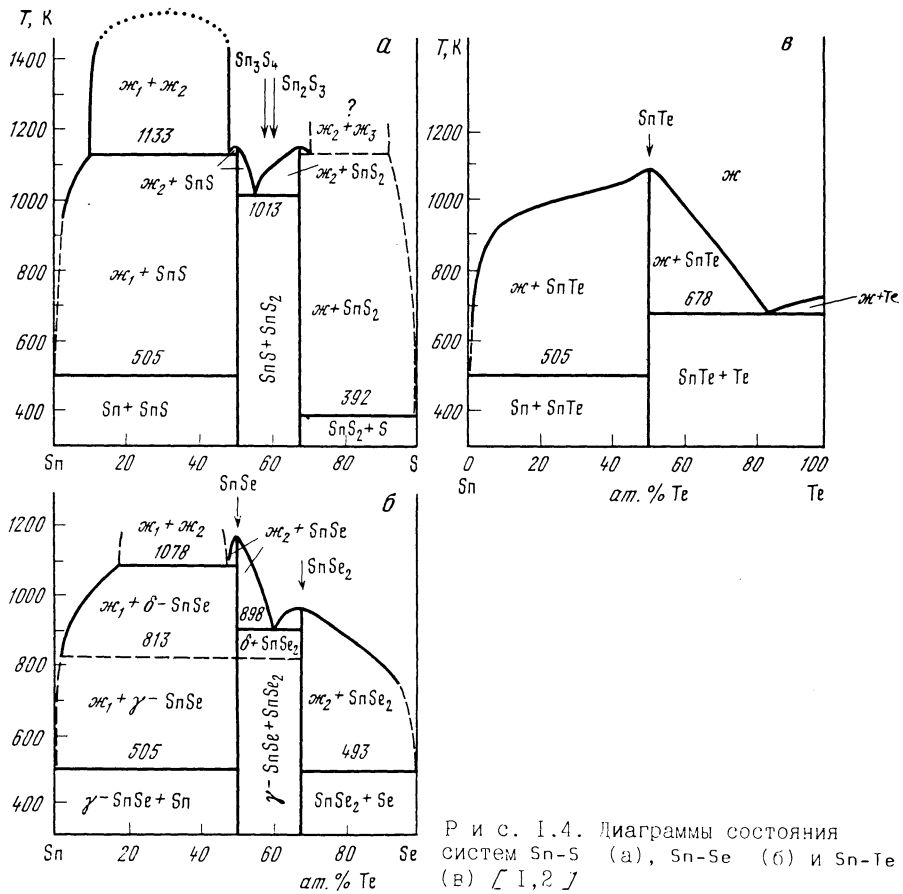


Рис. I.4. Диаграммы состояния систем Sn-S (а), Sn-Se (б) и Sn-Te (в) [1,2]

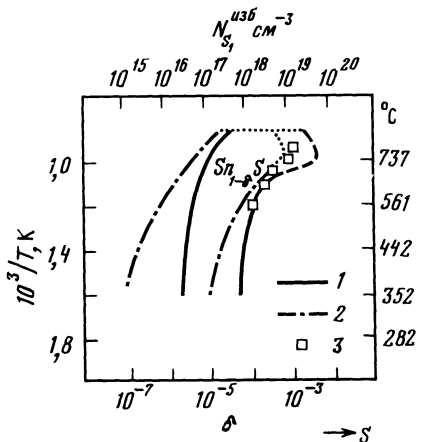


Рис. I.5. Область гомогенности моносульфида олова ( $\delta$ -SnS) (δ - избыток серы относительно стехиометрии, ат/моль)

1 - расчет с учетом существования, кроме заряженных вакансий олова, электронейтральных вакансий  $[V_{Sn}^e]$  и ассоциатов  $(V_{Sn}^e)_x$ , 2 - расчет из данных измерений Холловской концентрации дырок (300 К) из соотношения  $[V''_{Sn}] = p_x/2$ , 3 - [42]

Дисульфид олова кристаллизуется в слоистой структуре типа  $\text{CdI}_2$  (Пространственная группа -  $P\bar{3}m1-D_{3d}^3$ ) со следующими параметрами решетки:  $a = 3,646 \pm 0,003$ ;  $c = 5,879 \pm 0,009$  Å,  $c/a = 1,612$  [2]. Основной структурный элемент состоит из двух слоев ионов серы в гексагональной плотнейшей упаковке, при этом меньшие по размеру ионы олова располагаются между ними. Силы связи внутри таких трехслойных пакетов значительно больше, чем между пакетами, где в основном они определяются Ван-дер-Вальсовыми силами. Различная упаковка этих трехслойных пакетов приводит к образованию различных политипов  $\text{SnS}_2$ . В зависимости от условий роста кристаллов образуются  $2H$ ,  $4H$ ,  $I8R$  и другие более сложные политипы [43].

Система Sn-Se. В системе образуются два соединения - моноселенид олова, плавящиеся конгруэнтно при 1153 и 948 К соответственно [2] (рис. I.4, б). В системе со стороны олова обнаружена широкая область расслаивания (10-48 ат.% Se). Между  $\text{SnSe}$  и  $\text{SnSe}_2$  существует эвтектика с координатами: 61 ат.% Se;  $T_e = 898$  К. При 813 К обнаружены термические эффекты, связанные с фазовым превращением в моноселениде олова. Моноселенид олова имеет узкую область гомогенности, расположенную целиком на стороне избытка селена относительно стехиометрического состава [44] (рис. I.6). Из результатов измерения эффекта Холла образцов, отожженных при различных парциальных давлениях паров селена в работе [44] сделан вывод, что преобладающими нестехиометрическими дефектами при  $T > 713$  К являются дважды ионизированные вакансии олова -  $[V_{\text{Sn}}^{\prime \prime}]$ , а при температурах ниже 713 К - электронейтральные ассоциаты -  $(V_{\text{Sn}}^X)_2$  и  $(V_{\text{Sn}}^X)_4$ . В работе [45] показано, что солидус со стороны селена носит ретроградный характер: наибольшая концентрация дырок в моноокристаллах, насыщенных селеном, достигалась при 973 К и составляла  $p = 2 \cdot 10^{18} \text{ см}^{-3}$ . По мере понижения температуры наблюдалось снижение  $p$  и при 670 К она составила  $p = 1 \cdot 10^{18} \text{ см}^{-3}$ . Граница области гомогенности, насыщенная оловом, по данным [45], приближалась к стехиометрии при понижении температуры. Минимальные значения концентрации дырок достигались отжигом в парах олова при 770 К и лежали в интервале от  $p = 3 \cdot 10^{15} \text{ см}^{-3}$  до  $p = 3 \cdot 10^{16} \text{ см}^{-3}$ .

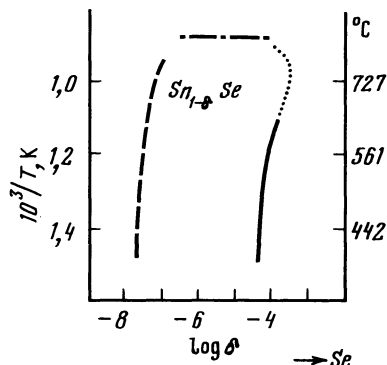


Рис. I.6. Область гомогенности моноселенида олова [44] ( $\delta$  - избыток селена относительно стехиометрии, ат/моль)

Диселенид олова, как и дисульфид олова, кристаллизуется в структуре типа  $\text{CdJ}_2$  и характеризуется следующими параметрами решетки:  $a = 3,811 \pm 0,002$ ;  $c = 6,137 \pm 0,003$  Å;  $c/a = 1,61$ . Подобно дисульфиду олова  $\text{SnSe}_2$  имеет несколько политипных форм [46]. Свойства диселенида олова представлены в табл. I.1.

Система  $\text{Sn} - \text{Te}$ . Т-х-Проекция диаграммы Р-Т-х-системы  $\text{Sn} - \text{Te}$  представлена на рис. I.4, в [I]. В системе существует одно соединение, плавяющееся конгруэнтно при  $(1079,1 \pm 0,3)\text{K}$  [47]. Положение максимума на кривой ликвидуса отвечает составу 50,4 ат.% Te. Теллурид олова образует с теллуром эвтектику с координатами: 84 ат.% Te;  $T_e = 678\text{ K}$  [I]. Со стороны олова существует вырожденная эвтектика ( $\text{Sn} + \text{SnTe}$ ).

Область гомогенности теллурида олова расположена целиком на стороне избытка теллура относительно стехиометрического состава [47-52] (рис. I.7). Ее протяженность при 873 К составляет 50,1-51,1 ат.% Te [50]. Из результатов исследования концентрационных зависимостей параметров элементарной ячейки, пикнометрической плотности и парциального давления пара теллура следует, что преобладающими нестехиометрическими дефектами в теллуриде олова являются дважды ионизированные вакансии олова. На рис. I.7 наряду с экспериментальными данными определения границ области гомогенности [47-52] представлены расчетные данные, полученные на основе квазихимического подхода в предположении существования дефектов Шоттки донорского и акцепторного типа [53]. Из рис. I.7 видно, что существует хорошее согласие между расчетными и экспериментальными данными.

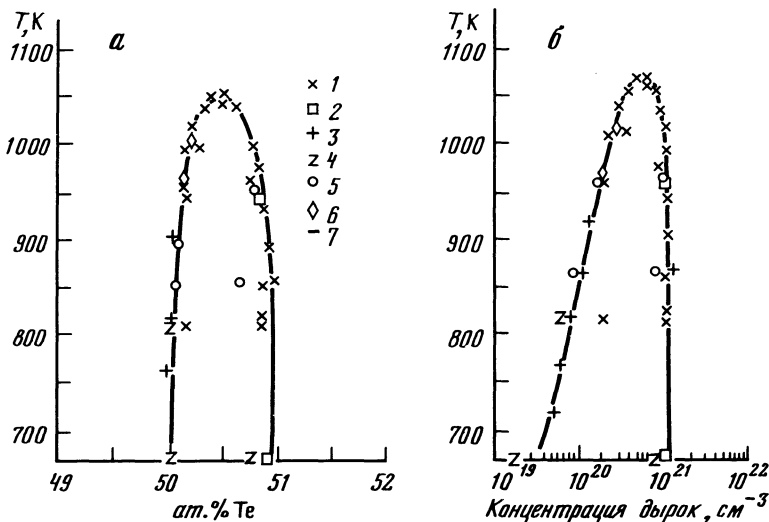


Рис. I.7. Область гомогенности теллурида олова в координатах  $T - \text{Te}$  (а) и  $T - \text{концентрация дырок}$  (б)

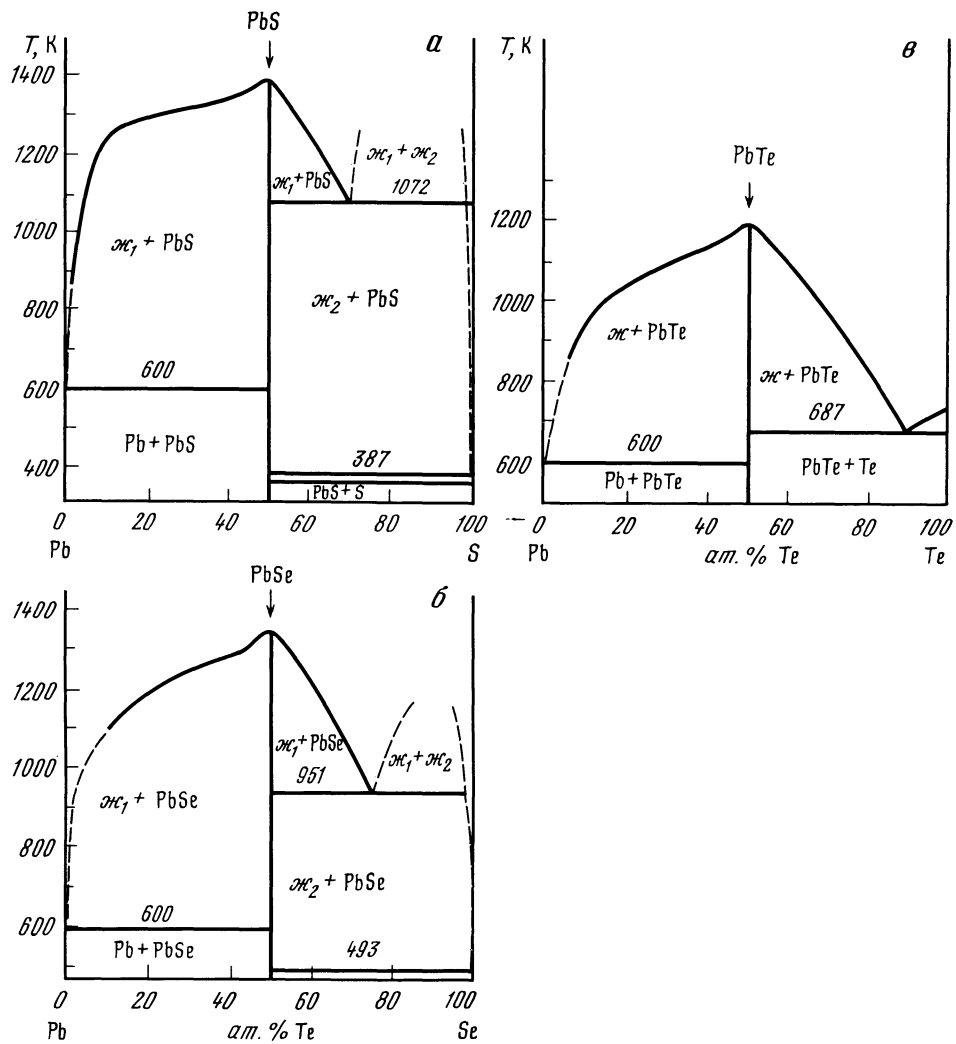
1 - [47], 2 - [48], 3 - [49], 4 - [50], 5 - [51], 6 - [52], 7 - [53], расчет

Калориметрическое исследование расплавов Sn-Te при 1140 К [54] показало, что на концентрационной зависимости теплоты смешения существует минимум вблизи состава с содержанием 50 ат.% Te. Эти результаты, а также данные работы [55], согласно которым на концентрационной зависимости электропроводности также существует минимум вблизи 50 ат.% Te, отражают тот факт, что в расплаве имеется сильное химическое взаимодействие между компонентами и возможно образование ассоциатов типа  $\text{Sn}_{\text{Te}}$ . Аналогичный вывод сделан в работе [56] на основе результатов измерения концентрационных и температурных зависимостей плотности и коэффициента объемного расширения расплавов Sn-Te, а также данных их рентгеноструктурного исследования. В работах [57, 58] расчет фазовых равновесий в системе Sn-Te был сделан с использованием модели субрегулярного ассоциированного раствора. В работе [57] при расчете не учитывалось существование области гомогенности на основе теллурида олова, а в работе [58] этот факт принимался во внимание, при этом в качестве преобладающих точечных дефектов рассматривались вакансии олова, а также антиструктурные дефекты типа  $\text{Sn}_{\text{Te}}$ . Результаты расчета линии ликвидуса и температуры нонвариантных равновесий в системе Sn-Te в рамках модели субрегулярного ассоциированного раствора находились в хорошем согласии с экспериментальными данными и использовались для их оптимизации.

#### I.I.4. Система свинец - халькоген

Система Pb - S. Т-х-Проекция диаграммы состояния системы Pb - S представлена на рис. I.8,а [2]. В системе существует одно соединение, плавящееся конгруэнтно при 1400 К. Максимуму на кривой ликвидуса отвечает избыток свинца относительно стехиометрического состава  $\delta = 3 \cdot 10^{-4}$  атом/моль, что соответствует 50,0075 ат.% Pb [59]. В интервале составов 70,5-99,1 ат.% S при 1072 К в системе Pb - S обнаружена область расслаивания. Состав эвтектики со стороны свинца лежит при 0,0017 ат.% S и получен экстраполяцией линии ликвидуса.

Область гомогенности на основе сульфида свинца была изучена с использованием измерений эффекта Холла после отжига монокристаллов PbS в интервале 973-1373 К при контролируемом парциальном давлении паров серы [59], а также с использованием метода микроосаждения в интервале температур 623-1185 К [60,61] (рис. I.9,а). Область гомогенности простирается как в сторону избытка свинца (п-тип), так и в сторону избытка серы (р-тип) относительно стехиометрического состава. Максимальная концентрация электронов и дырок в PbS, насыщенном свинцом или серой, соответственно составляет:  $n = 2,4 \cdot 10^{19} \text{ см}^{-3}$  (1185 К) [60] и  $p = 1,0 \cdot 10^{19} \text{ см}^{-3}$  (1073 К) [61]. Отсюда следует, что максимальная протяженность области гомогенности сульфида свинца составляет 49,968-50,013 ат.% S. Расчет сделан исходя из предположения, что преобладающими дефектами донорного типа в  $\text{PbS} < \text{Pb} >$  являются однократно ионизированные вакансины серы, а дефектами акцепторного типа в  $\text{PbS} < \text{S} >$  являются однократно



Р и с. I.8. Диаграммы состояния систем Pb-S (а), Pb-Se (б) и Pb-Te (в)

ионизированные вакансии свинца. Обзор работ, посвященных вопросам дефектообразования в халькогенидах свинца сделан в [62, 63]. Как со стороны свинца, так и со стороны серы наблюдается ретроградная растворимость компонентов в сульфиде свинца. Прямолинейные участки кривых  $n(p) = f(I/T)$  хорошо описываются следующим уравнением:

$$n(p) = N_0 \exp(-E/kT), \quad (I.I)$$

где энергия активации  $E$  (эВ) для халькогенидов свинца представлена в табл. I.2, из которой видно, что при переходе от PbS к PbTe наблю-

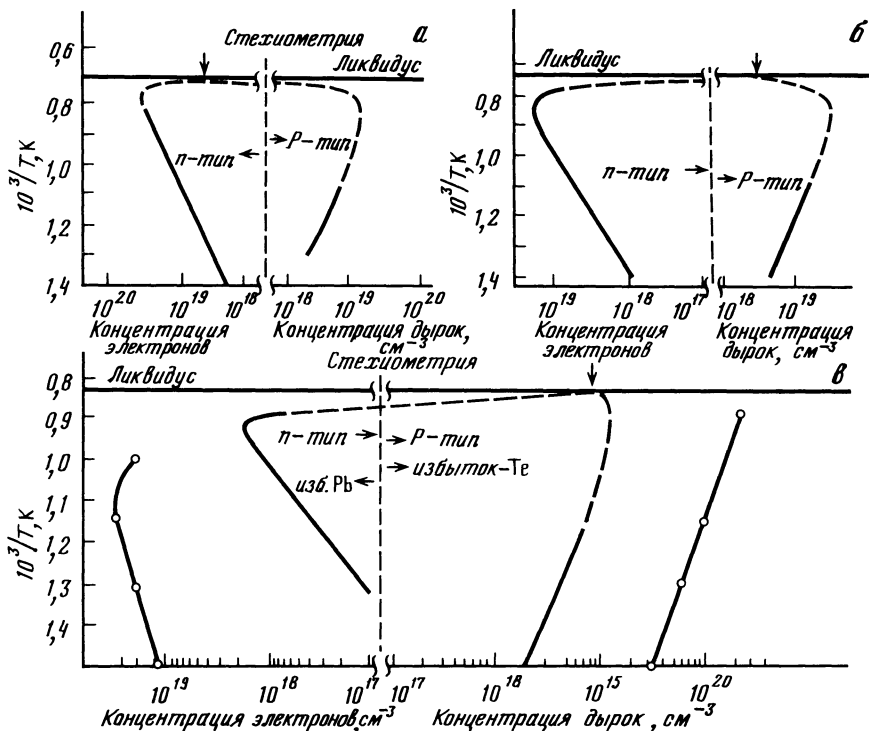


Рис. I.9. Области гомогенности сульфида  $\text{PbS}$  (а), селенида  $\text{PbSe}$  (б) и теллурида свинца  $\text{PbTe}$  (в)

точки - данные [82]. Стрелки указывают составы, отвечающие максимуму на кривой ликвидуса

дается рост энергии активации как в халькогенидах, насыщенных свинцом, так и насыщенных халькогеном.

#### Таблица I.2.

Значение энергии активации  $E$  (эВ) в уравнении (I.I) для халькогенидов свинца

Энергия ак- тивации, ин- тервал тем- ператур	Соединение, насыщ. свинцом			Соединение, насыщ. халько- геном		
	$\text{PbS}$	$\text{PbSe}$	$\text{PbTe}$	$\text{PbS}$	$\text{PbSe}$	$\text{PbTe}$
$E$ , эВ	0,37 [60]	0,49 [61]	0,64 [64]	0,27 [61]	0,33 [61]	0,50 [64]
$T$ , К	1185-623	1080-660	1073-673	1073-623	923-550	773-673

Система  $\text{Pb} - \text{Se}$ . В системе существует одно соединение -  $\text{PbSe}$ , плавя-  
щееся конгруэнтно при  $1353,9 \pm 0,5$  К [2] (рис. I.8, б). Максимум на кри-

вой ликвидуса смешен в сторону избыточного содержания селена относительно стехиометрического состава и находится при 50,005 ат.% Se по данным Г 65 Г и при 50,0075 ат.% Se по данным Г 66 Г. В интервале составов 76-98,8 ат.% Se в системе Pb-Se существует область расслаивания. Температура монотектической реакции соответствует 951,5 К. Экстраполяцией линии ликвидуса был найден состав эвтектики вблизи свинца, который отвечает 0,013 ат.% Se. Со стороны селена существует вырожденная эвтектика с температурой плавления - 493,2 К. Область гомогенности PbSe простирается как в сторону избытка свинца (п-тип), так и в сторону избытка селена (р-тип) относительно стехиометрического состава Г 67-69 Г (рис. I.9,б). Литературные данные, касающиеся положения границы области гомогенности, насыщенной свинцом, хорошо согласуются друг с другом. Что касается границы, насыщенной селеном, то эти данные противоречивы, так как скорость микроосаждения избыточного селена вследствие ретроградной растворимости выше, чем избыточного свинца Г 67 Г. Максимальная концентрация электронов в образцах, насыщенных свинцом, составляет  $n = 2,3 \cdot 10^{19} \text{ см}^{-3}$  при 1223 К Г 68 Г. Она уменьшается с понижением температуры и при 673 К составляет  $n = 5,8 \cdot 10^{17} \text{ см}^{-3}$ . Максимальная концентрация дырок в образцах, насыщенных селеном, составляет  $- p = 2 \cdot 10^{19} \text{ см}^{-3}$  при 1073 К Г 68 Г. Эта величина существенно уменьшается с понижением температуры и при 673 К соответствует  $p = 3,4 \cdot 10^{18} \text{ см}^{-3}$  Г 69 Г. Таким образом, из данных работ Г 67-69 Г следует, что PbSe имеет узкую область гомогенности с максимальной ее протяженностью от 49,967 до 50,028 ат.% Se (1073 К). Результаты прецизионного определения плотности кристаллов PbSe, а также экспериментов по самодиффузии Pb<sup>210</sup> в PbSe показали, что преобладающими собственными дефектами в PbSe п-типа являются атомы свинца в междоузлиях, а в PbSe р-типа - однократно ионизированные вакансии свинца Г 2 Г.

В работах Г 70-72 Г область гомогенности селенида свинца определялась с помощью физико-химического метода "извлечения", в котором селен извлекали при определенных условиях отжига в паровую fazу и определяли его количество фотоколориметрическим методом. Растворимость селена в PbSe, полученная этим методом, близка к определенной из концентрации носителей заряда в области температур - 1070-1275 К, однако существенно превышает последнюю в интервале температур 690-830 К. Предполагается, что такое различие данных связано с преобладанием в области температур 690-830 К электронейтральных дефектов, концентрация которых намного превышает концентрацию ионизированных дефектов.

Система Pb - Te. В системе Pb - Te существует одно соединение - теллурид свинца, плавящееся конгруэнтно при (1197±0,5)К Г 2 Г (см. рис. I.8,в). Ликвидус на стороне, богатой теллуром, на рис. I.8,в приведен по данным работы Г 73 Г. Линия ликвидуса в системе Pb - Te, как и в системах Pb-S и Pb - Se, асимметрична относительно состава 50 ат.% Te. Вблизи этого состава на кривой ликвидуса имеется резко выраженный

максимум, который смещен в сторону избытка теллура относительно стехиометрического состава и соответствует 50,012 ат.% Тe по данным [74] и 50,014 ат.% Тe по данным [75]. Координаты эвтектической точки на стороне теллура в системе Pb-Te отвечают 85,5 ат.% Тe;  $T_e = 678$  К [1] или 89,3 ат. % Тe;  $T_e = 686$  К [76].

Система Pb - Te являлась предметом ряда термодинамических расчетов [28, 77, 78]. Из исследования расплавов Pb - Te методом колориметрии [79] при 1210 К, показавших наличие минимума вблизи 50 ат.% Тe на концентрационной зависимости теплоты смешения, а также из результатов измерения плотности расплавов Pb - Te [56, 80] сделан вывод о возможности существования в жидкой фазе ассоциатов типа PbTe в равновесии с атомами свинца и теллура. Расчет фазовых равновесий в системе Pb-Te, который был выполнен с использованием модели сильно ассоциированного регулярного раствора [78], показал хорошее совпадение вычисленных и экспериментальных данных, касающихся положения кривой ликвидуса и температур нонвариантных равновесий.

Область гомогенности теллурида свинца изучалась в работах [64, 68, 74, 81-83] (см. рис. I.9,в). Как и в случае PbS, PbSe, образцы, содержащие избыток теллура относительно стехиометрического состава, были р-типа, а содержащие избыток свинца - n-типа. По данным работ [64, 74], где проводилось исследование области гомогенности методом "замороженных" равновесий, максимальная концентрация электронов и дырок в PbTe, насыщенным свинцом или теллуром, соответственно составляла:  $n = 3,3 \cdot 10^{18}$  см<sup>-3</sup> и  $p = 7,6 \cdot 10^{18}$  см<sup>-3</sup> (1048 К). Это соответствует протяженности области гомогенности при 1048 К от 49,944 до 50,013 ат.% Тe. Для теллурида свинца, так же как и для PbS, PbSe, характерны явления микросаждения компонентов в процессе охлаждения вследствие ретроградной растворимости компонентов в PbTe. В связи с этим наиболее достоверными данными по протяженности области гомогенности теллурида свинца следует считать те, которые были получены в работе [82] из экспериментов по эффекту Холла и измерению оптической плотности паров непосредственно при высоких температурах. В результате таких экспериментов было показано, что протяженность области гомогенности теллурида свинца существенно больше, чем это определено в работах [64, 74]. По данным [82] максимальная концентрация электронов и дырок в PbTe, насыщенном свинцом или теллуром, соответственно составляет:  $n = 3 \cdot 10^{19}$  см<sup>-3</sup> (873 К) и  $p = 2 \cdot 10^{20}$  см<sup>-3</sup> (1073 К). Это отвечает протяженности области гомогенности теллурида свинца - от 49,95 до 50,336 ат.% Тe.

На основе прецизионного определения периода решетки PbTe в зависимости от степени отклонения от стехиометрии в сочетании с данными по концентрации носителей заряда и результатов экспериментов по аннигиляции позитронов был определен тип преобладающих точечных дефектов в PbTe р- и n-типа [82]. Показано, что разупорядочение имеет место в основном в подрешетке свинца. В PbTe р-типа преобладающими собственными дефектами являются вакансии свинца (по-видимому, однократно ионизирован-

ные), а в  $PbTe$  n-типа - атомы свинца в междуузлиях как в ионизированном, так и в электронейтральном состоянии.

В работе [83] с помощью описанного выше метода "извлечения" была определена растворимость в  $PbTe$  свинца в интервале 788-1064 К и теллура в интервале 632-1168 К. Показано, что при температурах выше 900 К преобладающими являются ионизированные дефекты, концентрация которых совпадает с полученной из данных по концентрации носителей заряда [63]. При температурах меньше 800 К вблизи границы области гомогенности  $PbTe$ , насыщенной теллуром, преобладают электронейтральные дефекты, вклад которых возрастает с понижением температуры.

Приведенные данные показывают, что характер дефектообразования в халькенидах свинца является достаточно сложным, соотношение между концентрацией носителей заряда и концентрацией собственных дефектов окончательно не установлено, вследствие чего имеется некоторая неопределенность в положении границ областей гомогенности, полученных из результатов измерения эффекта Холла.

Анализ описанных выше диаграмм состояния систем  $A^{IV}-B^{VI}$  позволяет выявить некоторые основные тенденции в их характере при изменении атомного номера металла или халькогена. Из рис. I.1, I.4, I.8 видно, что при увеличении атомного номера металла или халькогена диаграммы состояния систем  $A^{IV}-B^{VI}$  приобретают более простой вид: уменьшается тенденция к расслаиванию в жидком состоянии, а также число соединений, образующихся в системах, при этом их устойчивость возрастает. Так, в системах  $Ge-S$  ( $Se$ ) и  $Sn-S$  ( $Se$ ), кроме монохалькогенидов, образуются устойчивые, конгруэнтно-плавящиеся дихалькогениды. В системах  $Pb-B^{VI}$  образуются только монохалькогениды, плавящиеся конгруэнтно. Единственными соединениями в системе  $A^{IV}-Te$  также являются монотеллуриды, характеризующиеся отклонением максимума на кривой ликвидус в сторону избытка теллура относительно стехиометрического состава, величина которого уменьшается по ряду  $GeTe-SnTe-PbTe$ . В целом, можно отметить следующую основную тенденцию: при увеличении атомного номера металла или халькогена наблюдается переход от образования соединений с различной стехиометрией и сложной кристаллической структурой с преобладанием ковалентной составляющей связи к образованию соединений с более простой стехиометрией и структурой с заметным вкладом ионной и металлической составляющих [84].

## I.2. Кристаллическая структура и химическая связь в соединениях $A^{IV}B^{VI}$

Соединения  $A^{IV}B^{VI}$  являются изоэлектронными бинарными аналогами элементов V группы Периодической системы с пятью валентными электронами на атом и при нормальных условиях относятся к трем структурным типам -  $NaCl$  (B),  $Sns$  (γ) и  $\alpha$ -  $As$  ( $d$ ) / 2 /. Кубическая структура типа  $NaCl$  характерна для халькенидов свинца и теллурида олова. Теллурид герма-

Т а б л и ц а 1.3

Кристаллическая структура соединений Al<sub>3</sub>Y<sub>2</sub>I при нормальных условиях

Соединение	Сингония	Пространственная группа	Структурный тип	Периоды решетки			Литера-тура
				a, Å	b, Å	c, Å	
GeS	Ромбическая (f)	D <sub>2h</sub> -Pcmn	SnS	4,29±0,01	3,64±0,01	10,42±0,03	[ 85 ]
GeSe	Ромбическая (f)	D <sub>2h</sub> -Pcmn	SnS	4,403±0,005	3,852±0,005	10,82±0,01	[ 86 ]
Ge <sub>0,99+0,98</sub> Te	Ромбоэптическая (α)	C <sub>3V</sub> -R3m	d-As	5,986±0,01 (a <sub>R</sub> <sup>0</sup> = 88,35)	-	-	[ 87,88 ]
Ge <sub>0,96+0,94</sub> Te	Ромбическая (γ)	-	-	4,36±0,01	4,15±0,01	11,76±0,01	[ 17 ]
SnS	Ромбическая (f)	D <sub>2h</sub> -Pcmn	SnS	4,33±0,02	3,98±0,02	11,18±0,02	[ 89 ]
SnSe	Ромбическая (γ)	D <sub>2h</sub> -Pcmn	SnS	4,46±0,01	4,19±0,03	11,57±0,03	[ 90 ]
SnTe	Кубическая (β)	O <sub>h</sub> <sup>5</sup> -Fm3m	NaCl	6,3272	-	-	[ 50 ]
PbS	Кубическая (β)	O <sub>h</sub> <sup>5</sup> -Fm3m	NaCl	5,9362	-	-	[ 91 ]
PbSe	Кубическая (β)	O <sub>h</sub> <sup>5</sup> -Fm3m	NaCl	6,1243	-	-	[ 91 ]
PbTe	Кубическая (β)	O <sub>h</sub> <sup>5</sup> -Fm3m	NaCl	6,4603	-	-	[ 91 ]

ния с небольшим отклонением от стехиометрии имеет ромбоэдрическую структуру типа  $\alpha$ -As.

Ромбическая структура типа Sns характерна для сульфидов и селенидов германия и олова, а также для теллурида германия с существенным отклонением от стехиометрии. Параметры решетки соединений  $A^{IV}B^{VI}$  суммированы в табл. I.3 [85-91].

Современные классификации соединений  $A^{IV}B^{VI}$ , в основу которых положено рассмотрение связи кристаллического строения с изменением характера химической связи при изменении атомного номера металла или халько-гена, предложены в работах [92-95]. Для характеристики химической связи в работах [92, 93] использовались определенные комбинации орбитальных радиусов Джона и Блоха -  $r_p^A$  и  $r_p^{-1}$ , коррелирующие с ростом степени ионности и ковалентности соответственно (рис. I.I0, а). Величина  $r_\sigma = (r_p^A - r_p^B)$  согласно работе [92] является мерой электроотрицательностей  $p$ -составляй атомов A и B. Из рис. I.I0, а видно, что граница между областями существования ромбоэдрической и кубической структур определяется величиной  $r_\sigma$ . Согласно классификации [92]  $\alpha$ -GeTe обладает наименьшей степенью ионности среди соединений  $A^{IV}B^{VI}$  и входит в однную структурную группу с Bi, Sb и  $\alpha$ -As.

Ромбоэдрическая структура  $\alpha$ -GeTe может быть получена растяжением кубической гранецентрированной решетки типа NaCl вдоль оси <III> с одновременным сдвигом подрешеток друг относительно друга вдоль этой оси (рис. I.II). В результате образуются двухслойные пакеты Ge-Te с более сильными связями внутри пакета ( $d_{Ge-Te} = 2,79 \text{ \AA}$ ), чем между ними ( $d_{Ge-Te} = 3,22 \text{ \AA}$ ). Связь структуры  $\alpha$ -GeTe с кубической структурой типа NaCl видна из рис. I.II.

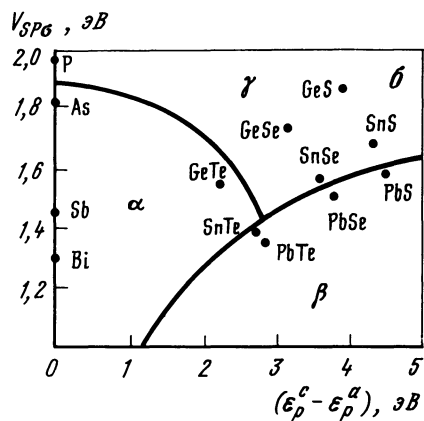
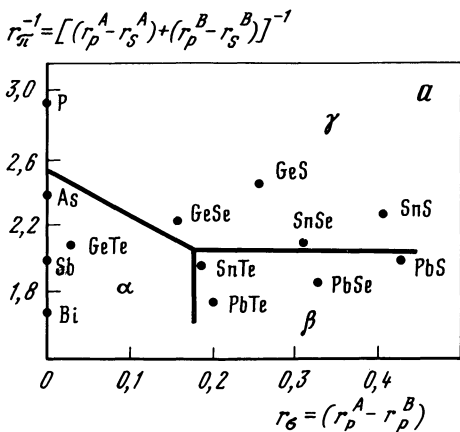
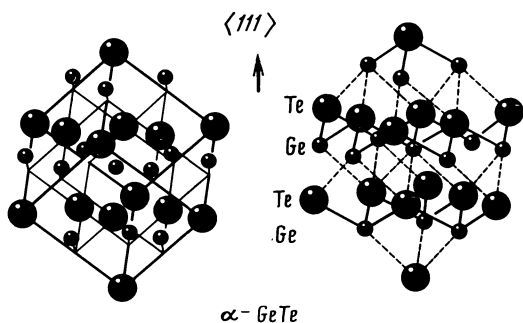


Рис. I.I0. Современная классификация соединений  $A^{IV}B^{VI}$  по типу кристаллической структуры и характеру химической связи

а - [92], рост значений  $r_\sigma$  и  $r_\pi^{-1}$  соответствует увеличению степени ионности и ковалентности связи соответственно, б - [94],  $V_{sp\sigma}$  - матричный элемент сп-взаимодействия,  $(\epsilon_p^c - \epsilon_p^\alpha)$ -разность значений термов  $p$ -электронов катиона и аниона

Р и с. I.II. Кристаллическая структура  $\alpha$ -GeTe [87,88]



Если рассматривать примитивную ромбоэдрическую ячейку, содержащую два атома, ромбоэдрическое искажение проявляется в отличии угла примитивного ромбоэдра от  $60^\circ$ , значения, характерного для структуры типа NaCl. Смещение атомов вдоль тригональной оси характеризуется параметром смещения "u", который вместе с периодом примитивной ячейки ( $a_{\text{пр}} = a_{\text{куб}}/\sqrt{2}$ ) и углом ромбоэдричности приведен в табл. I.4.

Т а б л и ц а I.4

Параметры примитивной ромбоэдрической ячейки  $\alpha$ -GeTe и элементов V группы Периодической системы / 96 /

Элемент, соединение	$a_{\text{пр}}$ , Å	$d_R^0$ , градус	Параметр "u"
$\alpha$ -As	4,131	54,17	0,226
Sb	4,507	57,II	0,233
Bi	4,746	57,24	0,237
$\alpha$ -GeTe	4,234	58,25	0,233 [ 97 ] 0,237 [ 98 ]

Среди элементов V группы наибольшее искажение характерно для структуры  $\alpha$ -мышьяка. Искажение уменьшается при переходе от мышьяка к висмуту. Из табл. I.4 видно, что  $\alpha$ -GeTe характеризуется искажением кристаллической решетки, близкой к наблюдаемым для элементов V группы. Отличие заключается в том, что две подрешетки в структуре  $\alpha$ -GeTe состоят из неэквивалентных атомов, вследствие чего исчезает центр симметрии, характерный для структуры элементов V группы.

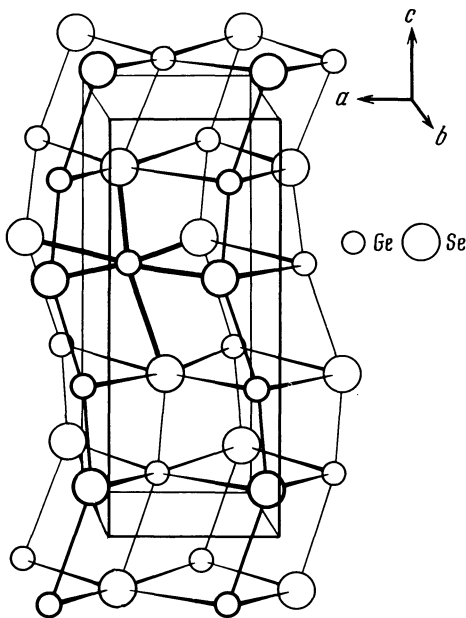
Согласно классификации соединений  $A^{IV}B^{VI}$  [ 92 ] рост ионной составляющей связи (рост  $\delta$ ) способствует стабилизации кубической структуры типа NaCl в халькогенидах свинца и теллуриде олова. Важность вклада ионности в стабилизацию кубической структуры проявляется, например, при сравнении структуры сурьмы и теллурида олова, ее ближайшего изоэлектронного аналога. Наличие ионной составляющей связи в SnTe является единственным фактором, отличающим эти вещества друг от друга и способствующим

щим стабилизации структуры типа  $\text{NaCl}$ . В работе [99] предполагается, что существует критическое значение степени ионности, выше которого ромбоэдрическая структура становится неустойчивой.

Как полагают в работах [84, 96], связь в халькогенидах свинца осуществляется за счет ненасыщенных резонансных p-связей вдоль осей куба, так как имеется только шесть p-электронов на два атома и шесть ближайших соседей. При этом s-электроны занимают глубокие валентные зоны и их вклад в связи незначителен. Ситуация изменяется при переходе от халькогенидов свинца к более легким сульфидам и селенидам германия и олова, так как энергия расщепления s- и p-состояний при этом уменьшается. В работе [92] в качестве меры sp-расщепления использовалась координата  $r_{\gamma}$ , которая представляет собой разность между орбитальными радиусами s- и p-состояний для двух атомов:

$$r_{\gamma} = (r_p^A - r_s^A) + (r_p^B - r_s^B). \quad (I.2)$$

По мере уменьшения энергии расщепления этих состояний (роста  $r_{\gamma}^{-1}$ ) возрастает вероятность образования направленных sp-гибридных связей и энергетически выгодным становится образование более сложных структур с высокой степенью ковалентности. Такой структурой, которая может быть получена путем незначительной деформации кубической решетки, является ромбическая структура типа  $\text{SnS}$ , характерная для сульфидов и селенидов германия и олова, а также для черного фосфора. Параметры ромбической ячейки связаны с периодом кубической решетки типа  $\text{NaCl}$  ( $a_B$ ) следующими соотношениями:  $a = b = a_B/2$ ;  $c \approx 2a_B$ . Для структуры типа  $\text{SnS}$  характерно образование двойных слоев, перпендикулярных оси "c" (рис. I.12). Связь между двойными слоями ослаблена, о чем свидетельствует наличие (001) плоскостей спайности. Атомы металла в ромбической структуре имеют сильно искаженное октаэдрическое окружение, так как они расположены не в центре октаэдра, а смещены в направлении одной из его граней. В результате три атома халькогена расположены на ближайшем расстоянии от атомов металла и принадлежат одному двойному слою, а три других атома халькогена находятся на более удаленном расстоянии, причем один из них принадлежит соседнему двойному слою. Таким образом, координация атомов в структуре типа  $\text{SnS}$  может рассматриваться как (5+1). В табл. I.5 приведены средние значения межатомных расстояний металл-халькоген для ближайших ( $d_1$ ) и более удаленных ( $d_2$ ) соседей. В структуре черного фосфора каждый атом имеет трех соседей на одинаковом расстоянии -  $2,18 \text{ \AA}$ . Связь между соседними двойными слоями слабее, чем внутри слоя (наименьшее расстояние между двойными слоями -  $3,68 \text{ \AA}$ ). В табл. I.5 приведена величина  $\Delta = (d_2 - d_1)$ , которая может служить мерой искажения решетки от идеальной кубической типа  $\text{NaCl}$  с  $\Delta = 0$  [86]. Большая величина  $\Delta$  для черного фосфора характеризует тенденцию к образованию тригонально-пирамidalных связей и ослаблению связей с тремя более удаленными соседями.



Р и с. I.12. Кристаллическая структура моноселенида германия [90]

Т а б л и ц а I.5

Межатомные расстояния в структуре соединений  $A^{IV}B^{VI}$   
с ромбической решеткой и черного фосфора

Соединение	$d_1 (\text{\AA}) \angle 100 \text{ J}$	$d_2 (\text{\AA}) \angle 100 \text{ J}$	$\Delta = d_2 - d_1 \angle 86 \text{ J}$
P	2,18	3,87	1,69
GeS	2,58	2,97	0,39
GeSe	2,57	3,33	0,76
SnS	2,66	3,31	0,65
SnSe	2,80	3,39	0,59

В работе [94] предложена классификация соединений  $A^{IV}B^{VI}$  (рис. I.10, б), основанная на двух параметрах - разности значений термов р-валентных электронов катиона и аниона:

$$\Delta \xi = (\xi_p^c - \xi_p^a), \quad (I.3)$$

и значениях матричных элементов сп-взаимодействия ( $V_{sp\sigma}$ ). Последние определялись на основе соотношения Харрисона [101]:

$$V_{sp\sigma} = \hbar^2 / md^2, \quad (I.4)$$

где  $\eta$  - безразмерный параметр, зависящий от типа кристаллической решетки ( $\eta = 1,84$  для кубической решетки),  $m$  - масса электрона,  $a$  - среднее межатомное расстояние, отношение  $\hbar^2/m$  равно  $7,62 \text{ эВ} \text{ \AA}^2$ . Из рис. I.10,б видно, что увеличение  $\Delta\epsilon$  способствует стабилизации кубической структуры типа NaCl, а рост  $V_{sp\sigma}$ , т.е. увеличение степени sp-гибридизации, дестабилизирует эту структуру. Ромбоэдрическая структура устойчива при низких значениях  $\Delta\epsilon$  и  $V_{sp\sigma}$ , кубическая - при высоких значениях  $\Delta\epsilon$  и низких  $V_{sp\sigma}$ , а ромбическая структура устойчива при высоких значениях обоих параметров. Сопоставление параметров, используемых для характеристики степени ионности и ковалентности в работах [92] и [94], показывает, что рост  $\Delta\epsilon$  коррелирует с увеличением  $r^{-1}$  а рост  $V_{sp\sigma}$  - с увеличением  $r^{-1}$ .

Интересной кристаллохимической особенностью, характерной только для теллурида германия, является его способность изменять тип **искажения** решетки низкотемпературной фазы с ростом степени отклонения от стехиометрии и увеличением концентрации нестехиометрических дефектов. При небольшом отклонении от стехиометрии существует ромбоэдрически искаженная  $\alpha$ -модификация, изоструктурная элементам V группы - Bi, Sb и  $\alpha$ -As. При значительном отклонении от стехиометрии ( $p > 1,2 \cdot 10^{21} \text{ см}^{-3}$ ) образуется ромбическая  $\gamma$ -модификация, отнесенная авторами работы [31] к тому же структурному типу, что и сульфиды, селениды германия и олова стехиометрического состава. В работе [102] такое понижение симметрии кристаллической решетки связывают, в согласии с концепцией химической связи [92], с усилением sp-взаимодействия при увеличении содержания теллура в связи с происходящим при этом уменьшением межатомных расстояний.

В работе [103] на основе анализа интенсивностей дифракционных максимумов структурных и сверхструктурных отражений предложена модель образования  $\gamma$ -GeTe, основанная на упорядочении нестехиометрических дефектов - вакансий германия, концентрация которых достаточно велика и составляет 2,5 вакансии на одну элементарную ячейку. С позиций этой модели степень ромбического искажения решетки  $\gamma$ -фазы определяется степенью порядка в расположении дефектов при  $T < T_c$ . Второй подход, развиваемый в работах [104,105], основан на "перетекательном" механизме фазового перехода. Согласно этой модели, для больших концентраций свободных дырок энергетически наиболее выгодное перераспределение свободных дырок между долинами и многодолинном полупроводнике (каким является GeTe) реализуется в случае ромбического искажения решетки. Для меньших концентраций дырок более предпочтительным является ромбоэдрически деформированное состояние кристалла. Зависимость характера искажения решетки от концентрации носителей заряда указывает на важность электронной подсистемы в структурной неустойчивости теллурида германия.

Рассмотренные классификации соединений  $A^{IV}B^{VI}$  указывают на сложный характер химической связи в этих соединениях, в основном - ионно-ковалентный. В работе [84] подчеркивалось, что "металлизация" связи при увеличении среднего атомного номера  $z$  [95] для соединений  $A^{IV}B^{VI}$ ,

проявляющаяся в уменьшении ширины запрещенной зоны и меньшей связанности валентных электронов, способствует стабилизации кубической структуры типа  $\text{NaCl}$ .

### I.3. Фазовые переходы в соединениях $\text{A}^{\text{IV}}\text{B}^{\text{VI}}$

Данные по фазовым переходам в соединениях  $\text{A}^{\text{IV}}\text{B}^{\text{VI}}$  под влиянием температуры обобщены в табл. I.6 [I06-I22]. Проблема структурной неустойчивости соединений  $\text{A}^{\text{IV}}\text{B}^{\text{VI}}$  нашла отражение в обзорах по фазовым переходам [34, 95, I20, I23] и др.

Как видно из табл. I.6, в соединениях  $\text{A}^{\text{IV}}\text{B}^{\text{VI}}$  реализуются три типа фазовых переходов. В халькогенидах германия происходит переход из ромбической структуры типа  $\text{SnS}$  в кубическую типа  $\text{NaCl}$  ( $\gamma \rightarrow \beta$ ). В сульфидах и селенидах олова наблюдается фазовый переход из ромбической структуры типа  $\text{SnS}$  в более симметричную ромбическую структуру типа  $\text{T1J}$  ( $\gamma \rightarrow \delta$ ). В теллуридах германия и олова происходит переход из низкотемпературной ромбоэдрической структуры в высокотемпературную кубическую типа  $\text{NaCl}$  ( $\alpha \rightarrow \beta$ ).

Фазовые переходы  $\gamma \rightarrow \beta$  в халькогенидах германия относятся к переходам первого рода, сопровождаются скачком объема (рис. I.13), скрытой теплотой фазового перехода (табл. I.6) и явлениями гистерезиса при нагреве и охлаждении. Согласно работе [I08], фазовый переход  $\gamma \rightarrow \beta$  связан с дегибридизацией химических связей при увеличении температуры. Относительно фазового перехода в  $\text{GeS}$  в литературе имеются противоречивые данные: переход  $\gamma \rightarrow \beta$  зафиксирован при изучении спектров комбинированного рассеяния [I06, I07] и при колориметрическом исследовании [I09], однако не был обнаружен при высокотемпературном рентгеновском исследовании [I09], вследствие, вероятно, его близости к температуре плавления. Из рис. I.13, где даны температурные зависимости периодов решетки  $\text{GeSe}$  и  $\gamma\text{-GeTe}$ , видно, что период  $\alpha$  уменьшается, а периоды  $\beta$  и  $\gamma$  растут с увеличением температуры, сравниваясь в кубической  $\beta$ -фазе. В работах [I4, 33, 35] предполагалось, что переход  $\gamma \rightarrow \beta$  в  $\gamma$ -теллуриде германия происходит через образование  $\alpha$ -фазы в качестве промежуточной. Данные высокотемпературного рентгеновского исследования [I24] показали, что фазовый переход происходит непосредственно в  $\beta$ -фазу через двухфазную область ( $\gamma + \beta$ ). Этот результат согласуется с выводом кристаллохимического анализа о том, что структура  $\gamma$ -фазы является производной от кубической структуры типа  $\text{NaCl}$  и получается ее растяжением вдоль одного из шести направлений  $\langle 110 \rangle$ .

На рис. I.14 представлены температурные зависимости параметров решетки сульфида (а) и селенида (б) олова, в которых при повышении температуры происходит фазовый переход от ромбической структуры типа  $\text{SnS}$  в ромбическую структуру типа  $\text{T1J}$  (Пространственная группа -  $D_{2h}^{17}$ ) [I14-I16]. Из рис. I.14 видно, что по мере увеличения температуры период "с" непрерывно растет, а периоды "а" и "в" приближаются друг к другу.

Т а б л и ц а 1.6

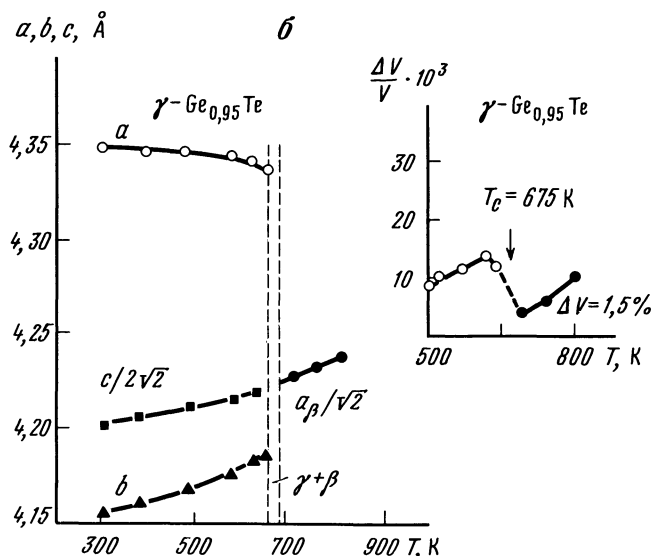
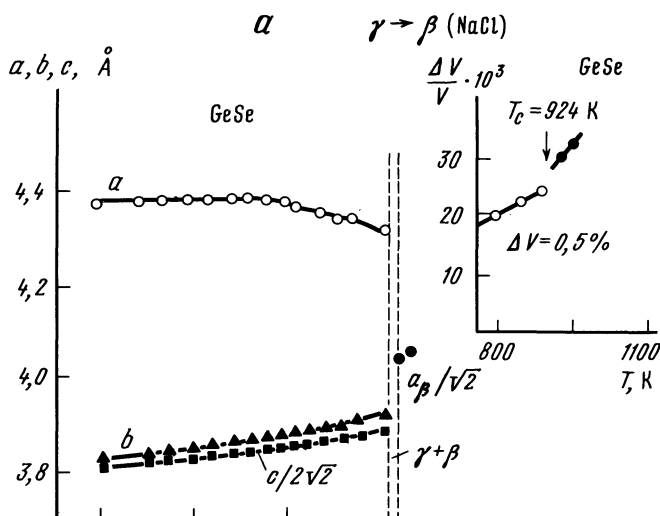
Фазовые переходы в соединениях А<sub>n</sub>В<sub>1-n</sub>

Соединение	Тип фазового перехода	$T_c$ , К	Периоды решетки высокотемпературной фазы, Å			Теплота перехода, кДж/моль	Энтропия перехода, Дж/(моль·К)	Метод исследования
			а	б	с			
I	2	3	4	5	6	7	8	9
GeS	$\gamma \rightarrow \delta$	$\gamma \rightarrow \delta$ / 106, 107	-	-	-	-	-	Spектр комбинационного рассеяния / 107 /
He обнаружен / 108 /	$\gamma \rightarrow \beta$	853	-	-	-	-	-	RFA / 108 /
$\gamma \rightarrow \beta$	852	-	-	-	-	-	-	
GeSe*	$\gamma \rightarrow \delta$	924	$5.73 \pm 0.0003$ (930 K)	-	-	-	-	RFA / 110 /
$\gamma \rightarrow \beta$	934	-	-	-	-	$3.3 \pm 1.2$	$3.6 \pm 1.2$	DTA / III /
$\gamma \rightarrow \beta$	893	-	-	-	-	-	-	Колориметрия / II2 /
$\gamma$ -Ge <sub>0.94</sub> Te	$\gamma \rightarrow \beta$	675	$5.982 \pm 0.0003$ (700 K)	-	-	-	-	DA, RFA / 29 /
$\gamma$ -Ge <sub>0.942</sub> Te	$\delta \rightarrow \beta$	671	-	-	-	$2.2 \pm 0.1$	$3.2 \pm 0.2$	DSC / 113 /
SnS	$\gamma \rightarrow \delta^{**}$ / 114, 116 /	878 875	$4.148 \pm 0.002$ $4.177 \pm 0.002$	$11.48 \pm 0.05$ $11.00 \pm 0.05$	-	0,67	0,7	RFA / 115 /
SnSe*	$\gamma \rightarrow \delta$	793	$4.310 \pm 0.006$ (825 K)	$4.318 \pm 0.004$ $11.705 \pm 0.007$	-	$1.6 \pm$	2,0	Колориметрия / 117 /
GeTe	$\alpha \rightarrow \beta$	700	$6.010 \pm 0.003$	-	-	-	-	Mикроколориметрия / 118 /
(p = 5,4 10 <sup>20</sup> см <sup>-3</sup> )								DA, RFA / 29, 119 /

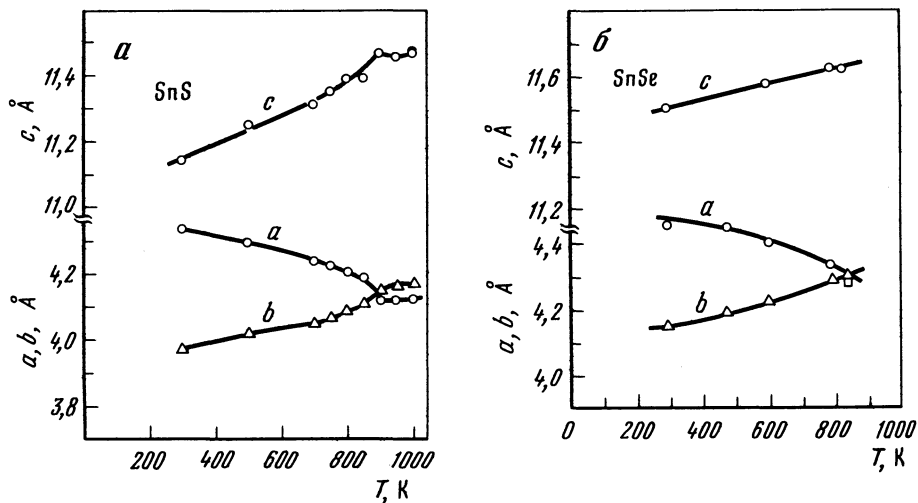
$(p = 10 \cdot 10^{20} \text{ cm}^{-3})$	$\text{GeTe}$	$d \rightarrow \beta$	659	-	-	-	-	$\rho_{\text{II9}} / \text{PFA} \leq 29 J$
$(p = 1 \cdot 10^{20} \text{ cm}^{-3})$	$\text{Ge}_{0,98}\text{Te}$	$d \rightarrow \beta$	689	-	-	$0,66 \pm 0,03$	$0,96 \pm 0,06$	$\rho_{\text{II3}} / \text{ДСК} \leq 113 J$
$(p = 7,7 \cdot 10^{20} \text{ cm}^{-3})$	$\text{SnTe}$	$d \rightarrow \beta$	98	-	-	-	-	$\rho = f(T) / 120 J$
$(p \sim 1 \cdot 10^{20} \text{ cm}^{-3})$	$\text{SnTe}$	$d \rightarrow \beta$	37	-	-	-	-	$\rho = f(T) / 120 J$
	$\text{SnTe}$	$d \rightarrow \beta$	70	$\alpha_R = 89,895^\circ$ (5 K)	-	-	-	$\rho_{\text{II1}} / \text{PFA} \leq 121 J$

\* На основе исследования спектров комбинационного рассеяния  $\rho_{\text{II22}}$  предполагается существование новых низкотемпературных фазовых переходов в GeSe, SnSe, при  $T = 120$  и  $50 K$  соответственно.

\*\*  $\sigma$  - фазы имеют структуру типа IIJ.



Р и с. I.13. Температурные зависимости периодов решетки и относительного изменения объема  $\Delta V/V$  моноселенида германия [110] - (а) и  $\delta\text{-Ge}_{0,95}\text{Te}$  [124] (б)



Р и с. I.I4. Температурные зависимости периодов решетки SnS (а) и SnSe (б) [I16]

При температуре фазового перехода происходит изменение осевых соотношений периодов  $a$  и  $b$  от  $a/b > 1$  при температурах ниже температуры фазового перехода к  $a/b < 1$  при  $T > T_c$ . При температуре фазового перехода отношение  $a/b$  равно 1. На рис. I.15 дана проекция структур высокотемпературной и низкотемпературной модификации SnS и SnSe вдоль направления  $\langle 010 \rangle$ . Межатомные расстояния  $A_1$ ,  $A_2$  и  $C_1$ ,  $C_2$ , различающиеся по величине в структуре низкотемпературной фазы, постепенно приближаются друг к другу с ростом температуры и сравниваются при  $T = T_c$ . В работах [I14-I16] структура типа  $\text{t}1\text{j}$  рассматривается как промежуточная между структурами типа SnS и NaCl, а фазовый переход в моносульфиде и моноселениде олова как переход типа смещения, близкий по своему характеру к фазовым переходам второго рода.

Третий тип фазовых переходов, который наблюдается в теллуридах германия и олова, это переходы сегнетоэлектрического типа [I25] из ромбоэдрической структуры в кубическую типа NaCl. Согласно работам [92, 95, I23] переход  $\alpha \rightarrow \beta$  связан с неустойчивостью ненасыщенных резонансных р-связей относительно межзонного электрон-фононного взаимодействия. Электрон-фононное взаимодействие приводит к уменьшению частоты колебаний длинноволнового поперечного оптического фона (TO-фона) в центре зоны Бриллюэна и к его "замерзанию" в точке фазового перехода, что находит отражение в смещении атомов из идеальных позиций в направлении оси  $\langle \text{III} \rangle$ , сопровождающемся деформацией куба в ромбоэдр (табл. I.3).

По ряду GeTe - SnTe - PbTe наблюдается стабилизация  $\beta$ -модификации по мере увеличения атомного номера элемента IV группы, что проявляется в понижении температуры фазового перехода  $\alpha \rightarrow \beta$ . По-видимому, это

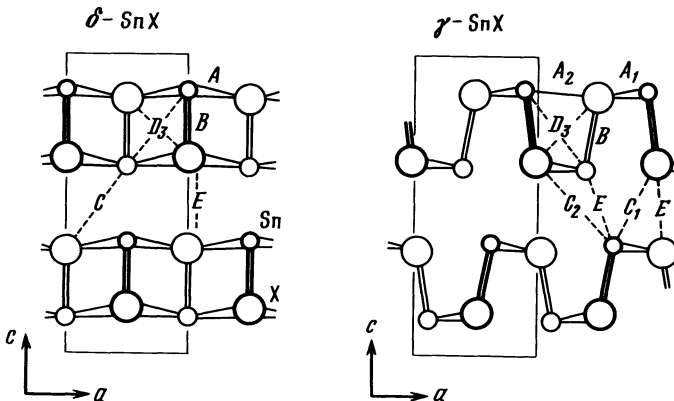


Рис. I.15. Проекция структур высокотемпературной  $\delta$ -модификации  $\text{SnS}$  и  $\text{SnSe}$  (структурный тип I13) и низкотемпературной  $\gamma$ -модификации (структурный тип I15) вдоль направления  $\langle 010 \rangle$  [I15]

связано с увеличением ионной и металлической составляющих химической связи в этом ряду, что приводит к уменьшению протяженности области существования ромбоэдрической  $\alpha$ -модификации при переходе от  $\text{GeTe}$  к  $\text{SnTe}$  и к полному ее исчезновению в  $\text{PbTe}$ . В теллуриде свинца, как и в теллуридах германия и олова, наблюдается уменьшение частоты колебаний ТО-фона ( $\omega^0$ ) при понижении температуры, однако фазовый переход не реализуется вплоть до 0 К. Экстраполяцией значений  $\omega^0$  к нулю получены условные значения  $T'_c$  для  $\text{PbTe}$  [95, 123, 126].

Существенное влияние на температуру фазового перехода  $\alpha \rightarrow \beta$  оказывает изменение концентрации носителей заряда в соединениях  $\text{A}_1\text{U}_2\text{V}_1$ , определяемой концентрацией собственных точечных дефектов в кристаллической решетке этих соединений. Температура фазового перехода  $\alpha \rightarrow \beta$  уменьшается с увеличением концентрации носителей заряда как в теллуриде германия, так и в теллуриде олова (табл. I.5). В работе [126] было показано, что значения  $T'_c$  для  $\text{PbTe}$  также зависят от концентрации носителей заряда и изменяются в широких пределах: от  $T'_c \approx (-30-50)$  К при  $p = (1/2) \cdot 10^{17} \text{ см}^{-3}$  до  $T'_c = (-135 - 150)$  К при более высоких концентрациях дырок —  $p \approx (3,5 \pm 8,0) \cdot 10^{18} \text{ см}^{-3}$ .

По данным работы [127] фазовый переход  $\alpha \rightarrow \beta$  в теллуриде германия относится к переходам первого рода. С помощью метода дифракции нейтронов проводилось исследование температурных зависимостей двух параметров порядка: величины  $\Delta\alpha_R = (90 - \alpha_R^0)$ , характеризующей отклонение угла ромбоэдричности от  $90^\circ$ , и параметра  $\Delta U = (1/4 - U)$ , характеризующего смещение подрешеток друг относительно друга. При температуре перехода наблюдалось скачкообразное уменьшение обоих параметров порядка, свидетельствующее о протекании фазового перехода первого рода. С помощью того же метода исследования было установлено, что фазовый переход  $\alpha \rightarrow \beta$

в теллуриде олова относится ко второму роду. В работе [I28] было показано, что в твердом растворе  $\text{Ge}_{1-x}\text{Sn}_x\text{Te}$  при  $X = 0,73$  существует трикритическая точка, в которой происходило изменение рода фазового перехода - от первого - в сплавах, богатых теллуридом германия, ко второму роду в сплавах, богатых теллуридом олова.

Данные по фазовым переходам в соединениях  $\text{A}^{\text{IV}}\text{B}^{\text{VI}}$ , происходящим при воздействии гидростатического давления, обобщены в табл. I.7 [I29-I34]. В моносульфидах и моноселенидах германия и олова фазовые переходы не были обнаружены вплоть до давления 34 ГПа [I33].

В работе [I30] при рентгенографическом исследовании  $\alpha$ -теллурида германия в условиях негидростатического сжатия был обнаружен фазовый переход  $\alpha \rightarrow \beta$  при  $P = 3,5$  ГПа и  $T = 300$  К. Этот переход не был подтвержден в работе [I29] при исследовании  $\text{GeTe}$  с концентрацией дырок  $p = 3,9 \cdot 10^{20} \text{ см}^{-3}$  в области температур 300-900 К в условиях истинно гидростатического давления до 9,3 ГПа. В работе [I29] построена Р-Т

Таблица I.7

Фазовые переходы в соединениях  $\text{A}^{\text{IV}}\text{B}^{\text{VI}}$  под влиянием давления (при 300 К)

Соединение	Тип структурного перехода	Давление в точке перехода, ГПа	Периоды решетки фазы высокого давления, Å			Литература
			a	b	c	
$\alpha\text{-GeTe}$	$\alpha \rightarrow \gamma$	8,95	-	-	-	[I29]
			4,45	4,03	10,95	[I30]
		закалка с 570 К и 8 ГПа				
$\text{SnTe}$	$\beta \rightarrow \gamma$	1,8	4,48	4,37	II,59 при 2,0 ГПа	[I31]
	$\gamma \rightarrow \epsilon$	25,0	-	-	-	[I32]
$\text{PbS}$	$\beta \rightarrow \gamma$	2,4	4,21	3,98	II,28 при 2,5 ГПа	[2]
	$\beta \rightarrow \delta$	2,2	-	-	-	[I33]
	$\gamma(\delta) \rightarrow \epsilon^*$	21,5	-	-	-	[I33]
$\text{PbSe}$	$\beta \rightarrow \gamma$	4,3	4,39	4,00	II,61 при 4,3 ГПа	[2]
	$\beta \rightarrow \delta$	4,5	-	-	-	[I33]
	$\gamma(\delta) \rightarrow \epsilon$	16,0	-	-	-	[I33]
$\text{PbTe}$	$\beta \rightarrow \gamma$	4,5	4,51	4,20	II,91 при 7,5 ГПа	[2]
	$\beta \rightarrow \gamma$	6,0	-	-	-	[I33]
	$\gamma \rightarrow \epsilon$	13,0	-	-	-	[I33]
	$\gamma \rightarrow \epsilon$	16,0	3,657	-	-	[I34]
		при 18,3 ГПа				

$\epsilon^*$  - фазы высокого давления со структурой типа  $\text{CsCl}$ .

диаграмма теллурида германия, на которой обнаружена тройная точка при  $P = 3,5$  ГПа и  $T = 573$  К, в которой в равновесии находятся три фазы -  $\alpha$ ,  $\beta$  и  $\gamma'$ . На основе данных рентгенографического исследования аморфных пленок GeTe после воздействия давления 8 ГПа и температуры 573 К [130] сделан вывод, что  $\gamma'$ -фаза высокого давления изоструктурна сульфиду и селениду германия.

Из табл. I.7 следует, что общую последовательность фазовых переходов при увеличении давления можно представить следующим образом: структурный тип  $\alpha\text{-GeTe} \rightarrow$  тип NaCl  $\rightarrow$  тип S<sub>n</sub>S (T1J)  $\rightarrow$  тип CsCl. Тот факт, что в  $\alpha\text{-GeTe}$  при комнатной температуре при наложении высокого давления происходит образование фазы со структурой типа S<sub>n</sub>S, минуя стадию  $\beta$ -фазы, по-видимому, связан с низкой степенью ионности, характерной для этого соединения [92]. Следует отметить, что для теллурида германия можно наблюдать последовательность фазовых переходов  $\alpha\text{-GeTe} \rightarrow$  NaCl  $\rightarrow$  S<sub>n</sub>S при увеличении давления при температурах выше тройной точки на Р-Т-диаграмме ( $573 < T < 700$  К), так как степень ионности в GeTe возрастает с повышением температуры.

В халькогенидах свинца и теллуриде олова при увеличении давления происходят два типа фазовых переходов первого рода: из кубической структуры типа NaCl в ромбическую типа S<sub>n</sub>S или T1J [133] и при дальнейшем увеличении давления из ромбической структуры в кубическую типа CsCl. Фазовый переход  $\beta \rightarrow \gamma$  объясняется исходя из концепции химической связи, развиваемой в работе [92]. Увеличение давления приводит к уменьшению межатомных расстояний в структурах халькогенидов свинца и к уменьшению величины энергии расщепления s- и p-состояний. При этом происходит рост степени  $\pi\text{-гибридизации}$  и ковалентности (увеличение величины  $\pi_{\text{pp}}^{-1}$  - рис. I.10, а), что, согласно [92], способствует стабилизации ромбической структуры. Так как величина  $\pi_{\text{pp}}^{-1}$  растет в ряду соединений PbTe  $\rightarrow$  PbSe  $\rightarrow$  PbS, давление, которое нужно приложить для реализации фазового перехода  $\beta \rightarrow \gamma$  уменьшается при переходе от PbTe к PbS (табл. I.7).

#### I.4. Термодинамические свойства соединений $A^{IV}B^{VI}$

Основные термодинамические характеристики соединений  $A^{IV}B^{VI}$  суммированы в табл. I.8 [136-155]. В работах [92, 99] проводился анализ стандартных теплот образования соединений  $A^{IV}B^{VI}$  на основе представлений о характере химической связи в этих соединениях. Отмечалось, что рост стандартной теплоты образования коррелирует с увеличением степени ионности соединений. Получено следующее соотношение между этими величинами [99]:

$$\Delta H_{298}^0 = \Delta H_o \cdot f_i^t / a_{cp}^3 = \Delta H_o \cdot f_i^t / V, \quad (I.5)$$

где  $f_i$  - степень ионности по Филлипсу [99],  $a_{cp}$  - среднее межатомное расстояние металла-халькоген в структурах соединений  $A^{IV}B^{VI}$ . Из линейной зависимости ( $V \cdot \Delta H_{298}^0$ ) от  $f_i$ , полученной в логарифмических координатах

Таблица I.8

Термодинамические свойства соединений Al<sub>2</sub>Be<sub>3</sub>

Соединение	Теплота образования, $-\Delta H_f^{\circ} \text{Дж/моль}$	Свободная энергия образования, $-\Delta H_f^{\circ} \text{Дж/моль}$	Энергия диссоциации (OK) $D_0$ , кДж/моль	Энтропия, $S_{298}^{\circ}$ , Дж/(моль К)	Теплоемкость Ср298, Дж/(моль К)	Температура плавления, К	Теплота плавления, кДж/моль
I	2	3	4	5	6	7	8
GeS	70,1 <sub>+6</sub> <sup>-7</sup>	70,97	718 <sub>+8</sub>	66,9 / 137 J	47,8 <sub>+0,2</sub>	931 <sub>+5</sub> / 8 J	23,4 <sub>+8</sub> / 138 J
	89,5 <sub>+10</sub> <sup>-11</sup> / 137 J	90,8	-	65,98 <sub>+0,8</sub> / 138 J	49,2 / 140 J	-	22,6 / 140 J
	76,1 <sub>+4</sub> <sup>-5</sup> / 139 J	-	-	-	-	-	-
GeSe	82,4 / 137 J	84,1	642 <sub>+16</sub>	78,3 <sub>+0,8</sub>	50,0 <sub>+0,2</sub>	948 <sub>+3</sub> / 2 J	22,8 <sub>+0,13</sub> / 112 J
	85 <sub>+10</sub> <sup>-11</sup> / 141 J	-	-	-	-	-	25,1 <sub>+15</sub> <sup>-16</sup> / 142 J
GeTe	32,6 <sub>+14</sub> <sup>-15</sup>	33,5	601 <sub>+16</sub>	83,7	49,8	997 / 2 J	47,3 <sub>+8</sub> / 144 J
	33,5 / 137 J	34,2 / 137 J	-	88,9 / 138 J	52,5 / 143 J	-	42,3 / 145 J
	48,5 <sub>+8</sub> <sup>-3</sup> / 138 J	-	-	-	-	-	39,4 / 146 J
SnS	110,2 <sub>+4</sub> <sup>-6</sup>	108,2	683 <sub>+5</sub>	77,0 <sub>+0,8</sub>	49,2 <sub>+0,16</sub>	1154,7 / 2 J 31,6 / 117 J	
	107,9 <sub>+2</sub> <sup>-3</sup> / 138 J	-	-	-	-	-	39,3 / 147 J
SnSe	94,5 <sub>+2</sub> <sup>-3</sup> / 148 J	96,2 <sub>+0,4</sub> <sup>-5</sup> / 148 J	-	86,2 / 149 J	45,5 / 138 J 1153,2 / 2 J 32,8 <sub>+1,5</sub> / 118 J		
	107,9 <sub>+2</sub> <sup>-3</sup>	-	-	-	53,2 <sub>+0,4</sub> <sup>-5</sup> / 118 J	-	31,6 / 138 J
SnTe	61,9 <sub>+2</sub> <sup>-3</sup> / 138 J	-	-	101,2 <sub>+4</sub> <sup>-5</sup> / 137 J	51,5 / 138 J 1079 <sub>+0,3</sub> <sup>-3</sup> / 2 J	45,7 <sub>+1,2</sub> <sup>-1</sup> / 150 J	
	58,7 <sub>+0,3</sub> <sup>-3</sup> / 150 J	59,9	-	-	-	-	33,9 <sub>+1,2</sub> <sup>-1</sup> / 151 J
	59,8 <sub>+1,7</sub> <sup>-1</sup> / 151 J	60,7 <sub>+4</sub> <sup>-4</sup>	-	-	-	-	32,2 <sub>+2,9</sub> <sup>-2</sup> / 152 J

Окончание табл. I.8

	1	2	3	4	5	6	7	8
<b>PbSe</b>	100,4 <sub>+</sub> 4 94,1 <sub>+</sub> 4 [ 137 ]	98,8 92,5 [ 137 ]	567 <sub>+</sub> 4 -	91,2 <sub>+</sub> 1,2 -	49,8 <sub>+</sub> 0,2 -	1113 / 2 / -	36,4 <sub>+</sub> 3,3 [ 153 ]	
	99,2	97,8	521,9	102,5 <sub>±</sub> 2	50,2 <sub>±</sub> 0,2	1353, <sub>7/2</sub> <sup>9+0,5</sup>	35,6 [ 153 ]	
<b>PbTe</b>	100 <sub>±</sub> 2 [ 138 ]	-	-	-	-	-	30,5 <sub>±</sub> 2 [ 152 ]	
	68,6 <sub>±</sub> 0,6	67,3	456 <sub>±</sub> 7	110,0 <sub>±</sub> 2	50,5 <sub>±</sub> 0,3	1197 <sub>2</sub> <sup>+0,5</sup>	46,9 [ 78 ]	
69,4 <sub>±</sub> 2 [ 137 ]								
68,5 <sub>±</sub> 0,2 [ 154 ]								
68,2								
68,34								
68,2								
68,34								

\* Термодинамические константы, для которых не указан литературный источник, взяты из справочника [ 136 ].

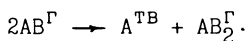
определенны значения  $\Delta H_0$  и показателя степени  $t$ :  $\Delta H_0 = 1,4 \cdot 10^4$  ( $\text{Дж} \cdot \text{моль}^{-1}$ ) и  $t = 3,0$ . Отмечено, что теллурид германия, характеризующийся наименьшей степенью ионности в рассматриваемой группе соединений, имеет аномально низкое значение ( $V \cdot \Delta H_{298}^0$ ).

В работе [92], где проведен расчет зонной структуры соединений  $\text{A}^{IV}\text{B}^{VI}$  методом псевдопотенциала, показано, что теплота образования этих соединений линейно растет при увеличении значений антисимметричной компоненты псевдопотенциала, являющейся мерой степени ионности соединений.

Анализ стандартных теплот образование соединений  $\text{A}^{IV}\text{B}^{VI}$  показывает, что  $\Delta H_{298}^0$  уменьшается при увеличении атомного номера аниона. При увеличении же атомного номера катиона в рядах  $\text{GeS} - \text{SnS} - \text{PbS}$ ,  $\text{GeSe} - \text{SnSe} - \text{PbSe}$  и  $\text{GeTe} - \text{SnTe} - \text{PbTe}$   $\Delta H_{298}^0$  изменяется немонотонно: стандартная теплота образования возрастает при переходе от  $\text{GeS}$  ( $\text{GeSe}$ ) к  $\text{SnS}$  ( $\text{SnSe}$ ), и уменьшается при переходе к  $\text{PbS}$  ( $\text{PbSe}$ ). Такая сложная зависимость теплоты образования от атомного номера металла, по-видимому, связана с явлением вторичной периодичности.

Из табл. I.8 следует, что существует значительный разброс литературных данных по теплотам плавления теллуридов германия, олова и свинца. Экспериментальные значения теплот плавления, полученные из анализа давления пара над расплавом этих соединений [144, 150, 154], превышают значения  $\Delta H_m$ , найденные при колориметрических исследованиях. Такое расхождение данных, по-видимому, связано с отклонением от стехиометрии в  $\text{GeTe}$ ,  $\text{SnTe}$ ,  $\text{PbTe}$ .

Данные по составу и давлению насыщенного пара над твердыми халькогенидами германия, олова и свинца обобщены в монографиях [4, II]. Результаты масс-спектрометрического исследования состава пара над твердыми соединениями  $\text{A}^{IV}\text{B}^{VI}$  приведены в табл. I.9. Вследствие высокой энергии диссоциации, соединения  $\text{A}^{IV}\text{B}^{VI}$  существуют в парах в основном в виде молекул  $\text{AB}$ . Как видно из табл. I.9, димеры  $\text{A}_2\text{B}_2$ , обнаруженные для халькогенидов олова, свинца и селенида германия, содержатся в паре в незначительном количестве. Для теллуридов германия и олова в паре обнаружено небольшое количество молекул типа  $\text{AB}_2$ , не образующихся в конденсированном состоянии. Присутствие в паре этих молекул свидетельствует о протекании следующей реакции:



Халькогениды германия сублимируются инконгруэнтно, о чем свидетельствует появление в остатках от сублимации металлического германия, а в паре молекул типа  $\text{AB}_2$  и  $\text{B}_2$ . В системе  $\text{Ge} - \text{Te}$  в области составов  $\text{Ge-GeTe}$  пар состоит в основном из молекул  $\text{GeTe}$ , в связи с чем процесс сублимации рассматривается как квазиконгруэнтный [4]. Моноселенид и теллурид олова сублимируется инконгруэнтно, но так как пар в основном состоит из молекул  $\text{SnSe}$  и  $\text{SnTe}$ , а количество олова, выделяющееся в процессе сублимации, незначительно (например, менее 0,3 мас.%) при сублимации 95 %

Таблица I.9

Данные о характере сублимации и составе насыщенного пара над твердыми соединениями А'УВИ [4, II-7]

Соединение	Характер сублимации	Интервал температур, К	Относительное содержание газообразных молекул			Частицы, обнаруженные в малых количествах
			AB	A <sub>2</sub> B <sub>2</sub>	AB <sub>2</sub>	
GeS	Инконгруэнтный	1420-1730	I	-	-	GeS <sub>2</sub>
GeSe	Инконгруэнтный	647-831	I	3,7·10 <sup>-3</sup>	5,6·10 <sup>-4</sup>	-
GeTe	Квазиконгруэнтный	788-870	I	-	1,6·10 <sup>-2</sup>	Se <sub>2</sub> ; Ge <sub>2</sub> Se <sub>3</sub>
		873-1123	I	-	3·10 <sup>-3</sup>	Ge <sub>n</sub> Te <sub>n</sub>
SnS	Инконгруэнтный	835-1005	I	4·10 <sup>-2</sup>	-	1·10 <sup>-2</sup>
SnSe	Квазиконгруэнтный	937-979	I	4·10 <sup>-3</sup>	-	1·10 <sup>-4</sup>
SnTe	Квазиконгруэнтный	981-990	I	7·10 <sup>-3</sup>	3·10 <sup>-3</sup>	<1·10 <sup>-2</sup>
PbS	Конгруэнтный с избытком свинца	995-1100	I	6·10 <sup>-3</sup>	-	2·10 <sup>-2</sup>
PbSe	Конгруэнтный с избытком свинца	1180	I	1,25·10 <sup>-3</sup>	4,9·10 <sup>-4</sup>	5,9·10 <sup>-3</sup>
PbTe	Конгруэнтный с избытком теллура	812-1067	I	1,6·10 <sup>-3</sup>	3,8·10 <sup>-3</sup>	1·10 <sup>-2</sup>
						Pb, Pb <sub>3</sub> Se <sub>2</sub>
						Pb, Pb <sub>3</sub> Te <sub>2</sub> , Pb <sub>2</sub> Te

образца  $\text{SnTe}$ ), сублимацию этих соединений также можно рассматривать как квазиконгруэнтную. Конгруэнтно сублимирующийся состав для сульфида и селенида свинца содержит избыток свинца. Это означает, что кристаллы или пленки этих соединений, полученные методом сублимации, всегда будут иметь проводимость  $n$ -типа. Конгруэнтно-сублимирующийся теллурид свинца содержит некоторый избыток теллура и обладает дырочным типом проводимости [4].

В табл. I.10 представлены данные измерения давления насыщенного пара твердых халькогенидов германия, олова и свинца. В таблице приведены также теплоты сублимации, рассчитанные с применением П и Ш законов термодинамики. Анализ данных таблицы I.10 показывает, что летучесть в группе сульфидов-аналогов уменьшается с увеличением атомного номера элемента. Это объясняется тем, что сульфиды более легких элементов имеют кристаллическую структуру с более четко выраженным молекулярными формами [II]. Так, если сульфид свинца кристаллизуется в изотропной структуре типа  $\text{NaCl}$ , то сульфиды олова и германия имеют слоистую решетку, строение которой близко к строению черного фосфора. Сравнивая летучесть сульфидов с летучестью селенидов и теллуридов того же элемента, можно отметить, что она уменьшается при замене серы на селен и далее на теллур.

В последнее десятилетие появились многочисленные публикации, посвященные исследованию высокотемпературной теплоемкости соединений  $\text{A}^{\text{IV}}\text{B}^{\text{VI}}$  с помощью различных методов: методом смешения в массивном колориметре

Таблица I.10

Давление насыщенного пара над твердыми соединениями  $\text{A}^{\text{IV}}\text{B}^{\text{VI}}$

Соединение	Интервал температур, К	Коэффициенты уравнения $\lg p(\text{атм}) = -A/T + B$		$\Delta H_{298}^0 \text{субл.}, \text{кДж/моль}$		Литература
		A	B	По П закону	по Ш закону	
$\text{GeS}$	827-930	7980	7,63	164,4 $\pm$ 8	167,8 $\pm$ 2	[4]
$\text{GeSe}$	601-796	8582	8,06	170,7 $\pm$ 6	170,3 $\pm$ 4	[II]
				175 $\pm$ 4 [141]		
$\text{GeTe}$	729-872	9851	7,78	197,4 $\pm$ 3,4	203,1 $\pm$ 0,5	[25]
$\text{SnS}$	890-I084	I060I	7,35	228,4	221,8 $\pm$ 1,7	[II]
	975-II43	I0963	7,64 [147]			
$\text{SnSe}$	789-975	I0690	7,50	213,8 $\pm$ 4	215,0 $\pm$ 4	[II]
$\text{SnTe}$	820-933	II2II	7,67	223,8 $\pm$ 6	223,0 $\pm$ 6	[II]
	800-I026	II360	7,78	228,0 $\pm$ 4	222,3 $\pm$ 0,8	[25]
$\text{PbS}$	877-I020	II570	7,60	233,5 $\pm$ 4	233,5 $\pm$ 1,7	[II]
$\text{PbSe}$	936-I016	II650	7,72	233,5 $\pm$ 6	227,6 $\pm$ 4	[II]
$\text{PbTe}$	882-972	III40	7,47	223,4 $\pm$ 1,7	224,2 $\pm$ 2,9	[II]
	802-I017	II294	7,58	226,4 $\pm$ 4	225 $\pm$ 0,5	[25]

с изотермической оболочкой [I09, II2, I45]; с использованием высокотемпературного микроколориметра Кальве [II8, I46]; методом дифференциальной сканирующей колориметрии [I56] и др. Результаты исследований температурной зависимости теплоемкости представлены в табл. I.II.

Т а б л и ц а I.II

Теплоемкость соединений  $A^{IY}B^{VI} C_p = a + bT + cT^{-2}$  Дж/(моль·К)

Соединение	$a$	$b \cdot 10^2$	$c \cdot 10^{-5}$	Интервал температур, К	Литера-тура
GeS	46,5	I,49	-2,01	220-510	[I56]
	49,96	-3,6	+5,55	298-852	[I09]
GeSe	50,2	0,96	-1,87	220-610	[I56]
GeTe	45,9	2,22	-	220-460	[I56]
SnS	(γ) 35,69	3,13	+3,76	298-875	[I53]
	(δ) 40,92	I,56	-	875-II54	[I53]
SnSe	(γ) 53,25	-	-	375-762	[II8]
	(δ) 51,79	-	-	839-II35	[II8]
SnTe	46,23	I,34	-	298-I079	[I25]
PbS	44,6	I,64	-	298-900	[I53]
PbSe	47,24	I,0	-	298-I300	[I38]
PbTe	47,19	I,125	-	298-II97	[I38]

### I.5. Основные физические свойства соединений $A^{IY}B^{VI}$

Значение ширины запрещенной зоны ( $E_g$ ), ее температурных коэффициентов, а также некоторые другие параметры соединений  $A^{IY}B^{VI}$  представлены в табл. I.I2 [I56-I65]. Из табл. I.I2 следует, что существует четкая корреляция между значениями ширины запрещенной зоны и типом кристаллической структуры этих соединений. Наиболее высокие значения  $E_g$  характерны для соединений с ромбической структурой с преобладающим ковалентным характером связи. В работе [92] отмечалось, что увеличение степени sp-гибридизации и ковалентности связи (рост  $\gamma^{-1}$  на рис. I.I0,a) в ряду соединений с ромбической структурой SnSe-GeSe-SnS-GeS коррелирует с увеличением ширины запрещенной зоны.  $\alpha$ -GeTe, характеризующийся наименьшей степенью ионности среди рассматриваемой группы соединений, обладает и наименьшим значением  $E_g$ . Сравнение  $\alpha$ -GeTe с изоструктурными ему элементами V группы Периодической системы показывает, что переход от полуметаллического поведения, характерного для висмута, сурьмы и

Таблица I.12

Основные параметры соединений Al<sub>2</sub>Si<sub>3</sub>

Свойство	GeS	GeSe	GeTe	SnS	SnSe	SnTe	PbS	PbSe	PbTe
I	2	3	4	5	6	7	8	9	10
Макротермистическая температура Дебая, $\theta_D$ , K	360(220 K) $\sqrt{156 J}$	280(220 K) $\sqrt{156 J}$	200(220 K) $\sqrt{156 J}$	270(80 K) $\sqrt{159 J}$	210(80 K) $\sqrt{159 J}$	140 / 2,7	149(20 K)	144(20 K)	127(20 K)
Коэффициент теплового расширения, $\alpha \cdot 10^6 \text{ K}^{-1}$	II, 6 $\sqrt{161 J}$ 300 K	II, 8 $\sqrt{15,0}$	$\alpha = 12,0$ $\delta = 15,0$	14, I	16, 9	20, 8	20, 3	19, 4	19, 8
Плотность, $\text{г/см}^3$	4,012 $\sqrt{2 J}$	$5,52 \pm 0,03$	$6,19 \pm 0,01$	5,08	6,179	$6,45 \pm 0,01$	$7,6068 \pm 0,0004$	$8,15 \pm 0,07$	8,16
Упругие постоянные (300 K) $\sqrt{162 J}$	-	-	-	-	-	$10,43 \pm 0,02$	$12,61 \pm 0,02$	$11,78 \pm 0,01$	$10,53 \pm 0,02$
$C_{11} \cdot 10^{-10}$ , Н/м <sup>2</sup>	-	-	-	-	-	$0,178 \pm 0,03$	$1,62 \pm 0,03$	$1,39 \pm 0,02$	$0,70 \pm 0,02$
$C_{12} \cdot 10^{-10}$	-	-	-	-	-	-	$1,133 \pm 0,001$	$1,55 \pm 0,01$	$1,322 \pm 0,001$
$C_{44} \cdot 10^{-10}$	-	-	-	-	-	-	-	-	-
Диэлектрическая постоянная $\sqrt{2 J}$	-	-	40	-	-	1770	175	250	400
$\epsilon_\infty$	-	-	37, 5	19, 5	-	45	17	24	33
Ширина запрещенной зоны $E_g$ , эВ (300 K) $\sqrt{2 J}$	I, 8	I, 16	0, I	1, 08	0, 9	0, 18	0, 41	0, 29	0, 32

Окончание табл. I.I2

	1	2	3	4	5	6	7	8	9	10
Температурный коэффициент, $E_q$ , $\frac{dE}{dT} \cdot 10^4$ , $\text{эВ/К} / \text{К}^2$	-4,8	-	-3,4	-4,8	-	-	-4,0	+4,0	+4,4	+4,3
Собственная концентрация носителей при $300 \text{ K}$ , $n_i$ , $\text{см}^{-3}$	$10^{12} / \text{см}^3$	$10^{16} / \text{см}^3$	$10^{13} / \text{см}^3$	$10^{14} / \text{см}^3$	$10^{14} / \text{см}^3$	$10^{16} / \text{см}^3$	$10^{15} / \text{см}^3$	$2 \cdot 10^{15} / \text{см}^3$	$3 \cdot 10^{16} / \text{см}^3$	$1 \cdot 10^{16} / \text{см}^3$
Наблюдаемая концен-тация носителей тока, $n$ , $\text{см}^{-3}$	$1,5 \cdot 10^{17} / \text{см}^3$	$3,3 \cdot 10^{20} / \text{см}^3$	$1,0 \cdot 10^{18} / \text{см}^3$	$1,3 \cdot 10^{17} / \text{см}^3$	$2,0 \cdot 10^{20} / \text{см}^3$	$n = 19$				
	$-8 \cdot 10^{17} / \text{см}^3$	$-1,8 \cdot 10^{21} / \text{см}^3$	$3,0 \cdot 10^{18} / \text{см}^3$	$2,0 \cdot 10^{18} / \text{см}^3$	$1,5 \cdot 10^{21} / \text{см}^3$	$2,4 \cdot 10^{19} / \text{см}^3$	$2,3 \cdot 10^{19} / \text{см}^3$	$3 \cdot 10^{19} / \text{см}^3$	$3 \cdot 10^{19} / \text{см}^3$	$3 \cdot 10^{19} / \text{см}^3$
	$-7,2 \cdot 10^{17} / \text{см}^3$	$-7,2 \cdot 10^{21} / \text{см}^3$	$7,2 \cdot 10^{18} / \text{см}^3$	$7,2 \cdot 10^{18} / \text{см}^3$	$7,2 \cdot 10^{21} / \text{см}^3$	$7,68 \cdot 10^{19} / \text{см}^3$	$7,68 \cdot 10^{19} / \text{см}^3$	$7,68 \cdot 10^{19} / \text{см}^3$	$7,68 \cdot 10^{19} / \text{см}^3$	$7,68 \cdot 10^{19} / \text{см}^3$
						$P = 1 \cdot 10^{19} / \text{см}^3$	$P = 2 \cdot 10^{19} / \text{см}^3$	$P = 2 \cdot 10^{20} / \text{см}^3$	$P = 2 \cdot 10^{20} / \text{см}^3$	$P = 2 \cdot 10^{20} / \text{см}^3$

$\alpha$ -мышьяка, к полупроводниковому в теллуриде германия связан с появлением ионной составляющей связи вследствие неэквивалентности атомов, образующих соединение [96]. Как видно из табл. I.12, соединения с кубической структурой типа  $\text{NaCl}$  по величине ширины запрещенной зоны занимают промежуточное положение между соединениями с ромбической и ромбоэдрической структурами.

Хотя ромбическая и ромбоэдрическая решетки рассматриваются как производные от кубической структуры и могут быть получены ее незначительной деформацией, между физическими свойствами соединений с кубической структурой, с одной стороны, и соединениями с искаженной структурой, с другой, существует заметное различие. В соответствии с кристаллической структурой сульфидов и селенидов германия и олова, которая является слоистой с плоскостями спайности, перпендикулярными к оси  $c$ , наблюдалась резкая анизотропия свойств в зависимости от направления измерения. Так, электропроводность  $\text{SnS}$  при комнатной температуре в направлении оси  $c$  была в шесть раз меньше, чем в направлении, перпендикулярном к оси  $c$  [38]. Для холловской подвижности наблюдались следующие соотношения:  $\mu_b/\mu_c = 5,5$  и  $\mu_b/\mu_a = 1,15$ , где  $\mu_c, \mu_a, \mu_b$  – подвижности в направлении оси  $c$ ,  $a$  и  $b$  соответственно. Эффективная масса носителей заряда в плоскости, перпендикулярной оси  $c$ , в основном изотропна и имеет значения:  $m_a^* \approx m_b^* \approx 0,20m_0$ . Эффективная масса в направлении, параллельном оси  $c$ , гораздо больше и оценивается как  $m_c^* \approx 1,0 m_0$ . Из этих данных сделан вывод, что основной причиной анизотропии подвижности носителей заряда является анизотропия эффективных масс [38].

Для селенида олова, так же, как и для сульфида олова, характерна анизотропия электрофизических свойств. Удельное электросопротивление в направлении оси  $c$  примерно в 5 раз выше, чем в перпендикулярном направлении, а холловская подвижность носителей заряда примерно в 4 раза меньше в этом направлении, чем в перпендикулярном [166].

Анизотропия физических свойств характерна и для соединений с ромбоэдрической структурой. Исследование электросопротивления, эффекта Холла и коэффициента термоЭДС монокристаллов  $\alpha\text{GeTe}$ , измеренных в направлении тригональной оси и в перпендикулярном к ней направлении показало, что для кристалла характерна заметная анизотропия электрофизических свойств [167]. Так, электросопротивление при 4,2 К в направлении оси <III> было в два раза больше, чем в перпендикулярном к ней направлении.

Данные об электрофизических свойствах соединений  $\text{Al}_{IV}\text{B}_{VI}$  обобщены в монографиях [2, 34, 168, 169] и обзорах [91, 163].

В табл. I.12 представлены температуры Дебая, являющиеся важной характеристикой силы межатомного взаимодействия в твердом теле. Наибольшее значение температуры Дебая характерны для соединений с ромбической структурой, причем  $\Theta_D$  уменьшается при увеличении атомного номера халькогена при переходе от  $\text{GeS}$  к  $\text{GeSe}$  (от  $\text{SnS}$  к  $\text{SnSe}$ ), а также при увеличении атомного номера металла ( $\text{GeS} \rightarrow \text{SnS}$ ) или ( $\text{GeSe} \rightarrow \text{SnSe}$ ).

Для теллурида германия отмечалась существенная зависимость температуры Дебая как от температуры, так и от концентрации нестехиометрических вакансий германия [158]. В работе [158], где проведен анализ имеющихся в литературе данных по температуре Дебая теллурида германия, показано, что высокотемпературные ( $T > 40$  К) значения  $\theta_D^C$ , определенные из измерений теплоемкости, не зависят от концентрации вакансий германия и составляют порядка 200 К. Низкотемпературные же значения  $\theta_D^C$  и  $\theta_D^P$  (полученные в работе [158] из измерений электросопротивления в интервале температур 4,2–300 К) существенно зависят от концентрации вакансий германия: величина  $\theta_D^P$  уменьшалась от 170 до 100 К при увеличении концентрации вакансий от  $3 \cdot 10^{20}$  до  $1,1 \cdot 10^{21} \text{ см}^{-3}$ . Зависимость  $\theta_D$  от степени отклонения от стехиометрии в области низких температур объяснена в работе [158] вкладом в фононный спектр кристаллов  $\alpha\text{-GeTe}$  низкочастотной колебательной моды, которая связана с присутствием большого числа вакансий германия, приводящих к ослаблению силовых постоянных кристаллов. При высоких температурах низкочастотная резонансная мода практически не оказывает влияния на поведение термодинамических характеристик вещества и  $\theta_D$  не зависит от концентрации нестехиометрических дефектов.

Температура Дебая связана с температурой плавления и коэффициентом теплового расширения уравнениями Линдеманна и Сироты [170] соответственно:

$$\theta_D^L = K_L (T_{\text{пл}}/AV^{2/3})^{1/2}, \quad (1.6)$$

где  $K_L$  – константа Линдеманна,  $T_{\text{пл}}$  – температура плавления,  $A$  – средний атомный вес,  $V$  – атомный объем,

$$\theta_D^P = A/(AV^{2/3}\alpha)^{1/2}, \quad (1.7)$$

где  $A$  – константа Сироты,  $\alpha$  – линейный коэффициент теплового расширения. В работе [171] было показано, что константа Линдеманна (а следовательно и величина  $A$  в уравнении 1.7) не является универсальной постоянной для всех веществ и сильно зависит от характера химической связи в различных группах полупроводниковых соединений. Анализ применимости уравнений Линдеманна и Сироты к группе соединений  $A^{IV}B^{VI}$ , проведенный в работе [172], показал, что различие в характере химической связи в соединениях, принадлежащих к описанным выше структурным типам, определяет различие в значениях  $K_L$  и  $A$  для каждой из трех групп соединений. Так, константа Линдеманна для соединений с кубической структурой типа  $\text{NaCl}$  равна  $K_L = 123$ , а для соединений с искаженной структурой –  $K_L = 198$ . Уравнение Сироты хорошо выполняется для соединений  $A^{IV}B^{VI}$  в пределах каждой структурной группы с величинами константы  $A$ , равными 19,07; 20,65 и 17,83 для соединений с кубической, ромбической и ромбоэдрической решетками соответственно. На основе уравнения Сироты с использованием значения  $A = 20,65$  была оценена температура Дебая  $\gamma$ -теллурида германия, которая оказалась равной  $\theta_D^A = 210$  К. Полученное зна-

чение хорошо укладывается в общую закономерность изменения температуры Дебая с атомным номером халькогена в ряду изоструктурных соединений - GeS - GeSe -  $\gamma$ -GeTe.

#### I.6. Особенности образования твердых растворов на основе соединений $A^{IV}B^{VI}$

Из приведенного выше анализа физико-химических особенностей соединений  $A^{IV}B^{VI}$  можно сделать вывод, что пределы растворимости этих соединений друг в друге определяются различием кристаллического строения и характера химической связи в соединениях  $A^{IV}B^{VI}$ ; полиморфизмом компонентов; отклонением от стехиометрии, а также влиянием размерного фактора - различия в межатомных расстояниях металл - халькоген в структурах соединений. На рис. I.16 представлена обобщенная диаграмма пределов взаимной растворимости соединений  $A^{IV}B^{VI}$  и границ устойчивости структурных типов NaCl, SnS и  $\alpha$ -As (при нормальном давлении) в системах  $A^{IV}B^{VI}$  -

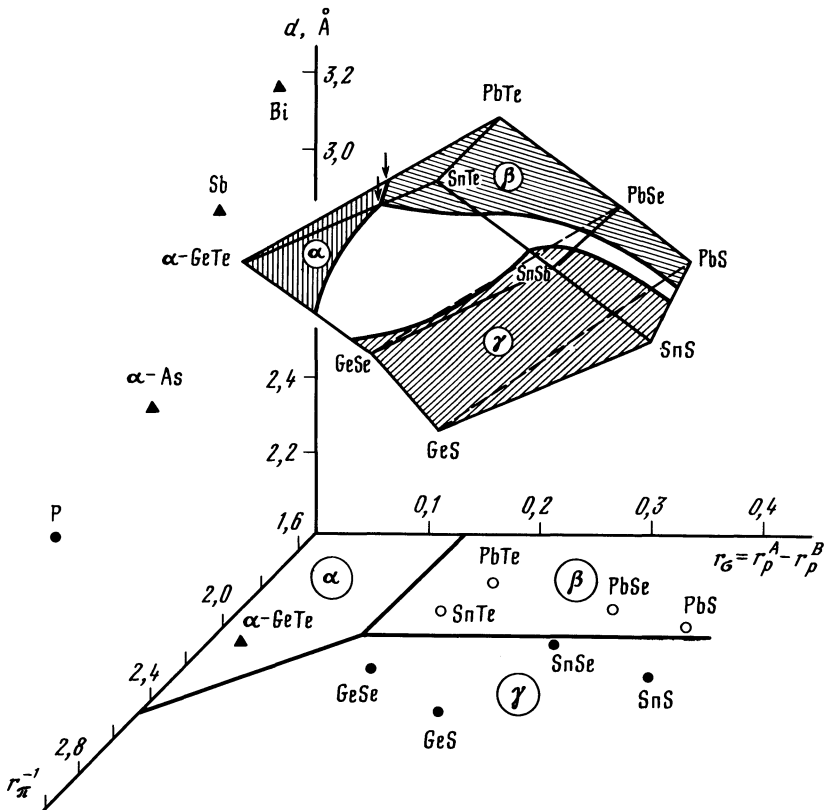


Рис. I.16. Обобщенная диаграмма пределов взаимной растворимости соединений  $A^{IV}B^{VI}$  в зависимости от характера химической связи в концепции Литтлвуда [92] (рис. I.10, а) и межатомных расстояний ( $d_{cp}$ ) в структурах этих соединений

$\text{A}^{\text{IV}}\text{B}^{\text{VI}}$  [174]. Диаграмма построена на основе данных [2] для соединений  $\text{A}^{\text{I}}\text{B}^{\text{VII}}$ , близких к стехиометрии, а для теллурида германия - для его  $\alpha$ -модификации. По осям координат отложены комбинации орбитальных радиусов -  $r_g$  и  $r_{g^{-1}}$ , рост которых коррелируется с увеличением степени ионности и ковалентности соответственно [92], а также межатомные расстояния металлов - халькоген. Для искаженных структур рассчитывались усредненные межатомные расстояния, характерные для гипотетической ячейки типа  $\text{NaCl}$  равного объема с ромбической или ромбоэдрической элементарной ячейкой -  $d_{\text{cp}} = V_{\text{э.я}}^{1/3}/2$ , где  $V_{\text{э.я}}$  - объем ромбической или ромбоэдрической ячейки. Сплошными линиями на рис. I.16 показаны системы, в которых существует непрерывный ряд твердых растворов. Неограниченная растворимость (при температурах, близких к солидусу) наблюдается, как правило, в системах, образованных изоструктурными соединениями, которые близки по характеру химической связи. В пределах одной структурной группы устойчивость твердых растворов падает по мере увеличения различия в межатомных расстояниях, что видно на примере систем  $\text{PbSe}$  -  $\text{PbS}$ ,  $\text{PbTe}$  -  $\text{PbSe}$  и  $\text{PbTe}$  -  $\text{PbS}$ . По мере увеличения размерного фактора  $\Delta d/d$  в указанных системах наблюдается рост критической температуры на бинодальной кривой при переходе от системы  $\text{PbSe}$  -  $\text{PbS}$  к системе  $\text{PbTe}$  -  $\text{PbS}$ .

В системах, образованных соединениями со структурой типа  $\text{NaCl}$  и  $\text{SnS}$ , наблюдается ограниченная растворимость компонентов друг в друге. В этих системах наблюдаются несимметричные области твердых растворов: протяженность областей  $\beta$ -твердых растворов с кубической структурой типа  $\text{NaCl}$ , как правило, больше, чем протяженность  $\gamma$ -твердых растворов с ромбической структурой типа  $\text{SnS}$ . Этот вывод согласуется с кристаллохимической теорией изоморфной смесимости [173], согласно которой более широкие области твердых растворов ожидаются на основе более ионных соединений, чем на основе более ковалентных. В рассматриваемых системах халькогениды свинца характеризуются большей степенью ионности связи по сравнению с сульфидами и селенидами германия и олова и на их основе наблюдаются более широкие области твердых растворов. Кристаллохимический анализ  $\gamma$ -твердых растворов показал, что степень искажения ромбической решетки уменьшается при увеличении растворимости халькогенидов свинца и теллурида олова в сульфидах и селенидах германия и олова. Эту тенденцию к уменьшению степени искажения ромбической решетки можно объяснить в концепции химической связи, развиваемой в работе [92], уменьшением степени  $\sigma$ -гибридизации в связи с увеличением межатомных расстояний при растворении соединений  $\text{A}^{\text{I}}\text{B}^{\text{VI}}$  с кубической структурой в соединениях с ромбической структурой.

В системах, образованных теллуридом германия с теллуридами олова и свинца, селенидом свинца, существует непрерывный переход из ромбоэдрической структуры в кубическую типа  $\text{NaCl}$  ( $\alpha \rightarrow \beta$ ) [175-177]. Этот переход наблюдался при увеличении содержания  $\text{SnTe}$ ,  $\text{PbTe}$ ,  $\text{PbSe}$  в сплавах твердых растворов, закаленных из области существования высокотемператур-

ной  $\beta$ -фазы, где существует непрерывный ряд твердых растворов. Так как  $\beta$ -GeTe не закаливается, при закалке из области существования  $\beta$ -фазы образуется ромбоэдрическая  $\alpha$ -модификация, устойчивость которой, а также степень ее ромбоэдрического искажения уменьшается по мере увеличения содержания соединений  $A^{IV}B^{VI}$  с кубической структурой. При содержании 68, 60 и 70 мол.% SnTe, PbTe и PbSe соответственно угол ромбоэдричности становится равным  $90^\circ$  и происходит превращение  $\alpha \rightarrow \beta$  (на рис. I.16 показано стрелками). Стабилизации  $\beta$ -фазы при увеличении содержания халькогенидов свинца и теллурида олова в рассмотренных системах способствует рост ионной составляющей связи, которая увеличивается в ряду GeTe  $\rightarrow$  SnTe  $\rightarrow$  PbTe  $\rightarrow$  PbSe, а также увеличение "среднего" размера катиона при замещении атомов германия атомами свинца (или олова) большего размера.

Как показано в разделе I.I, все соединения  $A^{IV}B^{VI}$  характеризуются отклонением от стехиометрии и наличием двусторонних (халькогениды свинца) или односторонних (халькогениды германия и олова) областей гомогенности. В связи с этим системы на основе этих соединений следует считать неквазибинарными. Однако, в связи с незначительной степенью отклонения от стехиометрии в большинстве соединений, отклонения от квазибинарности в системах на их основе не удается зафиксировать с помощью методов физико-химического анализа и в пределах чувствительности этих методов указанные системы можно рассматривать как квазибинарные. Исключение составляют теллуриды германия и олова, для которых смещение максимума на кривой ликвидуса достаточно велико (50,6 и 50,4 ат.% Te соответственно [19, 47]). В связи с этим в теллуридах германия и олова стехиометрического состава всегда содержатся включения второй фазы – германия и олова, которые фиксируются при металлографическом исследовании [23, 48]. Обобщенные в данной монографии диаграммы состояния систем на основе теллуридов германия и олова были построены авторами в следующих трех вариантах: 1) без анализа влияния отклонения от стехиометрии на характер фазовых равновесий (что дает весьма приблизительную их трактовку), 2) с учетом отклонения от стехиометрии, 3) с использованием в качестве компонентов соединений, отвечающих по составу максимуму на кривой ликвидуса, что позволяет избежать протекания реакций, приводящих к выделению германия или олова.

### Литература

- Хансен М.К., Андерко К. Структура двойных сплавов. В 2 т. М.: Металлургия. 1962. Т. I. 560 с.
- Абрикосов Н.Х., Шелимова Л.Е. Полупроводниковые материалы на основе соединений  $A^{IV}B^{VI}$ . М.: Наука, 1975. 195 с.
- Brebrick R.F. // J. Chem. Phys. 1968. Vol. 49, N 6. P. 2584-2592.
- Зломанов В.П., Новоселова А.В. Р-Т-х-Диаграммы состояния систем металл-халькоген. М.: Наука, 1987. 208 с.
- Один И.Н., Иванов В.А. // IV Всесоюз. конф. "Термодинамика и материаловедение полупроводников": Тез. докл. М., 1989. С. 127-128.

6. Ploog K., Stetter W., Nowitzki A., Schönherr E. // Mater. Res. Bull. 1976. Vol. 11, № 1. P. 1147-1153.
7. Exsteen G., Drowart J., Van der Auwera-Mohieu // J.Phys. Chem. 1967. Vol. 71, № 12. P. 4130-4131.
8. Viane W., Moh G. // Neues Jahrb. Mineral. Monatsh. 1970. N 6. P. 283-285.
9. Dittmar G., Schäfer H. // Acta Crystallogr. 1976. Vol.B 32, N 4. P. 1188-1192.
10. Rubenstein M., Roland G. // Acta Crystallogr. 1971. Vol B 27, N 2. P. 505-506.
- II. Новоселова А.В., Пашкина А.С. Давление пара летучих халькогенидов металлов. М.: Наука, 1978. 112 с.
12. Карбанов С.Г., Зломанов В.П., Новоселова А.В. // Вестн. МГУ. Сер.2, Химия. 1968. № 3. С. 96-98.
13. Ipsér H., Gambino M., Schuster W.// Monatsh. Chem. 1982. Vol. 113, N 4. P. 389-398.
14. Novoselova A.V., Zlomanov V.P., Karbanov S.G. et al. // Prog. Solid State Chem. 1972. Vol. 7. P. 85-116.
15. Виноградова Г.З. Стеклообразование и фазовые равновесия в халькоген-идных системах. М.: Наука, 1984. 176 с.
16. Блецикан Д.И., Герасименко В.С., Сичка М.Ю. // Кристаллография. 1979. Т. 24, № 1. С. 83-89. —
17. Карбанов С.Г., Карабанова М.И., Пашичкин А.С. и др. // Изв. АН СССР. Неорган. материалы. 1971. Т. 7, № II. С. I9I4-I9I7.
18. Klemm W., Frischmuth G. // Z. Anorg. und allg. Chem. 1934. Bd. 218, N 3. S. 249-251.
19. McHugh J.P., Tiller W.A. // Trans. Metallurg. Soc. AIME. 1960. Vol. 218, N 1. P. 187-188.
20. Brebrick R.F. // J.Phys. Chem. Solids. 1966. Vol. 27, N 9. P. 1495-1503.
21. Глазов В.М., Нагиев В.Н., Черняев В.И. Теллурид германия и принципы его легирования. М.: ЦНИИ "Электроника", 1971. 40 с.
22. Коржуев М.А., Петров Л.А., Теплов О.А., Деменский Г.К. // Изв. АН СССР. Металлы. 1983. № 1. С. 36-38.
23. Шелимова Л.Е., Абрикосов Н.Х., Жданова В.В. // Журн. неорган. химии. 1965. Т. 10, № 5. С. I200-I205.
24. Абрикосов Н.Х., Коржуев М.А., Шелимова Л.Е. // Изв. АН СССР. Неорган. материалы. 1977. Т. 13, № 10. С. I757-I762.
25. Northrop D.A. // J.Phys. Chem. 1971. Vol. 75, N 1. P. 118-132.
26. Корень Н.Н., Левченко В.И., Дикарева В.В. и др. // Изв. АН СССР. Неорган. материалы. 1985. Т. 21, № 4. С. 578-580.
27. Глазов В.М., Павлова Л.М. // Журн. физ. химии. 1977. Т. 51, № 4. С. 821-825.
28. Глазов В.М., Павлова Л.М. // Журн. физ. химии. 1984. Т. 58, № 2. С. 333-339.
29. Абрикосов Н.Х., Карпинский О.Г., Шелимова Л.Е. и др. // Изв. АН СССР. Неогран. материалы. 1977. Т. 13, № 12. С. 2160-2164.
30. Schubert K., Fricke H. // Z. Metallk. 1953. Bd. 44, N 9. S. 781-782.
31. Карбанов С.Г., Зломанов В.П., Новоселова А.В. // Изв. АН СССР. Неорган. материалы. 1969. Т. 5, № 7. С. II7I-II74.
32. Гогишвили О.Ш., Кононхин В.С., Лавриненко и др. // Изв. АН СССР. Неорган. материалы. 1975. Т. 11, № II. С. 1974-1980.
33. Legendre B., Souleau Ch. // C.r. Acad. Sci. Paris. 1977. Vol. 284. N 7. P. 315-318.
34. Коржуев М.А. Теллурид германия и его физические свойства. М.: Наука, 1986. 103 с.

35. Кочелап В.А., Соколов В.Н., Венгалис Б.Ю. // Укр. физ. журн. 1986. Т. 31, № 8. С. I240-I247.
36. Moore A.B., Maghrabi C., Parker J.M. // J.Mater. Sci. 1978. Vol. 13, N 5. P. 1127-1130.
37. Tsunetomo K., Sugishima T., Imura T. et al. // J. Non-Cryst. Solids. 1987. Vol. 95-96. Pt. 1. P. 509-516.
38. Albers W., Schol K. // Philips Res. Repts. 1961. Vol. 16, N 4. P. 329-342.
39. Каражанова М.И., Пашикин А.С., Новоселова А.В. // Изв. АН СССР. Неорган. материалы. 1966. Т. 2, № 6. С. 99I-996.
40. Бартенев Г.Н., Цыганов А.Д., Дембовский С.А. и др. // Изв. АН СССР. Неорган. материалы. 1971. Т. 7, № 8. С. I442-I443.
41. Lichanot A., Gromb S. // J. Phys. Chem. Solids. 1971. Vol. 32, N 8. P. 1947-1957.
42. Rau H. // J. Phys. Chem. Solids. 1966. Vol. 27, N 4. P. 761-769.
43. Mitchell R.S., Fujiki Y., Ishizawa Y. // J. Cryst. Growth. 1982. Vol. 57, N 2. P. 273-279.
44. Dumon A., Lichanot A., Gromb S. // J.Phys. Chem. Solids. 1977. Vol. 38, N 3. P. 279-288.
45. Maier H., Daniel D.R. // J.Electron. Mater. 1977. Vol. 6, N 6. P. 693-704.
46. Minagawa T. // J.Phys. Soc. Jap. 1980. Vol. 80, N 6. P. 2317-2318.
47. Brebrick R.F. // J. Phys. Chem. Solids. 1963. Vol. 24, N 1. P. 27-36.
48. Шелимова Л.Е., Абрикосов Н.Х. // Журн. неорган.химии. 1964. Т. 9, № 8. С. I879-I882.
49. Houston B.B., Allgaier R.S., Babiskin R.S. et al. // Bull. Amer. Phys. Soc. 1964. Vol. 9, N 1/2. P. 60.
50. Brebrick R.F. // J.Phys. Chem. Solids. 1971. Vol. 32, N 3. P. 551-562.
51. Таиров С.М., Ормонт Б.Ф., Шостак Н.О. // Изв. АН СССР. Неорган. материалы. 1970. Т. 6, № 9. С. I584-I587.
52. Hewes C.R., Adler M.S., Senturia S.D. // J. Appl. Phys. 1973. Vol. 44, N 3 (2). P. 1327-1332.
53. Lin J., Ngai T.L., Chang Y.A. // Metallurg. Trans. 1986. Vol. 17A, N 7. P.1241-1245.
54. Blachnik R., Gather B. // Z. Metallk. 1983. Bd. 74, N 3. S. 172-176.
55. Kurosawa S., Nakamura Y., Shimoji M. // J. Less-Common Metals. 1980. Vol. 70, N 1. P. 119-121.
56. Шишкин А.В. Термодинамические свойства и особенности структуры расплавов в системах  $A^{\text{IV}}\text{Te}(A^{\text{IV}}-\text{Ge}, \text{Sn}, \text{Pb})$ : Автореф. дис. ... канд. хим. наук. Зеленоград, МИЭТ, 1989. 23 с.
57. Hsieh K.C., Wei M.S., Chang Y.A. // Z. Metallk. 1987. Bd. 74, N 5. S. 330-337.
58. Kattner U., Lukas H.L., Petzow G. // J. Less-Common Metals. 1985. Vol. 114, n 1. P. 129-144.
59. Bloem J., Kröger F.A. // Z. phys. Chem. (Frankfurt). 1956. Bd. 7, N 1. S. 1-14.
60. Strauss A.J. // Trans. AIME. 1967. Vol. 239, N 6. P. 794-798.
61. Strauss A.J., Harman T.C. // J. Electron. Mater. 1973. Vol. 2, N 1. P. 71-85.
62. Heinrich H. // Lect. Notes Phys. 1980. Vol. 133. P. 407-426.
63. Novoselova A.V., Zlomanov V.P. // Curr. Top. Mater. Sci. 1981. Vol. 7, N 2. P. 643-710.
64. Brebrick R.F., Gubner E. // J. Chem. Phys. 1962. Vol. 36, N 5. P. 1283-1289.
65. Goldberg A.E., Mitchell G.R. // J. Chem. Phys. 1954. Vol. 22, N 2. P. 220-226.
66. Измайлов Н.В., Ильин Ю.Л., Мошников В.Н. и др. // Изв. АН СССР, Неорган. материалы. 1989. Т. 25, № 3. С. 515-516.

67. Brebrick R.F., Gubner E. // J. Chem. Phys. 1962. Vol. 36, N 1. P. 170-172.
68. Chou N., Komarek K., Miller E. // Trans. AIME. 1969. Vol. 245, N 7. P. 1553-1560.
69. Calawa A.R., Harman T.C., Finn M. et al. // Trans AIME. 1968. Vol. 242, N 3. P. 374-383.
70. Зайчук Т.В., Хариф Я.Л., Ковтуненко П.В. // Изв. АН СССР. Неорган. матер. 1986. Т. 22, № 4. С. 581-583.
71. Хариф Я.Л., Зайчук Т.В., Ковтуненко П.В. Изв. АН СССР. Неорган. матер. 1986. Т. 22, № 11. С. 1909-1911.
72. Хариф Я.Л., Аветисов И.Х., Зайчук Т.В. и др. // Изв. АН СССР. Неорган. матер. 1989. Т. 25. № 4. С. 567-570.
73. Хариф Я.Л., Ковтуненко П.В., Майер А.А. и др. // Журн. физ.химии. 1982. Т. 56, № 9. С. 2180-2185.
74. Brebrick R.F., Allgaier R.S. // J.Chem. Phys. 1960. Vol. 32, N 6. P. 1826-1831.
75. Дедегнаев Т.Т., Мокроусов Н.Е., Мошников В.А. и др. // Журн. физ. химии. 1983. Т. 57, № 6. С. 1556-1557.
76. Moniri N., Petot C.// Thermochim. Acta. 1984. Vol. 77, N 1. P. 151-166.
77. Хариф Я.Л., Аветисов И.Х. // Журн. физ.химии. 1984. Т. 58, № 9. С. 2372-2376.
78. Clavaguera-Mora M.T., Clavaguera N., Onrubia J., Cohen-Adad R. // J. Less-Common Metals. 1986. Vol. 119, N 2. P. 277-289.
79. Blachnik R., Gather B. // J.Less-Common Metals. 1983. Vol. 92, N 2. P. 207-213.
80. Глазов В.М., Павлова Л.М., Шишкин А.В. // Журн. неорг. химии. 1988. Т. 33, № 9. С. 2388-2393.
81. Harman T.C. // Physics of IV-VI compounds and alloys / Ed. S. Rabii L.; N.Y.: Gordon and Breach. 1974. P. 141-152.
82. Schenk M., Berger H., Klimanov A. et al. // Cryst. Res. Technol. 1988. Vol. 23, N 1. P. 77-84.
83. Хариф Я.Л., Аветисов И.Х., Ковтуненко П.В. // Изв. АН СССР. Неорган. материалы. 1986. Т. 22, № 8. С. 1271-1274.
84. Lucovsky G., Martin R.M., Burstein E. // Physics of IV-VI compounds and alloys / Ed.S.Rabii. L.; N.Y.: Gordon and Breach. 1974. P. 93-102.
85. Zachariasen W.H. // Phys. Rev. 1932. Vol. 40. N 6. P. 917-922.
86. Dutta S.N., Jeffrey G.A. // Inorg. Chem. 1965. Vol. 4, N 9. P. 1363-1366.
87. Schubert K., Fricke H. // Z. Naturforsch. 1951. Bd. 6a, N 12. S. 781-782.
88. Schubert K., Fricke H. // Z. Metall. 1953. Bd. 44, N 9. S. 457-461.
89. Hofmann W. // Z. Kristallogr. 1935. Bd. 92, N 3/4. S. 161-173.
90. Okasaki A. // J. Phys. Soc. Jap. 1958. Vol. 13, N 9. P. 1151-1155.
91. Dalven R. // Solid State Phys. N.Y.: Academic Press. 1973. Vol. 28. P. 179-224.
92. Littlewood P.B. // J. Phys. C.: Solid State Phys. 1980. Vol. 13, N 26. P. 4855-4873.
93. Littlewood P.B. // Lect. Notes Phys. 1982. Vol. 152. P. 238-246.
94. Polatoglau H.M. // Phys. Rev. B. Condens Mater. 1986. Vol. 33, N 8. P. 5865-5867.
95. Kawamura H. // Lect. Notes Phys. 1980. Vol. 133. P. 470-494.
96. Cohen M.H., Falicov L.M., Colin S. // IBM J.Res. and Develop. 1964. Vol. 8, N 3. P. 215-227.
97. Жукова Т.Б., Заславский А.И. // Кристаллография. 1967. Т. 12, № 1. С. 37-41.

98. Goldak J., Barret C.S., Innes D. et al. // *J. Chem. Phys.* 1966. Vol. 44, N. 9. P. 3323-3325.
99. Schiferl D. // *Phys. Rev. B*. 1974. Vol. 10, N 8. P. 3316-3329.
100. Bienenstock A. // *J. Non-Cryst. Solids*. 1973. Vol. 11, N 5. P. 447-458.
101. Харрисон У. Электронная структура и свойства твердых тел. В 2 т. М.: Мир, 1983. Т. I. 382 с.; Т. II. 332 с.
- I02. Ерофеев Р.С. // Изв. АН СССР. Неорган. материалы. 1978. Т. I4, № 8. С. I422-I425.
- I03. Дубровина А.Н., Василевский М.С. // Изв. АН СССР. Неорган. материалы. 1982. Т. I8, № 4. С. 581-585.
- I04. Кочелап В.А., Соколов В.Н. // Укр. физ. журн. 1974. Т. I9, № 2. С. I86-I95.
- I05. Венгалис Б.Ю // ФТТ. 1978. Т. 20, № I2. С. 362I-3626.
- I06. Водопьянов Л.К., Голубев Л.В., Кенгерминский Л.Ю. и др. // ФТТ. 1982. Т. 24, № 5. С. I562-I563.
- I07. Блецкан Д.И., Полажинец Н.В., Кабаций В.Н. и др. // Всесоюз. конф. по росту кристаллов: Тез. докл. М.: Наука, 1988. С. I54.
- I08. Wiedermeier H., Siemers P.A. // *Z. anorg. und allg. Chem.* 1977. Bd. 431, N 4. S. 299-304.
- I09. Меджидов Р.А. // Теплофизика высоких температур. 1988. Т. 25. № 4. С. 817-819.
- I10. Wiedermeier H., Siemers P.A. // *Z. anorg. und allg. Chem.* 1975. Bd. 411, N 1. S. 90-96.
- III. Новожилов А.Ф., Зломанов В.П. // Изв. АН СССР. Неорган.материалы. 1977. Т. I3, № 3. С. 532-533.
- I12. Расулов С.М., Меджидов Р.А. 1976. Деп. в ВИНИТИ. I0.05.76, № I9II-76.
- I13. Абрикосов Н.Х., Коржуев М.А., Петров Л.А. и др. // Изв. АН СССР. Неорган. материалы. 1983. Т. I9, № 3. С. 370-373.
- I14. Wiedermeier H., Csillag F.J. // *Z. Kristallogr.* 1979. Bd. 149, N 1/2. S. 17-29.
- I15. Von Schnerring H.G., Wiedemeier H. // *Z. Kristallogr.* 1981. Vol. 156, N 1/2. P. 143-150.
- I16. Chattopadhyay T., Pannetier J., von Schnerring H.G. // *J. Phys. Chem. Solids*. 1986. Vol. 47, N 9. P.879-885.
- I17. Orr R.L., Christensen A.U. // *J. Phys. Chem.* 1958. Vol. 62, N 1. P. 124-125.
- I18. Baldé L., Legendre B., Souleau C. et al. // *J. Less-Common Metals*. 1981. Vol. 80, N. 1. P. 45-50.
- I19. Абрикосов Н.Х., Коржуев М.А., Шелимова Л.Е. // Свойства легированных полупроводников. М.: Наука, 1977. С. 72-77.
- I20. Kobayashi K.L.I., Kato Y., Komatsubara K.F. // *Progr. Cryst. Growth Charact.* 1978. Vol. 1, N 2. P. 117-149.
- I21. Muldawer L. // Physics of IV-VI compounds and alloys / Ed. S. Rabii. L.; N.Y.: Gordon and Breach. 1974. P. 193-198.
- I22. Fukunada T., Sugai S., Kinoshita T. et al. // *Solid State Commun.* 1981. Vol. 38. N 11. P. 1049-1052.
- I23. Bauer G., Jantsch W., Bangert E. // *Festkörperprobleme (Adv. Solid State Phys.)*. 1983. Vol. 23. P. 27-48.
- I24. Шелимова Л.Е., Карпинский О.Г., Авилов Е.С. // Изв. АН СССР. Неорган. материалы. 1990. Т.26, № 12. С. 2507-2512.
- I25. Pawley G.S. // *J. Physique*. 1968. Vol. 29. Suppl. N 11/12. P. C4-145-150.
- I26. Jantsch W. // *Lect. Notes Phys.* 1982. Vol. 152. P. 226-237.

127. Chattopadhyay T., Boucherie J.X., von Sognering H.G. // Z. Kristallogr. 1986. Bd. 174, N 1/4. S. 31-34.
128. Clark R. // Phys. Rev. B. 1978. Vol. 18, N 9. P. 4920-4926.
129. Khvostantsev L.G., Sidorov V.A., Shelimova L.E. et al. // Phys. Status Solidi. (a). 1982. Vol. 74, N 1. P. 185-192.
130. Shimada M., Dachill F. // Inorg. Chem. 1976. Vol 15, N 7. P. 1729-1730.
131. Kafalas J.A., Mariano A.N. // Science. 1964. Vol. 143, N 3609. P. 952-954.
132. Murata K., Onodera A., Fujii Y. et al. // Intern Symp. on Solid State Phys. under Pressure, Recent Adv. with Anvil Devices: Abstracts. Isu-Nagaoka, Japan, Jan. 18-21. 1984. P. 80.
133. Chattopadhyay T., Werner A., von Schnering H.G. et al. // Rev. Phys. Appl. 1984. Vol. 19, N 1. P. 807-813.
134. Fujii Y., Kitamura K., Onodera A. et al. // Solid State Commun. 1984. Vol. 49, N 2. P. 135-139.
135. Кабалкина С.С., Верещагин Л.Ф., Серебряная Н.Р.// ЖЭТФ. 1966. Т. 51, № 5. С. 1358-1362.
136. Термические константы веществ. Справочник/ Под ред. В.П.Глушко. М.: ВИНИТИ. 1970. Вып. 4. 510 с.
137. Hirayama C. // J. Chem. and Eng. Data. 1964. Vol. 9, N 1. P. 65-68.
138. Mills K.C. Thermodynamic data for inorganic sulphides, selenides and tellurides. L.: Butterworths. 1974. 845 p.
139. Adams G.P., Margrave J.L., Wilson P.W. // J.Chem. Thermodyn. 1970. Vol. 2, N 4. P. 591-596.
140. Бергман Г.А., Шмук Е.И.// Изв. АН СССР. Металлургия и горное дело. 1964. № 3. С. 91-99.
141. Ferro D., Piacente V., Bardi G. // High Temp. Sci. 1986. Vol. 21, N 2. P. 69-84.
142. Карбанов С.Г., Зломанов В.П., Новоселова А.В. // Изв. АН СССР. Неорган. материалы. 1968. Т. 4, № II. С. 1874-1877.
143. Жданов В.М.// Журн. физ.химии. 1971. Т. 45, № 9. С. 2387-2388.
144. Brebrick R.F. // J.Chem. Phys. 1964. Vol. 41. N 4. P. 1140-1146.
145. Меджидов Р.А., Расулов С.М.// Теплофизика высоких температур. 1976. Т. 14, № 3. С. 654-656.
146. Castanet R., Bergman C. // J. Less-Common Metals. 1979. Vol. 69, N 2. P. 119-124.
147. Davey T.R.A., Joffre J.E. // Inst. Mining Met. Trans. Sect. C. 1973. Vol. 82, N N 802. P. C145-150.
148. Мелех Б.Т., Степанова Н.Б., Фомина Т.А. и др. // Журн. физ.химии. 1971. Т. 45, № 8. С. 2018-2020.
149. Colin R., Drowart J. // Trans. Faraday Soc. 1964. Vol. 60, N 496. P. 673-683.
150. Huang Yu., Brebrick R.F. // J.Electrochem. Soc. 1988. Vol. 135. N 6. P. 1547-1559.
151. Shamsuddin, Misra S. // J.thermal Analysis. 1975. Vol. 7, N 2. P. 309-316.
152. Петухов А.П., Корнев Б.Ф., Головченко В.В. // Изв. АН СССР. Неорган. материалы. 1980. Т. 16, № 2. С. 358-359.
153. Kubachewski O., Evans E.L., Alcock C.B. Metallurgical thermochemistry. Oxford, London: Pergamon Press. 1967. 495 p.
154. Huang Yu., Brebrick R.F. // J.Electrochem. Soc. 1988. Vol. 135, N 2. P. 486-496.
155. Shamsuddin // Mater. Res. Bull. 1977. Vol. 12, N 1. P. 7-12.
156. Wiedemeier H., Siemers P., Gaur U. et al. // Thermochem. acta. 1978. Vol 27, N 1/3. P. 223-231.
157. Finegold L. // Phys. Rev. Lett. 1964. Vol. 13, N 7. P. 233-234.
158. Коржуев М.А., Петрова Л.И. // ФТП. 1981. Т. 15, № 3. С. 512-517.

- I59. Гультаев П.В., Петров А.В. // ФТТ. 1959. Т. I, № 3. С. 368-372.
- I60. Parkinson D.H., Quarrington J.E. // Proc. Phys. Soc. London. 1954. Vol. A67. P. 569-579.
- I61. Новикова С.И. Термическое расширение твердых тел. М.: Наука, 1974. 290 с.
- I62. Walker N.J., Saunders G.A., Schäl N. // J.Phys. Chem. Solids. 1987. Vol. 48, N 1. P. 91-96.
- I63. Ravindra N.M., Srivastava V.K. // Phys. Status solidi (a). 1980. Vol. 58, N 1. P. 311-316.
- I64. Brebrick R.F. // J.Electron. Mater. 1977. Vol. 6, N 6. P. 659-692.
- I65. Материалы, используемые в полупроводниковых приборах / Под. ред. К.Хогарта. М.: Мир, 1968. 350 с.
- I66. Asanabe S. // J.Phys. Soc. Jap. 1959. Vol. 14, N 3. P. 281-286.
- I67. Коржуев М.А., Шелимова Л.Е., Абрикосов Н.Х. // ФТП. 1977. Т. II, № 2. С. 296-300.
- I68. Физико-химические свойства полупроводниковых веществ / Под ред. А.В.Новоселовой, В.Б.Лазарева. М.: Наука, 1979. 340 с.
- I69. Равич Ю.И., Ефимова Б.А., Смирнов И.А. Методы исследования полупроводников в применении к халькогенидам свинца PbTe, PbSe и PbS. М.: Наука, 1968. 383 с.
- I70. Сирота Н.Н., Чижевская С.Н. // Физика и физико-химический анализ. № 30. Вып. I. М.: Изд. Моск. ин-та ЦВЕТМЕТ и золота. 1957. С. 175-190.
- I71. Deus P., Schneider H.A., Voland U. // Cryst. Res. Technol. 1981. Vol. 16, N 8. P. 941-948.
- I72. Шелимова Л.Е. // Изв. АН СССР. Неорган. материалы. 1988. Т. 24, № 10. С. 1597-1601.
- I73. Урусов В.С. Теория изоморфной смесимости. М.: Наука, 1977. 251 с.
- I74. Шелимова Л.Е. // Свойства легированных полупроводниковых материалов / Под. ред. В.С.Земскова. М.: Наука, 1990. С. 66-74.
- I75. Bierly J.N., Muldawer L., Beckman O. // Acta met. 1963. Vol. 11, N 5. P. 447-454.
- I76. Woolley J.C., Nicolic P. // J. Electrochem. Soc. 1965. Vol. 112, N 1. P. 82-84.
- I77. Абрикосов Н.Х., Авилов Е.С., Карпинский О.Г. и др. // Изв. АН СССР. Неорган. материалы. 1985. Т. 21, № 10. С. 1664-1669.

## Г л а в а 2

### СИСТЕМЫ НА ОСНОВЕ $\text{SiB}^{\text{VI}}$

#### Система $\text{SiS}$ - $\text{CuS}$

В системе  $\text{SiS}$  -  $\text{CuS}$  образуется соединение  $\text{Cu}_5\text{Si}_2\text{S}_7$ , кристаллизующееся в моноклинной структуре с параметрами элементарной ячейки  $a = 16,2169 \text{ \AA}$ ,  $b = 9,5976 \text{ \AA}$ ,  $c = 6,3174 \text{ \AA}$ ,  $\beta = 92,385^\circ$ , рентгенографической плотностью  $4,1 \text{ г}/\text{см}^3$  и пикнометрической -  $4,3 \text{ г}/\text{см}^3$  [1]. В целом структура  $\text{Cu}_5\text{Si}_2\text{S}_7$  может быть рассмотрена как сверхструктура к структурному типу вортцита. Соединение  $\text{Cu}_5\text{Si}_2\text{S}_7$  получено взаимодействием элементарных веществ в вакууме при  $1153 \text{ K}$ .

### Система SiS - Zr

В системе SiS - Zr образуется соединение  $ZrSiS$ , кристаллизующееся в тетрагональной структуре типа  $PbFCI$  [2]. Соединение  $ZrSiS$  получено при взаимодействии сплава Zr-Si с серой при 1070-II70 К и является металлом с удельной электропроводностью при комнатной температуре 10-50 мОм·см и р-типа проводимости.

### Система SiS - Se

В системе SiS - Se образуется соединение  $SiSSe$ , которое кристаллизуется в ромбической структуре с параметрами элементарной ячейки  $a = 5,271 \text{ \AA}$ ,  $b = 9,880 \text{ \AA}$ ,  $c = 6,650 \text{ \AA}$ , рентгенографической плотностью  $2,67 \text{ г/см}^3$  и пикнометрической -  $2,63 \text{ г/см}^3$  [3]. Соединение  $SiSSe$  получено методом ударно-волнового сжатия смеси элементарных компонентов. Получить указанное соединение термическим способом не удалось.

### Система SiS - Te

В системе SiS - Te тройных соединений не обнаружено [3].

### Система SiS - Pt

В системе SiS - Pt образуется соединение  $PtSiS$ , которое кристаллизуется в ромбической структуре с параметрами элементарной ячейки  $a = 5,944 \text{ \AA}$ ,  $b = 5,988 \text{ \AA}$  и  $c = 5,900 \text{ \AA}$  [4]. Соединение  $PtSiS$  может быть получено нагреванием смеси элементарных веществ в области температур 870-II70 К.

### Система SiSe - Na

В тройной системе Si-Na-Se образуется соединение  $Na_6Si_2Se_8$ , кристаллизующееся в моноклинной структуре с параметрами элементарной ячейки  $a = 7,271 \text{ \AA}$ ,  $b = 17,01 \text{ \AA}$ ,  $c = 13,78 \text{ \AA}$ ,  $\beta = 99,44^\circ$  и пикнометрической плотностью  $3,21 \text{ г/см}^3$  [5]. Соединение  $Na_6Si_2Se_8$  получали нагреванием стехиометрической смеси элементарных компонентов в токе аргона при 1270 К.

### Система SiSe - Te

В системе SiSe - Te тройных соединений не обнаружено [3].

### Система $Si_2Te_3$ - $Na_2Te$

В системе  $Si_2Te_3$ - $Na_2Te$  образуются соединения  $Na_6Si_2Te_6$  (A) и  $Na_8Si_4Te_{10}$  (B), кристаллизующиеся в моноклинной структуре [6,7]. Параметры элементарной ячейки A составляют  $a = 8,786 \text{ \AA}$ ,  $b = 12,780 \text{ \AA}$ ,  $c = 8,864 \text{ \AA}$ ,  $\beta = 119,71^\circ$ , пикнометрическая плотность -  $3,70 \text{ г/см}^3$  [6], а B -  $a = 14,073 \text{ \AA}$ ,  $b = 12,842 \text{ \AA}$ ,  $c = 14,882 \text{ \AA}$ ,  $\beta = 92,22^\circ$ , пикнометрическая и рентгенографическая плотность соответственно  $3,90$  и  $3,885 \text{ г/см}^3$  [7]. Соединения A и B получали взаимодействием элементарных компонентов в атмосфере аргона при 820 К.

### Система $\text{Si}_2\text{Te}_3$ - $\text{K}_2\text{Te}$

В системе  $\text{Si}_2\text{Te}_3$ - $\text{K}_2\text{Te}$  образуется соединение  $\text{K}_4\text{Si}_4\text{Te}_{10}$ , кристаллизующееся в ромбической структуре с параметрами элементарной ячейки  $a = 21,258 \text{ \AA}$ ,  $b = 12,005 \text{ \AA}$ ,  $c = 10,608 \text{ \AA}$ , рентгенографической плотностью  $3,85 \text{ г/см}^3$  и пикнometрической -  $3,79 \text{ г/см}^3$  [8]. Соединение  $\text{K}_4\text{Si}_4\text{Te}_{10}$  получали взаимодействием элементарных веществ в атмосфере аргона при 920 К.

### Система $\text{Si}_2\text{Te}_3$ - $\text{Cs}$

В системе  $\text{Si}_2\text{Te}_3$  -  $\text{Cs}$  образуется соединение  $\text{Cs}_2\text{Si}_2\text{Te}_6$ , кристаллизующееся в моноклинной структуре с параметрами элементарной ячейки  $a = 8,285 \text{ \AA}$ ,  $b = 13,935 \text{ \AA}$ ,  $c = 13,404 \text{ \AA}$ ,  $\beta = 100,35^\circ$  и рентгенографической плотностью  $4,74 \text{ г/см}^3$  [9]. Соединение  $\text{Cs}_2\text{Si}_2\text{Te}_6$  получали сплавлением элементарных веществ в корундовом тигле при 920 К.

### Система $\text{Si}_2\text{Te}_3$ - $\text{Cu}$

В тройной системе  $\text{Si} - \text{Cu} - \text{Te}$  образуется соединение  $\text{Cu}_2\text{SiTe}_6$ , кристаллизующееся в кубической структуре с параметром элементарной ячейки  $a = 5,93 \text{ \AA}$ , рентгенографической и пикнотрической плотностью соответственно  $5,69$  и  $5,47 \text{ г/см}^3$  [10].

### Система "SiTe<sub>2</sub>" - $\text{Ag}_2\text{Te}$

В системе "SiTe<sub>2</sub>" -  $\text{Ag}_2\text{Te}$  образуется соединение  $\text{Ag}_8\text{SiTe}_6$ , плавящееся конгруэнтно при 1143 К, кристаллизующееся в кубической структуре с параметром элементарной ячейки  $a = 11,515 \text{ \AA}$  при 293 К и имеющее полиморфное превращение при 263 К [11, 12]. Рентгенографическая плотность  $\text{Ag}_8\text{SiTe}_6$  составляет  $7,21 \text{ г/см}^3$ , пикнотрическая -  $7,23 \text{ г/см}^3$  [11]. Система "SiTe<sub>2</sub>"- $\text{Ag}_2\text{Te}$  исследована методами ДТА и РФА [11, 12].

### Система "SiTe" - $\text{GaTe}$

Расторимость  $\text{GaTe}$  в "SiTe" превышает 10 % [13]. В твердом состоянии твердые растворы претерпевают полиморфное превращение. Система "SiTe"- $\text{GaTe}$  изучена методом ДТА и измерением микротвердости.

### Система "SiTe" - $\text{GeTe}$

Система "SiTe" -  $\text{GeTe}$  принадлежит к эвтектическому типу [14]. Эвтектика содержит 30 % "SiTe" и кристаллизуется при 958 К. Растворимость "SiTe" в  $\text{GeTe}$  при эвтектической температуре достигает 3 % и с понижением температуры существенно не изменяется [14]. Согласно [15] растворимость "SiTe" в  $\text{GeTe}$  не превышает 1 %, а при содержании в образцах более 3 % "SiTe" образуется соединением  $\text{Si}_2\text{Te}_3$ . Твердые растворы на основе  $\text{GeTe}$  при 633 К претерпевают полиморфное превращение.

Разрез "SiTe" -  $\text{GeTe}$ , по-видимому, является неквазибинарным, так как в системе  $\text{Si} - \text{Te}$  обнаружено только соединение  $\text{Si}_2\text{Te}_3$ .

Образцы системы "SiTe" - GeTe отжигали при 870 К в течение 500 ч [14], или при 800 К в течение 400 ч [15]. Система исследована методами ДТА, РФА и МСА [14,15].

### Система Si<sub>2</sub>Te<sub>3</sub> - Cr<sub>2</sub>Te<sub>3</sub>

В системе Si<sub>2</sub>Te<sub>3</sub> - Cr<sub>2</sub>Te<sub>3</sub> образуется соединение Cr<sub>2</sub>Si<sub>2</sub>Te<sub>6</sub>, кристаллизующееся в ромбоэдрической структуре с параметрами элементарной ячейки (в гексагональной установке)  $a = 6,7578 \text{ \AA}$  и  $c = 20,665 \text{ \AA}$  [16]. Соединение Cr<sub>2</sub>Si<sub>2</sub>Te<sub>6</sub> получали взаимодействием стехиометрических количеств элементарных веществ при 770 К в течение 10 ч.

### Система Si<sub>2</sub>Te<sub>3</sub> - MnTe

В системе Si<sub>2</sub>Te<sub>3</sub> - MnTe образуется соединение Mn<sub>3</sub>Si<sub>2</sub>Te<sub>6</sub>, кристаллизующееся в гексагональной структуре с параметрами элементарной ячейки  $a = 7,029 \text{ \AA}$  и  $c = 14,255 \text{ \AA}$  [17]. Монокристаллы Mn<sub>3</sub>Si<sub>2</sub>Te<sub>6</sub> получали методом XTP из смеси элементарных компонентов с небольшим избытком теллура при температурном градиенте 1070-990 К (носитель - иод).

### Литература

1. Dogguy M., Jaulmes S., Laruelle P., Rivet J. // Acta Crystallogr. 1982. Vol. B38, N 7. P. 2014-2016.
2. Janaki J., Rao G.V.S. // Theor. and Exp. Aspects Valence Fluctuations and Heavy Fertions / Proc. 5th Int. Conf. Bangalore, Jan. 5-9, 1987. N.Y.; L., 1987. P.699-700.
3. Шевцова Н.Н., Темницкий И.Н., Лазоряк Б.И. // Журн. неорган. химии. 1987. Т. 32, № 2. С. 513-514.
4. Entner P., Parthé E., // Acta Crystallogr. 1973. Vol. B29, N 8. P. 1557-1563.
5. Eisenmann B., Hansa J., Schäfer H. // Z. anorg. und allg. Chem. 1985. Bd. 526, N 7, S. 55-59.
6. Eisenmann B., Schwerer H., Schäfer H. // Z. Naturforsch. 1981. Bd. B36, N 12. S. 1538-1541.
7. Eisenmann B., Schwerer H., Schäfer H. // Rev. chim. minér 1983. Vol. 20, N 1. P. 78-87.
8. Eisenmann B., Schäfer H. // Z. anorg. und allg. Chem. 1982. Bd. 491, N 8. S. 67-72.
9. Brinkmann C., Eisenmann B., Schäfer H. // Mater. Res. Bull. 1985. Vol. 20, N 11. P. 1285-1289.
10. Rivet J., Flahaut J., Laruelle P. // C. r. Acad. sci. 1963. Vol. 257. N 1. P.161-164.
11. Gorochov O. // Bull. Soc. chim. France. 1968. N 6. P. 2263-2275.
12. Gorochov O., Flahaut J. // C.r. Acad. sci. 1967. Vol. C264, N 26. P. 2153-2155.
13. Алиджанов М.А., Оруджев Н.М., Насиров Я.Н. // Изв. АН СССР. Неорган. материалы. 1975. Т. II, № 4. С. 762-763.
14. Шелимова Л.Е., Абрикосов Н.Х., Бессонов В.И. // Изв. АН СССР. Металлургия и горное дело. 1964. № 1. С. 180-183.
15. Бигвара А.Д., Коробов В.К., Кунчулия Э.Д., Швангирадзе Р.Р. // Изв. АН СССР. Неорган. материалы. 1984. Т. 20, № 10. С. 1630-1632.
16. Ouverard G., Sandre E., Brec R. // J. Solid State Chem. 1988. Vol. 73, N 1. P. 27-32.
17. Vincent H., Leroux D., Bijaoui D. et al. // J. Solid State Chem. 1986. Vol. 63, N 3. P. 349-352.

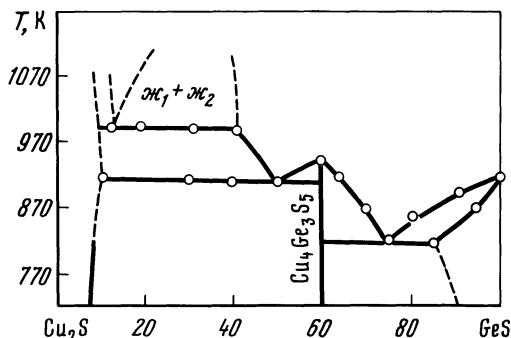
## Г л а в а 3

### СИСТЕМЫ НА ОСНОВЕ GeS

#### Система GeS - Cu<sub>2</sub>S

Диаграмма состояния системы GeS - Cu<sub>2</sub>S (рис. 3.1) эвтектического типа с монотектическим превращением [1]. Эвтектика содержит 25 % Cu<sub>2</sub>S и кристаллизуется при 823 К. Растворимость Cu<sub>2</sub>S в GeS достигает 10 %, а GeS в Cu<sub>2</sub>S - 9 %. В интервале 60-90 % Cu<sub>2</sub>S в системе наблюдается рас-слаивание в жидком состоянии. Монотектическая горизонталь лежит при 998 К.

Р и с. 3.1. Диаграмма со-  
стояния системы GeS-Cu<sub>2</sub>S  
[1]



В системе обнаружено соединение Cu<sub>4</sub>Ge<sub>3</sub>S<sub>5</sub>, плавящееся конгруэнтно при 948 К и кристаллизующееся в тетрагональной структуре с параметрами элементарной ячейки  $a = 5,30 \text{ \AA}$  и  $c = 10,48 \text{ \AA}$ . Это соединение образует с Cu<sub>2</sub>S эвтектику, кристаллизующуюся при 910 К [1].

В тройной системе Ge - Cu - S при 970 К образуются два соединения: Cu<sub>2</sub>Ge<sub>3</sub>, кристаллизующееся в структуре халькопирита, и Cu<sub>5</sub>GeS<sub>4</sub> (последнему более точно отвечает формула Cu<sub>53</sub>Ge<sub>7</sub>S<sub>40</sub>) [2]. На изотермическом сечении имеются три поля жидкого состояния. Изотермическое сечение системы при 870 К более простое, так как поля жидкого состояния значительно сокращаются. На этом сечении появляются фазы  $\mathcal{E}$  (низкотемпературная модификация Cu<sub>3</sub>Ge) и GeS.

Согласно [3] в тройной системе Ge - Cu - S образуется также соединение Cu<sub>6</sub>Ge<sub>2</sub>S<sub>6</sub> металлического серого цвета, плавящееся конгруэнтно при 977 К и имеющее плотность 4,80 г/см<sup>3</sup>.

Исходные образцы отжигали в течение 1-4 месяцев [2].

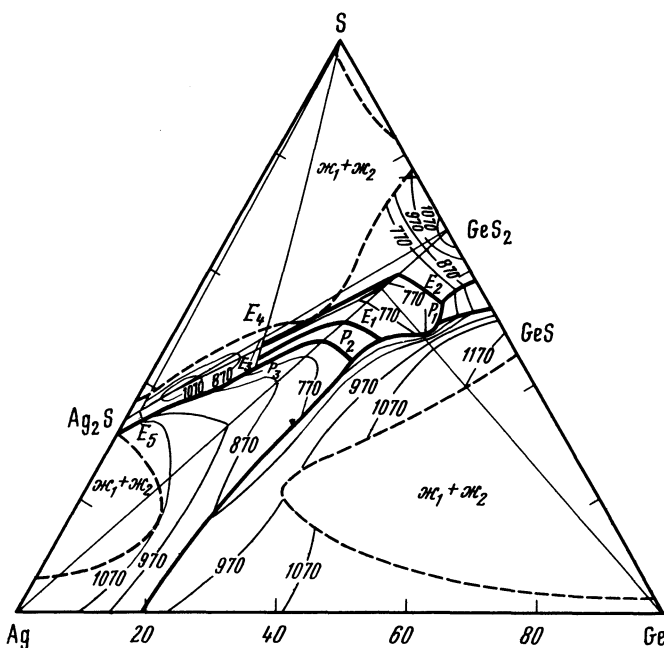
Система исследована методами ДТА, РФА, МСА, а также измерениями микротвердости, плотности, электропроводности и термоЭДС [1-3].

#### Система GeS - Ag

Система GeS - Ag является неквазибинарным сечением тройной системы Ge - Ag - S, пересекающим две вторичные системы AgGe<sub>2</sub>S<sub>4</sub>-Ge-GeS<sub>2</sub> и Ag-AgGe<sub>2</sub>S<sub>4</sub>-Ge [4]. Ликвидус состоит из двух ветвей первичной кристаллизации - фаз Ge и Ag, которые пересекаются при 51,4 % Ag и 823 К. Кристаллизация в первой вторичной системе завершается при 570 К по пери-

тектической реакции  $\text{ж} + \text{Ge} \rightleftharpoons \text{GeS} + \text{AgGe}_2\text{S}_4$ . Во второй вторичной системе при 648 К в присутствии Ge в жидкости растворяется Ag и выделяется инконгруэнтно плавящееся соединение. Затем процесс кристаллизации продолжается до тройного эвтектического равновесия  $\text{ж} \rightleftharpoons \text{Ge} + \text{AgGe}_2\text{S}_4 + \text{Ag}_3\text{GeS}_2$  при 570 К. Состав нонвариантной точки соответствует сплаву с содержанием 16,9 % Ag.

На проекции поверхности ликвидуса тройной системы Ge - Ag - S (рис. 3.2) установлены десять точек нонвариантного равновесия и имеется девять полей первичной кристаллизации фаз (поле первичной кристаллизации серы вырождено) [4]. Обширные области тройной системы занимают расслаивание.



Р и с. 3.2. Проекция поверхности ликвидуса тройной системы Ge-Ag-S [4]

Сплавы отжигали при температурах на 30-50 К ниже температур солидуса, определенных предварительным термографированием, в течение 200-1000 ч. Система исследована методами ДТА, РФА, МСА и измерением микротвердости [4].

#### Система GeS - Ag<sub>2</sub>S

Система GeS - Ag<sub>2</sub>S является неквазибинарным сечением тройной системы Ge - Ag - S, пересекающим четыре вторичных системы Ag<sub>2</sub>S - Ag<sub>8</sub>GeS<sub>6</sub> (A) - Ag, Ag - AgGe<sub>2</sub>S<sub>4</sub> (B) - (A), Ag - B - Ge и B - Ge - GeS<sub>2</sub> [4]. Ликвидус части разреза, пересекающего систему Ag<sub>2</sub>S - A - Ag, состоит

из двух областей:  $\text{ж} + \beta\text{-Ag}_2\text{S}_4$  и  $\text{ж} + \text{Ag}$ . Изотермическая линия при 848 К указывает на тройное эвтектическое равновесие  $\text{ж} \rightleftharpoons \beta - \text{Ag}_2\text{S} + \text{Ag} + \gamma'$ . Вторая часть разреза проходит через треугольник  $\text{Ag} - \text{A} - \text{B}$ , где первично кристаллизуется только  $\text{Ag}$ . В сплавах этой части разреза наблюдаются изотермические эффекты при 670 К, которые отражают тройное перитектическое равновесие  $\text{ж} + \text{Ag} \rightleftharpoons \text{A} + \text{Ag}_3\text{GeS}_2$  (С). Кристаллизация завершается при 583 К по реакции  $\text{ж} \rightleftharpoons \text{Ag} + \text{A} + \text{B}$ . В третьей части разреза, кроме области первичной кристаллизации  $\text{Ag}$ , кривая ликвидуса проходит также через область  $\text{ж} + \text{Ag}$ . Процесс затвердевания завершается кристаллизацией эвтектики при 570 К. Изотермическая линия при 648 К отражает перитектическое равновесие  $\text{ж} + \text{Ag} \rightleftharpoons \text{C} + \text{Ge}$ . В последней вторичной системе разрез проходит только через область первичной кристаллизации  $\text{Ge}$ . Процесс затвердевания завершается при 570 К по перитектической реакции  $\text{ж} + \text{Ge} \rightleftharpoons \text{GeS} + \text{B}$ .

Сплавы отжигали при температурах на 30-50 К ниже температур солидуса, определенных предварительным термографированием, в течение 200-1000 ч. Система исследована методами ДТА, РФА, МСА и измерением микротвердости [4].

#### Система GeS - Cd

Система GeS - Cd является неквазибинарным сечением тройной системы Ge - Cd - S, пересекающим вторичные системы CdS - Cd - Ge и CdS - Ge [5]. В сечении имеются три изотермические линии, определяющие границы солидуса в тройной системе. При 573 К протекает эвтектическая реакция  $\text{ж} \rightleftharpoons \text{Cd} + \text{CdS} + \text{Ge}$ , а при 848 К - перитектическая реакция. В этой части системы кристаллизация заканчивается при 803 К.

Поверхность ликвидуса системы Ge - Cd - S имеет 8 полей первичной кристаллизации фаз, причем область первичной кристаллизации Cd незначительна, а S - вырождена.

Исходные образцы отжигали при температурах ниже температуры эвтектики на 50-100 К. Система исследована методами ДТА, РФА, МСА и измерением микротвердости [5].

#### Система GeS - CdS

Система GeS - CdS является неквазибинарным сечением тройной системы Ge - Cd - S (рис. 3.3) [5,6]. По линии ликвидуса первично выделяются CdS,  $\alpha\text{-Cd}_4\text{GeS}_6$  (А) и Ge. Термические эффекты при 1198 К относятся к совместному выделению CdS + A. При 998 К протекает нонвариантное равновесие  $\text{ж} + \text{CdS} \rightleftharpoons \text{A} + \text{Ge}$ . Кристаллизация сплавов в области 0,5-66,6 % CdS заканчивается в тройной перитектике при 898 К. Области твердых растворов на основе CdS и GeS не превышают 0,5 % [6], хотя при повышенных давлениях  $(2\pm 3) \cdot 10^9$  Па и температурах (870-970 К) растворимость GeS в CdS достигает 30 % [7]. Авторами [6] соединение  $\text{Cd}_4\text{GeS}_5$  не обнаружено, а в работе [5] отмечается, что оно разлагается перитектически при 878 К.

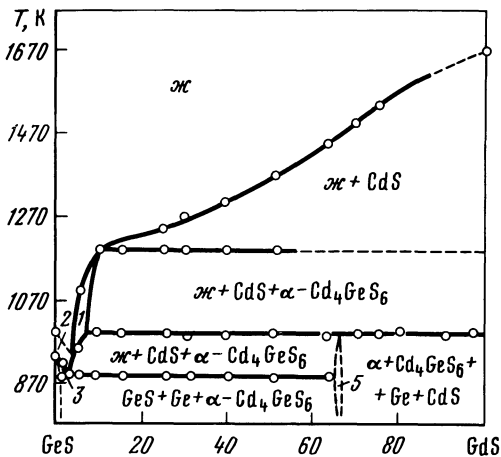


Рис. 3.3. Политермическое сечение GeS-CdS [6]  
 1 -  $\text{Cd}_4\text{GeS}_6 + \text{Ж}$ ; 2 -  $\text{Ge} + \text{Ж}$ ;  
 3 -  $\text{Ge} + \text{GeS} + \text{Ж}$ ; 4 -  $\text{Ge} + \text{GeS}$ ; 5 -  
 $\text{Cd}_4\text{GeS}_6 + \text{Ge}$

Исходные образцы отжигали при 810 К в течение 1200 ч [6] или при температурах ниже температуры эвтектики на 50-100 К [5]. Система исследована методами ДТА, РФА, МСА и измерением микротвердости [5,6].

#### Система GeS - $\text{In}_2\text{S}_3$

Диаграмма состояния системы GeS- $\text{In}_2\text{S}_3$  (рис. 3.4) эвтектического типа [8]. Эвтектика содержит 30 %  $\text{In}_2\text{S}_3$  и кристаллизуется при 873 К. Эффект, связанный с полиморфным превращением в GeS, зафиксирован при 808 К только для образцов, содержащих 0-45 %  $\text{In}_2\text{S}_3$ . Термические эффекты при 1023 К обусловлены полиморфным превращением в  $\text{In}_2\text{S}_3$ .

Поверхность ликвидуса тройной системы GeS -  $\text{GeS}_2 - \text{In}_2\text{S}_3$  (рис. 3.5) построена на основании изучения пяти политермических сечений [9]. Она делится линиями моновариантного равновесия на три поля первичной кристаллизации, соответствующих выделению из расплава индивидуальных бинарных веществ. Наибольшую площадь занимает поле первичной кристаллизации  $\text{In}_2\text{S}_3$ . Тройная эвтектика кристаллизуется при 798 К.

Исходные образцы отжигали при 1390 К в течение 10 ч [8]. Система исследована методами ДТА, РФА и ХА [8,9].

#### Система GeS - TlS

Система GeS - TlS является неквазибинарным сечением тройной системы Ge - Tl - S [10]. На разрезе наблюдается образование тройных соединений  $\text{TlGeS}_2$  (A) (плавится инконгруэнтно при 670 К) и  $\text{Tl}_2\text{GeS}_3$  (B) (плавится конгруэнтно при 770 К). Впоследствии оказалось, что вместо соединения A в тройной системе образуется соединение  $\text{Tl}_2\text{GeS}_4$ , кристаллизующееся в ромбической структуре с параметрами элементарной ячейки  $a = 6,633 \text{ \AA}$ ,  $b = 8,824 \text{ \AA}$ ,  $c = 13,977 \text{ \AA}$  [11]. В состав этого соединения германий входит в двух- и четырехвалентном состоянии.

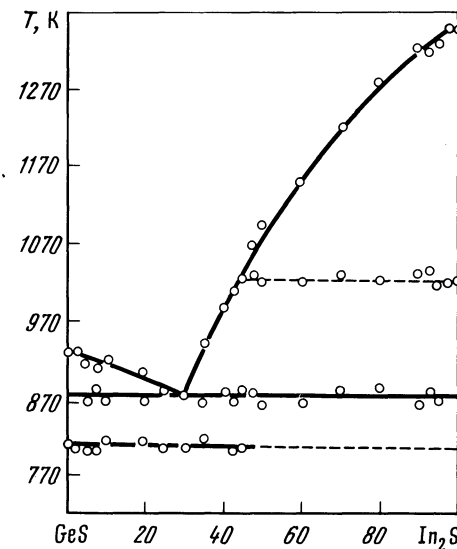


Рис. 3.4. Диаграмма состояния системы  $\text{GeS}-\text{In}_2\text{S}_3$  [8]

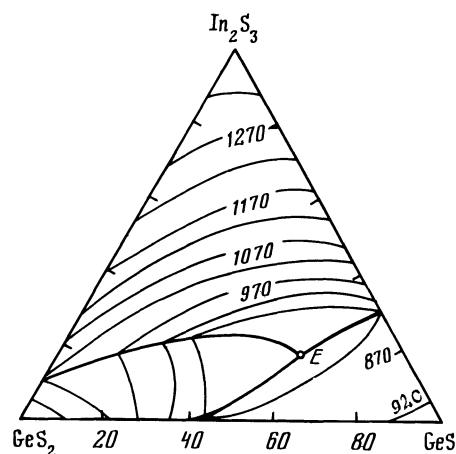


Рис. 3.5. Поверхность ликвидуса тройной системы  $\text{Ge}-\text{GeS}_2-\text{In}_2\text{S}_3$  [9]

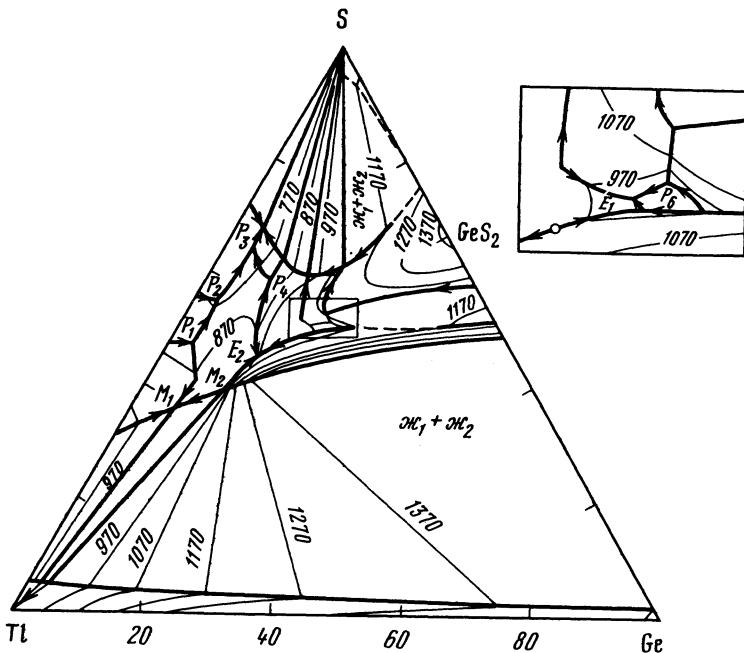
На поверхности ликвидуса тройной системы  $\text{Ge} - \text{Tl} - \text{S}$  (рис. 3.6) имеются две широкие области расслаивания, а также поверхности первичной кристаллизации всех образующихся в системе фаз [10]. Кроме указанных выше соединений, в тройной системе образуются также  $\text{Tl}_4\text{GeS}_4$  (С) (плавится конгруэнтно при 688 К),  $\text{Tl}_2\text{Ge}_2\text{S}_5$  (Д),  $\text{TlGeS}_5$  (Е) (плавятся инконгруэнтно при 853 и 495 К соответственно) и  $\text{Tl}_4\text{GeS}_{4+x}$  [10, 12], а также  $\text{Tl}_6\text{Ge}_2\text{S}_6$  (разлагается при 643 К и имеет плотность 6,77 г/см<sup>3</sup>).

Изотермическое сечение тройной системы  $\text{Ge} - \text{Tl} - \text{S}$  при 298 К построено в [10], а нонвариантные равновесия в системе приведены в табл. 3.1.

Таблица 3.1

Нонвариантные равновесия в тройной системе  $\text{Ge}-\text{Tl}-\text{S}$  [10]

Обозначение точек	T, К	Состав, % Tl; Ge	Реакция
E <sub>1</sub>	615	28,5; 21	$\text{Ж} \rightleftharpoons \text{A} + \text{B} + \text{D}$
E <sub>2</sub>	620	40; 14	$\text{Ж} \rightleftharpoons \text{Ge} + \text{B} + \text{C}$
P <sub>1</sub>	565	49; 4	$\text{Ж} + \text{Tl}_2\text{S} \rightleftharpoons \text{Tl}_4\text{S}_3 + \text{C}$
P <sub>2</sub>	495	42; 3	$\text{Ж} + \text{Tl}_2\text{S}_3 \rightleftharpoons \text{TlS} + \text{C}$
P <sub>3</sub>	430	31,5; 4,5	$\text{Ж} + \text{F} \rightleftharpoons \text{TlS} + \text{E}$
P <sub>4</sub>	510	31,5; 9,5	$\text{Ж} + \text{F} \rightleftharpoons \text{B} + \text{E}$
P <sub>5</sub>	835	25,5; 21,5	$\text{Ж} + \text{GeS}_2 \rightleftharpoons \text{GeS} + \text{D}$
P <sub>6</sub>	660	27; 22	$\text{Ж} + \text{GeS} \rightleftharpoons \text{A} + \text{D}$



Р и с. 3.6. Поверхность ликвидуса тройной системы Ge-Tl-S  
[10]

Соединение  $Tl_2Ge_2S_4$  синтезировали из элементарных веществ при медленном повышении температуры до 820 К, выдерживали при этой температуре 190 ч, а затем медленно охлаждали до 660 К и выдерживали при этой температуре 670 ч [II].

Система исследована методами ДТА, РФА, МСА, а также измерениями микротвердости, плотности и ЭДС концентрационных цепей [3, 10, 12].

#### Система GeS - $Tl_2S$

Система GeS- $Tl_2S$  является неквазибинарным сечением тройной системы Ge-Tl-S [13], пересекающим пять трехфазных областей. В системе первично кристаллизуются Ge,  $Tl_4GeS_4$  и  $Tl_2S$ . Имеется широкая область расслаивания, практически охватывающая кривые ликвидуса Ge и  $Tl_4GeS_4$ .

Исходные образцы отжигали при температурах на 20-30 К ниже температур солидуса в течение 400 ч. Система исследована методами ДТА, РФА, а также измерением микротвердости и ЭДС гальванических цепей [13].

#### Системы GeS - $Ln_2S_3$ ( $Ln = Pr, Nd, Sm, Cd$ )

В системах GeS- $Ln_2S_3$  обнаружены соединения  $Ln_2GeS_4$  [14, 15], которые при 873 К диспропорционируют с образованием Ge,  $Ln_2S_3$  и  $GeS_2$ . Системы исследованы методами ДТА и РФА [14, 15].

### Система GeS - EuS

Взаимодействие GeS и EuS при 790 К приводит к образованию  $\text{Eu}_2\text{GeS}_4$  и  $\text{Ge}$  [16]. Система исследована методами ДТА и РФА [16].

### Система GeS - U

В системе GeS - U обнаружено соединение  $\text{UGeS}$ , кристаллизующееся в тетрагональной структуре с параметрами элементарной ячейки  $a = 3,820 \text{ \AA}^\circ$  и  $c = 8,323 \text{ \AA}^\circ$  [17]. Указанное соединение синтезировано нагреванием стехиометрических количеств исходных компонентов при 1170 К в течение двух недель.

### Система GeS - GeSe

Диаграмма состояния системы GeS - GeSe (рис. 3.7) [18-20] принадлежит к типу I по классификации Розебома. При температурах выше 640 К в системе образуется непрерывный ряд твердых растворов [18-23]. Твердые растворы образуются в интервале 40-100 % GeS [24]. Максимуму криевой распада твердых растворов соответствует состав, содержащий 60 % GeSe [18]. Кроме термических эффектов ликвидуса и солидуса обнаружены небольшие эндотермические эффекты при 758-763 К, обусловленные фазовыми переходами [19,20]. Параметры решетки в системе подчиняются правилу Вегарда [19,21,22], ширина запрещенной зоны плавно изменяется от 1,1 эВ (GeSe) до 1,6 эВ (GeS) [22].

Следует отметить, что при построении диаграммы состояния авторы не учитывали образование GeS и GeSe по перитектическим реакциям, вследствие чего разрез должен быть неквазибинарным.

В верхней части поверхности ликвидуса тройной системы Ge-S-Se (рис. 3.8) [25] расположено поле первичного выделения Ge с областью расслаивания. Линия вторичной кристаллизации, соединяющая перитектическую точ-

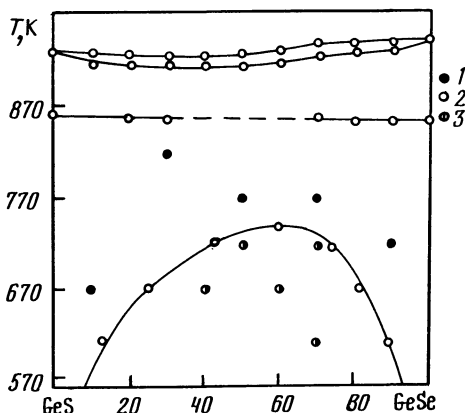


Рис. 3.7. Диаграмма состояния системы GeS-GeSe [18]

1 - ДТА, 2 - одно- и 3 - двухфазные образцы

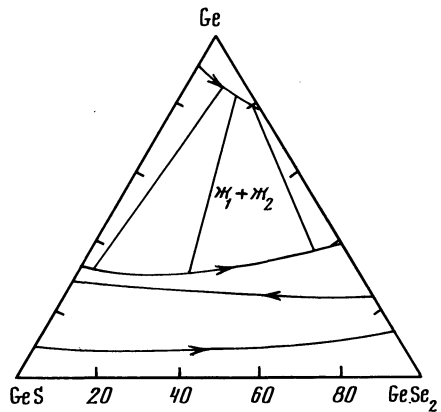


Рис. 3.8. Схема поверхности ликвидуса тройной системы Ge-GeSe<sub>2</sub>-GeSe<sub>2</sub> [25]

ку в системе Ge-Se с эвтектической точкой в системе Ge-S, отделяет поле первичного выделения твердых растворов  $\text{GeS}_x\text{Se}_{1-x}$  от поля первично-го выделения Ge. В нижней части треугольника расположено поле выделения твердых растворов системы  $\text{GeS}_2\text{-GeSe}_2$ .

Исходные образцы отжигали при 560-820 К в течение 72-96 ч [18]. Монокристаллы твердых растворов  $\text{GeS}_x\text{Se}_{1-x}$  получали методом сублимации [24]. Система исследована методами ДТА, РФА, МСА, а также измерениями микротвердости и плотности [18-25].

#### Система GeS - GeTe

Система GeS-GeTe является неквазибинарным сечением тройной системы Ge-S-Te (рис. 3.9) [26]. Взаимной растворимости исходных компонентов не обнаружено.

В системе Ge-S-Te тройных соединений и твердых растворов не обнаружено [27, 28]. В подсистеме Ge-GeS<sub>2</sub>-GeTe существуют перитектическое (857 К) и эвтектическое (807 К) моновариантные равновесия, а в подсистеме GeS-GeTe-Te тройная эвтектика кристаллизуется при 653 К [28].

Система исследована методами ДТА, РФА и МСА [26].

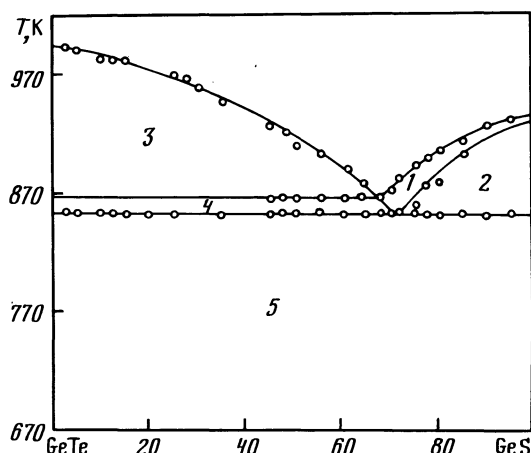


Рис. 3.9. Политермическое сечение GeS-GeTe [26]:  
1 - л + Ge; 2 - л + Ge + GeS; 3 - л + GeTe; 4 - л + Ge + GeTe; 5 - GeTe + GeS

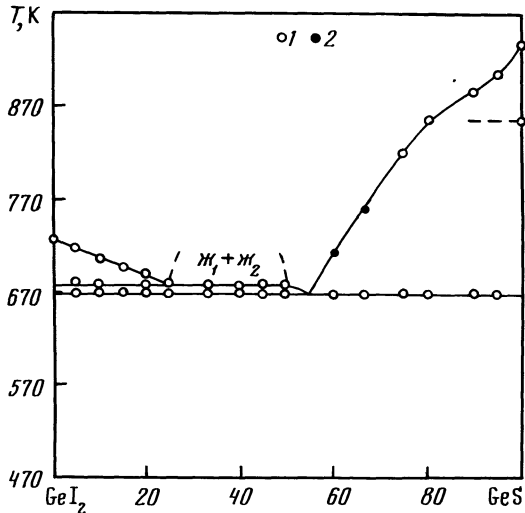
#### Система GeS - GeJ<sub>2</sub>

Результаты исследования системы GeS - GeJ<sub>2</sub> противоречивы. Согласно [29] диаграмма состояния (рис. 3.10) эвтектического типа. Эвтектика содержит 55 % GeS и кристаллизуется при 671 К. В интервале 25-50 % GeS в системе наблюдается расслаивание в жидком состоянии. Температура монотектического равновесия составляет 682 К.

Согласно [30] система является неквазибинарным сечением тройной системы Ge - J - S.

В подсистеме Ge-GeS-GeJ<sub>2</sub> тройной системы Ge-J-S существует область расслаивания, а в подсистеме GeS<sub>2</sub>-GeJ<sub>2</sub>-GeJ<sub>4</sub> - два перитектических (664 и 647 К) и одно эвтектическое (398 К) моновариантные равновесия [30].

Рис. 3.I0. Диаграмма состояния системы GeS-GeJ<sub>2</sub> [29].  
1 - нагревание; 2 - охлаждение



Исходные образцы отжигали при 640 К в течение 750 ч [29]. Система исследована методами ДТА, РФА и МСА [29,30].

#### Система GeS - SnS

Диаграмма состояния системы GeS-SnS (рис. 3.II) принадлежит к типу I по классификации Розебома [31]. В системе образуется непрерывный ряд твердых растворов, имеющих в низкотемпературной области ромбическую, а в высокотемпературной - кубическую структуру [31,32]. С увеличением содержания SnS температура полиморфного превращения несколько понижается, а сам переход размывается с образованием области двухфазного равновесия [31]. При изучении системы обнаружены незначительные количества металлического Ge, SnS<sub>2</sub> и GeS<sub>2</sub> [32].

Следует отметить, что характер фазовых равновесий в системе является более сложным, так как высокотемпературная модификация SnS неизоструктурна в GeS. Фазовое превращение в SnS происходит при 878 К, а не при 810 К, как показано на рис. 3.II. Монокристаллы твердых растворов Ge<sub>x</sub>Sn<sub>1-x</sub>S получали путем медленного охлаждения расплавов в горизонтальной печи [31]. Система исследована методами ДТА, РФА и МСА, а также инфракрасной спектроскопией [31,32].

#### Система GeS - PbSe

Растворимость GeS в PbSe при 978 К достигает 27 % [33], а при 743 К уменьшается до 7,5 % [34]. Параметр элементарной ячейки в области твердых растворов изменяется линейно [33].

Исходные образцы отжигали при 978 К в течение двух недель [33] при 743 К в течение 70 ч [34]. Система исследована методом РФА [33].

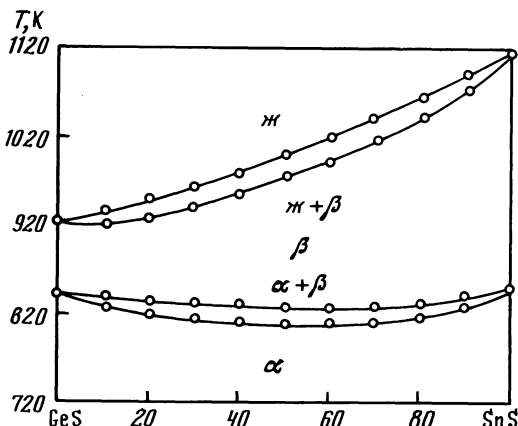


Рис. 3.II. Диаграмма состояния системы GeS-SnS [31]

#### Система GeS – PbTe

Расторимость GeS в PbTe при 903 К составляет 5,7 % [33]. Исходные образцы отжигали при 903 К в течение двух недель. Система исследована методом РФА.

#### Система GeS – P

Поверхность ликвидуса тройной системы Ge-P-S состоит из полей первичной кристаллизации  $\text{GeS}_2$ , S,  $\text{P}_4\text{S}_{10}$ ,  $\text{P}_4\text{S}_7$ ,  $\text{P}_4\text{S}_9$ ,  $\text{P}_4\text{S}_5$  и  $\text{P}_4\text{S}_3$  [35]. Поле первичной кристаллизации  $\text{P}_4\text{S}_3$  практически вырождено. Соединения  $\text{P}_4\text{S}_9$  и  $\text{P}_4\text{S}_5$  плавятся инконгруэнтно и им отвечают небольшие поля кристаллизации на поверхности ликвидуса. В поле первичной кристаллизации  $\text{GeS}_2$  обнаружена большая область расслаивания.

Согласно [3] в системе образуется тройное соединение  $\text{Ge}_2\text{P}_2\text{S}_6$ , плавящееся при 510 К и имеющее плотность 2,20 г/см<sup>3</sup>.

Система исследована методами ДТА, РФА, МСА, а также измерением микротвердости и плотности [3,35].

#### Система GeS – As

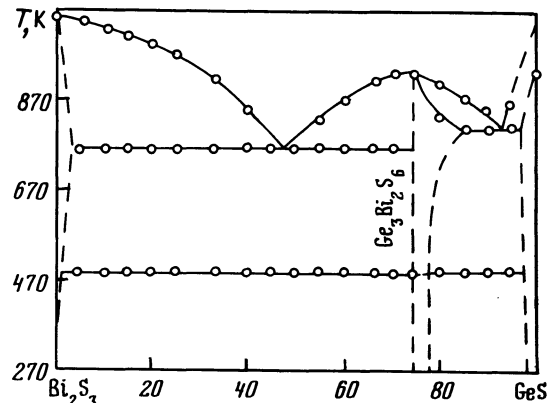
Построена часть поверхности ликвидуса тройной системы Ge-As-S [36, 37] и определены границы области существования соединения  $\text{GeAsS}$ , плавящегося при 943 К. Согласно [3] в системе образуется тройное соединение  $\text{Ge}_2\text{As}_2\text{S}_6$ , существующее в стеклообразном состоянии и имеющее плотность 3,07 г/см<sup>3</sup>.

Исходные образцы отжигали при 720-820 К в зависимости от состава в течение 10 дней [36,37]. Система исследована методами ДТА, РФА, МСА, а также измерением микротвердости и плотности [3,36,37].

#### Система GeS – $\text{Bi}_2\text{S}_3$

Система GeS- $\text{Bi}_2\text{S}_3$  является неквазибинарным сечением тройной системы Ge-Bi-S (рис. 3.I2). Эвтектика содержит 48 % GeS и кристаллизуется при

Р и с. 3.I2. Политермическое сечение GeS-Bi<sub>2</sub>S<sub>3</sub> [38].



765 К. В системе обнаружено соединение Ge<sub>3</sub>Bi<sub>2</sub>S<sub>6</sub>, плавящееся конгруэнтно при 928 К и претерпевающее полиморфное превращение [38]. В левой части диаграммы температура полиморфного превращения составляет 488 К, а в правой - 494 К, что обусловлено, по-видимому, наличием области гомогенности.

По данным [39] соединения Ge<sub>3</sub>Bi<sub>2</sub>S<sub>6</sub> не существует. Образцы, отвечающие предполагаемому соединению, содержали в основном Bi и GeS<sub>2</sub>, получающиеся в результате обменного взаимодействия, а также незначительные количества GeS и Bi<sub>2</sub>S<sub>3</sub>.

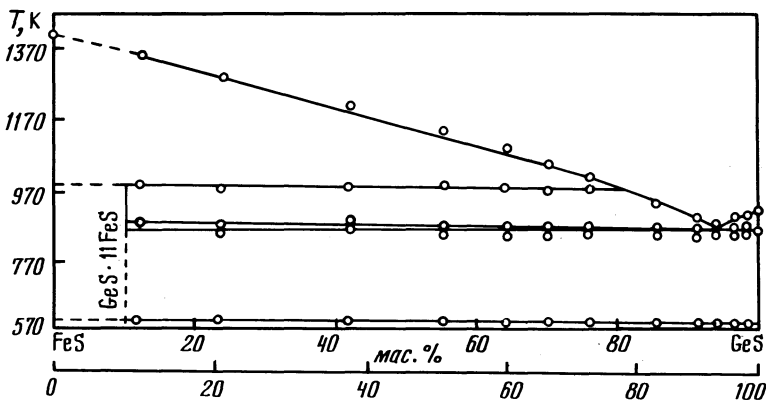
Исходные образцы отжигали при 670 К в течение 920 ч [38], при 1120 К в течение 100 ч [39]. Система исследована методами ДТА, РФА, МСА, а также измерением микротвердости [38, 39].

#### Система GeS - FeS

Диаграмма состояния системы GeS-FeS (рис. 3.I3) эвтектического типа [40]. Эвтектика содержит 7 % (6 мас.%) FeS и кристаллизуется при 873 К [40, 41]. Термические эффекты при 595 К отвечают полиморфному превращению FeS, при 863 К - полиморфному превращению GeS, при 983 К - перитектическому взаимодействию, которое сопровождается, по-видимому, образованием соединения GeS·11FeS, состав которого определен ориентировочно путем построения треугольника Таммана [40].

Изотермическое сечение тройной системы Ge-Fe-S построено в работе [42]. При 970 К в системе существует соединение Fe<sub>2</sub>GeS<sub>4</sub>. Бинарные фазы Fe<sub>1-x</sub>S, FeS<sub>2</sub> и GeS<sub>2</sub> растворяют менее 2 % Ge, а металлические бинарные фазы практически не растворяют серу.

Исходные образцы отжигали при 970 К в течение 1-3 месяцев [42]. Система исследована методами ДТА, РФА и МСА, а также измерением плотности [40-42].



Р и с. 3.I3. Диаграмма состояния системы GeS-FeS [ 40 ]

#### Система GeS - Pt

В системе GeS-Pt образуется соединение PtGeS (диамагнитный полупроводник), которое кристаллизуется в ромбической структуре с параметрами элементарной ячейки  $a = 5,864 \text{ \AA}$ ,  $b = 5,902 \text{ \AA}$ ,  $c = 5,835 \text{ \AA}$  [ 43 ]. Указанное соединение может быть получено нагреванием смеси элементарных веществ в области температур 870-1170 К.

#### Литература

1. Довлетов К., Ташлиев К., Розыева К.А. и др. // Изв. АН СССР. Неорг. материалы. 1977. Т. 13, № 6. С. 1092-1093.
2. Viaene W., Verkaeren J., Moreau J. // C. r. Acad. sci. 1968. Vol. D266, N 14. P. 1451-1454.
3. Ворошилов Ю.В., Поторий М.В., Приц И.Б. // Изв. вузов. Химия и и хим. технология. 1986. Т. 29, № 2. С. 19-21.
4. Мовсум-заде А.А., Салаева З.Ю., Аллазов М.Р. // Журн. неорган. химии. 1989. Т. 34, № 9. С. 2324-2330.
5. Мовсум-заде А.А., Алиева Ш.Б., Аллазов М.Р., Заргарова М.И. // Журн. неорган. химии. 1987. Т. 32, № 4. С. 1025-1029.
6. Один И.Н., Галиуллин Э.А., Новоселова А.В. // Журн. неорган. химии. 1983. Т. 28, № 9. С. 2362-2365.
7. Kobayashi T., Susa K., Taniguchi S. // J. Phys. and Chem. Solids. 1979. Vol.40, N 10. P. 781-785.
8. Саркисов Э.С., Лидин Р.А., Венгелевская Н.С. // Изв. АН СССР. Неорг. материалы. 1970. Т. 6, № 1. С. 184-185.
9. Саркисов Э.С., Лидин Р.А., Дробот Д.В. // Изв. АН СССР. Неорг. материалы. 1971. Т. 7, № 1. С. 34-37.
10. Бабанлы М.Б., Кулиева Н.А., Саттар-заде И.С. // Журн. неорган. химии. 1982. Т. 27, № 9. С. 2375-2381.
- II. Eulenberger G. // J. Less-Common Metals. 1985. Vol 108, N 1. P. 65-72.
12. Кулиев А.А., Бабанлы М.Б., Асадов М.М. и др. // 12-й Менделеевский съезд по общ. и прикл. химии: Реф. докл. и сообщ. № 1. М.: Наука, 1981. С. 68-69.
13. Бабанлы М.Б., Кулиева Н.А., Юсиров Ю.А., Гасанов Р.Ф. // Изв. АН СССР. Неорг. материалы. 1985. Т. 21, № 10. С. 1645-1648.

14. Гуськова В.П., Серебренников В.В. // Вопросы химии (Труды Томск. ун-та. Т. 240). 1973. Вып. 8. С. 132-135.
15. Гуськова В.П., Серебренников В.В. // Труды Томск. ун-та. 1973. Т. 249, вып. 9. С. 137-140.
16. Сенова Р.Н. // Новые неорган. материалы. Томск, 1979. С. 13-15. Деп. в ОНИИТЭХИМ г. Черкассы, № 3186/79 Деп.
17. Zygmunt A. // *Phys. status solidi.* 1977. Vol. A43, N 2. P. 573-577.
18. Koren N.N., Kindyak V.V., Matyas E.E. // *Phys. status solidi.* 1983. Vol. A80, N 1. P. K105-K108.
19. Koren N.N., Krasnova V.V., Matyas E.E. // *Phys. status solidi.* 1978. Vol A46, N 1. P. K1-K3.
20. Сидоров И.А., Магунов Р.Л., Заколодяжная О.В., Белюга Ю.В. // Журн. неорган. химии. 1976. Т. 21, № 3. С. 856-858.
21. Корень Н.Н., Краснова В.В. // Хим. связь в кристаллах и их физ. свойства. Минск: Наука и техника. 1976. Т. 1. С. 202-205.
22. Корень Н.Н., Краснова В.В., Зеленевская С.М. // Химия и физика халькогенидов. Киев: Наук. думка. 1975. С. 45-47.
23. Marcheva N.C // *Monatsch. Chem.* 1979. Bd. 110, N 1. S. 35-38.
24. Блецкан Д.И., Герасименко В.С., Миголинец И.М. и др. // Укр. физ. журн. 1976. Т. 21, № 10. С. 1585-1590.
25. Алексеева И.В., Образцов А.А., Борисова З.У., Бальмаков М.Д. // Физика и химия стекла. 1978. Т. 4, № 4. С. 411-415.
26. Maneglier-Lacordaire S., Rivet J., Khodadad P., Flahaut J. // *Bull. Soc. chim. France.* 1976. N 6, Pt. 1. P. 1930-1935.
27. Maneglier-Lacordaire S., Rivet J., Khodadad P., Flahaut J. // *Bull. Soc. chim. France.* 1974. N 11, Pt. 1. P. 2451-2452.
28. Maneglier-Lacordaire S., Besancon P., Rivet J., Flahaut J. // *J. Non-Cryst. Solids.* 1975. Vol. 18, N 3. P. 439-454.
29. Новоселова А.В., Тодрия М.К., Один И.Н., Поповкин Б.А. // Изв. АН СССР. Неорган. материалы. 1971. Т. 7, № 7. С. 1266-1267.
30. Maneglier-Lacordaire S., Rivet J., Flahaut J. // *Ann. chim. (France).* 1975. Vol. 10, N 6. P. 291-299.
31. Блецкан Д.И., Герасименко В.С., Химинец В.В. // Журн. неорган. химии. 1981. Т. 26, № 3. С. 761-764.
32. Elli M. // *Atti Accad. naz. Lincei. Rend. Cl. sci. fis., mat. e natur.* 1963. Vol. 35, N 6. P. 538-547.
33. Nikolić P.M. // *J.Phys. (Brit. J. Appl. Phys.).* 1969. Vol. D2, N 3. P. 383-388.
34. Krebs H., Langner D. // *Z. anorg. und allg. Chem.* 1964. Bd. 334, N 1/2. S. 37-49.
35. Виноградова Г.З., Майсашивили Н.Г. // Журн. неорган. химии. 1979. Т. 24, № 4. С. 1067-1072.
36. Виноградова Г.З., Дембовский С.А. // Журн. неорган. химии. 1971. Т. 16, № 7. С. 2036-2037.
37. Виноградова Г.З., Дембовский С.А. // Некот. вопросы химии и физики полупроводн. сложного состава. Ужгород: Ужгород. ун-т. 1970. С. 98-101.
38. Один И.Н., Господинов Г.Г., Новоселова А.В. // Вестн. МГУ. Сер. 2, Химия. 1974. Т. 15, № 4. С. 490-492.
39. Juříček V., Frumar M. // *Collect. Czech. Chem. Commun.* 1979. Vol. 44, N 2. P. 319-320.
40. Чижиков Д.М., Никифоров Л.В., Лайннер Ю.А. // Изв. АН СССР. Неорган. материалы. 1969. Т. 5, № 2. С. 290-294.

41. Никифоров Л.В., Нагиев В.А., Грабчак В.П. // Изв. АН СССР. Неорган. материалы. 1976. Т. 12, № 7. С. II83-II86.  
 42. Viane W., Moreau J. // C.r.Acad. sci. 1968. Vol.D266, N 15. P. 1543-1545.  
 43. Entner P., Parthé E. // Acta Crystallogr. 1973. Vol. B29, N 8. P. 1557-1563.

## Г л а в а 4

### СИСТЕМЫ НА ОСНОВЕ GeSe

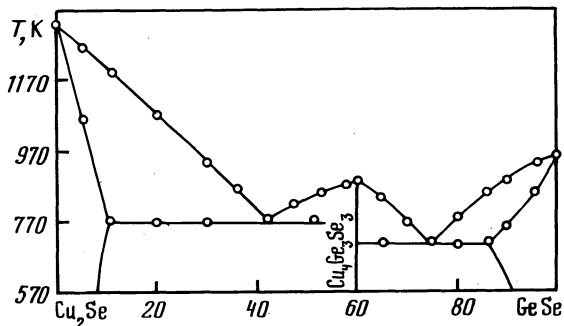
#### Система GeSe - Na

В тройной системе Ge-Na-Se образуются соединения  $\text{Na}_2\text{Ge}_2\text{Se}_5$  (A),  $\text{Na}_6\text{Ge}_2\text{Se}_7$  (B),  $\text{Na}_6\text{Ge}_2\text{Se}_6$  (C) и  $\text{Na}_8\text{Ge}_4\text{Se}_{10}$  (Д) [I-3]. Соединение A кристаллизуется в ромбической структуре с параметрами элементарной ячейки  $a = 14,095 \text{ \AA}$ ,  $b = 6,167 \text{ \AA}$ ,  $c = 10,991 \text{ \AA}$ , рентгенографической плотностью  $4,07 \text{ г}/\text{см}^3$  и пикнометрической плотностью  $4,07 \text{ г}/\text{см}^3$  и пикнометрической  $- 4,00 \text{ г}/\text{см}^3$  [I]. Соединения B и C кристаллизуются в моноклинной структуре с параметрами элементарной ячейки соответственно  $a = 9,451$  и  $8,367 \text{ \AA}$ ,  $b = 10,914$  и  $11,924 \text{ \AA}$ ,  $c = 15,874$  и  $8,158 \text{ \AA}$ ,  $\beta = 104,7$  и  $118,63^\circ$ , рентгенографической плотностью  $3,50$  и  $3,52 \text{ г}/\text{см}^3$  и пикнометрической (для B)  $- 3,58 \text{ г}/\text{см}^3$  [2,3]. Соединение Д кристаллизуется в триклинной структуре с параметрами элементарной ячейки  $a = 7,074 \text{ \AA}$ ,  $b = 8,098 \text{ \AA}$ ,  $c = 10,657 \text{ \AA}$ ,  $\alpha = 73,44^\circ$ ,  $\beta = 70,85^\circ$ ,  $\gamma = 81,73^\circ$  и рентгенографической плотностью  $8,80 \text{ г}/\text{см}^3$  [3].

Указанные соединения получали сплавлением элементарных компонентов в необходимом стехиометрическом соотношении при 890 (A), 1120 (B), 1070 (C) и 1270 К (Д) [I-3].

#### Система GeSe-Cu<sub>2</sub>Se

Диаграмма состояния системы GeSe-Cu<sub>2</sub>Se (рис. 4.1) эвтектического типа [4]. В системе образуется соединение Cu<sub>4</sub>Ge<sub>3</sub>Se<sub>5</sub>, плавящееся при 888 К и кристаллизующееся в гранецентрированной кубической решетке с параметром  $a = 5,33 \text{ \AA}$ . Растворимость GeSe в Cu<sub>2</sub>Se достигает 8 %, а Cu<sub>2</sub>Se в GeSe - 10 %.



Р и с. 4.1. Диаграмма состояния системы GeSe-Cu<sub>2</sub>Se [4]

В тройной системе Ge-Cu-Se образуются также соединения  $\text{Cu}_6\text{Ge}_2\text{Se}_6$ , плавящееся при 807 К и имеющее плотность 5,88 г/см<sup>3</sup> [5], и  $\text{Cu}_2\text{Ge}_{1,55}\text{Se}_3$ , кристаллизующееся в ромбической структуре с параметрами элементарной ячейки  $a = 3,932 \text{ \AA}$ ,  $b = 22,242 \text{ \AA}$  и  $c = 11,796 \text{ \AA}$  [6]. Соединение  $\text{Cu}_2\text{Ge}_{1,55}\text{Se}_3$  получали взаимодействием элементарных компонентов при 1420 К [6]. Система исследована методами ДТА, РФА, МСА, а также измерением микротвердости, плотности, электропроводности и термоЭДС [4, 5].

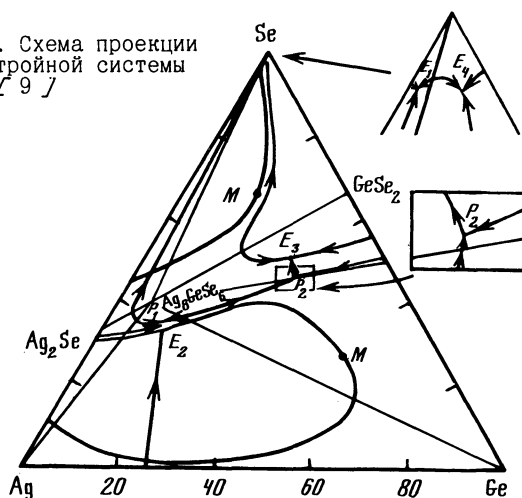
### Система GeSe-Ag

Система GeSe-Ag является неквазибинарным сечением тройной системы Ge-Ag-Se и пересекает три вторичных системы [7, 8]. Ликвидус части разреза, проходящего через тройную систему  $\text{Ag}_2\text{Se}-\text{Ge}-\text{Ag}$ , состоит из ветви первичной кристаллизации Ge, а GeSe выделяется по перитектической реакции. Совместная кристаллизация GeSe заканчивается в эвтектической точке, которой соответствует 90 % GeSe и 763 К. В области разреза, пересекающей вторичную систему  $\text{Ag}_8\text{GeSe}_6-\text{Ge}-\text{Ag}_2\text{Se}$ , ликвидус состоит из двух ветвей первичной кристаллизации -  $\text{Ag}_2\text{Se}$  и Ge; таким образом, область первичной кристаллизации Ge в системе самая большая и охватывающая интервал концентраций 0-63 % Ag.

Тройная система  $\text{GeSe}_2-\text{Ge}-\text{Ag}_8\text{GeSe}_6$  характеризуется первичной кристаллизацией двух фаз -  $\text{Ag}_2\text{Se}$  и Ag. Вторичная кристаллизация  $\text{Ag}_2\text{Se}$  начинается при 913 К со стороны Ag. Совместная кристаллизация сплавов в интервале 66,67-100 % Ag полностью заканчивается при 903 К и составе 77 % Ag [7, 8].

Поверхность ликвидуса тройной системы Ge-Ag-Se по разному интерпретируется авторами [7, 9]. Так, в работе [7] обнаружены поля первичной кристаллизации соединений  $\text{Ag}_8\text{GeSe}_5$  и  $\text{Ag}_2\text{GeSe}_3$ , существование которых не доказано в [9]. Согласно [9] всю систему можно разделить на три области (рис. 4.2): I - область у вершины селена, где тройные эвтек-

Рис. 4.2. Схема проекции ликвидуса тройной системы Ge-Ag-Se [9]



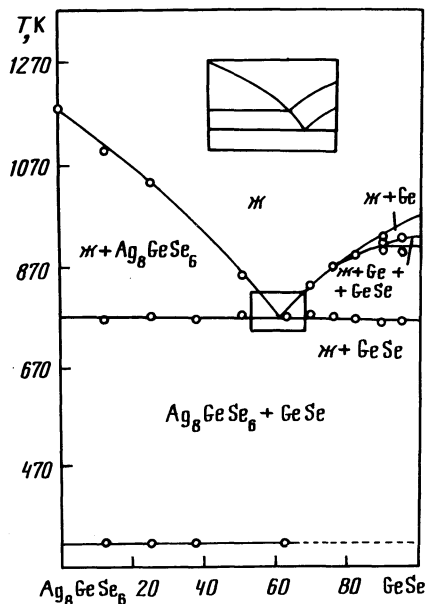
тики  $E_1$  (490 К) и  $E_4$  (490 К) вырождены; 2 - область в треугольнике  $\text{Ag}_8\text{GeSe}_6$ - $\text{GeSe}$ - $\text{GeSe}_2$ , где расположена эвтектика  $E_3$  (683 К) и перитектика  $P_2$  (783 К); 3 - область вблизи соединения  $\text{Ag}_8\text{GeSe}_6$  с тройной эвтектикой  $E_2$  (883 К) и перитектикой  $P_1$  (973 К). На поверхности ликвидуса имеются две области расслаивания.

Система исследована методами ДТА, РФА, МСА и измерением микротвердости [7-9].

#### Система $\text{GeSe}-\text{Ag}_8\text{GeSe}_6$

Система  $\text{GeSe}-\text{Ag}_8\text{GeSe}_6$  является неквазибинарным сечением тройной системы  $\text{Ge}-\text{Ag}-\text{Se}$  (рис. 4.3) [9,10], пересекающим поля первичной кристаллизации  $\text{Ag}_8\text{GeSe}_6$  и  $\text{Ge}$ . Для составов вблизи  $\text{GeSe}$  наблюдаются термические эффекты при 920 К, которые соответствуют фазовому превращению  $\text{GeSe}$ . Эвтектика кристаллизуется при 783 К и содержит 90,6 %  $\text{GeSe}$  [9]. Согласно [10] область гомогенности на основе  $\text{B}-\text{GeSe}$  достигает 4,4 %.

Система исследована методами ДТА, РФА и МСА [9,10].



Р и с. 4.3. Политермическое сечение  $\text{GeSe}-\text{Ag}_8\text{GeSe}_6$  [9]

#### Система $\text{GeSe}-\text{AgSe}$

В системе  $\text{GeSe}-\text{AgSe}$  твердых растворов со структурой типа  $\text{NaCl}$  не обнаружено [II].

#### Система $\text{GeSe}-\text{Ag}_2\text{Se}$

Система  $\text{GeSe}-\text{Ag}_2\text{Se}$  является неквазибинарным сечением тройной системы  $\text{Ge}-\text{Ag}-\text{Se}$  [7,12]. По данным [7,12], не подтвержденным в [9],

в системе образуется соединение  $\text{Ag}_8\text{GeSe}_5$ , разлагающееся перитектически при 993 К. Термические эффекты при 890 К обусловлены полиморфным превращением  $\text{Ag}_8\text{GeSe}_5$ . Кристаллизация фаз заканчивается при 968 и 803 К. Область твердых растворов на основе  $\text{GeSe}$  при комнатной температуре достигает 2%, а на основе  $\text{Ag}_2\text{Se}$  - 3 %.

Исходные образцы гомогенизировали при 570 К в течение 200 ч. Система исследована методами ДТА, РФА, МСА, а также измерением микротвердости и электрофизических свойств [7, 12].

#### Система GeSe-CdSe

Система GeSe-CdSe является неквазибинарным сечением тройной системы Ge-Cd-Se (рис. 4.4) [13], пересекающим поля первичного выделения Ge и CdSe. При 956 К происходят вторичные выделения германия и CdSe, а при 941 К происходит дважды перитектический процесс  $\text{CdSe} + \text{Ge} \rightleftharpoons \text{CdSe} \cdot 9\text{GeSe}$  (A). При 933 К протекает перитектическая реакция  $\text{Ge} + \text{Ge} \rightleftharpoons \text{A} + \text{B} + \text{GeSe}$ . Термические эффекты в области 898–900 К обусловлены полиморфным превращением GeSe. На кривых нагревания имеются небольшие термические эффекты при 810–830 К, которые отвечают образованию A из  $\alpha\text{-GeSe}$  и CdSe.

Растворимость CdSe в  $\alpha\text{-GeSe}$  составляет 0,5 %, а  $\alpha\text{-GeSe}$  в CdSe - 1 %.

На поверхности ликвидуса тройной системы Ge-Cd-Se имеются поля первичной кристаллизации  $\text{Cd}_4\text{GeSe}_6$  (B),  $\text{A}(\text{CdSe})$ ,  $(\text{GeSe}_2)$ ,  $\alpha(\text{GeSe})$ ,  $\text{Ge}$ ,  $\text{Se}$  и Cd (рис. 4.5). Фазовые отношения в системе обусловлены 19 нонвариантными равновесиями с участием твердых и жидких фаз, часть из которых приведены в табл. 4.1. В системе существует три области расслаивания. Одна из них находится на ветви первичного выделения Ge, проникая вглубь концентрационного треугольника на 2 % Cd. Другая область захватывает поле первичного выделения CdSe, располагаясь внутри концентрационного треугольника. Максимальная протяженность этой об-

Т а б л и ц а 4.1

Нонвариантные равновесия в тройной системе Ge-Cd-Se [13]

Обозначение	T, K	Реакция
E <sub>1</sub>	478	$\text{Ge} \rightleftharpoons \text{B} + \text{Se} + (\text{CdSe})$
E <sub>2</sub>	843	$\text{Ge} \rightleftharpoons \text{A} + (\text{GeSe}_2) + \alpha(\text{GeSe})$
E <sub>3</sub>	584	$\text{Ge} \rightleftharpoons \text{Cd} + \text{Ge} + (\text{CdSe})$
P <sub>2</sub>	485	$\text{Ge} + (\text{CdSe}) \rightleftharpoons \text{B} + \text{Se}$
P <sub>3</sub>	863	$\text{Ge} + \text{B} \rightleftharpoons \text{A} + (\text{GeSe}_2)$
P <sub>4</sub>	937	$\text{Ge} + (\text{CdSe}) \rightleftharpoons \text{A} + \text{B}$
P <sub>5</sub>	941	$\text{Ge} + (\text{CdSe}) + \text{Ge} \rightleftharpoons \text{A}$
P <sub>6</sub>	933	$\text{Ge} + \text{Ge} \rightleftharpoons \text{B}(\text{GeSe}) + \text{A}$

ласти наблюдается по квазибинарному разрезу CdSe-Ge. Третья область расслаивания начинается со стороны CdSe-Se и проникает вглубь треугольника на 3 % Ge.

При 870 К в тройной системе Ge-Cd-Se в двух- и трехфазных равновесиях находятся твердые фазы A, B,  $(\text{CdSe})$ ,  $\gamma(\text{GeSe}_2)$ ,  $\alpha(\text{GeSe})$ , Ge и жидкость.

Исходные образцы отжигали при 770 и 870 К в течение соответственно 1100 и 1000 с. Система исследована методами ДТА, РФА и МСА [13].

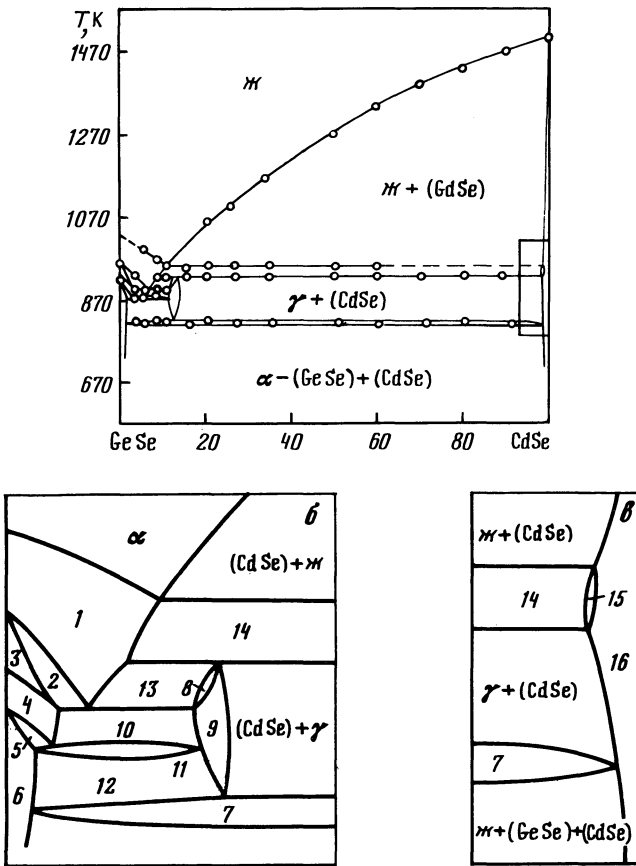
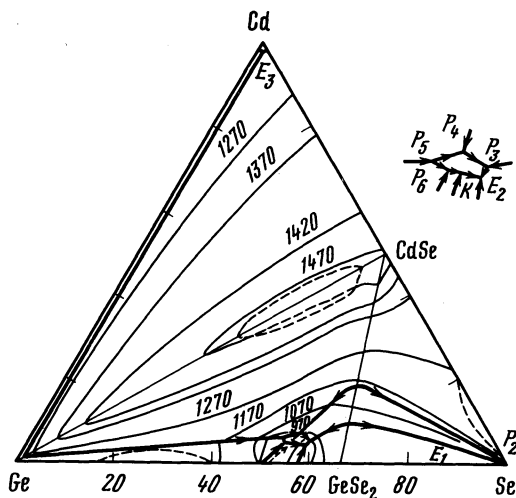


Рис. 4.4. Политермическое сечение GeSe-CdSe [13]

а - общий вид; б, в - фрагменты: 1 - Ж + Ge; 2 - Ж + Ge + B(GeSe); 3 - Ж + B(GeSe); 4 - B(GeSe); 5 - B(GeSe) + α(GeSe); 6 - α(GeSe) + A + (CdSe); 7 - A + Ge; 8 - A; 9 - A + B(GeSe); 10 - A + B(GeSe) + α(GeSe) + A; 11 - B(GeSe) + α(GeSe) + A; 12 - α(GeSe) + A; 13 - Ж + A + Ge; 14 - (CdSe) + Ge + Ж; 15 - (CdSe) + Ge; 16 - CdSe

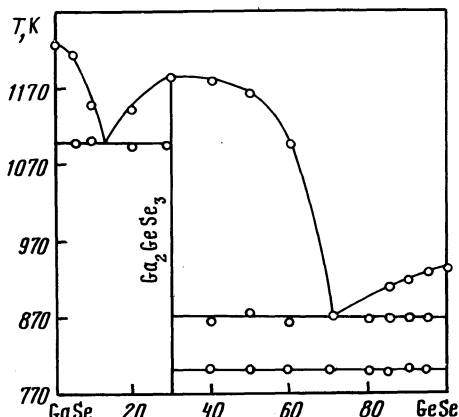
Р и с. 4.5. Поверхность ликвидуса тройной системы Ge-Cd-Se [13]



#### Система GeSe-GaSe

Результаты исследования системы GeSe-GaSe противоречивы. Согласно [14] диаграмма состояния системы рис. 4.6 эвтектического типа. Эвтектика содержит 30 и 87 % GaSe. В системе образуется соединение  $\text{Ga}_2\text{GeSe}_3$ .

Согласно [15, 16] система является неквазибинарным сечением тройной системы Ge-Ga-Se. Разрез пересекает две вторичные системы  $\text{Ga}_2\text{Se}_3$ - $\text{GeSe}_2$ -Ge (I) и  $\text{Ga}_2\text{Se}_3$ -GaSe-Ge (II) и состоит из двух частей. Ликвидус части разреза, проходящего через систему I, состоит из ветвей первичной кристаллизации Ge и  $\text{Ga}_2\text{Se}_3$ . Кристаллизация этих сплавов заканчивается при 823 K в результате нонвариантной реакции  $\gamma \rightleftharpoons \gamma - \text{GeSe} + \text{Ga}_2\text{Se}_3 + \text{Ge}$ . Ликвидус части разреза, проходящего через систему II, в которой имеется тройная эвтектика, состоит из двух областей:  $\gamma + \text{Ga}_2\text{Se}_3$  и  $\gamma + \delta(\text{GaSe})$ . Сплавы этой части разреза кристаллизуются при температуре тройной эвтектики (II28 K), где затвердевают  $\text{Ga}_2\text{Se}_3$ , Ge и  $\delta(\text{GaSe})$  [15]. Область



Р и с. 4.6. Диаграмма состояния системы GeSe-GaSe [14]

твердого раствора со стороны GaSe при комнатной температуре простирается до 5 % GeSe и достигает 6 % GeSe при 1128 К [15, 16]. Предельная растворимость GaSe в GeSe составляет 5 % [17]. Согласно [18] в системе GeSe-GaSe имеется область расслаивания.

На поверхности ликвидуса тройной системы Ge-Ga-Se (рис. 4.7) имеется 6 полей первичной кристаллизации (Ge, Ga<sub>2</sub>Se, GaSe, Ga<sub>2</sub>Se<sub>3</sub>, GeSe<sub>2</sub> и GeSe) [16]. Область расслаивания начинается от 3 % Se при 1193 К на стороне Ga-Se и продолжается до 17,5 % Se, а со стороны Ge-Se от 17 % Se при 1178 К до 40 % Se. От общего состава тройной системы 46,4 % кристаллизации компонентов происходит под расслаиванием. Наибольшую часть кристаллизационного поля занимает поле Ga<sub>2</sub>Se<sub>3</sub>. Линии P<sub>1</sub>e<sub>2</sub>E<sub>2</sub> и E<sub>2</sub>e<sub>3</sub>P<sub>2</sub> имеют максимумы соответственно при 1148 и 1173 К, являющиеся точками Ван Рейна и двойными эвтектиками на квазибинарных разрезах Ge-GaSe и Ge-Ga<sub>2</sub>Se<sub>3</sub>. Нонвариантные реакции в системе Ge-Ga-Se приведены в табл. 4.2 [16].

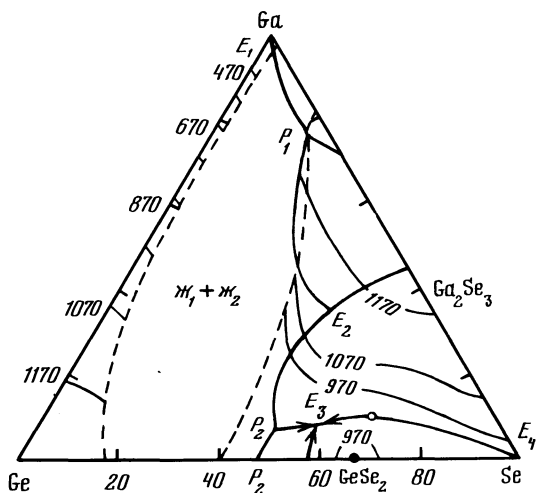


Рис. 4.7. Поверхность ликвидуса тройной системы Ge-Ga-Se [16]

Таблица 4.2

Нонвариантные равновесия в тройной системе Ge-Ga-Se [16]

Обозначение	T, K	Реакция
P <sub>1</sub>	833	$\text{Ж} + \text{GaSe} \rightleftharpoons \text{Ga}_2\text{Se} + \text{Ge}$
P <sub>2</sub>	873	$\text{Ж} + \text{GeSe}_2 \rightleftharpoons \text{GeSe} + \text{Ge}$
E <sub>1</sub>	302	$\text{Ж} \rightleftharpoons \text{Ga}_2\text{Se} + \text{Ge} + \text{Ga}$
E <sub>2</sub>	603	$\text{Ж} \rightleftharpoons \text{Ga}_2\text{Se}_3 + \text{GaSe} + \text{Ge}$
E <sub>3</sub>	778	$\text{Ж} \rightleftharpoons \text{Ga}_2\text{Se}_3 + \text{GeSe} + \text{GeSe}_2$
E <sub>4</sub>	493	$\text{Ж} \rightleftharpoons \text{Ga}_2\text{Se}_3 + \text{GeSe}_2 + \text{Se}$

Результаты по изучению поверхности ликвидуса тройной системы  $\text{Ge}-\text{Ga}_2\text{Se}_3$ , приведенные в [16], несколько отличаются от результатов авторов [18].

Исходные образцы отжигали при 820-870 К в течение 100 ч [14, 17] (при 720 К в течение 300 ч) [15].

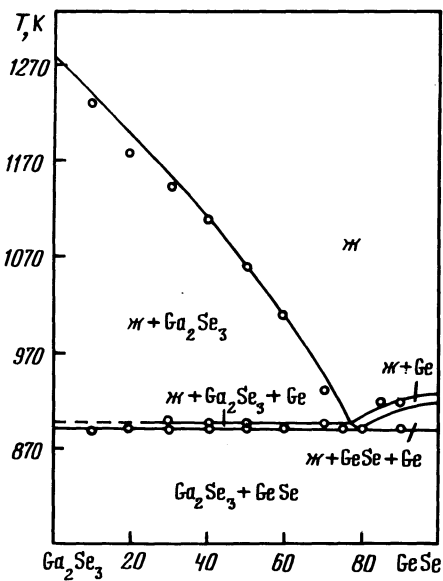
Система исследована методами ДТА, РФА и МСА, а также измерением микротвердости и плотности [14-16, 18].

#### Система $\text{GeSe}-\text{Ga}_2\text{Se}_3$

Система  $\text{GeSe}-\text{Ga}_2\text{Se}_3$  является неквазибинарным сечением тройной системы  $\text{Ge}-\text{Ga}-\text{Se}$  (рис. 4.8) [18]. Минимум на кривой ликвидуса находится при 77 %  $\text{GeSe}$  и 897 К. Температура 897 К отвечает температуре тройной перитектики, а 901 К - пересечению эвтектической линии в тройной системе с разрезом  $\text{GeSe}-\text{Ga}_2\text{Se}_3$ .

Система исследована методами ДТА, РФА и МСА [18].

Рис. 4.8. Политермическое сечение  $\text{GeSe}-\text{Ga}_2\text{Se}_3$  [18]

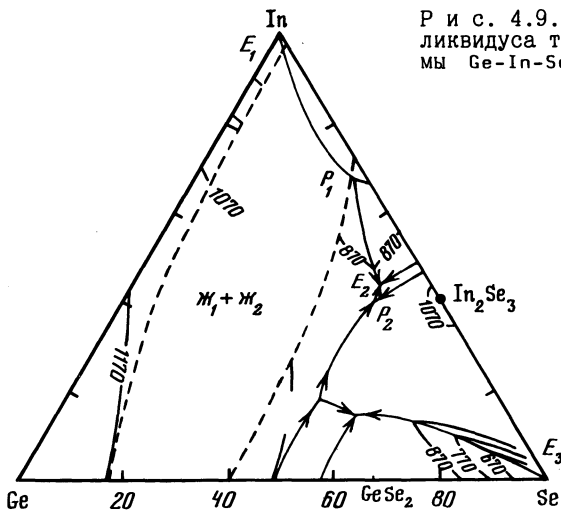


#### Система $\text{GeSe}-\text{InSe}$

Расторимость  $\text{GeSe}$  в  $\text{InSe}$  при 720 К составляет 14 %, а при комнатной температуре - 11 % [19]. Твердые растворы на основе  $\text{InSe}$  являются полупроводниками  $n$ -типа.

На поверхности ликвидуса тройной системы  $\text{Ge}-\text{In}-\text{Se}$  (рис. 4.9) имеются 9 полей первичной кристаллизации ( $\text{In}_2\text{Se}$ ,  $\text{InSe}$ ,  $\text{In}_5\text{Se}_6$ ,  $\text{In}_2\text{Se}_3$ ,  $\text{GeSe}_2$ ,  $\text{GeSe}$ ,  $\text{Ge}$ ,  $\text{In}$  и  $\text{Se}$ ) и поле расслаивания [20]. Кривые моновариантного равновесия, разделяющие поля первичной кристаллизации, пересекаются в семи точках нонвариантных равновесий (табл. 4.3).

Р и с. 4.9. Поверхность ликвидуса тройной системы Ge-In-Se [20]



Т а б л и ц а 4.3

Нонвариантные равновесия в тройной системе Ge-In-Se [20]

Обозначение	Реакция	Обозначение	Реакция
P <sub>I</sub>	$\chi + \text{InSe} \rightleftharpoons \text{In}_2\text{Se} + \text{Ge}$	E <sub>I</sub>	$\chi \rightleftharpoons \text{Ge} + \text{In}_2\text{Se} + \text{In}$
P <sub>2</sub>	$\chi + \text{In}_2\text{Se}_3 \rightleftharpoons \text{In}_5\text{Se}_6 + \text{Ge}$	E <sub>2</sub>	$\chi \rightleftharpoons \text{Ge} + \text{InSe} + \text{In}_5\text{Se}_6$
P <sub>3</sub>	$\chi + \text{GeSe}_2 \rightleftharpoons \text{GeSe} + \text{In}_2\text{Se}_3$	E <sub>3</sub>	$\chi \rightleftharpoons \text{In}_2\text{Se}_3 + \text{GeSe}_2 + \text{Se}$
		E <sub>4</sub>	$\chi \rightleftharpoons \text{In}_2\text{Se}_3 + \text{GeSe} + \text{GeSe}_2$

Исходные образцы отжигали при 760 К в течение 860 ч [20]. Система исследована методами ДТА, РФА, МСА, а также измерением микротвердости [19, 20].

#### Система GeSe-Tl

Система GeSe-Tl является неквазибинарным сечением тройной системы Ge-Tl-Se [21], пересекающим стабильные сечения Tl<sub>2</sub>Se-Ge и Tl<sub>4</sub>GeSe<sub>4</sub>-Ge. Первичная кристаллизация твердых растворов на основе Ge занимает всю область составов и в широком интервале происходит по монотектической реакции.

Поверхность ликвидуса тройной системы Ge-Tl-Se (рис. 4.10) состоит из 14 областей первичной кристаллизации фаз (поле первичной кристаллизации Tl вырождено) [21, 22]. В системе имеются две большие области расслаивания. Нонвариантные равновесия в указанной системе приведены в табл. 4.4.

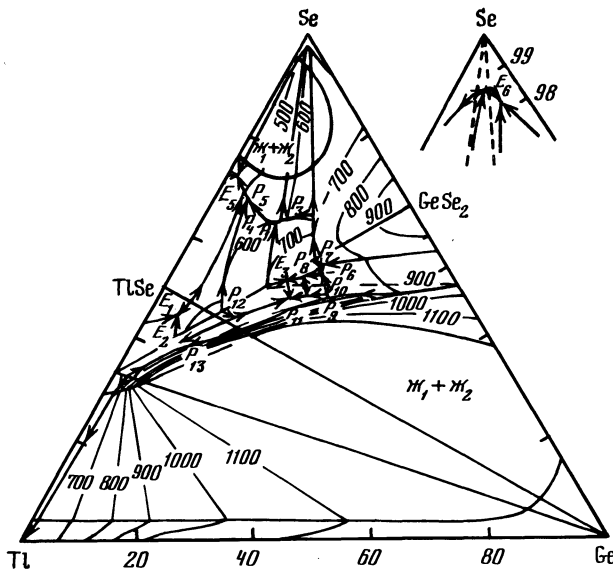


Рис. 4.10. Поверхность ликвидуса тройной системы Ge-Tl-Se [21].

Изотермическое сечение тройной системы Ge-Tl-Se при 400 К построено авторами работы [21].

Исходные образцы отжигали при 430 и 470 К в зависимости от состава в течение 400-800 ч [22]. Система исследована методами ДТА, РФА, МСА, а также измерением микротвердости [21, 22].

#### Система GeSe-TlSe

Система GeSe-TlSe является неквазибинарным сечением тройной системы Ge-Tl-Se [23]. В системе образуется соединение  $Tl_2GeSe_3$ , плавящееся конгруэнтно при 710 К, а также  $TlGe_2Se_3$  и  $TlGeSe_2$  плавящиеся инконгруэнтно соответственно при 710 и 650 К. На фазовой диаграмме наблюдаются области первичной кристаллизации как исходных и промежуточных фаз системы GeSe<sub>2</sub>-TlSe, так и германия и  $\gamma$ -твердых растворов на основе  $Tl_4GeSe_4$ .

Исходные образцы отжигали при температурах на 20-30 К ниже температур солидуса в течение 500 ч. Система исследована методами ДТА и РФА, а также измерением микротвердости и ЭДС концентрационных цепей [23].

#### Система GeSe - Tl<sub>2</sub>Se

Система GeSe-Tl<sub>2</sub>Se является неквазибинарным сечением тройной системы Ge-Tl-Se [21, 24]. В системе образуется тройное соединение  $Tl_2GeSe_2$ , плавящееся инконгруэнтно при 730 К. В широком интервале концентраций наблюдается первичная кристаллизация Ge.

Т а б л и ц а 4.4

Нонвариантные равновесия в тройной системе Ge-Tl-Se [21]

Обозначение	T, K	Состав, % Tl, Ge	Реакция
E <sub>1</sub>	560	50; 5,5	$\text{Ж} \rightleftharpoons \alpha + \gamma + \text{TlSe}$
E <sub>2</sub>	594	53,5; 8,0	$\text{Ж} \rightleftharpoons \text{A} + \alpha + \gamma$
E <sub>3</sub>	625	28,6; 20,5	$\text{Ж} \rightleftharpoons \text{B} + \text{C} + \text{D}$
E <sub>4</sub>	605	30,0; 22,5	$\text{Ж} \rightleftharpoons \text{A} + \text{B} + \text{D}$
E <sub>5</sub>	460	26,0; 2,0	$\text{Ж} \rightleftharpoons \text{Tl} + \text{E} + \text{Se}$
E <sub>6</sub>	473	0,9; 1,4	$\text{Ж} \rightleftharpoons \text{D} + \text{GeSe}_2 + \text{Se}$
E <sub>7</sub>	475	1;0; 0,8	$\text{Ж} \rightleftharpoons \text{E} + \text{D} + \text{Se}$
P <sub>1</sub>	585	24,0; 13,0	$\text{Ж} + \text{B} \rightleftharpoons \text{E} + \text{C}$
P <sub>2</sub>	645	17,3; 18,6	$\text{Ж} + \text{C} \rightleftharpoons \beta' + \text{D}$
P <sub>3</sub>	582	23,5; 13,6	$\text{Ж} + \text{C} \rightleftharpoons \text{E} + \text{D}$
P <sub>4</sub>	510	26,2; 6,0	$\text{Ж} + \text{B} \rightleftharpoons \gamma + \text{E}$
P <sub>5</sub>	500	27,0; 5,0	$\text{Ж} + \gamma \rightleftharpoons \text{TlSe} + \text{E}$
P <sub>6</sub>	750	21,0; 24,5	$\text{Ж} + \beta' \rightleftharpoons \text{GeSe} + \text{C}$
P <sub>7</sub>	700	22,0; 25,5	$\text{Ж} + \text{GeSe} \rightleftharpoons \text{C} + \text{F}$
P <sub>8</sub>	645	25,5; 22,7	$\text{Ж} + \text{F} \rightleftharpoons \text{C} + \text{G}$
P <sub>9</sub>	723	29,5; 23,2	$\text{Ж} + \beta \rightleftharpoons \text{A} + \text{GeSe}$
P <sub>10</sub>	695	28,5; 23,0	$\text{Ж} + \text{GeSe} \rightleftharpoons \text{A} + \text{F}$
P <sub>II</sub>	644	27,0; 25,5	$\text{Ж} + \text{F} \rightleftharpoons \text{G} + \text{A}$
P <sub>12</sub>	610	41,8; 14,7	$\text{Ж} + \gamma \rightleftharpoons \text{A} + \text{B}$
P <sub>13</sub>	608	53,4; 9,0	$\text{Ж} + \beta \rightleftharpoons \alpha + \text{A}$

П р и м е ч а н и е.  $\alpha$ ,  $\beta$ ,  $\beta'$  и  $\gamma$  - твердые растворы на основе соответственно  $\text{Tl}_3\text{Se}$ , Ge,  $\text{GeSe}_2$ ,  $\text{Tl}_4\text{GeSe}_4$ ; A -  $\text{Tl}_2\text{GeSe}_2$ ; B -  $\text{Tl}_2\text{GeSe}_3$ ; C -  $\text{Tl}_2\text{Ge}_2\text{Se}_5$ ; D -  $\text{TlGeSe}_3$ ; E -  $\text{Tl}_2\text{GeSe}_4$ ; F -  $\text{TlGe}_2\text{Se}_3$ ; G -  $\text{TlGeSe}_2$ .

Исходные образцы отжигали при температурах на 20-50 K ниже температур солидуса в течение 400-800 ч. Система исследована методами ДТА, РФА, МСА, а также измерением микротвердости и ЭДС гальванических цепей [21, 24].

#### Система GeSe-U

В системе GeSe-U обнаружено соединение  $\text{UGeSe}$ , кристаллизующееся в тетрагональной структуре с параметрами элементарной ячейки  $a = 3,938 \text{ \AA}$  и  $c = 16,966 \text{ \AA}$  [25]. Соединение может быть синтезировано нагреванием стехиометрических количеств исходных компонентов при 1270 K в течение двух недель.

#### Система GeSe-GeTe

Система GeSe-GeTe является неквазибинарным сечением тройной системы Ge-Se-Te (рис. 4.II) [26,27]. Кристаллизация сплавов в большей области

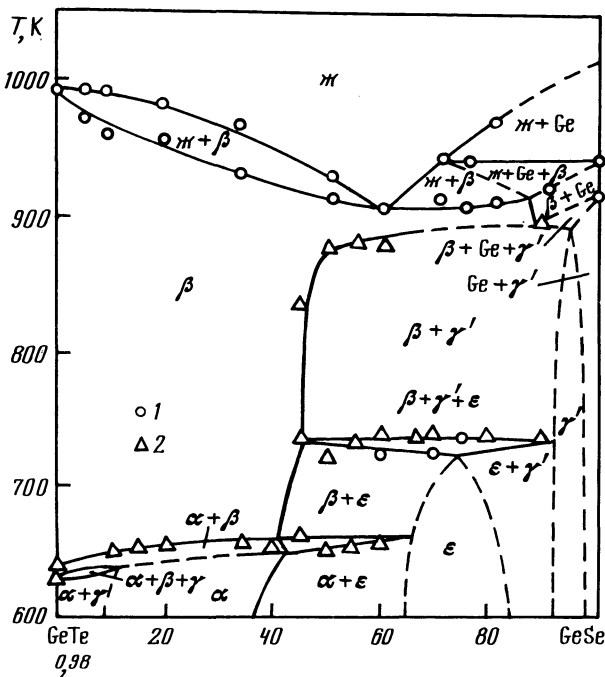


Рис. 4.II. Политегмическое сечение GeSe-Ge<sub>0,98</sub>Te  
[27]: 1 - ДТА; 2 - дилатометрия

ти составов заканчивается образованием непрерывного ряда твердых растворов (β) между высокотемпературными модификациями GeTe и GeSe. Минимуму на кривой ликвидуса отвечает состав 40 % GeTe и 903 К [26] (38 % GeTe и 908 К [29]). В сплавах, богатых GeSe, β-твердый раствор образуется по перитектической реакции Ж + Ge ⇌ β. Кристаллизация сплавов вблизи GeSe заканчивается образованием смеси β + Ge. Граница фазовых областей β и β+Ge соответствует составам, которые отвечают пересечению разрезом Ge<sub>0,98</sub>Te-GeSe области гомогенности β-твердого раствора, насыщенного Ge. Низкотемпературная ромбическая γ'-модификация GeSe образуется по перитектоидной реакции в области температур 924–900 К. К GeSe примыкает область Ge + γ', связанная с отклонением от стехиометрии в GeSe. В интервале температур 725–735 К по моновариантной перитектоидной реакции образуется ε-фаза (GeSe<sub>0,75</sub>Te<sub>0,25</sub>). Низкотемпературная ромбоэдрическая фаза α-GeTe образуется при 652–660 К по перитектоидной реакции β + ε ⇌ α [27]. Температура фазового перехода α → β понижается при увеличении содержания GeTe [28].

По данным [26, 27, 29–34] в системе образуется соединение GeSe<sub>0,75</sub>Te<sub>0,25</sub>, кристаллизующееся в гексагональной структуре и имеющее две политипные модификации с параметрами элементарной ячейки  $a_1 = a_2 = 3,817 \text{ \AA}$  и  $c_1 =$

$15,62 \text{ \AA}$  ( $15,81 \text{ \AA}$ ),  $c_2 = 46,87 \text{ \AA}$  ( $46,95 \text{ \AA}$ ). Пикнометрическая плотность его равна  $6,65 \text{ г/см}^3$ . Указанное соединение является вырожденным полупроводником р-типа с шириной запрещенной зоны значительно менее  $1,0 \text{ эВ}$ . Его монокристаллы представляют собой чрезвычайно хрупкие гексагональные пластинки с металлическим блеском. Это соединение является единственным такого рода соединением в системах  $\text{I}^{\text{IV}}\text{B}^{\text{VI}}-\text{A}^{\text{IV}}\text{B}^{\text{VI}}$  [27].

Согласно [35] ударное сжатие смеси компонентов при различных начальных температурах  $90-615 \text{ К}$  приводит к образованию тройного соединения  $\text{GeSeTe}$ .

Изотермическое сечение тройной системы  $\text{Ge}-\text{Te}-\text{Se}$  при  $570 \text{ К}$  представлено на рис. 4.12. Внутри области твердых растворов на основе  $\text{GeTe}$  очерчены границы области существования  $\alpha$ - и  $\gamma$ -фаз. При увеличении содержания селена расширяется область существования  $\alpha$ -фазы и уменьшается -  $\gamma$ -фазы.

Исходные образцы отжигали при  $770 \text{ К}$  в течение  $500 \text{ ч}$ , а затем при  $570 \text{ К}$  в течение  $500$  или  $1000 \text{ ч}$  [27, 28, 30, 31]. Монокристаллические образцы  $\text{GeSe}_{0,75}\text{Te}_{0,25}$  получали методом XTP [33, 34]. Система исследована методами ДТА, РДА, МСА, дилатометрии, а также измерением микротвердости, плотности и электрофизических свойств [26-34].

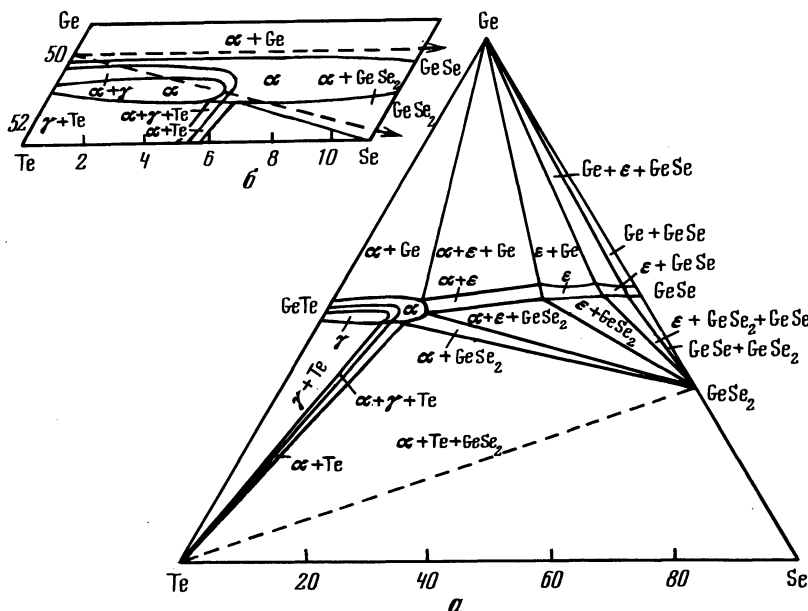


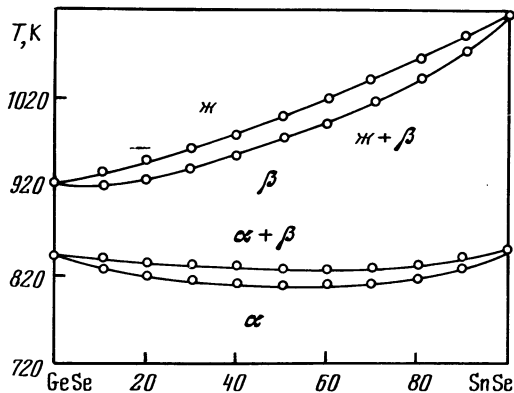
Рис. 4.12. Изотермическое сечение тройной системы  $\text{Ge}-\text{Te}-\text{Se}$  при  $570 \text{ К}$  (а) и область твердых растворов на основе  $\text{GeTe}$  (б) [30].

### Система GeSe-SnSe

Диаграмма состояния системы GeSe-SnSe принадлежит к типу I по классификации Розебома (рис. 4.13) [36]. В системе образуется непрерывный ряд твердых растворов с ромбической структурой в низкотемпературной области и кубической - в высокотемпературной. С увеличением содержания SnSe температура полиморфного превращения несколько понижается, а сам переход размывается с образованием области двухфазного равновесия.

Следует отметить, что построенная в работе [36] диаграмма состояния системы GeSe-SnSe не учитывает факт образования GeSe по перитектической реакции, а также неизоструктурность высокотемпературных модификаций GeSe и SnSe.

Рис. 4.13. Диаграмма состояния системы GeSe-SnSe [36]



Во вторичной системе  $\text{GeSe}_2\text{-SnSe}_2\text{-SnSe}$  тройной системы Ge-Sn-Se (рис. 4.14) тройная эвтектика ( $E_2$ ) кристаллизуется при 828 К, в подсистеме  $\text{GeSe}\text{-GeSe}_2\text{-SnSe}$  - при 838 К  $E_3$ , в подсистеме  $\text{GeSe}_2\text{-SnSe}_2\text{-Se}$  - при 493 К, а в подсистеме  $\text{Ge-Sn-SnSe}$  - практически вырождена [37, 38]. Перитектическое взаимодействие протекает при 938 К (P). Значительную часть концентрационного треугольника занимает область расслаивания [37].

Монокристаллы твердых растворов  $\text{Ge}_{x}\text{Sn}_{1-x}\text{Se}$  получали путем медленного охлаждения расплавов в горизонтальной печи [36]. Система исследована методами ДТА, РГА, МСА и инфракрасной спектроскопии [36, 37].

### Система GeSe-SnTe

Расторимость GeSe в SnTe при 870 К достигает 40 %, при 670 К - 20 % [39, 40], а растворимость SnTe в GeSe при 700 К составляет 5 % [40]. Параметры элементарной ячейки и ширина запрещенной зоны в зависимости от состава в интервале 0-40 % GeSe изменяются линейно. Образцы, содержащие более 50 % GeSe, были либо двухфазными, либо имели ромбическую структуру, характерную для  $\gamma\text{-GeSe}$  [27].

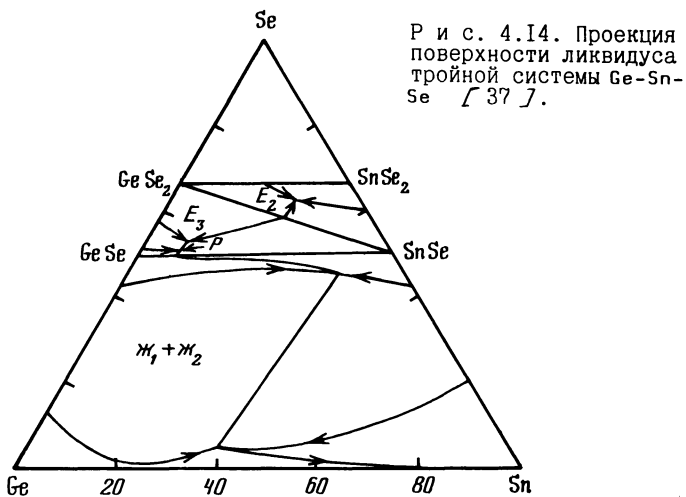


Рис. 4.14. Проекция поверхности ликвидуса тройной системы Ge-Sn-Se [37].

Исходные образцы отжигали при 870 К в течение 24 дней (10 дней при содержании менее 10 % GeSe) [39] (при 670 и 700 К в течение 80 и 120 ч [40]) и исследовали методом РФА.

#### Система GeSe-PbS

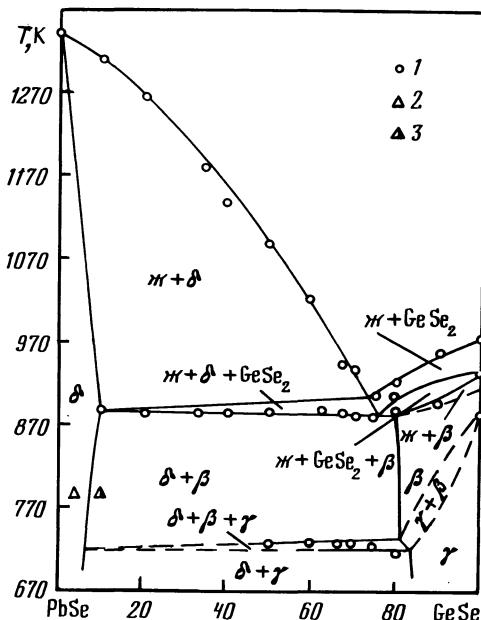
Растворимость GeSe в PbS при 810 К составляет 8 %, а растворимость PbS в GeSe при 770 К достигает 10 % [40]. Исходные образцы отжигали при 770 и 810 К в течение 80 ч и исследовали методом РФА.

#### Система GeSe-PbSe

Система GeSe-PbSe является неквазибинарным сечением тройной системы Ge-Pb-Se (рис. 4.15) [26], которое пересекает два поля первичной кристаллизации: твердых растворов  $Ge_xPb_{1-x}Se$  ( $\delta$ -фаза) и  $GeSe_2$ . Первичная кристаллизация  $\delta$ -твердого раствора заканчивается при 903-890 К, после чего кристаллизуется эвтектика  $\delta + GeSe_2$ . Область первичной кристаллизации  $GeSe_2$  примыкает к трехфазной области, в которой происходит перитектическое взаимодействие  $\chi + GeSe_2 \rightleftharpoons \beta$  ( $\beta$ -фаза - твердый раствор на основе высокотемпературной модификации GeSe). Кристаллизация сплавов в средней части разреза заканчивается нонвариантным равновесием  $\chi + GeSe_2 \rightleftharpoons \delta + \beta$  при 890 К. Температура полиморфного превращения GeSe понижается по мере увеличения содержания PbSe. При температуре приблизительно 730 К происходит эвтектоидный распад  $\beta$ -твердого раствора с образованием  $\gamma$ -твердого раствора на основе низкотемпературной модификации GeSe и  $\delta$ -твердого раствора на основе PbSe. Эвтектоидный распад протекает в небольшом температурном интервале благодаря наличию областей гомогенности соединений PbSe и GeSe. Состав эвтектоида близок к 80 % GeSe [26].

Р и с. 4.15. Политермическое сечение GeSe-PbSe [26].

1 - ДТА; 2 - одно- и 3 - двухфазные образцы



Растворимость GeSe в PbSe не превышает 10 % при 790 К [26] (9 % при 750 К [40], 17 % при 770 К [41], 40 % при 900 К [42]), а растворимость PbSe в GeSe при 730 К - 20 % [26], 40 %.

Исходные образцы со стороны PbSe отжигали при 750 К [40] (770 К [41]), а со стороны GeSe при 730 К в течение соответственно 80 и 100 ч [40] (8-10 ч [41]) или при 900 К в течение трех недель [42]. Сплавы, в которых наблюдался эвтектоидный распад, отжигали при 720 К в течение трех месяцев [26]. Система исследована методами ДТА, РФА и МСА, а также измерением плотности [26].

#### Система GeSe-PbTe

Растворимость GeSe в PbTe при 870 К достигает 35 % [39]. Параметры элементарной ячейки и ширина запрещенной зоны в зависимости от состава в интервале 0-35 % GeSe изменяются линейно. При более высоком содержании GeSe образцы были либо двухфазными, либо имели ромбическую структуру, характерную для GeSe.

Исходные образцы отжигали при 870 К в течение 21 дня и исследовали методом РФА [39].

#### Система GeSe-P

В тройной системе Ge-P-Se образуется соединение  $\text{Ge}_2\text{P}_2\text{Se}_6$ , существующее в стеклообразном состоянии и имеющее плотность 3,90 г/см<sup>3</sup> [5].

### Система GeSe-As

Диаграмма состояния системы GeSe-As представлена на рис. 4.16 [43]. Эвтектика содержит 23 % As и кристаллизуется при 873 К. При 903 К (890 К [45]) по перитектической реакции образуется соединение GeAsSe [43,44], кристаллизующееся в ромбической структуре с параметрами элементарной ячейки  $a = 5,062\text{ \AA}$ ,  $b = 10,117\text{ \AA}$ ,  $c = 11,687\text{ \AA}$  и рентгенографической плотностью  $5,03\text{ г}/\text{см}^3$  [45,46]. Растворимость GeSe в As достигает 21,5 %, причем концентрационная зависимость параметров элементарной ячейки в области твердых растворов нелинейна [47].

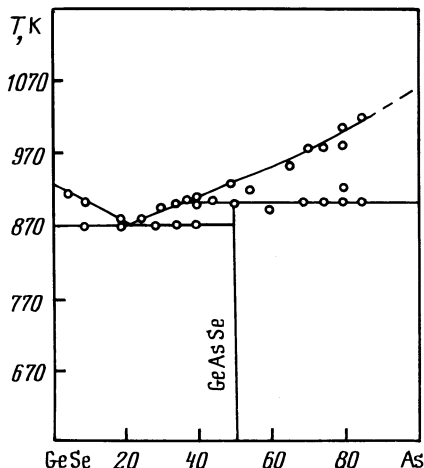


Рис. 4.16. Диаграмма состояния системы GeSe-As [43]

Часть поверхности ликвидуса тройной системы Ge-As-Se построена в [44]. В системе обнаружены соединения  $\text{Ge}_2\text{As}_2\text{Se}_3$ , существующее в стеклообразном состоянии и имеющее плотность  $4,40\text{ г}/\text{см}^3$  [5], и  $\text{GeAs}_4\text{Se}$ , имеющее на термограммах два эндотермических эффекта при 918 и 1020 К и кристаллизующееся в моноклинной структуре с параметрами элементарной ячейки  $a = 12,37\text{ \AA}$ ,  $b = 6,57\text{ \AA}$ ,  $c = 3,59\text{ \AA}$  и  $\beta = 101^\circ$  [45]. Вблизи стороны Se-As возможно образование трех тройных эвтектик, что вызывает появление некристаллизующихся стекол в этой области [44].

Монокристаллы GeAsSe получали методом XTP (носитель —  $\text{J}_2$ ) [46] или взаимодействием GeSe и As при 850 К в течение 2 ч [45], а монокристаллы  $\text{GeAs}_4\text{Se}$  — взаимодействием исходных компонентов при 870 К в течение 12 ч [45]. Исходные образцы отжигали при 470-770 К в течение двух месяцев [44] (при 820-850 К в течение 110-160 ч [43]).

Система исследована методами ДТА, РФА, МСА, а также измерением микротвердости и плотности [5,43,44,47].

### Система GeSe-SbSe

Система GeSe-SbSe является неквазибинарным сечением тройной системы Ge-Sb-Se (рис. 4.17) [48]. Исходные образцы отжигали при 670-870 К в

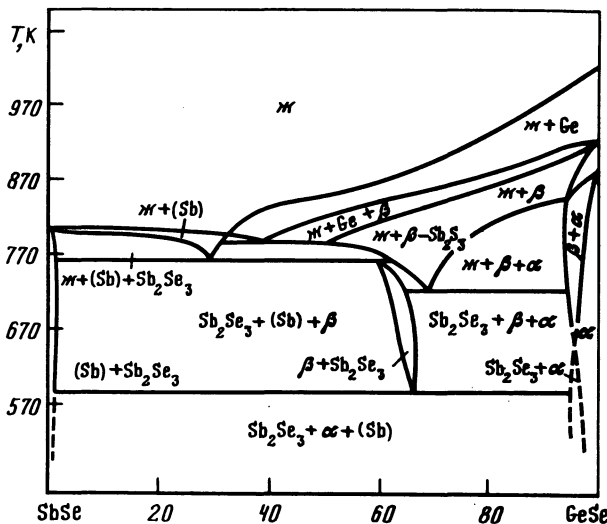


Рис. 4.17. Политечническое сечение GeSe-SbSe [48].

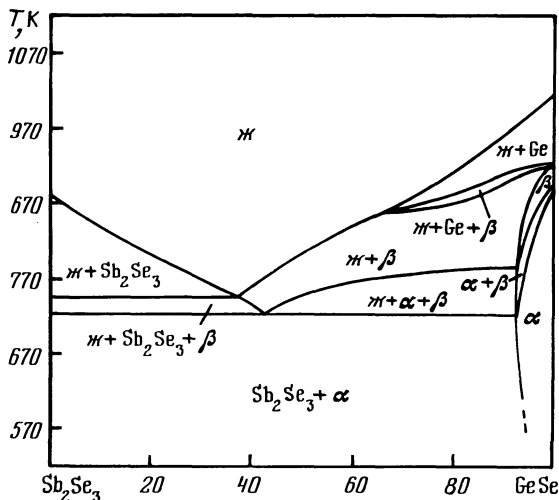
течение 500 ч. Система исследована методами ДТА, РФА, МСА и дифференциальной сканирующей калориметрии [48].

#### Система GeSe-Sb<sub>2</sub>Se<sub>3</sub>

Результаты исследования системы GeSe-Sb<sub>2</sub>Se<sub>3</sub> противоречивы: противоречия главным образом касаются вопроса существования тройного соединения в этой системе. Согласно [48] система является неквазибинарным сечением тройной системы Ge-Sb-Se, причем при температурах ниже 726 К в системе существует только и твердый раствор на основе GeSe (рис. 4.18).

По данным [49-51] диаграмма состояния системы эвтектического типа, причем неквазибинарность разреза может проявляться лишь при температурах выше 940 К в узкой области составов со стороны GeSe, когда в сплавах должен присутствовать германий и на диаграмме должна наблюдаться ветвь его первичной кристаллизации [49]. Эвтектика содержит 59 % GeSe и кристаллизуется при 700 К [49] (56 % GeSe и 718 К [50,51]). В системе образуется соединение Ge<sub>4</sub>Sb<sub>2</sub>Se<sub>7</sub>, плавающееся инконгруэнтно при 781 К [49] (при 736 К [50,51]). Область существования соединения находится в интервале 56-92 % GeSe [50]. В области составов 66,7-83,3 % GeSe обнаружены незначительные по величине термические эффекты при 550 и 614 К, относящиеся к полиморфному превращению Ge<sub>4</sub>Sb<sub>2</sub>Se<sub>7</sub> [49] (Ge<sub>4</sub>Sb<sub>2</sub>Se<sub>7</sub> претерпевает полиморфное превращение при 673 К [50]). Соединение Ge<sub>4</sub>Sb<sub>2</sub>Se<sub>7</sub> кристаллизуется в кубической структуре типа NaCl с параметром элементарной ячейки  $a = 5,655 \text{ \AA}$  [50].

Со стороны GeSe наблюдается термический эффект при 834 К, относящийся к реакции  $\alpha\text{-GeSe} \rightleftharpoons \text{m} + \beta\text{-GeSe}$ . Температура полиморфного превра-



Р и с. 4.18. Политермическое сечение  $\text{GeSe}-\text{Sb}_2\text{Se}_3$   $\angle 48 \%$

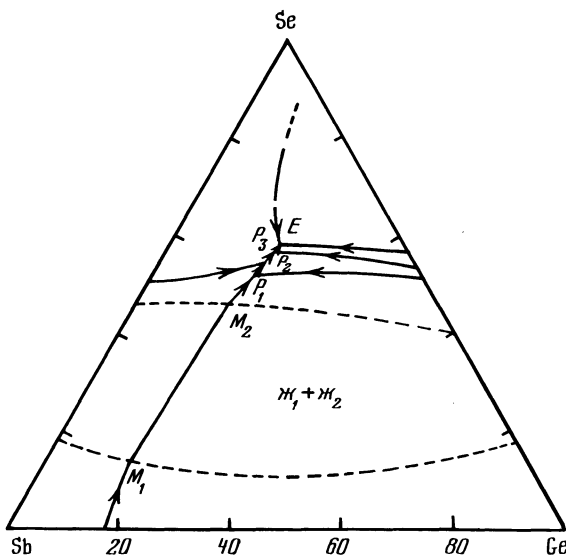
щения  $\text{GeSe}$  (938 К) при увеличении содержания  $\text{Sb}_2\text{Se}_3$  от 0 до 10 % понижается до 834 К  $\angle 49 \%$ . Природа термических эффектов при 633 К не выяснена  $\angle 50 \%$ . По-видимому, при этой температуре происходит распад твердого раствора.

Расторимость  $\text{GeSe}$  в  $\text{Sb}_2\text{Se}_3$  достигает 17 % при эвтектической температуре, а растворимость  $\text{Sb}_2\text{Se}_3$  в  $\text{GeSe}$  составляет 6 % при 660 К  $\angle 49 \%$  (8 % при 730 К  $\angle 50 \%$ ).

На поверхности ликвидуса тройной системы  $\text{Ge}-\text{Sb}-\text{Se}$  (рис. 4.19) имеется большая область расслаивания  $\angle 48 \%$ . Тройная монотектическая реакция протекает при 839 К (линия  $M_1M_2$ ). В системе протекают перитектические реакции при 789, 765 и 726 К и реакция эвтектического типа при 693 К. Высокотемпературная фаза  $\beta$ - $\text{GeSe}$  проникает в тройную систему и дает монофазную область, сужающуюся при увеличении содержания  $\text{Sb}$ . При 586 К  $\beta$ -фаза разлагается по эвтектоидной реакции с образованием  $\alpha$ - $\text{GeSe}$ . В твердом состоянии при 674 К в системе протекает перитектоидное превращение. В работе  $\angle 48 \%$  приведены изотермические сечения тройной системы  $\text{Ge}-\text{Sb}-\text{Se}$  при температурах всех вышеуказанных нонвариантных равновесий.

Согласно  $\angle 51 \%$  в подсистеме  $\text{GeSe}-\text{GeSe}_2-\text{Sb}_2\text{Se}_3$  тройная эвтектика содержит 40 %  $\text{GeSe}$ , 31 %  $\text{Sb}_2\text{Se}_3$  и 29 %  $\text{GeSe}_2$  и кристаллизуется при 693 К, а тройная перитектика имеет состав 44 %  $\text{GeSe}$ , 26 %  $\text{Sb}_2\text{Se}_3$  и 30 %  $\text{GeSe}_2$  и температуру 711 К. В подсистеме  $\text{GeSe}_2-\text{Sb}_2\text{Se}_3-\text{Se}$  тройная эвтектика, по-видимому, является вырожденной.

Исходные образцы отжигали при 660 К в течение 1000 ч  $\angle 49 \%$  (при 700 К в течение 200 ч при содержании  $\text{Sb}_2\text{Se}_3$  более 40 % и при 710 и 610 К в течение соответственно 250 и 550 ч при содержании  $\text{Sb}_2\text{Se}_3$  менее 40 %  $\angle 50 \%$ ). Система исследована методами ДТА, РФА, МСА и дифференциальной сканирующей калориметрии, а также измерением микротвердости и плотности  $\angle 48-51 \%$ .



Р и с. 4.19. Схема поверхности ликвидуса тройной системы Ge-Sb-Se [48].

#### Система GeSe-BiSe

Растворимость GeSe в BiSe, определенная методами РФА и МСА, а также измерением микротвердости, составляет 5 % при 720 К [52]. Исходные образцы отжигали при 520 и 720 К в течение соответственно 10 и 30 дней [52].

#### Система GeSe-Te

Система GeSe-Te является неквазибинарным сечением тройной системы Ge-Se-Te [53], которое делится квазибинарным сечением GeTe-GeSe<sub>2</sub> на две части с нонвариантными равновесиями при 787 К и 633 К. При 933 К протекает перитектическое превращение  $\text{Ge} \rightleftharpoons \text{GeSe} + \text{Ж}$ .

Поверхность ликвидуса тройной системы Ge-Se-Te представлена на рис. 4.20 [53]. В подсистеме GeSe<sub>2</sub>-Te-Se образуется широкая область твердых растворов. Тройные эвтектики в подсистемах GeTe-GeSe<sub>2</sub>-Te и GeTe-GeSe-GeSe<sub>2</sub> кристаллизуются при 633 и 787 К и содержат соответственно 19 % Ge, 72 % Te, 9 % Se и 44 % Ge, 18 % Te, 38 % Se. В подсистеме GeTe-GeSe - GeSe<sub>2</sub> имеется перитектическое взаимодействие при 908 К. Состав перитектической точки соответствует 48 % Ge, 18 % Te и 34 % Se. Пунктирными линиями на рис. 4.20 отмечены области расслаивания.

Система исследована методами ДТА, РФА и МСА [53].

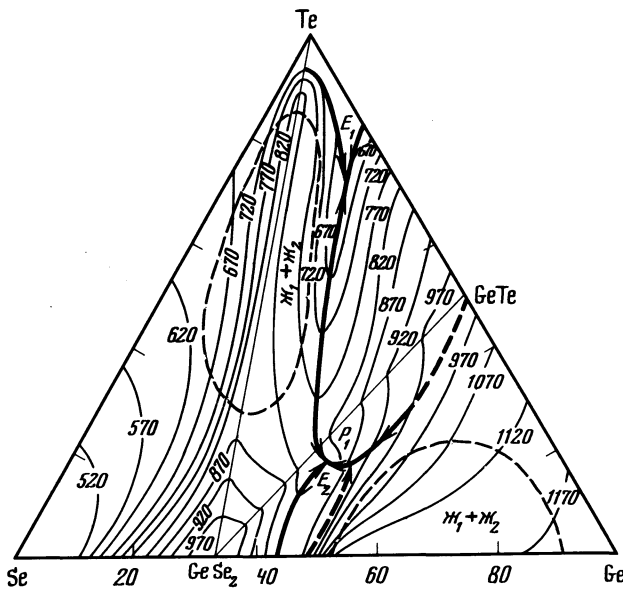


Рис. 4.20. Поверхность ликвидуса тройной системы Ge-Se-Te [53].

### Система GeSe-J<sub>2</sub>

В тройной системе Ge-J-Se обнаружены соединения GeSeJ<sub>2</sub> (температура плавления 443 K), Ge<sub>2</sub>Se<sub>3</sub>J<sub>2</sub> температура плавления 623 K и Ge<sub>2</sub>SeJ<sub>6</sub> имеющие аналоги в химии кислородных соединений [54].

### Система GeSe-Pt

В системе образуется соединение PtGeSe, которое кристаллизуется в ромбической структуре с параметрами элементарной ячейки  $a = 6,015 \text{ \AA}$ ,  $b = 6,072 \text{ \AA}$ ,  $c = 5,992 \text{ \AA}$  и имеет рентгенографическую плотность  $10,52 \text{ г/см}^3$  [55]. Соединение может быть получено нагреванием смеси элементарных компонентов в области температур 870-1170 K.

### Литература

1. Eisenmann B., Hansa J., Schäfer H. // Rev. chim. miner. 1984. Vol. 21, N 6. P. 817-823.
2. Eisenmann B., Hansa J., Schäfer H. // Rev. chim. miner. 1986. Vol. 23, N 1. P. 8-13.
3. Eisenmann B., Hansa J., Schäfer H. // Mater. Res. Bull. 1985. Vol. 20, N 11. P. 1339-1346.
4. Довлетов К., Ташиев К.А. и др. // Изв. АН СССР. Неорг. материалы. 1977. Т. 13, № 6. С. 1092-1093.
5. Ворошилов Ю.В., Поторий М.В., Приц И.Б. // Изв. вузов. Химия и хим. технология. 1986. Т. 29, № 2. С. 19-21.
6. Suri D.K., Nagpal K.C., Ali S.Z. // Indian J. Pure and Appl. Phys. 1982. Vol. 20, N 7. P. 584-585.

7. Мовсум-заде А.А., Салаева З.Ю., Аллазов М.Р. // Журн. неорган. химии. 1987. Т. 32. № 7. С. 1705-1709.
8. Салаева З.Ю., Мовсум-заде А.А., Аллазов М.Р. // Азерб. хим. журн. 1983. № 6. С. 124-128.
9. Ollitrault-Fichet R., Rivet J., Flahault J. // J. Less-Common Metals. 1985. Vol. 114, N 2. P. 273-289.
10. Миколайчук А.Г., Мороз В.Н. // Изв. АН СССР. Неорган. материалы. 1987. Т. 23, № 8. С. 1265-1270.
11. Gorochov O // С.г. Acad. sci. 1968. Vol. C266. N 14. P. 1059-1062.
12. Салаева З.Ю., Мовсум-заде А.А., Аллазов М.Р. // Изв. АН СССР. Неорган. материалы. 1984. Т. 20, № 9. С. 1467-1471.
13. Один И.Н., Галиуллин Э.А., Новоселова А.В. // Журн. неорган. химии. Т. 30. № 1. С. 201-206.
14. Сидоров И.А., Магунов Р.Л., Заколодяжная О.В., Ковалевская И.П. // Журн. неорган. химии. 1977. Т. 22, № 5. С. 1430-1432.
15. Мовсум-заде А.А., Рустамов П.Г. // Исследования в области переработки минеральных ресурсов Азербайджана. Баку: Элм, 1977. С. 56-59.
16. Рустамов П.Г., Мовсум-заде А.А. // Азерб. хим. журн. 1975. № 5. С. 117-120.
17. Алиджанов М.А., Абдуллаев Г.Б., Довлетов К.О. // Изв. АН СССР. Неорган. материалы. 1982. Т. 18, № 9. С. 1586-1587.
18. Thiebault C., Guen L., Eholie R., Flahaut J. // Bull. Soc. chim. France. 1975. N 5/6, Pt. 1. P. 967-972.
19. Абдуллаев Г.Б., Алиджанов М.А., Довлетов К. // Азерб. хим. журн. 1984. № 3. С. 100-103.
20. Рустамов П.Г., Бабаева В.К. // Азерб. хим. журн. 1976. № 3. С. 75-79.
21. Бабанлы М.Б., Кулиева Н.А. // Журн. неорган. химии. 1986. Т. 31, № 9. С. 2365-2371.
22. Туркина Е.Ю., Орлова Г.М. // Журн. неорган. химии. 1986. Т. 31. № 8. С. 2082-2085.
23. Бабанлы М.Б., Кулиева Н.А. // Журн. неорган. химии. 1983. Т. 28, № 6. С. 1557-1562.
24. Бабанлы М.Б., Кулиева Н.А., Юсубов Ю.А., Гасанов Р.Ф. // Изв. АН СССР. Неорган. материалы. 1985. Т. 21, № 10. С. 1645-1648.
25. Zygmunt A. // Phys. status solidi. 1977. Vol. A43, N 2. P. 573-577.
26. Шелимова Л.Е., Абрикосов Н.Х., Жданова В.В., Сизов В.В. // Изв. АН СССР. Неорган. материалы. 1966. Т. 2, № 12. С. 2103-2109.
27. Абрикосов Н.Х., Карпинский О.Г., Радкевич О.В. и др. // Изв. АН СССР. Неорган. материалы. 1988. Т. 24, № 1. С. 46-51.
28. Абрикосов Н.Х., Карпинский О.Г., Радкевич О.В., Шелимова Л.Е. // Изв. АН СССР. Неорган. материалы. 1984. Т. 20, № 1. С. 33-37.
29. Bordas S., Geli M., Casas.Vazquez T. et al. // Thermochem. acta. 1980. Vol. 37, N 2. P. 197-207.
30. Абрикосов Н.Х., Авилов Е.С., Карпинский О.Г. и др. // Изв. АН СССР. Неорган. материалы. 1984. Т. 20, № 1. С. 28-32.
31. Абрикосов Н.Х., Авилов Е.С., Карпинский О.Г. и др. // Легированные полупроводниковые материалы. М.: Наука, 1985. С. 187-192.
32. Muir J.A., Beato V. // J. Less-Common. Metals. 1973. Vol. 33, N 3. P. 333-340.
33. Muir J.A., Cashman R.J. // J:Phys. Chem. Solids. 1967. Vol.28, N 6. 1009-1016.
34. Muir J.A., Cashman R.J. // Bull. Amer. Phys. Soc. 1966. Vol. 11, N 1. P.34-35.
35. Шевцова Н.Н., Темницкий И.Н., Бацанов С.С. // Журн. неорган. химии. 1987. Т. 32, № 10. С. 2596-2598.

36. Блецкан Д.И., Герасименко В.С., Химинец В.В. // Журн. неорган. химии. 1981. Т. 26, № 3. С. 761-764.
37. Baldé L., Legendre B., Khodadad P. // J. Chem. Res. Synop. 1979. N 5. P. 162-163.
38. Baldé L., Khodadad P. // C.r. Acad. sci. 1974. Vol. C278, N 4. P. 243-246.
39. Nikolic' P.M. // Brit. J. Appl. Phys. 1965. Vol. 16, N 8. P. 1075-1079.
40. Krebs H., Langner D. // Z. anorg. und allg. Chem. 1964. Bd. 334, N 1/2. S. 37-49.
41. Керимов Я.К., Андреев Ю.В., Лаверко Е.Н., Будим Н.И. // Изв. АН СССР. Неорган. материалы. 1986. Т. 22, № II. С. I808-I8II.
42. Nikolic' P.M. // J.Phys.(Brit. J.Appl.Phys.). 1969. Vol. D2. N 3. P. 383-388.
43. Орлова Т.М., Кожина И.И., Ким Т.И. и др. // Вестн. ЛГУ. 1984. № IO. С. II7-II9.
44. Виноградова Г.З., Дембовский С.А., Лужная Н.П. // Журн. неорган. химии. 1986. Т. 13, № 5. С. I444-I450.
45. Pachali K.E., Ruska J., Thurn H. // Inorg. Chem. 1976. Vol. 15, N 4. P. 991.
46. Hulliger F., Siergist T. // Mater. Res. Bull. 1981. Vol. 16, N 10. P. 1245-1251.
47. Krebs H., Grün K., Kallen D., Lippert W. // Z. anorg. und allg. 1961. Bd. 308, N 1/6. S. 200-211.
48. Bordas S., Clavaguera-Mora M.T. // Thermochim. acta. 1982. Vol. 56, N 2. P. 161-182.
49. Один И.Н., Господинов Г.Г., Новоселова А.В. // Вестн. МГУ. Химия. 1977. Т. 15, № 2. С. I67-I70.
50. Орлова Г.М., Кожина И.И., Короленко В.Г. // Вестн. ЛГУ. 1973. № 4. С. 90-95.
51. Орлова Г.М., Мартынова Н.С., Хоменко А.В. // Журн. неорган. химии. 1982. Т. 27, № 2. С. 485-490.
52. Абрикосов Н.Х., Банкина В.Ф., Коломоец Л.А. и др. // Изв. АН СССР. Неорган. материалы. 1972. Т. 8, № 12. С. 2120-2124.
53. Bordas S., Geli M., Casas-Vazquez T. et al. // Thermochim. acta. 1980. Vol. 37, N 2. P. 197-207.
54. Дембовский С.А., Попова Н.П. // Изв. АН СССР. Неорган. материалы. 1970. Т. 6, № I. С. I38-I40.
55. Entner P., Parthé E. // Acta crystallogr. 1973. Vol. B29, N 8. P. 1557-1563.

## Г л а в а 5

### СИСТЕМЫ НА ОСНОВЕ GeTe

#### Система GeTe-Li

В тройной системе Ge-Li-Te образуется соединение  $\text{LiGeTe}_2$ , кристаллизующееся в триклинной структуре с параметрами элементарной ячейки  $a = 7,255 \text{ \AA}$ ,  $b = 9,132 \text{ \AA}$ ,  $c = 11,340 \text{ \AA}$ ,  $\alpha = 75,75^\circ$ ,  $\beta = 77,11^\circ$ ,  $\gamma = 70,77^\circ$  и рентгенографической плотностью  $4,90 \text{ г}/\text{см}^3$  [1]. Указанное соединение получали взаимодействием Ge,  $\text{Li}_9\text{Ge}_4$  и Te в атмосфере аргона при 720 К.

### Система GeTe-Na

В тройной системе Ge-Na-Te образуется соединение  $\text{Na}_8\text{Ge}_4\text{Te}_{10}$ , существующее в виде двух полиморфных модификаций  $\angle 2,3 \angle$ : триклиновой с параметрами элементарной ячейки  $a = 10,701 \text{ \AA}$ ,  $b = 9,639 \text{ \AA}$ ,  $c = 7,932 \text{ \AA}$ ,  $\alpha = 67,9^\circ$ ,  $\beta = 70,7^\circ$ ,  $\gamma = 68,3^\circ$  и моноклинной структуры с параметрами  $a = 14,128 \text{ \AA}$ ,  $b = 12,938 \text{ \AA}$ ,  $c = 15,028 \text{ \AA}$ ,  $\alpha = 92,71^\circ$ . Рентгенографическая плотность  $\text{Na}_8\text{Ge}_4\text{Te}_{10}$  составляет  $4,236 \text{ г/см}^3$ . Указанное соединение получали взаимодействием элементарных компонентов в атмосфере аргона при 920 К.

### Система GeTe-K

В тройной системе Ge-K-Te образуются соединения  $\text{K}_2\text{GeTe}_4$   $\angle 4 \angle$  и  $\text{K}_2\text{Ge}_2\text{Te}_6$   $\angle 5 \angle$ , кристаллизующиеся в моноклинной структуре с параметрами элементарной ячейки соответственно  $a = 12,703 \text{ \AA}$ ,  $b = 8,680 \text{ \AA}$ ,  $c = 9,829 \text{ \AA}$ ,  $\alpha = 104,8^\circ$  и  $a = 16,010 \text{ \AA}$ ,  $b = 13,619 \text{ \AA}$ ,  $c = 9,713 \text{ \AA}$ ,  $\alpha = 95,19^\circ$ , рентгенографической и пикнометрической плотностью  $4,19$  и  $4,23 \text{ г/см}^3$ ,  $3,61$  и  $3,60 \text{ г/см}^3$ . Соединение  $\text{K}_2\text{GeTe}_4$  плавится при 678 К и может быть получено из элементарных компонентов при 770 К  $\angle 4 \angle$ .

### Система GeTe-Cs

В тройной системе Ge-Cs-Te образуется соединение  $\text{Cs}_4\text{GeTe}_6$ , кристаллизующееся в моноклинной структуре с параметрами элементарной ячейки  $a = 17,845 \text{ \AA}$ ,  $b = 13,981 \text{ \AA}$ ,  $c = 7,867 \text{ \AA}$ ,  $\alpha = 101,6^\circ$  и рентгенографической плотностью  $4,73 \text{ г/см}^3$   $\angle 6 \angle$ . Указанное соединение получали сплавлением Ge, Te и ацетата цезия при 1170 К в корундовом тигле в атмосфере аргона.

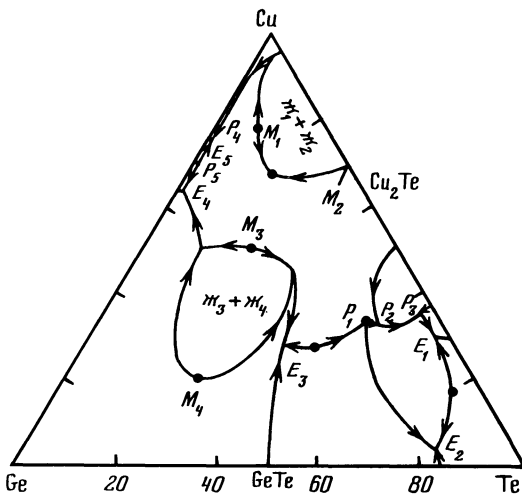
### Система GeTe-Cu

Система GeTe-Cu является неквазибинарным сечением тройной системы Ge-Cu-Te, пересекающим поля первичной кристаллизации Cu, Ge,  $\text{Cu}_{2-x}\text{Te}$  и GeTe  $\angle 7 \angle$ . Максимальная растворимость Cu в GeTe при 823 К составляет 4,4%  $\angle 8 \angle$ . По данным электрических измерений растворимость Cu в  $\text{Ge}_{0,975}\text{Te}$  при 670 К составляет  $4,7 \cdot 10^{26} \text{ м}^{-3}$ , а при 770 К  $5,6 \cdot 10^{26} \text{ м}^{-3}$   $\angle 9 \angle$ . В области существования низкотемпературной модификации GeTe растворимость Cu составляет приблизительно  $5,6 \cdot 10^{26} \text{ м}^{-3}$  (при 470 и 570 К).

В тройной системе Ge-Cu-Te (рис. 5.1) протекают следующие нонвариантные равновесия (табл. 5.1)  $\angle 7 \angle$ .

Области твердых растворов на основе GeTe и  $\text{Cu}_2\text{Te}$  в тройной системе Ge-Cu-Te вытянуты вдоль разреза GeTe- $\text{Cu}_2\text{Te}$  (рис. 5.2, 5.3)  $\angle 10$ , II  $\angle$ .

По сечению "GeTe<sub>2</sub>"- $\text{Cu}_2\text{Te}$  в указанной тройной системе образуется соединение  $\text{Cu}_2\text{GeTe}_3$  (A)  $\angle 12-15 \angle$ , которое не обнаружено при изучении политечнического сечения "GeTe<sub>2</sub>"- $\text{Cu}_2\text{Te}$   $\angle 16 \angle$ . По данным  $\angle 14 \angle$  соеди-



Р и с. 5.1. Схема поверхности ликвидуса тройной системы Ge-Cu-Te [7]

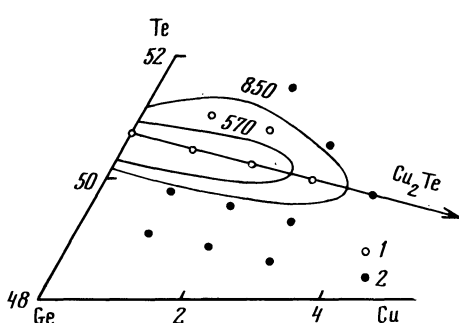
нение А плавится при 868 К (773 К [17], 765 К [13]) и кристаллизуется в кубической структуре типа сфалерита с параметром элементарной ячейки  $a = 5,95 \text{ \AA}$ , рентгенографической и пикнометрической плотностью соответственно 6,II и 6,14 г/см<sup>3</sup> [12,17] (в тетрагональной структуре с параметрами элементарной ячейки  $a = 5,947 \text{ \AA}$ ,  $c = 5,923 \text{ \AA}$  [13] и  $a = 5,956 \text{ \AA}$ ,  $c = 5,926 \text{ \AA}$  [14], рентгенографической и пикнометрической плотностью 6,13 и 5,95 г/см<sup>3</sup> [14]).

Т а б л и ц а 5.1

Нонвариантные равновесия в тройной системе Ge-Cu-Te [7]

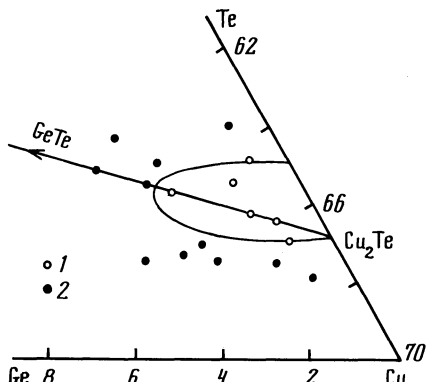
Обозначение	T, K	Состав, % Ge, Cu	Реакция
E <sub>1</sub>	6II	2,00; 30,66	$\xrightarrow{\text{ж}} \text{A} + \text{CuTe} + \text{Te}$
E <sub>2</sub>	633	14,83; 3,33	$\xrightarrow{\text{ж}} \text{A} + \text{B}-\text{GeTe} + \text{Te}$
E <sub>3</sub>	828	-	$\xrightarrow{\text{ж}} \text{B} + \text{B} - \text{GeTe} + \text{Ge}$
E <sub>4</sub>	9II	-	$\xrightarrow{\text{ж}} \text{Cu}_3\text{Ge} + \text{B} + \text{Ge}$
E <sub>5</sub>	10I3	-	$\xrightarrow{\text{ж}} \text{Cu}_3\text{Ge} + \xi + \text{B}$
P <sub>1</sub>	773	13,66; 34,66	$\text{A} \xrightarrow{\text{ж}} \text{B} + \text{B} - \text{GeTe} +$
P <sub>2</sub>	768	II,33; 34,00	$\text{ж} + \text{B} \xrightarrow{\text{ж}} \text{A} + \gamma - \text{Cu}_4\text{Te}_3$
P <sub>3</sub>	69I	2,0; 36,00	$\text{ж} + \gamma - \text{Cu}_4\text{Te}_3 \xrightarrow{\text{ж}} \text{A} + \text{CuTe}$
P <sub>4</sub>	1096	-	$\text{ж} + \text{Cu} \xrightarrow{\text{ж}} \xi + \text{B}$

П р и м е ч а н и е. B - B-Cu<sub>2-x</sub>Te;  $\xi$  - фаза в системе Cu-Ge; A - Cu<sub>2</sub>GeTe<sub>3</sub>.



Р и с. 5.2. Область твердых растворов на основе GeTe в системе Ge-Cu-Te [10]

I - одно- и 2 - двухфазные образцы



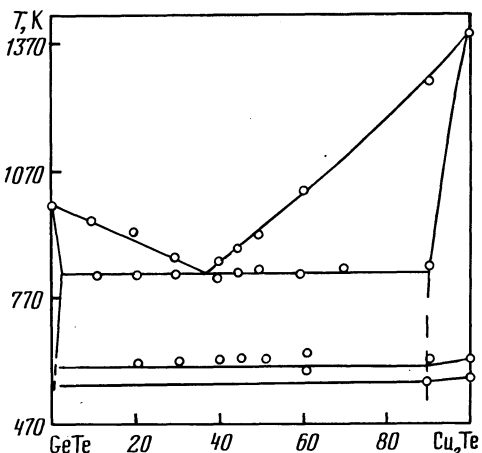
Р и с. 5.3. Область твердых растворов на основе Cu<sub>2</sub>Te в системе Ge-Cu-Te [11]

I - одно- и 2 - двухфазные образцы

Исходные образцы отжигали при 870 (850 К) и 570 К в течение двух недель [10, II], или при 470, 570, 670, 770 и 870 К в течение соответственно 1200, 1000, 600, 500 и 100 ч [9], или при 820 К в течение 1000 ч [8]. Система исследована методами ДТА, РФА и МСА, а также измерением микротвердости и электрофизических свойств [7-II].

#### Система GeTe-Cu<sub>2</sub>Te

Результаты исследования системы GeTe-Cu<sub>2</sub>Te противоречивы. По данным [10, 18] диаграмма состояния системы эвтектического типа (рис. 5.4). Эвтектика содержит 38 % Cu<sub>2</sub>Te и кристаллизуется при 838 К [10] (843 К [18]). Растворимость GeTe в Cu<sub>2</sub>Te при эвтектической температуре достигает 10-12 %, а растворимость Cu<sub>2</sub>Te в GeTe - 5-6 % [10, 18]. При



Р и с. 5.4. Диаграмма состояния системы GeTe-Cu<sub>2</sub>Te [10]

понижении температуры растворимость  $\text{Cu}_2\text{Te}$  в  $\text{GeTe}$  понижается и при 820 К составляет 4 % [19]. Термические эффекты при 627 и 577 К соответствуют полиморфным превращениям  $\text{Cu}_2\text{Te}$  [10,18].

Согласно [7] система является неквазибинарным сечением тройной системы  $\text{Ge}-\text{Cu}-\text{Te}$ , так как состав  $\text{Cu}_{2-x}\text{Te}$  при температурах ниже температуры плавления изменяется в сторону увеличения содержания теллура. Поэтому сечение пересекает несколько трехфазных областей со стороны  $\text{Cu}_2\text{Te}$  в системе  $\text{Ge}-\text{Cu}-\text{Te}$ . На политермическом сечении наблюдаются полиморфные превращения  $\text{Cu}_{2-x}\text{Te}$  при 423, 523, 598, 623 и 693 К. Инвариантная линия при 828 К отвечает тройной эвтектике, а термические эффекты при 673 К - полиморфному превращению  $\text{GeTe}$ . Расплавы системы  $\text{GeTe}-\text{Cu}_2\text{Te}$  являются жидкими полупроводниками [20].

Исходные образцы отжигали при 770 К в течение месяца [10] (при температурах ниже эвтектического превращения в течение более 250 ч [18]). Система исследована методами ДТА, РФА и МСА [7,10,18].

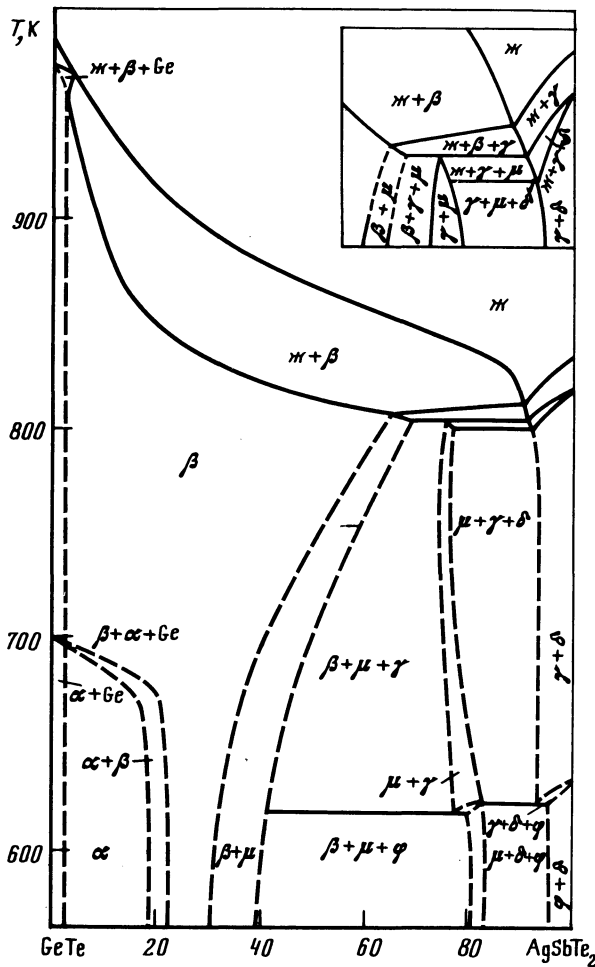
#### Система $\text{GeTe}$ - " $\text{AgSbTe}_2$ "

Система  $\text{GeTe}$ -" $\text{AgSbTe}_2$ " является неквазибинарным сечением четверной системы  $\text{Ge}-\text{Ag}-\text{Sb}-\text{Te}$  (рис. 5.5) [21,22], так как " $\text{AgSbTe}_2$ " ( $\gamma$ -фаза; формула соединения является условной, так как  $\gamma$ -фаза имеет переменный состав вблизи соотношения  $2\text{Ag}_2\text{Te} : 3\text{Sb}_2\text{Te}_3$ ) плавится инконгруэнтно и при 633 К распадается на  $\text{Ag}_2\text{Te}$  и  $\text{Sb}_2\text{Te}_3$ . В системе первично выделяется  $\gamma$ -фаза и твердые растворы на основе  $\beta$ - $\text{GeTe}$  ( $\beta$ -фаза). На политермическом сечении имеются линии вторичных выделений из жидкости  $\beta$  +  $\gamma$ -фаз и  $\delta(\text{Ag}_2\text{Te}) + \gamma$ -фаз. С участием жидкости протекают следующие превращения: перитектическая реакция при 809 К и эвтектическая - при 803 К [22].

Область твердых растворов на основе  $\text{GeTe}$  с ромбоэдрической решеткой простирается от 0 до 22 % " $\text{AgSbTe}_2$ " [21,23]. В этой области твердые растворы претерпевают полиморфное превращение, причем температура фазового перехода, происходящего практически без изменения объема, уменьшается при увеличении содержания " $\text{AgSbTe}_2$ " [24]. Начиная с 23 % " $\text{AgSbTe}_2$ " образцы имеют кристаллическую решетку типа  $\text{NaCl}$ , а при содержании более 30 % " $\text{AgSbTe}_2$ " наряду с основной  $\beta$ -фазой выделяется  $\mu$ -фаза  $(\text{Ag}_8\text{Ge}_{1,1}\text{Te}_{5,9})$  [21,23]. Согласно [25] твердые растворы  $(\text{GeTe})_{1-2x}(\text{AgSbTe}_2)_x$  при  $0,05 < x < 0,15$  являются фазой переменного состава, область гомогенности которых смешена от стехиометрического разреза в сторону избытка  $\text{Te}$  [25].

В работе [22] намечены области существования фаз в части системы  $\text{GeTe}-\text{Ag}_2\text{Te}-\text{Sb}_2\text{Te}_3$  при 570 К.

Исходные образцы отжигали при 670 К в течение 2230 ч (2000 ч [24]) и при 570 К в течение 2880 ч [21], или при 570 и 670 К в течение 2160 ч и при 770 К в течение 200 ч [22], или на протяжении 300-500 ч при температурах, составляющих две трети температур плавления [23].



Р и с. 5.5. Политегмическое сечение GeTe-AgSbTe<sub>2</sub>  
[22]

Система исследована методами ДТА, РФА, МСА, дилатометрии, а также измерением микротвердости, электро- и теплопроводности, термоЭДС и коэффициента Холла [21, 22, 24].

#### Система GeTe-AgBiTe<sub>2</sub>

Диаграмма состояния системы GeTe-AgBiTe<sub>2</sub> принадлежит к типу I по классификации Розебома (рис. 5.6) [26, 27]. Высокотемпературная модификация GeTe образует с AgBiTe<sub>2</sub> непрерывный ряд твердых растворов со структурой типа NaCl. В области 60-10 % GeTe распад в-твердых растворов начинается, по-видимому, с расслоения в твердом состоянии и последующего выпадения  $\mu$ -фазы ( $\text{Ag}_8\text{Ge}_{1,1}\text{Te}_{5,9}$ ). Об этом говорит наличие терми-

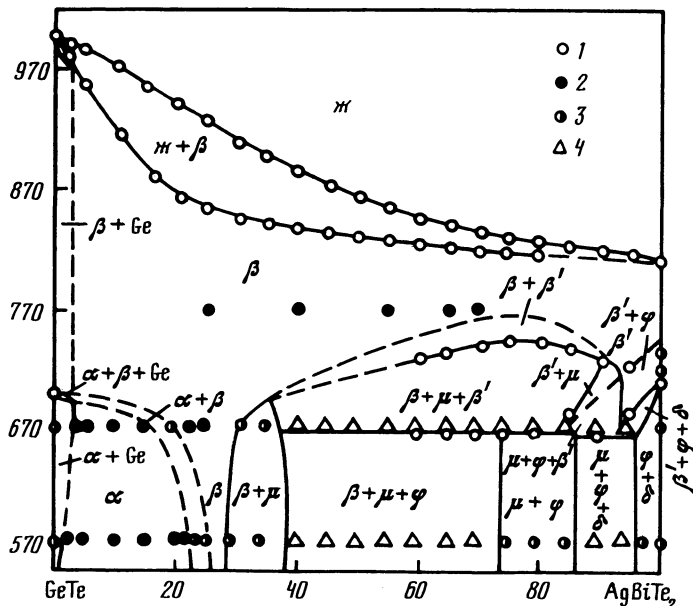


Рис. 5.6. Диаграмма состояния системы GeTe-AgBiTe<sub>2</sub> [27]

1 - нагревание; 2 - одно-, 3 - двух- и 4 - трехфазные образцы

ческих эффектов при 740 К - выше температуры распада AgBiTe<sub>2</sub>. Фазы  $\nu$  и  $\nu'$  имеют одинаковую кристаллическую решетку типа NaCl и практически одинаковые значения параметров элементарных ячеек [27]. При дальнейшем понижении температуры наблюдается превращение  $\nu' \rightarrow \mu + \varphi$  ( $\varphi = \text{Bi}_2\text{Te}_3$ ), а поскольку в сплавах присутствует еще  $\beta$ -фаза, то превращение относится к нонвариантным. Распад твердых растворов в области 9-6 % GeTe начинается с выделения  $\mu$ -фазы, а в области 5-0 % GeTe - с выделения  $\varphi$ -фазы. Со стороны GeTe наблюдается полиморфное превращение: при 570 К область существования  $\alpha$ -фазы находится в пределах 100-78,6% GeTe,  $\beta$ -фазы - 74-71 % GeTe. При закалке сплавов от 770 К получены практически однофазные образцы вплоть до состава 75 % AgBiTe<sub>2</sub>, а твердые растворы в области 80-100 % AgBiTe<sub>2</sub> весьма неустойчивы.

Согласно [25] твердые растворы (GeTe)<sub>1-2x</sub>(AgBiTe<sub>2</sub>)<sub>x</sub> при  $0,05 < x < 0,15$  являются фазой перемененного состава, область гомогенности которой смешена от стехиометрического разреза в сторону избытка Te.

В работе [27] намечены области существования фаз в части системы GeTe-Ag<sub>2</sub>Te-Bi<sub>2</sub>Te<sub>3</sub> при 570 К. Исходные образцы отжигали при 570 и 670 К в течение 2160 ч [27] (при 670 и 770 К в течение соответственно 500 и 200 ч [26]). Некоторые образцы отжигали при 720-770 К в течение 200 ч [27].

### Система GeTe-Ag<sub>2</sub>Te

Система GeTe-Ag<sub>2</sub>Te является неквазибинарным сечением тройной системы Ge-Ag-Te (рис. 5.7) [22, 27-29]. По данным [II] диаграмма состояния системы эвтектического типа, что менее вероятно. В системе образуется соединение 8Ag<sub>2</sub>Te·3GeTe, плавящееся инконгруэнтно при 883 К и являющееся, по-видимому, твердым раствором на основе Ag<sub>8</sub>GeTe<sub>6</sub> (A) [27, 29]. Эвтектика кристаллизуется при 863 К и содержит 40 % Ag<sub>2</sub>Te. Пикнометрическая плотность образующегося соединения составляет 7,34 г/см<sup>3</sup> [29].

Области твердых растворов на основе исходных бинарных компонентов не превышают 2-3 %, причем твердые растворы на основе GeTe претерпевают одно, а твердые растворы на основе Ag<sub>2</sub>Te - два полиморфных превращения [29].

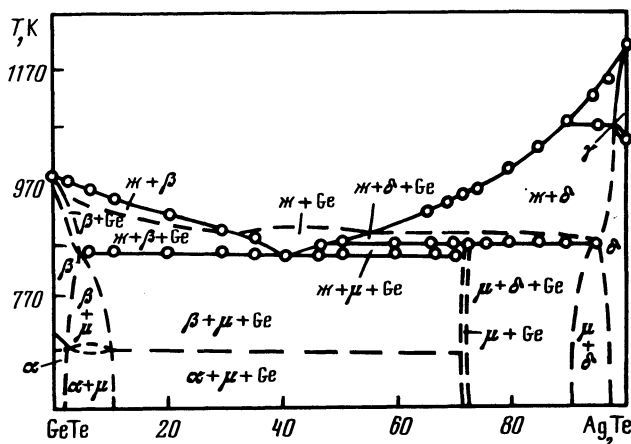


Рис. 5.7. Политегмическое сечение GeTe-Ag<sub>2</sub>Te [22, 27-29]

По разрезу "GeTe<sub>2</sub>"-Ag<sub>2</sub>Te тройной системы Ge-Ag-Te образуется соединение A [30-32], плавящееся инконгруэнтно при 918 К [30, 31] и претерпевающее фазовые превращения при 173,3, 223,6 и 245,3 К [32]. A кристаллизуется в кубической структуре с параметрами элементарной ячейки  $a = 11,570 \text{ \AA}$  [30, 31] ( $a = 11,566 \text{ \AA}$  [32, 33];  $a = 11,58 \text{ \AA}$  [34]). По данным [35] соединение A кристаллизуется в ромбоэдрической (псевдо-кубической) решетке с параметрами  $a = 8,176 \text{ \AA}$  и  $\alpha = 60,0^\circ$ . Рентгенографическая плотность A составляет 7,317 г/см<sup>3</sup> [32] (7,28 г/см<sup>3</sup> [34], 7,29 г/см<sup>3</sup> [30], 7,307 г/см<sup>3</sup> [35]), пикнометрическая - 7,22 г/см<sup>3</sup> [30, 32] (7,20 г/см<sup>3</sup> [34]).

Согласно [15] по разрезу "GeTe<sub>2</sub>"-Ag<sub>2</sub>Te образуется соединение Ag<sub>2</sub>GeTe<sub>3</sub>, плавящееся при 603 К, имеющее плотность 5,12 г/см<sup>3</sup> и ширину запрещенной зоны 0,25 эВ, которое в работе [28] не обнаружено.

Триангуляцию тройной системы Ge-Ag-Te при 298 К определяет соединение Ag [28]. Область твердых растворов на основе GeTe ориентирована в направлении разреза GeTe-Ag<sub>2</sub>Te, причем при содержании Ag до 0,25 % свойства сплавов изменяются иначе, чем при большем количестве Ag (рис. 5.8) [36]. По разрезу GeTe-AgTe твердых растворов на основе GeTe не обнаружено [37].

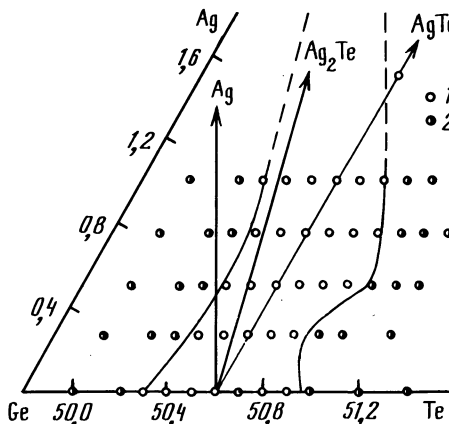


Рис. 5.8. Область гомогенности на основе GeTe в системе Ge-Ag-Te при 820 К [36]

1 - одно- и 2 - двухфазные образцы

Монокристаллы А получали методом ХТР (носитель - иод) [32].

Исходные образцы отжигали при 570 и 670 К в течение 2160 ч и при 720-770 К в течение 200 ч [22,27] (при 670 К в течение 720 ч [29]; при 820 К в течение 300 ч [36]). Система исследована методами ДТА, РФА, МСА, локального рентгеновского спектрального анализа, а также измерением микротвердости и электрофизических свойств [18,22,27,28,30, 36].

#### Система GeTe-Au

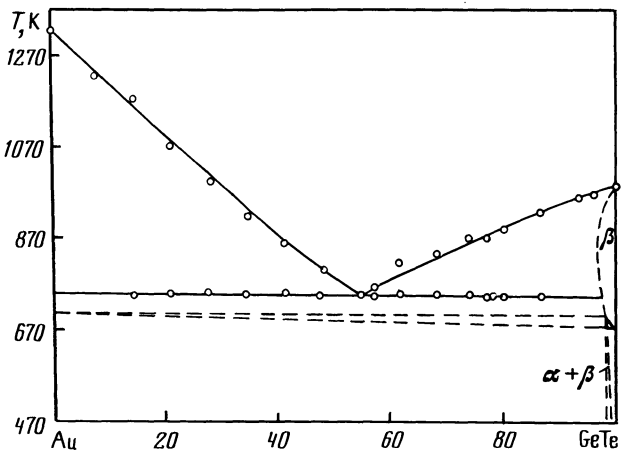
Диаграмма состояния системы GeTe-Au (рис. 5.9) эвтектического типа [38]. Эвтектика содержит 46,66 % Au и кристаллизуется при 753 К. Исходные образцы отжигали при 570 К в течение 6000 ч. Система исследована методами ДТА, РФА и МСА, а также измерением микротвердости [38].

#### Система GeTe-AuTe<sub>2</sub>

Диаграмма состояния системы GeTe-AuTe (рис. 5.10) эвтектического типа [38]. Эвтектика содержит 40 % GeTe и кристаллизуется при 673 К. Исходные образцы отжигали при 570 К в течение 6000 ч. Система исследована методами ДТА, РФА и МСА, а также измерением микротвердости [38].

#### Система GeTe-Ba

В тройной системе Ge-Ba-Te образуется соединение Ba<sub>2</sub>Ge<sub>2</sub>Te<sub>5</sub>, кристаллизующееся в ромбической структуре с параметрами элементарной ячей-

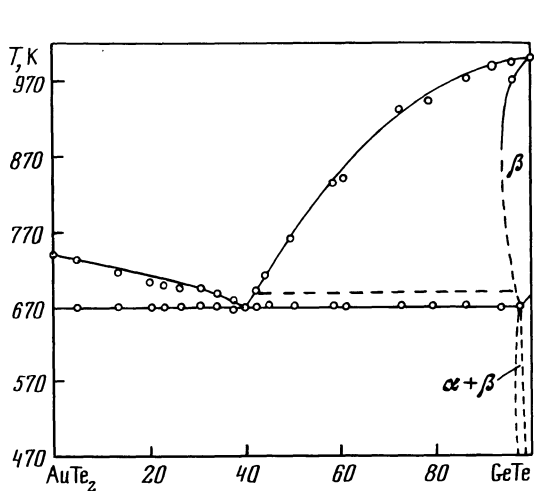


Р и с. 5.9. Диаграмма состояния системы GeTe-Au  
[38]

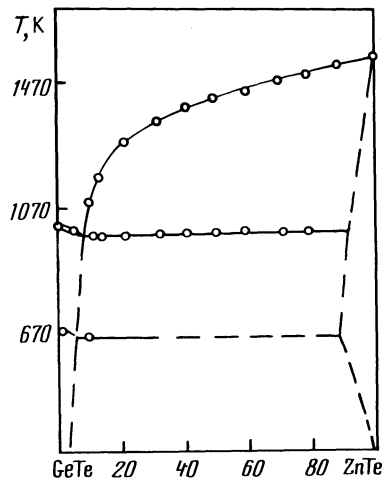
ки  $a = 13,3975 \text{ \AA}$ ,  $b = 9,1773 \text{ \AA}$ ,  $c = 9,9503 \text{ \AA}$ , рентгенографической плотностью  $5,74 \text{ г}/\text{см}^3$  и пикнометрической -  $5,76 \text{ г}/\text{см}^3$ .

#### Система GeTe-ZnTe

Диаграмма состояния системы GeTe-ZnTe (рис. 5.II) эвтектического типа [40-42]. Эвтектика кристаллизуется при 978 К. Характер взаимодействия низкотемпературной модификации GeTe с ZnTe описывается диаграммой состояния эвтектоидного типа. Эвтектоидное превращение протека-



Р и с. 5.I0. Диаграмма состояния  
системы GeTe-AuTe<sub>2</sub> [38]



Р и с. 5.II. Диаграмма состояния  
системы GeTe-ZnTe  
[40, 41]

ет при 653 К. Максимальная взаимная растворимость исходных компонентов не превышает 5 % [41]. При 500 К в GeTe растворяется 2 % ZnTe, а при 800 К - 2,5 % ZnTe [43].

Исходные образцы отжигали при 800, 700, 600 и 500 К в течение соответственно 200, 400, 600 и 800 ч [43]. Система исследована с помощью ДТА, РФА и МСА [40-43].

#### Система GeTe-CdTe

Результаты исследования системы противоречивы. По данным [44] диаграмма состояния системы GeTe-CdTe (рис. 5.12) перитектического типа (перитектическая реакция при 997 К). В системе обнаружены две области твердых растворов  $\alpha$  и  $\beta$ , прилегающих к GeTe и ограниченных составом CdGe<sub>9</sub>Te<sub>10</sub>. Фазовый переход  $\alpha \rightarrow \beta$  осуществляется при 623 К для сплава CdGe<sub>9</sub>Te<sub>10</sub>, ограничивающего область твердых растворов.

Согласно [40-42] система принадлежит к эвтектическому типу. Эвтектика кристаллизуется при 973 К. Растворимость CdTe в GeTe при 500 и 800 К равна соответственно 2 и 3 % [43].

Исходные образцы отжигали при 800, 700, 600 и 500 К в течение соответственно 200, 400, 600 и 800 ч [43]. Система исследована методами ДТА, РФА и МСА [40-44].

#### Система GeTe-HgTe

Диаграмма состояния системы эвтектического типа (рис. 5.13) [40-42]. Эвтектика кристаллизуется при 833 К. Система характеризуется наличием

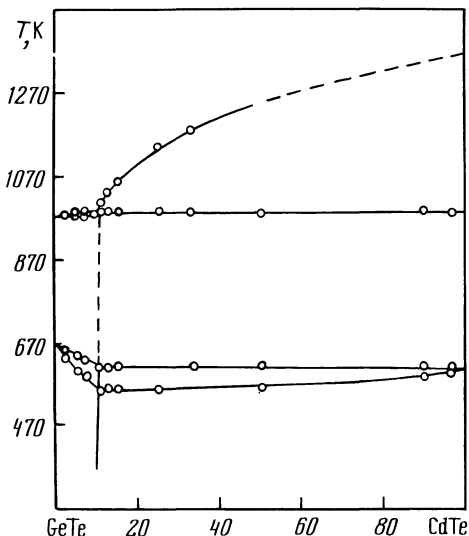


Рис. 5.12. Диаграмма состояния системы GeTe-CdTe [44]

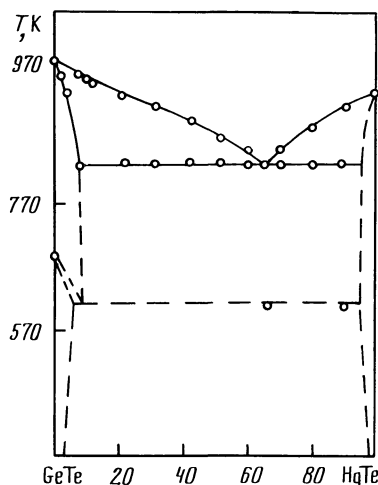


Рис. 5.13. Диаграмма состояния системы GeTe-HgTe [40-42]

эвтектоидного превращения при 613 К. Взаимная растворимость исходных компонентов не превышает 4 % [41]. Система исследована методами ДТА, РФА и МСА [40-42].

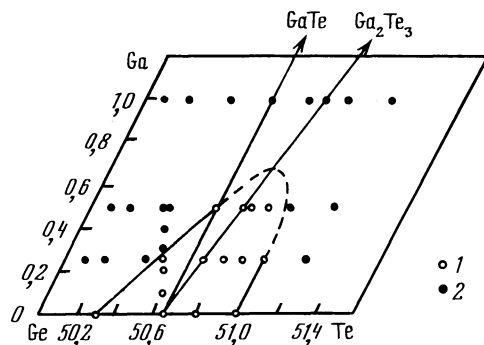
### Система GeTe-Ga

Система GeTe-Ga является неквазибинарным сечением тройной системы Ge-Ga-Te [45-47]. Нонвариантное равновесие при 973 К отвечает перитектическому, а при 913 К - эвтектическому взаимодействию в системе Ge-Ga-Te [47]. В системе образуется соединение  $\text{GaGeTe}$  (A), плавящееся инконгруэнтно при 1073 К и кристаллизующееся в ромбоэдрической структуре с параметрами элементарной ячейки (в гексагональной записи)  $a = 4,048 \text{ \AA}$ ,  $c = 34,731 \text{ \AA}$  [47,48]. Рентгенографическая плотность A равна 5,46 г/см<sup>3</sup>, а пикнотрическая - 5,3 г/см<sup>3</sup> [47]. Соединение состава  $\text{Ga}_2\text{GeTe}$  в системе не обнаружено [45,46].

Область твердых растворов на основе GeTe в тройной системе Ge-Ga-Te (рис. 5.14) вытянута вдоль разреза GeTe-Ga<sub>2</sub>Te<sub>3</sub> [49-51]. В области твердого раствора сохраняется ромбоэдрическая структура GeTe при небольшом возрастании угла ромбоэдричности  $\alpha$  и незначительном уменьшении объема элементарной ячейки [50].

Рис. 5.14. Область твердых растворов на основе GeTe в системе Ge-Ga-Te при 820 К [51]

1 - одно- и 2 - двухфазные образцы



Поверхность ликвидуса тройной системы Ge-Ga-Te (рис. 5.15) состоит из 10 полей первичной кристаллизации фаз Ga, Ge, Te, GeTe,  $\text{Ga}_3\text{Te}_2$ ,  $\text{GaTe}$ ,  $\text{Ga}_2\text{Te}_3$ ,  $\text{GaTe}_3$ ,  $\text{GaGeTe}_2$  (B) и  $\text{Ga}_2\text{GeTe}_3$  (C) [45]. Поле первичной кристаллизации Ga вырождено. Небольшую часть концентрационного треугольника занимает область расслаивания. Нонвариантные равновесия в системе Ge-Ga-Te приведены в табл. 5.2. Нонвариантные равновесия, приведенные в работе [47], несколько отличаются от указанных выше. Соединение A получали из элементарных компонентов при 1150 К [48].

Исходные образцы отжигали при 910 К в течение 1-4 недель [47] (при 870 К в течение 200 ч [49]; при 520, 670, 770 и 870 К [50]). Система исследована методами ДТА, РФА, МСА, а также измерением микротвердости и термоэлектрических свойств [45-47, 49-51].

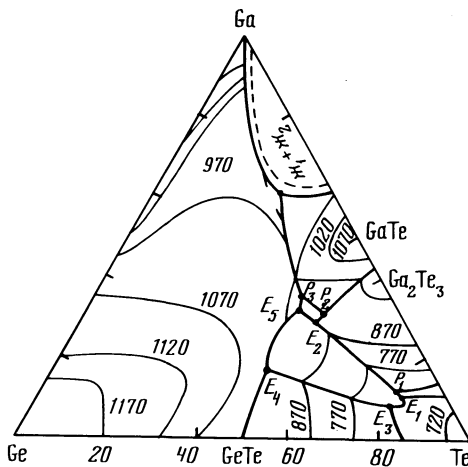


Рис. 5.15. Поверхность ликвидуса тройной системы Ge-Ga-Te [45]

Таблица 5.2

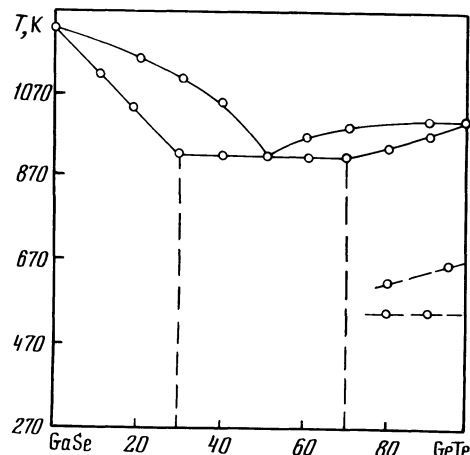
Нонвариантные равновесия в тройной системе Ge-Ga-Te [45]

Обозначение	T, K	Состав, % Ga, Ge	Реакция
E <sub>1</sub>	593	II; 9	Ж $\rightleftharpoons$ B + Ga <sub>2</sub> Te <sub>3</sub> + Te
E <sub>2</sub>	873	28; 20	Ж $\rightleftharpoons$ B + C + Ga <sub>2</sub> Te <sub>3</sub>
E <sub>3</sub>	573	8; 13	Ж $\rightleftharpoons$ B + GeTe + Te
E <sub>4</sub>	903	18; 36	Ж $\rightleftharpoons$ B + GeTe + Ge
E <sub>5</sub>	893	32; 22	Ж $\rightleftharpoons$ B + C + Ge
P <sub>1</sub>	723	I2; II	Ж + Ga <sub>2</sub> Te <sub>3</sub> $\rightleftharpoons$ B + GaTe <sub>3</sub>
P <sub>2</sub>	913	30; I8	Ж + GaTe $\rightleftharpoons$ C + Ga <sub>2</sub> Te <sub>3</sub>
P <sub>3</sub>	953	37; 19	Ж + GaTe $\rightleftharpoons$ C + Ge
P <sub>4</sub>	903	61; I2	Ж + GaTe $\rightleftharpoons$ Ge + Ga <sub>2</sub> Te <sub>3</sub>

#### Система GeTe-GaSe

Диаграмма состояния системы GeTe-GaSe (рис. 5.16) эвтектического типа [52]. Эвтектика содержит 50 % GeTe. Взаимная растворимость исходных компонентов при эвтектической температуре достигает 30 %. Термические эффекты в твердом состоянии соответствуют полиморфному превращению твердых растворов на основе GeTe. Система исследована методами ДТА и РФА [52].

Р и с. 5.16. Диаграмма состояния системы  $\text{GeTe}-\text{GaSe}$  [52]



#### Система $\text{GeTe}-\text{GaTe}$

Согласно [45, 53] в системе  $\text{GeTe}-\text{GaTe}$  образуются соединения  $\text{Ga}_2\text{GeTe}_2$  (плавится конгруэнтно) и  $\text{Ga}_2\text{GeTe}_3$  (плавится инконгруэнтно) [45, 53-55], кристаллизующиеся в гексагональной структуре с параметрами элементарной ячейки соответственно  $a = 4,02 \text{ \AA}$ ,  $c = 16,82 \text{ \AA}$  [54] и  $a = 4,05 \text{ \AA}$ ,  $c = 16,87 \text{ \AA}$ . По данным [56] указанных соединений в системе не существует. Эвтектика содержит 38 и 58 %  $\text{GaTe}$  и кристаллизуются соответственно при 883 и 963 К [45, 53].

Более поздние исследования показали [47, 56], что система  $\text{GeTe}-\text{GaTe}$  является неквазибинарным сечением тройной системы  $\text{Ge}-\text{Ga}-\text{Te}$ . Нонвариантные равновесия при 993 и 973 К отвечают перитектическим, а при 913 К - эвтектическому взаимодействию в системе  $\text{Ge}-\text{Ga}-\text{Te}$ . Растворимость  $\text{GaTe}$  в  $\text{GeTe}$  незначительна [50] (по данным [45, 53, 57] - достигает 6-7 %, а  $\text{GeTe}$  в  $\text{GaTe}$  не превышает 2 % [53]).

Исходные образцы отжигали при 910 К в течение 1-4 недель [47] (при 470 К в течение 200 ч [55]). Монокристаллы  $\text{Ga}_2\text{GeTe}_2$  и  $\text{Ga}_2\text{GeTe}_3$  получали методом Бриджмена [54]. Система исследована методами ДТА, РФА, МСА, а также измерением микротвердости, плотности, термоэлектрических свойств, скорости распространения ультразвука и коэффициента поглощения [45, 47, 50, 55, 57].

#### Система $\text{GeTe}-\text{Ga}_2\text{Te}_3$

Диаграмма состояния системы  $\text{GeTe}-\text{Ga}_2\text{Te}_3$  (рис. 5.17) эвтектического типа [49]. Эвтектика содержит 30%  $\text{Ga}_2\text{Te}_3$  и кристаллизуется при 909 К [49] (26 %  $\text{Ga}_2\text{Te}_3$  и 933 К [47, 56]; 30 %  $\text{Ga}_2\text{Te}_3$  и 903 К [58]). При введении  $\text{Ga}_2\text{Te}_3$  в  $\text{GeTe}$  температура полиморфного превращения понижается до 593 К [49] до 598 К [58]. Растворимость  $\text{Ga}_2\text{Te}_3$  в  $\text{GeTe}$  при 870 К достигает 2 %, а при 520 К уменьшается до 1 % [49] (дости-

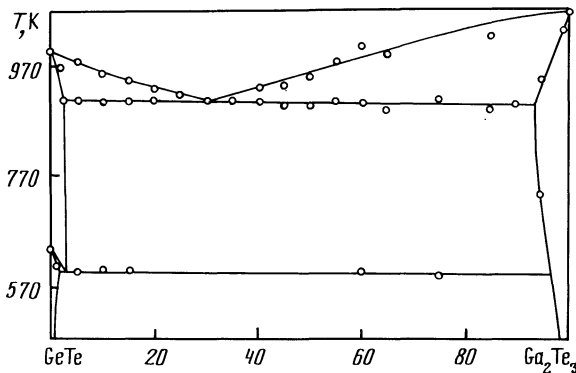


Рис. 5.17. Диаграмма состояния системы  $\text{GeTe}-\text{Ga}_2\text{Te}_3$  [49].

гает 5 % [57], не превышает 0,5 % [58], а растворимость  $\text{GeTe}$  в  $\text{Ga}_2\text{Te}_3$  при 870 К достигает 5 % и уменьшается до 2 % при 520 К [49].

Исходные образцы отжигали при 870, 770, 670 и 520 К [49] (при 910 К в течение 1-4 недель [47]; при 570 К в течение 480 ч [58]). Система исследована методами ДТА, РФА и МСА, а также измерением микротвердости и термоэлектрических свойств [47, 49, 56, 58].

#### Система $\text{GeTe}-\text{In}$

Система  $\text{GeTe}-\text{In}$  является неквазибинарным сечением тройной системы  $\text{Ge}-\text{In}-\text{Te}$  [46, 59]. Соединение состава  $\text{In}_2\text{GeTe}$  не обнаружено.

Область твердых растворов на основе  $\text{GeTe}$  в тройной системе  $\text{Ge}-\text{In}-\text{Te}$  (рис. 5.18) располагается вдоль разреза  $\text{GeTe}-\text{In}_2\text{Te}_3$  [60-62] и ее ширина лежит в пределах 2 % Te [60].

Поверхность ликвидуса тройной системы  $\text{Ge}-\text{In}-\text{Te}$  (рис. 5.19) состоит из 12 полей первичной кристаллизации фаз  $\text{Ge}$ ,  $\text{Te}$ ,  $\text{In}$ ,  $\text{GeTe}$ ,  $\text{In}_9\text{Te}_7$ ,  $\text{InTe}$ ,  $\text{In}_3\text{Te}_4$ ,  $\text{In}_2\text{Te}_3$ ,  $\text{In}_3\text{Te}_5$ ,  $\text{In}_2\text{Te}_5$ ,  $\text{InGeTe}_2$  (A) и  $\text{In}_2\text{GeTe}_3$  (B) [59]. Вблизи  $\text{In}$  имеется область расслаивания, примыкающая к системе  $\text{In}-\text{Te}$ . Наибольшую площадь занимает поле первичной кристаллизации  $\text{Ge}$ . Нонвариантные равновесия в системе  $\text{Ge}-\text{In}-\text{Te}$  приведены в табл. 5.3.

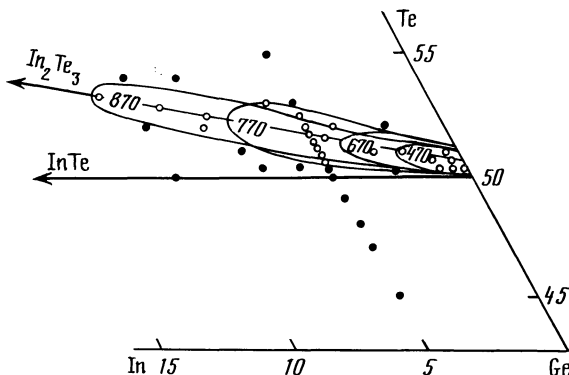
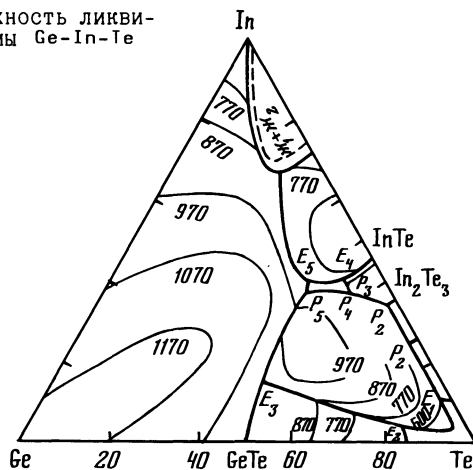


Рис. 5.18. Область твердых растворов на основе  $\text{GeTe}$  в системе  $\text{Ge}-\text{In}-\text{Te}$  при 470, 670, 770 и 870 К [60].

1 - одно- и 2 - двухфазные образцы

Р и с. 5.19. Поверхность ликвидуса тройной системы Ge-In-Te  
[59]



Т а б л и ц а 5.3

Нонвариантные равновесия в тройной системе Ge-In-Te [59]

Обозначение	T, K	Состав, % In, Ge	Реакция
E <sub>1</sub>	623	10; 2	$\text{Ж} \rightleftharpoons \text{A} + \text{In}_2\text{Te}_5 + \text{Te}$
E <sub>2</sub>	603	4; 14	$\text{Ж} \rightleftharpoons \text{A} + \text{GeTe} + \text{Te}$
E <sub>3</sub>	903	15; 38	$\text{Ж} \rightleftharpoons \text{A} + \text{GeTe} + \text{Ge}$
E <sub>4</sub>	803	39; 9	$\text{Ж} \rightleftharpoons \text{B} + \text{In}_2\text{Te}_3 + \text{InTe}$
E <sub>5</sub>	673	39; 17	$\text{Ж} \rightleftharpoons \text{B} + \text{InTe} + \text{Ge}$
E <sub>6</sub>	423	99; 0,5	$\text{Ж} \rightleftharpoons \text{In} + \text{Ge} + \text{In}_9\text{Te}_7$
P <sub>1</sub>	873	34; 2	$\text{Ж} + \text{In}_2\text{Te}_3 \rightleftharpoons \text{A} + \text{In}_3\text{Te}_5$
P <sub>2</sub>	693	24; 2	$\text{Ж} + \text{In}_3\text{Te}_5 \rightleftharpoons \text{A} + \text{In}_2\text{Te}_5$
P <sub>3</sub>	813	39; 8	$\text{Ж} + \text{In}_2\text{Te}_3 \rightleftharpoons \text{B} + \text{In}_3\text{Te}_4$
P <sub>4</sub>	823	36; 9	$\text{Ж} + \text{A} \rightleftharpoons \text{B} + \text{In}_2\text{Te}_3$
P <sub>5</sub>	703	36; 18	$\text{Ж} + \text{A} \rightleftharpoons \text{B} + \text{Ge}$
P <sub>6</sub>	703	66; 9	$\text{Ж} + \text{InTe} \rightleftharpoons \text{In}_9\text{Te}_7 + \text{Ge}$

Изотермическое сечение тройной системы Ge-In-Te в области GeTe-In<sub>2</sub>Te<sub>3</sub>-InTe-Ge при 670 К приведено в работе [63].

Исходные образцы отжигали при 470 К в течение 200 ч [59] (при 470, 670, 770 и 870 К в течение соответственно 1000, 600, 250 и 200 ч [60]; при 470, 570 и 820 К в течение соответственно 500, 500 и 200 ч [62]; при 670 К в течение четырех дней [63]).

Система исследована методами ДТА, РФА и МСА, а также измерением микротвердости, термоЭДС и электропроводности [46, 59-63].

### Система GeTe-InTe

Диаграмма состояния системы GeTe-InTe представлена на рис. 5.20 [59, 64]. Растворимость InTe в GeTe достигает 15 % [64, 65] и уменьшается при комнатной температуре до 10 % [57, 59] 8 % при 670 К [63], а растворимость GeTe в InTe при комнатной температуре не превышает 3 % [59] (10 % [64]; 5 % при 670 К [63]). Характер концентрационной зависимости параметров элементарной ячейки для твердых растворов на основе  $\alpha$ - и  $\beta$ -GeTe существенно различен. Согласно [65, 66] при увеличении содержания InTe в системе появляется  $In_2Te_3$ .

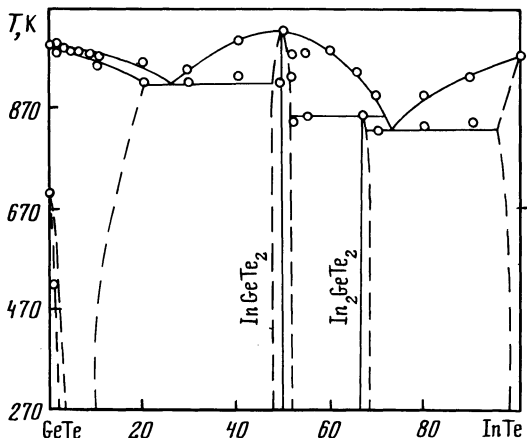


Рис. 5.20. Диаграмма состояния системы GeTe-InTe [59, 64]

В системе GeTe-InTe образуются соединения  $InGeTe_2$  (плавится конгруэнтно) и  $In_2GeTe_3$  (плавится инконгруэнтно при 853 К [59, 64]), кристаллизующиеся в кубической структуре с параметром элементарной ячейки соответственно 6,02 и 6,06 Å [54]. Монокристаллы  $InGeTe_2$  и  $In_2GeTe_3$  получали методом Бриджмена.

Исходные образцы отжигали при 470 К в течение 200 ч [59] при 870 К в течение 200 ч [67]; при 670 К в течение четырех дней [63]. Система исследована методами ДТА, РФА, МСА, а также измерением микротвердости, плотности, электропроводности и термоЭДС [57, 59, 63, 65, 67].

### Система GeTe-In<sub>2</sub>Te<sub>3</sub>

Диаграмма состояния системы GeTe-In<sub>2</sub>Te<sub>3</sub> (рис. 5.21) эвтектического типа [68, 69]. Эвтектика содержит 30 % GeTe и кристаллизуется при 885 К [68] (29 % и 888 К [69]). Добавление GeTe к In<sub>2</sub>Te<sub>3</sub> снижает температуру фазового превращения с 803 К для In<sub>2</sub>Te<sub>3</sub> до 773 К при содержании 10 % GeTe. Эвтектоидный распад протекает при 773 К [68, 69]. Введение In<sub>2</sub>Te<sub>3</sub> понижает температуру фазового превращения GeTe до 528 К (493 К [69]). Эвтектоидная точка со стороны GeTe отвечает составу 5 % In<sub>2</sub>Te<sub>3</sub> [68].

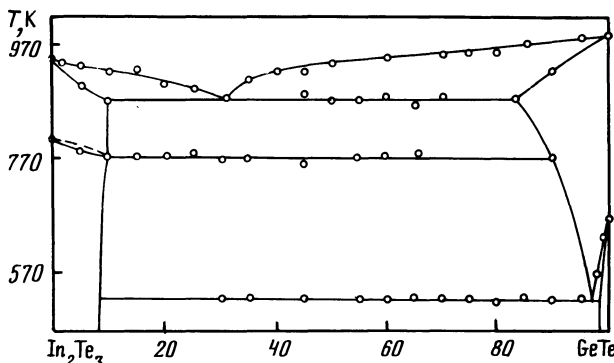


Рис. 5.21. Диаграмма состояния системы GeTe-In<sub>2</sub>Te<sub>3</sub> [68].

Растворимость In<sub>2</sub>Te<sub>3</sub> в GeTe составляет 15 % при 870 К (56 % при эвтектической температуре [69]), 5 % при 530 К и 2 % (5 % [69]) при 470 К, а растворимость GeTe в In<sub>2</sub>Te<sub>3</sub> достигает 10 % при 870 К и 8 % при 670 К [68].

Данные работы [68, 69] находятся в противоречии с результатами работы [59], поэтому поверхность ликвидуса тройной системы нуждается в дополнительном исследовании.

Исходные образцы отжигали при 470, 670, 770 и 870 К [68] при 470 К [69]. Система исследована методами ДТА, РФА и МСА, а также измерением микротвердости, термоЭДС, электро- и теплопроводности [68, 69].

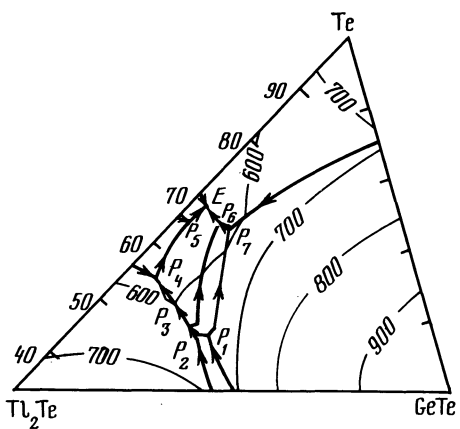
#### Система GeTe-Tl

Система GeTe-Tl является неквазибинарным сечением тройной системы Ge-Tl-Te [70]. Большую часть сечения занимает область расслаивания.

В работе [70] построена также поверхность ликвидуса и изотермическое сечение при 500 К тройной взаимной системы GeTe + Tl  $\rightleftharpoons$  Tl<sub>2</sub>Te - Ge, являющейся частью тройной системы Ge - Tl-Te. Поверхность ликвидуса полностью охвачена областью первичной кристаллизации Ge, которая в широком интервале концентраций протекает по монотектической реакции. Растворимость на основе всех фаз ниже 550 К практически отсутствует.

Поверхность ликвидуса тройной системы GeTe-Tl<sub>2</sub>Te-Te (рис. 5.22) и ее изотермическое сечение при 298 К изучены в работе [71]. Нонвариантные равновесия в указанной системе приведены в табл. 5.4.

В тройной системе Ge-Tl-Te обнаружено соединение Tl<sub>6</sub>Ge<sub>2</sub>Te<sub>6</sub> (C) [72, 73], которое плавится при 663 К [72] и кристаллизуется в триклинной структуре с параметрами элементарной ячейки  $a = 9,4706 \text{ \AA}$ ,  $b = 9,7140 \text{ \AA}$ ,  $c = 10,3890 \text{ \AA}$ ,  $\alpha = 89,387^\circ$ ,  $\beta = 97,270^\circ$ ,  $\gamma = 100,789^\circ$  [73], рентгенографической плотностью 7,62 г/см<sup>3</sup> [73] и пикнометрической - 7,61 г/см<sup>3</sup> [72]. Согласно данным [70, 71] в тройной системе



Р и с. 5.22. Поверхность ликвидуса системы GeTe-Tl<sub>2</sub>Te-Te [71]

Т а б л и ц а 5.4

Нонвариантные равновесия в системе GeTe-Tl<sub>2</sub>Te-Te [71]

Обозначение	T, K	Состав, % Tl, Ge	Реакция
E	485	30; 2	$\text{Ж} \rightleftharpoons \text{A} + \text{Tl}_2\text{Te} + \text{GeTe}$
P <sub>1</sub>	645	35; 17	$\text{Ж} + \text{B} \rightleftharpoons \text{B} + \gamma_2$
P <sub>2</sub>	638	37; 15	$\text{Ж} + \text{B} \rightleftharpoons \gamma_2 + \delta_1$
P <sub>3</sub>	628	37; 13	$\text{Ж} + \gamma \rightleftharpoons \text{A} + \delta_1$
P <sub>4</sub>	530	40; 5	$\text{Ж} + \delta_1 \rightleftharpoons \text{A} + \text{TlTe}$
P <sub>5</sub>	500	33; 2	$\text{Ж} + \text{TlTe} \rightleftharpoons \text{A} + \text{Te}$
P <sub>6</sub>	527	28; 6	$\text{Ж} + \text{GeTe} \rightleftharpoons \text{A} + \text{Te}$
P <sub>7</sub>	593	27; 8	$\text{Ж} + \text{GeTe} \rightleftharpoons \gamma + \text{Te}$

П р и м е ч а н и е.  $\text{Ж}$  и  $\delta$  - твердые растворы на основе соответственно GeTe и Tl<sub>5</sub>Te<sub>3</sub>;  $\gamma$  - тройное соединение; A - Tl<sub>2</sub>GeTe<sub>3</sub>; B - B-Tl<sub>2</sub>GeTe<sub>2</sub>.

ме Ge-Tl-Te нет соединения C, однако авторы работы [73] считают, что соединение B [70, 71] идентично соединению C.

Исходные образцы отжигали при температурах на 20-50 К ниже температур солидуса в течение 400-600 ч [70, 71]. Сплавы, предназначенные для исследования методом ЭДС, дополнительно отжигали при 320 К в течение 500 ч [71]. Соединение C синтезировали из элементарных компонентов при 770 К в течение нескольких дней [72, 73]. Система исследована методами ДТА, РФА, МСА, а также измерением микротвердости и ЭДС концентрационных цепей [70-72].

### Система GeTe-TlTe

Система GeTe-TlTe является неквазибинарным сечением тройной системы Ge-Te-Tl (рис. 5.23) [74]. В системе образуется соединение  $Tl_2GeTe_3$ , плавящееся инконгруэнтно при 651 К и кристаллизующееся в ромбической структуре с параметрами элементарной ячейки  $a = 4,13 \text{ \AA}$ ,  $b = 12,02 \text{ \AA}$ ,  $c = 8,48 \text{ \AA}$ , рентгенографической и пикнометрической плотностью соответственно 6,82 и 6,95 г/см<sup>3</sup>. Существование соединения  $Tl_5GeTe_2$  [75,76] не доказано [74]. При 641 К происходит фазовое превращение твердых растворов на основе GeTe. Со стороны TlTe при 548 К протекает перитектическая реакция с образованием  $Tl_5Te_3$ , а при 538 К кристаллизуется тройная эвтектика.

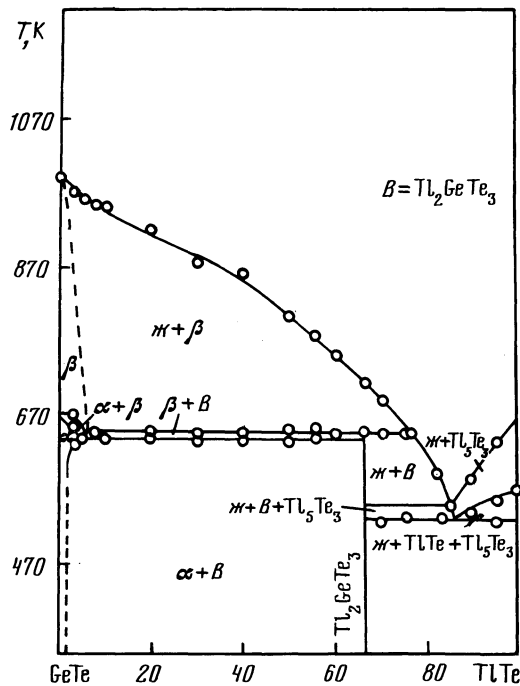


Рис. 5.23. Политечическое сечение GeTe-TlTe [74]

Расторимость TlTe в GeTe достигает 6 % при комнатной температуре [75] (не превышает 3 % [57]).

Исходные образцы отжигали при 470 К в течение 8 дней [74] (при температурах ниже температуры солидуса в течение 600 ч [76]). Система исследована методами ДТА и РФА, а также измерением микротвердости, электропроводности, термоЭДС и ЭДС концентрационных цепей [74-76].

### Система GeTe-Tl<sub>2</sub>Te

Диаграмма состояния системы GeTe-Tl<sub>2</sub>Te (рис. 5.24) эвтектического типа [70,76]. В системе образуются соединения Tl<sub>8</sub>GeTe<sub>5</sub> А (плавится

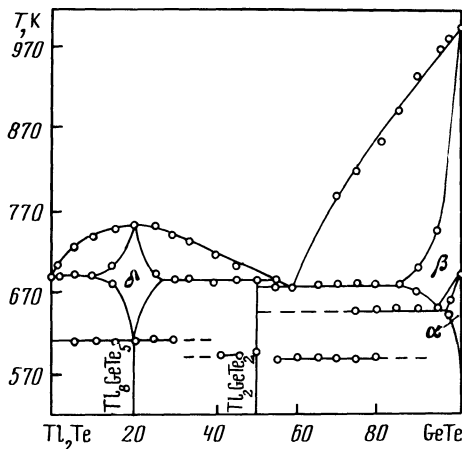


Рис. 5.24. Диаграмма состояния системы  $\text{GeTe}-\text{Tl}_2\text{Te}$  [70, 76].

конгруэнтно при 753 К) и  $\text{Tl}_2\text{GeTe}_2$  В (плавится инконгруэнтно при 690 К). На основе А и  $\text{GeTe}$  существуют ограниченные области твердых растворов.

Со стороны  $\text{Tl}_2\text{Te}$  эвтектика вырождена, а со стороны  $\text{GeTe}$  содержит 60 %  $\text{GeTe}$  и кристаллизуется при 683 К. Точка перитектики находится при 57 %  $\text{GeTe}$ . Соединения А и В имеют полиморфные превращения соответственно при 613 и 598 К. Соединение А кристаллизуется в тетрагональной структуре с параметрами элементарной ячейки  $a = 8,94 \text{ \AA}$ ,  $c = 12,4 \text{ \AA}$ .

Исходные образцы отжигали при температурах на 30-50 К ниже температур солидуса в течение 400 ч. Система исследована методами ДТА, РФА, МСА, а также измерением концентрационных цепей [70, 76].

#### Системы $\text{GeTe}-\text{Tl}_2\text{Te}_3$ ( $\text{Tl}_5\text{Te}_3$ )

Системы  $\text{GeTe}-\text{Tl}_2\text{Te}_3-\text{Tl}_5\text{Te}_3$  являются неквазибинарными сечениями тройной системы  $\text{Ge}-\text{Tl}-\text{Te}$  [71].

Исходные образцы отжигали при температурах на 20-30 К ниже температур солидуса в течение 600 ч. Сплавы, предназначенные для исследования методом ЭДС, отжигали дополнительно при 320 К в течение 500 ч. Система исследована методами ДТА и РФА, а также измерением микротвердости и ЭДС концентрационных цепей [71].

#### Система $\text{GeTe}-\text{ScTe}$

Растворимость  $\text{ScTe}$  в  $\text{GeTe}$  при 770 К достигает 5 % [77]. Замещение атомов  $\text{Ge}$  атомами  $\text{Sc}$  приводит к существенному уменьшению степени ромбоэдрического искажения структуры  $\alpha\text{-GeTe}$  и к понижению температуры фазового перехода  $\alpha \rightarrow \beta$  при содержании 5 %  $\text{ScTe}$  температура фазового перехода составляет 553 К.

Исходные образцы отжигали при 770 К в течение 700 ч. Система исследована методами РФА, МСА, дилатометрии и измерения электрофизических свойств.

### Система GeTe-SmTe

Диаграмма состояния системы GeTe-SmTe представлена на рис. 5.25 [78]. В системе образуется соединение  $\text{Sm}_5\text{Ge}_2\text{Te}_7$ , плавающееся инконгруэнтно при 1020 К. Состав вырожденной перитектики соответствует 8 % SmTe. При 1020 К в GeTe растворяется 8 %, а при комнатной температуре - 3 % SmTe.

Исходные образцы отжигали при 700-800 К в течение 240-300 ч. Система исследована методами ДТА, РФА, МСА и измерением микротвердости [78].

### Система GeTe-Sm<sub>2</sub>Te<sub>3</sub>

Диаграмма состояния системы GeTe-Sm<sub>2</sub>Te<sub>3</sub> представлена на рис. 5.26 [78]. В системе образуется соединение  $\text{GeSm}_2\text{Te}_4$ , плавающееся инконгруэнтно при 1100 К. Эвтектика содержит 12 % Sm<sub>2</sub>Te<sub>3</sub> и кристаллизуется при 920 К. При 920 К в GeTe растворяется 2 % Sm<sub>2</sub>Te<sub>3</sub>.

Исходные образцы отжигали при 1000 К в течение 500 ч. Система исследована методами ДТА, РФА, МСА и измерением микротвердости [78].

### Система GeTe-YbTe

Диаграмма состояния системы GeTe-YbTe (рис. 5.27) эвтектического типа [79]. Эвтектика содержит 47 % YbTe и кристаллизуется при 923 К. При эвтектической температуре в GeTe растворяется 20 %, а при комнатной - 15 % YbTe. В области твердых растворов параметр элементарной ячейки в зависимости от состава изменяется линейно.

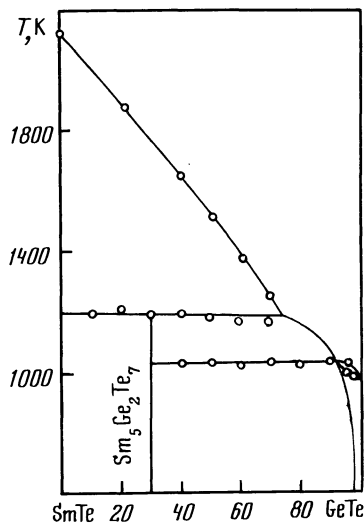


Рис. 5.25. Диаграмма состояния системы GeTe-SmTe [78].

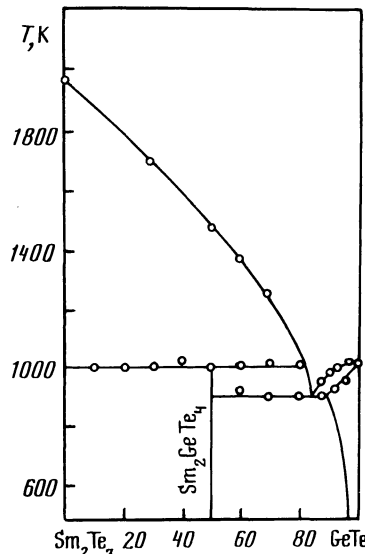


Рис. 5.26. Диаграмма состояния системы GeTe-Sm<sub>2</sub>Te<sub>3</sub> [78].

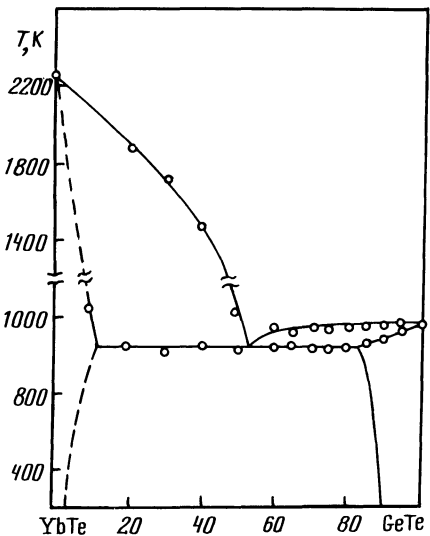


Рис. 5.27. Диаграмма состояния системы GeTe-YbTe [79]

Исходные образцы отжигали при 820 К в течение 340 ч. Система исследована методами ДТА, РФА и измерением микротвердости [79].

#### Система GeTe-U

В системе GeTe-U образуется соединение UGeTe, кристаллизующееся в тетрагональной структуре с параметрами элементарной ячейки  $a = 4,110 \text{ \AA}$  и  $c = 17,599 \text{ \AA}$  [80]. Указанное соединение может быть синтезировано нагреванием стехиометрических количеств исходных компонентов при 1170 К в течение двух недель.

#### Система GeTe-GeAs

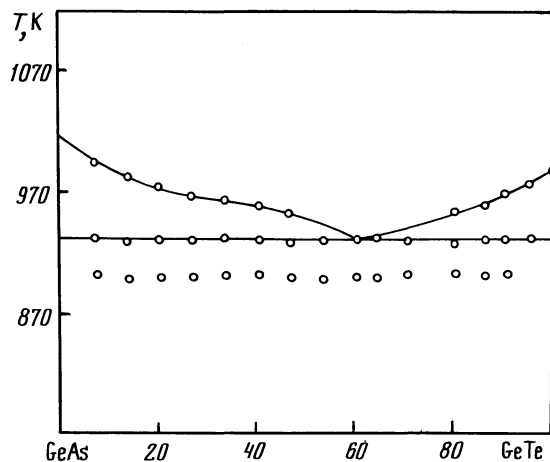
Диаграмма состояния системы GeTe-GeAs (рис. 5.28) эвтектического типа [81]. Эвтектика кристаллизуется при 935 К и содержит 60 % GeTe. При 905 К проявляются слабые термические эффекты, которые обусловлены наличием тройной перитектики в подсистеме GeTe-GeAs-GeAs<sub>2</sub>.

Исходные образцы отжигали при 620 К в течение двух недель. Система исследована методами ДТА и РФА. [81].

#### Система GeTe-GeAs<sub>2</sub>

Система GeTe-GeAs<sub>2</sub> является неквазибинарным сечением тройной системы Ge-As-Te, поскольку в средней области составов первично кристаллизуется GeAs [81]. На сечении имеются три термические площадки при 905, 933 и 976 К. Четвертая серия термических эффектов обнаруживается при 824 К и обусловлена наличием тройной перитектики. Исходные образцы отжигали при 620 К в течение двух недель. Система исследована методами ДТА и РФА [81].

Р и с. 5.28. Диаграмма состояния системы GeTe-GeAs [81].

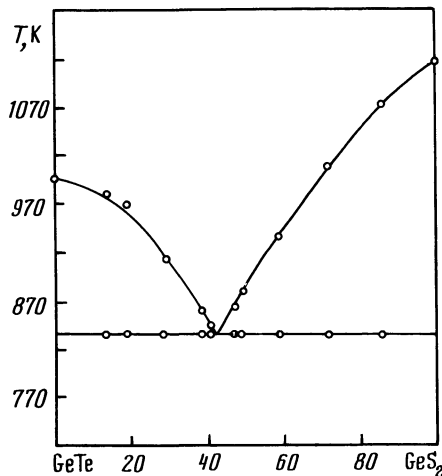


#### Система GeTe-GeS<sub>2</sub>

Диаграмма состояния системы GeTe-GeS<sub>2</sub> (рис. 5.29) эвтектического типа [82, 83]. Эвтектика содержит 44 % GeS<sub>2</sub> и кристаллизуется при 833 К. Твердых растворов на основе исходных компонентов не обнаружено [82]. Система исследована методами ДТА, РФА и МСА [82].

#### Система GeTe-GeSe<sub>2</sub>

Система GeTe-GeSe<sub>2</sub> является неквазибинарным разрезом тройной системы Ge-Se-Te (рис. 5.30) [84] (согласно [85] диаграмма состояния эвтектического типа). По данным РФА разрез дважды пересекает область существования ромбоэдрической  $\alpha$ -фазы.



Р и с. 5.29. Диаграмма состояния системы GeTe-GeS<sub>2</sub> [82].

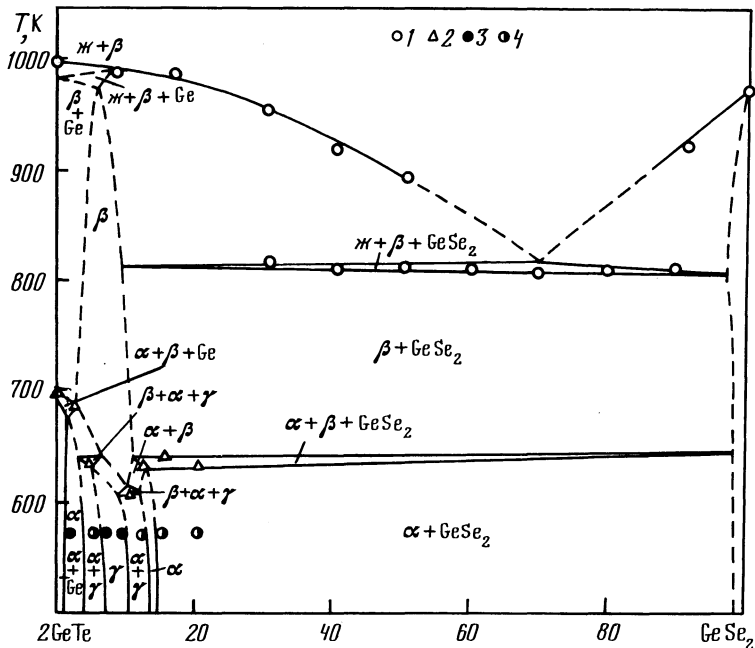


Рис. 5.30. Политегмическое сечение  $2\text{GeTe}-\text{GeSe}_2$  [84].  
1 - ДТА; 2 - дилатометрия; 3 - одно- и 4 - двухфазные образцы

Из изотермического сечения тройной системы Ge-Se-Te при 570 К следует, что при увеличении содержания Se наблюдается петлеобразное "выклинивание"  $\gamma$ -фазы и стабилизация  $\alpha$ -модификации, обусловленная подобием межатомного взаимодействия и координации атомов в структуре  $\alpha$ -GeTe и тройном соединении  $\text{GeSe}_{0,75}\text{Te}_{0,25}$  ( $\xi$ ), в равновесии с которым находится твердый раствор на основе GeTe.

Исходные образцы отжигали при 720 К в течение 800 ч, а затем при 570 К в течение 1000 ч [84]. Система исследована методами ДТА, РФА и МСА, а также с помощью дилатометрии и измерения электрофизических свойств [84, 85].

#### Система GeTe-SnSe

Растворимость SnSe в GeTe при 650-690 К достигает 40 % (20 % при 820 К [87]), а растворимость GeTe в SnSe - 20 % [86, 87].

Исходные образцы отжигали при 650-690 К в течение 90-100 ч [86] (при 750 и 770 К в течение соответственно 100 и 50 ч [87]) и исследовали методом РФА.

### Система GeTe-SnTe

Систему GeTe-SnTe можно считать в первом приближении квазибинарной, как это было принято в [88]. При высоких температурах в системе образуется непрерывный ряд твердых растворов [86, 88-90]. Более поздние исследования показали [91], что сплавы стехиометрического разреза  $\text{Ge}_{1-x}\text{Sn}_x\text{Te}$  не являются однофазными и в зависимости от состава содержат выделения либо германия ( $0 < x < 0,8$ ), либо олова с небольшим количеством германия ( $0,92 < x < 0,97$ ), т.е. система GeTe-SnTe является неквазибинарной в связи с отклонением от стехиометрии в SnTe и GeTe. Сплавы стехиометрического разреза лежат за пределами области гомогенности твердого раствора  $(\text{Ge}_{1-x}\text{Sn}_x)_1\text{Te}_y$ .

Разрез GeTe-SnTe (рис. 5.3I) пересекает одно поле первичной кристаллизации β-твердого раствора  $(\text{Ge}_{1-x}\text{Sn}_x)_1\text{Te}_y$  [91]. Температура моновариантной реакции  $\beta \rightleftharpoons \beta + \text{Ge}$  понижается по мере увеличения содержания Sn в твердом растворе. Со стороны GeTe кристаллизация сплавов заканчивается образованием смеси β+Ge, а со стороны SnTe – образованием смеси β+Ge+Sn при 500 К. В области низких температур твердые растворы имеют ромбоэдрическую, а в области высоких – кубическую структуру [86, 88-92]. Температура полиморфного превращения  $\alpha \rightarrow \beta$  понижается при увеличении содержания SnTe [90, 91]. В стехиометрических сплавах  $\text{Ge}_{1-x}\text{Sn}_x\text{Te}$  фазовый переход  $\alpha \rightarrow \beta$  протекает в присутствии германия и в большинстве случаев через трехфазную область  $(\alpha + \beta + \text{Ge})$  [91]. С понижением температуры протяженность областей β + Ge и β + Ge + Sn уменьшается и при температуре ниже 100 К β-фаза исчезает полностью,

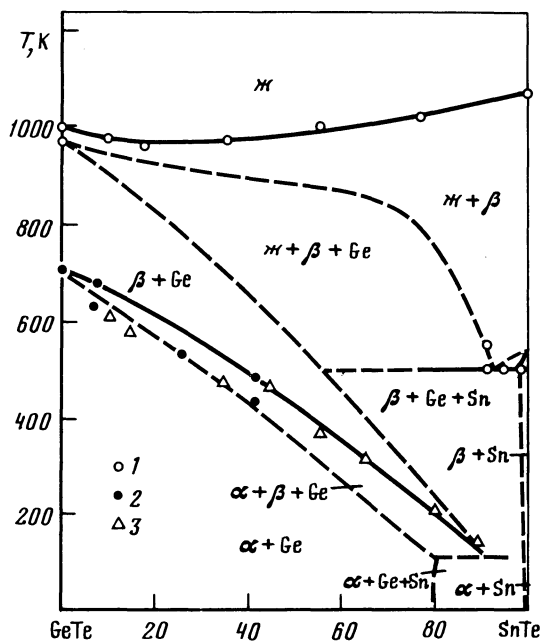


Рис. 5.3I. Политермическое сечение GeTe-SnTe

1 - [88], 2 - [91],  
3 - [90]

а основными фазовыми полями, по-видимому, становятся области  $\alpha + \text{Ge}$  и  $\alpha + \text{Ge} + \text{Sn}$ .

Увеличение давления приводит к понижению температуры полиморфного превращения [93].

При исследовании влияния отклонения от стехиометрии по теллуре на область гомогенности твердых растворов и природу фазовых превращений обнаружена [94] низкотемпературная аномалия, которая связана с необратимым фазовым превращением, температура которого в области твердых растворов повышается.

Исходные образцы отжигали при 720 К в течение 320 с [88] при 670 К в течение 90-100 ч [86]; при 770 К в течение 600 ч [91]. Монокристаллы  $\text{Ge}_x\text{Sn}_{1-x}\text{Te}$  получали методом Бриджмена [95, 96]. Система исследована методами ДТА, РФА, МСА и дилатометрии, а также измерением микротвердости, электропроводности и термоэДС [88, 91].

#### Система GeTe-PbSe

В системе GeTe-PbSe образуется непрерывный ряд твердых растворов с минимумом при 920 К и 20 % PbSe (рис. 5.32) [97]. Разрез является квазибинарным только при температурах близких к солидусу. Непрерывный ряд твердых растворов устойчив в интервале 900-800 К. Ниже 800 К в

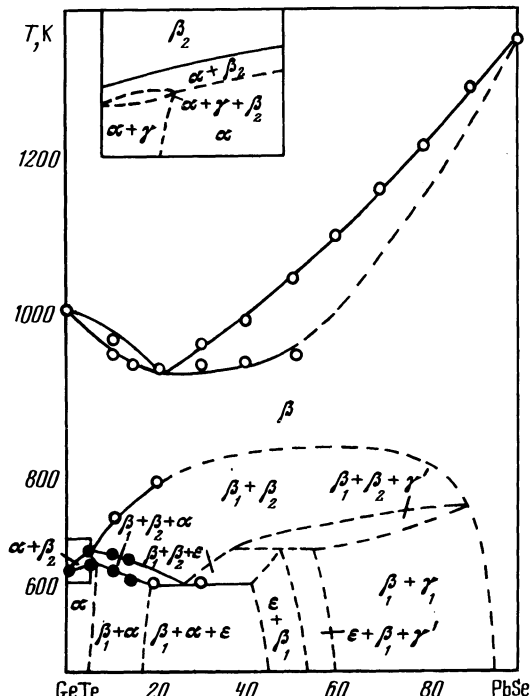


Рис. 5.32. Политермическое сечение GeTe-PbSe [97]

I - ДТА, 2 - дилатометрия

сплавах наблюдаются сложные превращения, связанные с распадом твердого раствора, полиморфизмом GeTe и образованием соединения GeSe<sub>0,75</sub>Te<sub>0,25</sub>. В твердом состоянии протекают две нонвариантные реакции: эвтектоидная -  $\beta + \delta \rightarrow \alpha + \varepsilon$  вблизи 630 К ( $\alpha$  - твердый раствор на основе  $\alpha$ -GeTe,  $\delta$  - твердый раствор, примыкающий к системе PbSe-PbTe) и перитектоидная -  $\beta + \gamma' + \delta \rightleftharpoons \varepsilon$  ( $\gamma'$  - твердый раствор на основе низкотемпературной модификации GeSe). Растворимость компонентов друг в друге понижается с уменьшением температуры. Параметр элементарной ячейки в области твердых растворов изменяется линейно [98].

Исходные образцы отжигали при 770 К в течение 500 ч, а затем при 570 К в течение 2000 ч [97] (при 975 К в течение двух недель [98]). Система исследована методами ДТА, РГА, МСА, дилатометрии и измерения электрофизических свойств [97].

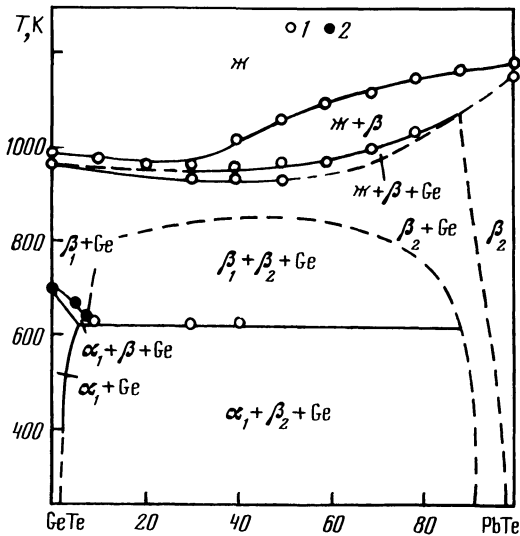
#### Система GeTe-PbTe

Систему GeTe-PbTe можно считать в первом приближении квазибинарной, как это было принято в [99]. При высоких температурах в системе образуется непрерывный ряд твердых растворов [99,100], претерпевающих распад в твердом состоянии [99,101,102]. Тот факт, что в закаленных от 920 К образцах Ge<sub>x</sub>Pb<sub>1-x</sub>Te обнаружены две фазы [103], свидетельствует о распаде твердых растворов в процессе закалки [99].

Более поздние исследования показали [91], что сплавы стехиометрического разреза Ge<sub>1-x</sub>Pb<sub>x</sub>Te не являются однофазными: во всех сплавах, за исключением состава с  $x = 0,9$ , наблюдаются выделения германия. Количества второй фазы уменьшаются при увеличении содержания PbTe, что свидетельствует о приближении границы области гомогенности, насыщенной металлом, к стехиометрическому разрезу GeTe-PbTe.

Разрез GeTe-PbTe (рис. 5.33) находится в области первичной кристаллизации β-твердого раствора (Ge<sub>1-x</sub>Pb<sub>x</sub>)<sub>1-y</sub>Te<sub>y</sub> [91]. Температура нонвариантной реакции  $\beta \rightleftharpoons \text{Ge} + \beta$  повышается с увеличением содержания PbTe в сплавах. Для большей части образцов кристаллизация заканчивается образованием смеси β + Ge, а вблизи PbTe - образованием β-твердого раствора. Переход от фазовой области β + Ge к β-фазе соответствует составам, при которых граница области гомогенности твердого раствора, насыщенного металлом, пересекает стехиометрический разрез PbTe. С понижением температуры происходит распад твердого раствора и образование трехфазной области β<sub>1</sub>+β<sub>2</sub>+Ge. При 640 К в сплавах протекает нонвариантная эвтектоидная реакция, связанная с полиморфным превращением GeTe:  $\beta_1 + \text{Ge} \rightleftharpoons \alpha_1 + \beta_2$  [91]. Температура фазового перехода  $\alpha_2 \rightleftharpoons \beta_2$  резко возрастает с увеличением содержания GeTe [91,104,105].

Введение 3 % PbTe в GeTe смешает границу области гомогенности твердых растворов Ge<sub>1-x</sub>Pb<sub>x</sub>Te<sub>1-x</sub> с  $y = 0,044$  до  $y = 0,075$  [106]. Растворимость PbTe в GeTe зависит от содержания и возрастает с увеличением отклонения стехиометрии GeTe в сторону Te [107].



Р и с. 5.33. Политермическое сечение GeTe-PbTe

1 - [91], 2 - [104]

В паре над образцами системы GeTe-PbTe обнаружены комплексные молекулы  $\text{Ge}_2\text{PbTe}$ ,  $\text{Ge}_3\text{PbTe}_3$ ,  $\text{Ge}_2\text{PbTe}_3$ ,  $\text{Ge}_3\text{PbTe}_2$ ,  $\text{Ge}_4\text{PbTe}_4$  и  $\text{Ge}_5\text{PbTe}_4$  [108].

Исходные образцы отжигали при 920 К в течение 650 ч [91, 103] (при 770 К в течение 1500-2000 ч [104, 105]). Температуру фазового перехода определяли по аномалиям на кривых температурной зависимости коэффициента линейного теплового расширения [105]. Система исследована методами ДТА, РФА, МСА и дилатометрии [91, 99, 101, 103].

#### Система GeTe-As

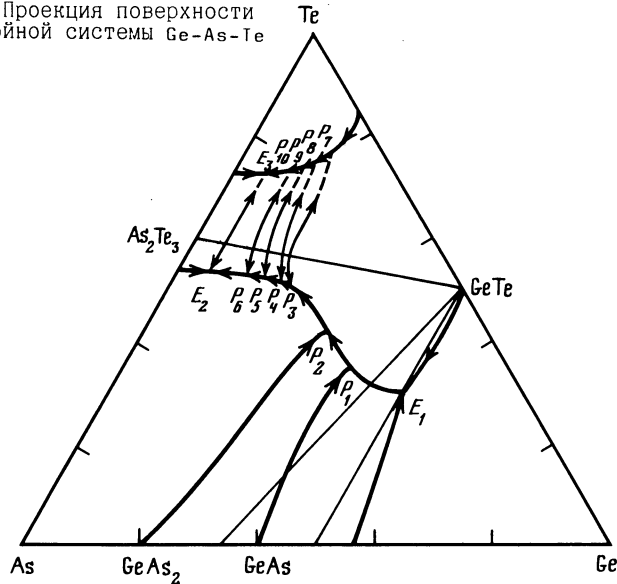
Система GeTe-As является неквазибинарным сечением тройной системы Ge-As-Te [81]. В системе имеются две изотермические линии моновариантного равновесия при 824 и 892 К. Со стороны As начинает проявляться третья линия моновариантного равновесия при 943 К. Согласно [109] растворимость GeTe в As достигает 22,7 %.

Проекция поверхности ликвидуса тройной системы Ge-As-Te представлена на рис. 5.34 [81]. В системе имеются три тройных эвтектических и десять перитектических равновесий:  $E_1$  935 К,  $E_2$  641 К,  $E_3$  623 К,  $P_1$  905 К,  $P_2$  824 К,  $P_3$  756 К,  $P_4$  744 К,  $P_5$  715 К,  $P_6$  683 К,  $P_7$  648 К,  $P_8$  645 К,  $P_9$  641 К,  $P_{10}$  635 К.

По данным [110, III] в тройной системе Ge-As-Te обнаружены две метастабильные фазы, одна из которых при отжиге распадается на твердый раствор на основе GeTe и As. Состав указанных фаз находится вблизи стороны Te-As.

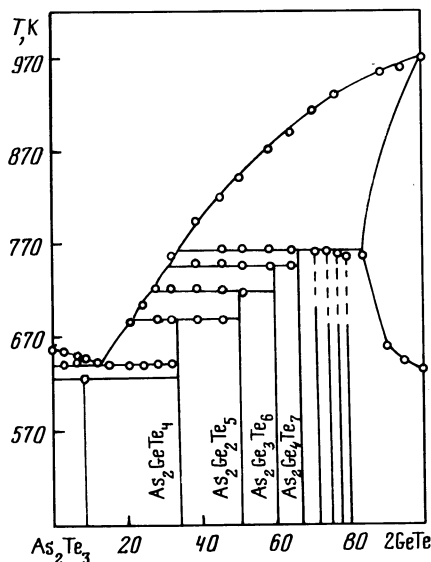
Исходные образцы отжигали при 620 К в течение двух недель [81] (при 570 К в течение месяца [110, III]). Система исследована методами ДТА, РФА и МСА, а также измерением микротвердости [81, 109-III].

Р и с. 5.34. Проекция поверхности ликвидуса тройной системы Ge-As-Te  
[81]



#### Система $\text{GeTe}-\text{As}_2\text{Te}_3$

Диаграмма состояния системы  $\text{GeTe}-\text{As}_2\text{Te}_3$  представлена на рис. 5.35 [112-114]. В системе образуется целый ряд соединений с общей формулой  $\text{As}_2\text{Ge}_n\text{Te}_{3+n}$ , имеющих близкую кристаллическую структуру. Эвтектика содержит 21,4 %  $\text{GeTe}$  и кристаллизуется при 643 К [113, 114].



Р и с. 5.35. Диаграмма состояния системы  $2\text{GeTe}-\text{As}_2\text{Te}_3$  [114]

Тройные соединения  $\text{As}_2\text{Ge}_n\text{Te}_{3+n}$  синтезированы при  $n \leq 15$  (II3, II4, I) ( $n \leq 18$  (II5, II6, I)). Первые из указанных соединений до  $n = 8$  охарактеризованы индивидуально (табл. 5.5), а при больших  $n$  выделить их становится все сложнее. На диаграмме состояния проявляются моновариантные линии перитектического разложения первых четырех соединений ( $I \leq n \leq 4$ ). При  $5 \leq n \leq 8$  соединения разлагаются в твердом состоянии при температурах около 760 К, а при  $n > 8$  эти соединения разлагаются в интервале 670–650 К с образованием твердых растворов на основе GeTe, которые существуют только при повышенных температурах. Рассмотрено три класса структур соединений  $\text{As}_2\text{Ge}_n\text{Te}_{3+n}$ :  $n = 3p-1, = 3p$  и  $n = 3p+1$ , где  $p$  – целое число. Соединения с  $n = 3p-1$  кристаллизуются в гексагональной тригональной структуре, а с  $n = 3p$  и  $n = 3p+1$  – в ромбоэдрической структуре. Указанные соединения являются слоистыми, где на один слой  $\text{As}_2\text{Te}_3$  приходится  $n$  слоев GeTe.

Таблица 5.5

Свойства соединений  $\text{As}_2\text{Ge}_n\text{Te}_{3+n}$  (II3, I)

$n$	1	2	3	4	5	8
Формула	$\text{As}_2\text{GeTe}_4$	$\text{As}_2\text{Ge}_2\text{Te}_5$	$\text{As}_2\text{Ge}_3\text{Te}_6$	$\text{As}_2\text{Ge}_4\text{Te}_7$	$\text{As}_2\text{Ge}_5\text{Te}_8$	$\text{As}_2\text{Ge}_8\text{Te}_{11}$
Симметрия решетки	R 3	P 3	R 3	R 3	P 3	P 3
$a$ , Å	4,083	4,084	4,102	4,106	4,112	4,117
$c$ , Å	40,38	17,02	61,55	72,17	27,54	37,91
$d$ , г/см <sup>3</sup>	6,26	6,30	6,29	6,30	6,31	6,37
$T_{\text{пл}}$ , К	691	722	750	766	-	-

В системе GeTe– $\text{As}_2\text{Te}_3$  обнаружено еще три фазы (II3, II4, I). Метастабильное соединение  $\text{As}_4\text{GeTe}_7$ , не отображенное на диаграмме состояния, которое при 510 К разлагается с образованием  $\alpha\text{-As}_2\text{Te}_3$  и  $\text{As}_2\text{GeTe}_4$ . Вторая фаза с неизвестной структурой существует вблизи 15 % GeTe. Она разлагается в твердом состоянии при 629 К и может быть получена лишь при длительном отжиге при 570–600 К. Третья фаза, отличающаяся по структуре, напоминает ромбическую модификацию  $\gamma\text{-GeTe}$ . Состав этой фазы находится вблизи 97,5 % GeTe. Она разлагается при 643 К с образованием твердого раствора со структурой типа NaCl и может быть получена отжигом при 620 К продуктов, полученных при более высоких температурах.

Растворимость со стороны  $\text{As}_2\text{Te}_3$  не превышает 5,8 % GeTe, а на основе низкотемпературной модификации  $\alpha\text{-GeTe}$  твердых растворов не обнаружено (II3, I) (согласно (II2, I) растворимость GeTe в  $\text{As}_2\text{Te}_3$  при 570 К достигает 8 %, а растворимость  $\text{As}_2\text{Te}_3$  в GeTe при 770 К составляет 10 % и при 620 К – 4 %).

Тройные соединения  $\text{As}_{2-\text{n}}\text{Ge}_n\text{Te}_{3+\text{n}}$  получали нагреванием элементарных компонентов сначала при 1070 К в течение 5-8 ч, а затем при 620 К в течение двух недель [II3, II4]. Исходные образцы отжигали при 570, 600, 620 и 740 К в течение 300-1000 ч [II2]. Система исследована методами ДТА, РФА, МСА [II2-II4].

### Система GeTe-Sb

Растворимость GeTe в Sb достигает 23 % [I09]. Такая значительная растворимость не подтверждена дальнейшими исследованиями [II8].

Поверхность ликвидуса системы  $\text{GeTe}-\text{Sb}_2\text{Te}_3-\text{Sb}-\text{Ge}$ , являющейся частью тройной системы Ge-Sb-Te, была построена сначала в [II7], а затем в [II8] (рис. 5.36). В указанной подсистеме нет тройной эвтектики, а минимальная температура плавления находится между точками  $P_{14}$  и  $P_{15}$  при 798 К (15 % Ge, 61,5 % Sb). Проекция поверхности ликвидуса второй части тройной системы  $\text{Ge}-\text{Sb}-\text{Te}(\text{GeTe}-\text{Sb}_2\text{Te}_3-\text{Te})$  представлена на рис. 5.37, а нонвариантные равновесия приведены в табл. 5.6 [II8, II9].

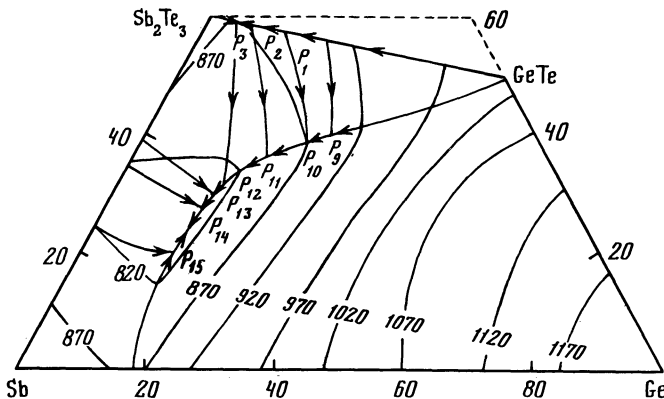
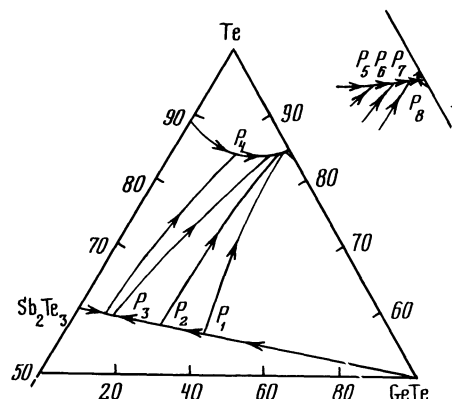


Рис. 5.36. Поверхность ликвидуса системы  $\text{GeTe}-\text{Sb}_2\text{Te}_3-\text{Sb}-\text{Ge}$  [II8]

Рис. 5.37. Схема проекции ликвидуса системы  $\text{GeTe}-\text{Sb}_2\text{Te}_3-\text{Te}$  [II9]



Для того, чтобы проиллюстрировать фазовые равновесия при протекании указанных в табл. 5.6 реакций, авторами [II8, II9] построен ряд изотермических сечений тройной системы Ge-Sb-Te при температурах тройных эвтектик и перитектик.

Область твердых растворов на основе GeTe в тройной системе Ge-Sb-Te (рис. 5.38) располагается вдоль разреза GeTe-Sb<sub>2</sub>Te<sub>3</sub> [I20]. При 870 К растворимость достигает 7,5 % Sb, а при 520 К - 1 % Sb.

Исходные образцы отжигали при 770 и 950 К в течение 24 ч, затем выдерживали при 1270 К в течение 2 ч, охлаждали до 720 К и отжигали через каждые 20 К до температуры 620 К, а при 620 К - течение месяца (при 770 К в течение 8 месяцев [II8]; при 520, 670, 770 и 870 К [I20]). Система исследована методами ДТА, РФА, МСА, дифференциальной сканирующей калориметрии, а также измерением плотности [I09, II7-I20].

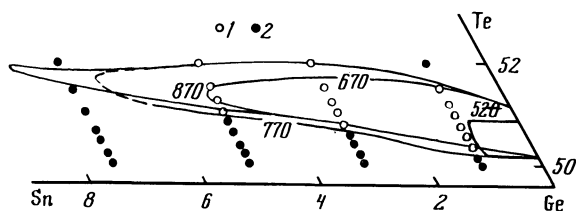


Рис. 5.38. Область твердых растворов на основе GeTe в тройной системе Ge-Sb-Te [I20]

1 - одно- и 2 - двухфазные образцы

Таблица 5.6

Нонвариантные равновесия в тройной системе Ge-Sb-Te [II8, II9]

Обозначение	T, K	Состав, % Ge, Sb	Реакция
E <sub>I</sub>	868	-	$\text{Ж} \rightleftharpoons \text{C} + (\text{Sb}_2\text{Te}_3)$
P <sub>I</sub>	903	-	$\text{Ж} + \text{B} - (\text{GeTe}) \rightleftharpoons \text{A}$
P <sub>2</sub>	889	-	$\text{Ж} + \text{A} \rightleftharpoons \text{B}$
P <sub>3</sub>	879	-	$\text{Ж} + \text{B} \rightleftharpoons \text{C}$
P <sub>4</sub>	679	8,5; 7,5	$\text{Ж} + \text{D} \rightleftharpoons \text{C} + \text{Te}$
P <sub>5</sub>	672	13; 2,5	$\text{Ж} + \text{C} \rightleftharpoons \text{B} + \text{Te}$
P <sub>6</sub>	669	14; 1,5	$\text{Ж} + \text{B} \rightleftharpoons \text{A} + \text{Te}$
P <sub>7</sub>	666	14,5; 1,0	$\text{Ж} + \text{A} \rightleftharpoons \text{B} - (\text{GeTe}) + \text{Te}$
P <sub>8</sub>	664	15; 0,5	$\text{Ж} + \text{B} - (\text{GeTe}) \rightleftharpoons \alpha - (\text{GeTe}) + \text{Te}$
P <sub>9</sub>	888	-	$\text{Ж} + \alpha - (\text{GeTe}) \rightleftharpoons \text{A} + (\text{Ge})$
P <sub>10</sub>	873	-	$\text{Ж} + \text{A} \rightleftharpoons \text{B} + (\text{Ge})$
P <sub>11</sub>	835	-	$\text{Ж} + \text{B} \rightleftharpoons \text{C} + (\text{Ge})$
P <sub>12</sub>	815	-	$\text{Ж} + \text{C} \rightleftharpoons (\text{Sb}_2\text{Te}_3) + (\text{Ge})$
P <sub>13</sub>	809	-	$\text{Ж} + (\text{Sb}_2\text{Te}_3) \rightleftharpoons \gamma + (\text{Ge})$
P <sub>14</sub>	804	-	$\text{Ж} + \gamma \rightleftharpoons \delta + (\text{Ge})$
P <sub>15</sub>	802	-	$\text{Ж} + (\text{Sb}) \rightleftharpoons \delta + (\text{Ge})$

\*Примечание.  $\delta$  и  $\gamma$  - твердые растворы фаз системы Sb-Te; A - Ge<sub>2</sub>Sb<sub>2</sub>Te<sub>3</sub>; B - GeSb<sub>2</sub>Te<sub>4</sub>; C - GeSb<sub>4</sub>Te<sub>7</sub>; D - Sb<sub>2</sub>Te<sub>3</sub>.

### Система GeTe-Sb<sub>2</sub>Te<sub>3</sub>

Система GeTe-Sb<sub>2</sub>Te<sub>3</sub> (рис. 5.39) является неквазибинарным сечением тройной системы Ge-Sb-Te [118]. Со стороны Sb<sub>2</sub>Te<sub>3</sub> первично кристаллизуется Sb<sub>2</sub>Te<sub>3</sub>. Однофазный твердый раствор на основе GeTe кристаллизуется с избытком Te в решетке по сравнению со стехиометрией [121].

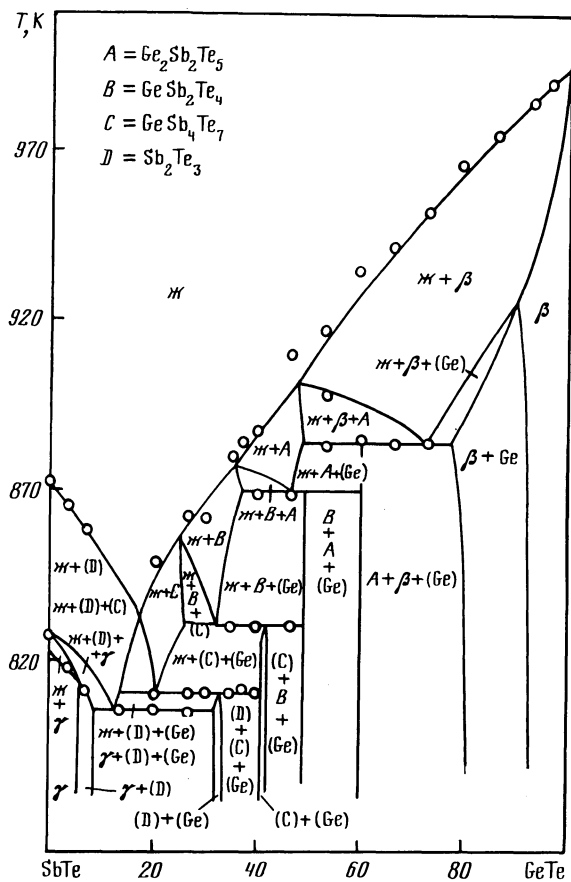


Рис. 5.39. Политермическое сечение GeTe-Sb<sub>2</sub>Te<sub>3</sub> [118]

Исходные образцы отжигали при 770 К в течение 8 месяцев [118] (при 800, 700, 600 и 500 К в течение соответственно 200, 400, 500 и 600 ч [121]). Система исследована методами ДТА, РФА, МСА, дифференциальной сканирующей калориметрии, а также измерением электрофизических свойств [118, 121].

### Система GeTe-Sb<sub>2</sub>Te<sub>3</sub>

Диаграмма состояния системы GeTe-Sb<sub>2</sub>Te<sub>3</sub> представлена на рис. 5.40 [122]. В системе образуются соединения GeSb<sub>4</sub>Te<sub>7</sub> (A), GeSb<sub>2</sub>Te<sub>4</sub> (B) и

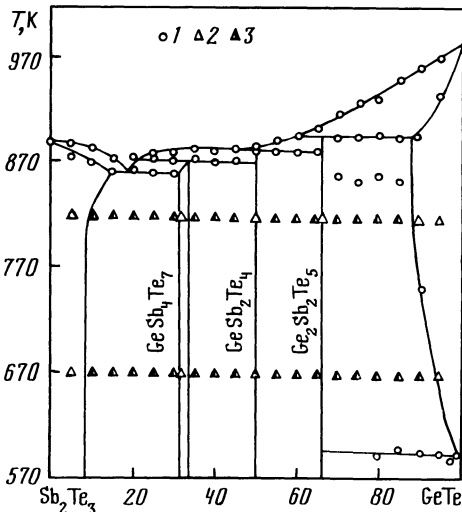


Рис. 5.40. Диаграмма состояния системы  $\text{GeTe}-\text{Sb}_2\text{Te}_3$  [I22].

1 - ДТА, 2 - одно- и 3 - двухфазные сплавы

$\text{Ge}_2\text{Sb}_2\text{Te}_5$  (С), плавящиеся инконгруэнтно соответственно при 878, 888 и 903 К, согласно [I23] соединения А и В плавятся конгруэнтно. На основе А имеется узкая область гомогенности. В интервале 70-90 % наблюдалась термические эффекты, природа которых не выяснена. Эвтектика содержит 18 %  $\text{GeTe}$  и кристаллизуется при 866 К.

Соединения А, В, С кристаллизуются в гексагональной структуре с параметрами элементарной ячейки соответственно  $a = 4,21 \text{ \AA}$ ,  $c = 23,65 \text{ \AA}$ ;  $a = 4,21 \text{ \AA}$ ,  $c = 40,6 \text{ \AA}$ ;  $a = 4,20 \text{ \AA}$ ,  $c = 16,96 \text{ \AA}$  [I24, I25]. Энталпии образования и плавления А, В и С составляют соответственно -140, -90, -130 кДж/моль и 240, 142, 187 кДж/моль [I23].

Растворимость  $\text{GeTe}$  в  $\text{Sb}_2\text{Te}_3$  при 820 К составляет 10 % [I22] и уменьшается до 5 % при 570 К [I26], а растворимость  $\text{Sb}_2\text{Te}_3$  в  $\text{GeTe}$  при 820 К равна 10 % и при 670 К - 5 % [I22]. Твердый раствор на основе  $\text{GeTe}$  при 601 К претерпевает полиморфное превращение.

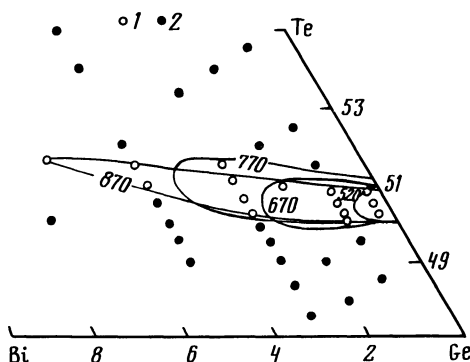
Исходные образцы отжигали при 770 К в течение 1000 ч [I22]. Соединение В синтезировали методом сублимации [I27], а его монокристаллы получали методом Бриджмена [I28]. Система исследована методами ДТА, РФА, МСА, а также измерением микротвердости [I22, I26].

#### Система $\text{GeTe}-\text{Bi}$

Область твердых растворов на основе  $\text{GeTe}$  в тройной системе  $\text{Ge}-\text{Bi}-\text{Te}$  (рис. 5.41) располагается вдоль разреза  $\text{GeTe}-\text{Bi}_2\text{Te}_3$  [I29-I31]. Увеличение содержания Bi до 0,5 % резко смещает границу области гомогенности в сторону увеличения содержания Te. В области существования  $\alpha$ -фазы с увеличением содержания Te наблюдается уменьшение периода и объема элементарной ячейки. При 870 К растворимость Bi в  $\text{GeTe}$  достигает 6,8 %, при 770 К - 4,0 %, а при 520 К - 1 %.

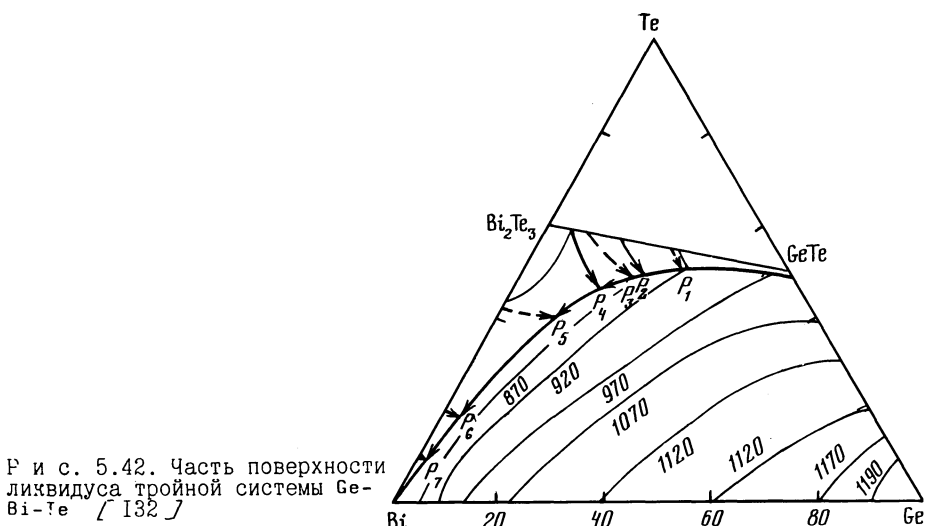
Р и с. 5.41. Область твердых растворов на основе  $\text{GeTe}$  в системе  $\text{Ge}-\text{Bi}-\text{Te}$  [129]

I - одно- и 2 - двухфазные образцы



Поверхность ликвидуса тройной системы  $\text{Ge}-\text{Bi}-\text{Te}$  (рис. 5.42) состоит из 9 полей первичной кристаллизации фаз [132]. Наибольшую часть занимает поле первичной кристаллизации  $\text{Ge}$ . В системе имеется 7 тройных перитектических и одно тройное эвтектическое равновесия. Минимум на поверхности ликвидуса находится в точке тройной эвтектики с температурой кристаллизации 527 К, практически совпадающей с температурой плавления висмута.

Исходные образцы отжигали при 870, 770, 670 и 520 К в течение соответственно 300, 500, 1000 и 1500 ч [129] (при 820 К в течение 600 ч [130]; при 770 К в течение 300 ч [131]; при 750 К в течение 1000 ч [132]). Система исследована методами ДТА, РФА, МСА, дилатометрии, а также измерением плотности, микротвердости, электропроводности, термо-ЭДС и теплопроводности [129-132].



Р и с. 5.42. Часть поверхности ликвидуса тройной системы  $\text{Ge}-\text{Bi}-\text{Te}$  [132]

### Система GeTe-BiSe

Растворимость GeTe в BiSe при 720 и 770 К составляет соответственно 20 и 23 % [133]. Исходные образцы отжигали при 520 и 720 К в течение соответственно 10 и 30 дней и исследовали методами РФА и МСА, а также измерением микротвердости [133].

### Система GeTe-BiTe

Система GeTe-BiTe является неквазибинарным сечением тройной системы Ge-Bi-Te [232], которое пересекает 4 поля первичной кристаллизации:  $\delta$  (0-22 % GeTe),  $GeBi_4Te_7$  (22-40 % GeTe), Ge (40-99 % GeTe) и GeTe (99-100 % GeTe). В сплавах со стороны BiTe после первичной кристаллизации  $\delta$ -фазы ( $Bi_2Te_3$ ) начинается перитектическая реакция  $\chi + \delta \rightleftharpoons \gamma$ . При содержании более 20 % GeTe происходит вторичная кристаллизация эвтектики  $\delta + Ge$ . Кристаллизация заканчивается нонвариантной перитектической реакцией, в результате которой образуется двухфазная область  $\gamma + Ge$ . Сплавы, в которых первично кристаллизуется  $GeBi_4Te_7$ , претерпевают два нонвариантных превращения при 815 и 780 К. Кристаллизация заканчивается образованием трехфазных сплавов, содержащих  $\delta$ ,  $\gamma$  и Ge в области 27-32 % GeTe, и двухфазных - в области 32-35 % GeTe [132].

Исходные образцы отжигали при 750 К в течение 1000 ч. Система исследована методами ДТА и МСА, а также измерением микротвердости, термоЭДС, электро- и теплопроводности [132].

### Система GeTe-Bi<sub>2</sub>Te<sub>3</sub>

Диаграмма состояния системы GeTe-Bi<sub>2</sub>Te<sub>3</sub> представлена на рис. 5.43. В системе образуются соединения  $GeBi_4Te_7$  (A),  $GeBi_2Te_6$  (B) и  $Ge_3Bi_2Te_6$  (C), плавящиеся инконгруэнтно соответственно при 837 (847 К [123]), 857 и 923 К [134]. На основе A имеется область гомогенности в интервале 30-35 % GeTe. Эвтектика содержит 25 % GeTe и кристаллизуется при 825 К.

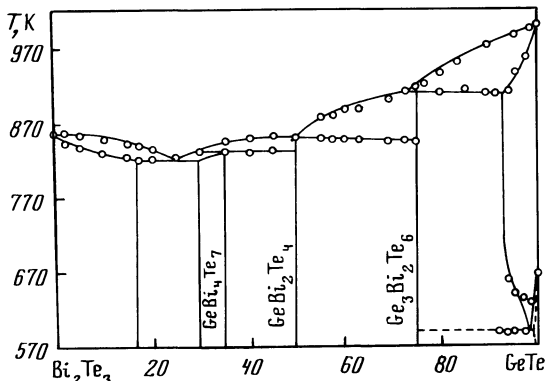


Рис. 5.43. Диаграмма состояния системы GeTe-Bi<sub>2</sub>Te<sub>3</sub> [134]

Кристаллическая структура соединений А, В и С изучалась в работах Г I35-I40]. Соединения А, В и С кристаллизуются в гексагональной структуре с параметрами элементарной ячейки соответственно  $a = 4,352 \text{ \AA}$ ,  $c = 23,925 \text{ \AA}$  [I35], I36] ( $a = 4,36 \text{ \AA}$ ,  $c = 24,11 \text{ \AA}$  [I37]);  $a = 4,28 \text{ \AA}$ ,  $c = 39,2 \text{ \AA}$  [I40];  $a = 4,21 \text{ \AA}$ ,  $c = 61,0 \text{ \AA}$  [I38]). Энталпии образования и плавления А и С равны соответственно -191 и 263 кДж/моль и -234 и 213 кДж/моль [I23]. Пикнотермическая плотность А, В и С составляет соответственно 8,03 (7,61 г/см<sup>3</sup> [I35,I36]), 7,54 и 7,15 г/см<sup>3</sup> [I38], ширина запрещенной зоны первых двух соединений равна соответственно 0,21 и 0,23 эВ [I34].

Растворимость GeTe в  $\text{Bi}_2\text{Te}_3$  при 770 К достигает 17,4 % [I34, I39], а растворимость  $\text{Bi}_2\text{Te}_3$  в GeTe при 820 К составляет 4 % [I9]. При увеличении содержания  $\text{Bi}_2\text{Te}_3$  температура полиморфного превращения GeTe понижается и при 598 К происходит эвтектоидный распад твердого раствора на основе GeTe. Эвтектоидной точке отвечает состав 97,3 % GeTe [I34].

Исходные образцы отжигали при 770-820 К в течение 1000-1500 ч [I34, I39] при 820 К в течение 600 ч [I9], при 720-770 К в течение 30-50 ч [I36]. Монокристаллы В получали методом сублимации [I40]. Система исследована методами ДТА, РФА и МСА, а также измерением микротвердости [I34].

#### Система GeTe-O<sub>2</sub>

На основании рентгенографических исследований установлено [I41], что с диспергированным GeTe кислород взаимодействует в три стадии, которые определяются температурой системы газ - твердое тело. При 300 К кислород образует хемосорбированный слой на поверхности порошка. Повышение температуры до 573 К приводит к росту внутренней энергии хемосорбированных частиц и проникновению их в приповерхностные слои образца, что вызывает вытеснение теллура во вторую фазу, изменение катион-анионного соотношения и понижения симметрии решетки. При температурах выше температуры фазового превращения GeTe кислород выходит из матрицы, образуя  $\text{GeO}_2$ .

При 900 К в системе Ge-O-Te твердыми фазами являются GeTe,  $\text{GeO}_2$  и Ge. Фазы, содержащие одновременно германий, кислород и теллур, не образуются. Тройная точка лежит при очень низких парциальных давлениях  $\text{O}_2$  и  $\text{TeO}_2$ . При малых парциальных давлениях наблюдается термическая диссоциация  $\text{TeO}_2$ , а при определенных соотношениях парциальных давлений  $\text{O}_2$  и  $\text{TeO}_2$  давление пара  $\text{TeO}_2$  становится насыщенным, что приводит к конденсации Te [I42].

#### Система GeTe-"SeTe"

Система GeTe-"SeTe" является неквазибинарным сечением тройной системы Ge-Se-Te [85]. Линии ликвидуса и солидуса делятся на две части квазибинарным сечением GeSe-Te. Со стороны GeTe имеется nonвариантное

равновесие при 633 К, обусловленное наличием тройной эвтектики в системе Ge-Se-Te. Минимум на кривой ликвидуса при 56 % GeTe отвечает пересечению разреза GeTe-<sup>1</sup>SeTe с эвтектической линией, соединяющей эвтектику в системе GeTe-GeSe<sub>2</sub> с тройной эвтектикой в системе GeTe-GeSe<sub>2</sub>-Te.

#### Система GeTe-CrTe

Растворимость CrTe в GeTe при 900 К составляет 4,5 %, а при 500 К - 2,5 % [143]. (согласно [144] растворимость CrTe в GeTe достигает 15 %).

Исходные образцы отжигали ступенчато при 900, 750 и 500 К в течение соответственно 192, 192 и 278 ч [143]. Система исследована методами ДТА, РФА и МСА [143].

#### Система GeTe-Cr<sub>3</sub>Te<sub>4</sub>

Растворимость Cr<sub>3</sub>Te<sub>4</sub> в GeTe достигает 1 % [145]. Выделившаяся после достижения предела растворимости вторая фаза представляет собой Cr<sub>3</sub>Te, что говорит о квазибинарности указанной системы.

Исходные образцы отжигали ступенчато при 900, 750 и 500 К в течение соответственно 192, 192 и 288 ч. Система исследована методами ДТА, РФА и МСА [145].

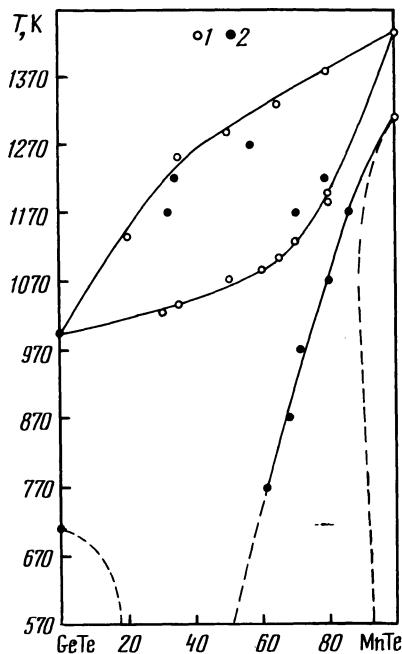
#### Система GeTe-MnTe

Диаграмма состояния системы GeTe-MnTe (рис. 5.44) принадлежит к типу I по классификации Розебома [146]. При высоких температурах в системе образуется непрерывный ряд твердых растворов со структурой типа NaCl. Параметр элементарной ячейки в области высокотемпературного твердого раствора в зависимости от состава изменяется линейно. При понижении температуры происходит распад твердых растворов. Твердые растворы на основе MnTe кристаллизуются в структуре типа NiAs.

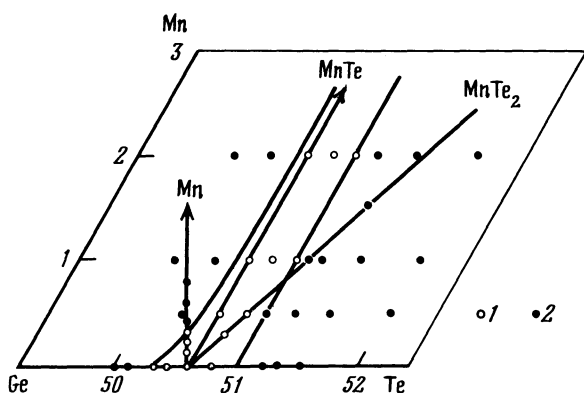
Характер концентрационной зависимости параметра элементарной ячейки для твердых растворов на основе  $\alpha$ - и  $\beta$ -GeTe существенно различен [66, 147]. При увеличении содержания MnTe температура полиморфного превращения твердых растворов на основе GeTe резко понижается [105, 146, 148-150] и при 20 % MnTe достигает 373 К [105, 148]. При этой температуре растворимость MnTe в GeTe составляет 7 % [149, 150] (согласно [144, 151] растворимость MnTe в GeTe достигает 15-20 %).

Область твердых растворов на основе GeTe в тройной системе Ge-Mn-Te (рис. 5.45) [152] ориентирована вдоль разреза GeTe-MnTe. Ширина области гомогенности изменяется от 0,7 % для системы Ge-Te до 0,4 % при содержании 5 % Mn.

Исходные образцы отжигали при 970 и 1070 К в течение 24-48 ч [146]. Система исследована методами ДТА, РФА и МСА [146].



Р и с. 5.44. Диаграмма состояния системы GeTe-MnTe [146]  
1 - ДТА, 2 - РФА



Р и с. 5.45. Область твердых растворов на основе GeTe в тройной системе Ge-Mn-Te при 820 К [152]

1 - одно- и 2 - двухфазные образцы

### Система GeTe-FeGe<sub>2</sub>

Диаграмма состояния системы GeTe-FeGe<sub>2</sub> (рис. 5.46) эвтектического типа [153]. Эвтектика содержит 4 % FeGe<sub>2</sub> и кристаллизуется при 973 К. При 643 К наблюдается эвтектоидное превращение  $\alpha$ -GeTe  $\rightarrow$   $\beta$ -GeTe. Растворимость FeGe<sub>2</sub> в GeTe при комнатной температуре не превышает 1 %. Система исследована методами ДТА и МСА [153].

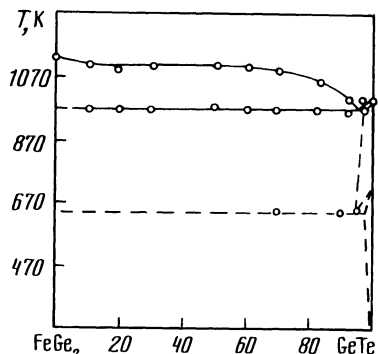


Рис. 5.46. Диаграмма состояния системы GeTe-FeGe<sub>2</sub> [153]

### Система GeTe-FeTe

Растворимость FeTe в GeTe достигает 15 % [144]. При температурах ниже поверхности солидуса триангуляцию тройной системы Ge-Fe-Te определяют два соединения: Fe<sub>3</sub>GeTe<sub>2</sub> (A) и GeTe [154]. При 720 А находится в равновесии с пятью двойными соединениями: Fe<sub>3</sub>Ge, Fe<sub>5</sub>Ge<sub>3</sub>, GeTe, FeTe<sub>2</sub> и Fe<sub>2</sub>Te. Теллурид германия образует квазибинарные сечения с четырьмя германидами железа: FeGe<sub>2</sub>, FeGe,  $\chi$ -фазой и Fe<sub>5</sub>Ge<sub>3</sub>, а также с FeTe<sub>2</sub> и A. Области твердых растворов на основе бинарных соединений не превышают 1 %, а на основе A области гомогенности не обнаружено. Соединение A претерпевает полиморфное превращение при 480 К.

Гомогенизирующий отжиг образцов проводили при температурах на 50-100 К ниже температур солидуса в течение 500-1500 ч, а диффузионный - при 720 К в течение 1000-2000 ч [154]. Система исследована методами МСА, РФА, дилатометрии, а также измерением электрофизических свойств [154].

### Система GeTe-Co

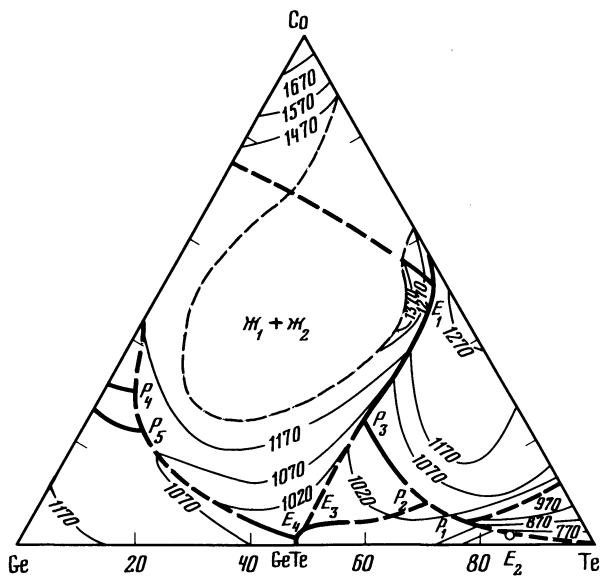
Система GeTe-Co является неквазибинарным сечением тройной системы Ge-Co-Te [155]. Ликвидус включает обширную область расслаивания, ограниченную интервалом 27-73 % Co, и области первичной кристаллизации GeTe, Co<sub>2</sub>Ge и Co. Новая  $\gamma'$ -фаза образуется в системе в результате протекания перитектической реакции  $\chi + \alpha(\text{Co}_3\text{Te}_4) \rightleftharpoons \text{Co}_2\text{Ge} + \gamma'$ . Согласно [156] в системе образуется соединение Co<sub>2</sub>Ge<sub>3</sub>Te<sub>3</sub>.

Поверхность ликвидуса тройной системы Ge-Co-Te (рис. 5.47) состоит из 10 полей первичной кристаллизации фаз  $\text{GeTe}$ ,  $\text{Te}$ ,  $\text{CoTe}_2$ ,  $\alpha(\text{Co}_3\text{Te}_4)$ ,  $\gamma'$ ,  $\text{Co}_2\text{Ge}$ ,  $\text{CoGe}$ ,  $\text{CoGe}_2$ ,  $\text{Ge}$ ,  $\text{Co}$  и области расслаивания  $/ \text{I} 55 \backslash$ . Нонвариантные равновесия в системе приведены в табл. 5.7.

Т а б л и ц а 5.7

Нонвариантные равновесия в тройной системе Ge-Co-Te  $/ \text{I} 55 \backslash$

Обозначение	T, K	Реакция
$E_1$	I233	$\text{Ж} \rightleftharpoons \text{Co} + \alpha(\text{Co}_3\text{Te}_4) + \text{Co}_2\text{Ge}$
$E_2$	633	$\text{Ж} \rightleftharpoons \text{CoTe} + \text{Te} + \text{GeTe}$
$E_3$	933	$\text{Ж} \rightleftharpoons \text{Co}_2\text{Ge} + \gamma' + \text{GeTe}$
$E_4$	973	$\text{Ж} \rightleftharpoons \text{Co}_2\text{Ge} + \text{Ge} + \text{GeTe}$
$P_1$	973	$\text{Ж} + \alpha(\text{Co}_3\text{Te}_4) \rightleftharpoons \text{CoTe}_2 + \text{GeTe}$
$P_2$	I033	$\text{Ж} + \alpha(\text{Co}_3\text{Te}_4) \rightleftharpoons \gamma' + \text{GeTe}$
$P_3$	I063	$\text{Ж} + \alpha(\text{Co}_3\text{Te}_4) \rightleftharpoons \gamma' + \text{Co}_2\text{Ge}$
$P_4$	II23	$\text{Ж} + \text{Co}_2\text{Ge} \rightleftharpoons \text{CoGe} + \text{CoGe}_2$
$P_5$	II03	$\text{Ж} + \text{CoGe} \rightleftharpoons \text{CoGe}_2 + \text{Co}$



Р и с. 5.47. Поверхность ликвидуса тройной системы Ge-Co-Te  $/ \text{I} 55 \backslash$

Ниже поверхности ликвидуса триангуляцию тройной системы  $\text{Ge}-\text{Co}-\text{Te}$  определяет соединение  $\text{Co}_2\text{Ge}_3\text{Te}_3$  ( $\varepsilon$ -фаза) (рис. 5.48)  $\angle 157 \angle$ .  $\varepsilon$ -Фаза находится в равновесии со всеми двойными соединениями, кроме  $\text{Co}_2\text{Ge}$  и  $\text{CoGe}_2$ , которые находятся в равновесии с  $\gamma$ -фазой системы  $\text{Co}-\text{Te}$ . Разрезы  $\text{Co}_2\text{Ge}-\gamma$  и  $\text{CoGe}_2-\gamma$  определяют триангуляцию части системы со стороны  $\text{Co}$ . Теллурид германия находится в равновесии с  $\text{CoTe}_2$ ,  $\text{CoGe}_2$ ,  $\text{Co}_5\text{Ge}_7$  и  $\varepsilon$ -фазой. Области твердых растворов на основе  $\text{GeTe}$ ,  $\text{CoGe}_2$ ,  $\text{Co}_5\text{Ge}_7$  и  $\text{Co}_2\text{Ge}$  имеют протяженность не более 1 % второго соединения  $\angle 157 \angle$ .

Исходные образцы отжигали при 870 К в течение 200 ч  $\angle 156 \angle$  (1500 ч  $\angle 157 \angle$ ). Система исследована методами ДТА, РГА и МСА, а также измерением микротвердости  $\angle 155-157 \angle$ .

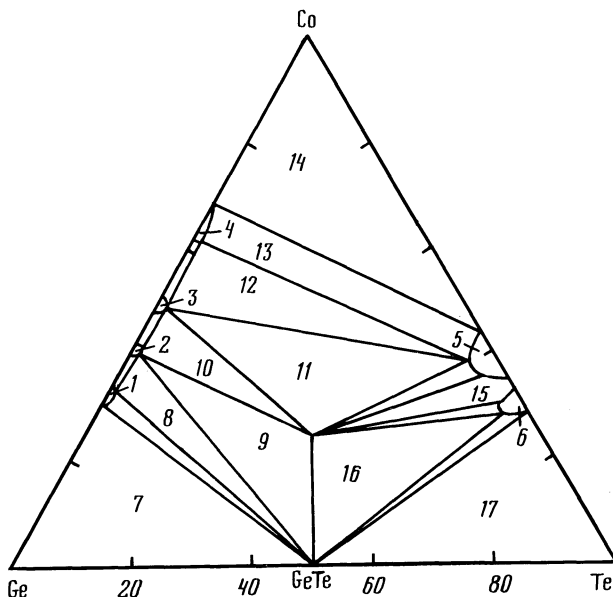


Рис. 5.48. Изотермическое сечение тройной системы  $\text{Ge}-\text{Co}-\text{Te}$  при 870 К  $\angle 157 \angle$

1 -  $(\text{CoGe}_2)$ ; 2 -  $(\text{Co}_2\text{Ge})$ ; 3 -  $(\text{CoGe})$ ; 4 -  $(\text{Co}_2\text{Ge})$ ; 5 -  $\gamma$ ; 6 -  $\delta$ ; 7 -  $(\text{CoGe}_3) + \text{GeTe} + \text{Ge}$ ; 8 -  $(\text{Co}_5\text{Ge}_7) + \text{GeTe} + (\text{CoGe}_2)$ ; 9 -  $(\text{Co}_5\text{Ge}_7) + \text{Co}_2\text{Ge}_3\text{Te}_3 + \text{GeTe}$ ; 10 -  $(\text{CoGe}) + \text{Co}_2\text{Ge}_3\text{Te}_3 + (\text{Co}_5\text{Ge}_7)$ ; 11 -  $\text{CoGe}_3 + \delta + \text{Co}_2\text{Ge}_3\text{Te}_3$ ; 12 -  $(\text{Co}_2\text{Ge}) + (\text{Co}_2\text{Ge}_3\text{Te}_3 + \delta)$ ; 13 -  $(\text{Co}_2\text{Ge}) + \gamma$ ; 14 -  $(\text{Co}_2\text{Ge}) + \delta + \gamma$ ; 15 -  $(\text{Co}_5\text{Ge}_7 + \delta + \gamma)$ ; 16 -  $\text{GeTe} + \text{Co}_2\text{Ge}_3\text{Te}_3 + \delta$ ; 17 -  $\text{GeTe} + \delta + \text{Te}$

### Система $\text{GeTe}-\text{CoGe}_2$

Система  $\text{GeTe}-\text{CoGe}_2$  является неквазибинарным сечением тройной системы  $\text{Ge}-\text{Co}-\text{Te}$ , пересекающим три области первичной кристаллизации фаз  $\text{GeTe}$ ,  $\text{CoGe}_2$  и  $\text{CoGe}$   $\angle 158 \angle$ . Область первичной кристаллизации  $\text{GeTe}$  лежит в интервале 0-2 %  $\text{CoGe}_2$ , а  $\text{CoGe}_2$  - в интервале 2-10 %  $\text{CoGe}_2$ . В области первичной кристаллизации  $\text{CoGe}$ , лежащей в интервале 10-100 %

$\text{CoGe}_2$ , наблюдается расслаивание в интервале 10-75 %  $\text{CoGe}_2$ . В системе вторично выделяется  $\text{CoGe}_2$ , а кристаллизация сплавов заканчивается при 989 К образованием эвтектики  $\text{GeTe} + \text{CoGe}_2$ . Эвтектическая точка находится вблизи 2 %  $\text{CoGe}_2$ . Взаимная растворимость исходных компонентов не превышает 1 %.

Исходные образцы отжигали при 870 К в течение 1000-2500 ч. Система исследована методами ДТА, РФА и МСА [158].

#### Система $\text{GeTe}-\text{Co}_2\text{Ge}$

Система  $\text{GeTe}-\text{Co}_2\text{Ge}$  является неквазибинарным сечением тройной системы  $\text{Ge}-\text{Co}-\text{Te}$ , пересекающим поля первичной кристаллизации  $\text{GeTe}$ ,  $\text{Co}_2\text{Ge}_3\text{Te}_3$  ( $\mathcal{E}$ ),  $\text{CoGe}$  и  $\text{Co}_2\text{Ge}$  [157] (согласно [159] диаграмма состояния системы  $\text{GeTe}-\text{Co}_2\text{Ge}$  эвтектического типа). Область первичной кристаллизации  $\text{GeTe}$  имеет протяженность до 1 %  $\text{Co}_2\text{Ge}$ . Первичные выделения  $\mathcal{E}$ -фазы происходят между 1 и 2 %  $\text{Co}_2\text{Ge}$ . Фаза на основе  $\text{CoGe}$  первично кристаллизуется в концентрационном интервале 2-30 %  $\text{Co}_2\text{Ge}$ . В остальных сплавах разреза выделяется фаза  $\text{Co}_2\text{Ge}$ . В интервале 30-80 %  $\text{Co}_2\text{Ge}$  имеется расслаивание в жидком состоянии, причем температура начала монотектической реакции растет с увеличением содержания  $\text{Co}_2\text{Ge}$  в сплавах. Монотектическая реакция заканчивается при 1269 К. В сплавах разреза протекают четыре нонвариантные реакции. При 1158 К образуется фаза на основе  $\text{CoGe}$  и твердый раствор на основе  $\gamma$ -фазы системы  $\text{CoTe}$ . Дважды перитектическая реакция  $\chi + \text{CoGe} + \gamma \rightleftharpoons \gamma$ , происходящая при 1088 К, заканчивается при приблизительно 40 %  $\text{Co}_2\text{Ge}$  образованием смеси двух фаз  $\text{CoGe} + \mathcal{E}$ . Сечение пересекает двухфазную область  $\text{Co}_5\text{Ge}_7 + \mathcal{E}$ , которая образуется после нонвариантной перитектической реакции при 988 К и 34 %  $\text{Co}_2\text{Ge}$ . Кристаллизация сплавов разреза, расположенных между  $\text{GeTe}$  и двухфазной областью  $\text{Co}_5\text{Ge}_7 + \mathcal{E}$ , заканчивается по нонвариантной реакции  $\chi \rightleftharpoons \mathcal{E} + \alpha + \text{Co}_5\text{Ge}_7$  при 970 К и 1,5 %  $\text{Co}_2\text{Ge}$ . Твердые растворы на основе  $\text{GeTe}$  и  $\text{Co}_2\text{Ge}$  содержат не более 1 % второго соединения.

Исходные образцы отжигали при 870 К в течение 1500 ч [157] при 670 К в течение 400 ч [159]. Система исследована методами ДТА, РФА и МСА [157, 159].

#### Система $\text{GeTe}-\text{CoTe}$

Растворимость  $\text{CoTe}$  в  $\text{GeTe}$  достигает 15 % [144].

#### Система $\text{GeTe}-\text{CoTe}_2$

Система  $\text{GeTe}-\text{CoTe}_2$  является неквазибинарным сечением тройной системы  $\text{Ge}-\text{Co}-\text{Te}$  [158], пересекающим 4 области первичной кристаллизации фаз: твердого раствора на основе  $\text{GeTe}$  ( $\alpha$ -фаза), содержащего менее 1 %  $\text{CoTe}$ , в интервале 0-3 %  $\text{CoTe}_2$ ; твердого раствора на основе  $\text{Co}_2\text{Ge}_3\text{Te}_3$  ( $\mathcal{E}$ -фаза) в интервале 3-5 %  $\text{CoTe}_2$ ; твердого раствора на основе  $\text{CoGe}$  ( $\gamma$ -фаза) в интервале 5-25 %  $\text{CoTe}_2$  и твердого раствора на основе  $\text{Co}_3\text{Te}_4$ .

( $\gamma$ -фаза) в интервале 25-100 %  $\text{CoTe}_2$ . В системе протекают нонвариантные перитектические реакции при 988, 963 и 943 К. Перитектическая реакция образования твердого раствора на основе  $\text{CoTe}_2$  ( $\delta$ -фаза)  $\chi + \gamma \rightleftharpoons \delta$  протекает в интервале 1050-960 К.

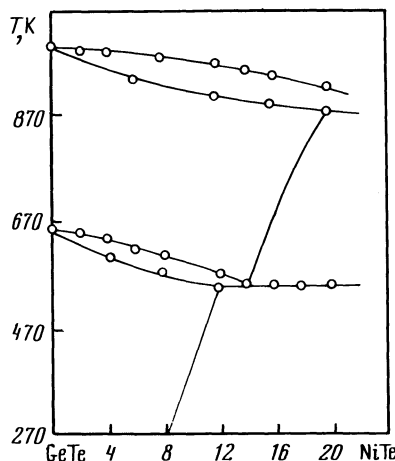
Растворимость  $\text{GeTe}$  в  $\text{CoTe}_2$  при 650, 810, 870, 920 и 935 К составляет соответственно 3,0; 3,5; 5,0; 7,5 и 8,5 % [160]. Область расслаивания, лежащая в интервале 20-92,5 %  $\text{GeTe}$  [160], не обнаружена [156].

Исходные образцы отжигали при 870 К в течение 1000-2500 ч [158]. Система исследована методами ДТА, РФА и МСА [158, 160].

#### Система $\text{GeTe}-\text{Co}_3\text{Te}_4$

Система  $\text{GeTe}-\text{Co}_3\text{Te}_4$  является неквазибинарным сечением тройной системы  $\text{Ge}-\text{Co}-\text{Te}$  [158], пересекающим те же области первичной кристаллизации, что и сечение  $\text{GeTe}-\text{CoTe}_2$  (согласно [155] диаграмма состояния системы  $\text{GeTe}-\text{Co}_3\text{Te}_4$  эвтектического типа с перитектическим превращением). В интервале 0-1 %  $\text{Co}_3\text{Te}_4$  первично кристаллизуется  $\alpha$ -фаза, 1-2 %  $\text{Co}_3\text{Te}_4$ - $\epsilon$ -фаза, 2-25 %  $\text{Co}_3\text{Te}_4$  -  $\eta$ -фаза, 25-100 %  $\text{Co}_3\text{Te}_4$  -  $\gamma$ -фаза. На участке 25-75 %  $\text{Co}_3\text{Te}_4$  кристаллизация идет при 1098 К, а при 988 К протекает перитектическая реакция  $\chi + \eta \rightleftharpoons \gamma + \epsilon$ . Перитектическая реакция  $\chi + \gamma \rightleftharpoons \epsilon + \delta$  при 963 К в образцах, содержащих 40-70 %  $\text{Co}_3\text{Te}_4$ , заканчивается образованием трехфазной области  $\gamma + \epsilon + \delta$ . Сплавы в интервале 2-35 %  $\text{Co}_3\text{Te}_4$  полностью закристаллизовываются при 943 К с выделением тройной эвтектики  $\epsilon + \alpha + \delta$ . Растворимость  $\text{GeTe}$  в  $\text{Co}_3\text{Te}_4$  при 870 К достигает 22 %, а  $\text{Co}_3\text{Te}_4$  в  $\text{GeTe}$  не превышает 1 % [158].

Исходные образцы отжигали при 870 К в течение 1000-2500 ч [158]. Система исследована методами ДТА, РФА, МСА, а также измерением микротвердости [155, 158].



Р и с. 5.49. Часть диаграммы состояния системы  $\text{GeTe}-\text{NiTe}$  [162].

### Система GeTe-NiSb

Система GeTe-NiSb является неквазибинарным сечением четверной системы Ge-Ni-Sb-Te [161]. Области гомогенности на основе исходных компонентов не превышают 1 %.

### Система GeTe-NiTe

Часть диаграммы состояния системы GeTe-NiTe со стороны GeTe представлена на рис. 5.49 [162]. С повышением температуры растворимость NiTe в GeTe увеличивается от 8 % при комнатной температуре до 20 % при 870 К.

Исходные образцы отжигали при 470, 545, 670 и 770 К в течение 600 ч. Система исследована методами ДТА, МСА и измерением микротвердости [162].

### Литература

1. Eisenmann B., Schwerer H., Schäfer H. // Mater. Res. Bull. 1983. Vol.18, N 10. P. 1189-1194.
2. Eisenmann B., Schwerer H., Schäfer H. // Z. Naturforsch. 1983. Bd. B38, N 8. S. 924-929.
3. Eisenmann B., Schwerer H., Schäfer H. // Rev. chim. minér. 1983. Vol 20, N 1. P. 78-87.
4. Eisenmann B., Schrod H., Schäfer H. // Mater. Res. Bull. 1984. Vol. 19, N 3. P. 293-298.
5. Dittmar G. // Ztschr. anorg. und allg. Chem. 1979. Bd. 453, N 6. S. 68-78.
6. Brinkmann C., Eisenmann B., Schäfer H. // Mater. Res. Bull. 1985. Vol. 20, N 10. P. 1207-1211.
7. Dogguy M., Carcally C., Rivet J., Flahaut J. // Less-Common. Metals. 1977. Vol.51, N 2. P. 181-199.
8. Гогишвили О.Ш., Дегальцев А.Н., Кононов Г.Г., Лавриненко И.П. // Изв. АН СССР. Неорган. материалы. 1988. Т. 24, № 4. С. 570-573.
9. Гогишвили О.Ш., Кононыхин В.С., Лавриненко И.П., Лалыкин С.П. // Изв. АН СССР. Неорган. материалы. 1982. Т. 18, № 3. С. 372-375.
10. Абрикосов Н.Х., Банкина В.Ф., Лев Е.Я. и др. // Изв. АН СССР. Неорган. материалы. 1970. Т. 6, № 5. С. 864-867.
- II. Абрикосов Н.Х., Банкина В.Ф., Соколова И.Ф. // Изв. АН СССР. Неорган. материалы. 1973. Т. 9, № 1. С. I29.
12. Палатник Л.С., Комник Ю.Ф., Кошкин В.М., Белова Е.К. // Докл. АН СССР. 1961. Т. 137, № 1. С. 68-71.
13. Аверкиева Г.К., Вайполин А.А., Горюнова Н.А. // Исследования по полупроводникам. Кишинев: Картая Молдовеняскэ, 1964. С. 44-56.
14. Rivet J., Flahaut J., Laruelle P. // C.r. Acad. sci. 1963. Vol.257, N 1. P. 161-164.
15. Баланевская А.Э., Бергер Л.И., Петров В.М. // Изв. АН СССР. Неорган. материалы. 1966. Т. 2, № 5. С. 810-813.
16. Глазов В.М., Зотова Т.Б., Карагодин Ю.А. // Изв. АН СССР. Неорган. материалы. 1976. Т. 12, № 1. С. 19-22.
17. Палатник Л.С., Комник Ю.Ф., Белова Е.К., Атрощенко Л.В. // Кристаллография. 1961. Т. 6, № 6. С. 960-964.
18. Довлетов К., Крживицкая С.Н., Ташиев К. и др. // Изв. АН ТССР. Сер. физ.-техн., хим. и геол. наук. 1974. № 3. С. 104-107.
19. Абрикосов Н.Х., Макалатия Т.Ш., Шелимова Л.Е., Авилов Е.С. // Изв. АН СССР. Неорган. материалы. 1980. Т. 16, № 8. С. 1398-1402.

20. Довлетов К., Ташлиев К. // Изв. АН СССР. Сер. физ.-техн., хим. и геол. наук. 1978. № 2. С. 24-27.
21. Плачкова С.К., Один И.Н. // Изв. АН СССР. Неорган. материалы. 1983. Т. 19, № 4. С. 588-592.
22. Плачкова С.К., Один И.Н., Новоселова А.В. // Журн. неорган. химии. 1983. Т. 28, № 8. С. 2091-2096.
23. Борисова Л., Дечева Ст., Димитрова Ст. и др. // Годишн. Софийск. ун-та. Физ. фак. 1968/1969 1971 . Т. 63. С. I37-I44.
24. Абрикосов Н.Х., Димитрова Ст.К., Карпинский О.Г. и др. // Изв. АН СССР. Неорган. материалы. 1984. Т. 20, № 1. С. 55-59.
25. Бушмарина Г.С., Константинов П.П., Лев Е.Я., Сысоева Л.М. // Изв. СССР. Неорган. материалы. 1981. Т. 17, № 8. С. 1392-1397.
26. Плачкова С.К., Один И.Н., Шер А.А., Новоселова А.В. //Изв. АН СССР. Неорган. материалы. 1980. Т. 16, № 7. С. II99-II202.
27. Плачкова С.К., Один И.Н., Новоселова А.В. //Изв. АН СССР. Неорган. материалы. 1984. Т. 20, № 3. С. 403-408.
28. Blachnik R., Gather B. // J. Less-Common Metals. 1978. Vol. 60, N 1. P. 25-32.
29. Плачкова С.К., Один И.Н., Новоселова А.В. // Журн. неорган.химии. 1981. Т. 26, № 9. С. 2534-2538.
30. Gorochov O. // Bull. Soc. chim. France. 1968. N 6. P. 2263-2275.
31. Gorochov O., Flahaut J. // C.r. Acad. sci. 1967. Vol. C264, N 26. P. 2153-2155.
32. Katty A., Gorochov O., Letoffe J.M. // J. Solid State Chem. 1981. Vol. 38, N 2. P. 259-263.
33. Rysanek N., Laruelle P., Katty A. // Acta crystallogr. 1976. Vol. B32, N 3. . P. 692-696.
34. Geller S. // Ztschr. Kristallogr. 1979. Bd. 149, N 1/2. S. 31-47.
35. Unterrichter J., Range K.-J. // Z.Naturwiss. 1978. Bd. B33, N 8. S. 866-872.
36. Рогачева Е.И., Мелихова А.Н., Лаптев С.А. и др. // Изв. АН СССР. Неорган. материалы. 1985. Т. 21, № 3. С. 397-401.
37. Gorochov O. // C.r. Acad. sci. 1968. Vol. C266, N 14. P. 1059-1062.
38. Legendre B., Rouland J.C., Souleau C. // C.r. Acad. sci. 1977. Vol. C284, N 12. P. 451-454.
39. Brinkmann C., Eisenmann B., Schäfer H. // Z. anorg. und allg. Chem. 1984. Bd. 517, N 10. S. 143-148.
40. Глазов В.М., Нагиев В.А., Заргарова М.И. // Изв. АН СССР. Неорган. материалы. 1970. Т. 6, № 3. С. 569-571.
41. Глазов В.М., Нагиев В.А., Нуриев Р.С. // Изв. вузов. Цветная металлургия. 1972. № 5. С. I16-I20.
42. Глазов В.М., Нагиев В.А., Нуриев Р.С. // Термодинамические свойства металлических сплавов. Баку: Элм, 1975. С. 376-379.
43. Куцая Н.М., Ставрианидис С.А. // Изв. АН СССР. Неорган. материалы. 1983. Т. 19, № 8. С. I302-I303.
44. Quenez P., Khodadad P. // Bull. soc. chim. France. 1969. N 1. P. 3-5.
45. Заргарова М.И., Акперов М.М. // Азерб. хим. журн. 1972. № 2. С. I24-I29.
46. Заргарова М.И. // Докл. АН АзербССР. 1972. Т. 28. С. 27-31.
47. Kra G., Eholie R., Flahaut J. // Ann. chim. (France). 1978. Vol. 3, N 4/5. P. 257-277.
48. Fenske D., Schnering H.G. // Angew. Chem. 1983. Bd. 95, N 5. S. 420-421.
49. Абрикосов Н.Х., Данилова-Добрякова Г.Т., Шаламберидзе Р.В. // Изв. АН СССР. Неорган. материалы. 1976. Т. 12, № 4. С. 605-609.

50. Абрикосов Н.Х., Данилова-Добрякова Г.Т. // Свойства легированных полупроводников. М.: Наука, 1977. С. 78-80.
51. Мелихова А.Н., Рогачева Е.И., Объедков А.Г., Коломоец Н.В. // Рукопись деп. в УкрНИИНТИ I.02.80, № 1905 Деп.
52. Магунов Р.Л., Заколодяжная О.В., Ковалевская Н.И., Шерстюк Л.Г. // Журн. неорган. химии. 1979. Т. 24, № II. С. 3133-3134.
53. Насиров Я.Н., Заргарова М.И., Акперов М.М. // Докл. АН АзербССР. 1968. Т. 24, № 7. С. 28-31.
54. Насиров Я.Н., Заргарова М.И., Гамидов Р.С., Акперов М.М. // Изв. АН СССР. Неорганс. материалы. 1970. Т. 6, № 5. С. 990-991.
55. Khalilov Kh.M., Nasirov Ya.N., Kuliev B.B. et al. // Phys. status solidi. 1969. Vol. 31, N. 2. P.K113-K115.
56. Kra G., Eholie R., Flahaut J. // C.r. Acad. sci. 1977. Vol. C284, N 21, P. 889-892.
57. Сысоева Л.М., Лев Е.Я., Коломоец Н.В. // Физ. и техн. полупроводн. 1970. Т. 4, № 7. С. 1359-1364.
58. Рогачева Е.И., Панасенко Н.М., Мелихова А.Н. // Изв. АН СССР. Неорганс. материалы. 1974. Т. 10, № 7. С. 1226-1229.
59. Заргарова М.И., Акперов М.М. // Изв. АН СССР. Неорганс. материалы. 1973. Т. 9, № 7. С. II38-II41.
60. Абрикосов Н.Х., Данилова-Добрякова Г.Т. // Изв. АН СССР. Неорганс. материалы. 1976. Т. 12, № 7. С. 1204-1208.
61. Палатник Л.С., Рогачева Е.И., Мелихова А.Н., Дзюбенко Н.И. // Химия и физика халькогенидов. Киев: Наук. думка, 1977. С. 63-65.
62. Рогачева Е.И., Мелихова А.Н., Воинова Л.Г., Серегин П.П. // Изв. АН СССР. Неорганс. материалы. 1977. Т. 13, № 4. С. 636-640.
63. Woolley J.C. // J.Electrochem. Soc. 1965. Vol. 112, N 9. P. 906-908.
64. Насиров Я.Н., Загарова М.И., Акперов М.М. // Докл. АН АзербССР. 1968. Т. 24, № 1. С. 8-10.
65. Бигвава А.Д., Кунчулия Э.Д., Коробов В.К., Швангирадзе Р.Р. // Изв. АН СССР. Неорганс. материалы. 1983. Т. 19, № 8. С. 1304-1306.
66. Жигарева Н.К., Иванова А.Б., Мелихова А.Н. и др. // Изв. АН СССР. Неорганс. материалы. 1981. Т. 17, № 10. С. 1777-1779.
67. Горне Г.В., Козьма А.А., Мелихова А.Н., Рогачева Е.И. // Рукопись деп. в УкрНИИНТИ 4.03.82. № 3327.
68. Абрикосов Н.Х., Данилова-Добрякова Г.Т., Робакидзе Б.Г. // Изв. АН СССР. Неорганс. материалы. 1974. Т. 10, № 8. С. 1426-1430.
69. Рогачева Е.И., Панасенко Н.М., Мелихова А.Н. // Изв. АН СССР. Неорганс. материалы. 1974. Т. 10, № 10. С. 1800-1804.
70. Кулиева Н.А., Бабанлы М.Б., Саттар-заде И.С. // Изв. АН СССР. Неорганс. материалы. 1982. Т. 18, № 5. С. 764-768.
71. Кулиева Н.А., Бабанлы М.Б. // Журн. неорганс. химии. 1982. Т. 27, № 6. С. 1531-1537.
72. Ворошилов Ю.В., Поторий М.В., Приц И.Ю. // Изв. вузов. Химия и хим. технология. 1986. Т. 29, № 2. С. 19-21.
73. Eulenberger G. // J. Solid. State Chem. 1984. Vol. 55, N 3. P. 306-313.
74. Toure A.A., Kra G., Eholie R. // C.r. Acad. sci. 1987. Ser. 2. Vol. 304, N 9. P. 411-414.
75. Насиров Я.Н., Заргарова М.И., Акперов М.М. // Изв. АН СССР. Неорганс. материалы. 1969. Т. 5, № 9. С. 1657-1658.
76. Кулиева Н.А., Бабанлы М.Б. // Азерб. хим. журн. 1983. № 1. С. 121-124.

77. Абрикосов Н.Х., Авилов Е.С., Карпинский О.Г., Шелимова Л.Е. // Изв. АН СССР. Неорган. материалы. 1988. Т. 24, № 1. С. 55-59.
78. Алиев О.М., Курбанов Т.Х., Мухтарова З.М. // Журн. неорган. химии. 1986. Т. 31, № 10. С. 2628-2630.
79. Мухтарова З.М., Курбанов Т.Х., Алиев О.М. // Журн. неорган. химии. 1985. Т. 30, № 5. С. 1332-1333.
80. Zygmunt A. // Phys. status solidi. 1977. Vol A43, N 2. P. 573-577.
81. Shu Han Wan, Ollitrault-Fichet R., Flahaut J. // J. Solid. State Chem. 1987. Vol. 69, N 1. P. 55-66.
82. Maneglier-Lacordaire S., Rivet J., Khodadad P., Flahaut J. // Bull. Soc. chim. France. 1973. N 6, Pt. 1. P. 1930-1935.
83. Maneglier-Lacordaire S., Besançon P., Rivet J., Flahaut J. // J. Non-Cryst. Solids. 1975. Vol. 18, N 3. P. 439-454.
84. Абрикосов Н.Х., Авилов Е.С., Карпинский О.Г. и др. // Изв. АН СССР. Неорган. материалы. 1985. Т. 21, № 10. С. 1659-1663.
85. Bordas S., Geli M., Casas-Vazquez T. et al. // Thermochim. acta. 1980. Vol. 37, N 2. P. 197-207.
86. Krebs H., Grün K., Kallen D. // Z. anorg. und allg. Chem. 1961. Bd. 312, N 5/6. 307-313.
87. Krebs H., Langner D. // Z. anorg. und allg. Chem. 1964. Bd. 334, N 1/2. S. 37-49.
88. Абрикосов Н.Х., Вассерман А.М., Порецкая Л.В. // Докл. АН СССР. 1958. Т. 123, № 2. С. 279-281.
89. Mazelsky R., Libell M.S., Kramer W.E. // J.Chem. Phys. 1962. Vol. 37, N 1. P. 45-47.
90. Bierly J.N., Muldawer L., Beckmann O. // Acta metallurg. 1963. Vol. 11, N 5. P. 447-454.
91. Абрикосов Н.Х., Шелимова Л.Е. // Изв. АН СССР. Неорган. материалы. 1986. Т. 22, № 7. С. II09-II14.
92. Fano V., Fedeli G., Maniezzi E., Ortalli I. // Proc. Int. Conf. Mössbauer Spectrosc. Bucharest. 1977. Vol. 1. P. 69-70.
93. Абрикосов Н.Х., Новикова С.И., Шелимова Л.Е., Жданова В.В. // Изв. АН СССР. Неорган. материалы. 1969. Т. 5, № II. С. 1895-1898.
94. Абрикосов Н.Х., Карпинский О.Г., Шелимова Л.Е. и др. // Изв. АН СССР. Неорган. материалы. 1980. Т. 16, № 2. С. 241-246.
95. Rehwald W., Lang G.K. // J. Phys. C.: Solid. State. Phys. 1975. Vol. 8, N 20. P. 3287-3296.
96. Lefkowitz I., Shields M. // J. Gryst. Growth. 1970. Vol. 6., N 2. P. 143-146.
97. Абрикосов Н.Х., Авилов Е.С., Карпинский О.Г. и др. // Изв. АН СССР. Неорган. материалы. 1985. Т. 21, № 10. С. 1664-1669.
98. Nikolić P.M. // J. Phys. (Brit. J. Appl. Phys.). 1969. Vol. D2, N 3. P. 383-388.
99. Hohnke D.K., Holloway H., Kaiser S. // J. Phys. Chem. Solids. 1972. Vol. 33, N 11. P. 2053-2062.
100. Woolley J.C., Nikolić P. // J. Electrochem. Soc. 1965. Vol. 112, N 1. P. 82-84.
101. Бигвара А.Д., Кунчулия А.Д., Моисеенко С.С. и др. // Изв. АН СССР. Неорган. материалы. 1972. Т. 8, № 12. С. 2089-2091.
102. Карбанов С.Г., Зломанов В.П., Новоселова А.В., Метлин Ю.Г. // Изв. АН СССР. Неорган. материалы. 1969. Т. 5, № 2. С. 270-274.
103. Шелимова Л.Е., Абрикосов Н.Х., Бессонов В.И. // Изв. АН СССР. Металлургия и горное дело. 1964. № I. С. 180-183.
104. Абрикосов Н.Х., Авилов Е.С., Карпинский О.Г., Шелимова Л.Е. // Изв. АН СССР. Неорган. материалы. 1981. Т. 17, № 9. С. 1586-1590.

- I05. Абрикосов Н.Х., Карпинский О.Г., Шелимова Л.Е., Авилов Е.С. // Изв. АН СССР. Неорган. материалы. 1980. Т. 16, № 2. С. 237-240.
- I06. Гогишвили О.Ш., Дегальцев А.Н., Кононов Г.Г. // Изв. АН СССР. Неорган. материалы. 1988. Т. 24, № 6. С. 925-927.
- I07. Гогишвили О.Ш., Кононов Г.Г., Кононхин В.С., Лавриненко И.П. // Изв. АН СССР. Неорган. материалы. 1983. Т. 19, № 6. С. 893-895.
- I08. Карбанов С.Г., Белоусов В.И., Сидоров Л.Н. и др. // Журн. физ. химии. 1968. Т. 42, № 1. С. 216-217.
- I09. Krebs H., Grün K., Kallen D., Lippert W. // Z. anorg. und allg. Chem. 1961. Bd. 308, N 1/6. S. 200-211.
- I10. Виноградова Г.З., Дембовский С.А., Копейкина А.Н., Лужная Н.П. // Журн. неорган. химии. 1975. Т. 20, № 5. С. 1367-1372.
- III. Vinogradova G.Z., Dembovsky S.A., Kopeikina A.N., Luzhnaya N.P. // Mater. Res. Bull. 1976. Vol. 11, N 5. P. 513-516.
- I12. Абрикосов Н.Х., Кожарина Т.П., Орлова Г.М., Панус В.Р. // Вестн. ЛГУ. 1977. № 4. С. 146-149.
- I13. Shu H.-W., Jaulmes S., Mazurier A., Ollitrault-Fichet R. // C.r. Acad. sci. 1986. Ser. 2. Vol. 302, N 8. P. 557-560.
- I14. Shu H.-W., Jaulmes S., Ollitrault-Fichet R., Flahaut J. // J. Solid State Chem. 1987. Vol. 69, N 1. P. 48-54.
- I15. Kuypers S., Van Tendeloo G., Van Landuyt J. et al. // C.r. Acad. sci. 1987. Ser. 2. Vol. 305, N 6. P. 433-436.
- I16. Kuypers S., Van Tendeloo G., Van Landuyt J. et al. // J. Solid State Chem. 1988. Vol. 73, N 1. P. 192-205.
- I17. Абрикосов Н.Х., Данилова-Добрякова Г.Т. // Изв. АН СССР. Неорган. материалы. 1970. Т. 6, № 3. С. 475-481.
- I18. Bordas S., Clavaguera-Mora M.T., Legendre B., Hancheng Chhay. // Thermochim. acta. 1986. Vol. 107. P. 239-265.
- I19. Legendre B., Hancheng Chhay, Bordas S., Clavaguera-Mora M.T. // Thermochimi. acta. 1984. Vol. 78, N 1/3. P. 141-157.
- I20. Абрикосов Н.Х., Данилова-Добрякова Г.Т. // Изв. АН СССР. Неорган. материалы. 1974. Т. 10, № 5. С. 811-814.
- I21. Бигвава А.Д., Коробов В.К., Куңчулұя Э.Д. и др. // Изв. АН СССР. Неорган. материалы. 1985. Т. 21, № 6. С. 928-932.
- I22. Абрикосов Н.Х., Данилова-Добрякова Г.Т. // Изв. АН СССР. Неорган. материалы. 1965. Т. 1, № 2. С. 204-207.
- I23. Skoropanov A.S., Valevsky B.L., Skums V.F. et al. // Thermochim. acta. 1985. Vol. 90. P. 331-334.
- I24. Петров И.И., Имамов Р.М., Пинскер З.Г. // Кристаллография. 1968. Т. 13, № 3. С. 417-421.
- I25. Hulliger F. // Ser. Phys. and Chem. of Materials with Layered Structures. N. Y.: D. Reidel Publ. Comp. USA. 1976. Vol. 5. P. 203-210.
- I26. Абрикосов Н.Х., Данилова-Добрякова Г.Т., Добринина Н.А. // Изв. АН СССР. Неорган. материалы. 1973. Т. 9, № 4. С. 568-571.
- I27. Агаев К.А., Талыбов А.Г. // Кристаллография. 1966. Т. II, № 3. С. 454-456.
- I28. Frumar M., Tichý L., Horák J., Klikorka J. // Mater. Res. Bull. 1972. Vol. 7, N 10. P. 1075-1085.
- I29. Абрикосов Н.Х., Данилова-Добрякова Г.Т. // Изв. АН СССР. Неорган. материалы. 1972. Т. 8, № 8. С. 808-811.
- I30. Абрикосов Н.Х., Карпинский О.Г., Макалатия Т.Ш., Шелимова Л.Е. Изв. АН СССР. Неорган. материалы. 1981. Т. 17, № 12. С. 2168-2175.
- I31. Рогачева Е.И., Лаптев С.А., Дудкин Л.Д. и др. // Изв. АН СССР. Неорган. материалы. 1986. Т. 22, № 11. С. 1827-1831.

- I32. Абрикосов Н.Х., Данилова-Добрякова Г.Т. // Изв. АН СССР. Неорган. материалы. 1970. Т. 6, № 10. С. 1798-1803.
- I33. Абрикосов Н.Х., Банкина В.Ф., Коломоец Л.А. и др. // Изв. АН СССР. Неорган. материалы. 1972. Т. 8, № 12. С. 2120-2124.
- I34. Абрикосов Н.Х., Данилова-Добрякова Т.Г. // Изв. АН СССР. Неорган. материалы. 1965. Т. 1, № 1. С. 57-59.
- I35. Жукова Т.Б., Заславский А.И. // Кристаллография. 1971. Т. 16, № 5. С. 918-922.
- I36. Жукова Т.Б., Заславский А.И. // Некоторые вопросы химии и физики полупроводн. сложн. состава. Ужгород: Ужгород. ун-т. 1970. С. 158-163.
- I37. Агаев К.А., Талыбов А.Г., Семилетов С.А. // Кристаллография. 1968. Т. 13, № 1. С. 59-62.
- I38. Петров И.И., Имамов Р.М. // Кристаллография. 1970. Т. 15, № 1. С. 168-170.
- I39. Абрикосов Н.Х., Данилова-Добрякова Г.Т. // Изв. АН СССР. Неорган. материалы. 1972. Т. 8, № 7. С. 1221-1223.
- I40. Агаев К.А., Семилетов С.А. // Кристаллография. 1965. Т. 10, № 1. С. 109-112.
- I41. Гогишвили О.Ш., Дегальцев А.Н., Кононов А.Г. и др. // Изв. АН СССР. Неорган. материалы. 1988. Т. 24, № 7. С. 1108-1111.
- I42. Пашикян А.С., Малкова А.С., Беляк А.Ф. // Изв. АН СССР. Неорган. материалы. 1978. Т. 14, № 4. С. 773-774.
- I43. Ставрианидис С.А., Куцая А.А., Кейян Г.А. и др. // Изв. АН СССР. Неорган. материалы. 1984. Т. 20, № 10. С. 1757-1758.
- I44. Алиджанов М.А., Ализаде М.З., Вагабова Л.К. и др. // Изв. АН СССР. Неорган. материалы. 1981. Т. 17, № 5. С. 911-913.
- I45. Кейян Г.А., Куцая А.А., Маркелия Р.А. и др. // Изв. АН СССР. Неорган. материалы. 1987. Т. 23, № 6. С. 1031-1032.
- I46. Johnston W.D., Sestrich D.E. // J. Inorg. Nucl. Chem. 1961. Vol. 19. N 3/4. P. 229-236.
- I47. Абрикосов Н.Х., Авилов Е.С., Карпинский О.Г., Шелимова Л.Е. // Легированные полупроводниковые материалы. М.: Наука, 1985. С. 182-186.
- I48. Абрикосов Н.Х., Авилов Е.С., Карпинский О.Г., Шелимова Л.Е. // Изв. АН СССР. Неорган. материалы. 1980. Т. 16, № 2. С. 255-260.
- I49. Дудкин Л.Д., Евдокимов А.И., Мелихова А.Н. и др. // Изв. АН СССР. Неорган. материалы. 1978. Т. 14, № 8. С. 1539-1540.
- I50. Дудкин Л.Д., Коломоец Н.В., Мелихова А.Н. и др. // Изв. АН СССР. Неорган. материалы. 1979. Т. 15, № 2. С. 212-216.
- I51. Chomentowski M., Rodot H., Villers G., Rodot M. // C. r. Acad. sci. 1965. Vol. 261, N 11. P. 2198-2201.
- I52. Мелихова А.Н., Рогачева Е.И., Объедков А.Г., Горне Г.В. // Рукопись деп. в УкрНИИНТИ I.02.80. № 1904 Деп.
- I53. Акперов М.М. // Изв. АН СССР. Неорган. материалы. 1981. Т. 17. № 10. С. 1914.
- I54. Абрикосов Н.Х., Багаева Л.А., Дудкин Л.Д. и др. // Изв. АН СССР. Неорган. материалы. 1985. Т. 21, № 10. С. 1680-1686.
- I55. Каҳраманов К.Ш., Заргарова М.И., Магерамов А.А. // Изв. АН СССР. Неорган. материалы. 1981. Т. 17, № 1. С. 43-47.
- I56. Абрикосов Н.Х., Петрова Л.И. // Изв. АН СССР. Неорган. материалы. 1978. Т. 14, № 10. С. 1834-1837.
- I57. Абрикосов Н.Х., Петрова Л.И., Дудкин Л.Д. и др. // Изв. АН СССР. Неорган. материалы. 1982. Т. 18, № 3. С. 376-384.

- I58. Абрикосов Н.Х., Петрова Л.И. // Изв. АН СССР. Неорган. материалы. 1981. Т. I7, № I. С. 39-42.
- I59. Заргарова М.И., Кулиев А.З., Каҳраманов К.Ш., Магерамов А.А. // Рукопись деп. в ВИНИТИ, № 4379-76 Деп.
- I60. Ставрианидис С.А., Маркелия Р.А., Моисеенко С.С. и др. // Изв. АН СССР. Неорган. материалы. 1979. Т. I5, № 3. С. 43I-433.
- I61. Заргарова М.И., Кулиев А.З., Каҳраманов К.Ш., Магерова А.А. // Азерб. хим. журн. 1975, № 3. С. II6-II9.
- I62. Алиджанов М.А., Дадашев И.Ш., Вагабова Л.К., Сафаралиев Г.И. // Изв. АН СССР. Неорган. материалы. 1982. Т. I8, № 9. С. I587-I588.

## Г л а в а 6

### СИСТЕМА НА ОСНОВЕ SnS

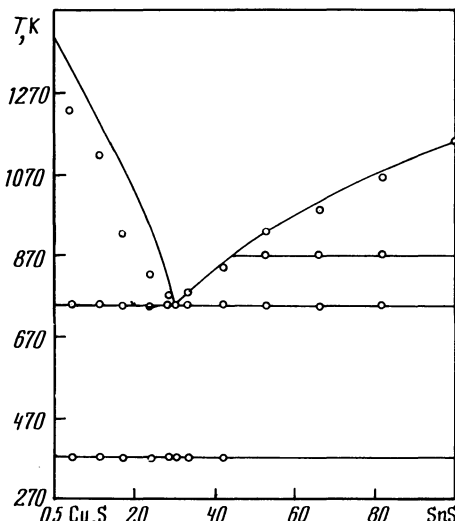
#### Система SnS-Cu<sub>2</sub>S

Диаграмма состояния системы SnS-Cu<sub>2</sub>S (рис. 6.I) эвтектического типа [I]. Эвтектика содержит 69 % Cu и кристаллизуется при 753 К. Термические эффекты при 373 и 873 К соответствуют полиморфным превращениям Cu<sub>2</sub>S и SnS. Взаимной растворимости исходных компонентов не обнаружено.

В тройной системе Sn-Cu-S образуется соединение Cu<sub>6</sub>Sn<sub>2</sub>S<sub>6</sub>, плавящееся при 797 К и имеющее плотность 5,02 г/см<sup>3</sup> [2]. Система исследована методами ДТА, РФА и МСА, а также измерением плотности микротвердости [1,2].

#### Система SnS-CaS

Диаграмма состояния системы SnS-CaS эвтектического типа [3]. Эвтектика содержит 10 % CaS и кристаллизуется при 1103 К.



Р и с. 6.I. Диаграмма состояния системы SnS-0,5Cu<sub>2</sub>S [1]

### Система SnS-BaS

В системе SnS-BaS образуются две области твердых растворов: твердые растворы на основе SnS и BaSn<sub>2</sub>S<sub>3</sub> (A), причем последние характеризуются переходом порядок-беспорядок при 953 К [4]. В системе образуются соединения A и BaSnS<sub>2</sub> (B). Соединение A может существовать в двух модификациях ромбической структуры с параметрами элементарной ячейки  $a = 11,583 \text{ \AA}$ ,  $b = 7,038 \text{ \AA}$ ,  $c = 7,589 \text{ \AA}$ , рентгенографической и пикнометрической плотностью соответственно 5,055 и 4,819 г/см<sup>3</sup> (низкотемпературная модификация) и  $a = 11,58 \text{ \AA}$ ,  $b = 14,98 \text{ \AA}$ ,  $c = 15,18 \text{ \AA}$ , рентгенографической и пикнометрической плотностью соответственно 5,055 и 4,828 г/см<sup>3</sup> (высокотемпературная модификация) [4]. Это соединение может кристаллизоваться и в моноклинной структуре с параметрами элементарной ячейки  $a = 6,139 \text{ \AA}$ ,  $b = 13,493 \text{ \AA}$ ,  $c = 12,235 \text{ \AA}$ ,  $\beta = 108,49^\circ$  и рентгенографической плотностью 4,88 г/см<sup>3</sup> [5].

Соединение B кристаллизуется в ромбической структуре с параметрами  $a = 12,000 \text{ \AA}$ ,  $b = 8,381 \text{ \AA}$ ,  $c = 4,606 \text{ \AA}$ , рентгенографической и пикнометрической плотностью 4,612 и 4,586 г/см<sup>3</sup> соответственно [4]. В интервале 50-100 % BaS в системе существует смесь BaS и B. Исходные образцы отжигали при 920 и 1070 К в течение 3-5 дней [4].

### Система SnS-ZnS

В сфалерите, перекристаллизованном из раствора в расплаве SnS содержится  $6 \cdot 10^{-3} \%$  Sn [6]. Растворимость ZnS в SnS определяли по потере массы исходного образца ZnS в результате его взаимодействия с расплавом SnS.

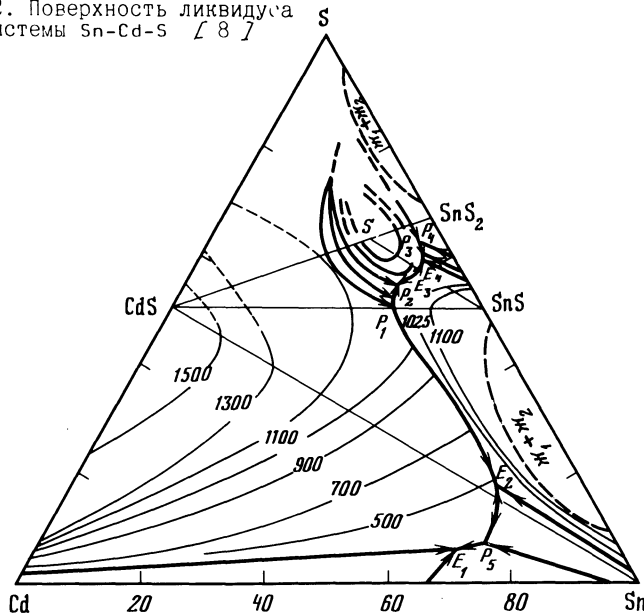
### Система SnS-Cd

Система SnS-Cd является неквазибинарным сечением тройной системы Sn-Cd-S, пересекающим две вторичные тройные системы SnS-Sn-CdS и CdS-Sn-Cd [7,8]. Со стороны Cd полное затвердевание фаз заканчивается при 415 К и соответствует составу 35 % SnS. Вторая тройная эвтектика кристаллизуется при 455 К и 52 % SnS. В интервале 58-100 % SnS температура ветви первичной кристаллизации SnS постепенно уменьшается от 1154 до 1093 К. При 1093 К происходит совместная кристаллизация CdS и твердого раствора на основе SnS с содержанием не более 1% Cd.

Поверхность ликвидуса тройной системы Sn-Cd-S (рис. 6.2) имеет II полей первичной кристаллизации фаз, причем область первичной кристаллизации серы вырождена [8]. Со стороны Sn-S в системе существуют две области расслаивания. Нонвариантные равновесия в системе приведены в табл. 6.I.

Исходные образцы отжигали при 420 К в течение 200 ч. Система исследована методами ДТА, РФА, МСА, а также измерением микротвердости [7,8].

Р и с. 6.2. Поверхность ликвидуса тройной системы Sn-Cd-S [8].



Т а б л и ц а 6.1

Нонвариантные равновесия в тройной системе Sn-Cd-S [8]

Обозначение	T, K	Реакция
E <sub>1</sub>	415	$\xrightarrow{\text{ж}} \text{CdS} + \text{Cd} + \beta(\text{Sn})$
E <sub>2</sub>	455	$\xrightarrow{\text{ж}} \text{CdS} + \text{SnS} + \text{Sn}$
E <sub>3</sub>	750	$\xrightarrow{\text{ж}} \text{A} + \text{B} + \text{SnS}$
E <sub>4</sub>	810	$\xrightarrow{\text{ж}} \text{B} + \text{SnS} + \text{Sn}_3\text{S}_4$
P <sub>1</sub>	860	$\xrightarrow{\text{ж}} \text{CdS} \xrightarrow{\text{ж}} \text{C} + \text{Sn}_3\text{S}_4$
P <sub>2</sub>	830	$\xrightarrow{\text{ж}} \text{C} \xrightarrow{\text{ж}} \text{A} + \text{SnS}$
P <sub>3</sub>	865	$\xrightarrow{\text{ж}} \text{C} + \text{Sn}_2\text{S}_3 \xrightarrow{\text{ж}} \text{B} + \text{Sn}_3\text{S}_4$
P <sub>4</sub>	920	$\xrightarrow{\text{ж}} \text{C} + \text{SnS}_2 \xrightarrow{\text{ж}} \text{B} + \text{Sn}_2\text{S}_3$
P <sub>5</sub>	448	$\xrightarrow{\text{ж}} \text{Sn} \xrightarrow{\text{ж}} \beta(\text{Sn}) + \text{CdS}$

П р и м е ч а н и е. A — CdSnS<sub>3</sub>, B — CdSn<sub>2</sub>S<sub>5</sub>, C — Cd<sub>2</sub>SnS<sub>4</sub>.

#### Система SnS-CdSn<sub>2</sub>S<sub>5</sub>

Диаграмма состояния системы SnS-CdSn<sub>2</sub>S<sub>5</sub> эвтектического типа [8]. Эвтектика кристаллизуется при 903 K и содержит 77 % SnS. Исходные образцы отжигали при 420 K в течение 200 ч. Система исследована методами ДТА, РФА, МСА и измерением микротвердости [8].

### Система SnS-CdS

Диаграмма состояния системы SnS-CdS (рис. 6.3) эвтектического типа [8, 9]. Эвтектика содержит 13 % CdS и кристаллизуется при 1104 К [9] (27 % CdS и 1023 К [8]). В твердом состоянии наблюдается полиморфное превращение SnS. При 920 К взаимная растворимость SnS и CdS не превышает 1 % [9] (растворимость CdS в SnS при комнатной температуре достигает 4 % [8]). Если синтез твердых растворов проводить при давлении  $2 \div 3 \cdot 10^9$  Па и температуре 870-1070 К в течение 1-4 ч, то твердые растворы на основе CdS образуются до 30 % SnS [10].

Исходные образцы отжигали при 920 К в течение 250 ч [9] (при 420 К в течение 200 ч [8]). Система исследована методами ДТА, РФА, МСА, а также измерением микротвердости [8, 9].

### Система SnS-HgS

Диаграмма состояния системы SnS-HgS (рис. 6.4) эвтектического типа [11]. Эвтектика содержит 52 % HgS и кристаллизуется при 835 К. Растворимость HgS в SnS при эвтектической температуре не превышает 2 %, а SnS в HgS - 3 %. При 858 К происходит полиморфное превращение SnS, а при 620 К - превращение киновари в метациннабарит.

Исходные образцы отжигали при 770 К в течение 1200 ч. Система исследована методами ДТА, РФА, МСА, а также измерением микротвердости [11].

### Система SnS-Ga<sub>2</sub>S<sub>3</sub>

Диаграмма состояния системы 2SnS-Ga<sub>2</sub>S<sub>3</sub> представлена на рис. 6.5 [12]. В системе существуют два соединения SnGa<sub>6</sub>S<sub>10</sub> (A) и Sn<sub>2</sub>Ga<sub>2</sub>S<sub>5</sub>

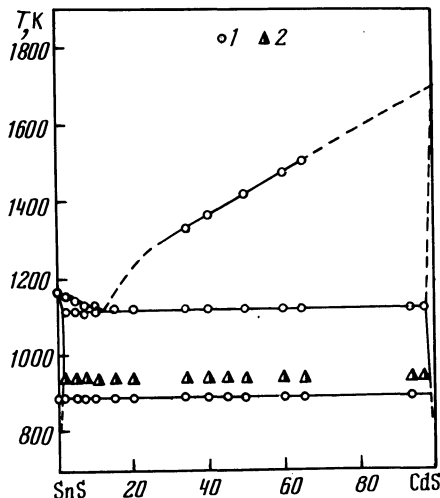


Рис. 6.3. Диаграмма состояния системы SnS-CdS [9]  
1 - ДТА, 2 - двухфазные образцы

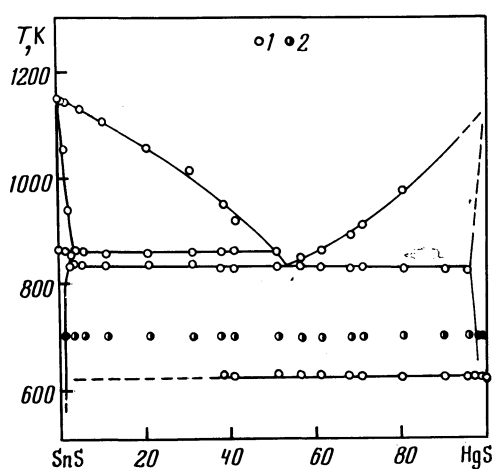


Рис. 6.4. Диаграмма состояния системы SnS-HgS [11]  
1 - одно и 2 - двухфазные образцы, 3 - ДТА

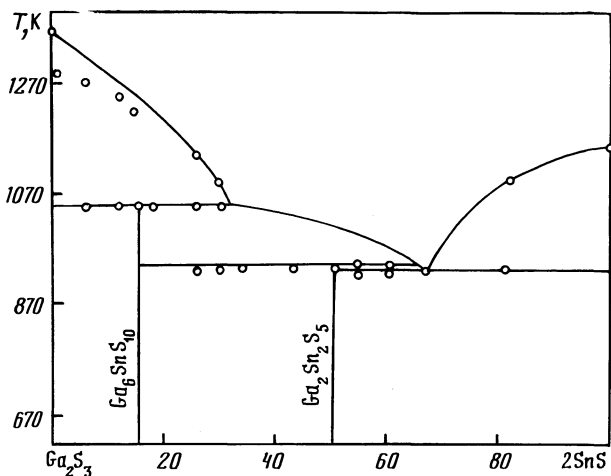


Рис. 6.5. Диаграмма состояния системы  $2\text{SnS}-\text{Ga}_2\text{S}_3$

(В), образующиеся по перитектической реакции соответственно при 1050 и 935 К. Эвтектика содержит 66 % ( $2\text{SnS}$ ) и кристаллизуется при 932 К. В интервале 20–60 % ( $2\text{SnS}$ ) обнаружена область стеклообразования.

Соединение В кристаллизуется в ромбической структуре с параметрами элементарной ячейки  $a = 6,233 \text{ \AA}$ ,  $b = 12,44 \text{ \AA}$ ,  $c = 10,88 \text{ \AA}$ , рентгенографической и пикнометрической плотностью 4,23 и 4,30 г/см<sup>3</sup> соответственно [12, 13].

Соединение В синтезировали взаимодействием простых сульфидов при 903 К [13], а его монокристаллы получали путем отжига при 870 К в течение месяца [12]. Система исследована методами ДТА и РФА [12].

#### Система $\text{SnS}-\text{In}_2\text{S}_3$

Диаграмма состояния системы  $\text{SnS}-\text{In}_2\text{S}_3$  представлена на рис. 6.6 [14, 15]. Эвтектика содержит 22 %  $\text{In}_2\text{S}_3$  и кристаллизуется при 1026 К. В системе образуются соединения  $\text{In}_2\text{Sn}_2\text{S}_5$  (А),  $\text{In}_2\text{SnS}_4$  (В) и  $\text{In}_{12}\text{Sn}_5\text{S}_{23}$  (С), плавящиеся инконгруэнто соответственно при 1048, 1083 и 1129 К. Соединения В и С кристаллизуются в моноклинной структуре с параметрами элементарной ячейки соответственно  $a = 28,61 \text{ \AA}$ ,  $b = 3,85 \text{ \AA}$ ,  $c = 15,83 \text{ \AA}$ ,  $\beta = 109^\circ$  и  $a = 28,00 \text{ \AA}$ ,  $b = 3,85 \text{ \AA}$ ,  $c = 15,58 \text{ \AA}$ ,  $\beta = 122^\circ$  [14, 15]. В работах [16, 17] соединению В приписана формула  $\text{In}_{11}\text{Sn}_5\text{S}_{22}$  и параметры элементарной ячейки  $a = 15,636 \text{ \AA}$ ,  $b = 14,627 \text{ \AA}$ ,  $c = 3,847 \text{ \AA}$ ,  $\beta = 97,38^\circ$ , пикнометрическая плотность – 4,98 г/см<sup>3</sup>. Кроме того, авторами [17, 18] обнаружено соединение  $\text{In}_{14}\text{Sn}_5\text{S}_{26}$  (Д) (близко по составу к соединению С [14, 15]), кристаллизующееся в моноклинной структуре с параметрами элементарной ячейки  $a = 37,917 \text{ \AA}$ ,  $b = 13,758 \text{ \AA}$ ,  $c = 3,8433 \text{ \AA}$ ,  $\beta = 91,20^\circ$  и пикнометрической плотностью 4,98 г/см<sup>3</sup>.

При 1076 К в системе протекает перитектоидное превращение твердых растворов на основе  $\text{In}_2\text{S}_3$ , а при 1133 К – перитектическое разложение этих

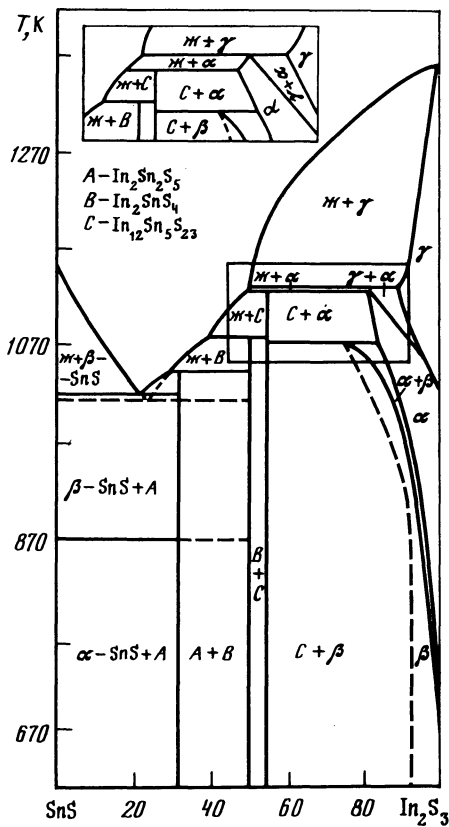


Рис. 6.6. Диаграмма состояния системы  $\text{SnS}-\text{In}_2\text{S}_3$   
[14, 15].

же твердых растворов [14, 15]. При 1017 К кристаллизуется метастабильная эвтектика (ее состав - 25 %  $\text{In}_2\text{S}_3$ ), затрудняющая образование соединения A. Область твердых растворов со стороны  $\text{In}_2\text{S}_3$  достигает 8 %  $\text{SnS}$ , а со стороны  $\text{SnS}$  область гомогенности не обнаружена.

В тройной системе  $\text{Sn}-\text{In}-\text{S}$  обнаружены также соединения  $\text{In}_5\text{Sn}_{0,5}\text{S}_7$  (E) и  $\text{In}_6\text{Sn}_8\text{S}_{19}$  (F), кристаллизующиеся в моноклинной структуре с параметрами: E -  $a = 9,047 \text{ \AA}$ ,  $b = 17,013 \text{ \AA}$ ,  $c = 3,873 \text{ \AA}$ ,  $\beta = 101,72^\circ$ , рентгенографической и пикнометрической плотностью соответственно 4,88 и 4,89 г/см<sup>3</sup> [19]; F -  $a = 29,253 \text{ \AA}$ ,  $b = 3,819 \text{ \AA}$ ,  $c = 15,528 \text{ \AA}$ ,  $\beta = 121,85^\circ$  [20].

Соединения B и D получали сплавлением или спеканием  $\text{SnS}$  и  $\text{In}_2\text{S}_3$  [16-18], соединение E - сплавлением элементарных веществ при 1170 К в течение 24 ч [19], соединение F - твердофазной реакцией смеси  $\text{In}_2\text{S}_3$ ,  $\text{SnS}$  и  $\text{SnS}_2$  с последующим отжигом при 1070 К в течение недели.

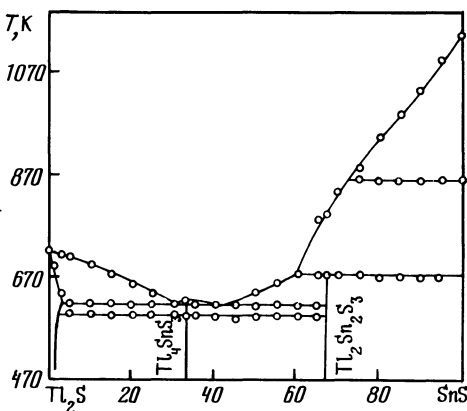
Л 20]. Монокристаллы соединений А, В и С получали методом ХТР (носитель - иод) [14,15].

Исходные образцы отжигали при 970 К в течение 4-5 дней [14,15]. Система исследована методами ДТА и РФА [14,15].

### Система SnS-Tl<sub>2</sub>S

Диаграмма состояния системы SnS-Tl<sub>2</sub>S представлена на рис. 6.7 [21]. В подсистеме Tl<sub>4</sub>SnS<sub>3</sub> эвтектика содержит 40 % SnS и кристаллизуется при 618 К, а в подсистеме Tl<sub>2</sub>S-Tl<sub>4</sub>SnS<sub>3</sub> она вырождена и практически совпадает с температурой плавления Tl<sub>4</sub>SnS<sub>3</sub>. Перитектическая точка находится при 60 % SnS. Тепловой эффект при 868 К соответствует фазовому превращению SnS.

Р и с. 6.7. Диаграмма состояния системы SnS-Tl<sub>2</sub>S [21]



В системе образуются соединения Tl<sub>4</sub>SnS<sub>3</sub>, плавящееся конгруэнтно при 623 К и претерпевающее полиморфное превращение при 600 К, и Tl<sub>2</sub>Sn<sub>2</sub>S<sub>3</sub>, плавящееся инконгруэнтно при 679 К [21,22] и кристаллизующееся в моноклинной структуре с параметрами элементарной ячейки  $a = 13,887 \text{ \AA}$ ,  $\beta = 7,742 \text{ \AA}$ ,  $c = 7,267 \text{ \AA}$ ,  $\beta = 105,39^\circ$  [23].

Растворимость SnS в Tl<sub>2</sub>S при 620 К составляет 2 %. Областей гомогенности на основе других фаз не обнаружено [21].

Монокристаллы Tl<sub>2</sub>Sn<sub>2</sub>S<sub>3</sub> получали медленным охлаждением смеси Tl<sub>2</sub>S + 2SnS от температуры 700 К [23]. Исходные образцы отжигали при 570 К в течение 400 ч [21]. Система исследована методами ДТА, РФА, а также измерением микротвердости [21].

### Система SnS-EuS

В системе SnS-EuS при различном соотношении исходных веществ обнаружена смесь SnS и EuS [24].

### Система SnS-GeS<sub>2</sub>

Диаграмма состояния системы SnS-GeS<sub>2</sub> приведена на рис. 6.8 [25]. Эвтектика содержит 66 % SnS и кристаллизуется при 853 К. Перитектическая точка находится при 52 % SnS. Термальные эффекты при 873 К соответствуют фазовому превращению SnS.

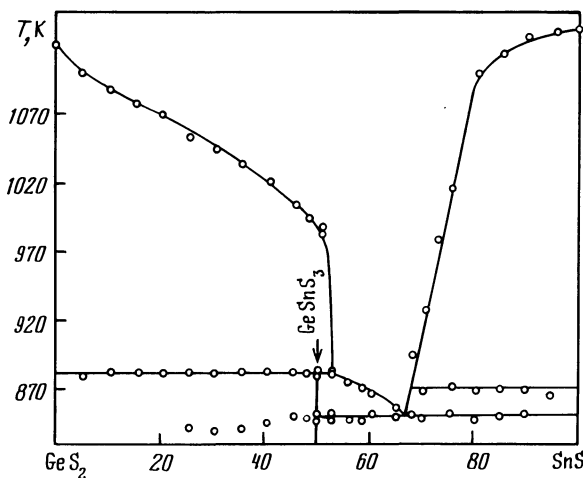


Рис. 6.8. Диаграмма состояния системы SnS-GeS<sub>2</sub> [25]

В системе образуется соединение SnGeS<sub>3</sub>, плавящееся инконгруэнтно при 886 К [25] и кристаллизующееся в моноклинной структуре [26,27] с параметрами элементарной ячейки  $a = 7,269 \text{ \AA}$ ,  $b = 10,220 \text{ \AA}$ ,  $c = 6,873 \text{ \AA}$ ,  $\beta = 105,440^\circ$  [26,27].

Исходные образцы отжигали при 810 К в течение 200 ч. Монокристаллы SnGeS<sub>3</sub> получали методом сублимации [25]. Система исследована методами ДТА, РФА и МСА.

### Система SnS-SnSe

Диаграмма состояния системы SnS-SnSe (рис. 6.9) принадлежит к типу Ш по классификации Розебома [28,29]. Минимум находится при 50 % SnS и 1126 К. Параметры элементарной ячейки и ширина запрещенной зоны в зависимости от состава изменяются линейно [29].

Исходные образцы отжигали при 770 К в течение 500 ч [28]. Монокристаллы твердых растворов получали методом XTP [28] и направленной кристаллизации [29]. Система исследована методами ДТА и РФА [28,29].

### Система SnS-SnTe

Диаграмма состояния системы SnS-SnTe (рис. 6.10) эвтектического типа [30]. Растворимость SnS в SnTe достигает 10 % [30] (40 % [31]), а растворимость SnTe в SnS составляет 40 % [30] (20 % [31]).

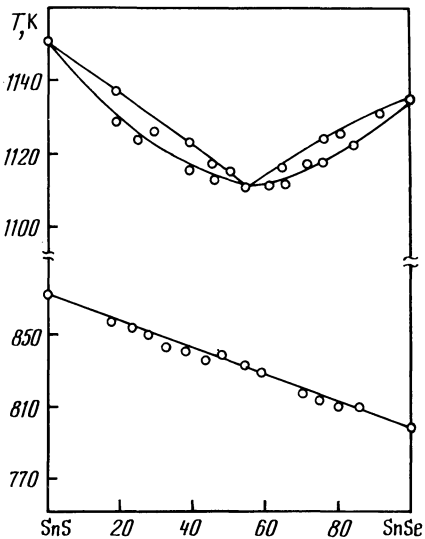


Рис. 6.9. Диаграмма состояния системы  $\text{SnS}-\text{SnSe}$  [28]

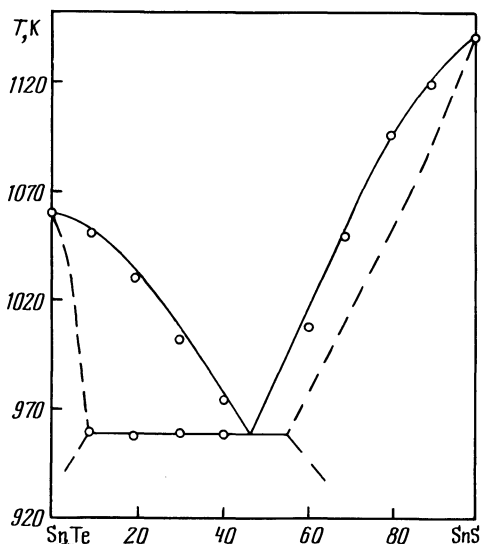


Рис. 6.10. Диаграмма состояния системы  $\text{SnS}-\text{SnTe}$  [30]

Исходные образцы отжигали при 1270 К в течение 8 ч, а затем при 720 К в течение 40 ч [31]. Система исследована методами ДТА и РФА [30,31].

#### Система $\text{SnS}-\text{SnCl}_2$

Диаграмма состояния системы  $\text{SnS}-\text{SnCl}_2$  (рис. 6.II) эвтектического типа [32,33]. Эвтектика содержит 2,8 %  $\text{SnS}$  и кристаллизуется при 413 К [32] (3,2 %  $\text{SnS}$  и 417 К [33]).

В тройной системе  $\text{Sn}-\text{Cl}-\text{S}$  образуется соединение  $\text{Sn}_2\text{Cl}_2\text{S}_3$  [34], не растворимое в воде,  $\text{HCl}$ ,  $\text{H}_2\text{SO}_4$  и толуоле, но разлагающееся под действием  $\text{HNO}_3$  и щелочей. Пикнометрическая плотность его равна 3,48 г/см<sup>3</sup>.

Соединение  $\text{Sn}_2\text{Cl}_2\text{S}_3$  получали сплавлением серы с  $\text{SnCl}_2$  при 310–320 К в течение 8 ч [34]. Система исследована методами ДТА и РФА [32,33].

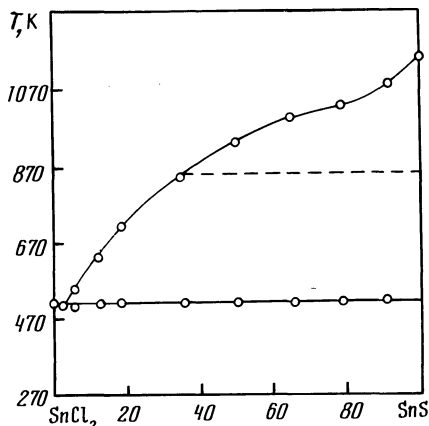


Рис. 6.II. Диаграмма состояния системы  $\text{SnS}-\text{SnCl}_2$  [32,33]

### Система SnS-SnBr<sub>2</sub>

Диаграмма состояния системы SnS-SnBr<sub>2</sub> приведена на рис. 6.12 [33, 35]. Эвтектика содержит 5 % SnS и кристаллизуется при 468 К [35] (4,3 % SnS и 503 К [33]). В системе обнаружено соединение Sn<sub>2</sub>SB<sub>2</sub>, плавящееся инконгруэнтно при 508 К и кристаллизующееся в гексагональной структуре с параметрами элементарной ячейки  $a = 12,239 \text{ \AA}$  и  $c = 4,390 \text{ \AA}$  [35, 36]. Рентгенографическая плотность Sn<sub>2</sub>SB<sub>2</sub> равна 5,01 г/см<sup>3</sup>, а пикнометрическая - 4,88 г/см<sup>3</sup> [36]. Термические эффекты при 863 К связаны с полиморфным превращением SnS.

Согласно [33] в системе существует соединение Sn<sub>9</sub>S<sub>2</sub>Br<sub>14</sub>, плавящееся инконгруэнтно при 523 К, а по данным [37] - соединение Sn<sub>7</sub>Br<sub>10</sub>S<sub>2</sub>, кристаллизующееся в гексагональной структуре с параметрами элементарной ячейки  $a = 12,185 \text{ \AA}$ ,  $c = 4,418 \text{ \AA}$  и рентгенографической плотностью 4,95 г/см<sup>3</sup>.

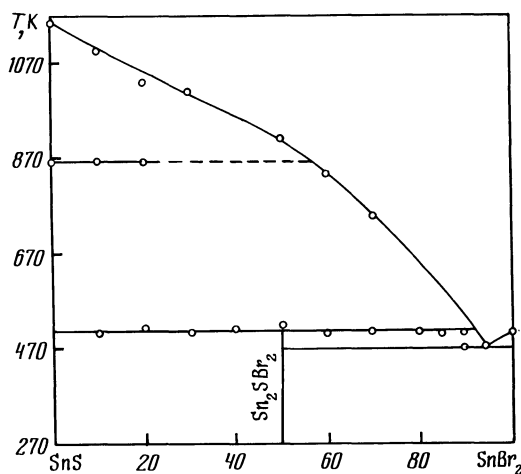


Рис. 6.12. Диаграмма состояния системы SnS-SnBr<sub>2</sub> [35]

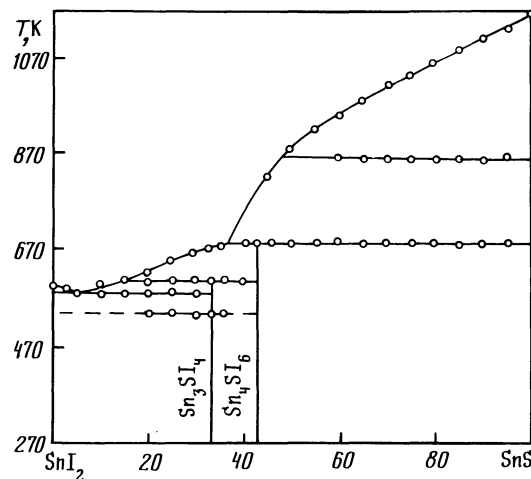
Соединение Sn<sub>2</sub>SB<sub>2</sub> получали прямым взаимодействием исходных бинарных компонентов при 490-500 К в течение трех дней, а его игольчатые моноокристаллы синтезировали методом сублимации [35, 36]. Монокристаллы Sn<sub>7</sub>Br<sub>10</sub>S<sub>2</sub> выращивали методом кристаллизации из расплава в атмосфере азота [37].

Система исследована методами ДТА и РФА [33, 35, 36].

### Система SnS-SnI<sub>2</sub>

Диаграмма состояния системы SnS-SnI<sub>2</sub> представлена на рис. 6.13 [35, 38]. Эвтектика содержит 5 % SnS и кристаллизуется при 583 К [38] (15 % SnS и 571 К [35]). В системе образуются соединения Sn<sub>3</sub>SI<sub>4</sub> и

Р и с. 6.13. Диаграмма состояния системы SnS-SnI<sub>2</sub> [38].



$\text{Sn}_7\text{S}_3\text{I}_8$ , плавящиеся инконгруэнтно соответственно при 603 и 683 К [38]. Соединение  $\text{Sn}_3\text{SI}_4$  имеет полиморфное превращение при 539 К. Термические эффекты при 863 К обусловлены полиморфным превращением SnS.

Согласно [35, 36] в системе образуется соединение  $\text{Sn}_2\text{SI}_2$  плавящееся инконгруэнтно при 687 К и имеющее полиморфное превращение при 598 К. Низкотемпературная модификация  $\alpha\text{-Sn}_2\text{SI}_2$  кристаллизуется в моноклинной структуре с параметрами элементарной ячейки  $a = 14,305 \text{ \AA}$ ,  $b = 17,281 \text{ \AA}$ ,  $c = 4,435 \text{ \AA}$ ,  $\beta = 110^{\circ}28'$ , рентгенографической и пикнометрической плотностью 5,08 и 5,21 г/см<sup>3</sup> соответственно. Высокотемпературная модификация  $\beta\text{-Sn}_2\text{SI}_2$  кристаллизуется в ромбической структуре с параметрами  $a = 17,51 \text{ \AA}$ ,  $b = 25,43$ ,  $c = 4,40 \text{ \AA}$ , рентгенографической и пикнометрической плотностью соответственно 5,32 и 5,325 г/см<sup>3</sup>. По данным [39] в системе синтезировано соединение  $\text{Sn}_4\text{SI}_6$ , кристаллизующееся в моноклинной структуре с параметрами  $a = 14,129 \text{ \AA}$ ,  $b = 4,425 \text{ \AA}$ ,  $c = 25,15 \text{ \AA}$ ,  $\beta = 93,42^{\circ}$ , рентгенографической и пикнометрической плотностью 5,366 и 5,31 г/см<sup>3</sup> соответственно.

В работе [35] при исследовании системы SnS-SnI<sub>2</sub> обнаружены слабые термические эффекты при 615 К в области 60-80 % SnI<sub>2</sub>, которые невозможно объяснить исходя из диаграммы состояния.

Исходные образцы отжигали при 550 К в течение 1300 ч [38]. Соединение  $\text{SnSI}_2$  получали прямым взаимодействием исходных бинарных компонентов при 650-660 К [36], а  $\text{Sn}_4\text{SI}_6$  - отжигом при 550 К стехиометрических количеств SnS и SnI<sub>2</sub> [39]. Монокристаллы  $\alpha\text{-Sn}_2\text{SI}_2$  получали путем отжига при 585 К в течение 13 дней, а  $\beta\text{-Sn}_2\text{SI}_2$  - при 655 К в течение 7 дней с последующим быстрым охлаждением [35, 38]. Система исследована методами ДТА и РФА [35, 38].

### Система SnS-PbS

Диаграмма состояния системы SnS-PbS (рис. 6.14) перитектического типа  $\angle 40 \angle$ . Температура перитектического превращения составляет 1171 К. Растворимость SnS в PbS составляет 10 % при 293 К и 15 % при 973 К ( $\angle 40 \angle$  20 % при 673 К  $\angle 41 \angle$ , 10 % при 993 К  $\angle 42 \angle$ ). Параметр элементарной ячейки твердых растворов на основе PbS уменьшается до 5,887 Å для сплава, насыщенного SnS  $\angle 43 \angle$ . Растворимость PbS в SnS достигает 45 % при перитектической температуре  $\angle 40 \angle$  (25 % при 673 К, 55 % при 913 К  $\angle 42 \angle$ ).

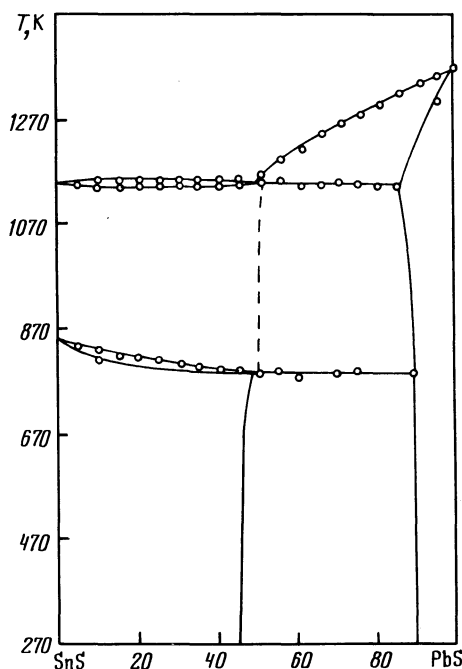


Рис. 6.14. Диаграмма состояния системы SnS-PbS  $\angle 40 \angle$

По данным  $\angle 3, 41, 43 \angle$  в системе образуется соединение  $PbSnS_2$ , имеющее ромбическую решетку, не изоструктурную SnS. При 670 К область гомогенности  $PbSnS_2$  находится в интервале 30–52 % PbS  $\angle 41, 43 \angle$ . При растворении SnS параметры элементарной ячейки  $PbSnS_2$  уменьшаются (предел насыщения не установлен), а при растворении PbS – увеличиваются до значений  $a = 4,048 \text{ \AA}$ ,  $b = 4,354 \text{ \AA}$ ,  $c = 11,352 \text{ \AA}$   $\angle 43 \angle$ .

Согласно  $\angle 32 \angle$  диаграмма состояния системы SnS-PbS принадлежит к типу Ш по классификации Розебома с минимумом при 17 % PbS и IIII К. В интервале 5–50 % PbS на термограммах обнаружены термические эффекты при 701 и 813 К  $\angle 32 \angle$ , которые, по-видимому, соответствуют началу об-

разования  $\gamma$ -фазы (701 К) и окончанию перехода в однофазное состояние со структурой типа NaCl (813 К)  $\lceil 41 \text{ J}$ .

Исходные образцы отжигали при 670 К в течение 100 ч  $\lceil 40 \text{ J}$  (при 920 К в течение 100 ч  $\lceil 41 \text{ J}$ ; при 970 К в течение 24 ч  $\lceil 43 \text{ J}$ ; при 990 К со стороны PbS и при 910 К со стороны SnS в течение 70 ч  $\lceil 42 \text{ J}$ ).

Система исследована методами ДТА, РФА и МСА, а также измерением микротвердости, электропроводности и термоЭДС  $\lceil 32, 40, 41, 43 \text{ J}$ .

#### Система SnS-PbSe

Расторимость SnS в PbSe достигает 67% при 960 К, а растворимость PbSe в SnS составляет 40% при 890 К  $\lceil 42 \text{ J}$ . Исходные образцы отжигали при 890 и 960 К в течение 70 ч и исследовали методом РФА.

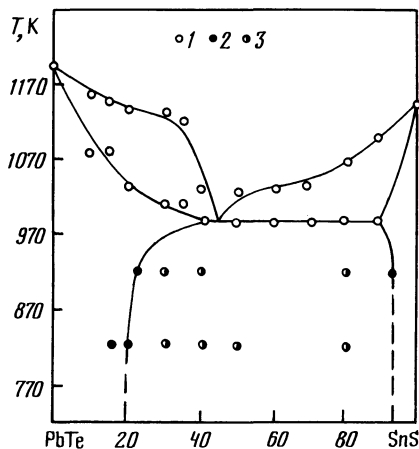
#### Система SnS-PbTe

Диаграмма состояния системы SnS-PbTe (рис. 6.15) эвтектического типа  $\lceil 44 \text{ J}$ . Эвтектика содержит 45 % SnS и кристаллизуется при 987 К. Со стороны PbTe образуются твердые растворы со структурой типа NaCl, а со стороны SnS - с ромбической структурой.

Исходные образцы отжигали при 920, 970 и 1020 К в течение 100-300 ч. Система исследована методами ДТА, РФА и МСА  $\lceil 44 \text{ J}$ .

Рис. 6.15. Диаграмма состояния системы SnS-PbTe  $\lceil 44 \text{ J}$

1 - ДТА, 2 - одно- и 3 - двухфазные образцы



#### Система SnS-PbCl<sub>2</sub>

Диаграмма состояния системы SnS-PbCl<sub>2</sub> эвтектического типа  $\lceil 32 \text{ J}$ . Эвтектика содержит 17,4 % SnS и кристаллизуется при 713 К. Система исследована методом ДТА  $\lceil 32 \text{ J}$ .

#### Система SnS-TiS<sub>2</sub>

В системе SnS-TiS<sub>2</sub> образуются соединения SnTiS<sub>3</sub> (A), SnTi<sub>2</sub>S<sub>5</sub> (B)  $\lceil 45 \text{ J}$  и Sn<sub>1,2</sub>Ti<sub>0,8</sub>S<sub>3</sub> (C)  $\lceil 46 \text{ J}$ , кристаллизующиеся в ромбической струк-

туре с параметрами элементарной ячейки: A -  $a = 23,1 \text{ \AA}$ ,  $b = 5,79 \text{ \AA}$ ,  $c = 23,2 \text{ \AA}$ ; B -  $a = 22,797 \text{ \AA}$ ,  $b = 5,810 \text{ \AA}$ ,  $c = 35,13 \text{ \AA}$ ; C -  $a = 8,899 \text{ \AA}$ ,  $b = 3,605 \text{ \AA}$ ,  $c = 13,506 \text{ \AA}$ .

Соединения A, B и C получали нагреванием соответствующих смесей элементарных компонентов при  $1170 \text{ K}$  в течение 15 дней с последующим отжигом при  $570 \text{ K}$  (A, B) [45] или при  $1020\text{-}1070 \text{ K}$  (C) [46].

#### Система SnS-P

В тройной системе Sn-P-S существует, по крайней мере, три соединения двухвалентного олова [47], одно из которых -  $\text{Sn}_2\text{P}_2\text{S}_6$  - синтезировано [48-53]. Соединение  $\text{Sn}_2\text{P}_2\text{S}_6$  кристаллизуется в моноклинной структуре с параметрами элементарной ячейки и плотностью, приведенными в табл. 6.2.

Т а б л и ц а 6.2

Параметры элементарной ячейки и плотность  $\text{Sn}_2\text{P}_2\text{S}_6$

a, Å	b, Å	c, Å	$\beta, {}^\circ$	Плотность $\delta, \text{г}/\text{см}^3$		Литера- тура
				рентген.	пикном.	
6,33	7,60	11,42	124,8	-	-	[48]
6,315	7,488	9,378	91,15	3,57	3,54	[50]
5,99	6,80	10,36	107,1	4,05	4,00	[51]
6,43	7,47	11,03	122,2	3,64	3,32	[51,53]
6,529	7,485	11,313	124,11	3,57	3,56	[52]

Согласно [51]  $\text{Sn}_2\text{P}_2\text{S}_6$  существует в виде трех полиморфных модификаций: ромбоэдрической с параметрами элементарной ячейки в гексагональной установке  $a = 5,98 \text{ \AA}$ ,  $c = 19,32 \text{ \AA}$ , рентгенографической плотностью  $4,09 \text{ г}/\text{см}^3$  и пикнометрической -  $4,01 \text{ г}/\text{см}^3$  и двух моноклинных (табл. 6.2). Ширина запрещенной зоны  $\text{Sn}_2\text{P}_2\text{S}_6$  составляет  $2,3 \text{ эВ}$  [49]. При  $943 \text{ K}$   $\text{Sn}_2\text{P}_2\text{S}_6$  разлагается на сульфиды олова и фосфора [53].

Соединение  $\text{Sn}_2\text{P}_2\text{S}_6$  химически устойчиво, растворимо только в концентрированной  $\text{HNO}_3$ , царской водке, концентрированных или расплавленных щелочах [51]. Монокристаллы  $\text{Sn}_2\text{P}_2\text{S}_6$  получали методом XTP, [49,51-53]. Система исследована методом РФА и ядерного гамма-резонанса [47,48,50, 52].

#### Система SnS-As<sub>2</sub>S<sub>3</sub>

В системе SnS-As<sub>2</sub>S<sub>3</sub> образуется соединение  $\text{SnAs}_2\text{S}_4$ , кристаллизующееся в тетрагональной структуре с параметрами элементарной ячейки  $a = 4,374 \text{ \AA}$  и  $c = 3,199 \text{ \AA}$  [54]. Соединение  $\text{SnAs}_2\text{S}_4$  синтезировали путем нагревания смеси элементарных веществ в стехиометрическом соотношении при  $1070 \text{ K}$  в течение 18 ч.

### Система SnS-Sb

Диаграмма состояния системы SnS-Sb (рис. 6.16) эвтектического типа [55]. Эвтектика содержит 4 % SnS и кристаллизуется при 888 К. При 848 К наблюдается полиморфное превращение твердых растворов на основе SnS. Область твердых растворов на основе SnS достигает 2 %.

Исходные образцы отжигали при 620 К в течение 200 ч. Система исследована методами ДТА, РФА, МСА и измерением микротвердости [55].

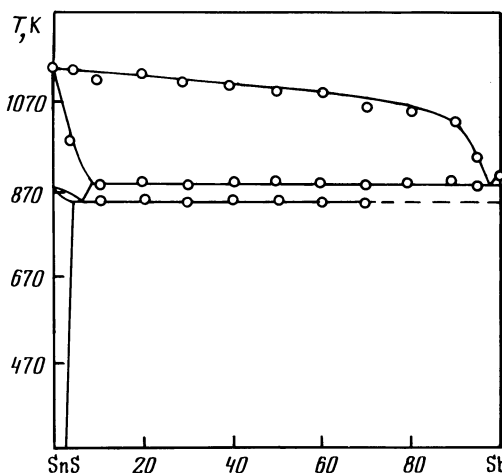


Рис. 6.16. Диаграмма состояния системы SnS-Sb [55]

### Система SnS-Sb<sub>2</sub>S<sub>3</sub>

Диаграмма состояния системы SnS-Sb<sub>2</sub>S<sub>3</sub> представлена на рис. 6.17 [56]. Эвтектики между компонентами и тройными соединениями содержат 38 и 42 % SnS и кристаллизуются соответственно при 743 и 745 К. В системе образуются соединения Sn<sub>2</sub>Sb<sub>6</sub>S<sub>11</sub>, плавающееся конгруэнтно при 750 К, и Sn<sub>2</sub>Sb<sub>2</sub>S<sub>5</sub>, плавающееся инконгруэнтно при 759 К. Согласно [57] соединение Sn<sub>2</sub>Sb<sub>6</sub>S<sub>11</sub> в системе не обнаружено. При увеличении содержания Sb<sub>2</sub>S<sub>3</sub> температура полиморфного превращения SnS понижается до 788 К. Растворимость Sb<sub>2</sub>S<sub>3</sub> в SnS при 670 К достигает 7 %, а растворимость SnS в Sb<sub>2</sub>S<sub>3</sub> незначительна [56].

Согласно [57, 59] в системе образуются твердые растворы общей формулы (Sn, Sb)<sub>3</sub>S<sub>4</sub> с соотношением Sn-Sb от 5:2 до 3:2. Температура плавления указанных растворов составляет 887 К и кристаллизуются они в кубической структуре с параметром элементарной ячейки  $a = 11,4481 \text{ \AA}$  и пикнометрической плотностью 4,78 г/см<sup>3</sup>.

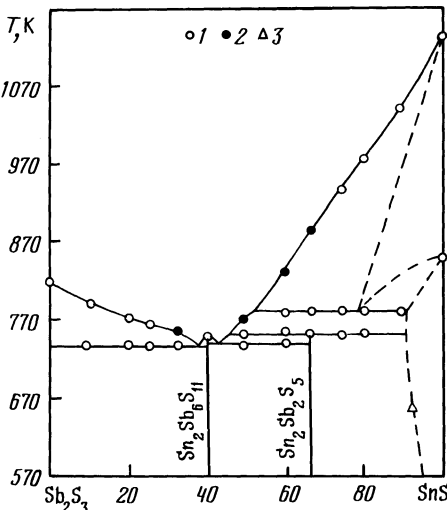
В работах [57-64] проведено кристаллографическое исследование сплавов системы SnS-Sb<sub>2</sub>S<sub>3</sub>. Согласно этим данным в системе SnS-Sb<sub>2</sub>S<sub>3</sub> образу-

Т а б л и ц а 6.3

Свойства тройных соединений системы  $\text{SnS}-\text{Sb}_2\text{S}_3$ 

Соединение	Структура	$a, \text{\AA}$	$b, \text{\AA}$	$c, \text{\AA}$	$\theta$	Плотность, д г/ $\text{см}^3$		Литера- тур
						рентген.	пикном.	
$\text{SnSb}_2\text{S}_4$	Ромбич.	25,641	3,8973	20,381	-	4,80	-	- / 58 /
	Монокл.	20,70	3,90	22,46	96 <sup>0</sup> 10 <sup>1</sup>	-	4,57	774 / 57 /
	Монокл.	20,711	3,9034	22,276	96 <sup>0</sup> 11, I <sup>1</sup>	-	-	/ 59 /
$\text{Sn}_2\text{Sb}_2\text{S}_5$	Ромбич.	19,59	3,938	II,426	-	-	-	- / 60 /
	Ромбич.	19,595	3,9409	II,420	-	-	-	- / 59 /
	Ромбич.	19,66	3,96	II,42	-	-	-	789 / 57 /
$\text{Sn}_3\text{Sb}_2\text{S}_6$	Ромбич.	23,18	3,965	34,94	-	4,91	-	- / 61 /
	Ромбич.	23,13	3,96	35,01	-	-	4,85	801 / 57 /
	Ромбич.	23,154	3,9587	34,882	-	-	-	/ 59 /
$\text{Sn}_4\text{Sb}_6\text{S}_{13}$	Монокл.	24,31	3,915	23,49	94,05 <sup>0</sup>	4,82	-	- / 63 /
$\text{Sn}_6\text{Sb}_{10}\text{S}_{21}$	Монокл.	44,995	3,9023	20,613	96,21 <sup>0</sup>	4,80	-	- / 64 /

6.17. Диаграмма состояния системы  
 $\text{SnS}-\text{Sb}_2\text{S}_3$  [56].  
 I - нагревание, 2 -  
 охлаждение, 3 - РФА



ются также соединения  $\text{SnSb}_2\text{S}_4$  [57-59],  $\text{Sn}_3\text{Sb}_2\text{S}_6$  [57, 59, 61],  $\text{Sn}_4\text{Sb}_2\text{S}_7$  [62],  $\text{Sn}_4\text{Sb}_6\text{S}_{13}$  [63] и  $\text{Sn}_6\text{Sb}_{10}\text{S}_{21}$  [64] (табл. 6.3), которые не отражены на диаграмме состояния [56].

При 780 К в тройной системе Sn-Sb-S существует 10 трефазных областей, образованных фазами  $\text{SnS}_2$ ,  $\text{Sb}_2\text{S}_3$ ,  $\text{Sb}_2\text{S}_3$ ,  $\text{Sn}_4\text{Sb}_2\text{S}_7$ ,  $\text{SnSb}_2\text{S}_4$ , твердыми растворами на основе  $\text{SnS}$ , жидкой серой, металлическим расплавом на основе  $\text{Sn}$ , твердым раствором на основе  $\text{Sb}$  и расплавом внутри концентрационного треугольника [62].

Соединение  $\text{SnSb}_2\text{S}_4$  синтезировали из элементарных компонентов при 1070 К в течение 15 ч, а затем отжигали при 640 К в течение 400 ч [58]. При синтезе  $\text{Sn}_6\text{Sb}_{10}\text{S}_{21}$  из элементарных компонентов при 760 К в течение 120 ч установлено, что если взять элементы в расчете на получение соединения  $\text{SnSb}_2\text{S}_4$ , остается небольшое количество  $\text{Sb}_2\text{S}_3$ , что говорит в пользу образования именно соединения  $\text{Sn}_6\text{Sb}_{10}\text{S}_{21}$  [64]. Соединение  $\text{Sn}_2\text{Sb}_2\text{S}_5$  синтезировали взаимодействием  $\text{SnS}$  и  $\text{Sb}_2\text{S}_3$  при 768 К [60], а  $\text{Sn}_3\text{Sb}_2\text{S}_6$  получали сплавлением  $\text{SnS}$  и  $\text{Sb}_2\text{S}_3$  при 1120 К в течение 4 ч, а затем отжигали при 760 К в течение трех дней [61]. Соединение  $\text{Sn}_4\text{Sb}_6\text{S}_{13}$  получали методом XTP [63].

Исходные образцы отжигали при 670 К в течение 500 ч [56]. Система исследована методами ДТА, РФА и МСА, а также измерением микротвердости [56, 62].

#### Система $\text{SnS}-\text{Sb}_2\text{Se}_3$

Система  $\text{SnS}-\text{Sb}_2\text{Se}_3$  является неквазибинарным сечением тройной взаимной системы  $\text{Sn}, \text{Sb} \parallel \text{S}, \text{Se}$  [65]. Из расплава первично кристаллизуются твердые растворы  $\text{Sb}_2(\text{S}_x\text{Se}_{1-x})_3$ ,  $\text{Sn}_2\text{Sb}_6(\text{S}_x\text{Se}_{1-x})$  и  $\text{SnS}_x\text{Se}_{1-x}$ . Последние претерпевают полиморфное превращение в интервале 780-810 К и содержат

до 9 %  $Sb_2Se_3$ . Твердые растворы  $Sb_2(S_xSe_{1-x})_3$  содержат незначительное количество  $SnS$ . Исходные образцы отжигали при 670 К в течение 500 ч. Система исследована методами ДТА, РФА и МСА, а также измерением микротвердости [65].

#### Система $SnS-SbI_3$

В системе  $SnS-SbI_3$  образуется соединение  $Sn_2SbS_2I_3$  [66-68], кристаллизующееся в ромбической структуре с параметрами элементарной ячейки  $a = 4,725 \text{ \AA}$ ,  $b = 14,059 \text{ \AA}$ ,  $c = 16,465 \text{ \AA}$ , рентгенографической плотностью  $5,44 \text{ г}/\text{см}^3$  [66], плавящееся конгруэнтно при 673 К [67] и имеющее ширину запрещенной зоны 1,65 эВ [67] (1,77 эВ [68]).

Соединение  $Sn_2SbS_2I_3$  получали путем взаимодействия исходных бинарных компонентов при 920 К в течение пяти дней [66], а его монокристаллы выращивали перекристаллизацией через газовую фазу [67], или методом XTP [66,68].

#### Система $SnS-Bi$

Диаграмма состояния системы  $SnS-Bi$  (рис. 6.18) эвтектического типа [69]. Эвтектика вырождена со стороны  $Bi$  и кристаллизуется при 543 К. Растворимость  $Bi$  в  $SnS$  при комнатной температуре составляет 3 % [69], 70 % [69], а при 838 К - 5 % [69]. При добавлении  $Bi$  к  $SnS$  полиморфное превращение последнего проявляет эвтектоидный характер [70]. Замещение олова висмутом в кристаллической решетке  $SnS$  ведет к уменьшению ширины запрещенной зоны.

Поверхность ликвидуса тройной системы  $Sn-Bi-S$  построена в работе [71]. В указанной системе имеется 6 эвтектических и два перитектических нонвариантных равновесия:  $E_1$  - 393 К,  $E_2$  - 823 К,  $E_3$  - 933 К,  $E_4$  - 392 К,  $E_5$  - 544 К,  $E_6$  - 544 К,  $P_1$  - 933 К и  $P_2$  - 973 К.

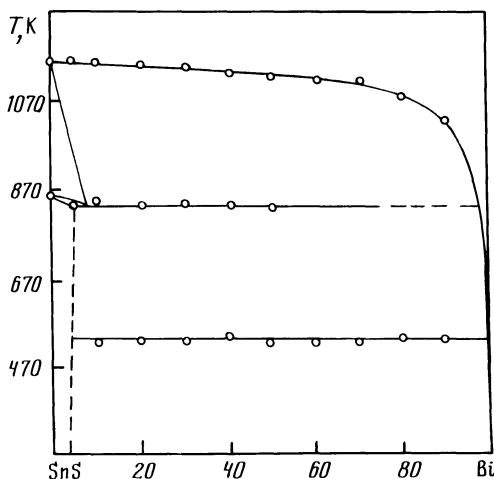


Рис. 6.18. Диаграмма состояния системы  $SnS-Bi$  [69]

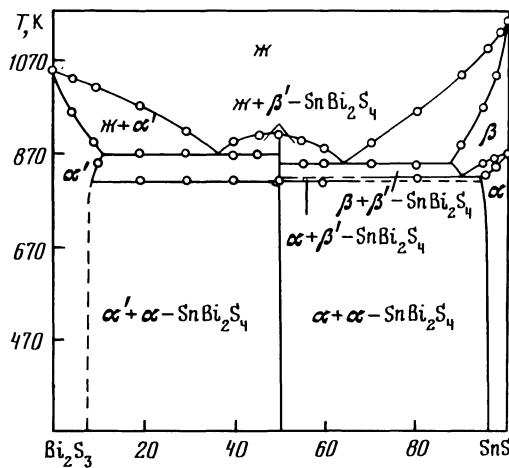
Исходные образцы отжигали при 470 К в течение 300 ч [69] при 770 К в течение 500 ч [70]. Система исследована методами ДТА, РФА, МСА, а также измерением плотности и микротвердости [69, 70].

### Система SnS-Bi<sub>2</sub>S<sub>3</sub>

Согласно [72] диаграмма состояния системы SnS-Bi<sub>2</sub>S<sub>3</sub> перитектического типа с образованием твердых растворов с минимумом при 45 % SnS и 802 К. При 870 К твердый раствор на основе Bi<sub>2</sub>S<sub>3</sub> перитектически распадается на твердый раствор на основе высокотемпературной модификации SnS и расплав. Увеличение содержания Bi<sub>2</sub>S<sub>3</sub> приводит к снижению температуры полиморфного превращения твердых растворов на основе SnS от 860 до 830 К.

Более поздние исследования показали, что диаграмма состояния системы SnS-Bi<sub>2</sub>S<sub>3</sub> имеет вид, представленный на рис. 6.19 [73]. В системе образуется соединение SnBi<sub>2</sub>S<sub>4</sub>, которое плавится конгруэнтно при 918 К и кристаллизуется в гексагональной структуре с параметрами элементарной ячейки  $a = 13,5 \text{ \AA}$  и  $c = 4,0 \text{ \AA}$ . Ширина запрещенной зоны SnBi<sub>2</sub>S<sub>4</sub> составляет 0,54 эВ.

Рис. 6.19. Диаграмма состояния системы SnS-Bi<sub>2</sub>S<sub>3</sub> [73]



Эвтектики между компонентами и тройным соединением содержат 37 и 64 % SnS и кристаллизуются соответственно при 873 и 848 К. Растворимость Bi<sub>2</sub>S<sub>3</sub> в SnS не превышает 5 % [70, 73] (10 % при 770–870 К и уменьшается до 5 % при 670 К [72]), а растворимость SnS в Bi<sub>2</sub>S<sub>3</sub> достигает 9 % [73] (20 % при 670 К [72]).

Монокристаллы SnBi<sub>2</sub>S<sub>4</sub> выращивали методом ХТР (носитель — иод) [73]. Исходные образцы отжигали при 670 К в течение 300 ч [73] (550 ч [72]) или при 770 К в течение 500 ч [70]. Система исследована методами ДТА, РФА, МСА, а также измерением плотности, микротвердости, электропроводности и термоЭДС [70, 72, 73].

### Система SnS-NbS<sub>2</sub>

В системе SnS-NbS<sub>2</sub> обнаружены соединения SnNbS<sub>3</sub>, кристаллизующееся в ромбической структуре с параметрами элементарных ячеек  $a = 22,851 \text{ \AA}$ ,  $b = 5,757 \text{ \AA}$ ,  $c = 11,783 \text{ \AA} / 45^\circ$ , и Sn<sub>1,18</sub>NbS<sub>3,18</sub>, кристаллизующееся в моноклинной структуре с параметрами  $a = 4,039 \text{ \AA}$ ,  $b = 4,039 \text{ \AA}$ ,  $c = 11,758 \text{ \AA}$ ,  $\beta = 90,78^\circ / 74^\circ$ . В случае последнего соединения сверхструктурный параметр  $a$  может принимать значения  $7 \cdot 5,673 = 39,711 \text{ \AA}$  или  $12 \cdot 3,3212 = 39,854 \text{ \AA}$ .

В тройной системе Sn-Nb-S синтезированы соединения внедрения Sn<sub>1/3</sub>NbS<sub>2</sub> и SnNbS<sub>2</sub>, кристаллизующиеся в гексагональной структуре с параметрами элементарной ячейки  $a = 5,473 \text{ \AA}$ ,  $c = 14,68 \text{ \AA}$  и  $a = 3,324 \text{ \AA}$ ,  $c = 17,37 \text{ \AA} / 75^\circ$ .

Соединение SnNbS<sub>3</sub> получали нагреванием смеси элементарных компонентов при 1170 К в течение 15 дней с последующим отжигом при 570 К / 45 °, а Sn<sub>1,18</sub>NbS<sub>3,18</sub> - методом XTP (носитель - хлор) / 74 °.

### Система SnS-Ta

В тройной системе Sn-Ta-S образуются соединения внедрения Sn<sub>1/3</sub>TaS<sub>2</sub> и SnTaS<sub>2</sub>, кристаллизующиеся в гексагональной структуре с параметрами элементарной ячейки  $a = 5,698 \text{ \AA}$ ,  $c = 14,35 \text{ \AA}$  и  $a = 3,307 \text{ \AA}$ ,  $c = 17,442 \text{ \AA} / 75^\circ$ . Соединение состава Sn<sub>2</sub>TaS<sub>4</sub> не обнаружено / 54 /.

### Система SnS-O<sub>2</sub>

В тройной системе Sn-O-S образуется соединение SnOS имеющее пикноМетрическую плотность 5,31 г/см<sup>3</sup> / 34 /. Указанное соединение устойчиво к действию воды, полисульфида аммония и неполярных растворителей, взаимодействует с кислотами, щелочами, аммиаком и Na<sub>2</sub>S. Соединение SnOS получали взаимодействием SnO и S при 550 К / 34 /.

### Система SnS-Mo

В тройной системе Sn-Mo-S при 1070 К существуют твердые фазы SnS, SnS<sub>2</sub>, Mo, Mo<sub>2</sub>S<sub>3</sub>, SnMo<sub>5</sub>S<sub>6</sub> и две жидкости со стороны Sn и Sn<sub>2</sub>S<sub>3</sub> / 76 /. Соединение SnMo<sub>5</sub>S<sub>6</sub> кристаллизуется в гексагональной структуре с параметрами элементарной ячейки  $a = 9,19 \text{ \AA}$ ,  $c = 11,34 \text{ \AA}$ . При 770 К фазы SnMo<sub>5</sub>S<sub>6</sub> и Mo<sub>2</sub>S<sub>3</sub> исчезают и сульфиды олова SnS, SnS<sub>2</sub> и Sn<sub>2</sub>S<sub>3</sub> существуют с молибденом.

Согласно / 77 / в тройной системе Sn-Mo-S образуются соединения Sn<sub>x</sub>Mo<sub>15</sub>S<sub>19</sub>, кристаллизующиеся в гексагональной структуре с параметрами элементарной ячейки при  $x = 2,05; 2,20$  и  $2,53$  соответственно  $a = 9,328; 9,336; 9,331 \text{ \AA}$  и  $c = 18,678; 18,698; 18,728 \text{ \AA}$ . Отжиг при 1020 К превращает Sn<sub>x</sub>Mo<sub>15</sub>S<sub>19</sub> в фазу Шевреля Sn<sub>x</sub>Mo<sub>6</sub>S<sub>8</sub>.

Соединения Sn<sub>x</sub>Mo<sub>15</sub>S<sub>19</sub> получали отжигом смесей Mo<sub>15</sub>S<sub>19</sub> и Sn при 670-820 К в течение нескольких дней / 77 /. Исходные образцы отжигали при 770 и 1070 К в течение 15-60 дней и исследовали методами РФА и МСА / 76 /.

### Система SnS-W

В тройной системе Sn-W-S при 1070 К существуют твердые фазы  $\text{SnS}$ ,  $\text{SnS}_2$ ,  $\text{WS}_2$ , W и две жидкости со стороны Sn и  $\text{Sn}_2\text{S}_3$  [76]. При 770 К жидкые фазы исчезают, а  $\text{WS}_2$  находится в равновесии со всеми сульфидами олова.

Исходные образцы отжигали при 770 и 1070 К в течение 15-60 дней и исследовали методами РФА и МСА [76].

### Система SnS-Br<sub>2</sub>

Взаимодействие SnS с Br<sub>2</sub> жидкость происходит с выделением большого количества тепла с образованием  $\text{SnBr}_4$  и  $\text{S}_2\text{Br}_2$  [78]. Спиртовый раствор Br<sub>2</sub> также вызывает бурную реакцию с SnS. Бромирование жидким Br<sub>2</sub> проводили при 273 и 293 К.

### Система SnS-I<sub>2</sub>

При нагревании смеси SnS и I<sub>2</sub> в соотношении 1:1 до 323 К в вакууме образуется  $\text{SnI}_4$  и частично  $\text{SnS}_2$  [78]. Образование  $\text{SnS}_2$  происходит, по-видимому, через промежуточное соединение типа  $\text{SnSI}_2$ , которое, распадаясь, дает  $\text{SnI}_4$  и  $\text{SnS}_2$ . Сульфид олова с I<sub>2</sub> в спиртовом растворе не взаимодействует.

### Система SnS-FeS

Диаграмма состояния системы SnS-FeS (рис. 6.20) эвтектического типа [3, 79]. Эвтектика содержит 22,2 % (15 мас.%) FeS и кристаллизуется при 1058 К [79]. Термические эффекты при 868 К связаны с полиморфным превращением SnS, а природа термических эффектов при 983 К не установлена. Согласно [80] в системе образуется соединение  $\text{SnFe}_4\text{S}_5$ , плавящееся инконгруэнтно при 1068 К.

Поверхность ликвидуса системы SnS + Fe  $\rightleftharpoons$  Sn+FeS, являющейся частью тройной системы Sn-Fe-S, характеризуется тремя полями первичной кристаллизации SnS, FeS и Fe [79]. Относительное расположение этих полей показывает, что более устойчивой парой в указанной системе является пара FeS+Sn. На поверхности ликвидуса имеется большая область расслаивания, занимающая почти все поле первичной кристаллизации SnS и большую часть поля FeS.

Исходные образцы получали спеканием под слоем угля [80]. Система исследована методами ДТА и МСА [79, 80].

### Система SnS-Co

В тройной системе Sn-Co-S образуется соединение  $\text{Co}_3\text{Sn}_2\text{S}_2$  [81, 82], кристаллизующееся в гексагональной структуре с параметрами элементарной ячейки  $a = 5,371 \text{ \AA}$  и  $c = 13,183 \text{ \AA}$  [81]. Соединения  $\text{Co}_2\text{SnS}_4$  и  $\text{CoSn}_2\text{S}_4$  не обнаружены [54]. Соединение  $\text{Co}_3\text{Sn}_2\text{S}_2$  получали сплавлением элементарных компонентов, взаимодействием  $\text{Co}_3\text{S}_2$  и Sn, а также Co и SnS [82].

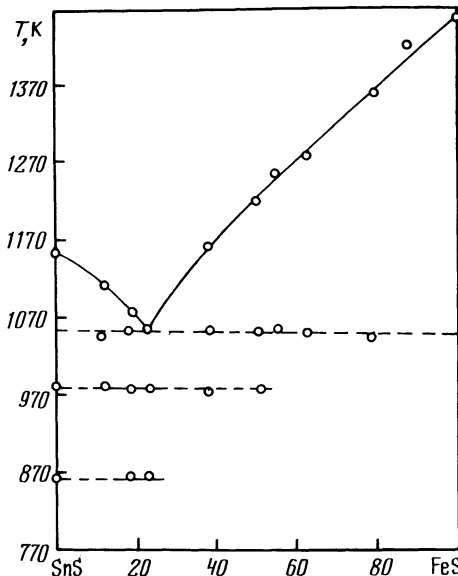


Рис. 6.20. Диаграмма состояния системы SnS-FeS  
[79]

#### Система SnS-Ni

В тройной системе Sn-Ni-S образуется соединение  $\text{Ni}_3\text{Sn}_2\text{S}_2$  [81-83], кристаллизующееся в гексагональной структуре с параметрами элементарной ячейки  $a = 5,460 \text{ \AA}$  и  $c = 13,188 \text{ \AA}$  [81] (в моноклинной структуре с параметрами  $a = 9,331 \text{ \AA}$ ,  $b = 5,403 \text{ \AA}$ ,  $c = 5,458 \text{ \AA}$ ,  $\beta = 124,55^\circ$  [83]). Соединения состава  $\text{Ni}_2\text{SnS}_4$  и  $\text{NiSn}_2\text{S}_4$  не обнаружены [54].

Соединение  $\text{Ni}_3\text{Sn}_2\text{S}_2$  получали сплавлением элементарных компонентов, взаимодействием Ni и SnS [82], а также  $\text{Ni}_2\text{S}_3$  и Sn [82,83].

#### Системы SnS-Rh(Pd)

Путем сплавления элементарных компонентов, взаимодействия Rh(Pd) и Sn, а также  $\text{Rh}_3\text{S}_2(\text{Pd}_3\text{S}_2)$  и Sn в системах синтезированы соединения  $\text{Rh}_3\text{Sn}_2\text{S}_2(\text{Pd}_3\text{Sn}_2\text{S}_2)$ , кристаллизующиеся в структурном типе шандита  $\text{Ni}_3\text{Pb}_2\text{S}_2$  [82].

#### Литература

1. Khanaffer M., Rivet J., Flahaut J. // Bull. Soc. chim. France. 1974. N 12, Pt. 1. P. 2670-2676.
2. Ворошилов Ю.В., Поторий М.В., Приц И.Б. // Изв. вузов. Химия и хим. технология. 1986. Т. 29, № 2. С. 19-21.
3. Справочник металлурга по цветным металлам / Под ред. Н.Н.Мурача. М.: Металлургиздат, 1947. Т. 2. 784 с.
4. Hervieu M., Perez G., Hagenmuller P. // Bull.Soc.chim.France. 1967. N 6. P.2189-2194.
5. Del Buccia S.E., Jumas J.C., Maurin M. // Acta crystallogr. 1980. Vol. B36, N 12. P. 2935-2940.

6. Чернышев А.И., Бабанский М.Д. // Реакционная способность веществ. Томск: Томск. ун-т. 1977. С. 34-37.
7. Алиева Ш.Б., Мовсум-заде А.А., Аллазов М.Р. // Журн. неорган. химии. 1983. Т. 28, № 7. С. I788-I789.
8. Заргарова М.И., Алиева Ш.Б., Аллазов М.Р. и др. // Журн. неорган. химии. 1985. Т. 30, № 5. С. I279-I284.
9. Галиулин Э.А., Один И.Н., Новоселова А.В. // Журн. неорган. химии. 1981. Т. 26, № 7. С. I881-I883.
10. Kobayashi T., Susa K., Taniguchi S. // J. Phys. Chem. Solids. 1979. Vol. 40, N 10. P. 781-785.
11. Мотря С.Ф., Серад Е.Е., Ворошилов Ю.В., Яцкович И.И. // Журн. неорган. химии. 1988. Т. 33, № 8. С. 2103-2105.
12. Thévet F., Dagron C., Flahaut J. // C.r. Acad. sci. 1981. Ser. 2. Vol. 293, N 4. P. 275-277.
13. Mazurier A., Thévet F., Jaulmes S. // Acta crystallogr. 1983. Vol. C39, N 7. P. 814-816.
14. Adenis C., Olivier-Fourcade J. // Calorim. anal. therm. Vol. 16. Journées JCAT. Montpellier. Mai 20-22, 1985. P. 317-321.
15. Adenis C., Olivier-Fourcade J., Jumas J.-C., Philippot E. // J. Solid State Chem. 1986. Vol. 65, N 2. P. 251-259.
16. Likforman A., Jaulmes S., Guittard M. // Acta crystallogr. 1988. Vol. C44, N 8. P. 1339-1342.
17. Likforman A., Guittard M., Jaulmes S., Laruelle P. // C.r. Acad. sci. 1988. Sér. 2. Vol. 307, N 1. P. 23-25.
18. Likforman A., Jaulmes S., Guittard M. // Acta crystallogr. 1988. Vol. C44, N 3. P. 424-427,
19. Likforman A., Guittard M., Jaulmes S. // Acta crystallogr. 1984. Vol. C40, N 6. P. 917-919.
20. Adenis C., Olivier-Fourcade J., Jumas J.-C., Philippot E. // Eur. J. Solid state and Inorg. Chem. 1988. Vol. 25, N 4. P. 413-423.
21. Готук Али Аларик, Бабанлы М.Б., Кулиев А.А. // Изв. АН СССР. Неорган. материалы. 1979. Т. 15, № 3. С. 530-531.
22. Бабанлы М.Б., Готук Али Аларик, Кулиев А.А. // 8-я Всесоюз. конф. по колориметрии и химической термодинамике. Тез. докл. Иваново, 1979. С. 342.
23. Del Buccighi S., Jumas J.C., Philippot E., Maurin M. // Z. anorg. und allg. Chem. 1982. Bd. 487, N 4. S. 199-206.
24. Сенова Р.Н., // Рукопись деп. в ОНИИТЭХИМ г. Черкассы. № 3I86/79 Деп.
25. Feltz A., Ludwig W., Seiss R. // Krist. und Techn. 1978. Bd. 13, N 4. S. 405-408.
26. Fenner J., Mootz D. // Naturwissenschaften. 1974. Bd. 61, N 3. S. 127.
27. Alpen U.V., Gmelin E., Rabenau A. // J. Phys. (France). 1975. Vol. 36, N 9. Suppl. P. 82.
28. Карабаханова М.И., Тамм М.Е., Новоселова А.В. // Изв. АН СССР. Неорган. материалы. 1976. Т. I2, № 5. С. 942-944.
29. Albers W., Haas C., Ober H. // J. Phys. Chem. Solids. 1962. Vol. 23, N 3. P. 215-220.
30. Насиров Я.Н., Фейзиев Я.С. // Изв. АН СССР. Неорган. материалы. 1969. Т. 5, № 2. С. 380-382.
31. Васильев Л.Н., Крыльников Ю.В., Мелех Б.Т. и др. // Изв. АН СССР. Неорган. материалы. 1976. Т. I2, № 1. С. II9-II20.
32. Морозов И.С., Ли Чи-фа // Журн. неорган. химии. 1963. Т. 9, № 7. С. I688-I692.
33. Blachnik R., Kasper F.-W. // Z. Naturforsch. 1974. Bd. B29, N 3/4. S. 159-162.

34. Бацанов С.С., Шестакова Н.А. // Изв. АН СССР. Неорган. материалы. 1966. Т. 2, № I. С. 110-116.
35. Thévet F., Nguyen Huy Dung, Dagron C. // C.r. Acad. sci. 1973. Vol. C276, N 26. P. 1787-1790.
36. Thévet F., Nguyen Huy Dung, Dagron C. // C.r. Acad. sci. 1972. Vol. C275, N 21. P. 1279-1281.
37. Valle G., Donaldson J.D., Grimes S.M. et al. // Inorg. Chim. Acta. 1984. Vol.83, N 1. P. 41-45.
38. Новоселова А.В., Тодрия М.К., Один И.Н., Поповкин Б.А. // Изв. АН СССР. Неорган. материалы. 1971. Т. 7, № 3. С. 500-501.
39. Fenner J. // Z. Naturforsch. 1978. Bd. B33, N 5. S. 479-481.
40. Латыпов З.М., Файзуллина Н.Р., Савельев В.П., Давлетшин Р.Ю. // Изв. АН СССР. Неорган. материалы. 1976. Т. 12, № 2. С. 206-209.
41. Бигвара А.Д., Кунчулля Э.Д., Моисеенко С.С., Анисимов Б.Б. // Изв. АН СССР. Неорган. материалы. 1974. Т. 10, № 2. С. 359-360.
42. Krebs H., Langner D. // Z. anorg. und allg Chem. 1964. Bd. 334, N 1/2. S. 37-49.
43. Кузнецов В.Г., Ли Чи-фа // Журн. неорган. химии. 1964. Т. 9, № 5. С. 1201-1206.
44. Матяс Э.Е. // Изв. АН СССР. Неорган. материалы. 1985. Т. 21, № 1. С. 144-145.
45. Guemas L., Rabu P., Meerschaut A., Rouxel J. // Mater. Res. Bull. 1988. Vol 23, N 7. P. 1061-1069.
46. Gressier P., Meerschaut A., Rouxel J. // Mater. Res. Bull. 1987. Vol. 22, N 11. P. 1573-1580.
47. Серегин П.П., Васильев Л.Н., Пронкин А.А. // Изв. АН СССР. Неорган. материалы. 1972. Т. 8, № 2. С. 376-377.
48. Высочанский Ю.М., Сливка В.Ю., Ворошилов Ю.В. и др. // ФТТ. 1979. Т. 1979. Т. 21, № 1. С. 211-215.
49. Гурзан М.И., Бутурлакин А.П., Герасименко В.С. и др. // ФТТ. 1977. № 10. С. 3068-3070.
50. Dittmar G., Schäfer H. // Z. Naturforsch. 1974. Bd.B29. N 5/6. S. 312-317.
51. Klingen W., Ott R., Hahn H. // Z. anorg. und allg. Chem. 1973. Bd. 396, N 3. S. 271-278.
52. Carpentier C.D., Nitsche R. // Mater. Res. Bull. 1974. Vol. 9, N 4. P. 401-410.
53. Nitsche R., Wild P. // Mater. Res. Bull. 1970. Vol. 5, N 6. P.419-424.
54. Bok L.D.C., Boeyens J.C.A. // J.South African chem. Inst. 1957. Vol. 10, N 2. P. 49-53.
55. Курбанова Р.Д., Мовсум-заде А.А., Аллазов М.Р. // Изв. АН СССР. Неорган. материалы. 1987. Т. 23, № II. С. 1796-1798.
56. Новоселова А.В., Господинов Г.Г., Один И.Н., Поповкин Б.А. // Изв. АН СССР. Неорган. материалы. 1972. Т. 8, № 1. С. 173-174.
57. Wang N., Eppelsheimer D. // Chem. Erde. 1976. Vol. 35, N 2. P. 179-184.
58. Smith P.P.K., Parise J.B. // Acta crystallogr. 1985. Vol. B41. P. 84-87.
59. Eppelsheimer D. // Ztschr. Kristallogr. 1981. Bd. 156, N 1/2. S. 36-37.
60. Smith P.P.K., Hyde B.G. // Acta crystallogr. 1983. Vol. C39, N 11. P.1498-1502.
61. Smith P.P.K. // Acta crystallogr. 1984. Vol. C40, N 4. P.581-584.
62. Eppelsheimer D. // Neues Jahrb. Mineral. Monatsh. 1974. N 11. S. 526-529.
63. Jumas C., Olivier-Fourcade J., Philippot E., Maurin M. // Acta crystallogr. 1980. Vol. B36, N 12. P. 2904-2945.
64. Parise J.B., Smith P.P.K. // Acta crystallogr. 1984. Vol. V40, N 11. P.1172-1776.

65. Господинов Г.Г., Один И.Н., Поповкин Б.А., Новоселова А.В. // Изв. АН СССР. Неорган. материалы. 1972. Т. 8, № I. С. I75-I76.
66. Olivier-Fourcade J., Jumas J.C., Maurin M., Philippot E. // Z. anorg. und allg. Chem. 1980. Bd. 468. N 9. S. 91-98.
67. Долгих В.А.// Изв. АН СССР. Неорган. материалы. 1985. Т. 2I, № 7. С. I2I5-I2I8.
68. Ibáñez A., Jumas J.C., Olivier-Fourcade J. et al. // Mater. Res. Bull. 1984. Vol. 19, N 8. P. 1005-1013.
69. Мовсум-заде А.А., Курбанова Р.Д., Бахтияров И.Б. // Азерб. хим. журнал. 1983. № 4. С. I34-I36.
70. Рустамов П.Г., Мовсум-заде А.А., Курбанова Р.Д., Абилов Ч.И. // Изв. АН СССР. Неорган. материалы. 1985. Т. 2I, № I. С. I42-I43.
71. Курбанова Р.Д., Садыхова С.А., Мовсум-заде А.А., Рустамов П.Г. // Журн. неорган. химии 1986. Т. 3I, № 6. С. I5I2-I5I5.
72. Господинов Г.Г., Один И.Н., Поповкин Б.А., Новоселова А.В. // Изв. АН СССР. Неорган. материалы. 197I. Т. 7, № 3. С. 504-505.
73. Рустамов П.Г., Курбанова Р.Д., Мовсум-заде А.А. и др. // Изв. АН СССР. Неорган. материалы. 1985. Т. 2I, № II. С. I865-I868.
74. Wiegers G.A., Meetsma A., Haange R.J., de Boer J.L. // Mater. Res. Bull. 1988. Vol 23, N 11. P. 1551-1559.
75. Eppinga R., Wiegers G.A. // Mater. Res. Bull. 1977. Vol.12, N 11. P. 1057-1062.
76. Gardinier C.F., Chang Luke L.Y. // J.Less-Common Metals. 1978. Vol. 61, N. 2. P. 221-229.
77. Tarascon J.M., Hull G.W. // Mater. Res. Bull. 1986. Vol. 21, N 7. P.859-869.
78. Бацанов С.С., Шестакова Н.А. // Изв. СО АН СССР. Сер. хим. наук. 1968. Вып. 6, № I4. С. 47-51.
79. Соколова М.А. // Изв. сектора физ.-хим. анализа. 1949. Т. I8. С. I86-200.
80. Пушкирева Л.Н. // Изв. вузов. Цветная металлургия. 1966. № I. С. I00-I05.
81. Zabel M., Wandinger S., Range K.-J. // Z. Naturforsch. 1979. Bd.B34, N 2. P. 238-241.
82. Zabel M., Wandinger S., Range K.-J. // Z. Kristallogr. 1979. Bd. 149, N 1/2. S. 157.
83. Michelet A., Collin G. // J. Less-Common Metals. 1976. Vol.45, N 2. P. 185-191.

## Г л а в а 7

### СИСТЕМЫ НА ОСНОВЕ $\text{SnSe}$

#### Система $\text{SnSe}-\text{Cu}_2\text{SnSe}_3$

Диаграмма состояния системы  $\text{SnSe}-\text{Cu}_2\text{SnSe}_3$  эвтектического типа [ I ]. Эвтектика кристаллизуется при 898 К. Термические эффекты при 803 К обусловлены полиморфным превращением  $\text{SnSe}$ . Взаимная растворимость исходных компонентов не превышает I % [ I,2 ].

Система исследована методами ДТА, РФА, МСА, а также измерением микротвердости [ I ].

### Система $\text{SnSe}-\text{Cu}_2\text{Se}$

Диаграмма состояния системы  $\text{SnSe}-\text{Cu}_2\text{Se}$  (рис. 7.1) эвтектического типа [1,2]. Эвтектика содержит 46 % (53 % [2])  $\text{SnSe}$  и кристаллизуется при 813 К [1,2]. Термические эффекты при 413 К соответствуют полиморфному превращению  $\text{Cu}_2\text{Se}$ . Взаимная растворимость исходных компонентов не превышает 1 % [1].

Согласно [3] диаграмма состояния указанной системы эвтектического типа с образованием соединения  $\text{Cu}_3\text{Sn}_3\text{Se}_5$ , плавящегося конгруэнтно при 873 К. Эвтектики содержат 45 и 75 %  $\text{SnSe}$  и кристаллизуются соответственно при 823 и 798 К. Растворимость  $\text{Cu}_2\text{Se}$  в  $\text{SnSe}$  при эвтектической температуре достигает 15 %, а  $\text{SnSe}$  в  $\text{Cu}_2\text{Se}$  - 8 % [3,4].

По данным [5] в тройной системе  $\text{Sn}-\text{Cu}-\text{Se}$  образуется соединение  $\text{Cu}_6\text{Sn}_2\text{Se}_6$ , разлагающееся при 819 К и имеющее плотность 6,23 г/см<sup>3</sup>.

Поверхность ликвидуса тройной системы  $\text{Sn}-\text{Cu}-\text{Se}$  представлена на рис. 7.2, а нонвариантные равновесия в системе приведены в табл. 7.1 [6,7].

Система исследована методами ДТА, РФА и МСА, а также измерением микротвердости, плотности, термодс и электропроводности [1-7].

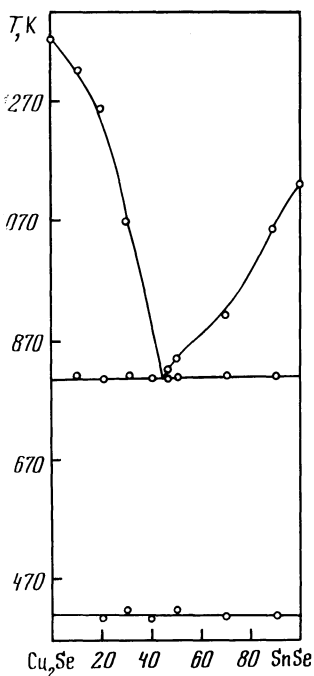


Рис. 7.1. Диаграмма состояния системы  $\text{SnSe}-\text{Cu}_2\text{Se}$  [1]

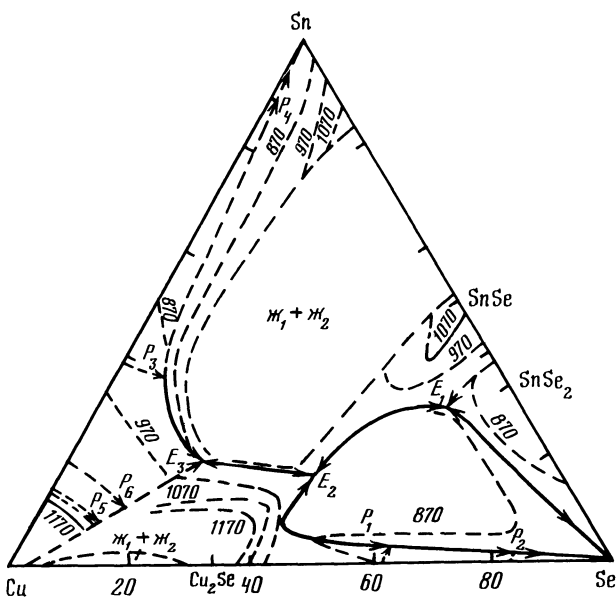


Рис. 7.2. Поверхность ликвидуса тройной системы  $\text{Sn}-\text{Cu}-\text{Se}$  [5]

Т а б л и ц а 7.1

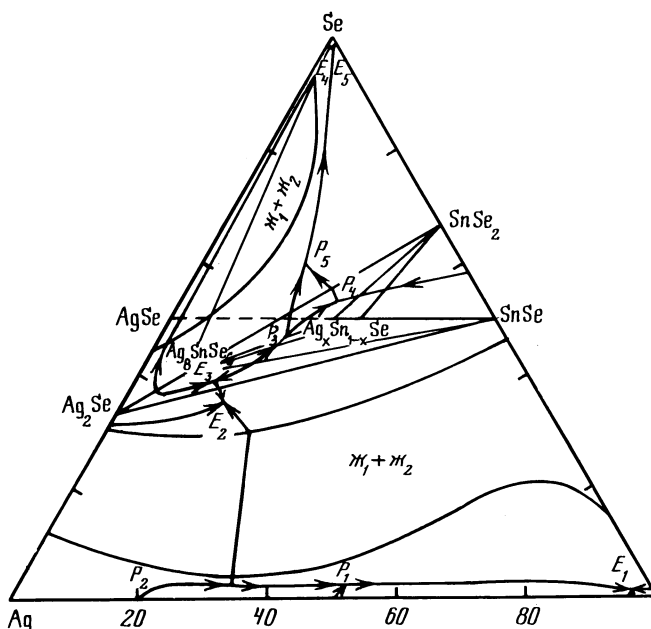
Нонвариантные равновесия в тройной системе Sn-Cu-Se [6,7]

Обозначение	Реакция	Обозначение	Реакция
E <sub>1</sub>	$\chi \rightleftharpoons A + SnSe + SnSe_2$	P <sub>3</sub>	$\chi + \gamma \rightleftharpoons Cu_3Sn + SnSe$
E <sub>2</sub>	$\chi \rightleftharpoons A + SnSe + Cu_2Se$	P <sub>4</sub>	$\chi + Cu_3Sn \rightleftharpoons Cu_6Sn_5 + SnSe$
E <sub>3</sub>	$\chi \rightleftharpoons SnSe + Cu_2Se + \gamma$	P <sub>5</sub>	$\chi + \alpha(Cu) \rightleftharpoons \beta + Cu_2Se$
P <sub>1</sub>	$\chi + Cu_2Se \rightleftharpoons A + CuSe$	P <sub>6</sub>	$\chi + \beta \rightleftharpoons \gamma + Cu_2Se$
P <sub>2</sub>	$\chi + CuSe \rightleftharpoons A + Cu_3Se_2$		

П р и м е ч а н и е .  $\beta$  и  $\gamma$  - фазы в системе Cu-Sn; A -  $Cu_2SnSe_3$ Система SnSe-Ag

Диаграмма состояния системы SnSe-Ag эвтектического типа [8]. Эвтектика кристаллизуется при 933 К. В системе существует расслаивание, которое приводит к появлению двух серий термических эффектов при 493 и 723 К, являющихся температурами тройных эвтектик в подсистемах SnSe-Ag-Sn и SnSe-Ag-Ag<sub>2</sub>Se. При 398 К проявляются термические эффекты фазового превращения в Ag<sub>2</sub>Se.

На проекции поверхности ликвидуса тройной системы Sn-Ag-Se (рис. 7.3) можно выделить 4 области: I - область у вершины Se где тройные эвтектики



Р и с. 7.3. Проекция поверхности ликвидуса тройной системы Sn-Ag-Se [7]

ки  $E_4$  (490 К) и  $E_5$  (493 К) вырождены; 2 - область вблизи твердых растворов  $Ag_xSn_{1-x}Se$ , где протекают тройные перитектические взаимодействия  $P_3$  (783 К),  $P_4$  (858 К) и  $P_5$  (758 К); 3 - область вблизи соединения  $Ag_8SnSe_6$  с тройными эвтектиками  $E_2$  (823 К) и  $E_3$  (815 К) и 4 - область вблизи стороны  $Ag-Sn$ , где протекают тройные перитектические взаимодействия  $P_2$  (918 К),  $P_1$  (753 К) и эвтектическое  $E_1$  (493 К).

Система исследована методами ДТА, РФА, МСА [ 8 ].

#### Система SnSe-Ag<sub>8</sub>SnSe<sub>6</sub>

Диаграмма состояния системы SnSe-Ag<sub>8</sub>SnSe<sub>6</sub> (рис. 7.4) эвтектического типа [ 8 ]. Эвтектика кристаллизуется при 873 К, а при 256 К протекает фазовое превращение в Ag<sub>8</sub>SnSe<sub>6</sub>. Система исследована методами ДТА, РФА и МСА [ 8 ].

#### Система SnSe-"AgSe"

Система SnSe-"AgSe" является неквазибинарным сечением тройной системы Sn-Ag-Se [ 8 ]. В системе образуются твердые растворы  $Ag_xSn_{1-x}Se$ , которые разлагаются перитектически при 863 К [ 8 ] (903 К [ 9 ]). Температурные эффекты при 490 и 493 К (со стороны "AgSe") отвечают кристаллизации тройных эвтектик.

Исходные образцы отжигали при 740 К в течение двух недель [ 9 ]. Система исследована методами ДТА, РФА и МСА [ 8,9 ].

#### Система SnSe-Ag<sub>2</sub>Se

Диаграмма состояния системы SnSe-Ag<sub>2</sub>Se (рис. 7.5) эвтектического типа [ 4,8,9 ]. Эвтектика содержит 50 % Ag<sub>2</sub>Se [ 4 ] и кристаллизуется при 824 К [ 8 ] (818 К [ 9 ], 883 К [ 4 ]). При 398 К наблюдается полиморфное превращение в Ag<sub>2</sub>Se [ 8 ]. Растворимость Ag<sub>2</sub>Se в SnSe достигает 10 %, а SnSe в Ag<sub>2</sub>Se - 7-8 % [ 4 ].

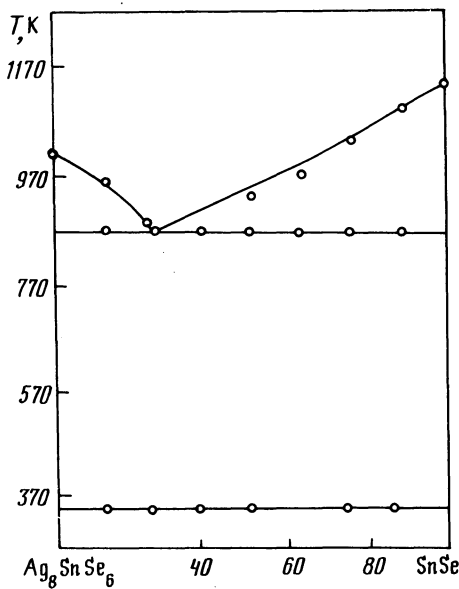
Система исследована методами ДТА, РФА и МСА [ 4,8 ].

#### Система SnSe-Au

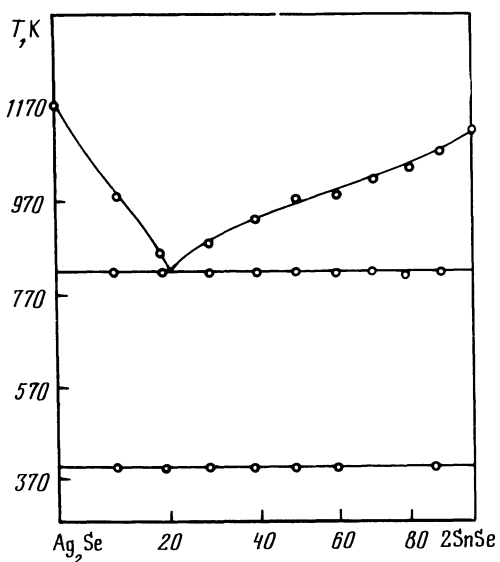
Диаграмма состояния системы SnSe-Au (рис. 7.6) эвтектического типа [ 10 ]. Большая часть областей первичного выделения SnSe и Au, в том числе и состав эвтектики, находятся под областью расслаивания. Эвтектика кристаллизуется при 1003 К.

Поверхность ликвидуса тройной системы Sn-Au-Se (рис. 7.7) характеризуется наличием двух областей расслаивания, одна из которых примыкает к бинарной системе Au-Se, а другая проходит через тройную систему от системы Au-Se к системе Sn-Se [ 10 ]. Наличие областей несмешиваемости приводит к плохой гомогенизации исходных образцов и к проявлению на диаграммах состояния квазибинарных сечений "избыточных" термических эффектов. Нонвариантные равновесия в системе Sn-Au-Se приведены в табл. 7.2.

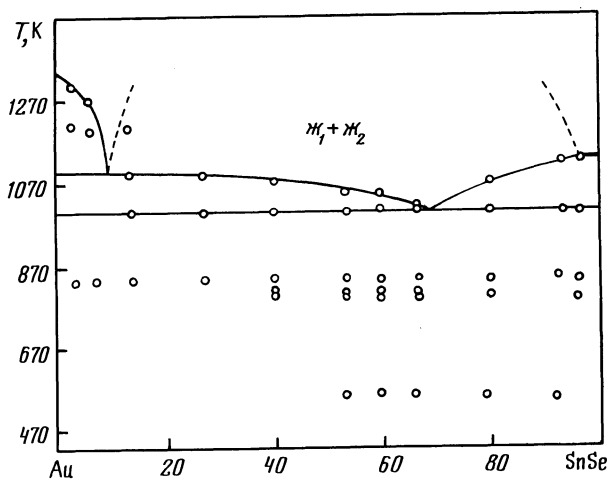
Система исследована методами ДТА, РФА и МСА [ 10 ].



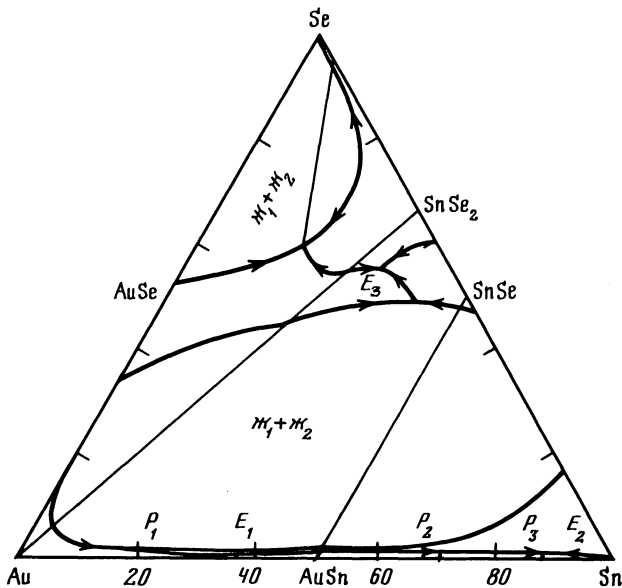
Р и с. 7.4. Диаграмма состояния системы 7SnSe- $\text{Ag}_8\text{SnSe}_6$  [7]



Р и с. 7.5. Диаграмма состояния системы 25nSe- $\text{Ag}_2\text{Se}$  [7]



Р и с. 7.6. Диаграмма состояния системы SnSe-Au [10]



Р и с. 7.7. Поверхность ликвидуса тройной системы Sn-Au-Se [10]

Т а б л и ц а 7.2

Нонвариантные равновесия в тройной системе Sn-Au-Se [10]

Обозначение	T, K	Реакция
E <sub>1</sub>	549	Ж $\rightleftharpoons$ $\xi$ + SnSe + AuSn
E <sub>2</sub>	490	Ж $\rightleftharpoons$ AuSn <sub>4</sub> + Sn + SnSe
E <sub>3</sub>	837	Ж $\rightleftharpoons$ Au + SnSe <sub>2</sub> + SnSe
Вырождена (Se)	487	Ж $\rightleftharpoons$ Au + SnSe <sub>2</sub> + Se
P <sub>1</sub>	803	Ж + Au $\rightleftharpoons$ $\xi$ + SnSe
P <sub>2</sub>	582	Ж + AuSn $\rightleftharpoons$ AuSn <sub>2</sub> + SnSe
P <sub>3</sub>	525	Ж + AuSn <sub>2</sub> $\rightleftharpoons$ AuSn <sub>4</sub> + SnSe

П р и м е ч а н и е.  $\xi$  - фаза в системе Au-Sn

#### Система SnSe-AuSn

Диаграмма состояния системы SnSe-AuSn эвтектического типа [10,II]. Эвтектика содержит 1,6 % SnSe и кристаллизуется при 690 К. При 1131 К в системе наблюдается расслаивание, а монотектическая точка находится при 95 % SnSe. Система исследована методами ДТА, РФА и МСА [10,II].

### Система SnSe-ZnSe

Диаграмма состояния системы SnSe-ZnSe (рис. 7.8) эвтектического типа [12]. Эвтектика содержит 14 % ZnSe и кристаллизуется при 1123 К. При 790 К наблюдается полиморфное превращение твердых растворов на основе SnSe. Взаимная растворимость исходных компонентов друг в друге не превышает 0,5 %.

Исходные образцы отжигали при 820 К в течение 250 ч. Система исследована методами ДТА, РФА и МСА [12].

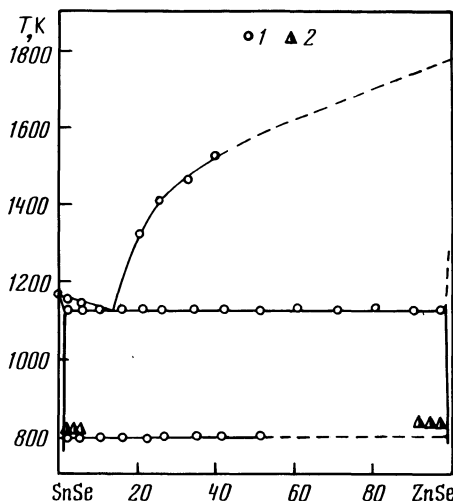


Рис. 7.8. Диаграмма состояния системы SnSe-ZnSe [12]

1 - ДТА, 2 - двухфазные образцы

### Система SnSe-Cd

При 820 К в SnSe растворяется 0,5 % Cd [13]. На поверхности ликвидуса тройной системы Sn-Cd-Se имеется 7 полей первичной кристаллизации (рис. 7.9), причем наибольшую часть концентрационного треугольника занимает поле CdSe [13]. В системе имеются три области расслаивания в жидком состоянии. Одна из них захватывает поле первичной кристаллизации CdSe, начинаясь со стороны Cd-Se, другая - поле первичного выделения SnSe, а третья расположена внутри концентрационного треугольника в области первичной кристаллизации CdSe. Нонвариантные равновесия в системе Sn-Cd-Se приведены в табл. 7.3.

Исходные образцы отжигали при 820 К в течение 250 ч. Сплавы, богатые оловом, гомогенизировали также при 450 и 480 к. Система исследована методами ДТА и МСА [13].

Рис. 7.9. Поверхность ликвидуса тройной системы Sn-Cd-Se [13]

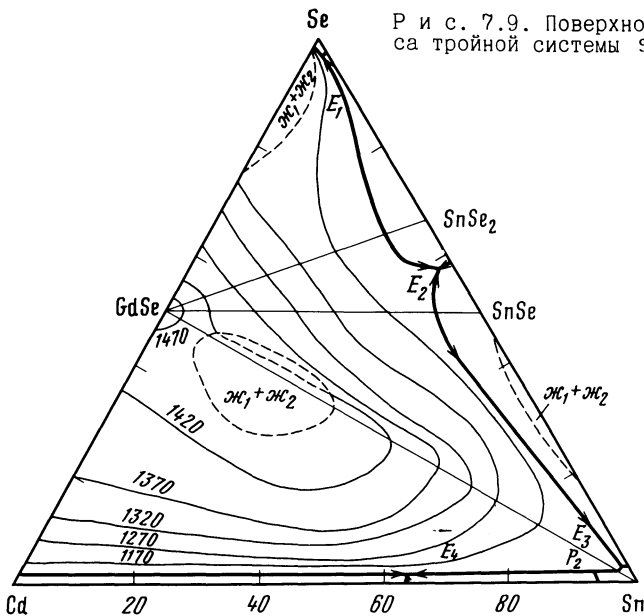


Таблица 7.3

Нонвариантные равновесия в тройной системе Sn-Cd-Se [13]

Обозначение	T, K	Реакция
E <sub>1</sub>	485	Ж $\rightleftharpoons$ CdSe + SnSe <sub>2</sub> + Se
E <sub>2</sub>	878	Ж $\rightleftharpoons$ CdSe + SnSe <sub>2</sub> + SnSe
E <sub>3</sub>	503	Ж $\rightleftharpoons$ CdSe + SnSe + Sn
E <sub>4</sub>	463	Ж $\rightleftharpoons$ CdSe + Cd + B
P	493	Ж + Sn $\rightleftharpoons$ CdSe + B

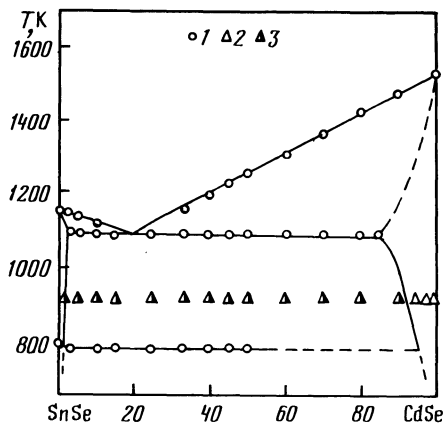
Примечание. B - фаза в системе Cd-Sn

#### Система SnSe-CdSe

Диаграмма состояния системы SnSe-CdSe (рис. 7.10) эвтектического типа [14]. Эвтектика содержит 19 % CdSe и кристаллизуется при 1095 K. В твердом состоянии наблюдается полиморфное превращение твердых растворов на основе SnSe. Растворимость SnSe в CdSe при эвтектической температуре достигает 15 %, при 920 K - 7 %, при 820 K - 4,5 %, а растворимость CdSe в SnSe при эвтектической температуре составляет 2 %, при 820 K - 1 % [13, 14].

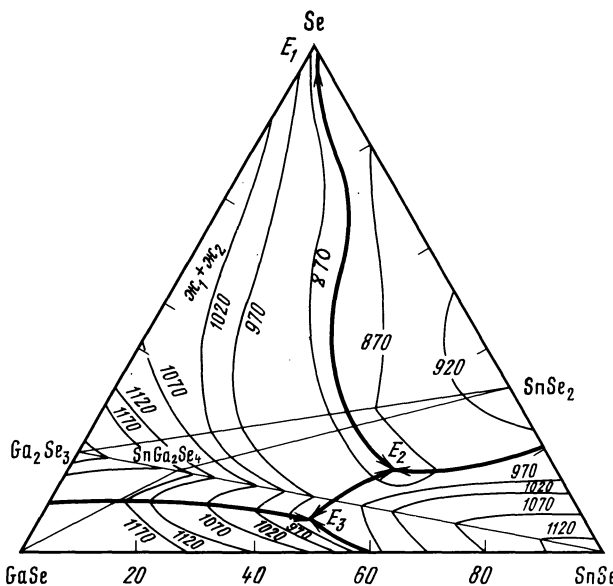
Исходные образцы отжигали при 920 K (820 K [13]) в течение 250 ч [14]. Система исследована методами ДТА, РФА и МСА [13, 14].

Р и с. 7.I0. Диаграмма состояния системы SnSe-CdSe [ 14 ]  
 I - ДТА, 2 - одно- и 3 - двухфазные образцы



### Система SnSe-Ga

Расторимость Ga в SnSe достигает 3 % [ 15 ]. На поверхности ликвидуса тройной системы Sn-Ga-Se (рис. 7.II) [ 16 ] тройная эвтектика  $E_1$  (490 К) в подсистеме  $\text{SnSe}_2\text{-Ga}_2\text{Se}_3\text{-Se}$  вырождена со стороны Se, а в подсистеме  $\text{SnSe-SnSe}_2\text{-Ga}_2\text{Se}_3$  эвтектика кристаллизуется при 843 К и имеет состав  $\text{Ga}_{13}\text{Sn}_{28}\text{Se}_{58}$ . В подсистеме  $\text{SnSe-GaSe-Ga}_2\text{Se}_3$  тройная эвтектика кристаллизуется при 943 К. Тройная перитектика, обусловленная образованием соединения  $\text{SnGa}_4\text{Se}_7$ , в системе не обнаружена. Система исследована методами ДТА, РФА и МСА [ 16 ].



Р и с. 7.II. Часть поверхности ликвидуса тройной системы Sn-Ga-Se [ 16 ]

### Система SnSe-GaSe

Диаграмма состояния системы SnSe-GaSe эвтектического типа [17]. Растворимость SnSe в GaSe достигает 20 %, а GaSe в SnSe - 50 %. Изменение параметров элементарной ячейки в обеих областях твердых растворов незначительно.

Согласно [16] в системе SnSe-GaSe обнаружены термические эффекты при 943 и 969 К, первый из которых обусловлен наличием тройной эвтектики в системе SnSe-GaSe-SnGa<sub>4</sub>Se<sub>7</sub>, а второй отвечает кристаллизации двойной эвтектики при 65 % SnSe.

Исходные образцы отжигали при 720-770 К в течение 300 ч [17]. Система исследована методами ДТА, РФА и МСА [16,17].

### Система 2SnSe-Ga<sub>2</sub>Se<sub>3</sub>

Диаграмма состояния системы 2SnSe-Ga<sub>2</sub>Se<sub>3</sub> представлена на рис. 7.12 [16,18]. Эвтектика содержит 55 % (2SnSe) и кристаллизуется при 953 К. В системе существует соединение SnGa<sub>4</sub>Se<sub>7</sub>, образующееся по перитектической реакции при 988 К и претерпевающее распад эвтектоидного типа при 838 К. Указанное соединение кристаллизуется в ромбической структуре с параметрами элементарной ячейки  $a = 5,69 \text{ \AA}$ ,  $b = 12,37 \text{ \AA}$ ,  $c = 7,60 \text{ \AA}$ , рентгенографической и пикнометрической плотностью соответственно 7,10 и 7,09 г/см<sup>3</sup>.

Согласно [19] диаграмма состояния указанной системы эвтектического типа. Эвтектика содержит 66 % SnSe и кристаллизуется при 963 К. Взаимная растворимость исходных компонентов при эвтектической температуре достигает 12-13 %. Система исследована методами ДТА, РФА, МСА, а также измерением микротвердости и плотности [16,18,19].

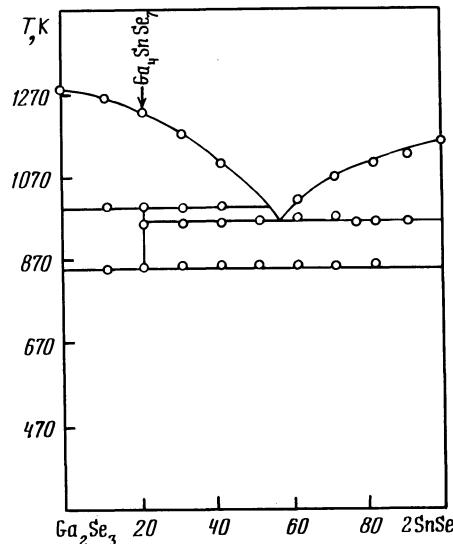


Рис. 7.12. Диаграмма состояния системы 2SnSe-Ga<sub>2</sub>Se<sub>3</sub> [16,18]

### Система SnSe-In

Система SnSe-In является неквазибинарным сечением тройной системы Sn-In-Se [20]. В интервале 35–88 % In в системе наблюдается расслаивание. При 398 К протекает перитектическая реакция с образованием InSe, а изотермические линии при 273 и 353 К отвечают температурам плавления тройных эвтектик.

Поверхность ликвидуса тройной системы Sn-In-Se (рис. 7.13) состоит из 9 полей первичной кристаллизации фаз In, Sn, Se,  $In_2Se_3$ , InSe,  $In_2Se$ , SnSe,  $SnSe_2$ ,  $In_5Se_6$  и области расслаивания [20]. В системе имеется пять тройных эвтектических и два тройных перитектических взаимодействия.

Изометрические сечения тройной системы Sn-In-Se при 773 и 298 К приведены в работе [21]. Система исследована методами ДТА и МСА, а также измерением микротвердости [20, 21].

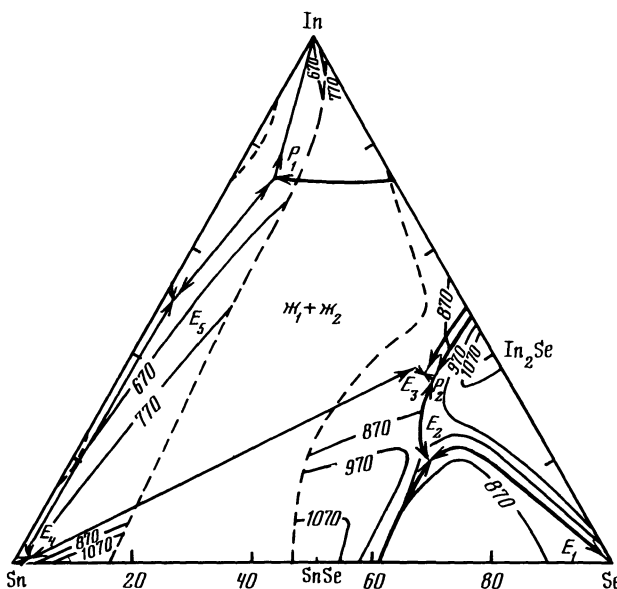


Рис. 7.13. Поверхность ликвидуса тройной системы Sn-In-Se [20]

### Система SnSe-InSe

Диаграмма состояния системы SnSe-InSe эвтектического типа [17, 22]. Эвтектика содержит 40 % SnSe и кристаллизуется при 813 К. Растворимость SnSe в InSe достигает 25 % [17, 22] (12 % [15]), а растворимость InSe в SnSe – 30 %. Параметры элементарной ячейки твердых растворов на основе InSe изменяются согласно правилу Вегарда, а твердых растворов на основе SnSe – с отклонением от правила Вегарда [20, 22].

Исходные образцы отжигали при 720–770 К в течение 300 ч [17]. Система исследована методами ДТА, РФА и МСА, а также измерением микротвердости, плотности, термоЭДС и электропроводности [17, 22].

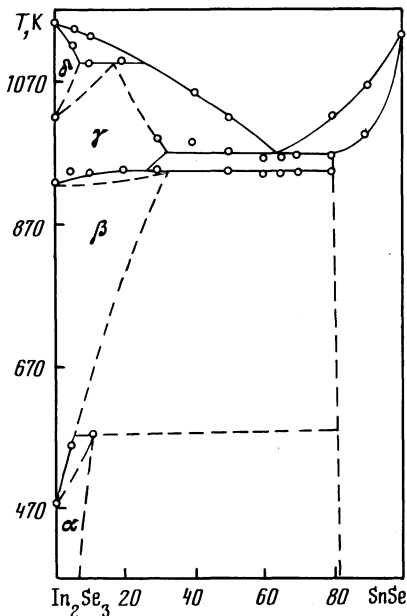
### Система SnSe-In<sub>2</sub>Se<sub>3</sub>

Диаграмма состояния системы SnSe-In<sub>2</sub>Se<sub>3</sub> (рис. 7.14) эвтектического типа [23]. Эвтектика содержит 63 % SnSe и кристаллизуется при 968 К. Температура фазовых переходов In<sub>2</sub>Se<sub>3</sub> при добавлении SnSe увеличивается. Все переходы осуществляются по перитектоидным реакциям при 573, 943 и 1093 К. Растворимость SnSe в In<sub>2</sub>Se<sub>3</sub> достигает 5 %, а In<sub>2</sub>Se<sub>3</sub> в SnSe - 17,5 %.

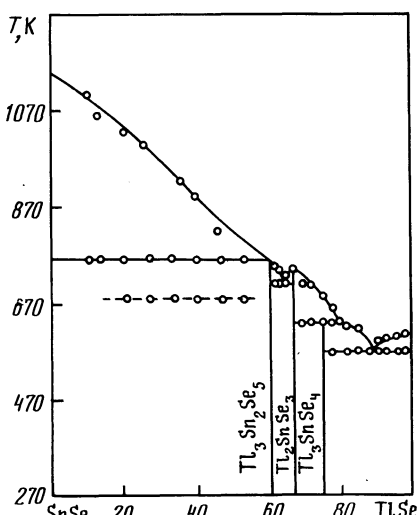
Исходные образцы отжигали при 770 К в течение 125 ч. Система исследована методами ДТА, РФА и МСА, а также измерением микротвердости и плотности [23].

### Система SnSe-TlSe

Диаграмма состояния системы SnSe-TlSe представлена на рис. 7.15 [24-26]. В системе образуются соединения Tl<sub>3</sub>Sn<sub>2</sub>Se<sub>5</sub> (A), Tl<sub>2</sub>SnSe<sub>3</sub> (B) и Tl<sub>3</sub>SnSe<sub>4</sub> (C) [25] (В и Tl<sub>5</sub>Se<sub>2</sub> (D) [24, 26]). Соединение A, C [25] и D [24, 26] плавятся инконгруэнтно соответственно при 763, 633 и 763 К [24] (720 К [26]), а соединение B плавится конгруэнтно [25] (инконгруэнтно при 653 К [24]), а согласно [26] при 620 К). Соединение D претерпевает полиморфное превращение при 691 К [24]. Эвтектики содержат 64 и 90 % TlSe и кристаллизуются соответственно при 717 и 573 К [25] (в системе имеется одна эвтектика, содержит 83,5 % TlSe и кристаллизуется при 520 К [26]; а согласно [24] при 580 К).



Р и с. 7.14. Диаграмма состояния системы SnSe-In<sub>2</sub>Se<sub>3</sub> [23]



Р и с. 7.15. Диаграмма состояния системы SnSe-TlSe [25]

По данным [26] соединение D кристаллизуется в моноклинной структуре с параметрами элементарной ячейки  $a = 10,86 \text{ \AA}$ ,  $b = 10,64 \text{ \AA}$ ,  $c = 15,53 \text{ \AA}$ ,  $\beta = 101,60^\circ$ , а соединение B - в ромбической структуре с параметрами  $a = 8,05 \text{ \AA}$ ,  $b = 8,17 \text{ \AA}$  и  $c = 21,24 \text{ \AA}$ .

Согласно данным [5] в тройной системе Sn-Tl-Se образуется также соединение  $Tl_6Sn_2Se_6$ , плавящееся при 635 К и имеющее плотность 7,63 г/см<sup>3</sup>.

На поверхности ликвидуса системы  $SnSe_2-Tl_2SnSe_3-TlSe-Se$ , являющейся частью тройной системы Sn-Tl-Se, имеется область расслаивания, расположаяющаяся вдоль разреза  $Tl_2SnSe_3-Se$  [27]. Тройная эвтектическая ( $E_I$  - 478 К) и перитектическая ( $P_I$  - 490 К) точки вырождены со стороны Se, а тройная эвтектика  $E_2$  кристаллизуется при 473 К и имеет состав  $Tl_{25}Sn_{0,66}Se_{74}$ , 33°.

Расторимость TlSe в SnSe при эвтектической температуре составляет 5 % [26]. Температура фазового превращения твердых растворов на основе SnSe в области гомогенности уменьшается до 783 К [24]. Термические эффекты при 684 К обусловлены частичной диссоциацией при нагревании [25].

Исходные образцы отжигали при 670 К (50-100 % SnSe) и 470 К (50-100 % TlSe) в течение 200-250 ч [26] (при 420 и 570 К [27]). При температурах ниже температур солидуса в течение месяца [24]. Система исследована методами ДТА, РФА и МСА, а также измерением микротвердости, плотности и электрофизических свойств [5, 24-27].

#### Система $SnSe-Tl_2Se$

Диаграмма состояния системы  $SnSe-Tl_2Se$  (рис. 7.16) перитектического типа [28]. Перитектическое взаимодействие происходит при 673 К. Растворимость SnSe в Tl<sub>2</sub>Se при 670 и 570 К составляет соответственно I2 и

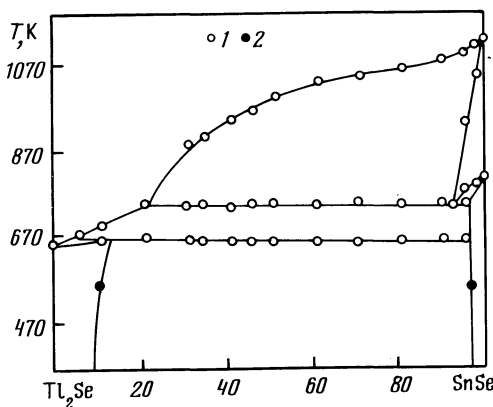


Рис. 7.16. Диаграмма состояния системы  $SnSe-Tl_2Se$  [28]  
1 - ДТА, 2 - РФА

10 %, а растворимость  $Tl_2Se$  в  $SnSe$  при 750 и 570 К достигает соответственно 3 и 2 %. В области твердых растворов на основе  $SnSe$  наблюдается эвтектоидное превращение при 92 %  $SnSe$  и 753 К, обусловленное полиморфным превращением  $SnSe$ .

Исходные образцы отжигали при 620 К в течение 350 ч. Система исследована методами ДТА и РФА, а также измерением микротвердости [28].

#### Система $SnSe$ - $LaSe$

Диаграмма состояния системы  $SnSe$ - $LaSe$  эвтектического типа [29]. Эвтектика содержит 5,8 %  $LaSe$  и кристаллизуется при 923 К. Растворимость  $LaSe$  в  $SnSe$  при эвтектической температуре составляет 3,2 %, а при комнатной - 1,6 %.

Исходные образцы отжигали при 470 и 870 К в течение 250 ч. Система исследована методами ДТА, РФА и МСА, а также измерением микротвердости [29].

#### Система $SnSe$ - $CeSe$

Диаграмма состояния системы  $SnSe$ - $CeSe$  эвтектического типа [29]. Эвтектика содержит 6,6 %  $CeSe$  и кристаллизуется при 943 К. Растворимость  $CeSe$  в  $SnSe$  при комнатной температуре составляет 2,0 %.

Исходные образцы отжигали при 470 и 870 К в течение 250 ч. Система исследована методами ДТА, РФА и МСА, а также измерением микротвердости [29].

#### Система $SnSe$ - $Ce_2Se_3$

Диаграмма состояния системы  $SnSe$ - $Ce_2Se_3$  представлена на рис. 7.17 [30]. Эвтектика между тройным соединением и  $SnSe$  кристаллизуется при 1023 К, а перитектическая точка находится при 70 %  $SnSe$  и 1103 К. Соеди-

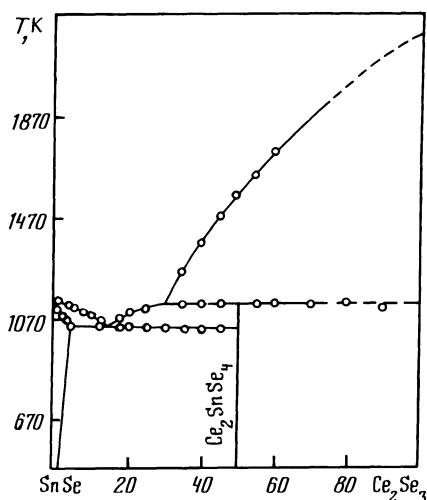


Рис. 7.17. Диаграмма состояния системы  $SnSe$ - $Ce_2Se_3$  [30]

нение  $\text{SnSe}_2\text{Se}_4$  кристаллизуется в ромбической структуре с параметрами элементарной ячейки  $a = 11,80 \text{ \AA}$ ,  $b = 14,05 \text{ \AA}$ ,  $c = 4,12 \text{ \AA}$ .

Исходные образцы отжигали при 970 К в течение 200 ч, а некоторые дополнительно при 1070 К в течение 240 ч. Система исследована методами ДТА, РФА и МСА, а также измерением микротвердости [29].

#### Система SnSe-PrSe

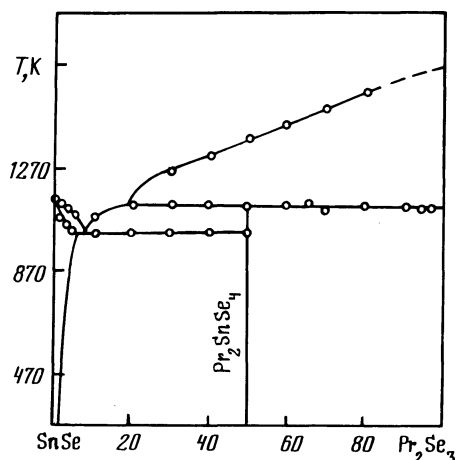
Диаграмма состояния системы SnSe-PrSe эвтектического типа [29]. Эвтектика содержит 6,0 % PrSe и кристаллизуется при 963 К. Растворимость PrSe в SnSe при эвтектической температуре составляет 4,0 %, а при комнатной - 2,5 %.

Исходные образцы отжигали при 470 и 870 К в течение 250 ч. Система исследована методами ДТА, РФА и МСА, а также измерением микротвердости [29].

#### Система SnSe- $\text{Pr}_2\text{Se}_3$

Диаграмма состояния системы SnSe- $\text{Pr}_2\text{Se}_3$  представлена на рис. 7.18 [31]. В системе образуется соединение  $\text{SnPr}_2\text{Se}_4$ , плавящееся инконгруэнтно при 1133 К. Эвтектика между SnSe и  $\text{SnPr}_2\text{Se}_4$  содержит 8 %  $\text{Pr}_2\text{Se}_3$  и кристаллизуется при 1023 К.

Исходные образцы отжигали при 920-940 К в течение 200 ч. Система исследована методами ДТА, РФА, МСА, а также измерением микротвердости [31].



Р и с. 7.18. Диаграмма состояния системы SnSe- $\text{Pr}_2\text{Se}_3$  [31]

#### Система SnSe-NdSe

Диаграмма состояния системы SnSe-NdSe эвтектического типа [29]. Эвтектика содержит 7,0 % NdSe и кристаллизуется при 953 К. Растворимость NdSe в SnSe при эвтектической температуре составляет 5 %.

Исходные образцы отжигали при 470 и 870 К в течение 250 ч. Система исследована методами ДТА, РФА, МСА, а также измерением микротвердости [29].

### Система SnSe-Nd<sub>2</sub>Se<sub>3</sub>

Диаграмма состояния системы SnSe-Nd<sub>2</sub>Se<sub>3</sub> представлена на рис. 7.19 [31,32]. Эвтектика кристаллизуется при 1003 К. В системе образуется соединение Nd<sub>2</sub>SnSe<sub>4</sub>, плавящееся инконгруэнтно при 1073 К и кристаллизующееся в ромбической структуре с параметрами элементарной ячейки  $a = 11,82 \text{ \AA}$ ,  $b = 11,69 \text{ \AA}$ ,  $c = 6,59 \text{ \AA}$ , рентгенографической и пикнометрической плотностью соответственно 4,21 и 4,16 г/см<sup>3</sup> [32]. Термодинамические свойства Nd<sub>2</sub>SnSe<sub>4</sub> составляют: при образовании из SnSe и Nd<sub>2</sub>Se<sub>3</sub>  $\Delta G_{298}^{\circ} = -19,22 \text{ кДж/моль}$ ,  $\Delta S_{298}^{\circ} = -9,15 \text{ Дж/К\cdotмоль}$  и  $\Delta H_{298}^{\circ} = -21,96 \text{ кДж/моль}$ , а при образовании из элементарных компонентов  $\Delta H_{298}^{\circ} = -31,76 \text{ кДж/моль}$ ,  $\Delta S_{298}^{\circ} = -14,31 \text{ Дж/К\cdotмоль}$ ,  $\Delta G_{298}^{\circ} = -34,99 \text{ кДж/моль}$ ,  $S_{298}^{\circ} = 39,89 \text{ Дж/К\cdotмоль}$ .

Растворимость Nd<sub>2</sub>Se<sub>3</sub> в SnSe при комнатной температуре составляет 2 % [31]. Исходные образцы отжигали при 950 К (920-970 К [31]) в течение 140 ч [32]. Система исследована методами ДТА, РФА и МСА, а также измерением микротвердости [31,32].

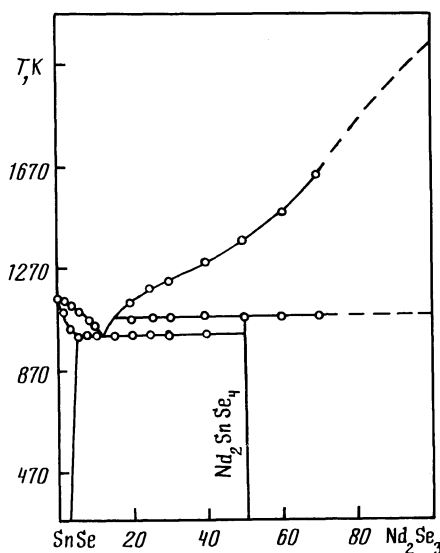


Рис. 7.19. Диаграмма состояния системы SnSe-Nd<sub>2</sub>Se<sub>3</sub> [31,32].

### Система SnSe-SmSe

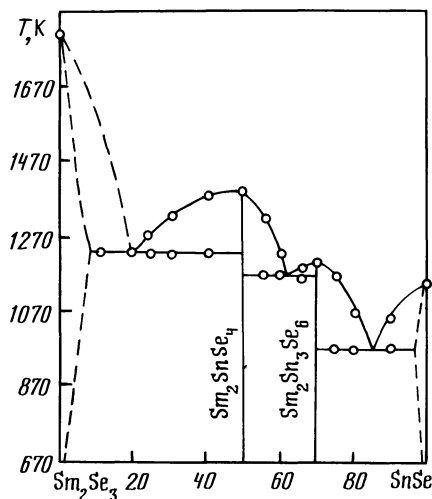
Диаграмма состояния системы SnSe-SmSe эвтектического типа [29]. Эвтектика содержит 9,0 % SmSe и кристаллизуется при 973 К. Растворимость SmSe в SnSe при эвтектической температуре составляет 7 %, а при комнатной - 5,0 %.

Исходные образцы отжигали при 470 и 870 К в течение 250 ч. Система исследована методами ДТА, РФА и МСА, а также измерением микротвердости [29].

### Система SnSe-Sm<sub>2</sub>Se<sub>3</sub>

Диаграмма состояния системы SnSe-Sm<sub>2</sub>Se<sub>3</sub> представлена на рис. 7.20 [33]. В системе образуются два соединения: Sm<sub>2</sub>SnSe<sub>4</sub>, плавящееся конгруэнтно при 1398 К и имеющее плотность 7,99 г/см<sup>3</sup>, и Sm<sub>2</sub>Sn<sub>3</sub>Se<sub>6</sub> с температурой плавления 1228 К и плотностью 8,26 г/см<sup>3</sup>. Между тройными соединениями и компонентами существуют эвтектики с температурами плавления 1230 и 970 К.

Исходные образцы отжигали при 720 и 970 К в течение 300 ч. Система исследована методами ДТА, РФА и МСА [33].



Р и с. 7.20. Диаграмма состояния системы SnSe-Sm<sub>2</sub>Se<sub>3</sub> [33]

### Система SnSe-GdSe

Диаграмма состояния системы SnSe-GdSe эвтектического типа [29]. Эвтектика содержит 7,5 % GdSe и кристаллизуется при 978 К. Растворимость GdSe в SnSe при эвтектической температуре составляет 4 %, а при комнатной – 3,0 %.

Исходные образцы отжигали при 470 и 870 К в течение 250 ч. Система исследована методами ДТА, РФА и МСА, а также измерением микротвердости [29].

### Система SnSe-TbSe

Диаграмма состояния системы SnSe-TbSe эвтектического типа [29]. Эвтектика содержит 6,8 % TbSe и кристаллизуется при 993 К. Растворимость TbSe в SnSe при комнатной температуре составляет 3,2 %.

Исходные образцы отжигали при 470 и 870 К в течение 250 ч. Система исследована методами ДТА, РФА и МСА, а также измерением микротвердости Г 29 J.

#### Система SnSe-DySe

Диаграмма состояния системы SnSe-DySe эвтектического типа Г 29 J. Эвтектика содержит 8,0 % DySe и кристаллизуется при 993 К. Растворимость DySe в SnSe при эвтектической температуре составляет 6 %.

Исходные образцы отжигали при 470 и 870 К в течение 250 ч. Система исследована методами ДТА, РФА и МСА, а также измерением микротвердости Г 29 J.

#### Система SnSe-HoSe

Диаграмма состояния системы SnSe-HoSe эвтектического типа Г 29 J. Эвтектика содержит 7,8 % HoSe и кристаллизуется при 973 К. Растворимость HoSe в SnSe при эвтектической температуре составляет 6,0 %, а при комнатной - 4,1 %.

Исходные образцы отжигали при 470 и 870 К в течение 250 ч. Система исследована методами ДТА, РФА и МСА, а также измерением микротвердости Г 29 J.

#### Система SnSe-ErSe

Диаграмма состояния системы SnSe-ErSe эвтектического типа Г 29 J. Эвтектика содержит 8,0 % ErSe и кристаллизуется при 983 К. Растворимость ErSe в SnSe при эвтектической температуре составляет 7,0 %, а при комнатной - 4,4 %.

Исходные образцы отжигали при 470 и 870 К в течение 250 ч. Система исследована методами ДТА, РФА и МСА, а также измерением микротвердости Г 29 J.

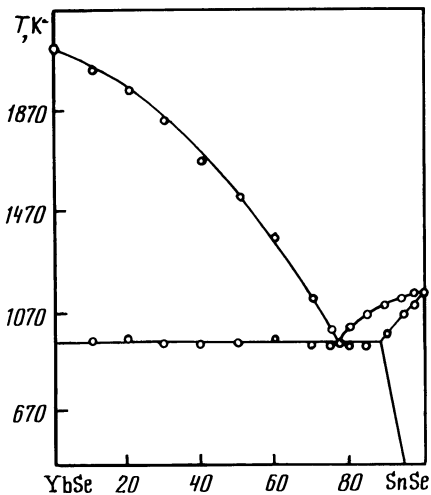
#### Система SnSe-YbSe

Диаграмма состояния системы SnSe-YbSe (рис. 7.21) эвтектического типа Г 29,34 J. Эвтектика содержит 25 % YbSe и кристаллизуется при 958 К Г 34 J (943 К Г 29 J). Растворимость YbSe в SnSe при комнатной температуре составляет 4,5 % Г 29 J.

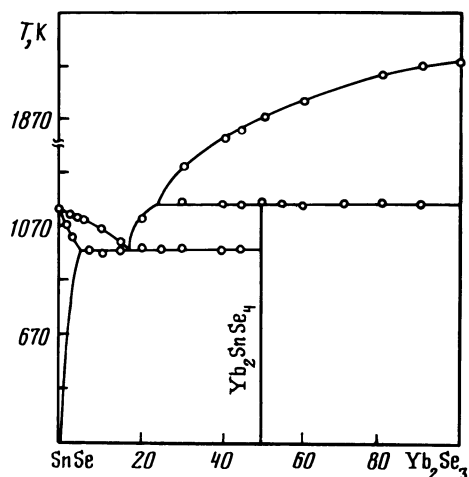
Исходные образцы отжигали при 470 и 870 К в течение 250 ч Г 29 J. Система исследована методами ДТА, РФА и МСА, а также измерением микротвердости Г 29,34 J.

#### Система SnSe-Yb<sub>2</sub>Se<sub>3</sub>

Диаграмма состояния системы SnSe-Yb<sub>2</sub>Se<sub>3</sub> представлена на рис. 7.22 Г 34 J. В системе образуется соединение SnYb<sub>2</sub>Se<sub>4</sub>, плавящееся инконгруэнтно при 1153 К и кристаллизующееся в гексагональной структуре с параметрами элементарной ячейки  $a = 12,68 \text{ \AA}$  и  $c = 14,42 \text{ \AA}$ . Эвтектика между SnSe и SnYb<sub>2</sub>Se<sub>4</sub> кристаллизуется при 988 К.



Р и с. 7.21. Диаграмма состояния системы  $\text{SnSe}-\text{YbSe}$  [34].



Р и с. 7.22. Диаграмма состояния системы  $\text{SnSe}-\text{Yb}_2\text{Se}_3$  [34].

Монокристаллы  $\text{SnYb}_2\text{Se}_4$  получали методом XTP. Система исследована методами ДТА, РФА и МСА, а также измерением микротвердости [34].

#### Система $\text{SnSe}-\text{LuSe}$

Диаграмма состояния системы  $\text{SnSe}-\text{LuSe}$  эвтектического типа [29]. Эвтектика содержит 7,5 %  $\text{LuSe}$  и кристаллизуется при 1023 К. Растворимость  $\text{LuSe}$  в  $\text{SnSe}$  при эвтектической температуре составляет 5,0 %.

Исходные образцы отжигали при 470 и 870 К в течение 250 ч. Система исследована методами ДТА, РФА и МСА, а также измерением микротвердости [29].

#### Система $\text{SnSe}-\text{Ge}$

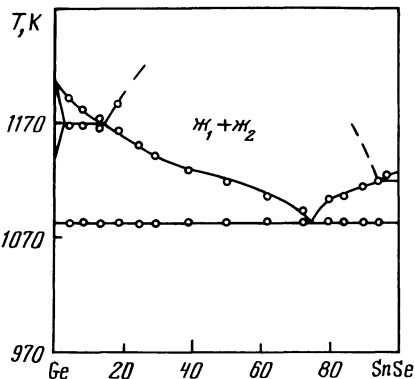
Диаграмма состояния системы  $\text{SnSe}-\text{Ge}$  (рис. 7.23) эвтектического типа [35]. В системе обнаружена значительная область расслаивания. Система исследована методами ДТА, РФА и МСА [35].

#### Система $\text{SnSe}-\text{GeSb}$

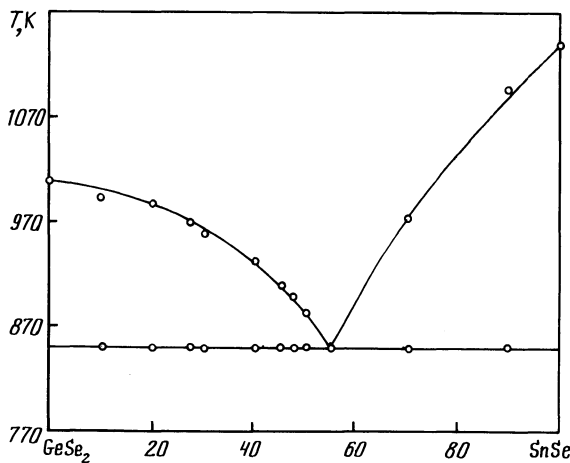
Система  $\text{SnSe}-\text{GeSb}$  является неквазибинарным сечением тройной системы  $\text{Ge}-\text{Sn}-\text{Se}$  [35], исследована методами ДТА, РФА и МСА.

#### Система $\text{SnSe}-\text{GeSe}_2$

Диаграмма состояния системы  $\text{SnSe}-\text{Ge}_2\text{Se}_2$  (рис. 7.24) эвтектического типа [36]. Эвтектика содержит 45,1 %  $\text{GeSe}_2$  и кристаллизуется при 853 К. Фазовый переход со стороны  $\text{SnSe}$  экспериментально не обнаружен. Исходные образцы отжигали при 620 К в течение недели. Система исследована методами ДТА и РФА [36].



Р и с. 7.23. Диаграмма состояния системы SnSe-Ge [35]



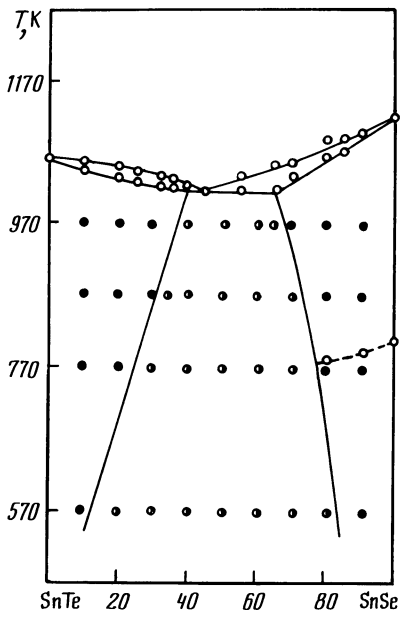
Р и с. 7.24. Диаграмма состояния системы SnSe-  
GeSe<sub>2</sub> [36]

#### Система SnSe-SnTe

Диаграмма состояния системы SnSe-SnTe (рис. 7.25) эвтектического типа [37]. Эвтектика содержит 55 % SnTe и кристаллизуется при 1028 К. С увеличением содержания в твердом растворе SnTe температура полиморфного превращения понижается и достигает 770 К при 80 % SnSe.

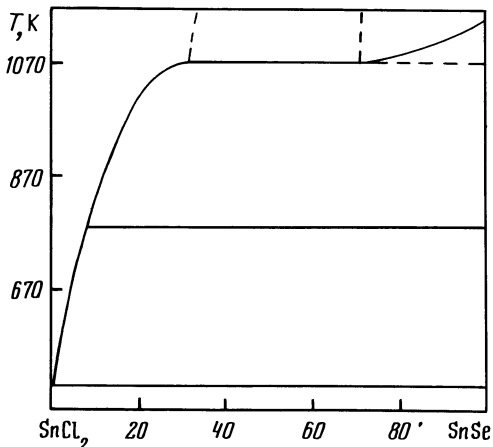
Растворимость SnSe в SnTe достигает 22 % при 710 К [38], 25 % при 720 К [39] и 30 % при 1045 К [40], а растворимость SnTe в SnSe составляет 28 % при 710 К [38] (25 % при 720 К [39]) и 40 % при 1045 К [40]. В области твердых растворов на основе SnSe ширина запрещенной зоны изменяется линейно от 1,2 эВ (SnSe) до 0,2 эВ (SnTe<sub>0,4</sub>Se<sub>0,6</sub>) [40].

Исходные образцы отжигали при 570-970 К в течение 100-150 ч [37] (при 720 К в течение 40 ч [39]). Система исследована методами ДТА и РФА [37-40].



Р и с. 7.25. Диаграмма состояния системы  $\text{SnSe}-\text{SnTe}$  [37]

1 - ДТА, 2 - одно- и 3 - двухфазные образцы



Р и с. 7.26. Диаграмма состояния системы  $\text{SnSe}-\text{SnCl}_2$  [41]

#### Система $\text{SnSe}-\text{SnCl}_2$

Диаграмма состояния системы  $\text{SnSe}-\text{SnCl}_2$  (рис. 7.26) эвтектического типа [41]. Эвтектика содержит 3,2 %  $\text{SnSe}$  и кристаллизуется при 517 К. При 870 К в расплаве  $\text{SnCl}_2$  растворяется 22,7 %  $\text{SnSe}$  [42].

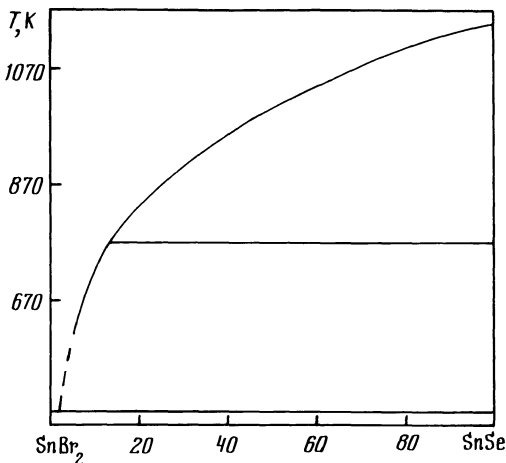
В тройной системе  $\text{Sn}-\text{Cl}-\text{Se}$  образуется соединение  $\text{Sn}_3\text{Cl}_2\text{Se}_5$ , имеющее пикнометрическую плотность 5,32 г/см<sup>3</sup> [43]. Соединение  $\text{Sn}_3\text{Cl}_2\text{Se}_5$  устойчиво к действию воды,  $\text{HCl}$ ,  $\text{H}_2\text{SO}_4$ , толуола, но медленно растворяется в  $\text{HNO}_3$  и щелочах.

Соединение  $\text{Sn}_3\text{Cl}_2\text{Se}_5$  получали взаимодействием  $\text{SnCl}_2$  и  $\text{Se}$  при 510 К в течение 20 ч [43]. Исходные образцы отжигали при 570–670 К в течение 750 ч [41]. Система исследована методом ДТА [41].

#### Система $\text{SnSe}-\text{SnBr}_2$

Диаграмма состояния системы  $\text{SnSe}-\text{SnBr}_2$  (рис. 7.27) эвтектического типа [41]. Эвтектика содержит 4,5 %  $\text{SnSe}$  и кристаллизуется при 497 К. Соединение состава  $\text{Sn}_2\text{SeBr}_2$  не обнаружено [44].

Исходные образцы отжигали при 570–670 К в течение 750 ч [41]. Система исследована методом ДТА [41].



Р и с. 7.27. Диаграмма состояния системы  $\text{SnSe}-\text{SnBr}_2$  [41]

### Система $\text{SnSe}-\text{SnI}_2$

Диаграмма состояния системы  $\text{SnSe}-\text{SnI}_2$  представлена на рис. 7.28 [41, 45]. В системе образуется соединение  $\text{Sn}_3\text{SeI}_4$ , плавящееся инконгруэнто при 590 К (603 К [41]) и кристаллизующееся в тетрагональной структуре с параметрами элементарной ячейки  $a = 8,455 \text{ \AA}$ ,  $c = 15,87 \text{ \AA}$ , рентгенографической и пикнометрической плотностью соответственно 5,52 и 5,60 г/см<sup>3</sup>. Существование соединения  $\text{Sn}_2\text{SeI}_2$  [44] не подтвердилось в работе [45]. Эвтектика между  $\text{SnI}_2$  и тройным соединением содержит 8 %  $\text{SnSe}$  и кристаллизуется при 579 К [45] (5 %  $\text{SnSe}$  и 585 К [41]).

Монокристаллы  $\text{Sn}_3\text{SeI}_4$  получали путем отжига стехиометрических смесей исходных компонентов при 584 К в течение 7 дней [45].

Исходные образцы отжигали при 570-670 К в течение 750 ч [41, 45]. Система исследована методами ДТА и РФА [41, 45].

### Система $\text{SnSe-PbS}$

Расторимость  $\text{SnSe}$  в  $\text{PbS}$  при 1010 К составляет 15 %, а растворимость  $\text{PbS}$  в  $\text{SnSe}$  при 930 К достигает 30 % [46]. Исходные образцы отжигали при 930 и 1010 К в течение 80 ч и исследовали методом РФА.

### Система $\text{SnSe-PbSe}$

Диаграмма состояния системы  $\text{SnSe-PbSe}$  (рис. 7.29) эвтектического типа [47-51]. Эвтектика содержит 70 %  $\text{SnSe}$  и кристаллизуется при 1131 К [50] (72 % и 1138 К [51]; 75 % и 1128 К [48, 49]; 1143 К [47]). Растворимость  $\text{PbSe}$  в  $\text{SnSe}$  достигает 18 % при 770 К [52, 53] и 24-28 % при эвтектической температуре [38, 47-50], а растворимость  $\text{SnSe}$  в  $\text{PbSe}$  составляет 37-43 % при 770 К [38, 52-54] и 44-46 % [50, 55] (52 %

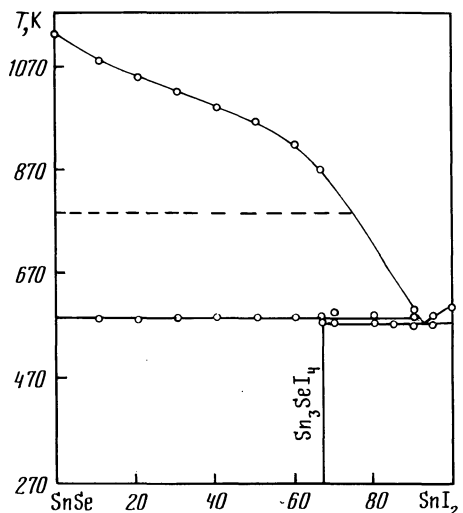


Рис. 7.28. Диаграмма состояния системы SnSe-SnI<sub>2</sub> [41, 45]

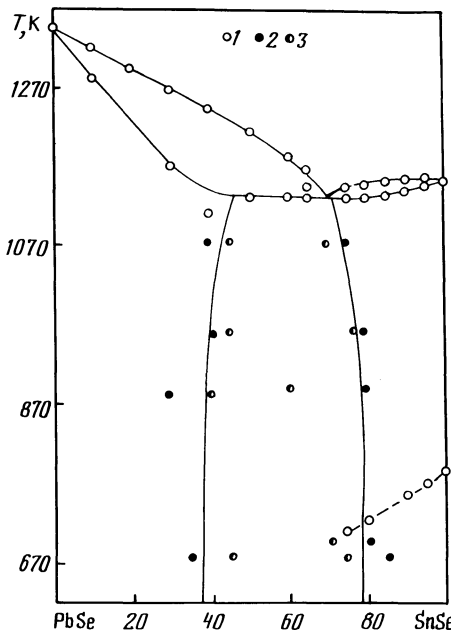


Рис. 7.29. Диаграмма состояния системы SnSe-PbSe [50]

I - ДТА, 2 - одно- и 3 - двухфазные образцы

[47-49] при эвтектической температуре. Термические эффекты в области твердых растворов на основе SnSe связаны с полиморфным превращением SnSe [48-50].

На поверхности ликвидуса тройной системы Sn-Pb-Se (рис. 7.30) имеются две области расслаивания [48, 49, 51, 56-59], одна из которых занимает значительную часть полей первичной кристаллизации PbSe и SnSe<sub>2</sub>, а другая - существует в областях первичной кристаллизации PbSe и SnSe [51]. Основную площадь концентрационного треугольника занимают поля первичной кристаллизации PbSe, SnSe и SnSe<sub>2</sub>. Эвтектическая линия со стороны Sn-Pb является вырожденной.

Увеличение содержания SnSe в PbSe приводит к уменьшению ширине запрещенной зоны, а при составе 20 % SnSe к явлению инверсии зон [60].

Исходные образцы отжигали при 870-890 K в течение 520 ч [50] (при 1060-1080 K в течение 360 ч [48, 49]; при 770 K в течение 200 ч [52]; при 720-850 K в течение 80 ч [38]). Система исследована методами ДТА, РФА и МСА, а также измерениями термоЭДС, электро- и теплопроводности [48-52, 59].

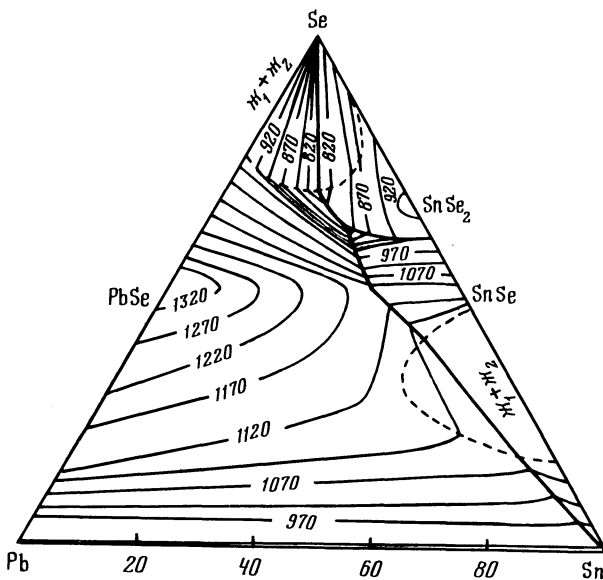


Рис. 7.30. Поверхность ликвидуса  
тройной системы Sn-Pb-Se [51]

#### Система SnSe-PbTe

Система SnSe-PbTe является неквазибинарным сечением тройной взаимной системы Sn,Pb // Se,Te (рис. 7.31) [61]. Точки пересечения разрезом моновариантной линии эвтектической кристаллизации двух твердых растворов соответствует состав 78 % SnSe и температура 1093 К. Растворимость SnSe в PbTe при 890 К достигает 62,5 % [61] (70 % при 970 К [62]) и уменьшается до 39 % при 790 К [46], а растворимость PbTe в SnSe составляет 10 % при 890 К [61] (при 770 К [46]). В области твердых растворов на основе PbTe параметр элементарной ячейки и ширина запрещенной зоны в зависимости от состава уменьшаются линейно [61, 62].

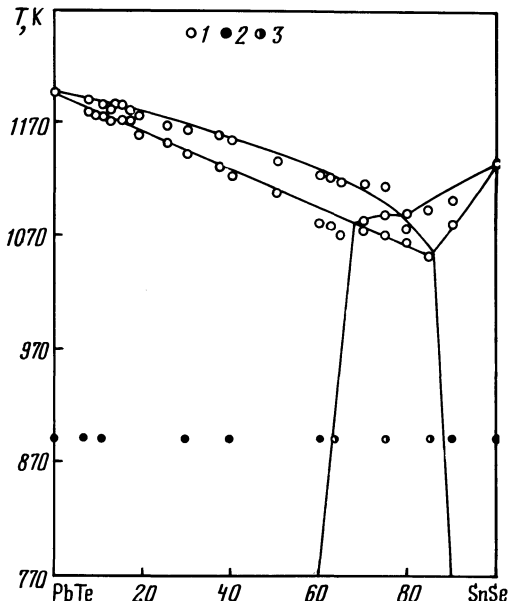
Исходные образцы отжигали при 890 К в течение 500 ч [61] (при 770-790 К в течение 80 ч [46]; при 970 К в течение 14 дней [62]). Система исследована методами ДТА, РФА и МСА, а также измерением микротвердости [61].

#### Система SnSe-P

В тройной системе Sn-P-Se образуется соединение  $\text{Sn}_2\text{P}_2\text{Se}_6$  [63-67], кристаллизующееся в моноклинной структуре с параметрами элементарной ячейки  $a = 6,827 \text{ \AA}$ ,  $b = 7,700 \text{ \AA}$ ,  $c = 11,718 \text{ \AA}$ ,  $\beta = 124^{\circ}53'$  [64] ( $a = 6,97 \text{ \AA}$ ,  $b = 7,65 \text{ \AA}$ ,  $c = 11,68 \text{ \AA}$ ,  $\beta = 124,5^{\circ}$  [65];  $a = 6,81 \text{ \AA}$ ,  $b = 7,679 \text{ \AA}$ ,  $c = 11,706 \text{ \AA}$ ,  $\beta = 124,47^{\circ}$  [67]), рентгенографической и пикнометрической плотностью соответственно 5,06 и 4,99 г/см<sup>3</sup> [64] (5,14 и

Рис. 7.31. Политермическое сечение  $\text{SnSe}-\text{PbTe}$  [61].

I - ДТА, 2 - одно и 3 - двухфазные образцы



5, II г/см<sup>3</sup> [65]). Указанное соединение имеет область гомогенности в интервале 40–45 % PSe вдоль разреза  $\text{SnSe}_2-\text{PSe}$  [66]. При нагревании в вакууме до 770 К  $\text{Sn}_2\text{P}_2\text{Se}_6$  разлагается на SnSe и летучие селениды фосфора [63], химически устойчиво, растворимо только в концентрированной  $\text{HNO}_3$ , царской водке, концентрированных и расплавленных щелочах [64].

Соединение  $\text{Sn}_2\text{P}_2\text{Se}_6$  синтезировали методом сублимации, используя SnSe, P и Se [63–65], или методом XTP (носитель – иод) [67].

#### Система $\text{SnSe}-\text{As}_2\text{S}_3$

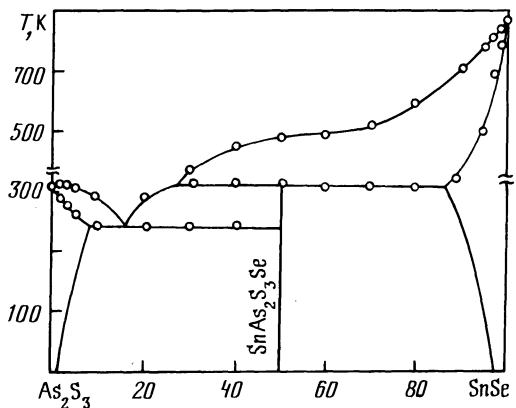
Диаграмма состояния системы  $\text{SnSe}-\text{As}_2\text{S}_3$  представлена на рис. 7.32 [68]. Эвтектика содержит 15 % SnSe и кристаллизуется при 513 К. Соединение  $\text{SnAs}_2\text{S}_3\text{Se}$  плавится инконгруэнтно при 598 К. Растворимость SnSe в  $\text{As}_2\text{S}_3$  при комнатной температуре составляет 1,3 %, а  $\text{As}_2\text{S}_3$  в SnSe – 2,7 %.

Исходные образцы отжигали при 490 К в течение 560 ч. Система исследована методами ДТА, РФА и МСА, а также измерением микротвердости и плотности [68].

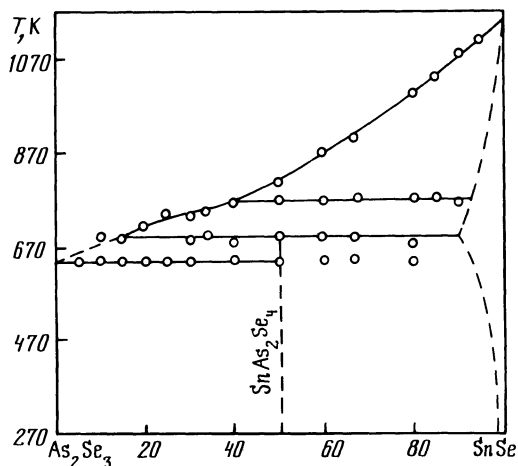
#### Система $\text{SnSe}-\text{As}_2\text{Se}_3$

Диаграмма состояния системы  $\text{SnSe}-\text{As}_2\text{Se}_3$  представлена на рис. 7.33 [69, 70]. В системе образуется соединение  $\text{SnAs}_2\text{Se}_4$ , плавящееся инконгруэнтно и существующее в интервале 645–695 К. Эвтектика вырождена со стороны  $\text{As}_2\text{Se}_3$  и кристаллизуется при 643 К. Растворимость SnSe в  $\text{As}_2\text{Se}_3$  достигает 33 % [71].

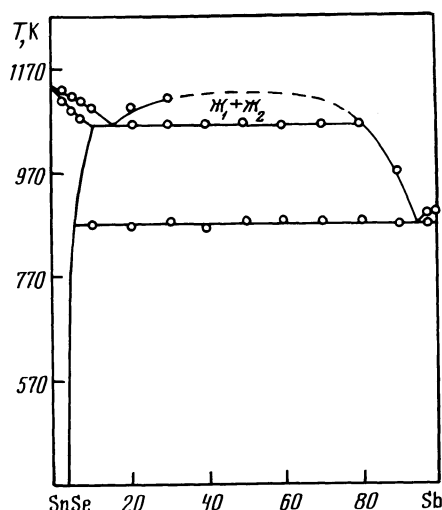
Система исследована методами ДТА, РФА и МСА, а также измерением микротвердости [69, 70].



Р и с. 7.32. Диаграмма состояния системы SnSe-As<sub>2</sub>S<sub>3</sub> [ 68 ]



Р и с. 7.33. Диаграмма состояния системы SnSe-As<sub>2</sub>Se<sub>3</sub> [ 69 ]



Р и с. 7.34. Диаграмма состояния системы SnSe-Sb [ 72 ]

### Система SnSe-Sb

Диаграмма состояния системы SnSe-Sb (рис. 7.34) эвтектического типа Г 72 J. Эвтектика содержит 5 % SnSe и кристаллизуется при 873 К. При 1073 К в системе наблюдается расслаивание. Область твердых растворов на основе SnSe при комнатной температуре составляет 4 % Sb, а SnSe в Sb практически не растворяется. Ширина запрещенной зоны в области твердых растворов на основе SnSe уменьшается от 0,96 (SnSe) до 0,76 эВ для сплавов, содержащих 4 % Sb.

Исходные образцы отжигали при 820-840 К в течение 250 ч. Система исследована методами ДТА, РФА, МСА, а также измерением микротвердости, плотности и электрофизических свойств Г 72 J.

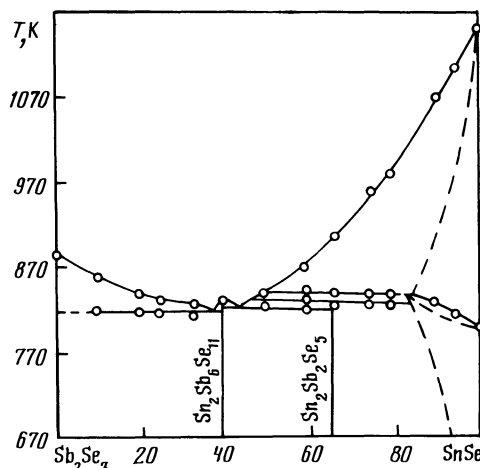
### Система SnSe-Sb<sub>2</sub>Se<sub>3</sub>

Система SnSe-Sb<sub>2</sub>Se<sub>3</sub> является неквазибинарным сечением тройной взаимной системы Sn, Sb || S, Se Г 73, 74 J. Из расплава первично кристаллизуются твердые растворы Sb<sub>2</sub>(S<sub>x</sub>Se<sub>1-x</sub>)<sub>3</sub> (α), Sn<sub>2</sub>Sb<sub>6</sub>(S<sub>x</sub>Se<sub>1-x</sub>)<sub>11</sub> (β), SnS<sub>x</sub>Se<sub>1-x</sub> (γ) и твердый раствор на основе Sn<sub>2</sub>Sb<sub>2</sub>Se<sub>5</sub>. Твердые растворы γ претерпевают полиморфное превращение при 780-810 К и содержат до 9 % Sb<sub>2</sub>Se<sub>3</sub>.

Исходные образцы отжигали при 670 К в течение 700 ч Г 73 J. Система исследована методами ДТА, РФА и МСА, а также измерением микротвердости Г 73, 74 J.

### Система SnSe-Sb<sub>2</sub>Se<sub>3</sub>

Диаграмма состояния системы SnSe-Sb<sub>2</sub>Se<sub>3</sub> представлена на рис. 7.35 Г 74-76 J. В системе образуются соединения Sn<sub>2</sub>Sb<sub>6</sub>Se<sub>11</sub>, плавящееся конгруэнтно при 834 К Г 74-76 J, и Sn<sub>2</sub>Sb<sub>2</sub>Se<sub>5</sub>, плавящееся инконгруэнтно при 836 К Г 74, 75 J. Согласно Г 77 J в системе образуется соединение SnSb<sub>2</sub>Se<sub>4</sub>, кристаллизующееся в ромбической структуре с параметрами элементарной ячейки a = 26,610 Å, b = 21,066 Å, c = 4,0423 Å и рентгенографической



Р и с. 7.35. Диаграмма состояния системы SnSe-Sb<sub>2</sub>Se<sub>3</sub> Г 75 J

плотностью 5,96 г/см<sup>3</sup>. Температура фазового превращения SnSe при увеличении содержания Sb<sub>2</sub>Se<sub>3</sub> повышается до 843 К при 15 % Sb<sub>2</sub>Se<sub>3</sub> [75]. (при 9 % Sb<sub>2</sub>Se<sub>3</sub> [76]). В интервале 50–70 % Sb<sub>2</sub>Se<sub>3</sub> при охлаждении обнаружены неравновесные термические эффекты [76]. Эвтектики содержат 38,5 и 45,5 % SnSe и кристаллизуются соответственно при 823 и 826 К [76].

Растворимость Sb<sub>2</sub>Se<sub>3</sub> в SnSe при 670 К достигает 6 %, а растворимость SnSe в Sb<sub>2</sub>Se<sub>3</sub> незначительна [75].

Соединение SnSb<sub>2</sub>Se<sub>4</sub> получали нагреванием смеси элементарных веществ при 1120 К в течение 4 ч, а затем отжигали при 810 К в течение 120 ч [77]. Исходные образцы отжигали при 670 К в течение 700 ч [74, 75] (240 ч [76]). Система исследована методами ДТА, РФА и МСА, а также измерением микротвердости [74–76].

### Система SnSe-SbI<sub>3</sub>

В системе SnSe-SbI<sub>3</sub> образуется соединение Sn<sub>2</sub>SbSe<sub>2</sub>I<sub>3</sub>, имеющее ширину запрещенной зоны при комнатной температуре 1,22 эВ [78]. Указанное соединение получали методом XTP из смеси исходных бинарных компонентов.

### Система SnSe-Bi

Диаграмма состояния системы SnSe-Bi (рис. 7.36) эвтектического типа в расслаивании в жидком состоянии [79, 80]. Эвтектика вырождена со стороны Bi и кристаллизуется при 538 К [79] (содержит 5 % Bi и кристаллизуется при 533 К [80]). Монтективская реакция протекает при 1078 К [79] (при 1073 К [80]). Термические эффекты при 808 К отвечают полиморфному превращению SnSe [79]. Взаимная растворимость компонентов не превышает 1 %.

В работе [81] построена поверхность ликвидуса и изотермическое сечение при 720 К тройной системы Sn-Bi-Se. На поверхности ликвидуса имеют-

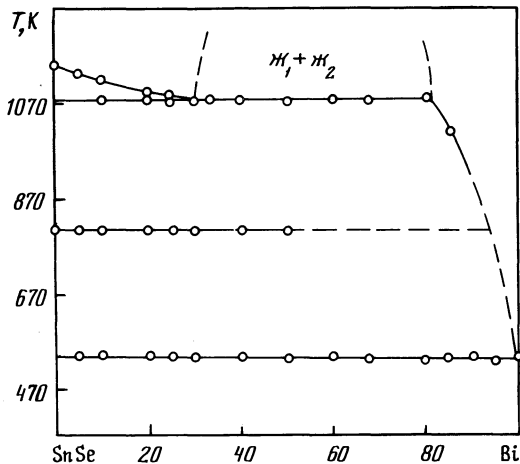


Рис. 7.36. Диаграмма состояния системы SnSe-Bi [79].

ся I2 полей первичной кристаллизации фаз и две области расслоивания (рис. 7.37). Фазовые соотношения в системе обусловлены нонвариантными равновесиями, приведенными в табл. 7.4. Линии моновариантных равновесий, ограничивающих области первичной кристаллизации соединений A, B, δ и C, нанесены ориентировочно.

При 720 К область твердого состояния занимает преимущественную часть составов изотермического сечения / 8I /. Небольшие области жидкого состояния прилегают к селеновому углу и стороне Sn-Bi.

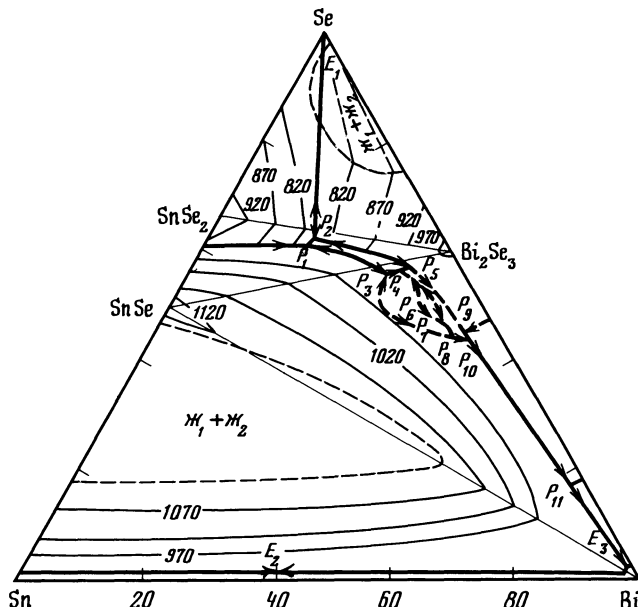


Рис. 7.37. Поверхность ликвидуса тройной системы Sn-Bi-Se / 8I /

Таблица 7.4

Нонвариантные равновесия в тройной системе Sn-Bi-Se / 8I /

Обозначение	Реакция	Обозначение	Реакция
P <sub>1</sub>	$\text{Ж} + (\text{SnSe}) \rightleftharpoons \text{A} + (\text{SnSe}_2)$	P <sub>6</sub>	$\text{Ж} + \delta \rightleftharpoons \text{B} + \text{C}$
P <sub>2</sub>	$\text{Ж} + (\text{Bi}_2\text{Se}_3) \rightleftharpoons \text{A} + (\text{SnSe}_2)$	P <sub>7</sub>	$\text{Ж} + \delta \rightleftharpoons \text{B} + \text{C}$
P <sub>3</sub>	$\text{Ж} + (\text{SnSe}) \rightleftharpoons \text{A} + \text{B}$	P <sub>8</sub>	$\text{Ж} + \text{B} \rightleftharpoons \text{C} + (\text{SnSe})$
P <sub>4</sub>	$\text{Ж} + \text{B} \rightleftharpoons \text{A} + \text{C}$	P <sub>9</sub>	$\text{Ж} + (\text{Bi}_2\text{Se}_3) \rightleftharpoons \text{C} + (\text{BiSe})$
P <sub>5</sub>	$\text{Ж} + \text{A} + (\text{Bi}_2\text{Se}_3) \rightleftharpoons \text{C}$	P <sub>10</sub>	$\text{Ж} + \text{C} \rightleftharpoons (\text{SnSe}) + (\text{BiSe})$

Примечание.  $\delta$  - фаза в системе SnSe-BiSe; A - ( $\text{SnBi}_2\text{Se}_4$ ); B - ( $\text{SnBi}_2\text{Se}_2$ ); C - ( $\text{SnBi}_4\text{Se}_5$ )

Исходные образцы отжигали при 500 К (720 К / 8I 7) в течение 1000 ч / 79,7/. Система исследована методами ДТА, РФА и МСА, локального рентгеноспектрального анализа, а также измерениями микротвердости, термоЭДС и коэффициента Холла / 79-81 /.

#### Система SnSe-BiSe

Система SnSe-BiSe является неквазибинарным сечением тройной системы Sn-Bi-Se, так как BiSe плавится инконгруэнтно / 79,8I 7/. В системе образуются соединения  $\text{SnBi}_4\text{Se}_5$ , кристаллизующееся в гексагональной структуре с параметрами элементарной ячейки  $a = 4,223 \text{ \AA}$ ,  $c = 56,70 \text{ \AA}$ ,  $\text{SnBiSe}_2$  и  $\delta$ -фаза, состав которой близок к  $\text{Sn}_3\text{Bi}_9\text{Se}_{13}$ . Соединение  $\text{SnBiSe}_2$  существует при 50-55 % BiSe и 818-968 К, а  $\delta$ -фаза устойчива при 65-75 % BiSe и 833-883 К. Соединение  $\text{SnBiSe}_2$  и  $\delta$ -фаза образуются при охлаждении по перитектическим и разлагаются по эвтектоидным реакциям. Однофазные образцы  $\delta$ -фазы получить не удалось.

Расторимость SnSe в BiSe достигает 10 % (при 720 К - 5 %), а BiSe в SnSe - 4 % (при 720 К - 2 %).

Исходные образцы отжигали при 720 К в течение 1000 ч. Отдельные сплавы отжигали при 770-920 К в течение 720 ч. Система исследована методами ДТА, РФА и МСА, локального рентгеноспектрального анализа, а также измерениями электропроводности, термоЭДС и коэффициента Холла / 79,8I 7/.

#### Система SnSe-Bi<sub>2</sub>Se<sub>3</sub>

Диаграмма состояния системы SnSe-Bi<sub>2</sub>Se<sub>3</sub> представлена на рис. 7.38 / 82 /. Согласно / 83 / диаграмма состояния относится к типу Ш по классификации Розебома с минимумом при 40 % SnSe и 933 К, однако эти результаты нельзя считать достаточно надежными / 8I 7/. В системе обнаружено тройное соединение ( $\gamma$ -фаза) с областью гомогенности в интервале 30-55 % SnSe / 79,82 /.  $\gamma$ -фаза кристаллизуется в ромбоэдрической структуре ти-

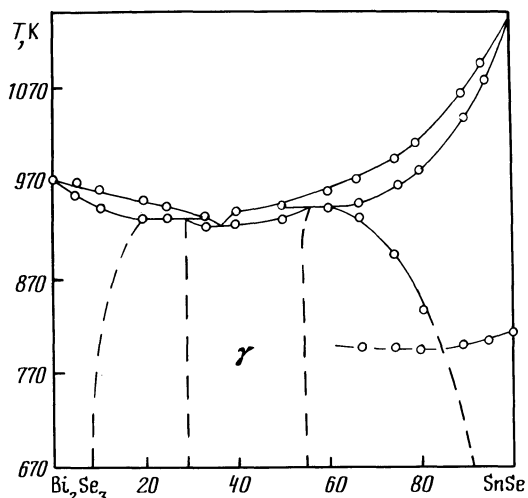


Рис. 7.38. Диаграмма состояния системы SnSe-Bi<sub>2</sub>Se<sub>3</sub> / 82 /

па тетрадимита с параметрами элементарной ячейки при 50 %  $\text{SnSe}$  (в гексагональной установке)  $a = 4,188 \text{ \AA}$  и  $c = 39,46 \text{ \AA}$  [79]. При насыщении  $\gamma$ -фазы селенидом олова она разлагается по перитектической реакции при 943 К, а при насыщении селенидом висмута - при 933 К [82]. Температура полиморфного превращения  $\text{SnSe}$  понижается до 798 К при содержании более 10 %  $\text{Bi}_2\text{Se}_3$ .

Растворимость  $\text{SnSe}$  в  $\text{Bi}_2\text{Se}_3$  при 930 К достигает 18 % и уменьшается до 7 % при 720 К, а растворимость  $\text{Bi}_2\text{Se}_3$  в  $\text{SnSe}$  составляет 35 % при 940 К и 12 % при 720 К.

Исходные образцы отжигали при 720 К в течение 920-1000 ч. Система исследована методами ДТА, РФА и МСА [79, 82].

#### Система $\text{SnSe}-\text{O}_2$

В тройной системе  $\text{Sn}-\text{O}-\text{Se}$  образуется соединение  $\text{Sn}_5\text{O}_6\text{Se}_4$ , имеющее пикнометрическую плотность  $6,62 \text{ г}/\text{см}^3$ , устойчивое к действию воды, кислот, щелочей и органических растворителей [84]. Указанное соединение получали взаимодействием  $\text{SnO}$  и  $\text{Se}$  при 670 К.

#### Система $\text{SnSe}-\text{Mo}$

При низкотемпературной диффузии олова (750 К) в  $\text{Mo}_{15}\text{Se}_{19}$  в тройной системе  $\text{Sn}-\text{Mo}-\text{Se}$  образуются соединения  $\text{Sn}_{2,1}\text{Mo}_{15}\text{Se}_{19}$ ,  $\text{Sn}_{2,6}\text{Mo}_{15}\text{Se}_{19}$  (если исходный  $\text{Mo}_{15}\text{Se}_{19}$  получен при взаимодействии  $\text{HCl}$  с  $\text{In}_3\text{Mo}_{15}\text{Se}_{19}$ ),  $\text{Sn}_2\text{Mo}_{15}\text{Se}_{19}$  и  $\text{Sn}_{2,5}\text{Mo}_{15}\text{Se}_{19}$  (если исходный  $\text{Mo}_{15}\text{Se}_{19}$  получен при взаимодействии  $\text{HCl}$  с  $\text{In}_2\text{Mo}_{15}\text{Se}_{19}$ ), кристаллизующиеся в гексагональной структуре с параметрами элементарной ячейки соответственно  $a = 9,7763$ ;  $9,8901$ ;  $9,6762$  и  $9,7760 \text{ \AA}$ ,  $c = 19,790$ ;  $19,571$ ;  $57,982$  и  $57,792 \text{ \AA}$  [85]. Указанные соединения термически разлагаются при температурах выше 1070 К.

#### Системы $\text{SnSe}-\text{Br}_2(\text{I}_2)$

При комнатной температуре спиртовый раствор  $\text{Br}_2(\text{I}_2)$  переводит  $\text{SnSe}$  в  $\text{SnBr}_4(\text{SnI}_4)$  с выделением элементарного  $\text{Se}$  [86].

#### Система $\text{SnSe}-\text{FeSe}$

Диаграмма состояния системы  $\text{SnSe}-\text{FeSe}$  представлена на рис. 7.39 [87]. В системе образуется соединение  $\text{SnFeSe}_2$ , плавящееся инконгруэнтно при 1053 К. Эвтектика между  $\text{SnSe}$  и тройным соединением содержит 25%  $\text{FeSe}$  и кристаллизуется при 1013 К. Термические эффекты при 723 К обусловлены перитектоидным превращением  $\theta\text{-FeSe}$  в  $\gamma\text{-FeSe}$ .

Исходные образцы отжигали при 870-970 К в течение 350 ч. Система исследована методами ДТА, РФА, МСА и измерением микротвердости [87].

#### Система $\text{SnSe}-\text{Co}$

Путем сплавления элементарных веществ, взаимодействия  $\text{Co}$  и  $\text{SnSe}$ , а также  $\text{Co}_3\text{Se}_2$  и  $\text{Sn}$  в системе синтезировано соединение  $\text{Co}_3\text{Sn}_2\text{Se}_2$ , кристаллизующееся в структурном типе шандита  $\text{Ni}_3\text{PbS}_2$  [88].

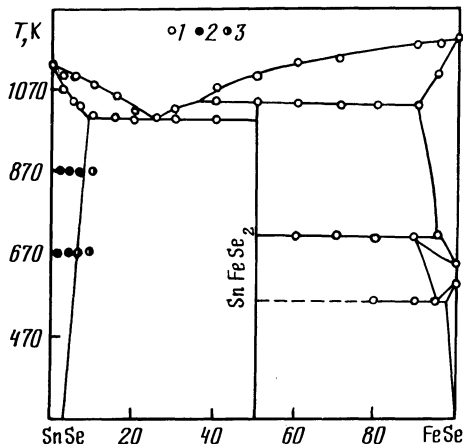


Рис. 7.39. Диаграмма состояния системы SnSe-FeSe [87].  
I - ДТА, 2 - одно- и 3 - двухфазные образцы

#### Система SnSe-CoSe

Диаграмма состояния системы SnSe-CoSe представлена на рис. 7.40 [87]. В системе образуется соединение  $\text{SnCoSe}_2$ , плавящееся инконгруэнтно при 1043 К. Эвтектика между SnSe и тройным соединением содержит 35 % CoSe и кристаллизуется при 1013 К.

Исходные образцы отжигали при 870-970 К в течение 350 ч. Система исследована методами ДТА, РФА, МСА и измерением микротвердости [87].

#### Система SnSe-Ni

Путем сплавления элементарных веществ, взаимодействия Ni и SnSe, а также  $\text{Ni}_3\text{Se}_2$  и Sn в системе синтезировано соединение  $\text{Ni}_3\text{Sn}_2\text{Se}_2$ , кристаллизующееся в структурном типе шандита  $\text{Ni}_3\text{PbS}_2$  [88].

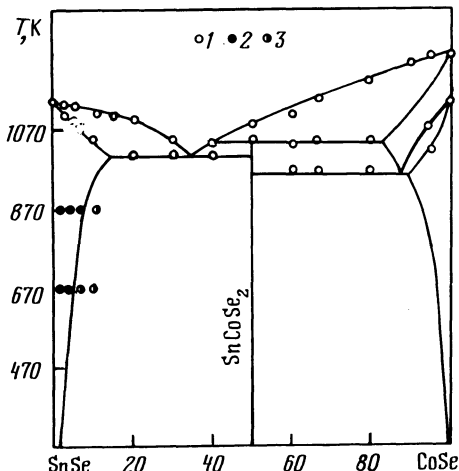


Рис. 7.40. Диаграмма состояния системы SnSe-CoSe [87].  
I - ДТА, 2 - одно- и 3 - двухфазные образцы

### Система SnSe-NiSe

Диаграмма состояния системы SnSe-NiSe представлена на рис. 7.4I [87]. В системе образуется соединение  $\text{SnNiSe}_2$ , плавящееся инконгруэнтно при 1003 К. Эвтектика между SnSe и тройным соединением содержит 20 % NiSe и кристаллизуется при 973 К.

Исходные образцы отжигали при 870-970 К в течение 350 ч. Система исследована методами ДТА, РФА, МСА и измерением микротвердости [87].

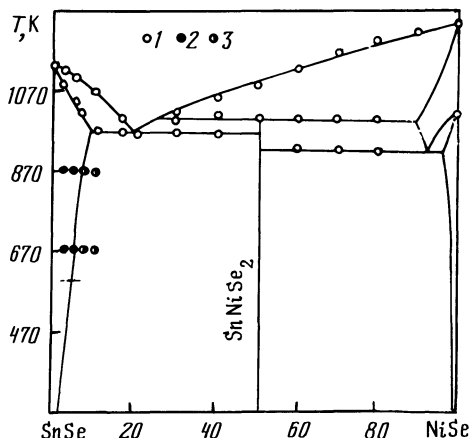


Рис. 7.4I. Диаграмма состояния системы SnSe-NiSe [87]

1 - ДТА, 2 - одно- и 3 - двухфазные образцы

### Системы SnSe-Rh(Pd)

Путем сплавления элементарных веществ, взаимодействия Rh(Pd) и SnSe, а также  $\text{Rh}_3\text{Se}_2$  ( $\text{Pd}_3\text{Se}_2$ ) и Sn в системах синтезированы соединения  $\text{Rh}_3\text{Sn}_2\text{Se}_2$  ( $\text{Pd}_3\text{Sn}_2\text{Se}_2$ ), кристаллизующиеся в структурном типе шандита  $\text{Ni}_3\text{PbS}_2$  [88].

### Литература

1. Бергер Л.И., Котина Е.Г. // Изв. АН СССР. Неорган. материалы. 1973. Т. 9, № 3. С. 368-370.
2. Rivet J., Laruelle P., Flahaut J., Fichet R. // Bull. Soc. chim. France. 1970. N 5. P. 1667-1670.
3. Довлетов К., Ташиев К., Розыева К.А. и др. // Изв. АН СССР. Неорган. материалы. 1977. Т. 13, № 6. С. 1092-1093.
4. Довлетов К., Крживицкая С.Н., Ташиев К. // Изв. АН ТССР. Сер. физ.-техн. и геол. наук. 1974. № 1. С. II7-II8.
5. Ворошилов Ю.В., Поторий М.В., Приц И.Б. // Изв. вузов. Химия и хим. технология. 1986. Т. 29, № 2. С. 19-21.
6. Бергер Л.И., Котина Е.Г., Обозненко Ю.В., Ободовская А.Е. // Изв. АН СССР. Неорган. материалы. 1973. Т. 9, № 2. С. 225-230.
7. Бергер Л.И., Котина Е.Г., Обозненко Ю.В., Ободовская А.Е. // Изв. АН СССР. Неорган. материалы. 1973. Т. 9, № 2. С. 222-224.
8. Ollitrault-Fichet R., Rivet J., Flahaut J. et al. // J. Less-Common Metals. 1988. Vol. 138, N 2. P. 241-261.

9. Gorochoff O. // C.r. Acad. sci. 1968. Vol. C266, N 14. P. 1059-1062.
10. Rouland J.-C., Legendre B., Souleau C. // Bull. Soc. chim. France. 1976. N 11/12. Pt.1. P. 1614-1624.
- II. Rouland J.-C., Souleau C., Legendre B. // C.r. Acad. sci. 1975. Vol. C281, N 18. P. 719-722.
12. Галиулин Э.А., Один И.Н., Новоселова А.В.// Журн. неорган. химии. 1982. Т. 27, № 1. С. 266-268.
13. Один И.Н., Галиулин Э.А., Чудакова Л.С., Новоселова А.В. // Журн. неорган. химии. 1983. Т. 28, № 3. С. 764-769.
14. Галиулин Э.А., Один И.Н., Новоселова А.В. // Журн. неорган. химии. 1981. Т. 26, № 7. С. 1881-1883.
15. Рустамов П.Г., Алиджанов М.А., Насиров Я.Н. и др. // Теплофизические свойства твердых веществ. М.: Наука, 1976. С. 92-97.
16. Alapini F., Flahaut J., Fourcroy P.H. et al. // Ann. chim. (France). 1981. Vol. 6, N 6, P. 501-514.
17. Довлетов К., Мархуда Ю.А., Аникин А.В., Аширов А. // Изв. АН СССР. Неорган. материалы. 1978. Т. 14, № 1. С. 33-35.
18. Alapini F., Guittard M., Joulien-Pouzol M. // C.r. Acad. sci. 1980. Vol. C290, N 22. P. 433-435.
19. Рустамов П.Г., Мардахаев Б.Н., Гаджиева А.З. // Азерб. хим. журн. 1973. № 2. С. II4-II7.
20. Рустамов П.Г., Гаджиева А.З., Мардахаев Б.Н. // Журн. неорган. химии. 1976. Т. 21, № 2. С. 518-521.
21. Мамедова А.З., Мардахаев Б.Н., Рустамов П.Г. // Азерб. хим. журн. 1984. № 6. С. 102-106.
22. Довлетов К., Аникин А.В., Аширов А. // Изв. АН ТССР. Сер. физ.-техн. хим. и геол. наук. 1974. № 3. С. I7-20
23. Рустамов П.Г., Гаджиева А.З., Мардахаев Б.Н. // Изв. АН СССР. Неорган. материалы. 1974. Т. 10, № 10. С. I796-I799.
24. Кулиев А.А., Каграманян З.Г. // Азерб. хим. журн. 1978. № 4. С. II3-II6.
25. Houenou P., Eholié R., Flahaut J. // C.r. Acad. sci. 1979. Vol. C288, N 6. P. 193-195.
26. Мургузов М.И., Гуршумов А.П., Ахмедов А.М. и др. // Журн. неорган. химии. 1986. Т. 31, № 12. С. 3097-3100.
27. Houenou P., Eholié R., Flahaut J. // J. Less-Common Metals. 1981. Vol. 81, N 2. P. 181-197.
28. Готук Али Аларик, Бабанлы М.Б., Кулиев А.А. // Изв. АН СССР. Неорган. материалы. 1978. Т. 14, № 3. С. 587-588.
29. Гуршумов А.П., Кулиев Б.Б., Ахмедов А.М. и др. // Изв. АН СССР. Неорган. материалы. 1984. Т. 20, № 7. С. I090-I094.
30. Мургузов М.И., Гуршумов А.П., Гадиров Б.Ш. // Журн. неорган. химии. 1986. Т. 31, № 7. С. I906-I908.
31. Гуршумов А.П., Гадиров Б.Ш., Мургузов М.И. // Изв. АН СССР. Неорган. материалы. 1986. Т. 22, № 4. С. 587-589.
32. Оруджев Н.М., Гуршумов А.П., Мехрабов А.О. и др. // Изв. АН СССР. Неорган. материалы. 1988. Т. 24, № 10. С. I606-I608.
33. Гараев З.Ш., Насибов И.О., Султанов Т.И. // Уч. зап. Азерб. гос. пед. ин-та. 1968. Сер. XI. № 4. С. II4-I24.
34. Мургузов М.И., Гуршумов А.П., Кадырлы Х.В. // Журн. неорган. химии. 1984. Т. 29, № 10. С. 2696-2699.
35. Baldé L., Legendre B., Khodadad P.// J. Chem. Res. Synop. 1979. N 5. P. 162-163.

36. Baldé L., Khodadad P. // C.r. Acad. sci. 1974. Vol. C278, N 4. P. 243-246.
37. Totami A., Okazaki H., Nakajima S. // Trans. Metallurg. Soc. AIME. 1968. Vol. 242, N 4. P. 709-712.
38. Krebs H., Grün K., Kallen D. // Z. anorg. und allg. Chem. 1961. Bd. 312, N 5/6. S. 307-313.
39. Васильев Л.Н., Крыльников Ю.В., Мелех Б.Т. и др. // Изв. АН СССР. Неорган. материалы. 1976. Т. I2, № 1. С. II9-II20.
40. Насиров Я.Н., Фейзиев Я.С. // Изв. АН СССР. Неорган. материалы. 1969. Т. 5, № 2. С. 380-382.
41. Blachnik R., Kasper F.-W.//Z. Naturforsch. 1974. Bd.B29, N 3/4. S. 159-162.
42. Родионов Ю.И., Клокман В.Р., Мякишев К.Г. // Журн. неорган. химии. 1972. Т. I7, № 3. С. 846-851.
43. Бацанов С.С., Шестакова Н.А., Хрипин Л.А. // Докл. АН СССР. 1963. Т. I52, № 3. С. 606-608.
44. Thévet F., Nguyen Huy Dung, Dargon C. // C.r. Acad. sci. 1972. Vol. C275, N 21. P. 1279-1281.
45. Thévet F., Nguyen Huy Dung, Dargon C. // C.r. Acad. sci. 1975. Vol. C281, N 21. P. 865-867.
46. Krebs H., Langner D. // Z.anorg.und allg.Chem.1964.Bd.334, N 1/2. S. 37-49.
47. Strauss A.J.// Trans.Metallurg. Soc. AIME. 1968.Vol.242, N 3. P. 354-365.
48. Zlomanov V.P., White W.B., Roy R. // Metal.Trans. 1971. Vol. 2, N 1. P. 121-124.
49. Штанов В.И., Зломанов В.П., Новоселова А.В. // Полупроводники с узкой запрещенной зоной и полуметаллы. Материалы 5-го Всесоюз. симп. Львов, 1980. Ч. 2. С. 94-96.
50. Штанов В.И., Зломанов В.П., Новоселова А.В. // Изв. АН СССР. Неорган. материалы. 1974. Т. 10, № 2. С. 224-227.
51. Лапытов З.М., Савельев В.П., Зломанов В.П., Парфенов В.В. // Физ.-хим. изучение неорган. соедин. Чебоксары, 1976. Вып. 3. С. I35-I40.
52. Лапытов З.М., Савельев В.П., Аверьянов И.С. // Изв. АН СССР. Неорг. материалы. 1971. Т. 7, № 8. С. I33I-I333.
53. Волков Б.А., Кучеренко И.В., Моисеенко В.Н., Шотов А.П. // Письма в ЖЭТФ. 1978. Т. 27, № 7. С. 396-399.
54. Nikolić P.M.// Brit.J.Appl.Phys. 1967. Vol. 18, N 7. P. 897-903.
55. Wooley J.C., Berolo Orazio // Mater. Res. Bull. 1968. Vol. 3, N 5. P. 445-450.
56. Зломанов В.П., Штанов В.И., Гапеев П.К., Новоселова А.В. // Докл. АН СССР. 1974. Т. 218, № 2. С. 346-349.
57. Laugier A., Cadoz J., Faure M., Moulin M. // J. Cryst. Growth. 1974. Vol. 21, N 2. P. 235-242.
58. Петухов А.П., Андреев Ю.В., Олеск А.О. // Изв. АН СССР. Неорган. материалы. 1980. Т. 16, № 1. С. 55-58.
59. Латыпов З.М., Савельева В.П., Зломанов В.П. // Изв. АН СССР. Неорг. материалы. 1973. Т. 9, № 8. С. I43I-I432.
60. Strauss A.J. // Phys. Rev. 1967. Vol. 157, N 3. P. 608-611.
61. Абрикосов Н.Х., Гончарова Л.С., Гурова И.И. // Изв. АН СССР. Неорг. материалы. 1973. Т. 9, № 7. С. II46-II48.
62. Nikolić P.M. // Brit. J. Appl. Phys. 1965. Vol. 16, N 8. P. 1075-1079.
63. Брусиловец А.И., Теплякова Н.В. // Журн. неорган. химии. 1974. Т. 19, № II. С. 3I67-3I68.
64. Carpentier C.D., Nitsche R. // Mater. Res. Bull. 1974. Vol. 9, N 4. P. 401-410.
65. Klinger W., Ott R., Hahn H. // Z. anorg. und allg. Chem. 1973. Bd.396. N 3. S. 271-278.
66. Приц И.П., Поторий М.В., Ворошилов Ю.В. // Укр. хим. журн. 1988. Т. 54, № 5. С. 457-460.

67. Ворошилов Ю.В., Поторий М.В., Сейковская Л.А. и др. // Кристалло-графин. 1988. Т. 33, № 5. С. 1282-1283.
68. Гуршумов А.П., Мургузов М.И., Наджафова З.З. и др. // Журн. неорган. химии. 1986. Т. 31, № 1. С. 266-268.
69. Дембовский С.А., Кириленко В.Б., Хворостенко А.С. // Изв. АН СССР. Неорган. материалы. 1971. Т. 7, № 10. С. 1859-1861.
70. Дембовский С.А., Кириленко В.Б., Хворостенко А.С., Лужная Н.П. // Некоторые вопросы химии и физики полупроводни. сложного состава. Ужгород: Ужгород. гос. ун-т. 1970. С. 64-68.
71. Васильев Л.Н., Бахтияров А.Ш. // Изв. АН СССР. Неорган. материалы. 1975. Т. II, № 2. 2074-2076.
72. Алиджанов М.А., Ализаде М.З., Гуршумов А.П. // Изв. АН СССР. Неорган. материалы. 1985. Т. 21, № 9. С. 1471-1472.
73. Господинов Г.Г., Один И.Н., Новоселова А.В. // Докл. Болг. АН. 1974. Т. 27, № 8. С. 1061-1064.
74. Господинов Г.Г., Один И.Н., Новоселова А.В. // Журн. неорган. химии. 1974. Т. 19, № 6. С. 1644-1647.
75. Господинов Г.Г., Один И.Н., Новоселова А.В. // Изв. АН СССР. Неорган. материалы. 1975. Т. II, № 7. С. 1211-1214.
76. Wobst M. // J. Less-Common Metals. 1968. Vol. 14, N 1. P. 77-81.
77. Smith P.P.K., Parise J.B. // Acta crystallogr. 1985. Vol. B41, N 2. P. 84-87.
78. Ibañez A., Jumas J.C., Olivier-Fourcade J. et al. // Mater. Res. Bull. 1984. Vol. 19, N 8. P. 1005-1013.
79. Шер А.А., Один И.Н., Новоселова А.В. // Изв. АН СССР. Неорган. материалы. 1978. Т. 14, № 7. С. 1270-1276.
80. Алиджанов М.А., Ализаде М.З., Гуршумов А.П. и др. // Изв. АН СССР. Неорган. материалы. 1986. Т. 22, № 5. С. 733-735.
81. Шер А.А., Один И.Н., Новоселова А.В. // Журн. неорган. химии. 1986. Т. 31, № 4. С. 1010-1015.
82. Один И.Н., Господинов Г.Г., Новоселова А.В., Шер А.А. // Вестн. МГУ. Сер. 2, Химия. 1974. Т. 15, № 3. С. 285-288.
83. Hirai Tadama, Takeda Yutaka, Kurata Kazuhiro // J.Less-Common Metals. 1967. Vol. 13, N 3. P. 352-356.
84. Бацанов С.С., Шестакова Н.А. // Изв. АН СССР. Неорган. материалы. 1966. Т. 2, № 1. С. 110-116.
85. Tarascon J.M., Hull G.W., Waszczak J.V. // Mater. Res. Bull. 1985. Vol. 20, N 8. P. 935-946.
86. Бацанов С.С., Шестакова Н.А. // Изв. СО АН СССР. Сер. хим. наук. 1968. Вып. 6, № 14. С. 47-51.
87. Мургузов М.И., Гуршумов А.П., Наджафарова З.З. // Журн. неорган. химии. 1984. Т. 29, № 10. С. 2692-2695.
88. Zabel M., Wandinger S., Range K.J. // Z. Kristallogr. 1979. Bd. 149, N 1/2. С. 157.

## Г л а в а 8

### СИСТЕМЫ НА ОСНОВЕ SnTe

#### Система SnTe-Na

В тройной системе Sn-Na-Te образуется соединение  $\text{Na}_4\text{SnTe}_4$ , кристаллизующееся в ромбической структуре с параметрами элементарной ячейки  $a = 8,658 \text{ \AA}$ ,  $b = 8,840 \text{ \AA}$ ,  $c = 15,269 \text{ \AA}$ , рентгенографической и пикнометрической плотностью соответственно  $4,097$  и  $4,15 \text{ г}/\text{см}^3$  [1]. Указанное соединение синтезировали взаимодействием элементарных компонентов в атмосфере Ar при  $420 \text{ K}$ .

#### Система SnTe-K

В тройной системе Sn-K-Te образуется соединение  $\text{K}_2\text{SnTe}_5$  (A) [2] и  $\text{K}_2\text{Sn}_2\text{Te}_6$  (B) [3]. Соединение A плавится при  $602 \text{ K}$  и кристаллизуется в тетрагональной структуре с параметрами элементарной ячейки  $a = 8,481 \text{ \AA}$ ,  $c = 15,369 \text{ \AA}$ , рентгенографической и пикнометрической плотностью  $5,02$  и  $5,08 \text{ г}/\text{см}^3$  соответственно [2], а соединение B кристаллизуется в моноклинной структуре с параметрами  $a = 9,590 \text{ \AA}$ ,  $b = 13,654 \text{ \AA}$ ,  $c = 9,606 \text{ \AA}$ ,  $\beta = 116,84^\circ$ , рентгенографической и пикнометрической плотностью  $3,66 \text{ г}/\text{см}^3$  [3].

Соединение A синтезировали взаимодействием элементарных компонентов в атмосфере Ar при  $1020 \text{ K}$  [3].

#### Системы SnTe-Rb(Cs)

В тройных системах Sn-Rb(Cs)-Te образуются соединения  $\text{Rb}_2\text{SnTe}_5$  и  $\text{Cs}_4\text{Sn}_2\text{Te}_7$  [4]. Соединение  $\text{Rb}_2\text{SnTe}_5$  кристаллизуется в тетрагональной структуре с параметрами элементарной ячейки  $a = 8,666 \text{ \AA}$ ,  $c = 15,451 \text{ \AA}$  и рентгенографической плотностью  $5,31 \text{ г}/\text{см}^3$ , а соединение  $\text{Cs}_4\text{Sn}_2\text{Te}_7$  - в моноклинной структуре с параметрами  $a = 16,491 \text{ \AA}$ ,  $b = 7,860 \text{ \AA}$ ,  $c = 19,036 \text{ \AA}$ ,  $\beta = 105,5^\circ$ , рентгенографической и пикнометрической плотностью соответственно  $4,64$  и  $4,62 \text{ г}/\text{см}^3$ .

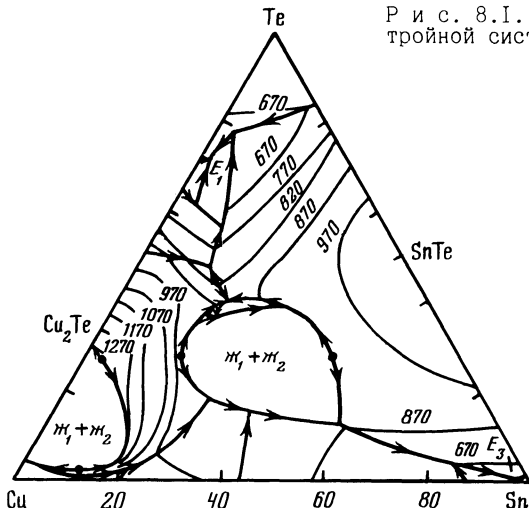
Соединения  $\text{Rb}_2\text{SnTe}_5$  и  $\text{Cs}_4\text{Sn}_2\text{Te}_7$  синтезировали сплавлением Sn, Te и  $\text{CH}_3\text{COORb}(Cs)$  в соответствующих соотношениях в корундовом тигле в атмосфере Ar соответственно при  $1120$  и  $970 \text{ K}$  [4].

#### Система SnTe-Cu

Система SnTe-Cu является неквазибинарным разрезом тройной системы Sn-Cu-Te [5,6]. В системе имеются две области расслаивания при  $1323$  и  $898 \text{ K}$  [5-7]. Термические эффекты при  $1059$ ,  $991$ ,  $935$ ,  $921$ ,  $913$ ,  $879$  и  $833 \text{ K}$  обусловлены полиморфными превращениями  $\text{Cu}_{2-x}\text{Te}$  и образованием фаз системы Cu-Sn [5,6].

Поверхность ликвидуса тройной системы Sn-Cu-Te (рис. 8.1) характеризуется наличием тройного соединения  $\text{Cu}_2\text{SnTe}_3$ , плавящегося инконгруэнтно при  $685 \text{ K}$ , трех тройных эвтектик  $E_1$  ( $610 \text{ K}$ ),  $E_2$  ( $833 \text{ K}$ ),  $E_3$  ( $500 \text{ K}$ ), од-

Рис. 8.1. Поверхность ликвидуса  
тройной системы Sn-Cu-Te [5]



на из которых ( $E_3$ ) вырождена, и двух областей расслаивания [5,6]. Соединение  $\text{Cu}_2\text{SnTe}_3$  кристаллизуется в кубической структуре типа сфалерита с параметром элементарной ячейки  $a = 6,04 \text{ \AA}$  [8,9] ( $a = 6,047 \text{ \AA}$  [10]),  $a = 6,036 \text{ \AA}$  [II]), температурой плавления 680 К [9] (683 К [10], 684 К [II]), рентгенографической и пикнометрической плотностью 6,29 и 6,51 г/см<sup>3</sup> соответственно (6,31 и 6,23 г/см<sup>3</sup> [II]). Однако изучение полимермического сечения  $\text{SnTe}_2-\text{Cu}_2\text{Te}$ , на котором должно находиться соединение  $\text{Cu}_2\text{SnTe}_3$ , не подтверждает его существование [12]. Все образцы системы  $\text{SnTe}_2-\text{Cu}_2\text{Te}$  оказались трехфазными.

Система исследована методами ДТА, РФА и МСА [5-7,12].

#### Система $\text{SnTe}-\text{Cu}_2\text{Te}$

Согласно [13,14] диаграмма состояния системы  $\text{SnTe}-\text{Cu}_2\text{Te}$  эвтектического типа. Эвтектика содержит 52 %  $\text{Cu}_2\text{Te}$  и кристаллизуется при 858 К [14] (848 К [13]). Термические эффекты при 843 и 653 К обусловлены полиморфными превращениями  $\text{Cu}_2\text{Te}$ . На основе исходных компонентов имеются ограниченные области твердых растворов.

Согласно [5] система  $\text{SnTe}-\text{Cu}_2\text{Te}$  является неквазибинарным разрезом тройной системы Sn-Cu-Te, поскольку при понижении температуры стехиометрия  $\text{Cu}_2\text{Te}$  сдвигается в сторону увеличения содержания Te. На указанном сечении имеются полиморфные превращения  $\text{Cu}_{2-x}\text{Te}$  при 423, 533, 578, 633 и 818 К, тройная эвтектика при 833 К, а также нонвариантные равновесия при 915, 935, 997 и 1059 К с участием фазы  $\text{Cu}_{2-x}\text{Te}$ . Со стороны  $\text{SnTe}$  обнаружена незначительная область твердых растворов.

Расплавленные образцы системы  $\text{SnTe}-\text{Cu}_2\text{Te}$  являются жидкими полупроводниками [15].

Исходные образцы отжигали при температурах ниже температуры эвтектического превращения в течение более 250 ч [13]. Система исследована методами ДТА, РФА и МСА, а также измерением микротвердости [5,13-15].

### Система SnTe-Ag

В тройной системе Sn-Ag-Te образуются соединения  $\text{Ag}_2\text{SnTe}_3$  (A) [16] и  $\text{Ag}_8\text{SnTe}_6$  (B) [17]. Соединение A плавится при 588 К, имеет пикнометрическую плотность 5,76 г/см<sup>3</sup> и ширину запрещенной зоны 0,08 эВ [16]. Соединение B кристаллизуется в кубической структуре с параметром элементарной ячейки  $a = 11,20 \text{ \AA}$  [17]. Однако в работе [18] соединение B получить не удалось: во всех случаях существовала смесь фаз  $\text{Ag}_{5-x}\text{Te}_3$  и  $\text{Ag}_x\text{Sn}_{1-x}\text{Te}$  ( $0 < x < 0,33$ ).

В подсистеме SnTe-Ag<sub>2</sub>Te-Te тройной системы Sn-Ag-Te имеется тройная эвтектика при 593 К [19]. Поверхность ликвидуса системы Sn-Ag-Te представлена на рис. 8.2 [20].

Исходные образцы отжигали при 690 К в течение двух недель [19] (при 480 К в течение 60 дней [20]). Система исследована методами ДТА, РФА и МСА [18-20].

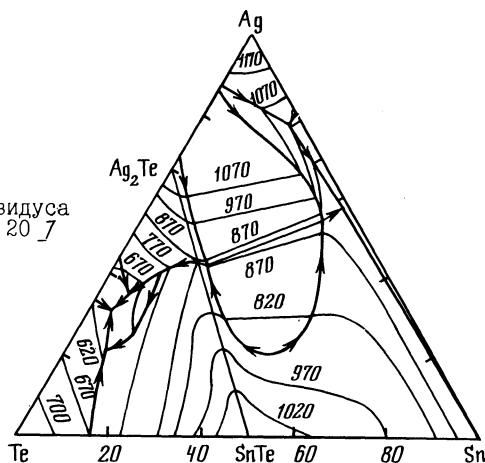


Рис. 8.2. Поверхность ликвидуса тройной системы Sn-Ag-Te [20]

### Системы SnTe-AgSb(Bi)Te<sub>2</sub>

В системах SnTe-AgSb(Bi)Te<sub>2</sub> образуются непрерывные ряды твердых растворов со структурой типа NaCl [21]. Параметры элементарной ячейки в зависимости от состава изменяются линейно.

### Система SnTe-AgTe

Диаграмма состояния системы SnTe-AgTe эвтектического типа [19]. Растворимость AgTe в SnTe достигает 36,5 %. Серебро в этих твердых растворах одновалентно, а олово проявляет валентности +2 и +4. В системе обнаружено соединение  $\text{AgSnTe}_2$ , плавящееся инконгруэнтно при 870 К [20] и кристаллизующееся в кубической структуре типа NaCl с параметром элементарной ячейки  $a = 6,04-6,10 \text{ \AA}$  [22].

Исходные образцы отжигали при 690 К в течение двух недель [19] (при 480 К в течение 60 дней [20]). Система исследована методами ДТА, РФА и МСА [19, 20].

### Система SnTe-Ag<sub>2</sub>Te

Диаграмма состояния системы SnTe-Ag<sub>2</sub>Te (рис. 8.3) эвтектического типа [13, 19, 20, 23]. Эвтектика содержит 55 % Ag<sub>2</sub>Te и кристаллизуется при 869 К [20, 23] (893 К [13]). При увеличении содержания SnTe температура  $\alpha$ - $\beta$ -превращения Ag<sub>2</sub>Te понижается от 420 до 414 К, а  $\beta$ - $\gamma$ -превращения повышается от 1080 до 1127 К. Растворимость SnTe в  $\beta$ -Ag<sub>2</sub>Te достигает 15 %, а в  $\gamma$ -Ag<sub>2</sub>Te - 0,5-1 %, растворимость  $\beta$ -Ag<sub>2</sub>Te в SnTe не превышает 3 %.

Исходные образцы отжигали при температурах ниже температуры эвтектического превращения в течение 250 ч [13] (при 480 К в течение 60 дней [20, 23]). Система исследована методами ДТА, РФА и МСА [13, 19, 20, 23].

### Система SnTe-Au

Диаграмма состояния системы SnTe-Au (рис. 8.4) эвтектического типа с широкой областью расслаивания [24]. Поверхность ликвидуса тройной системы Sn-Au-Te представлена на рис. 8.5 [24, 25]. В подсистеме SnTe-AuTe<sub>2</sub>-Te тройная эвтектика кристаллизуется при 646 К и содержит 9 % Au, 78,6 % Te и 12,3 % Sn, в подсистеме SnTe-AuTe<sub>2</sub>-AuSn-Au тройные эвтектики кристаллизуются при 671 и 551 К, в подсистеме SnTe-Au-AuSn тройное перитектическое взаимодействие протекает при 699 К, а в подсистеме SnTe-AuSn-Sn - при 582 и 525 К и вырожденная тройная эвтектика при 490 К. На поверхности ликвидуса системы Sn-Au-Te имеется широкая область расслаивания.

Система исследована методами ДТА, РФА и МСА [24, 25].

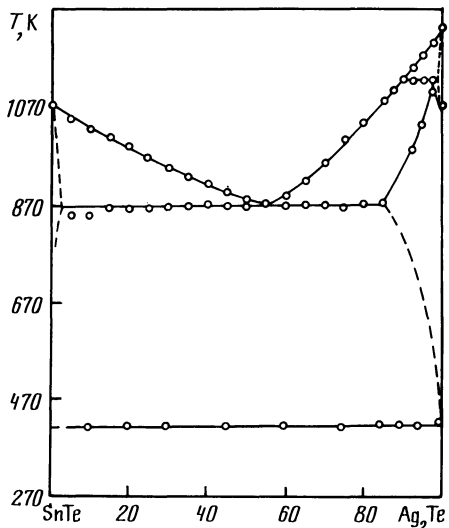


Рис. 8.3. Диаграмма состояния системы SnTe-Ag<sub>2</sub>Te [23].

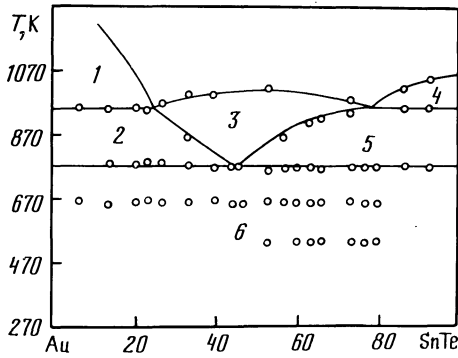
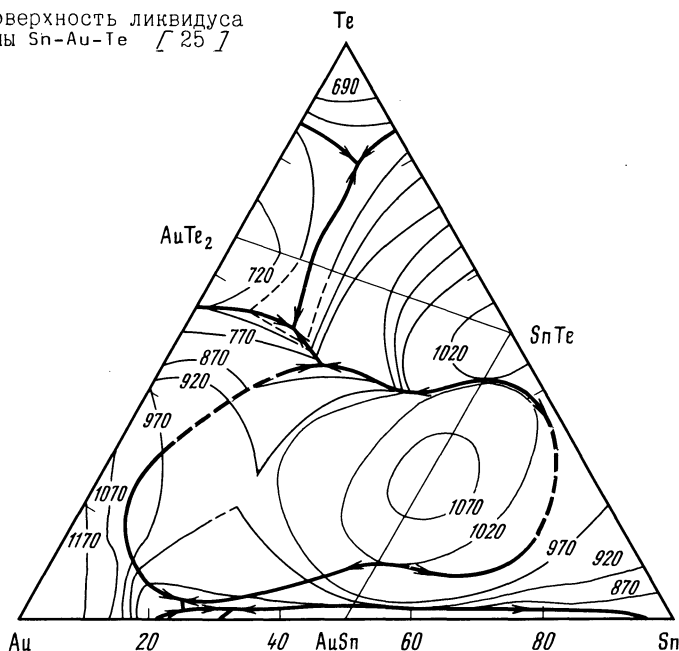


Рис. 8.4. Диаграмма состояния системы SnTe-Au [24].

Рис. 8.5. Поверхность ликвидуса  
тройной системы Sn-Au-Te



#### Система SnTe-AuSn

Диаграмма состояния системы SnTe-AuSn (рис. 8.6) эвтектического типа с широкой областью расслаивания  $\angle 24,26 \text{ J}$ . Эвтектика содержит 98,7 % AuSn и кристаллизуется при 686 К. При 1023 К в системе наблюдается расслаивание.

Система исследована методами ДТА, РФА и МСА  $\angle 24,26 \text{ J}$ .

#### Система SnTe-AuTe<sub>2</sub>

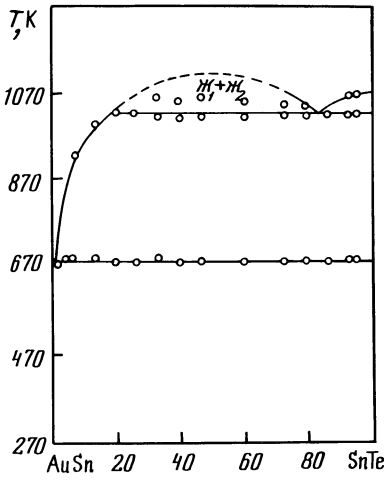
Диаграмма состояния системы SnTe-AuTe<sub>2</sub> (рис. 8.7) эвтектического типа  $\angle 24,26 \text{ J}$ . Эвтектика содержит 32,5 % SnTe и кристаллизуется при 475 К. Система исследована методами ДТА, РФА и МСА  $\angle 24,26 \text{ J}$ .

#### Система SnTe-Zn

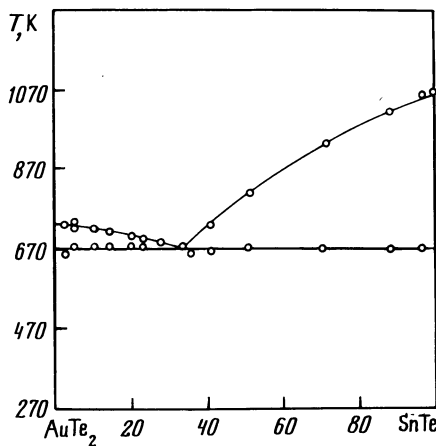
При взаимодействии SnTe с Zn протекает обменная реакция с образованием ZnTe и Sn  $\angle 7 \text{ J}$ . Исходные образцы, содержащие 50 % SnTe отжигали при 720 К в течение 15 ч и исследовали методом МСА.

#### Система SnTe-ZnS

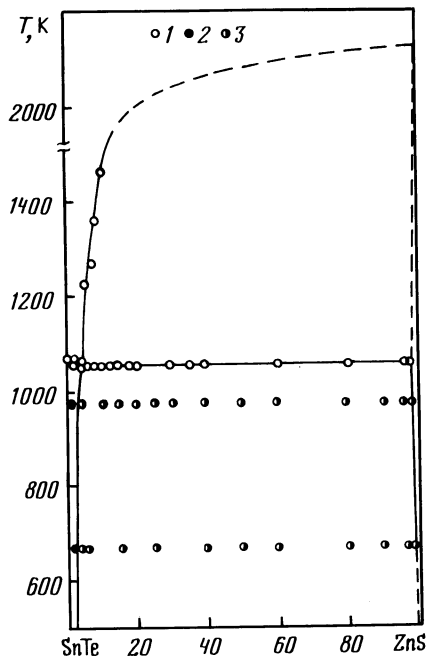
Диаграмма состояния системы SnTe-ZnS (рис. 8.8) эвтектического типа  $\angle 27 \text{ J}$ . Эвтектика содержит 5 % ZnS и кристаллизуется при 1058 К. Растворимость ZnS в SnTe при эвтектической температуре составляет 3 %, а при 670 К - 2 %, а растворимость SnTe в ZnS не превышает 1 %.



Р и с. 8.6. Диаграмма состояния системы SnTe-AuSn [ 26 ]

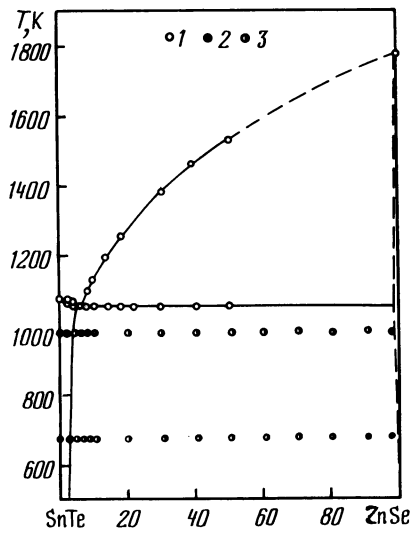


Р и с. 8.7. Диаграмма состояния системы SnTe-AuTe<sub>2</sub> [ 26 ]



Р и с. 8.8. Диаграмма состояния системы SnTe-ZnS [ 27 ]

I - ДТА, 2 - одно- и 3 - двухфазные образцы



Р и с. 8.9. Диаграмма состояния системы SnTe-ZnSe [ 28 ]

I - ДТА, 2 - одно- и 3 - двухфазные образцы

Исходные образцы отжигали при 970 и 670 К в течение соответственно 120 и 250 ч. Система исследована методами ДТА, РФА, МСА и измерением микротвердости [27].

#### Система SnTe-ZnSe

Диаграмма состояния системы SnTe-ZnSe (рис. 8.9) эвтектического типа [28]. Эвтектика содержит 6 % ZnSe и кристаллизуется при 1053 К. Растворимость ZnSe в SnTe при эвтектической температуре составляет 5 %, при 670 К - 4 %, а растворимость SnTe в ZnSe не превышает 1 %.

Исходные образцы отжигали при 970 и 670 К в течение соответственно 120 и 250 ч. Система исследована методами ДТА, РФА и МСА, а также измерением микротвердости [28].

#### Система SnTe-ZnTe

Диаграмма состояния системы SnTe-ZnTe (рис. 8.10) эвтектического типа [29]. Эвтектика содержит 10 % ZnTe и кристаллизуется при 1043 К. Растворимость ZnTe в SnTe достигает 2 %, а SnTe в ZnTe - 1 %.

Исходные образцы отжигали при 620 К в течение 500 ч. Система исследована методами ДТА, РФА и МСА [29].

#### Система SnTe-Cd

Система SnTe-Cd является неквазибинарным сечением тройной системы Sn-Cd-Te [7,30]. При 448 и 505 К проявляются нонвариантные равновесия эвтектического типа, а при 413 К происходит эвтектоидное превращение [30].

В подсистеме SnTe-CdTe-Te тройной системы Sn-Cd-Te существует тройная эвтектика при 678 К, которая вырождена и практически совпадает с эвтектикой системы SnTe-Te. Система исследована методами ДТА, РФА и МСА [30].

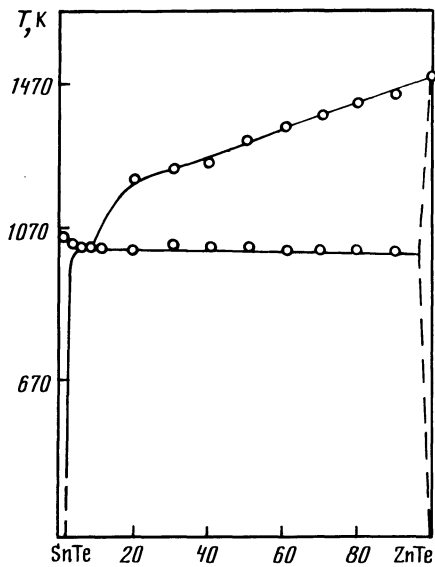
#### Система SnTe-CdS

Система SnTe-CdS является неквазибинарным сечением тройной взаимной системы Sn,Cd||Te,S (рис. 8.11) [31]. Растворимость CdS в SnTe при 995 К составляет 12 %, а при 670 К - 2 %. Область твердых растворов на основе CdS не превышает 1 %. При 878 К наблюдается полиморфное превращение твердых растворов на основе SnS ( $\gamma$ ), образующихся в результате обменного взаимодействия SnTe и CdS.

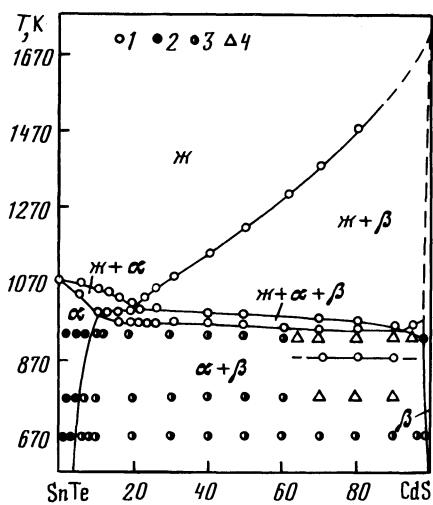
Исходные образцы отжигали при 670, 770 и 940 К в течение соответственно 250, 200 и 100 ч. Система исследована методами ДТА, РФА и МСА [31].

#### Система SnTe-CdSe

Система SnTe-CdSe является неквазибинарным сечением тройной взаимной системы Sn,Cd||Te,Se (рис. 8.12) [32]. Растворимость CdSe в SnTe при 1050 К составляет 14 %, а при 670 К - 3 %. Область твердых растворов на основе CdSe не превышает 1 %. В результате обменного взаимодействия

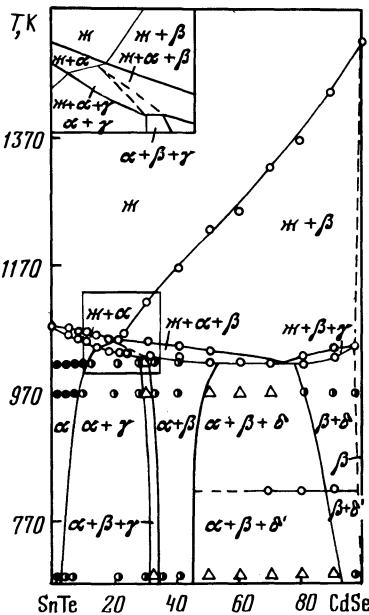


Р и с. 8.10. Диаграмма состояния системы SnTe-ZnTe [29]



Р и с. 8.11. Политермическое сечение SnTe-CdS [31]

I - ДТА, 2 - одно-, 3 - двух- и 4 - трехфазные образцы



Р и с. 8.12. Политермическое сечение SnTe-CdSe [32]

I - ДТА, 2 - одно-, 3 - двух- и 4 - трехфазные образцы

$\text{SnTe}$  и  $\text{CdSe}$  в системе образуется  $\gamma$ -твёрдый раствор на основе  $\text{CdTe}$  со структурой сфалерита и  $\gamma$ -твёрдый раствор на основе  $\text{SnSe}$  с ромбической структурой. При 810 К наблюдается полиморфное превращение  $\delta$ -твёрдых растворов.

Исходные образцы отжигали при 670, 970 и 1020 К в течение соответственно 250, 120 и 100 ч. Система исследована методами ДТА, РФА и МСА [32].

#### Система $\text{SnTe}-\text{CdTe}$

Диаграмма состояния системы  $\text{SnTe}-\text{CdTe}$  эвтектического типа [30]. Эвтектика содержит 80 %  $\text{CdTe}$  (12 %  $\text{CdTe}$  [33]) и кристаллизуется при 1065 К (1053 К [33], 1057 К [34]). Растворимость  $\text{CdTe}$  в  $\text{SnTe}$  при эвтектической температуре составляет 10 %, а при 1030 К - 8 % [30, 35], растворимость  $\text{SnTe}$  в  $\text{CdTe}$  при эвтектической температуре достигает 4 % [30].

Система исследована методами ДТА, РФА и МСА [30, 33, 34].

#### Система $\text{SnTe}-\text{HgTe}$

Диаграмма состояния системы  $\text{SnTe}-\text{HgTe}$  (рис. 8.13) эвтектического типа [36]. Эвтектика содержит 45 %  $\text{SnTe}$  и кристаллизуется при 1130 К. Растворимость  $\text{HgTe}$  в  $\text{SnTe}$  при эвтектической температуре составляет 7 %, а  $\text{SnTe}$  в  $\text{HgTe}$  не превышает 1 %.

Система исследована методами ДТА, РФА и МСА, а также измерением микротвердости [36].

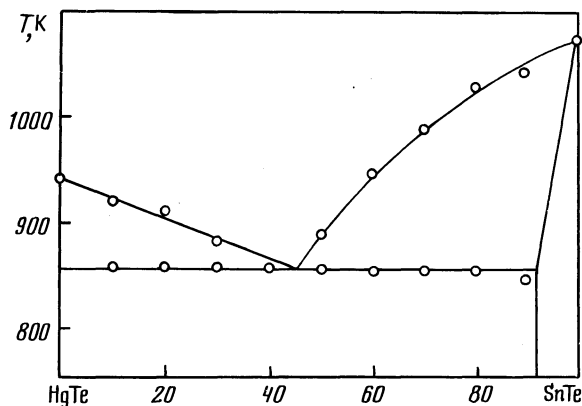


Рис. 8.13. Диаграмма состояния системы  $\text{SnTe}-\text{HgTe}$  [36].

#### Система $\text{SnTe}-\text{GaTe}$

Диаграмма состояния системы  $\text{SnTe}-\text{GaTe}$  (рис. 8.14) эвтектического типа [37-40] (согласно [41] система  $\text{SnTe}-\text{GaTe}$  является неквазибинарным сечением тройной системы  $\text{Sn}-\text{Ga}-\text{Te}$ ). Эвтектики содержат 30 и 60 %  $\text{SnTe}$  и кристаллизуются соответственно при 933 и 903 К [37] (911 К [38]). Согласно [40] в системе имеется одна эвтектика, содержащая 46,5 %  $\text{SnTe}$  и кристаллизующаяся при 928 К. В системе образуются три соединения:

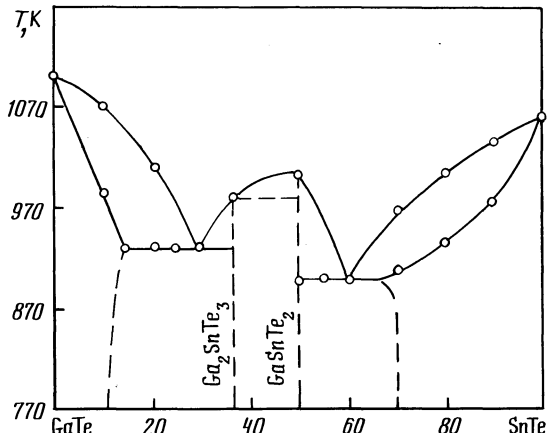


Рис. 8.14. Диаграмма состояния системы SnTe-GaTe  
[37]

$\text{GaSnTe}_2$ , плавящееся конгруэнтно при 1003 К [37] (983 К [38], 998 К [39]),  $\text{Ga}_2\text{SnTe}_3$ , плавящееся инконгруэнтно при 973 К [37] (958 К [38]) и  $\text{Ga}_3\text{Sn}_7\text{Te}_{10}$ , плавящееся инконгруэнтно при 943 К. Соединения  $\text{GaSnTe}_2$  и  $\text{Ga}_2\text{SnTe}_3$  диссоциируют непосредственно при температуре плавления [42].

Растворимость SnTe в GaTe достигает 15 % [37] (23 % при эвтектической температуре [40], 13 % при 905 К [38]), а растворимость GaTe в SnTe составляет 30–32 % [37] (47 % при эвтектической температуре [40], 20 % [38]).

Область твердых растворов на основе SnTe при 820 К в тройной системе Sn-Ga-Te представлена на рис. 8.15 [41].

Исходные образцы отжигали в течение более 400 ч [38] (при 820 К в течение 300 ч [41]). Система исследована методами ДТА, РФА и МСА, а также измерением микротвердости и термоЭДС [37–41].

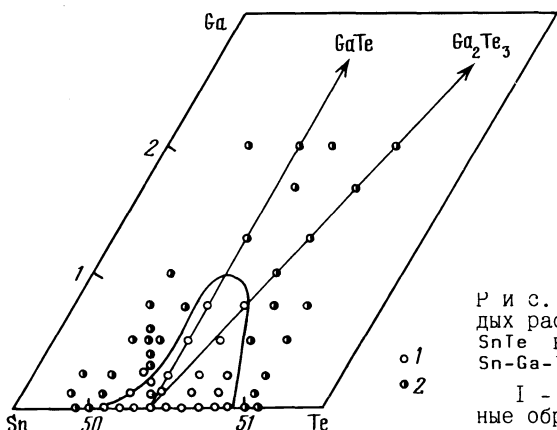


Рис. 8.15. Область твердых растворов на основе SnTe в тройной системе Sn-Ga-Te при 820 К [41]  
1 – одно- и 2 – двухфазные образцы

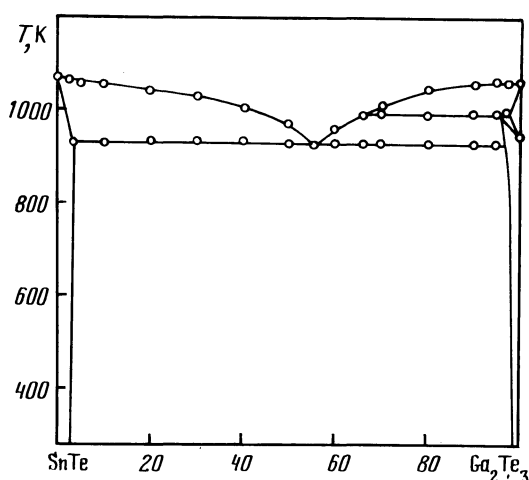
### Система SnTe-Ga<sub>2</sub>Te<sub>3</sub>

Диаграмма состояния системы SnTe-Ga<sub>2</sub>Te<sub>3</sub> (рис. 8.16) эвтектического типа [41, 43-45]. Эвтектика содержит 55 % Ga<sub>2</sub>Te<sub>3</sub> и кристаллизуется при 920 К [45] (33 % Ga<sub>2</sub>Te<sub>3</sub> и 944 К [41]; 46 % Ga<sub>2</sub>Te<sub>3</sub> и 913 К [43]; 33 % Ga<sub>2</sub>Te<sub>3</sub> и 923 К [44]). При 994 К протекает полиморфное превращение твердых растворов на основе Ga<sub>2</sub>Te<sub>3</sub> [41, 45]. Согласно [43] в системе образуется соединение SnGa<sub>6</sub>Te<sub>10</sub>, плавящееся инконгруэнтно при 968 К и кристаллизующееся в ромбоэдрической структуре с параметрами элементарной ячейки  $a = 10,207 \text{ \AA}$ ,  $\alpha = 89,74^\circ$  (в гексагональной установке  $a = 14,40 \text{ \AA}$ ,  $c = 17,75 \text{ \AA}$ ) и пикнометрической плотностью 5,67 г/см<sup>3</sup>. Согласно [44] в системе существует соединение Ga<sub>4</sub>SnTe<sub>7</sub>, плавящееся инконгруэнтно при 993 К. Авторами [41] тройных соединений в системе не обнаружено.

Растворимость Ga<sub>2</sub>Te<sub>3</sub> в SnTe достигает 2%, а SnTe в Ga<sub>2</sub>Te<sub>3</sub> - 1% [44, 45].

Исходные образцы отжигали при 820 К в течение 500 ч [45] (300 ч [41]) или при 870 К в течение 15 дней [43]. Система исследована методами ДТА, РФА, МСА, а также измерением микротвердости и скорости распространения ультразвука [41, 43-45].

Рис. 8.16. Диаграмма состояния системы SnTe-Ga<sub>2</sub>Te<sub>3</sub> [45]



### Система SnTe-In

Система SnTe-In является неквазибинарным сечением тройной системы Sn-In-Te [46] и пересекает два вторичных треугольника. В первой части разреза (50-100 % SnTe), проходящей через треугольник SnTe-InTe-Sn, кривая ликвидуса состоит из двух ветвей первичной кристаллизации:  $\alpha$ -фазы на основе SnTe и InTe. Эффекты при 730 К соответствуют началу совместной кристаллизации SnTe и InTe. Кристаллизация сплавов этой части разреза заканчивается при 455 К.

Ликвидус второй части разреза (0-50 % SnTe), проходящего через треугольник InTe-In-Sn, состоит из трех ветвей, по которым первично выделяются InTe,  $In_9Te_7$  и In. Изотермическая линия при 425 K отражает тройное перитектическое равновесие с образованием  $In_9Te_7$ . Остальные сплавы разреза окончательно кристаллизуются по эвтектическому типу при 390 K, где затвердевают  $In_9Te_7$ , In и Sn.

Область твердых растворов на основе SnTe составляет 3 % при комнатной температуре и 13 % при 730 K [46]. В тройной системе Sn-In-Te ориентация области гомогенности SnTe близка к направлению на InTe с некоторым отклонением в сторону Te (рис. 8.17) [47-51]. При легировании SnTe индием отклонение от стехиометрии приводит к качественному изменению структуры твердого раствора, обусловленному химическим взаимодействием между атомами In и атомами матрицы с образованием комплексов  $In_2Te_3$  [52].

Исходные образцы отжигали при 350 K в течение 400 ч (при содержании 1-55 % SnTe) или при 390 K в течение 300 ч (при содержании 55-99 % SnTe) [46] (при 820 K в течение 250-300 ч [47, 52]).

Система исследована методами ДТА, РФА и МСА, а также измерением микротвердости, термоЭДС и электропроводности [46, 47, 52].

#### Система SnTe-InSe

Диаграмма состояния системы SnTe-InSe представлена на рис. 8.18 [53, 54]. В системе образуется соединение  $InSnSe$ , плавящееся инконгруэнтно при 770 K. Эвтектика содержит 70 % и кристаллизуется при 750 K.

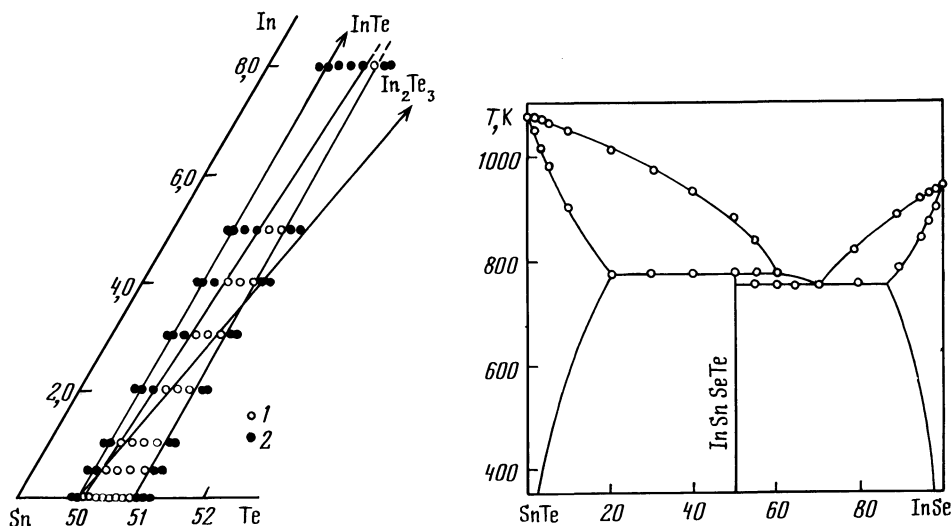


Рис. 8.17. Область твердых растворов на основе SnTe в тройной системе Sn-In-Te при 820 K [47]

1 - одно- и 2 - двухфазные образцы

Рис. 8.18. Диаграмма состояния системы SnTe-InSe [53]

Растворимость InSe в SnTe при 770 К составляет 20 %, а SnTe в InSe - 15 %. При комнатной температуре взаимная растворимость SnTe и InSe не превышает 1,5-2 %.

Исходные образцы отжигали при 720 К в течение 240-250 ч. Система исследована методами ДТА, РФА и МСА, а также измерением микротвердости [53, 54].

#### Система SnTe-InTe

Результаты исследования системы SnTe-InTe противоречивы. Согласно [37, 55, 56] диаграмма состояния системы (рис. 8.19) эвтектического типа. Эвтектика содержит 30 % SnTe и кристаллизуется при 920 К [55] (890 К [57]) (38 % SnTe и 773 К [58, 59], 903 К [56]). Тройных соединений в системе не обнаружено [55].

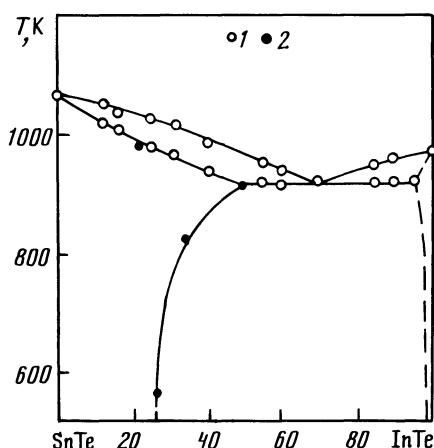


Рис. 8.19. Диаграмма состояния системы SnTe-InTe [55]

1 - ДТА, 2 - РФА

Согласно [38, 58-60] в системе образуются соединения  $In_2SnTe_3$  и  $InSnTe_2$ , плавящиеся инконгруэнтно [38] ( $In_3SnTe_4$ , плавящееся инконгруэнтно при 913 К [58-60]). Однако отсутствие особых точек на изотермах электропроводности и термоЭДС расплавленных образцов системы SnTe-InTe свидетельствует об отсутствии индивидуальных соединений в указанной системе [42].

Растворимость InTe в SnTe достигает 50 % [37, 38, 56, 58, 59] (30 % при 840 К [61], 35 % при 820 К [62, 63]), а растворимость SnTe в InTe составляет 6 % [58, 59] (15 % [37], 11-12 % [38]). Параметр элементарной ячейки твердых растворов на основе SnTe линейно уменьшается до 6,252 Å при 40 % InTe [59]. При 0,4 и 3 % InTe на концентрационных зависимостях свойств обнаружены особые точки [63].

Исходные образцы отжигали при 840 К в течение 350 ч [61] (при температурах, превышающих на 100 К соответствующие температуры плавления в течение 100 ч [57]; при 670 К в течение более двух месяцев [59]; при 820 К в течение 200-300 ч [62, 63]).

Система исследована методами ДТА, РФА и МСА, а также измерением микротвердости, плотности, электропроводности, термоЭДС и скорости распространения и поглощения ультразвука [37,38,42,55-61].

### Система SnTe-In<sub>2</sub>Te<sub>3</sub>

Диаграмма состояния системы SnTe-In<sub>2</sub>Te<sub>3</sub> (рис. 8.20) эвтектического типа [45,55,64]. Эвтектика содержит 60 % In<sub>2</sub>Te<sub>3</sub> и кристаллизуется при 880 К [45] (62 % In<sub>2</sub>Te<sub>3</sub> и 884 К [64], 33 % In<sub>2</sub>Te<sub>3</sub> и 853 К [65]). Тройных соединений в системе не обнаружено [55,65].

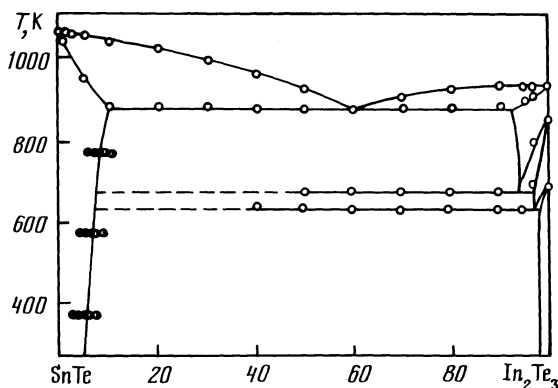


Рис. 8.20. Диаграмма состояния системы SnTe-In<sub>2</sub>Te<sub>3</sub> [45]

Согласно [66] в системе образуется соединение SnIn<sub>2</sub>Te<sub>4</sub>, плавящееся инконгруэнтно при 883 К.

Растворимость In<sub>2</sub>Te<sub>3</sub> в SnTe при 800 К составляет 12 % [65] (при 820 К 3,5 % [62]; 7 % при 820 К и 9 % при 870 К [64]; 3 % при 840 К [67]), 5 % при комнатной температуре и 7 % при температуре эвтектики [66]), а растворимость SnTe в In<sub>2</sub>Te<sub>3</sub> не превышает 1 % [45,66]. Твердые растворы на основе In<sub>2</sub>Te<sub>3</sub> существуют в трех различных модификациях.

Исходные образцы отжигали при 800 К в течение 400 ч (при содержании 0-10 % In<sub>2</sub>Te<sub>3</sub>) или при 470 К в течение 250 ч (при содержании 10-100 % In<sub>2</sub>Te<sub>3</sub>) [45] (при 820 К в течение 200 ч [62]; при 800 К в течение 100 ч [65]; при 875 и 820 К в течение 500 ч [64]; при 870 и 820 К в течение соответственно 400 и 500 ч [66]; при 470 К в течение 300 ч [67]).

Система исследована методами ДТА, РФА и МСА, а также измерением микротвердости, электропроводности и термоЭДС [45,55,64-67].

### Система SnTe-Tl

Система SnTe-Tl является неквазибинарным сечением тройной системы Sn-Tl-Te [68], пересекающим две вторичные системы: SnTe-Tl<sub>2</sub>Te-Sn и Sn-Tl<sub>2</sub>Te-Tl. Изотермическая линия при 750 К отвечает началу совместной кристаллизации SnTe и Tl<sub>2</sub>Te. В этой части разреза кристаллизация закан-

чивается в точке тройной эвтектики при 430 К. Со стороны Tl кристаллизация заканчивается в точке тройной эвтектики при 370 К. Максимуму на разрезе отвечает 900 К и 34 % SnTe. Растворимость Tl в SnTe составляет 1,5 % [68].

Поверхность ликвидуса тройной системы Sn-Tl-Te представлена на рис. 8.21 [69]. В этой же работе приведено изотермическое сечение указанной системы при 300 К. Согласно [70] в тройной системе Sn-Tl-Te образуется соединение  $Tl_6Sn_2Te_6$ , плавящееся при 643 К и имеющее плотность 7,81 г/см<sup>3</sup>.

Исходные образцы отжигали при 410 К в течение 150 ч (при содержании 40-100 % SnTe) или при 350 К в течение 200 ч (при содержании 1,5-35 % SnTe) [68]. Система исследована методами ДТА, РФА и МСА, а также измерением микротвердости, плотности и термоЭДС [68-70].

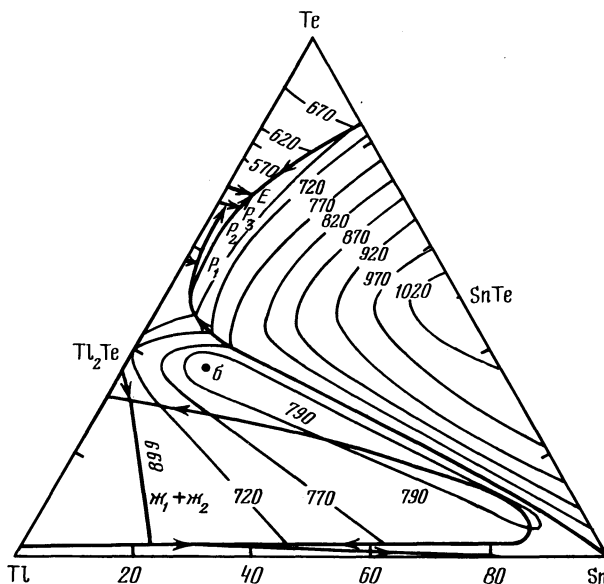


Рис. 8.21. Поверхность ликвидуса тройной системы Sn-Tl-Te [69]

### Система SnTe-TlSbTe<sub>2</sub>

Диаграмма состояния системы SnTe-TlSbTe<sub>2</sub> эвтектического типа [71]. Эвтектика содержит 90 % (0,5TlSbTe<sub>2</sub>) и кристаллизуется при 738 К. Природа термических эффектов при 677 К не установлена. Твердые растворы  $Sn_{1-x}Tl_{x/2}Sb_{x/2}Te$  имеют кубическую структуру в интервале  $0 < x < 0,42$  и ромбоэдрическую при  $0,75 < x < 1,0$ . Система исследована методами ДТА и РФА [71].

### Система SnTe-Tl<sub>2</sub>Se

В системе образуются ограниченные твердые растворы, имеющие кубическую структуру в интервале 44-100 % SnTe и ромбоэдрическую в интервале 0-21 % SnTe [ 71 ].

### Система SnTe-Tl<sub>2</sub>Se

Диаграмма состояния системы SnTe-Tl<sub>2</sub>Se представлена на рис. 8.22 [ 53 ]. Эвтектика содержит 86 % Tl<sub>2</sub>Se и кристаллизуется при 623 К. В системе образуется соединение Tl<sub>2</sub>Sn<sub>3</sub>Te, плавящееся инконгруэнтно при 723 К. Растворимость Tl<sub>2</sub>Se в SnTe при 670 К составляет 5 %, а при комнатной температуре - 2 %, а растворимость SnTe в Tl<sub>2</sub>Se при эвтектической температуре достигает 5 % и при комнатной - 1 %.

Система исследована методами ДТА, РФА, МСА и измерением микротвердости [ 53 ].

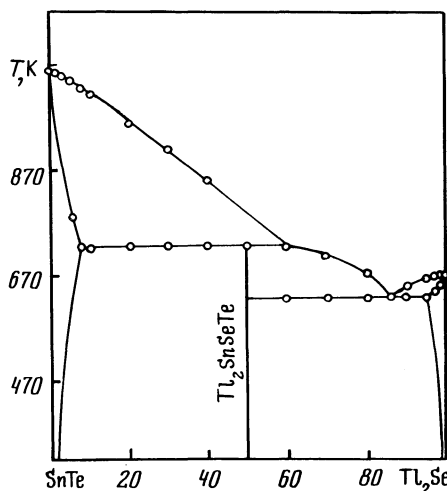


Рис. 8.22. Диаграмма состояния системы SnTe-Tl<sub>2</sub>Se [ 53 ].

### Система SnTe-TlTe

Система SnTe-TlTe является неквазибинарным сечением тройной системы Sn-Tl-Te (рис. 8.23) в связи с инконгруэнтным плавлением TlTe [ 69 ]. При 643 К в системе образуется инконгруэнтно плавящееся соединение Tl<sub>2</sub>Sn<sub>3</sub>Te<sub>3</sub>.

Система исследована методами ДТА и РФА, а также измерением микротвердости [ 69 ].

### Система SnTe-Tl<sub>2</sub>Te

В системе SnTe-Tl<sub>2</sub>Te образуется соединение Tl<sub>4</sub>Sn<sub>3</sub>, плавящееся конгруэнтно при 828 К и кристаллизующееся в тетрагональной структуре с параметрами элементарной ячейки  $a = 8,98 \text{ \AA}$ ,  $c = 12,41 \text{ \AA}$  [ 69 ] ( $a = 8,836 \text{ \AA}$ ,  $c = 13,052 \text{ \AA}$  [ 72 ]);  $a = 8,830 \text{ \AA}$ ,  $c = 13,023 \text{ \AA}$  [ 73 ]) и плотностью 8,60 г/см<sup>3</sup> [ 72 ]. Эвтектика в системе кристаллизуется при 778 К [ 69 ].

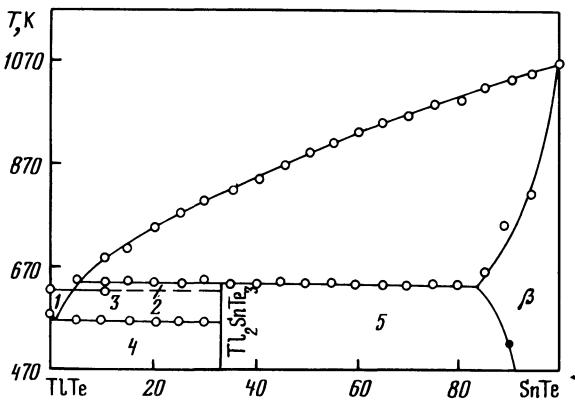


Рис. 8.23. Политегмическое сечение  $\text{SnTe}-\text{TlTe}$  [69].

1 -  $\text{ж} + \delta-\text{Tl}_5\text{Te}_3$ ; 2 -  $\text{ж} + \text{Tl}_2\text{SnTe}_3$ ; 3 -  $\text{ж} + \text{Tl}_2\text{SnTe}_3 + \delta$ ; 4 -  $\text{TlTe} + \text{Tl}_2\text{SnTe}_3$ ; 5 -  $\text{Tl}_2\text{SnTe}_3 + \beta$ ; 6 - ДТА, 7 - РФА

Образцы, содержащие до 7 %  $\text{SnTe}$ , характеризуются нонвариантным равновесием при 573 К и содержат три фазы:  $\text{Tl}_2\text{Te}$ ,  $\text{Tl}$  и  $\delta$  (твердый раствор на основе  $\text{Tl}_5\text{Te}_3$ ), а в интервале 7-12 %  $\text{SnTe}$  образцы состоят из  $\delta$ -фазы и твердого раствора на основе  $\text{Tl}$ .

Система исследована методами ДТА и РФА, а также измерением микротвердости [69].

#### Система $\text{SnTe}-\text{Tl}_2\text{Te}_3$

Система  $\text{SnTe}-\text{Tl}_2\text{Te}_3$  является неквазибинарным сечением тройной системы  $\text{Sn}-\text{Tl}-\text{Te}$  (рис. 8.24) [74]. Термические эффекты при 523 К соответствуют началу совместной кристаллизации  $\text{SnTe}$  и  $\text{TlTe}$ . При взаимодействии  $\text{TlTe}$  с жидкостью образуется  $\text{Tl}_2\text{Te}_3$ . Затвердевание сплавов этого разреза происходит при температуре тройной перитектики (473 К). Область твердых растворов на основе  $\text{SnTe}$  не превышает 1 %.

Исходные образцы отжигали при 430 К в течение 400 ч. Система исследована методами ДТА и МСА, а также измерением микротвердости и термоЭДС [74].

#### Система $\text{SnTe}-\text{Tl}_5\text{Te}_3$

Система  $\text{SnTe}-\text{Tl}_5\text{Te}_3$  является неквазибинарным сечением тройной системы  $\text{Sn}-\text{Tl}-\text{Te}$  [69]. Термические эффекты при 773 К соответствуют кристаллизации эвтектики  $\delta+\text{SnTe}$ , а при 643 и 568 К - четырехфазным перитектическим реакциям с образованием соответственно  $\text{Tl}_2\text{SnTe}_3$  и  $\text{TlTe}$ .

Система исследована методами ДТА и РФА, а также измерением микротвердости [69].

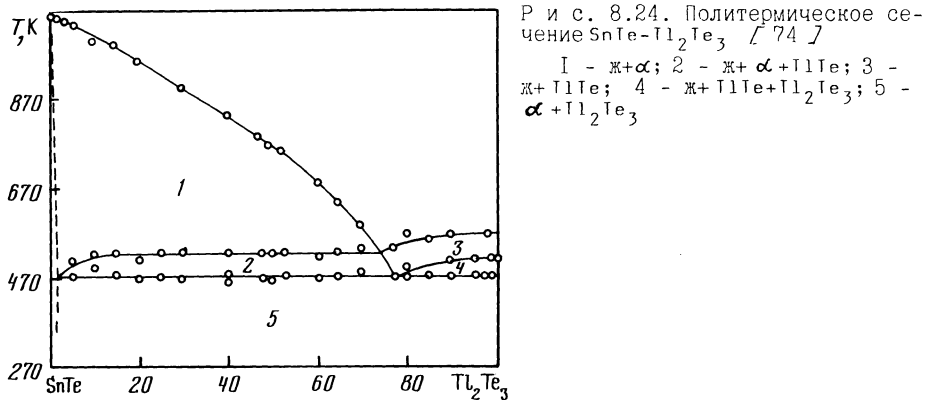


Рис. 8.24. Политермическое сечение  $\text{SnTe}-\text{Tl}_2\text{Te}_3$  [74]

1 -  $\text{x}+\alpha$ ; 2 -  $\text{x}+\alpha+\text{TlTe}$ ; 3 -  $\text{x}+\text{TlTe}$ ; 4 -  $\text{x}+\text{TlTe}+\text{Tl}_2\text{Te}_3$ ; 5 -  $\alpha+\text{Tl}_2\text{Te}_3$

#### Системы $\text{SnTe}-\text{LnTe}$ ( $\text{Ln} = \text{La}, \text{Nd}, \text{Sm}, \text{Eu}, \text{Gd}$ )

Растворимость  $\text{LnTe}$  ( $\text{Ln}=\text{La}, \text{Nd}, \text{Sm}, \text{Eu}, \text{Gd}$ ) в  $\text{SnTe}$  составляет 4-10 % [75, 76].

Исходные образцы отжигали при 770-870 К в течение 500-700 ч [75] (при  $T = 2/3 T_{\text{пл}}$  в течение 50-100 ч [76]).

Системы исследованы методами ДТА, РФА, МСА и рентгеноспектрального анализа, а также измерением микротвердости и электрофизических свойств [75, 76].

#### Система $\text{SnTe}-\text{UTe}$

Диаграмма состояния системы  $\text{SnTe}-\text{UTe}$  эвтектического типа [77]. Эвтектика кристаллизуется при 1048 К. Температура солидуса со стороны  $\text{SnTe}$  сначала увеличивается до 1078 К при 4,3 %  $\text{UTe}$ , а затем уменьшается. Растворимость  $\text{UTe}$  в  $\text{SnTe}$  при 920 К составляет 6,3 %, а при 720 К - 6,1 %.

Исходные образцы отжигали при 920 и 720 К в течение соответственно 3 и 72 ч. Система исследована методами ДТА и МСА, а также измерением микротвердости [77].

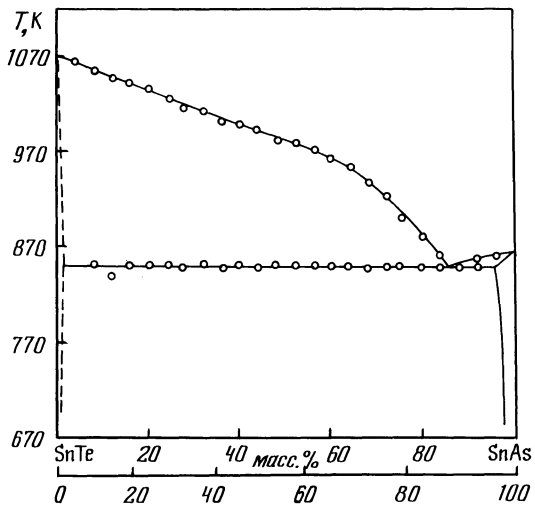
#### Система $\text{SnTe}-\text{SnAs}$

Диаграмма состояния системы  $\text{SnTe}-\text{SnAs}$  (рис. 8.25) эвтектического типа [78, 79]. Эвтектика содержит 89,1 %  $\text{SnAs}$  (86,5 мас.%  $\text{SnAs}$ ) и кристаллизуется при 853 К. Растворимость  $\text{SnTe}$  в  $\text{SnAs}$  при 820 К не превышает 3,6 % (4,5 мас.%) (максимальная растворимость достигает 1 % [79], 3,6 % [80, 81]), а растворимость  $\text{SnAs}$  в  $\text{SnTe}$  составляет 1,3 % (1 мас.%) [78] (1,3 % [80, 81]; менее 1 % [79]).

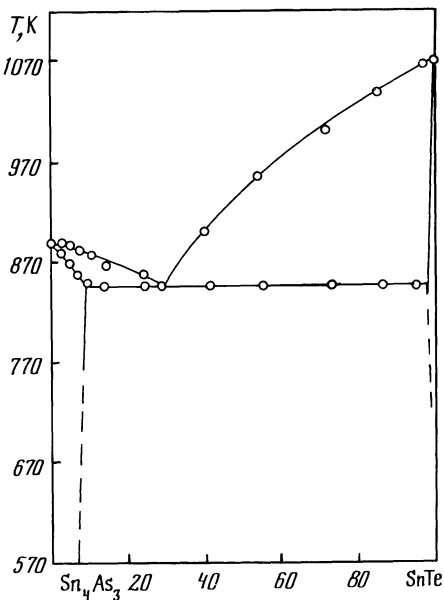
Исходные образцы отжигали при 790 К в течение 720 ч [79]. Система исследована методами ДТА, РФА и МСА [78, 79].

#### Система $\text{SnTe}-\text{Sn}_4\text{As}_3$

Диаграмма состояния системы  $\text{SnTe}-\text{Sn}_4\text{As}_3$  (рис. 8.26) эвтектического типа [79, 80]. Эвтектика содержит 28,9 %  $\text{SnTe}$  (12,5 мас.%  $\text{SnTe}$ ) и крис-



Р и с. 8.25. Диаграмма состояния системы SnTe-SnAs [78]



Р и с. 8.26. Диаграмма состояния системы SnTe-Sn<sub>4</sub>As<sub>3</sub> [79]

таллизуется при 848-849,5 К. Растворимость SnTe в  $\text{Sn}_4\text{As}_3$  при эвтектической температуре достигает 8 % [ 79 ] (2,8 % [ 78,80 ]), а растворимость  $\text{Sn}_4\text{As}_3$  в SnTe составляет 0,4 % [ 78-80 ].

Исходные образцы отжигали при 790 К в течение 720 ч [ 79 ]. Система исследована методами ДТА, РФА и МСА [ 79,80 ].

#### Система SnTe-SnSb

Система SnTe-SnSb является неквазибинарным сечением тройной системы Sn-Sb-Te, пересекающим поля первичной кристаллизации Sb и SnTe [ 82 ]. Со стороны SnSb при температурах ниже 698 К протекает перитектическая реакция образования SnSb. В области первичной кристаллизации SnTe по вторичной реакции выделяется эвтектика SnTe+Sb, а в области, примыкающей к твердому раствору на основе SnTe, - эвтектика SnTe+SnSb. При 693 К в системе протекает нонвариантная реакция  $\text{Sb} + \text{SnTe} \rightleftharpoons \text{SnSb} + \text{SnTe}$ . Кристаллизация сплавов заканчивается образованием двухфазной области SnTe+SnSb. При 585 К в небольшом температурном интервале наблюдается полиморфное превращение твердых растворов на основе SnSb. Растворимость SnSb в SnTe несколько больше 1 %.

Исходные образцы отжигали при 590, 690 и 770 К в течение приблизительно трех месяцев. Система исследована методами ДТА и РФА [ 82 ].

#### Система SnTe-SnCl<sub>2</sub>

Диаграмма состояния системы SnTe-SnCl<sub>2</sub> эвтектического типа с монотектическим превращением [ 83 ]. Эвтектика содержит 1 % SnTe и кристаллизуется при 519 К. Согласно [ 84 ] при 870 К в расплавленном SnCl<sub>2</sub> растворяется 2,3 % SnTe.

По данным [ 85 ] в тройной системе Sn-Cl-Te образуется соединение  $\text{Sn}_4\text{Cl}_2\text{Te}_7$  с пикнометрической плотностью 6,15 г/см<sup>3</sup>. Оно не растворимо в воде, HCl, H<sub>2</sub>SO<sub>4</sub> и толуоле, но медленно растворяется в HNO<sub>3</sub>, при нагревании взаимодействует со щелочами.

Исходные образцы отжигали при 470-570 К в течение 750 ч [ 83 ]. Соединение  $\text{Sn}_4\text{Cl}_2\text{Te}_7$  получали взаимодействием SnCl<sub>2</sub> с Te при 750 К в течение 20 ч [ 85 ]. Система исследована методом ДТА [ 83 ].

#### Система SnTe-SnBr<sub>2</sub>

Диаграмма состояния системы SnTe-SnBr<sub>2</sub> эвтектического типа с монотектическим превращением [ 83 ]. Эвтектика содержит 3 % SnTe и кристаллизуется при 500 К. Исходные образцы отжигали при 470-570 К в течение 750 ч. Система исследована методом ДТА [ 83 ].

#### Система SnTe-SnI<sub>2</sub>

Диаграмма состояния системы SnTe-SnI<sub>2</sub> эвтектического типа с монотектическим превращением [ 83 ]. Эвтектика содержит 5 % SnTe и кристаллизуется при 582 К. Согласно [ 84 ] при 870 К в расплавленном SnI<sub>2</sub> растворяется 26,2 % SnTe.

Поверхность ликвидуса тройной системы Sn-I-Te построена в [ 86 ]. Соединения  $\text{SnTeI}_6$  [ 87 ] в системе не обнаружено [ 86 ].

Исходные образцы отжигали при 470-570 К в течение 750 ч [ 83 ]. Система исследована методами ДТА и РФА [ 83,86 ].

#### Система SnTe-PbSe

Диаграмма состояния системы SnTe-PbSe (рис. 8.27) принадлежит к типу I по классификации Розебома [ 88,89 ]. В системе образуется непрерывный ряд твердых растворов со структурой типа  $\text{NaCl}$  [ 88-91 ]. Параметр элементарной ячейки твердых растворов в зависимости от состава изменяется с положительным отклонением от правила Вегарда [ 90 ]. Образцы, содержащие 80 и 90 % PbSe, неравновесны даже после дополнительного отжига при 1020 К в течение 100 ч [ 88 ].

В паровой фазе обнаружены молекулы  $\text{PbSe}$ ,  $\text{PbTe}$ ,  $\text{SnSe}$  и  $\text{SnTe}$ , что свидетельствует о протекании в указанных условиях обменного химического взаимодействия [ 92 ].

Исходные образцы отжигали при 900-920 К в течение 100-200 ч [ 88 ] (при 970-1070 К в течение 350 ч [ 89 ]); при 900 и 970 К в течение 14 дней; при 790 и 930 К в течение 70 ч [ 91 ]). Система исследована методами ДТА, РФА и МСА [ 88,89 ], а также масс-спектральным анализом [ 92 ].

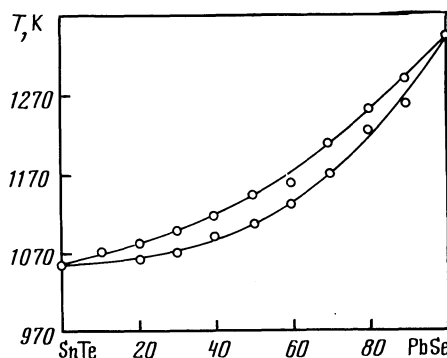


Рис. 8.27. Диаграмма состояния системы SnTe-PbSe [ 88 ].

#### Система SnTe-PbTe

Диаграмма состояния системы SnTe-PbTe (рис. 8.28) принадлежит к типу I по классификации Розебома [ 93-95 ]. В системе образуется непрерывный ряд твердых растворов со структурой типа  $\text{NaCl}$  [ 90,93-98 ]. Параметр элементарной ячейки твердых растворов в зависимости от состава изменяется согласно правилу Вегарда [ 97,98 ] (наблюдается небольшое положительное отклонение от правила Вегарда [ 94,96 ]). .

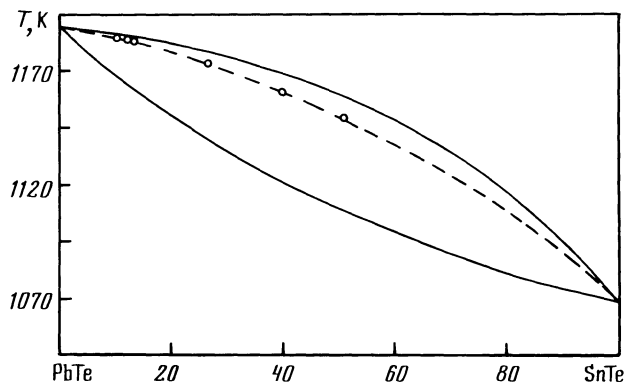


Рис. 8.28. Диаграмма состояния системы SnTe-PbTe [93, 95]

Поверхность ликвидуса тройной системы Sn-Pb-Te (рис. 8.29) построена в результате изучения многочисленных полигермических сечений [99-III]. На рис. 8.29 нанесены линии изоконцентрат солидуса [108] (изомолярности [101], изосолидуса [99, I03, I04], соединяющие точки поверхности ликвидуса, находящиеся в равновесии с твердой фазой с одинаковым содержанием олова. При малых концентрациях Te эти линии резко загибаются в сторону увеличения содержания олова [99].

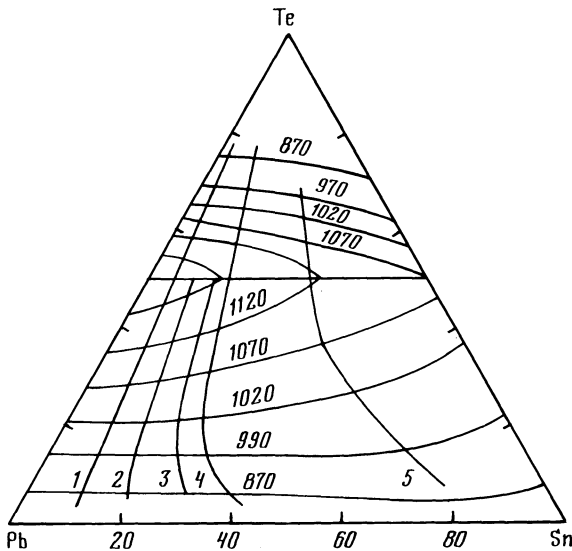


Рис. 8.29. Поверхность ликвидуса тройной системы Sn-Pb-Te [101]

$$\begin{aligned} 1 - x &= 0,06; 2 - x = 0,10; 3 - x = 0,14; \\ 4 - x &= 0,18; 5 - x = 0,50 \end{aligned}$$

Линии солидуса твердых растворов  $\text{Sn}_x\text{Pb}_{1-x}\text{Te}$  со стороны избытка металлов до сечения  $\text{SnTe}-\text{PbTe}$  представлены на рис. 8.30 [II2]. Область гомогенности твердых растворов  $\text{Sn}_x\text{Pb}_{1-x}\text{Te}$  при увеличении содержания  $\text{Sn}$  смещается в сторону избытка  $\text{Te}$ , и при некоторой концентрации  $\text{Sn}$  разрез  $\text{PbTe}-\text{SnTe}$  выходит за пределы области гомогенности [99]. Ширина области гомогенности при 870 К в образцах состава  $\text{Sn}_{0,5}\text{Pb}_{0,5}\text{Te}$  находится в интервале 50,007–50,11 %  $\text{Te}$ , а в образцах  $\text{Sn}_{0,75}\text{Pb}_{0,25}\text{Te}$  – в интервале 50,035–50,3 %  $\text{Te}$  [II3]. При 770 К область гомогенности по разрезу  $\text{Sn}_{0,4}\text{Pb}_{0,6}\text{Te}$  находится в пределах 50–50,3 %  $\text{Te}$  [I02].

На концентрационной зависимости микротвердости в интервале 1,5–5 %  $\text{SnTe}$  обнаружены аномалии, которые объясняются проявлением межпримесного взаимодействия в твердых растворах при увеличивающемся содержании примесей [II4].

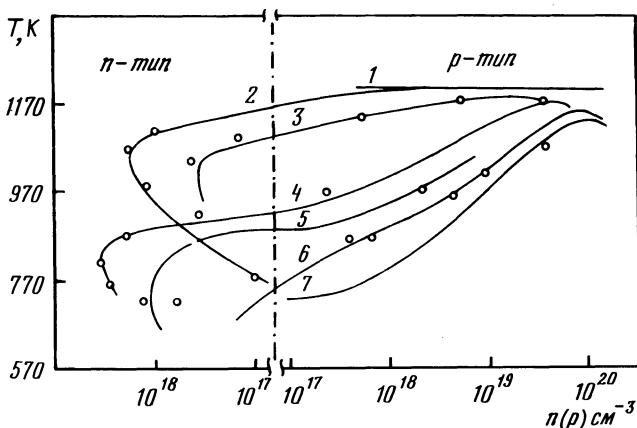


Рис. 8.30. Линии солидуса твердых растворов  $\text{Sn}_x\text{Pb}_{1-x}\text{Te}$  / II2 /

1 – ликвидус; 2–7 – солидус: 2 –  $x = 0$ , 3 –  $x = 0, I$ , 4 –  $x = 0, 13$ , 5 –  $x = 0, 17$ , 6 –  $x = 0, 2$ , 7 –  $x = 0, 26$

Координаты поверхности солидуса твердых растворов системы  $\text{PbTe}-\text{SnTe}$  приведены в работах [II5, II6].

В системе  $\text{SnTe}-\text{PbTe}$  при 926 К значительные отклонения от закона Рэуля наблюдаются только в интервале концентраций 70–90 %  $\text{PbTe}$  [II7].

Твердые растворы  $\text{Pb}_x\text{Sn}_{1-x}\text{Te}$  являются известными узкозонными материалами с инвертированной зонной структурой [II8]. Увеличение содержания  $\text{SnTe}$  приводит к уменьшению  $E_g$  и инверсии зон при составе  $x \approx 0,35$  при 12 К и  $x \approx 0,62$  при 300 К.

Исходные образцы отжигали при 620 и 770 К в атмосфере аргона в течение 4,5 месяцев [I02] (при 870 К в течение 500 ч [II3]; при 970 К в течение 21 дня [90]; при 870 К в течение 100 ч [96]). Монокристаллы

твердых растворов  $\text{Sn}_x\text{Pb}_{1-x}\text{Te}$  получали методом Бриджмена [I02, II2], методом Чохральского под избыточным давлением аргона  $6,86 \cdot 10^4$  Па [II9] и перекристаллизацией через газовую фазу [I20].

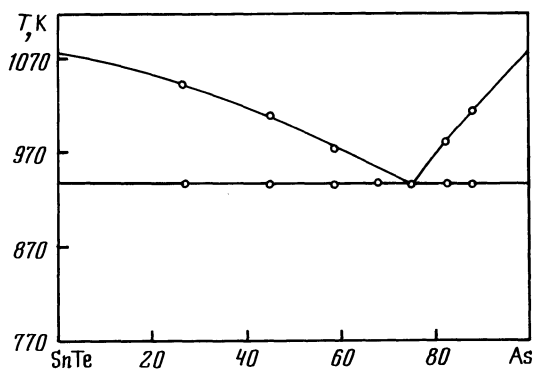
Система исследована методами ДТА, РФА, МСА и локального рентгеноспектрального анализа, а также измерениями микротвердости, электропроводности, термоЭДС, эффекта Холла и давления пара [94, 96-I08, II0, II2, II3, II7, II9]. Температуру кристаллизации определяли также путем визуального наблюдения за появлением первых кристаллов на поверхности жидкости [I07, I09]. Координаты некоторых точек поверхности ликвидуса системы  $\text{Sn-Pb-Te}$  определены методом жидкофазной эпитаксии [99, I04]. Поверхность ликвидуса изучали также с применением симплексных решеток [I06].

#### Система SnTe-P

В тройной системе  $\text{Sn-P-Te}$  образуется соединение  $\text{Sn}_2\text{P}_2\text{Te}_6$ , плавящееся при 653 К и имеющее плотность  $6,18 \text{ г}/\text{см}^3$  [70].

#### Система SnTe-As

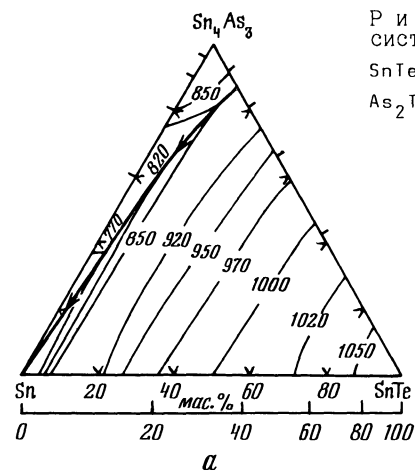
Диаграмма состояния системы  $\text{SnTe-As}$  (рис. 8.3I) эвтектического типа [I2I]. Эвтектика содержит 74 % As и кристаллизуется при 1079 К. Взаимной растворимости исходных компонентов не обнаружено [I2I, I22].



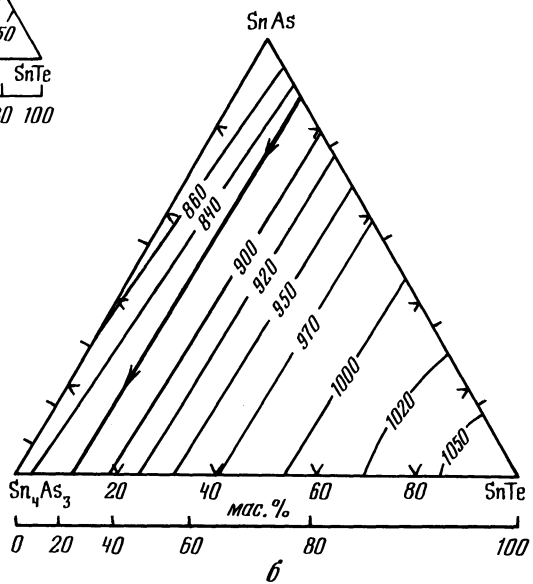
Р и с. 8.3I. Диаграмма состояния системы  $\text{SnTe-As}$  [I2I]

Поверхности ликвидуса подсистем  $\text{SnTe-Sn-Sn}_4\text{As}_3$ ,  $\text{SnTe-SnAs-Sn}_4\text{As}_3$  и  $\text{SnTe-As}_2\text{Te}_3-\text{Te}$  (рис. 8.32), являющихся частью тройной системы  $\text{Sn-As-Te}$ , построены с помощью изучения шести полигермических сечений в каждой из подсистем [80, 81, I23]. В подсистеме  $\text{SnTe-Sn-Sn}_4\text{As}_3$  (рис. 8.32, а) тройная эвтектика практически вырождена со стороны  $\text{Sn}$  и кристаллизуется при 504,3 К [81]. В подсистеме  $\text{SnTe-SnAs-Sn}_4\text{As}_3$  (рис. 8.32, б) кристаллизация всех сплавов заканчивается в тройной эвтектике, которая кристаллизуется при 849,5 К и практически совпадает с бинарной эвтектикой в системе  $\text{SnTe-Sn}_4\text{As}_3$  [80, 81]. В подсистеме  $\text{SnTe-As}_2\text{Te}_3-\text{Te}$  (рис. 8.32, в) тройная эвтектика содержит 70,2 % Te, 12,2 %  $\text{SnTe}$  и 17,6 %  $\text{As}_2\text{Te}_3$  (42 мас. % Te, 14 мас. %  $\text{SnTe}$  и 44 мас. %  $\text{As}_2\text{Te}_3$ ) и кристаллизуется при 631 К [I23]. На поверхности ликвидуса указанных подсистем большую часть за-

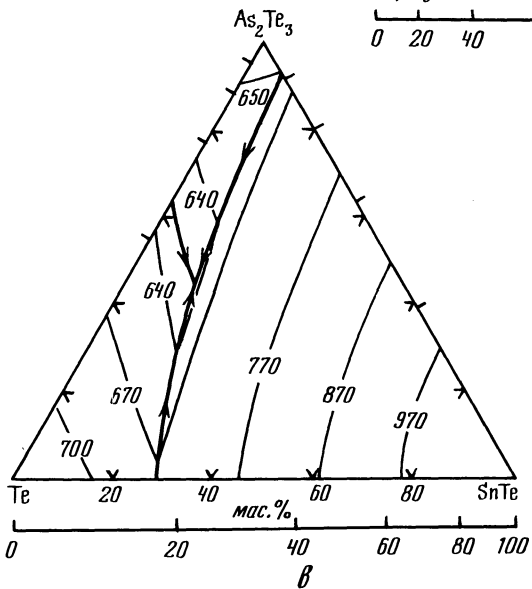
Р и с. 8.32. Поверхности ликвидуса систем  $\text{SnTe}-\text{Sn}-\text{Sn}_4\text{As}_3$  (а) [81],  $\text{SnTe}-\text{SnAs}-\text{Sn}_4\text{As}_3$  (б) [80] и  $\text{SnTe}-\text{As}_2\text{Te}_3-\text{Te}$  [123]



а



б



β

нимает поле первичной кристаллизации SnTe. Тройных соединений в системе Sn-As-Te не обнаружено [79-8I, I23].

Система исследована методами ДТА, РФА и МСА [79-8I, I2I, I23].

#### Система SnTe-As<sub>2</sub>S<sub>3</sub>

Диаграмма состояния системы SnTe-As<sub>2</sub>S<sub>3</sub> представлена на рис. 8.33 [I24]. В системе образуется соединение SnAs<sub>2</sub>S<sub>3</sub>Te, плавящееся инконгруэнтно при 608 К. Эвтектика содержит 25 % и кристаллизуется при 513 К. При медленном охлаждении сплавов область стеклообразования на основе As<sub>2</sub>S<sub>3</sub> простирается до 15 % SnTe. Растворимость As<sub>2</sub>S<sub>3</sub> в SnTe при 370, 470 и 520 К составляет соответственно 5, 8 и 10 %. Твердые растворы на основе As<sub>2</sub>S<sub>3</sub> не обнаружены.

Исходные образцы отжигали при 470 К в течение 780 ч. Система исследована методами ДТА, РФА и МСА, а также измерением микротвердости и плотности [I24].

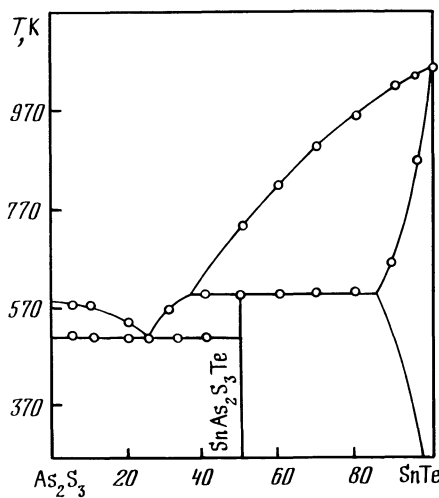


Рис. 8.33. Диаграмма состояния системы SnTe-As<sub>2</sub>S<sub>3</sub> [I24].

#### Система SnTe-As<sub>2</sub>Te<sub>3</sub>

Диаграмма состояния системы SnTe-As<sub>2</sub>Te<sub>3</sub> эвтектического типа [I25]. Эвтектика содержит 15,5 % (7,8 мас.%) SnTe и кристаллизуется при 651 К. При эвтектической температуре растворимость SnTe в As<sub>2</sub>Te<sub>3</sub> достигает 2 % (6 мас.%), а растворимость As<sub>2</sub>Te<sub>3</sub> в SnTe не превышает 0,25 % (0,5 мас.%).

Система исследована методами ДТА, РФА и МСА [I25].

#### Система SnTe-Sb

Диаграмма состояния системы SnTe-Sb (рис. 8.34) эвтектического типа [82, I26]. Эвтектика содержит 15 % SnTe и кристаллизуется при 850 К. Растворимость SnTe в Sb при 820 К составляет 1,5 % (3 % при 800 К).

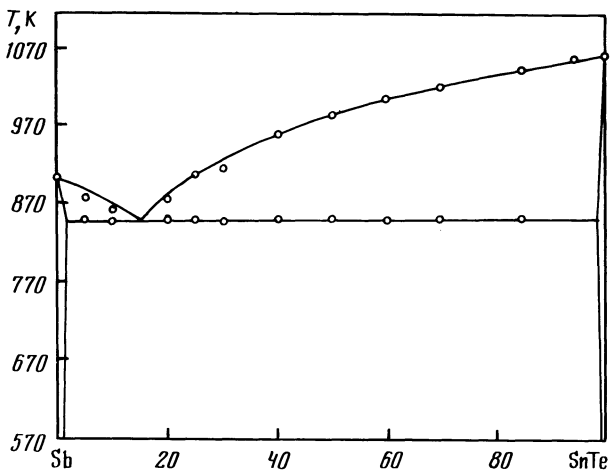


Рис. 8.34. Диаграмма состояния системы  $\text{SnTe}-\text{Sb}$  [82]

[I26], 13 % [I22]), а растворимость Sb в  $\text{SnTe}$  при 820 К находится в интервале 1-3 % [82] (10 % при 800 К и 1,8 % при 1050 К [I26]. При содержании 5, 10 и 20 %  $\text{SnTe}$  на кривых охлаждения наблюдались не большие термические эффекты при 824 К, которые обусловлены наличием с текущими в системе  $\text{Sb}_2\text{Te}_3-\text{Sb}$  и объясняются неравновесностью образцов [I26].

Большую часть поверхности ликвидуса тройной системы  $\text{Sn}-\text{Sb}-\text{Te}$  (рис. 8.35) занимает поле первичной кристаллизации  $\text{SnTe}$  [I27].

Область твердых растворов на основе  $\text{SnTe}$  в тройной системе  $\text{Sn}-\text{Sb}-\text{Te}$  (рис. 8.36) ориентирована вдоль разреза  $\text{SnTe}-\text{Sb}_2\text{Te}_3$  [I28]. Установлено, что растворимость Sb в  $\text{SnTe}$  линейно возрастает с ростом конц.

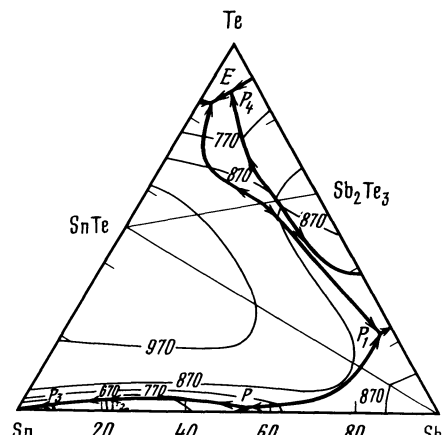


Рис. 8.35. Поверхность ликвидуса тройной системы  $\text{Sn}-\text{Sb}-\text{Te}$  [I27]

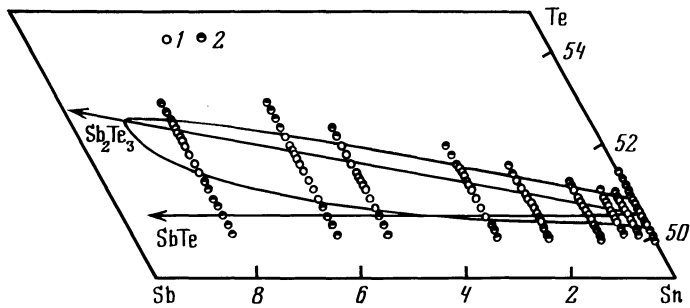


Рис. 8.36. Область твердых растворов на основе SnTe в тройной системе Sn-Sb-Te при 820 К [128].  
1 - одно- и 2 - двухфазные образцы

рации катионных вакансий [129]. Частичное замещение (до 1 %) атомов Sn сурьмой приводит к увеличению равновесной концентрации вакансий в монотеллуриде олова.

Исходные образцы отжигали при 820 К в течение приблизительно трех месяцев [82] (при 800 К в течение 21 дня [126]; при 770 К в течение 300 ч [129]). Система исследована методами ДТА, РФА и МСА, а также измерением микротвердости и электрофизических свойств [82, 122, 126, 128].

#### Система SnTe-Sb<sub>2</sub>Te<sub>3</sub>

Диаграмма состояния системы SnTe-Sb<sub>2</sub>Te<sub>3</sub> представлена на рис. 8.37 [127, 130, 131]. В системе образуется соединение SnSb<sub>2</sub>Te<sub>4</sub>, плавящееся инконгруэнтно при 876 К [130, 131] и кристаллизующееся в гексагональной [133] (тетрагональной [134, 135]) структуре с параметрами элементарной ячейки  $a = 4,31 \text{ \AA}$ ,  $c = 41,70 \text{ \AA}$  [133] ( $a = 4,294 \text{ \AA}$ ,  $c = 41,548 \text{ \AA}$  [134, 135]) и пикнометрической плотностью 6,34 г/см<sup>3</sup> [134, 135]. Эвтектика содержит 42 % (78 мас.%) Sb<sub>2</sub>Te<sub>3</sub> и кристаллизуется при 865 К [130, 131].

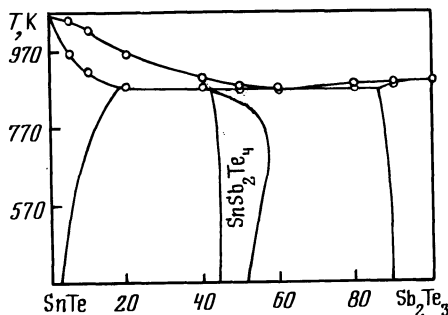


Рис. 8.37. Диаграмма состояния системы SnTe-Sb<sub>2</sub>Te<sub>3</sub> [127].

Растворимость  $\text{Sb}_2\text{Te}_3$  в  $\text{SnTe}$  при 820 К не превышает 10 % [I36], (9 % (20 мас.%) при 770 К [I30, I31]).

Исходные образцы отжигали при 670 и 770 К в течение 500 ч [I30, I31] (при 720-770 К в течение 30-50 ч [I35]); при 820 К в течение 400 ч [I36]. Система исследована методами ДТА, РФА и МСА, а также измерением микротвердости и электрофизических свойств [I30-I32, I36].

#### Система $\text{SnTe-BiSe}$

Растворимость  $\text{SnTe}$  в  $\text{BiSe}$  при 720 К и 770 К составляет соответственно 19 и 22% [I37]. Исходные образцы отжигали при 520 и 720 К в течение соответственно 10 и 30 сут и исследовали методами РФА и МСА, а также измерением микротвердости [I37].

#### Система $\text{SnTe-BiTe}$

Диаграмма состояния системы  $\text{SnTe-BiTe}$  (рис. 8.38) эвтектического типа [I38, I39]. Эвтектика содержит 30 %  $\text{SnTe}$  и кристаллизуется при 783 К. Растворимость  $\text{SnTe}$  в  $\text{BiTe}$  составляет 25 %, а  $\text{BiTe}$  в  $\text{SnTe}$  - 28 %. Твердые растворы на основе  $\text{BiTe}$  характеризуются проводимостью  $n$ -типа, а на основе  $\text{SnTe}$  -  $p$ -типа. Параметры элементарной ячейки твердых растворов на основе исходных компонентов изменяются согласно правилу Вегарда.

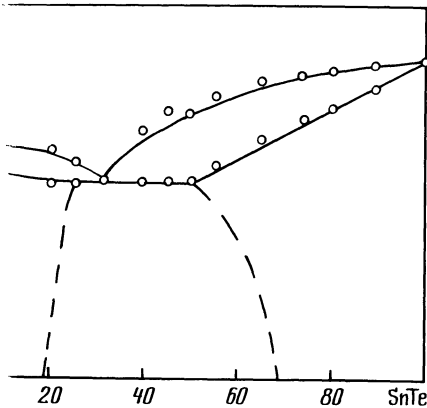
Область твердых растворов на основе  $\text{SnTe}$  в тройной системе  $\text{Sn-Bi-Te}$  (рис. 8.39) ориентирована вдоль разреза  $\text{SnTe-Bi}_2\text{Te}_3$  [I40]. Исходные образцы отжигали при 550 К в течение 300 ч [I38, I39]. Система исследована методами ДТА, РФА и МСА [I38-I40].

#### Система $\text{SnTe-Bi}_2\text{Te}_3$

Диаграмма состояния системы  $\text{SnTe-Bi}_2\text{Te}_3$  представлена на рис. 8.40 [I41]. Эвтектика содержит 57 %  $\text{Bi}_2\text{Te}_3$  и кристаллизуется при 843 К. В системе образуются два соединения:  $\text{SnBi}_2\text{Te}_4$ , плавящееся инконгруэнтно при 869 К [I41] (878 К [I42]) и кристаллизующееся в гексагональной структуре с параметрами элементарной ячейки  $a = 4,411 \text{ \AA}$ ,  $c = 41,511 \text{ \AA}$  и пикнометрической плотностью  $7,36 \text{ г/см}^3$  [I34, I35] и  $\text{SnBi}_4\text{Te}_7$ , плавящееся конгруэнтно при 888 К [I41] и кристаллизующееся в гексагональной структуре с параметрами  $a = 4,398 \text{ \AA}$ ,  $c = 41,493 \text{ \AA}$  и пикнометрической плотностью  $7,67 \text{ г/см}^3$  [I34, I35]. Соединение  $\text{SnBi}_4\text{Te}_7$  имеет проводимость  $n$ -типа и достаточно большую величину электропроводности, а  $\text{SnBi}_2\text{Te}_4$  обладает меньшей электропроводностью, при низких температурах имеет проводимость  $p$ -типа, а при высоких становится полупроводником  $n$ -типа [I43].

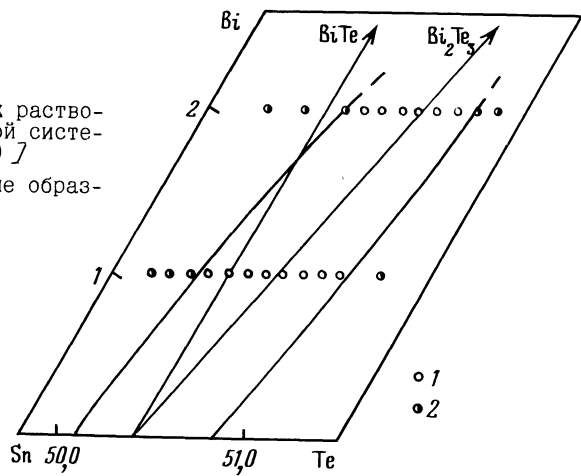
Растворимость  $\text{Bi}_2\text{Te}_3$  в  $\text{SnTe}$  достигает 14 % [I41] (15% при 880 К и 12 % при 720 К [I42]), а со стороны  $\text{Bi}_2\text{Te}_3$  образуются непрерывные твердые растворы до соединения  $\text{SnBi}_4\text{Te}_7$  с минимумом при 18 %  $\text{SnTe}$  и 852 К [I42] (15 %  $\text{SnTe}$  и 854 К [I44]).

Р и с. 8.38. Диаграмма состояния системы SnTe-BiTe [139]

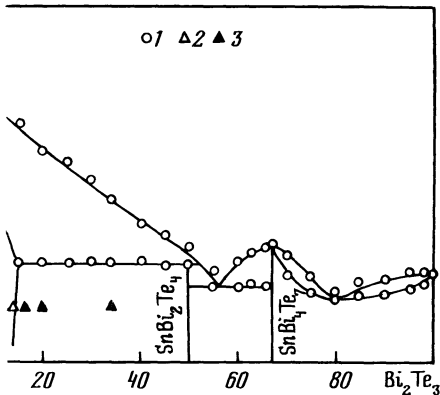


8.39. Область твердых растворов на основе SnTe в тройной системе Te-Bi-Sn при 820 К [140]

(но- и 2 - двухфазные образ-



○1 △2 ▲3



Р и с. 8.40. Диаграмма состояния системы SnTe-Bi<sub>2</sub>Te<sub>3</sub> [141]

1 - ДТА, 2 - одно- и 3 - двухфазные образцы

Согласно  $\angle$  I32  $\lambda$  в системе образуется соединение приблизительного состава  $3\text{SnTe} \cdot 2\text{Bi}_2\text{Te}_3$ , плавящееся инконгруэнтно при 868 К и образующее эвтектику с  $\text{Bi}_2\text{Te}_3$  при 843 К.

Исходные образцы отжигали при 770 и 820 К в течение 2000 ч  $\angle$  I41  $\lambda$  (при 720 К в течение 920 ч  $\angle$  I42  $\lambda$ ; при 720-770 К в течение 30-50 ч  $\angle$  I34, I35  $\lambda$ ). Соединения  $\text{SnBi}_2\text{Te}_4$  и  $\text{SnBi}_4\text{Te}_7$  синтезировали из элементарных веществ при 1070-1120 К  $\angle$  I34, I35  $\lambda$ . Система исследована методами ДТА, РФА и МСА, а также измерениями электропроводности и термоЭДС  $\angle$  I32, I41, I42, I44  $\lambda$ .

#### Система SnTe-Nb

Отжиг образцов, содержащих 50 % Nb, при 1370 К в течение 15 ч приводит к обменному взаимодействию исходных компонентов, однако фазовый состав образующихся продуктов не установлен  $\angle$  7  $\lambda$ .

#### Система SnTe-Ta

Отжиг образцов, содержащих 25, 33,3 и 50 % Ta, при 1220 К в течение 1000 ч приводит к обменному взаимодействию исходных компонентов с образованием олова и различных теллуридов tantalа  $\angle$  7  $\lambda$ .

#### Система SnTe-O<sub>2</sub>

В тройной системе Sn-O-Te обнаружены соединения  $\text{SnTe}_3\text{O}_8$   $\angle$  I45  $\lambda$  и  $\text{Sn}_5\text{Te}_3\text{O}_7$   $\angle$  I46  $\lambda$ . Соединение  $\text{Sn}_5\text{Te}_3\text{O}_7$  синтезировали путем сплавления SnO и Te при 870 К. Оно представляет собой черный порошок плотностью 7,34 г/см<sup>3</sup>, не растворимый в воде, минеральных кислотах, щелочах и органических растворителях  $\angle$  I46  $\lambda$ . Растирание SnTe на воздухе в агатовой ступке приводит к образованию  $\text{SnO}_2$   $\angle$  I47  $\lambda$ .

Система исследована методами РФА и ядерного гамма-резонанса  $\angle$  I45, I47  $\lambda$ .

#### Система SnTe-CrTe

Расторимость CrTe в SnTe при 500 К составляет 2 % и увеличивается до 3,5 % при 1000 К  $\angle$  I48  $\lambda$ . Исходные образцы отжигали при 500, 800 и 1000 К в течение соответственно 278, 192 и 192 ч. Система исследована методами ДТА, РФА и МСА  $\angle$  I48  $\lambda$ .

#### Система SnTe-Cr<sub>3</sub>Te<sub>4</sub>

Расторимость SnTe в Cr<sub>3</sub>Te<sub>4</sub> при 500 и 1000 К составляет соответственно 0,5 и 1 %  $\angle$  I49  $\lambda$ . Исходные образцы отжигали при 500, 800 и 1000 К в течение соответственно 278, 192 и 192 ч. Система исследована методами ДТА, РФА и МСА  $\angle$  I49  $\lambda$ .

#### Система SnTe-Mo

Отжиг образцов, содержащих 20 и 33,3 % Mo, при 1140 К в течение 21 ч приводит к образованию новой фазы, состав которой не установлен и которая не образуется при отжиге при 1370 К в течение 15 ч  $\angle$  7  $\lambda$ .

### Система SnTe-W

Отжиг образцов, содержащих 20 % W, при 1270 К в течение 16,5 ч не приводит к появлению новых фаз, что указывает на квазибинарность системы [7].

### Система SnTe-Br<sub>2</sub>

Взаимодействие SnTe с жидким Br<sub>2</sub> при 273 и 293 К происходит с большим выделением тепла [87]. Взаимодействие брома идет медленно и ускоряется при повышении температуры. В результате взаимодействия SnTe с Br<sub>2</sub> образуются SnBr<sub>4</sub> и TeBr<sub>4</sub>. При взаимодействии SnTe со спиртовым раствором Br<sub>2</sub> образуется двойная соль SnBr<sub>4</sub>·TeBr<sub>4</sub>.

Бромирование жидким бромом вели при 273 и 293 К, а парами брома при 313 К. Система исследована методами ДТА, РФА и ХА, а также измерением плотности и ИК-спектров поглощения [87].

### Система SnTe-I<sub>2</sub>

Взаимодействие SnTe с I<sub>2</sub> в вакууме при 323 К приводит к образованию SnI<sub>4</sub>, причем если исходные вещества взять в соотношении I:I, то в продуктах реакции остаются SnTe и Te [87]. При взаимодействии SnTe со спиртовым раствором I<sub>2</sub> образуется соединение SnTeI<sub>6</sub>·H<sub>2</sub>O (плотность 4,54 г/см<sup>3</sup>), которое следует считать двойной солью SnI<sub>2</sub>·TeI<sub>4</sub>·H<sub>2</sub>O.

Система исследована методами ДТА, РФА и ХА, а также измерением плотности и ИК-спектров поглощения [87].

### Система SnTe-Mn

Отжиг образцов, содержащих 50 % Mn, при 1370 К в течение 15 ч приводит к полному обменному взаимодействию с образованием Sn и MnTe [7].

### Система SnTe-MnTe

Диаграмма состояния системы SnTe-MnTe (рис. 8.4I) перитектического типа [150]. Твердые растворы на основе SnTe образуются по перитектической реакции при 1108 К на основе взаимодействия высокотемпературной модификации MnTe ( $\delta$ ) и жидкости. Ниже линии солидуса имеется ряд термических эффектов, связанных с полиморфными превращениями MnTe. Растворимость SnTe в MnTe при 870 К не превышает 5 %.

Исходные образцы отжигали при 870 К в течение 100 ч. Система исследована методами ДТА, РФА и МСА [150].

### Система SnTe-Fe

Диаграмма состояния системы SnTe-Fe эвтектического типа [7]. Эвтектика кристаллизуется при 1007 К. При взаимодействии SnTe и Fe новых фаз в системе не обнаружено [151, 152].

Исходные образцы отжигали при 720-970 К в течение 6-192 ч [151] (при 1030-1370 К в течение 15-45 ч [7]). Система исследована методами ДТА и МСА, а также измерением микротвердости [7, 151, 152].

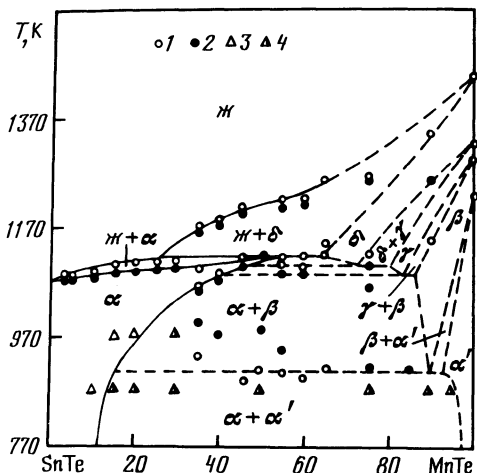


Рис. 8.41. Диаграмма состояния системы SnTe-MnTe  $\text{I} 150 \text{ J}$

1 - охлаждение, 2 - нагревание, 3 - одно- и 4 - двухфазные образцы

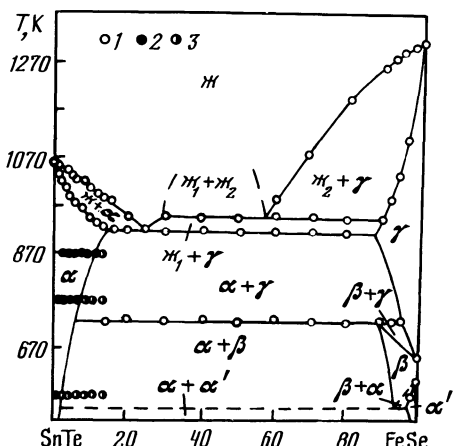


Рис. 8.42. Диаграмма состояния системы SnTe-FeSe  $\text{I} 153 \text{ J}$

1 - ДТА, 2 - одно и 3 - двухфазные образцы

#### Система SnTe-FeSe

Диаграмма состояния системы SnTe-FeSe (рис. 8.42) эвтектического типа с монотектическим превращением  $\text{I} 153 \text{ J}$ . Эвтектика содержит 25 % FeSe и кристаллизуется при 923 К. Расслаивание наблюдается в интервале 30-57 % FeSe при 953 К. При эвтектической температуре взаимная растворимость SnTe и FeSe составляет 10 %. При 423 К протекает эвтектоидное, а при 733 К - перитектоидное превращение твердых растворов на основе FeSe.

Исходные образцы отжигали при 570-670 К. Система исследована методами ДТА и МСА, а также измерением микротвердости  $\text{I} 153 \text{ J}$ .

#### Система SnTe-Co

Диаграмма состояния системы SnTe-Co представлена на рис. 8.43  $\text{I} 154$ ,  $155 \text{ J}$ . В системе образуется соединение  $\text{Sn}_4\text{Co}_9\text{Te}_4$  ( $\varepsilon$ -фаза), плавящееся конгруэнтно при 1420 К и имеющее полиморфное превращение при 1025 К. Эвтектики содержат 12 и 74 % Co и кристаллизуются соответственно при 1020 и 1230 К. В концентрационных интервалах 30-68 и 76-96 % Co наблюдается расслаивание в жидком состоянии, температура монотектических равновесий соответствует 1220 и 1320 К. Область растворов на основе SnTe достигает 5 %.

Поверхность ликвидуса тройной системы Sn-Co-Te (рис. 8.44) имеет 10 полей первичной кристаллизации фаз  $\text{I} 155 \text{ J}$ . Три поля отвечают кристаллизации исходных компонентов, причем поле кристаллизации Sn вырождено. Самые большие поля соответствуют соединениям  $\text{Co}_3\text{Sn}_2$  и  $\varepsilon$ -фаза. Нонвариантные равновесия в указанной системе представлены в табл. 8.1.

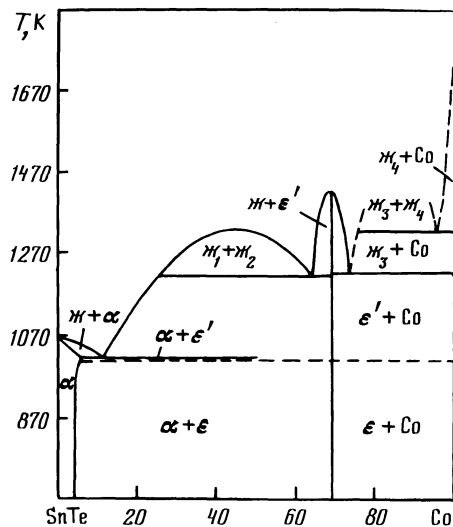


Рис. 8.43. Диаграмма состояния системы SnTe-Co [154, 155]

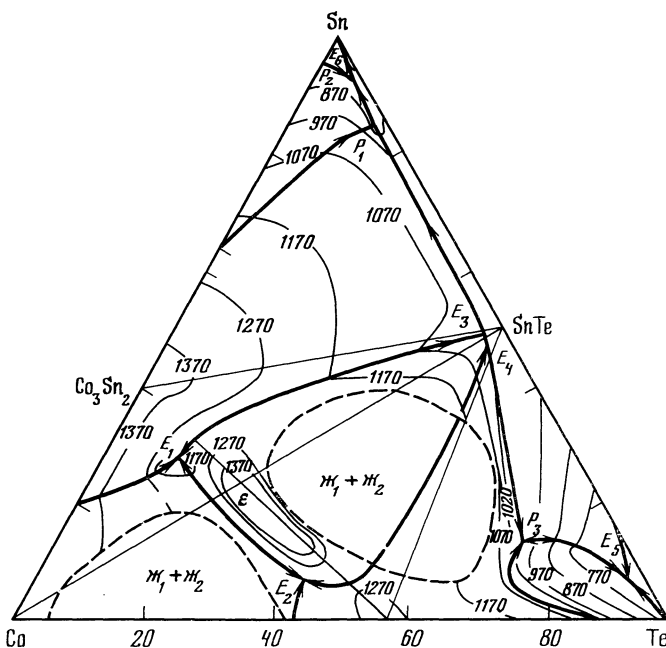


Рис. 8.44. Поверхность ликвидуса тройной системы Sn-Co-Te [155]

Таблица 8.I

Нонвариантные равновесия в тройной системе Sn-Co-Te [I55]

обозначение	T, K	Состав, % Co; Sn	Реакция
E <sub>1</sub>	1070	60,65; 28,14	$\text{ж} \rightleftharpoons \text{Co} + \text{Co}_3\text{Sn}_2 + \mathcal{E}$
E <sub>2</sub>	1120	52, I; 6,8	$\text{ж} \rightleftharpoons \text{Co} + \text{Co}_3\text{Te}_4 + \mathcal{E}$
E <sub>3</sub>	1020	3; 49	$\text{ж} \rightleftharpoons \text{Co}_3\text{Sn}_2 + \text{SnTe} + \mathcal{E}$
E <sub>4</sub>	1010	4,3; 46	$\text{ж} \rightleftharpoons \text{Co}_3\text{Te}_4 + \text{SnTe} + \mathcal{E}$
E <sub>5</sub>	650	2,3; 7, I	$\text{ж} \rightleftharpoons \text{CoTe}_2 + \text{SnTe} + \text{Te}$
E <sub>6</sub>	500	Вырождена	$\text{ж} \rightleftharpoons \text{CoSn}_2 + \text{SnTe} + \text{Sn}$
P <sub>1</sub>	840	2; 85, I	$\text{ж} + \text{Co}_3\text{Sn}_2 \rightleftharpoons \text{CoSn} + \text{SnTe}$
P <sub>2</sub>	640	I; 93	$\text{ж} + \text{CoSn} \rightleftharpoons \text{CoSn}_2 + \text{SnTe}$
P <sub>3</sub>	950	15,2; 13,8	$\text{ж} + \text{Co}_3\text{Te}_4 \rightleftharpoons \text{CoTe}_2 + \text{SnTe}$

Система исследована методами ДТА, РФА и МСА, а также измерением микротвердости [I54, I55].

#### Система SnTe-CoSn

Система SnTe-CoSn является неквазибинарным сечением тройной системы Sn-Co-Te [I56]. Линии ликвидуса, характеризующие первичное выделение SnTe и Co<sub>3</sub>Sn<sub>2</sub>, пересекаются при 6 % CoSn. Полная кристаллизация образцов происходит при 935 K. В конденсированном состоянии существуют две фазы: SnTe и CoSn. Взаимная растворимость исходных компонентов не превышает 1 %.

Система исследована методами ДТА, РФА и МСА, а также измерением микротвердости [I56].

#### Система SnTe-Co<sub>3</sub>Sn<sub>2</sub>

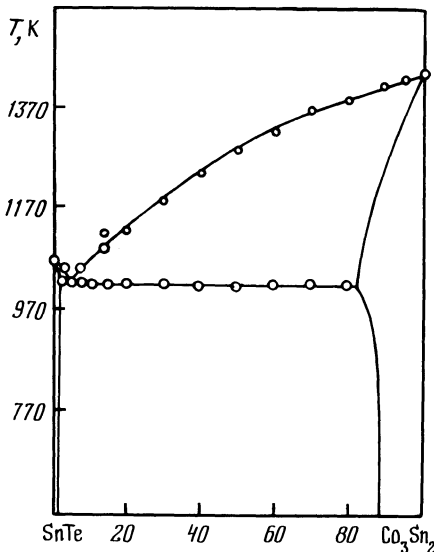
Система SnTe-Co<sub>3</sub>Sn<sub>2</sub> является неквазибинарным сечением тройной системы Sn-Co-Te [I56]. В системе первично кристаллизуются SnTe и Co<sub>3</sub>Sn<sub>2</sub>. На сечении имеется изотермическая линия при 830 K, соответствующая инконгруэнтному процессу ж + Co<sub>3</sub>Sn<sub>2</sub>  $\rightleftharpoons$  CoSn, и при 625 K, обусловленная инконгруэнтным образованием CoSn<sub>2</sub>. Взаимная растворимость исходных компонентов не превышает 1 %.

Система исследована методами ДТА, РФА и МСА, а также измерением микротвердости [I56].

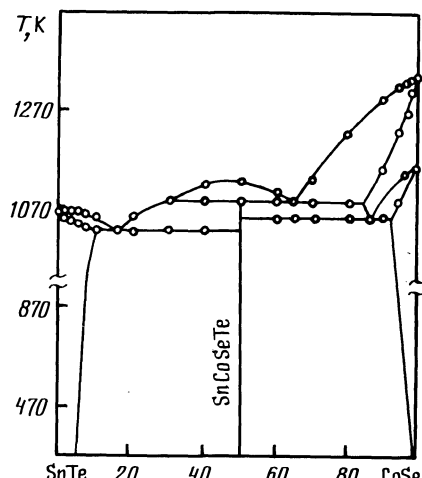
#### Система SnTe-Co<sub>3</sub>Sn<sub>2</sub>

Диаграмма состояния системы SnTe-Co<sub>3</sub>Sn<sub>2</sub> (рис. 8.45) эвтектического типа [I57]. Эвтектика содержит 5 % Co<sub>3</sub>Sn<sub>2</sub> и кристаллизуется при 1023 K. При комнатной температуре растворимость Co<sub>3</sub>Sn<sub>2</sub> в SnTe составляет 1 %, а SnTe в Co<sub>3</sub>Sn<sub>2</sub> - II %.

Исходные образцы отжигали при 970 K в течение 100 ч. Система исследована методами ДТА, РФА и МСА, а также измерением микротвердости [I57].



Р и с. 8.45. Диаграмма состояния системы  $\text{SnTe}-\text{Co}_3\text{Sn}_2$  [157]



Р и с. 8.46. Диаграмма состояния системы  $\text{SnTe}-\text{CoSe}$  [158]

#### Система $\text{SnTe}-\text{CoSe}$

Диаграмма состояния системы  $\text{SnTe}-\text{CoSe}$  представлена на рис. 8.46 [158]. В системе образуется соединение  $\text{SnCoTeSe}$ , разлагающееся перитектически при 1088 К (температура монотектики). Эвтектика содержит 15,5 % CoSe и кристаллизуется при 1033 К.

Исходные образцы отжигали при температурах несколько ниже температуры солидуса в течение 300-500 ч. Система исследована методами ДТА, РФА и МСА, а также измерением микротвердости [158].

#### Система $\text{SnTe}-\text{CoTe}$

Расторимость CoTe в SnTe при комнатной температуре достигает 10 %, а при 820 К - 12 % [159]. Параметр элементарной ячейки твердого раствора уменьшается до 6,225 Å при 8 % CoTe.

Система исследована методами ДТА, РФА и МСА, а также измерением микротвердости [159].

#### Система $\text{SnTe}-\text{CoTe}_2$

Система  $\text{SnTe}-\text{CoTe}_2$  является неквазибинарным сечением тройной системы Sn-Co-Te [160]. Со стороны CoTe<sub>2</sub> первично выделяется  $\gamma$ -фаза (твердый раствор на основе  $\text{Co}_3\text{Te}_4$ ). В интервале 9-31,5 % Sn в системе имеется расслаивание при 1173-1098 К. Ветви первичного выделения  $\gamma$ -фазы и SnTe пересекаются при 13 % Sn и 1003 К. Ниже этой изотермической линии находится область вторичного выделения, причем происходит инконгру-

энтное выделение  $\alpha$ -фазы (твердый раствор на основе  $\text{CoTe}_2$ ). Затвердевание заканчивается тройным нонвариантным перитектическим процессом при 3 % Sn и 908 К.

Исходные образцы отжигали при 850 К в течение 200 ч. Система исследована методами ДТА, РФА и МСА, а также измерением микротвердости [160].

#### Система $\text{SnTe}-\text{Co}_3\text{Te}_4$

Диаграмма состояния системы  $\text{SnTe}-\text{Co}_3\text{Te}_4$  (рис. 8.47) эвтектического типа с монотектическим превращением [157]. Эвтектика содержит 6 %  $\text{Co}_3\text{Te}_4$  и кристаллизуется при 1023 К. В интервале 30–64 %  $\text{Co}_3\text{Te}_4$  в системе наблюдается расслаивание с температурой монотектического равновесия 1183 К. Растворимость  $\text{SnTe}$  в  $\text{Co}_3\text{Te}_4$  при 1183 К составляет 19 %, а при 770 и 970 К – 3 %, а растворимость  $\text{Co}_3\text{Te}_4$  в  $\text{SnTe}$  при 770 и 970 К достигает 3 %.

Исходные образцы отжигали при 970 К в течение 100 ч. Система исследована методами ДТА, РФА и МСА, а также измерением микротвердости [157].

#### Система $\text{SnTe}-\text{Ni}$

При взаимодействии  $\text{SnTe}$  с Ni наблюдается образование  $\text{NiTe}$  и  $\text{Ni}_3\text{Sn}_2$  [7, 151], причем взаимодействие начинается при 740 К [152].

Исходные образцы отжигали при 720–970 К в течение 6–192 ч [151] (при 1370 К в течение 15 ч [7]). Система исследована методами ДТА, РФА и МСА, а также измерением микротвердости [7, 151, 152].

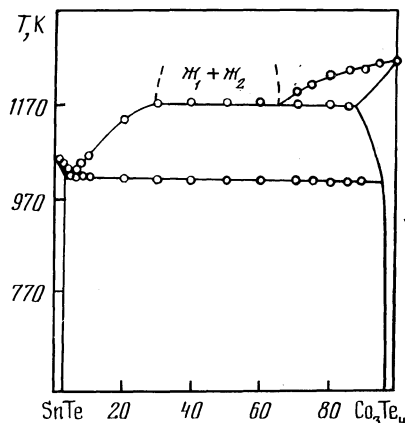


Рис. 8.47. Диаграмма состояния системы  $\text{SnTe}-\text{Co}_3\text{Te}_4$  [157]

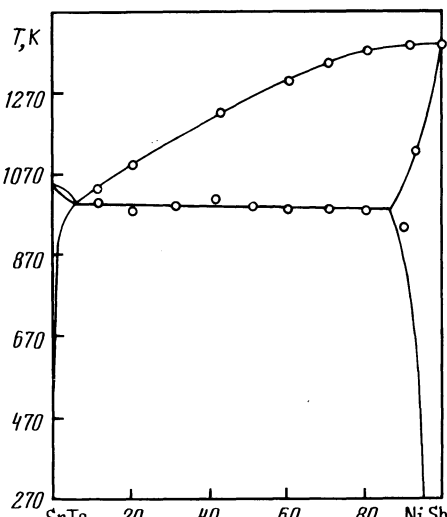


Рис. 8.48. Диаграмма состояния системы  $\text{SnTe}-\text{NiSb}$  [151]

### Система SnTe-NiSb

Диаграмма состояния системы SnTe-NiSb (рис. 8.48) эвтектического типа [I61]. Вырожденная эвтектика содержит 6 % NiSb и кристаллизуется при 1013 К (согласно [I52] SnTe начинает химически взаимодействовать с NiSb при 1030 К). Растворимость SnTe в NiSb достигает 7 %, а со стороны SnTe заметной растворимости не обнаружено. Твердые растворы на основе NiSb являются полупроводниками р-типа [I61].

Исходные образцы отжигали при 870 К в течение 500 ч [I61]. Система исследована методами ДТА, РФА и МСА, а также измерением микротвердости [I52, I61].

### Система SnTe-NiSe

Диаграмма состояния системы SnTe-NiSe представлена на рис. 8.49 [I58]. В системе образуется соединение SnNi<sub>3</sub>Se, плавящееся инконгруэнтно при 1023 К (температура монотектики). В области концентраций 39-70 % NiSe в системе имеется область расслаивания. Эвтектика содержит 25 % NiSe и кристаллизуется при 973 К.

Исходные образцы отжигали при температурах несколько ниже температуры солидуса в течение 300-500 ч. Система исследована методами ДТА, РФА и МСА, а также измерением микротвердости [I58].

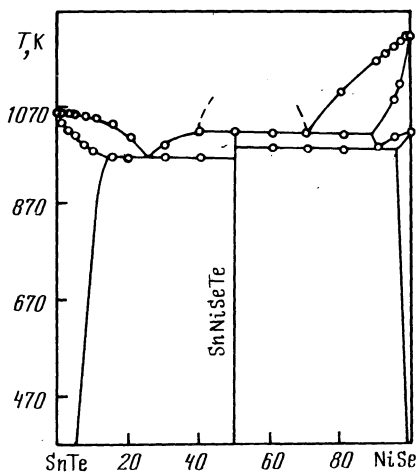


Рис. 8.49. Диаграмма состояния системы SnTe-NiSe [I58]

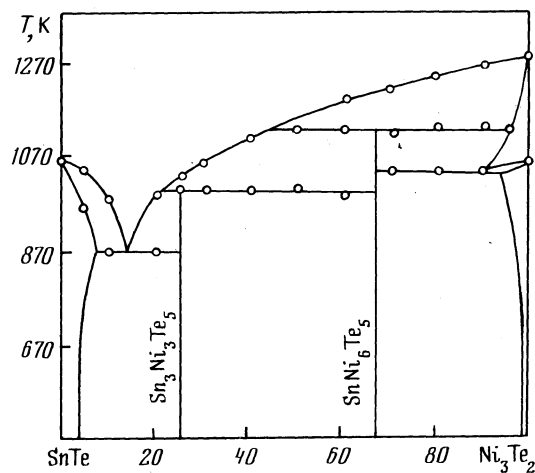


Рис. 8.50. Диаграмма состояния системы SnTe-Ni<sub>3</sub>Te<sub>2</sub> [I62]

### Система SnTe-Ni<sub>3</sub>Te<sub>2</sub>

Диаграмма состояния системы SnTe-Ni<sub>3</sub>Te<sub>2</sub> представлена на рис. 8.50 [I62]. В системе образуются соединения Ni<sub>6</sub>Sn<sub>3</sub>Te<sub>5</sub> и Ni<sub>3</sub>Sn<sub>3</sub>Te<sub>5</sub>, плавящиеся инконгруэнтно при 1140 и 1000 К соответственно. Эвтектика содержит

14 %  $\text{Ni}_3\text{Te}_2$  и кристаллизуется при 870 К. При комнатной температуре растворимость SnTe в  $\text{Ni}_3\text{Te}_2$  составляет 2 %, а  $\text{Ni}_3\text{Te}_2$  в SnTe - 4 %.

Исходные образцы отжигали при 820 К в течение 150 ч. Система исследована методами ДТА, РФА и МСА, а также измерением микротвердости [162].

#### Система SnTe-Ni<sub>3</sub>Te<sub>4</sub>

Диаграмма состояния системы SnTe-Ni<sub>3</sub>Te<sub>4</sub> представлена на рис. 8.5I [163]. В системе образуются соединения  $\text{Ni}_9\text{SnTe}_{13}$  и  $\text{Ni}_3\text{SnTe}_5$ , плавящиеся инконгруэнтно при 1123 и 973 К соответственно. Эвтектика содержит 17 % Ni<sub>3</sub>Te<sub>4</sub> и кристаллизуется при 963 К. Область твердых растворов на основе SnTe достигает 3 % Ni<sub>3</sub>Te<sub>4</sub>, а растворимость на основе Ni<sub>3</sub>Te<sub>4</sub> не обнаружена.

Система исследована методами ДТА, РФА и МСА, а также измерением микротвердости [163].

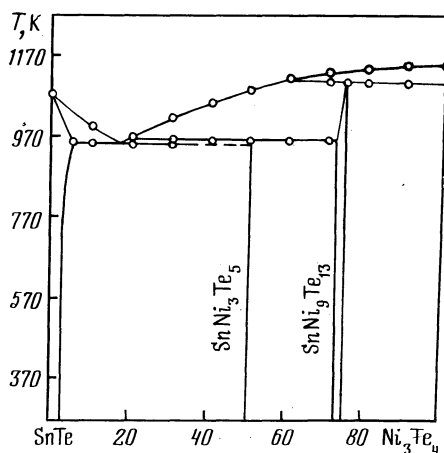


Рис. 8.5I. Диаграмма состояния системы SnTe-Ni<sub>3</sub>Te<sub>4</sub> [163]

#### Литература

1. Eisenmann B., Schäfer H., Schrod H. // Z.Naturforsch. 1983. Bd. B38, N 8. S. 921-923.
2. Eisenmann B., Schwerer H., Schäfer H. // Mater. Res. Bull. 1983. Vol. 18, N 4. P. 383-387.
3. Dittmar G. // Z. anorg. und allg. Chem. 1979. Bd. 453, N 6. S. 68-78.
4. Brinkmann C., Eisenmann B., Schäfer H. // Mater. Res. Bull. 1985. Vol. 20, N 3. P. 299-307.
5. Carcally C., Rivet J., Flahaut J. // J. Less-Common Metals. 1975. Vol. 41, N 1. P. 1-18.
6. Carcally C., Rivet J., Flahaut J. // J. Less-Common Metals. 1977. Vol. 51, N 1. P. 165-171.
7. Bates H.E., Wald F., Weinstein H. // Adv. Energy Convers. 1968. Vol. 7, N 4. P. 275-287.
8. Палатник Л.С., Комник Ю.Ф., Кошкин В.М., Белова Е.К. // Докл. АН СССР. 1961. Т. 137, № 1. С. 68-71.

9. Палатник Л.С., Комник Ю.Ф., Белова Е.К., Атрощенко Л.В. // Кристаллография. 1961. Т. 6, № 6. С. 960-964.
10. Rivet J., Flahaut J., Laruelle P. // C.r. Acad. sci. 1963. Vol. 257, N 1. P. 161-164.
11. Аверкиева Г.К., Вайполин А.А., Горюнова Н.А. // Исследования по полупроводникам. Кишинев: Картия Молдовеняскэ, 1964. С. 44-56.
12. Глазов В.М., Зотова Т.Б., Карагодин Ю.А. // Изв. АН СССР. Неорган. материалы. 1976. Т. I2, № I. С. 19-22.
13. Довлетов К., Крживицкая С.Н., Ташиев К. и др. // Изв. АН ТССР. Сер. физ.-техн., хим. и геол. наук. 1974. № 3. С. 104-107.
14. Зотова Т.Р., Карагодин Ю.А. // Сб. науч. тр. по пробл. микроэлектроники. М.: МИЭТ, 1975. Вып. 2I. С. 62-69.
15. Довлетов К., Ташиев К. // Изв. АН ТССР. Сер. физ.-техн., хим. и геол. наук. 1978. № 2. С. 24-27.
16. Баланевская А.Э., Бергер Л.И., Петров В.М. // Изв. АН СССР. Неорган. материалы. 1966. Т. 2, № 5. С. 810-813.
17. Matje P., Schön G. // Z. Naturforsch. 1980. Bd. B35, N 2. S. 247.
18. Gorochov O. // Bull. Soc. chim. France. 1968. N. 6. P. 2263-2275.
19. Gorochov O. // C.r. Acad. sci. 1968. Vol. C266, N 14. P. 1059-1062.
20. Blachnik R., Bolte G., Gather B. // Z. Metalik. 1978. Bd. 69, N 8. S. 530-533.
21. Fleischmann H., Folberth O.G., Pfister H. // Z. Naturforsch. 1959. Bd. A14, N 11. s. 999-1000.
22. Hahn H., Schulze H. // Naturwissenschaften. 1964. Bd. 51, N 22. S. 534.
23. Blachnik R., Gather B. // J. Less-Common Metals. 1978. Vol. 60, N 1. P.25-32.
24. Legendre B., Géolin R., Souleau C. // Bull. Soc. chim. France. 1975. N 11/12, Pt. 1. P. 2475-2480.
25. Legendre B., Souleau C. // C.r. Acad. sci. 1977. Vol. C284, N 18. P. 739-742.
26. Legendre B., Souleau C., Rouland J.-C. // C.r. Acad. sci. 1972. Vol. C275, N 15. P. 805-808.
27. Дубровин И.В., Буденная Л.Д., Мизецкая И.Б., Шаркина Э.В. // Изв. АН СССР. Неорган. материалы. 1983. Т. 19, № II. С. 1816-1819.
28. Дубровин И.В., Буденная Л.Д., Мизецкая И.Б., Шаркина Э.В. // Изв. АН СССР. Неорган. материалы. 1984. Т. 20, № 4. С. 571-573.
29. Султанова Н.Р., Насиров Я.Н., Заргарова М.И., Пирзаде М.М. // Изв. АН СССР. Неорган. материалы. 1974. Т. 10, № 8. С. 1418-1420.
30. Morgan G., Legendre B., Souleau C. // Bull. Soc. chim. France. 1981. Pt. 1, N 1/2. P. 141-144.
31. Дубровин И.В., Буденная Л.Д., Мизецкая И.Б., Шаркина Э.В. // Изв. АН СССР. Неорган. материалы. 1985. Т. 21, № II. С. 1873-1878.
32. Дубровин И.В., Буденная Л.Д., Мизецкая И.Б., Шаркина Э.В. // Изв. АН СССР. Неорган. материалы. 1986. Т. 22, № 4. С. 590-595.
33. Насиров Я.Н., Заргарова М.И., Султанова Н.Р. // Изв. АН СССР. Неорган. материалы. 1970. Т. 6, № 9. С. 1711-1712.
34. Rubenstein M. // J.Electrochem. Soc. 1966. Vol. 113, N 6. P.623-624.
35. Таиров С.М., Ормонт Б.Ф., Гарцман К.Г. // Изв. АН СССР. Неорган. материалы. 1969. Т. 5, № 12. С. 2215-2216.
36. Венгель П.Ф., Томашик В.Н., Мизецкая И.Б. // Укр. хим. журн. 1983. Т. 49, № 12. С. 1247-1250.
37. Довлетов К., Эрниязов Х., Малкова А.С. // Изв. АН СССР. Неорган. материалы. 1976. Т. I2, № II. С. 1964-1968.
38. Глазов В.М., Довлетов К., Эрниязов Х. и др. // Изв. ТССР. Сер. физ.-техн., хим. и геол. наук. 1973. № I. С. 94-96.

39. Rustamov P.G., Kuliev B.B., Alijanov M.A., Kuliev E.M. // Phys. status solidi. 1970. Vol. A3, N 2. P. K139-K141.
40. Алиджанов М.А., Рустамов П.Г., Сафаров М.Г. // Азерб. хим. журн. 1967. № I. С. 103-108.
41. Дзюбенко Н.И., Рогачева Е.И. // Изв. АН СССР. Неорган. материалы. 1988. Т. 24, № 10. С. 1736-1737.
42. Бергер Л.И., Довлетов К., Эрниязов Х. // Изв. АН СССР. Неорган. материалы. 1978. Т. 14, № 6. С. 1040-1042.
43. Guittard M., Alapini F., Jaulmes S. et al. // Mater. Res. Bull. 1978. Vol. 13, N 11. P 1157-1161.
44. Алиджанов М.А., Рустамов П.Г., Бабаев Я.Н. // Исслед. материалов для новой техники. Тбилиси: Мецниереба, 1971. С. 152-157.
45. Бабаев Я.Н., Рустамов П.Г., Гусейнов В.Г. // Журн. неорган. химии. 1985. Т.30, № 12. С. 3171-4173.
46. Рустамов П.Г., Бабаев Я.Н. // Азерб. хим. журн. 1985. № 3. С. 81-85.
47. Рогачева Е.И., Дзюбенко Н.И., Лаптев С.А. и др. // Изв. АН СССР. Неорган. материалы. 1983. Т. 19, № 4. С. 573-577.
48. Палатник Л.С., Рогачева Е.И., Мелихова А.Н., Дзюбенко Н.И. // Химия и физ. халькогенидов. Киев: Наук. думка, 1977. С. 63-65.
49. Палатник Л.С., Рогачева Е.И., Мелихова А.Н., Дзюбенко Н.И. // Изв. АН СССР. Неорган. материалы. 1977. Т. 13, № 4. С. 591-595.
50. Рогачева Е.И., Дзюбенко Н.И., Евдокимов А.И., Воинова Л.Г. // Изв. АН СССР. Неорган. материалы. 1976. Т. 12, № 11. С. 1960-1963.
51. Рогачева Е.И., Дзюбенко Н.И., Евдокимов А.И., Воинова Л.Г. // Полупроводники с узкой запрещенной зоной и полуметаллы. Львов: Вища школа. 1975. Ч. 3. С. 77.
52. Горне Г.В., Жигарева Н.Е., Иванова А.Б., Рогачева Е.И. // Изв. АН СССР. Неорган. материалы. 1987. Т. 23, № 8. С. 1298-1302.
53. Аширов А., Гуршумов А.П., Довлетов К., Мамедов Н.А. // Журн. неорган. химии. 1986. Т. 31, № 5. С. 1282-1284.
54. Гуршумов А.П., Алиев А.С., Мамедов Н.А. и др. // Изв. АН СССР. Неорган. материалы. 1985. Т. 21, № 10. С. 1670-1672.
55. Дзюбенко Н.И., Рогачева Е.И., Горне Г.В. и др. // Изв. АН СССР. Неорган. материалы. 1988. Т. 24, № 10. С. 1738-1739.
56. Rosenberg A.J., Grierson R., Woolley J.C., Nikolic P. // Trans. Metallurg. Soc. AIME. 1964. Vol. 230, N. 2. P.342-350
57. Beleites E., Nieke H. // Annal. Phys. 1966. Bd. 18, N 5/6. S. 258-267.
58. Рустамов П.Г., Насиров Я.Н., Алиджанов М.А., Мамедалиев Ф.Д. // Но- вые полупроводник. материалы. Баку: Элм, 1972. С. 92-95.
59. Рустамов П.Г., Алиджанов М.А., Гамидов Р.С. // Азерб. хим. журн. 1969. № 5. С. 124-127.
60. Kuliev B.B., Rustamov P.G., Alijanov M.A. et al. // Phys. status solidi. 1971. Vol. A4, N 2. P. K127-K130.
61. Абрикосов Н.Х., Цхадая Р.А. // Изв. АН СССР. Неорган. материалы. 1975. Т. II, № 9. С. 1702-1703.
62. Горне Г.В., Жигарева Н.К., Иванова А.Б., Рогачева Е.И. // Изв. АН СССР. Неорган. материалы. 1989. Т. 25, № 6. С. 955-959.
63. Балтрунас Д.И., Горне Г.В., Лаптев С.А. и др. // Изв. АН СССР. Неорган. материалы. 1988. Т. 24, № 10. С. 1634-1638.
64. Merino L.E., Howard P.J., Peretti E.A. // J. Less-Common. Metals. 1968. Vol. 16, N 1. P. 65-70.
65. Ильин Ю.Л., Махин А.В., Мошников В.А. // Изв. АН СССР. Неорган. материалы. 1988. Т. 24, № 6. С. 1043-1045.

66. Рустамов П.Г., Алиджанов М.А., Бабаев Я.Н. // Уч. зап. Азерб. ун-та. Сер. хим. наук. 1973. № I. С. II-16.
67. Рустамов П.Г., Насиров Я.Н., Алиджанов М.А., Бабаев Я.Н. // Изв. АН СССР. Неорган. материалы. 1977. Т. I3, № 4. С. 746-747.
68. Рустамов П.Г., Бабаев Я.Н. // Изв. вузов. Химия и хим. технология. 1987. Т. 30, № 7. С. 17-19.
69. Готук Али Аларик, Бабанлы М.Б., Кулиев А.А. // Изв. АН СССР. Неорган. материалы. 1979. Т. I5, № 8. С. 1356-1361.
70. Ворошилов Ю.В., Поторий М.В., Приц И.Б. // Изв. вузов. Химия и хим. технология. 1986. Т. 29, № 2. С. 19-21.
71. Mazelsky R., Lubell M.S. // J. Phys. Chem. 1962. Vol. 66, N 8. P. 1408-1411.
72. Ворошилов Ю.В., Гурзан М.И., Киш З.З., Лада Л.В. // Изв. АН СССР. Неорган. материалы. 1988. Т. 24, № 9. С. 1479-1484.
73. Chami R., Tedenac J.-C., Brun G., Maurin M. // Mater. Res. Bull. 1983. Vol. 18, N 7. P. 803-808.
74. Рустамов П.Г., Алиджанов М.А., Бабаев Я.Н. // Изв. АН СССР. Неорган. материалы. 1976. Т. I2, № 5. С. 843-845.
75. Ерофеев Р.С., Соломатникова О.В., Гайдукова В.С., Репенько С.И. // Халькогениды. Киев: Наук. думка, 1974. Вып. 3. С. 187-198.
76. Али-заде М.З., Насиров Я.Н., Набиев Б.А. // Азерб. хим. журн. 1985. № 3. С. 68-73.
77. Терехов Г.И., Синякова С.И., Иванов О.С. // Изв. АН СССР. Неорган. материалы. 1972. Т. 8, № 4. С. 701-703.
78. Arkoosh M.A., Peretti E.A. // J. Inorg. and Nucl. Chem. 1969. Vol. 31, N 12. P. 3759-3763.
79. Вдовина Т.З., Медведева З.С. // Деп. в ВИНИТИ, № 2039-74Деп.
80. Kao Wei-Hsiung, Peretti E.A. // J. Less-Common Metals. 1970. Vol. 22, N 1. P.39-50.
81. Kao Wei-Hsiung, Peretti E.A. // J. Mater. Sci. 1970. Vol. 5, N 12. P. 1047-1053.
82. Абрикосов Н.Х., Скуднова Е.В., Порецкая Л.В. // Изв. АН СССР. Неорган. материалы. 1968. Т. 4, № 10. С. 1670-1675.
83. Blachnik R., Kasper F.-W. // Z. Naturforsch. 1974. Bd. B29, N 3/4. S. 159-162.
84. Родионов Ю.И., Клокман В.Р., Мякишев К.Г. // Журн. неорган. химии. 1972. Т. I7, № 3. С. 846-851.
85. Бацанов С.С., Шестакова Н.А., Хрипин Л.А. // Докл. АН СССР. 1963. Т. I52, № 3. С. 606-608.
86. Katryniok D., Kniep R. // J. Therm. Anal. 1979. Vol. 16, N 2. P. 291-294.
87. Бацанов С.С., Шестакова Н.А. // Изв. СО АН СССР. Сер. хим. наук. 1968. Вып. 6, № 14. С. 47-51.
88. Боровикова Р.П., Дудкин Л.Д., Казанская О.А., Косолапова Э.Ф. // Изв. АН СССР. Неорган. материалы. 1972. Т. 8, № 10. С. 1762-1764.
89. Абрикосов Н.Х., Гончарова Л.С. // Изв. АН СССР. Неорган. материалы. 1974. Т. 10, № 8. С. 1533-1534.
90. Nikolić P.N. // Brit. J. Appl. Phys. 1967. Vol. 18, N 7. P. 897-903.
91. Krebs H., Langner D. // Z. anorg. und allg. Chem. 1964. Bd.334, N 1/2. S. 37-49.
92. Калашников А.А., Дроват Ж., Бурдейный А.Н., Пашинкин А.С. // Докл. АН СССР. 1981. Т. 261, № 4. С. 905-907.
93. Laugier A. // Rev. phys. appl. 1973. Vol. 8, N 3. P.259-270.
94. Абрикосов Н.Х., Дюльдина К.А., Данилян Т.А. // Журн. неорган. химии. 1958. Т. 3, № 7. С. 1632-1636.
95. Hiscocks S.E.R., West P.D. // J. Mater. Sci. 1968. Vol. 3, N 1. P. 76-79.
96. Short N.R. // Brit. J. Appl. Phys. (J.Phys. D). 1968. Ser. 2. Vol. 1, N 1. P. 129-130.

97. Mazelsky R., Lubell M.S., Kramer W.E. // J. Chem. Phys. 1962. Vol. 37, N 1. P.45-47.
98. Bis R.F. // J. Appl. Phys. 1969. Vol. 40, N 4. P. 1918-1921.
99. Тамм М.Е., Зломанов В.П., Новоселова А.В. // Докл. АН СССР. 1975. Т. 224, № 5. С. II22-II25.
- I00. Linden K.J., Kennedy C.A. // J. Appl. Phys. 1969. Vol. 40, N 6. P. 2595-2597.
- I01. Новоселова А.В., Зломанов В.П., Гаськов А.М., Тананаева О.И. // Вестн. МГУ. Сер. 2, Химия. 1980. Т. 21, № 2. С. I07-II9.
- I02. Шелимова Л.Е., Абрикосов Н.Х. // Изв. АН СССР. Неорган. материалы. 1973. Т. 9, № 9. С. I642-I643.
- I03. Laugier A., Cadoz J., Faure M., Moulin M. // J. Cryst. Growth. 1974. Vol. 21, N 2. P. 235-242.
- I04. Шотов А.П., Даварашвили О.И. // Изв. АН СССР. Неорган. материалы. 1977. Т. I3, № 4. С. 610-612.
- I05. Петухов А.П., Андреев Ю.В., Олеск А.О. // Изв. АН СССР. Неорган. материалы. 1980. Т. I6, № 2. С. 272-274.
- I06. Muszynski Z., Davarashvili O.I., Riabtsev N.G., Shotov A.P. // J. Cryst. Growth. 1979. Vol. 46, N 4. P. 487-490.
- I07. Astles M.G., Hatto P., Crocker A.J. // J. Cryst. Growth. 1979. Vol. 47, N 3. P. 379-383.
- I08. Михайлов В.Ф., Пелевин О.В., Соколов А.М., Хорват А.М. // Изв. АН СССР. Неорган. материалы. 1978. Т. I4, № 4. С. 777-778.
- I09. Cadoz J., Faure M., Moulin M. // Bull. Soc. France. ceram. 1973. N 99. P.61-64.
- I10. Зломанов В.П., Ло Куанг Фу, Гаськов А.М., Новоселова А.В. // Журн. неорган. химии. 1974. Т. I9, № 9. С. 2538-2541.
- I11. Thompson A.G., Wagner J.W. // Phys. status solidi. 1971. Vol. A5, N 2. P.439-448.
- I12. Гаськов А.М., Комиссаров В.Н., Гаранин В.К. и др. // Изв. АН СССР. Неорган. материалы. 1980. Т. I6, № 2. С. 268-271.
- I13. Таиров С.М., Ормонт Б.Ф., Шостак Н.О. // Изв. АН СССР. Неорган. материалы. 1970. Т. 6, № 9. С. I584-1588.
- I14. Рогачева Е.И., Нащекина О.Н., Жигарева Н.К. и др. // Изв. АН СССР. Неорган. материалы. 1989. Т. 25, № 3. С. 393-395.
- I15. Новоселова А.В., Зломанов В.П., Гаськов А.М. и др. // Журн. неорган. химии. 1986. Т. 31, № II. С. 2957-2967.
- I16. Hatto P., Crocker A.J., Winn J. // J. Cryst. Growth. 1982. Vol. 57, N 3. P. 507-515.
- I17. Соколов В.В., Рязанцев А.А., Пашинкин А.С., Новоселова А.В. // Изв. АН СССР. Неорган. материалы. 1969. Т. 5, № 2. С. 275-278.
- I18. Dimmock J.O., Melngailis I., Strauss A.J. // Phys. Rev. Letters. 1966. Vol. 16, N 26. P. 1193-1196.
- I19. Курбанов К.Р., Яценко О.В., Зломанов В.П. // Изв. АН СССР. Неорган. материалы. 1976. Т. I2, № II.C. 2076-2077.
- I20. Ickert L., Däweritz L., Hadan M. et al. // Wiss. Z. Humboldt-Univ. Berlin. Math.-naturwiss. R. 1976. Bd. 25, N 3. S. 341-346.
- I21. Arkoosh M.A., Peretti E.A. // Trans. Metallurg. Soc. AIME. 1969. Vol. 245, N 6. P. 1363.
- I22. Krebs H., Grün K., Kallen D., Lippert W. // Z. anorg. und allg. Chem. 1961. Bd. 308, N 1/6. S. 200-211.
- I23. Kao Wei-Hsiung, Peretti E.A. // J. Less. Common Metals. 1971. Vol. 24, N 2. P. 211-222.
- I24. Кулиев Б.Б., Гуршумов А.П., Кулиев Э.М., Халилов Х.Я. // Изв. АН СССР. Неорган. материалы. 1982. Т. 18, № 5. С. 738-741.

- I25. Paulsen J.K., Peretti E.A. // *J. Mater. Sci.* 1968. Vol. 3, N 5. P. 565-567.
- I26. O'Kane D.F., Stemple N.R. // *J. Electrochem. Soc.* 1966. Vol. 113, N 3. P. 290-292.
- I27. Stegherr A. // *Philips Res. Repts.* 1969. Vol. 24, Suppl. N 6. 72 p.
- I28. Рогачева Е.И., Горне Г.В., Лаптев С.А. и др. // Изв. АН СССР. Неорг. материалы. 1987. Т. 23, № II. С. 1830-1834.
- I29. Рогачева Е.И., Горне Г.В., Лаптев С.А. и др. // Изв. АН СССР. Неорг. материалы. 1988. Т. 24, № 6. С. 928-932.
- I30. Елагина Е.И., Абрикосов Н.Х. // Сб. тр. Воронежск. отд.-ние Всесоюз. хим. о-ва им. Д.И.Менделеева. 1959. Вып. 2. С. 43-46.
- I31. Елагина Е.И., Абрикосов Н.Х. // Журн. неорган. химии. 1959. Т. 4, № 7. С. I638-I642.
- I32. Hirai T., Takeda Y., Kurata K. // *J. Less-Common Metals.* 1967. Vol. 13, N 3. P. 352-356.
- I33. Талыбов А.Г. // Кристаллография. 1961. Т. 6, № I. С. 49-55.
- I34. Жукова Т.Б., Заславский А.И. // Кристаллография. 1971. Т. 16, № 5. С. 918-922.
- I35. Жукова Т.Б., Заславский А.И. // Некот. вопросы химии и физики полупроводн. сложн. состава. Ужгород: Ужгород. гос. ун-т, 1970. С. 158-163.
- I36. Рогачева Е.И., Лаптев С.А., Объедков А.Г., Коломоец Н.В. // Физ. электроника (Львов). 1985. № 31. С. 23-27.
- I37. Абрикосов Н.Х., Банкина В.Ф., Коломоец Л.А. и др. // Изв. АН СССР. Неорг. материалы. 1972. Т. 8, № 12. С. 2120-2124.
- I38. Довлетов К., Самохотина Н.К., Аникин А.В. и др. // Изв. АН ТССР. Сер. физ.-техн., хим. и геол. наук. 1974. № I. С. II9-II1.
- I39. Довлетов К., Самохотина Н.К., Аникин А.В., Аширов А. // Изв. АН СССР. Неорг. материалы. 1975. Т. II, № 7. С. I215-I217.
- I40. Горне Г.В., Жигарева Н.К., Иванова А.Б., Рогачева Е.И. // Изв. АН СССР. Неорг. материалы. 1988. Т. 24, № 7. С. I214-I215.
- I41. Абрикосов Н.Х., Елагина Е.И., Чхадая Р.А. // Изв. АН СССР. Неорг. материалы. 1975. Т. II, № II. С. 2083-2084.
- I42. Один И.Н., Господинов Г.Г., Новоселова А.В., Шер А.А. // Вестн. МГУ. Сер. 2, Химия. 1974. Т. 15, № 3. С. 285-288.
- I43. Жукова Т.Б., Кутасов В.А., Парфеньева Л.С., Смирнов И.А. // Изв. АН СССР. Неорг. материалы. 1974. Т. 10, № 12. С. 2221-2222.
- I44. Reynolds R.A. // *J. Electrochem. Soc.* 1967. Vol. 114, N 5. P. 526-529.
- I45. Васильев Л.Н., Макеев К.В., Арчаков Ю.И. // Изв. АН СССР. Неорг. материалы. 1979. Т. 15, № 8. С. I352-I355.
- I46. Бацанов С.С., Шесткова Н.А. // Изв. АН СССР. Неорг. материалы. 1966. Т. 2, № I. С. II0-II6.
- I47. Серегин П.П., Бондаревский С.И., Шипатов В.Т., Тарасов В.А. // Изв. АН СССР. Неорг. материалы. 1972. Т. 8, № 3. С. 571.
- I48. Ставрианидис С.А., Куция А.А., Кейян Г.А. и др. // Изв. АН СССР. Неорг. материалы. 1984. Т. 20, № 10. С. I757-I758.
- I49. Кейян Г.А., Куция А.А., Маркеля Р.А. и др. // Изв. АН СССР. Неорг. материалы. 1987. Т. 23, № 6. С. I031-I032.
- I50. Дудкин Л.Д., Гайдукова В.С., Островская Л.М. // Изв. АН СССР. Неорг. материалы. 1971. Т. 7, № 9. С. I503-I506.
- I51. Мархоля Т.П., Жуков А.Н., Белоусов Е.И. // Изв. АН СССР. Неорг. материалы. 1975. Т. II, № 3. С. 438-441.
- I52. Кулиев А.З. Каҳраманов Қ.Ш., Бабаев Г.М. // Изв. АН АзербССР. Сер. физ.-техн. и мат. наук. 1974. № 4. С. 82-84.

153. Мургузов М.И., Гуршумов А.П., Гулиев М.М. // Журн. неорган. химии. 1984. Т. 29, № II. С. 2968-2970.
154. Асадова С.Ю., Аллазов М.Р. // Журн. неорган. химии. 1988. Т. 33, № 2. С. 541-543.
155. Аллазов М.Р., Асадова С.Ю. // Журн. неорган. химии. 1988. Т. 33, № 9. С. 2407-2412.
156. Асадова С.Ю., Аллазов М.Р., Мовсум-заде А.А., Рустамов П.Г. // Изв. АН СССР. Неорган. материалы. 1987. Т. 23, № 5. С. 768-771.
157. Асадова С.Ю., Аллазов М.Р., Мовсум-заде А.А., Рустамов П.Г. // Журн. неорган. химии. 1986. Т. 31, № 9. С. 2362-2364.
158. Мургузов М.И., Гуршумов А.П., Гулиев М.М. // Журн. неорган. химии. 1985. Т. 30, № I. С. 186-189.
159. Алиджанов М.А., Курбанов И.Р., Сейдов М.Г. и др. // Азерб. хим. журн. 1982, № 4. С. 103-106.
160. Асадова С.Ю., Аллазов М.Р., Мовсум-заде А.А., Рустамов П.Г. // Азерб. хим. журн. 1985, № 5. С. 97-99.
161. Рустамов П.Г., Каҳраманов К.Ш., Черстова В.Б. и др. // Азерб. хим. журн. 1975, № I. С. 116-119.
162. Мовсум-заде С.А., Аллазов М.Р., Гусейнова Э.С., Мовсум-заде А.А. // Изв. АН СССР. Неорган. материалы. 1986. Т. 22, № 3. С. 415-417.
163. Мовсум-заде С.А., Аллазов М.Р., Мовсум-заде А.А., Гусейнова Э.С. // Журн. неорган. химии. 1984. Т. 29, № 8. С. 2090-2093.

## Г л а в а 9

### СИСТЕМЫ НА ОСНОВЕ PbS

#### Система PbS-Na<sub>2</sub>S

Диаграмма состояния системы PbS-Na<sub>2</sub>S представлена на рис. 9.1 / I, 2 J. В системе образуется соединение 3PbS·Na<sub>2</sub>S, плавящееся инконгруэнтно при 848 К и кристаллизующееся в кубической структуре с параметром элементарной ячейки  $a = 5,86-5,87 \text{ \AA}$ . Эвтектика содержит 54,4 % (28 мас.%) Na<sub>2</sub>S / 1 J (58,5 % (31,5 мас.%) Na<sub>2</sub>S / 2 J) и кристаллизуется при 793 К / I J. Растворимость Na<sub>2</sub>S в PbS при 848 К достигает 9 % (7 мас.%) / I J.

Система исследована методами ДТА, РФА и МСА / I J.

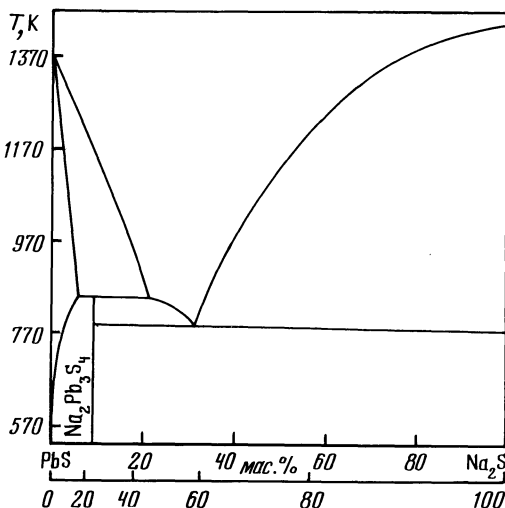
#### Система PbS-Na<sub>2</sub>SO<sub>4</sub>

Диаграмма состояния системы PbS-Na<sub>2</sub>SO<sub>4</sub> эвтектического типа с монотектическим превращением / I J. Эвтектика содержит 99,7 % (99,5 мас.%) Na<sub>2</sub>SO<sub>4</sub> и кристаллизуется при 1148 К. Расслаивание в системе наблюдается в интервале 1,7-97 % (I-95 мас.%) Na<sub>2</sub>SO<sub>4</sub>. Природа термических эффектов при 1258 К и ниже 1148 К не выяснена.

Система исследована методами ДТА, РФА и МСА / I J.

#### Система PbS-3Na<sub>2</sub>S·4FeS

Диаграмма состояния системы PbS-3Na<sub>2</sub>S·4FeS эвтектического типа / 2 J. Эвтектика кристаллизуется при 973 К. Система исследована методами ДТА и МСА / 2 J.



Р и с. 9. I. Диаграмма состояния системы PbS- $\text{Na}_2\text{S}$  [1]

#### Система PbS-NaCl

Диаграмма состояния системы PbS-NaCl эвтектического типа [3]. Эвтектика вырождена и ее температура плавления практически совпадает с температурой плавления NaCl. В системе наблюдается расслаивание с температурой монотектической реакции 1369,2 К. Система исследована методом ДТА, а также путем изучения растворимости PbS в расплавленном NaCl [3].

#### Система PbS-KCl

Диаграмма состояния системы PbS-KCl эвтектического типа [3]. Эвтектика вырождена и ее температура плавления практически совпадает с температурой плавления KCl. В системе наблюдается расслаивание с температурой монотектической реакции 1369 К. Система исследована методом ДТА, а также путем изучения растворимости PbS в расплавленном KCl [3].

#### Система PbS-RbCl

Диаграмма состояния системы PbS-RbCl эвтектического типа [3]. Эвтектика вырождена и ее температура плавления практически совпадает с температурой плавления RbCl. В системе наблюдается расслаивание с температурой монотектической реакции 1368,5 К. Система исследована методом ДТА, а также путем изучения растворимости PbS в расплавленном RbCl [3].

### Система PbS-CsCl

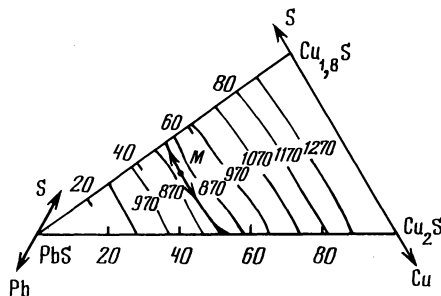
Диаграмма состояния системы PbS-CsCl эвтектического типа [3]. Эвтектика вырождена и ее температура плавления практически совпадает с температурой плавления CsCl. В системе наблюдается расслаивание с температурой монотектической реакции 1368,3 К. Система исследована методом ДТА, а также путем изучения растворимости PbS в расплавленном CsCl [3].

### Система PbS-Cu

Система PbS-Cu является неквазибинарным сечением тройной системы Pb-Cu-S [4-6]. При температурах выше 520 К Cu вступает в химическое взаимодействие с PbS.

В тройной системе Pb-Cu-S образуется соединение  $Cu_{14}Pb_2S_{9-x}$  ( $0 < x < 0,15$ ), плавящееся инконгруэнтно при 801 К и разлагающееся при 759 К [6,7]. При 1400 К в системе существуют три гомогенных поля жидкости, разделенных двумя областями несмешиваемости [6]. Часть поверхности ликвидуса в области PbS-Cu<sub>2</sub>S-Cu<sub>1,8</sub>S (рис. 9.2) характеризуется наличием отчетливого максимума (седловинной точки) при 843 К [8]. Система исследована методами ДТА, РФА и МСА, а также измерением ЭДС гальванических цепей [5,6,8].

Р и с. 9.2. Часть поверхности ликвидуса тройной системы Pb-Cu-S [8]



### Система PbS-Cu<sub>3</sub>As

Система PbS-Cu<sub>3</sub>As является неквазибинарным сечением четверной системы Pb-Cu-As-S [9]. В системе имеется широкая область расслаивания в жидком состоянии, причем монотектическая реакция не изотермична и протекает в интервале 910-1040 К. Максимум на бинодальной кривой отвечает 1293 К. Процесс расслаивания сопровождается образованием двух слоев: сульфидного и арсенидного. Основными фазами арсенидного слоя являются Cu<sub>3</sub>As и Cu<sub>5</sub>As<sub>2</sub>, а также незначительные выделения Pb, PbS и эвтектики PbS+Cu<sub>2</sub>S. Основу сульфидного слоя составляет эвтектика PbS+Cu<sub>2</sub>S, фаза, близкая по составу к Cu<sub>2</sub>As, и Pb. Сульфид меди во всех сплавах присутствует только как часть двойной эвтектики PbS+Cu<sub>2</sub>S.

Максимальные величины термических эффектов кристаллизации тройной эвтектики (803 К) и сложной эвтектики на основе Pb (563 К) отвечают составам, содержащим 67,3-69,3 % (65-67 мас.%) PbS. Небольшие термические эффекты при 685 и 623 К для некоторых сплавов отвечают, по-видимому, более сложному взаимодействию в тройной взаимной системе Cu-Pb || As,S. Система исследована методами ДТА и МСА, а также с помощью локального микропондирования [9].

#### Система PbS-CuBiS<sub>2</sub>

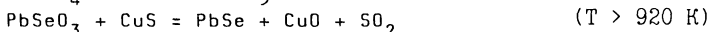
В системе PbS-CuBiS<sub>2</sub> образуется соединение CuPbBiS<sub>3</sub>, плавящееся при 798 К и кристаллизующееся в гексагональной структуре с параметрами элементарной ячейки  $a = 11,424 \text{ \AA}$ ,  $b = 11,484 \text{ \AA}$ ,  $c = 4,02 \text{ \AA}$ , рентгенографической и пикнометрической плотностью 7,24 и 7,20 г/см<sup>3</sup> соответственно и имеющее ширину запрещенной зоны 0,12 эВ [10].

#### Система PbS-Cu<sub>2</sub>S

Диаграмма состояния системы PbS-Cu<sub>2</sub>S эвтектического типа с образованием инконгруэнтно плавящегося соединения [8,II]. Эвтектика содержит 37,5 % PbS и кристаллизуется при 798 К. В системе образуется соединение 7Cu<sub>2</sub>S·2PbS, устойчивое в интервале 759-801 К и имеющее пикнометрическую плотность 8,42 г/см<sup>3</sup> [6]. Растворимость PbS в Cu<sub>2</sub>S при 770 К не превышает 1 %. Части диаграмм состояния систем PbS-Cu<sub>1,96</sub>S и PbS-Cu<sub>1,8</sub>S со стороны халькогенидов меди приведены в работе [8]. Эвтектики в указанных системах кристаллизуются соответственно при 823 и 838 К. Система исследована методами ДТА, РФА и МСА, а также локальным рентгеноспектральным анализом [8,II].

#### Система PbS-CuSeO<sub>4</sub>

При содержании 50 % PbS на термограммах наблюдаются экзотермические эффекты при 710 и 820 К и эндотермический эффект при 920 К [12]. Предполагается, что в системе протекают следующие химические реакции:



В системе возможны и другие реакции, конечными продуктами которых являются PbSe, CuO и SO<sub>2</sub>. Система исследована методами ДТА и РФА [12].

#### Система PbS - Ag

Система PbS-Ag является неквазибинарным сечением тройной системы Pb-Ag-S (рис. 9.3) [13,14]. При 1005 К в равновесии находятся 4 фазы:  $\chi_1 + \chi_2 \rightleftharpoons \text{PbS+Ag}$ .

Температурные зависимости растворимости Ag, определенные радиоизотопным методом для образцов PbS, содержащих избыток серы ( $c_1$ ) и избыток свинца ( $c_2$ ) имеют следующий вид [15]:

$$c_1 = 1,8 \cdot 10^{20} \exp [-(0,22 \pm 0,16) \text{ кДж/моль/RT}], \text{ см}^{-3};$$

$$c_2 = 4,1 \cdot 10^{25} \exp [-(109 \pm 2) \text{ кДж/моль/RT}], \text{ см}^{-3}.$$

Схема поверхности ликвидуса системы  $\text{PbS}-\text{Ag}_2\text{S}-\text{Ag}-\text{Pb}$ , являющейся частью тройной системы  $\text{Pb}-\text{Ag}-\text{S}$ , характеризуется пересечением области расслаивания эвтектической линией [14]. Система исследована методами ДТА, РФА и МСА [13, 14].

### Система $\text{PbS}-\text{AgSbS}_2$

Диаграмма состояния системы  $\text{PbS}-\text{AgSbS}_2$  (рис. 9.4) принадлежит к типу I по классификации Розебома [16-19]. При температурах выше 750 К в системе образуется непрерывный ряд твердых растворов с кубической структурой. Зависимость параметра элементарной ячейки, микротвердости и плотности от состава характеризуется ступенчатым характером, что не согласуется с видом диаграммы состояния [18, 19]. Возможно, это обусловлено разупорядочением твердых растворов при повышении температуры.

При 670 К в интервале 65-90 %  $\text{PbS}$  в системе наблюдается распад твердого раствора, а при 570 К существует широкая двухфазная область и небольшие области твердых растворов в интервале 50-52 %  $\text{PbS}$  на основе фазы  $2\text{PbS}\cdot\text{Ag}_2\text{S}\cdot\text{Sb}_2\text{S}_3$  ( $\text{AgPbSbS}_3$  - А) и 25-40 %  $\text{PbS}$  на основе  $4\text{PbS}\cdot 3\text{Ag}_2\text{S}\cdot 3\text{Sb}_2\text{S}_3$  ( $\text{Ag}_3\text{Pb}_2\text{Sb}_3\text{S}_8$  - В) [16]. Область твердых растворов на основе  $\text{PbS}$  достигает 4 %  $\text{AgSbS}_2$  при 570 К, 2 % при 520 К и не превышает 2 % при 470 К [20].

Фаза А кристаллизуется в моноклинной структуре с параметрами элементарной ячейки  $a = 7,66 \text{ \AA}$ ,  $b = 12,69 \text{ \AA}$ ,  $c = 5,83 \text{ \AA}$ ,  $\beta = 90,75^\circ$ , В - в ром-

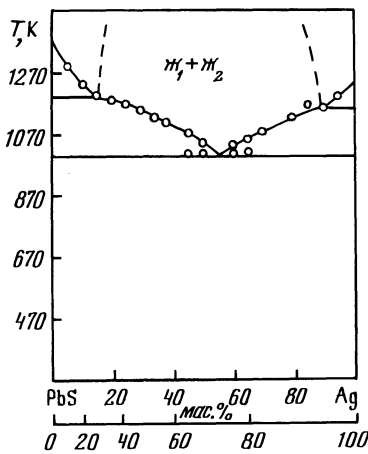


Рис. 9.3. Политеrmическое сечение  $\text{PbS}-\text{Ag}$  [14]

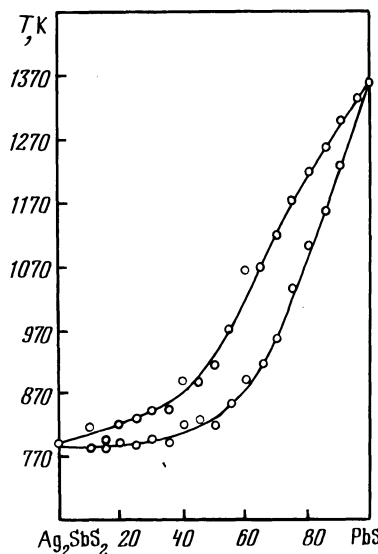


Рис. 9.4. Диаграмма состояния системы  $\text{PbS}-\text{AgSbS}_2$  [16, 18, 19]

бической структуре с параметрами  $a = 15,86 \text{ \AA}$ ,  $b = 31,54 \text{ \AA}$ ,  $c = 5,95 \text{ \AA}$ , а  $\text{Ag}_3\text{PbSb}_3\text{S}_7$  (С) - в ромбической структуре с параметрами  $a = 15,86 \text{ \AA}$ ,  $b = 31,54 \text{ \AA}$ ,  $c=5,90 \text{ \AA}$ . Фазы А, В и С при понижении температуры ниже 610-620 К претерпевают полиморфное превращение и кристаллизуются в кубической структуре с параметром: А -  $5,787 \text{ \AA}$ , В -  $5,760 \text{ \AA}$  и С -  $5,71 \text{ \AA}$  [16,18].

Исходные образцы отжигали при 770, 670 и 570 К в течение соответственно 42, 52 и 147 дней [16]. (при 750 К в течение 240 и 720 ч [19]). Система исследована методами ДТА, РФА и МСА, а также измерением микротвердости и плотности [16-20].

#### Система PbS-AgBiS<sub>2</sub>

Диаграмма состояния системы PbS-AgBiS<sub>2</sub> (рис. 9.5) принадлежит к типу I по классификации Розембома [13,16,17,21]. При температурах выше 490 К [13] в системе образуется непрерывный ряд твердых растворов с кубической структурой [13,16,17,21]. В концентрационной зависимости параметра элементарной ячейки наблюдаются значительные отрицательные отклонения от правила Вегарда [21]. Ниже 490 К в системе наблюдается распад твердых растворов. Растворимость AgBiS<sub>2</sub> в PbS при 440 К составляет 10 %, а PbS в AgBiS<sub>2</sub> - 2 %. Соединения AgPbBiS<sub>3</sub> (температура плавления 1123 К, ширина запрещенной зоны 1,2 эВ [10]) в системе не обнаружено [13,16,17,21].

Исходные образцы отжигали при 770, 670 и 570 К в течение соответственно 42, 52 и 147 дней [16]. Система исследована методами ДТА, РФА и МСА [13,16,17,21].

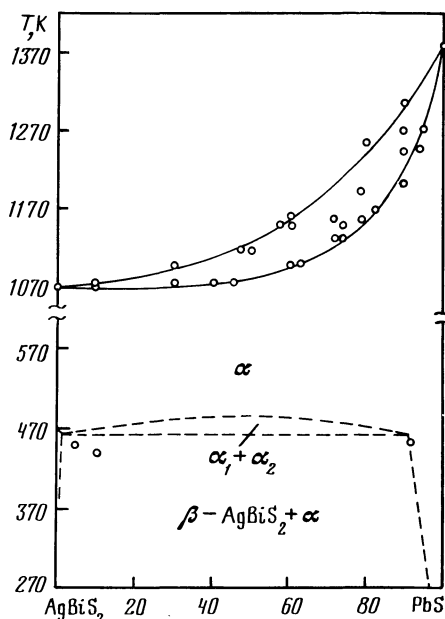


Рис. 9.5. Диаграмма состояния системы PbS-AgBiS<sub>2</sub> [21]

### Система PbS-Ag<sub>2</sub>S

Диаграмма состояния системы PbS-Ag<sub>2</sub>S (рис. 9.6) эвтектического типа [21-23]. Эвтектика содержит 25 % PbS и кристаллизуется при 878 К [21]. Температура высокотемпературного превращения Ag<sub>2</sub>S при введении PbS понижается от 863 до 728 К, а температура низкотемпературного превращения (448 К) не изменяется.

Расторимость PbS в Ag<sub>2</sub>S при эвтектической температуре составляет 3 %, а при 728 К - 2 %, а растворимость Ag<sub>2</sub>S в PbS при 970 К не превышает 0,4 % [21]. Система исследована методами ДТА, РФА и МСА [21-23].

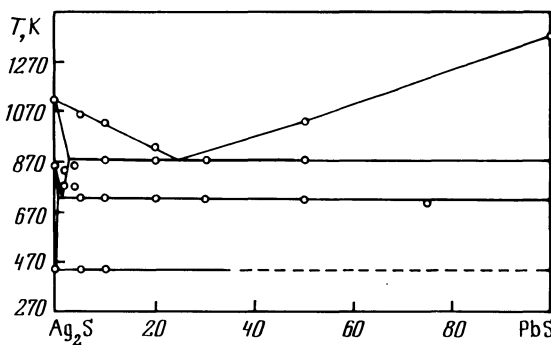


Рис. 9.6. Диаграмма состояния системы PbS-Ag<sub>2</sub>S [21]

### Система PbS-AgCl

Система PbS-2AgCl является неквазибинарным диагональным сечением тройной взаимной системы Pb, Ag || Cl<sub>2</sub>, S [22]. Область расслаивания находится в интервале 33-62,5 % PbS. Температура первичной кристаллизации Ag<sub>2</sub>S достигает максимального значения (933 К) при 47,5 % PbS и сдвинута от стабильного диагонального сечения Ag<sub>2</sub>S-PbCl<sub>2</sub> в сторону AgCl. Двойные эвтектики Ag<sub>2</sub>S+AgCl и PbS+Ag<sub>2</sub>S кристаллизуются соответственно при 628 и 838 К, а тройные AgCl+Ag<sub>2</sub>S+PbCl<sub>2</sub> и PbS+Ag<sub>2</sub>S+PbCl<sub>2</sub> - соответственно при 588 и 698 К. Тепловые эффекты при 728 К обусловлены особенностями кристаллизации сплавов в области первичного выделения PbS.

Система исследована методами ДТА и РФА [22].

### Система PbS-BaCl<sub>2</sub>

Методом ДТА определена кривая ликвидуса со стороны PbS [24].

### Система PbS-ZnS

Диаграмма состояния системы PbS-ZnS эвтектического типа [23, 25]. Эвтектика содержит 13 % ZnS и кристаллизуется при 1323 К [25]. Растворимость ZnS в PbS, определенная с помощью диффузионного насыщения, при 1070 и 1270 К составляет соответственно 0,6 и 1,5 %. Оценка растворимости ZnS в PbS при 970 К составляет 0,4 % [25].

римости по правилу Вегарда дает значение 2,1 % при 1270 К [26]. Растворимость PbS в ZnS при 1070 и 1250 К составляет соответственно (6-8)  $\cdot 10^{-6}$  и  $1,5 \cdot 10^{-5}$  г Pb/g ZnS [27].

Система исследована методами ДТА, РФА и МСА [23, 25].

#### Система PbS-CdS

Диаграмма состояния системы PbS-CdS (рис. 9.7) эвтектического типа [28, 29]. Эвтектика содержит 38 % CdS и кристаллизуется при 1323 К [29] (42 % CdS и 1325 К [28]). Растворимость CdS в PbS при 870 и 1270 К составляет соответственно 4 и 31,5 % [29]. В области 670–1200 К растворимость CdS в PbS описывается следующим уравнением [30]:  

$$\lg x_{\text{CdS}} = 5,216 \times \lg T - 14,677.$$
 При синтезе образцов под давлением  $(2-3) \cdot 10^9$  Па и температурах 870–1070 К в течение 1–4 ч в системе образуется непрерывный ряд твердых растворов [31].

Растворимость CdS в PbS исследовали методом насыщения PbS из смеси CdS+PbS или Pb+Cd+S [30]. Состав твердых растворов определяли рентгенографически. Исходные образцы получали сплавлением CdS, Pb и S при 1440 К и гомогенизировали в течение 10 дней при 1270 К. Система исследована методами ДТА, РФА и МСА [28, 29].

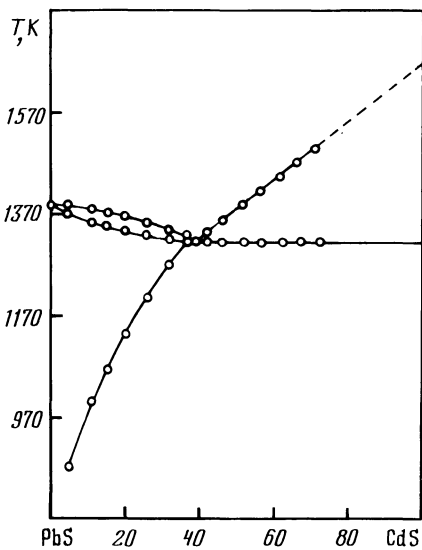


Рис. 9.7. Диаграмма состояния системы PbS-CdS [29]

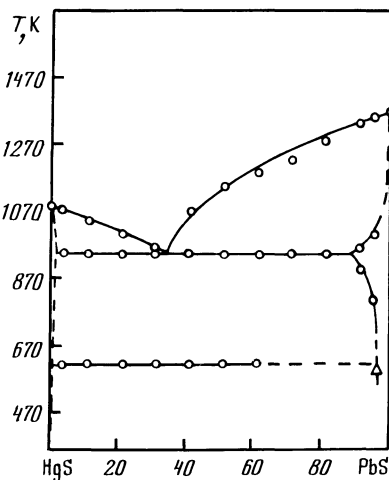


Рис. 9.8. Диаграмма состояния системы PbS-HgS [33]

#### Система PbS-CdSe

При взаимодействии PbS и CdSe на границе раздела обнаружены PbSe и CdS [32], что указывает на неквазибинарность диагонального сечения PbS-CdSe тройной взаимной системы || S, Se.

### Система PbS-HgS

Диаграмма состояния системы PbS-HgS (рис. 9.8) эвтектического типа  $\angle 33\text{ J}$ . Эвтектика содержит 32 % PbS и кристаллизуется при 949 К. Растворимость HgS в PbS увеличивается от 5 % при 610 К до 11 % при эвтектической температуре. При исследовании пленок Pb<sub>1-x</sub>Hg<sub>x</sub>S были получены метастабильные твердые растворы, содержащие 33 % HgS  $\angle 34\text{ J}$ . Растворимость PbS в  $\text{Hg}-\text{HgS}$  составляет менее 0,5 %, однако это приводит к повышению температуры полиморфного превращения в HgS от 617 до 624 К.

Система исследована методами ДТА, РФА, МСА и ХА  $\angle 33\text{ J}$ .

### Система PbS-B<sub>2</sub>S<sub>3</sub>

В системе PbS-B<sub>2</sub>S<sub>3</sub> образуется соединение Pb<sub>2</sub>B<sub>2</sub>S<sub>5</sub>, разлагающееся при температурах выше 870 К и кристаллизующееся в тетрагональной структуре с параметрами элементарной ячейки  $a = 9,60 \text{ \AA}$ ,  $c = 15,47 \text{ \AA} \angle 35\text{ J}$ . Соединение Pb<sub>2</sub>B<sub>2</sub>S<sub>5</sub> в мелкодисперсном виде представляет собой красный порошок, медленно гидролизующийся на воздухе и имеющий рентгенографическую и пикнometрическую плотность соответственно 5,55 и 5,40 г/см<sup>3</sup>.

### Система PbS-Al<sub>2</sub>S<sub>3</sub>

В системе PbS-Al<sub>2</sub>S<sub>3</sub> образуется соединение PbAl<sub>2</sub>S<sub>4</sub>, кристаллизующееся в тетрагональной структуре с параметрами элементарной ячейки  $a = 5,16 \text{ \AA}$ ,  $c = 5,958 \text{ \AA}$ , рентгенографической и пикнометрической плотностью 4,05 и 4,17 г/см<sup>3</sup> соответственно  $\angle 36\text{ J}$ .

### Система PbS-GaS

Диаграмма состояния системы PbS-GaS (рис. 9.9) эвтектического типа  $\angle 37\text{ J}$ . Эвтектика содержит 44 % PbS и кристаллизуется при 1023 К. Растворимость PbS в GaS достигает 4 %, а GaS в PbS - 2 %.

Исходные образцы отжигали при температурах на 330-350 К ниже температуры солидуса в течение 500 ч. Система исследована методами ДТА и МСА, а также измерением микротвердости.

### Система PbS-Ga<sub>2</sub>S<sub>3</sub>

Диаграмма состояния системы PbS-Ga<sub>2</sub>S<sub>3</sub> представлена на рис. 9.10  $\angle 38,39\text{ J}$ . Эвтектики содержат 41,5 и 69,5 % PbS и кристаллизуются соответственно при 1138 и 1043 К  $\angle 38\text{ J}$  (42 и 66 % PbS; 1023 и 933 К  $\angle 39\text{ J}$ ). В системе образуются два соединения: PbGa<sub>2</sub>S<sub>4</sub>, представляющее собой зеленовато-желтые кристаллические пластинки, плавящееся конгруэнто при 1148 К  $\angle 38-40\text{ J}$  и кристаллизующееся в ромбической структуре с параметрами элементарной ячейки  $a = 20,69 \text{ \AA}$ ,  $b = 20,51 \text{ \AA}$ ,  $c = 12,23 \text{ \AA} \angle 40\text{ J}$  ( $a = 20,44 \text{ \AA}$ ,  $b = 20,64 \text{ \AA}$ ,  $c = 12,09 \text{ \AA} \angle 41\text{ J}$ ), рентгенографической и пикнометрической плотностью 4,94  $\angle 41\text{ J}$  и 4,80 г/см<sup>3</sup>  $\angle 40\text{ J}$ , шириной запрещенной зоны 2,67 эВ  $\angle 40\text{ J}$ ; Pb<sub>2</sub>Ga<sub>2</sub>S<sub>5</sub>, красного цвета, кристаллизующееся в ромбической структуре с параметрами элементарной ячейки  $a =$

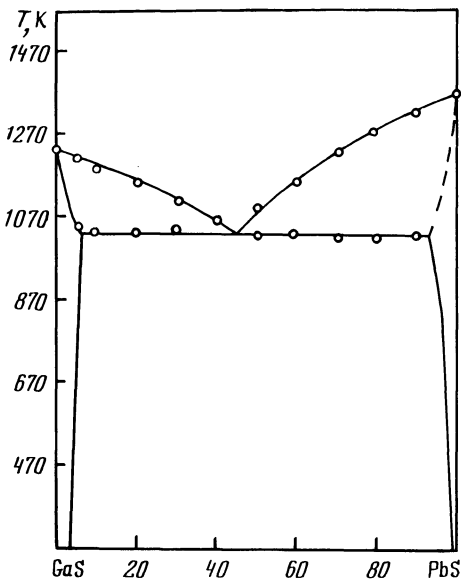


Рис. 9.9. Диаграмма состояния системы  $\text{PbS-GaS}$  [37]

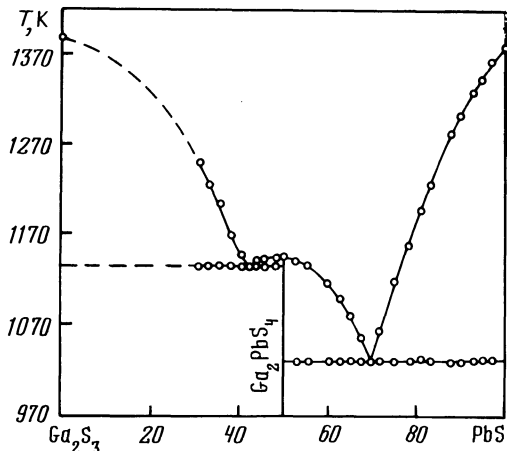


Рис. 9.10. Диаграмма состояния системы  $\text{PbS-Ga}_2\text{S}_3$  [38]

$12,39 \text{ \AA}$ ,  $b = II,90 \text{ \AA}$ ,  $c = III,03 \text{ \AA}$ , рентгенографической и пикнометрической плотностью 5,85 и 5,99 г/см<sup>3</sup> соответственно [41, 42]. Область гомогенности  $\text{PbGa}_2\text{S}_4$  находится в интервале 49,4–50,9 % PbS, а максимальная температура плавления соответствует стехиометрическому составу [40].

При измерении давления паров образцов системы PbS-Ga<sub>2</sub>S<sub>4</sub> установлено существование соединений  $\text{Pb}_2\text{Ga}_2\text{S}_5$ ,  $\text{Pb}_4\text{Ga}_6\text{S}_{13}$ ,  $\text{PbGa}_2\text{S}_4$  и  $\text{Pb}_2\text{Ga}_6\text{S}_{11}$  ( $\text{Pb}_4\text{Ga}_6\text{S}_{13}$  и  $\text{Pb}_2\text{Ga}_6\text{S}_{11}$  существуют только при высоких температурах, а при охлаждении разлагаются с образованием соответственно  $\text{Pb}_2\text{Ga}_2\text{S}_5$  и  $\text{PbGa}_2\text{S}_4$ ), имеющих  $\Delta H_{298}^\circ$  соответственно -20,18, -28,58, -35,43 и -39,90 кДж/моль [43]. Растворимость PbS в Ga<sub>2</sub>S<sub>3</sub> составляет 2 %, а Ga<sub>2</sub>S<sub>3</sub> в PbS – I % [39].

Исходные образцы отжигали при температурах на 50 К ниже температур плавления эвтектик [38] (на 330–350 К ниже температуры солидуса в течение 500 ч [39]). Монокристаллы  $\text{PbGa}_2\text{S}_4$  получали методом вертикальной направленной кристаллизации [40]. Система исследована методами ДТА, РФА и МСА, а также измерением микротвердости [38, 39, 41].

#### Система PbS-In<sub>2</sub>S<sub>3</sub>

Диаграмма состояния системы PbS-In<sub>2</sub>S<sub>3</sub> представлена на рис. 9.11 [44, 45]. Эвтектики содержат 40 и 70 % PbS и кристаллизуются соответственно при 1163 и 1083 К [44] (30 и 70 % PbS; 1153 и 1088 К [45]). В системе образуются соединения  $\text{PbIn}_2\text{S}_4$  (A) и  $\text{Pb}_6\text{In}_{10}\text{S}_{21}$  (B) [44–46].

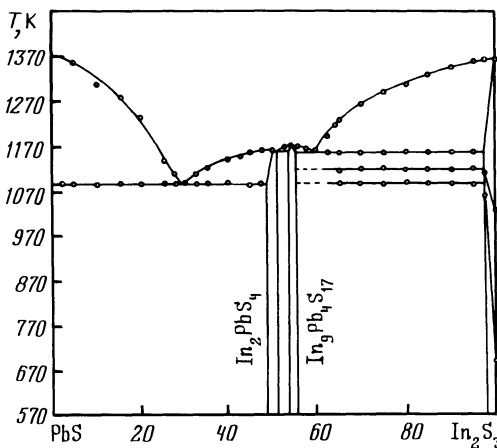


Рис. 9.II. Диаграмма состояния системы  
PbS-In<sub>2</sub>S<sub>3</sub> / 44 J

Соединение А плавится конгруэнтно при 1168 К / 44 J (1203 К / 45 J) и кристаллизуется в ромбической структуре с параметрами элементарной ячейки  $a = 11,688 \text{ \AA}$ ,  $b = 3,8528 \text{ \AA}$ ,  $c = 13,763 \text{ \AA}$  / 44 J (в моноклинной структуре с параметрами  $a = 12,67 \text{ \AA}$ ,  $b = 3,98 \text{ \AA}$ ,  $c = 14,35 \text{ \AA}$ ,  $\beta = 95^\circ$  / 45 J), рентгенографической и пикнометрической плотностью соответственно 5,23 и  $5,5 \text{ g/cm}^3$  / 45 J. Соединение В плавится конгруэнтно при 1178 К и кристаллизуется в моноклинной структуре с параметрами  $a = 27,629 \text{ \AA}$ ,  $b = 3,863 \text{ \AA}$ ,  $c = 15,705 \text{ \AA}$ ,  $\beta = 95,9^\circ$  / 44 J. Ширина областей гомогенности обеих фаз не превышает 1,5 % / 44 J (область гомогенности А находится в интервале 49,5-50 % In<sub>2</sub>S<sub>3</sub> / 45 J). Растворимость PbS в In<sub>2</sub>S<sub>3</sub> достигает 2-3 %, а In<sub>2</sub>S<sub>3</sub> в PbS - 1 % / 44,45 J. При увеличении содержания PbS температура фазовых превращений твердых растворов на основе In<sub>2</sub>S<sub>3</sub> повышается от 693 до 1083 К и от 1028 до 1123 К / 44 J.

В тройной системе Pb-In-S образуются соединения Pb<sub>4</sub>In<sub>9</sub>S<sub>17</sub>, кристаллизующееся в ромбической структуре с параметрами элементарной ячейки  $a = 22,780 \text{ \AA}$ ,  $b = 3,8639 \text{ \AA}$ ,  $c = 15,213 \text{ \AA}$  / 44 J ( $a = 22,7619 \text{ \AA}$ ,  $b = 3,8582 \text{ \AA}$ ,  $c = 15,2016 \text{ \AA}$  / 47 J), пикнометрической и рентгенографической плотностью  $6,02$  ( $5,9 \text{ g/cm}^3$  / 44 J) и  $6,0 \text{ g/cm}^3$  / 47 J соответственно, Pb<sub>3</sub>In<sub>6,67</sub>S<sub>13</sub>, кристаллизующееся в моноклинной структуре с параметрами  $a = 38,1292 \text{ \AA}$ ,  $b = 13,8095 \text{ \AA}$ ,  $c = 3,8692 \text{ \AA}$ ,  $\beta = 91,252^\circ$  / 47 / ( $a = 38,132 \text{ \AA}$ ,  $b = 13,763 \text{ \AA}$ ,  $c = 3,8643 \text{ \AA}$ ,  $\beta = 90,856^\circ$  / 44 J), пикнометрической и рентгенографической плотностью  $6,02$  ( $5,7 \text{ g/cm}^3$  / 44 J) и  $5,9 \text{ g/cm}^3$  / 47 J соответственно.

Проекция поверхности ликвидуса тройной системы Pb-In-S (рис. 9.II) состоит из 9 полей первичной кристаллизации фаз, четыре из которых находится в равновесии с A / 48 J. Моновариантные кривые пересекаются в восьми нонвариантных точках, пять из которых являются тройными эвтектиками, а три - тройными перитектиками.

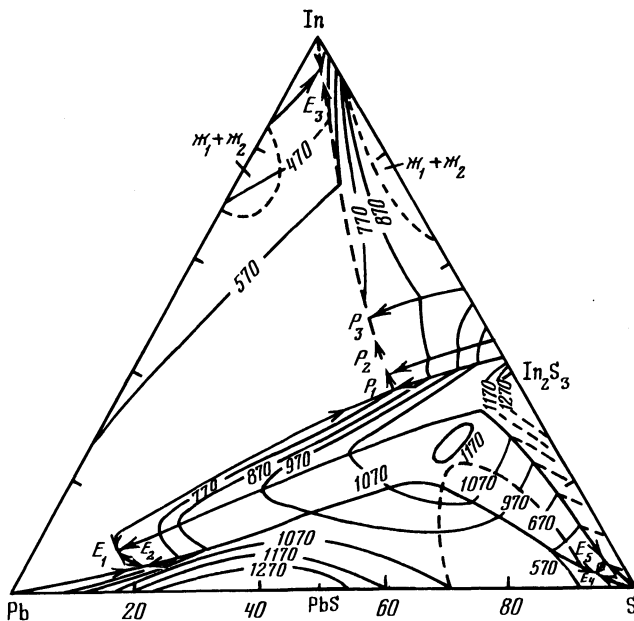


Рис. 9.12. Поверхность ликвидуса тройной системы Pb-In-S [48]

Исходные образцы отжигали при 970 К в течение 1000 ч [45] (при температурах на 60-80 К ниже температур солидуса в течение 500 ч [48]). Система исследована методами ДТА, РФА, МСА и измерением микротвердости [44, 45, 48].

#### Система PbS-T1

Система PbS-T1 является неквазибинарным сечением тройной системы Pb-T1-S [49]. Термические эффекты при 730 К обусловлены перитектическим разложением  $T1_6PbS_4$ . При содержании более 70 % T1 в системе наблюдается расслаивание. Затвердевание всех сплавов заканчивается кристаллизацией твердых растворов, содержащих Pb.

Поверхность ликвидуса тройной системы Pb-T1-S состоит из областей первичной кристаллизации PbS,  $T1_4PbS_4$ ,  $T1_4S_3$  и твердых растворов (α) на основе  $T1_2S$  (рис. 9.13) [50]. Области первичной кристаллизации Pb, T1, S, T1S и твердых растворов системы T1-Pb практически вырождены. В системе имеются две области расслаивания.

При 298 К заметная область гомогенности существует только на основе  $T1_2S$  [50]. Область твердых растворов на основе PbS вытянута узкой полосой вдоль разреза PbS-T1S [51]. Растворимость T1 в PbS при комнатной температуре составляет 0,23 %, а при 730 К - 0,46 %.

Исходные образцы отжигали при температурах ниже температур солидуса в течение 300-500 ч [50]. Система исследована методами ДТА, РФА, МСА,

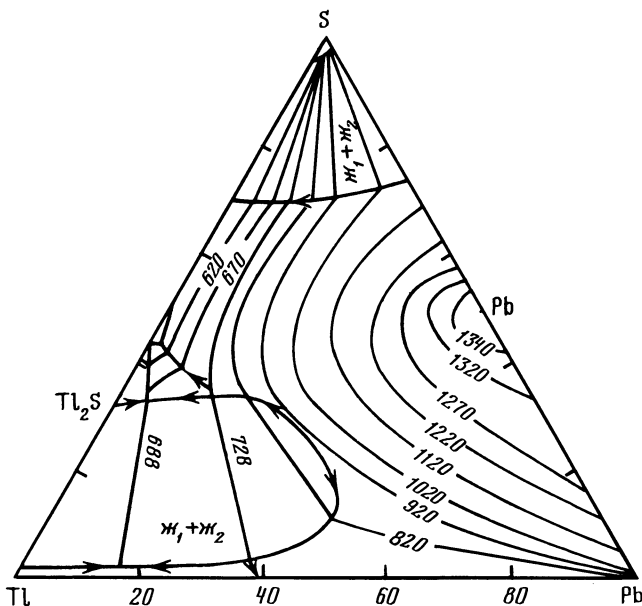


Рис. 9.13. Поверхность ликвидуса тройной системы  $\text{Pb}-\text{Tl}-\text{S}$  [50]

а также измерением микротвердости, электропроводности, термоЭДС и ЭДС концентрационных цепей [49-51].

#### Система $\text{PbS}-\text{TlBiS}_2$

Диаграмма состояния системы  $2\text{PbS}-\text{TlBiS}_2$  (рис. 9.14) принадлежит к типу I по классификации Розебома [52, 53]. При температурах выше 870 К в системе образуется непрерывный ряд твердых растворов, а при температурах ниже 870 К в интервале 12-40 % ( $2\text{PbS}$ ) наблюдается распад твердых растворов [52]. Соединение  $\text{TlPbBiS}_3$  (кубическая структура,  $a = 6,080 \text{ \AA}$ , температура плавления 793 К, рентгенографическая и пикнометрическая плотность соответственно 5,29 и  $5,24 \text{ г}/\text{см}^3$  [10]) в системе не обнаружено [52, 53].

Исходные образцы отжигали при 920 К в течение 300 ч [52] (при 970 К в течение 60 ч [53]). Система исследована методами ДТА, РФА и МСА, а также измерением микротвердости, электропроводности и термоЭДС [52, 53].

#### Система $\text{PbS}-\text{TlS}$

Система  $\text{PbS}-\text{TlS}$  является неквазибинарным сечением тройной системы  $\text{Pb}-\text{Tl}-\text{S}$  в связи с инконгруэнтным характером плавления  $\text{TlS}$  (рис. 9.15) [49, 50]. Со стороны  $\text{TlS}$  первично кристаллизующейся фазой является  $\text{Tl}_4\text{S}_3$ . Затвердевание всех сплавов заканчивается при 508 К [50] (499 К

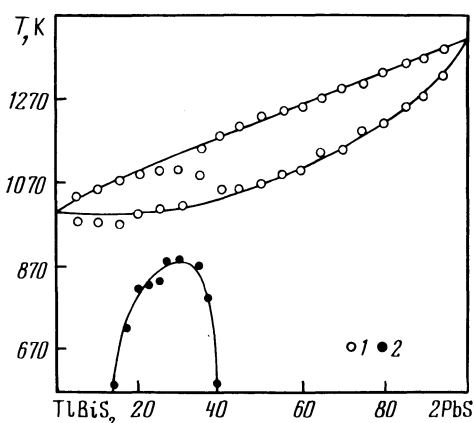


Рис. 9.14. Диаграмма состояния системы  $2\text{PbS}-\text{Tl}_2\text{S}$  [52]

1 - ДТА, 2 - РФА

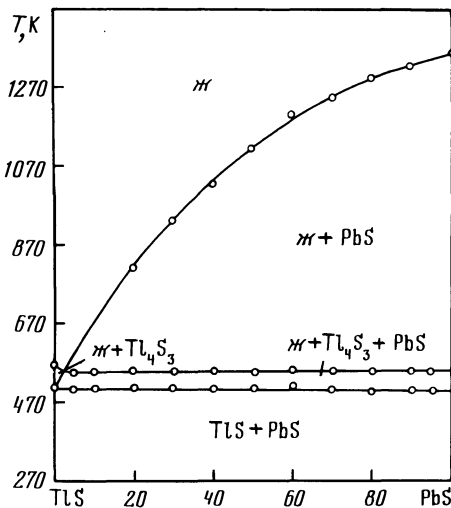


Рис. 9.15. Политермическое сечение  $\text{PbS}-\text{Tl}_2\text{S}$  [50]

[49,7]. В твердом состоянии образцы системы состоят из механической смеси  $\text{PbS}$  и  $\text{TlS}$ . Растворимость  $\text{TlS}$  в  $\text{PbS}$  при 500 К составляет 7,5 %, а при комнатной температуре - 4,8 % [49,51].

Исходные образцы отжигали при температурах ниже температуры солидуса в течение 300-500 ч [50].

Система исследована методами ДТА, РФА и МСА, а также измерением микротвердости, электропроводности, термоЭДС и ЭДС концентрационных цепей [49,50].

#### Система $\text{PbS}-\text{Tl}_2\text{S}$

Диаграмма состояния системы  $\text{PbS}-\text{Tl}_2\text{S}$  представлена на рис. 9.16 [54, 55]. В системе образуется соединение  $\text{Tl}_6\text{PbS}_4$ , плавящееся инконгруэнтно при 738 К [55] ( $\text{Tl}_4\text{PbS}_3$ , плавящееся инконгруэнтно при 733 К и претерпевающее полиморфное превращение при 693 К [54]). Эвтектика содержит 13 %  $\text{PbS}$  и кристаллизуется при 703 К [55] (10 %  $\text{PbS}$  и 689 К [54]). По мнению [55] термический эффект при 693 К [54] обусловлен плавлением эвтектики в системе  $\text{Tl}_2\text{S}-\text{Tl}_6\text{PbS}_4$  и появляется на термограммах в связи с неравновесной кристаллизацией. Растворимость  $\text{PbS}$  в  $\text{Tl}_2\text{S}$  составляет 2,8% при 700 К и 0,5 % при комнатной температуре [55] (8 % при 620 К и 9 % при 690 К [54]), а растворимость  $\text{Tl}_2\text{S}$  в  $\text{PbS}$  при 740 К составляет 0,72 % и 0,54 % при комнатной температуре [51].

Исходные образцы отжигали при 620 К в течение 300 ч [54]. Система исследована методами ДТА, РФА, МСА и измерением микротвердости [54,55].

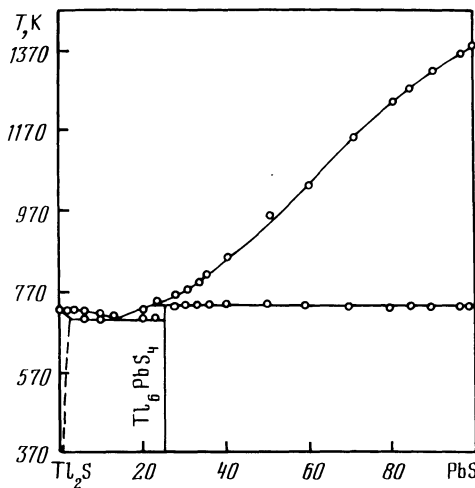


Рис. 9.16. Диаграмма состояния системы  $PbS-Tl_2S$  [55].

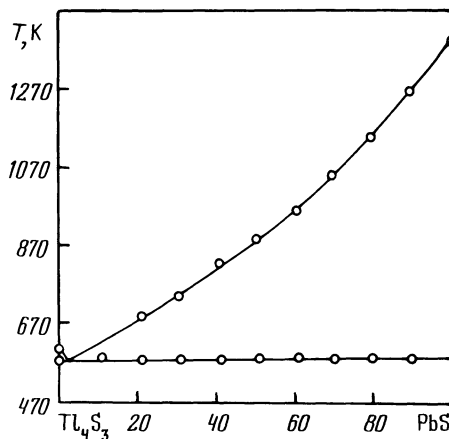


Рис. 9.17. Диаграмма состояния системы  $PbS-Tl_4S_3$  [50].

#### Система $PbS-Tl_4S_3$

Система  $PbS-Tl_4S_3$  является неквазибинарным сечением тройной системы  $Pb-Tl-S$  в связи с инконгруэнтным характером плавления  $Tl_4S_3$  (рис. 9.17). В твердом состоянии (при температурах ниже 568 К) образцы системы состоят из механической смеси фаз  $PbS$  и  $Tl_4S_3$ .

Исходные образцы отжигали при температурах ниже температур солидуса в течение 300–500 ч. Система исследована методами ДТА, РФА и МСА, а также измерением микротвердости и ЭДС концентрационных цепей [50].

#### Системы $PbS-Ln_2S_3$ ( $Ln = La, Ce, Pr, Nd, Sm, Gd, Tb, Dy, Ho, Er, Tm, Yb, Lu$ )

В системах образуются соединения  $PbLn_2S_4$ , кристаллизующиеся в кубической структуре типа  $Th_3P_4$  ( $Ln = La, Ce, Pr, Nd, Sm, Gd$ ) или в ромбической структуре типа  $CaFe_2O_4$  ( $Ln = Ho, Er, Tm, Yb, Lu$ ) с параметрами элементарной ячейки, приведенными в табл. 9.1 [56]. В случае  $Ln = La, Ce$ ,

Таблица 9.1

Параметры элементарной ячейки соединений  $PbLn_2S_4$  [56]

Соединение	$a, \text{\AA}$	$c, \text{\AA}$	Соединение	$a, \text{\AA}$	$c, \text{\AA}$
$PbLa_2S_4$	8,767	-	$PbHo_2S_4$	II,89	I4,25
$PbCe_2S_4$	8,705	-	$PbEr_2S_4$	II,85	I4,17
$PbPr_2S_4$	8,675	-	$PbTm_2S_4$	II,83	I4,10
$PbNd_2S_4$	8,632	-	$PbYb_2S_4$	II,78	I4,08
$PbSm_2S_4$	8,572	-	$PbLu_2S_4$	II,78	I4,07
$PbGd_2S_4$	8,522	-			

Pr, Nd, Sm, Gd твердые растворы со структурой типа  $Tb_3P_4$  образуются в интервале 0-50 % PbS (от  $Ln_2S_3$  до  $PbLn_2S_4$ ). Для Tb, Dy и Ho область твердых растворов со стороны  $Ln_2S_3$  не достигает состава  $PbLn_2S_4$ : для Tb твердый раствор имеет предельный состав  $PbS \cdot 1,70Tb_2S_3$ , для Dy -  $PbS \cdot 1,25Dy_2S_3$  и для Ho -  $PbS \cdot 2Ho_2S_3$ .

При  $Ln = Gd$ , Tb, Dy, Ho, Er, Tm, Yb, Lu со стороны PbS имеется область твердых растворов с кубической структурой типа  $NaCl$ .

### Система PbS-SiS<sub>2</sub>

Диаграмма состояния системы PbS-SiS<sub>2</sub> представлена на рис. 9.18 [57]. В системе образуется конгруэнтно плавящееся соединение  $3PbS \cdot 2SiS_2$ . Система исследована методами ДТА и МСА [57].

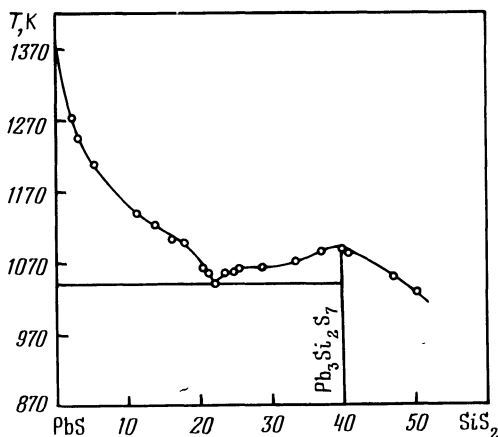


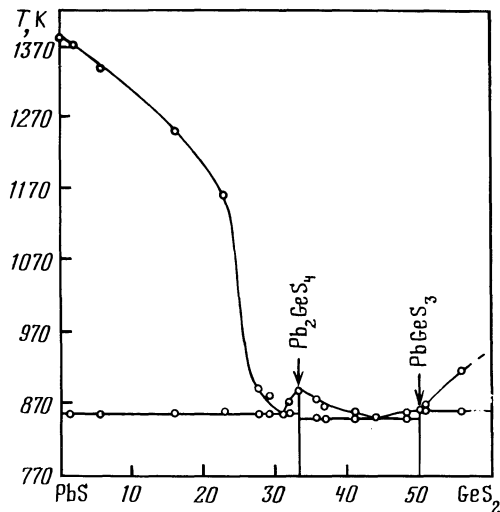
Рис. 9.18. Часть диаграммы состояния системы  $PbS \cdot 2SiS_2$  [57].

### Система PbS-GeS<sub>2</sub>

Диаграмма состояния системы PbS-GeS<sub>2</sub> представлена на рис. 9.19 [57]. В системе образуются два соединения:  $Pb_2GeS_4$  яркокрасного цвета, плавящееся конгруэнтно при 894 К [57] и кристаллизующееся в моноклинной структуре с параметрами элементарной ячейки  $a = 7,97 \text{ \AA}$ ,  $b = 8,93 \text{ \AA}$ ,  $c = 10,88 \text{ \AA}$ ,  $\beta = 114,17^\circ$  [58];  $PbGeS_3$  желтого цвета, плавящееся инконгруэнтно при 866 К [57] и кристаллизующееся в моноклинной структуре [59-61] с параметрами  $a = 7,27 \text{ \AA}$ ,  $b = 10,50 \text{ \AA}$ ,  $c = 6,88 \text{ \AA}$ ,  $\beta = 105,0^\circ$  [60] ( $a = 7,224 \text{ \AA}$ ,  $b = 10,442 \text{ \AA}$ ,  $c = 6,825 \text{ \AA}$ ,  $\beta = 105,7^\circ$  [61]), рентгенографической и пикнометрической плотностью 5,04 и 5,05 г/см<sup>3</sup> [61] соответственно. Соединение  $3PbS \cdot GeS_2$  в системе не обнаружено [57]. В интервале 0-25 % GeS<sub>2</sub> образцы достаточно устойчивы на влажном воздухе, а при большем содержании GeS<sub>2</sub> взаимодействуют с влагой с образованием  $H_2S$ .

Соединение  $Pb_2GeS_4$  получали методом закалки от температур, превышающих 870 К [58]. Система исследована методами ДТА и МСА [57].

Р и с. 9.19. Часть диаграммы состояния системы  $\text{PbS}-\text{GeS}_2$  [57].



#### Система $\text{PbS}-\text{SnS}_2$

В системе  $\text{PbS}-\text{SnS}_2$  образуется соединение  $\text{PbSnS}_3$ , разлагающееся при  $1010 \text{ К}$  [62]. И кристаллизующееся в ромбической структуре [59, 62, 63] с параметрами элементарной ячейки  $a = 8,738 \text{ \AA}$ ,  $b = 3,792 \text{ \AA}$ ,  $c = 14,052 \text{ \AA}$  [62, 63], рентгенографической и пикнометрической плотностью соответственно  $6,01$  и  $5,96 \text{ г}/\text{см}^3$  [62]. Соединения  $\text{Pb}_2\text{SnS}_4$  и  $\text{PbSn}_2\text{S}_4$  в системе не обнаружены [64].

В результате изучения процессов соосаждения в системе  $\text{PbS}-\text{SnS}_2$  установлено, что при соотношениях  $\text{Pb/Sn} < 0,2$  возможно образование твердых растворов на основе  $\text{SnS}_2$  [65].

Соединение  $\text{PbSnS}_3$  получали путем взаимодействия исходных компонентов при  $770-1070 \text{ К}$  и  $2 \cdot 10^6 \text{ кПа}$  [63]. Система исследована методами ДТА и РДА [62].

#### Система $\text{PbS}-\text{SnCl}_2$

Система  $\text{PbS}-\text{SnCl}_2$  является неквазибинарным диагональным сечением тройной взаимной системы  $\text{Pb}, \text{Sn}$  и  $\text{S}, \text{Cl}$  [66]. Обменное взаимодействие в системе начинается при  $519 \text{ К}$ .

#### Система $\text{PbS}-\text{PbSe}$

Диаграмма состояния системы  $\text{PbS}-\text{PbSe}$  (рис. 9.20) принадлежит к типу III по классификации Розебома [67, 68]. В системе образуется непрерывный ряд твердых растворов с кубической структурой типа  $\text{NaCl}$  [67-72]. Минимум находится при  $73 \% \text{ PbSe}$  и  $1349 \text{ К}$  [67]. Кривая солидуса построена по данным электронного микрозондового анализа начальных частей слитков твердых растворов различного состава, полученных методом Бриджмена.

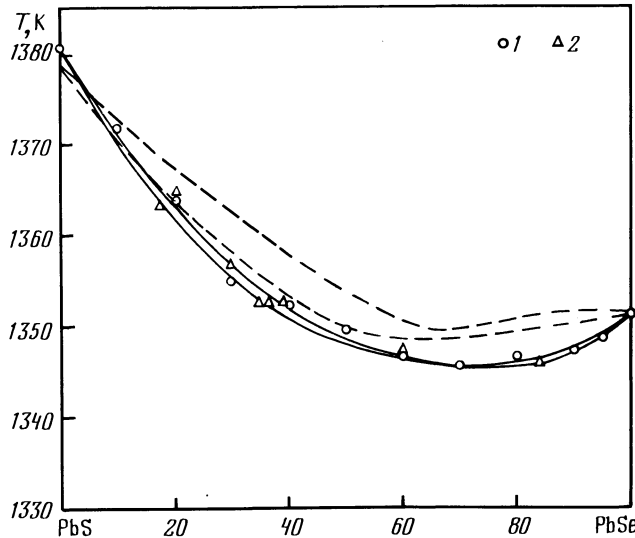


Рис. 9.20. Диаграмма состояния системы PbS-PbSe  $\text{L} 67,68$  /  
I - ДТА, 2 - электронный микроанализ, пунктир -  $\text{L} 68$  /

На рис. 9.21 представлена поверхность ликвидуса системы PbS-Pb-PbSe, причем пунктирными линиями изображены линии "изомолярности", соединяющие точки поверхности ликвидуса, находящиеся в равновесии с твердой фазой с одинаковым содержанием серы  $\text{L} 73,74$  /.

Исходные образцы отжигали при 670-920 К в течение 1-6 месяцев  $\text{L} 68$  /. Система исследована методами ДТА, РФА и МСА, а также измерением микротвердости  $\text{L} 67-74$  /.

#### Система PbS-PbTe

Диаграмма состояния системы PbS-PbTe (рис. 9.22) принадлежит к типу Ш по классификации Розебома  $\text{L} 75,76$  /. Минимум находится при 65 % PbTe и 1144 К. В твердом состоянии наблюдается распад твердых растворов  $\text{L} 70-72$ , 75-79 /. "Купол распада" имеет максимум при 30 % PbTe и 1078 К  $\text{L} 75,76$  / (35 % PbTe и III8 К  $\text{L} 78$  /). При 670 К двухфазная область находится в интервале I-96,5 % PbTe  $\text{L} 75,76$  /.

Поверхность ликвидуса системы PbS-Pb-PbTe состоит из областей первичной кристаллизации твердых растворов на основе PbTe и на основе PbS (рис. 9.23)  $\text{L} 80,81$  /. Область гомогенности твердых растворов  $\text{Pb}_{1-y}(S_{0,05}Te_{0,95})$  в интервале 860-1040 К изучена в  $\text{L} 73,82$  /. В однофазной области параметр элементарной ячейки  $\text{L} 75$  / и ширина запрещенной зоны  $\text{L} 83$  / в зависимости от состава изменяются почти линейно.

Исходные образцы отжигали при 820, 870, 920, 970, 1020, 1045 и 1070 К в течение 360 ч  $\text{L} 76$  / (при 770, 870, 970 и 1070 К в течение 150 и 720 ч  $\text{L} 78$  /; при 1120 К в течение 50-100 ч  $\text{L} 77$  /).

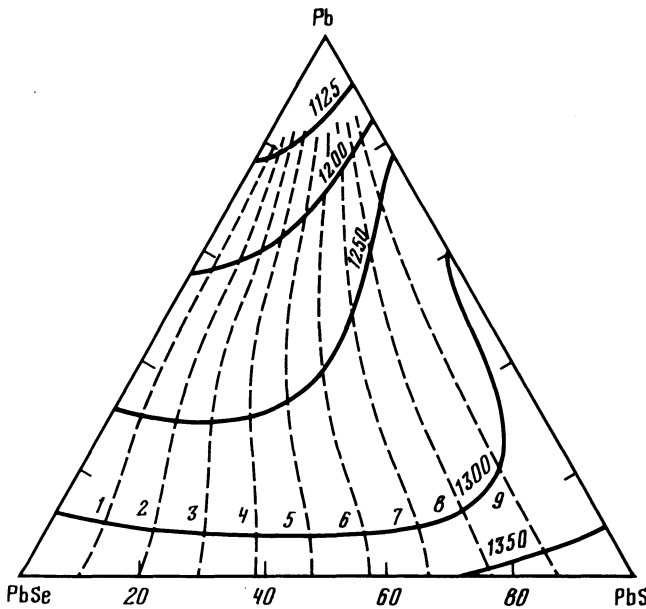


Рис. 9.21. Поверхность ликвидуса  
тройной системы  $\text{PbS}-\text{Pb}-\text{PbSe}$  [73,  
74].

I -  $x=0,1$ , 2 -  $x=0,2$ , ... 9 -  
 $x=0,9$

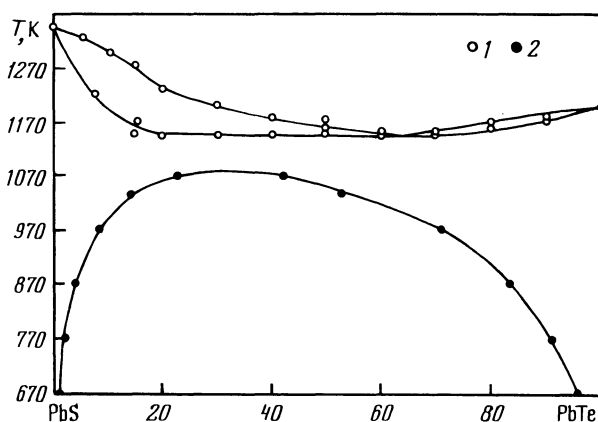
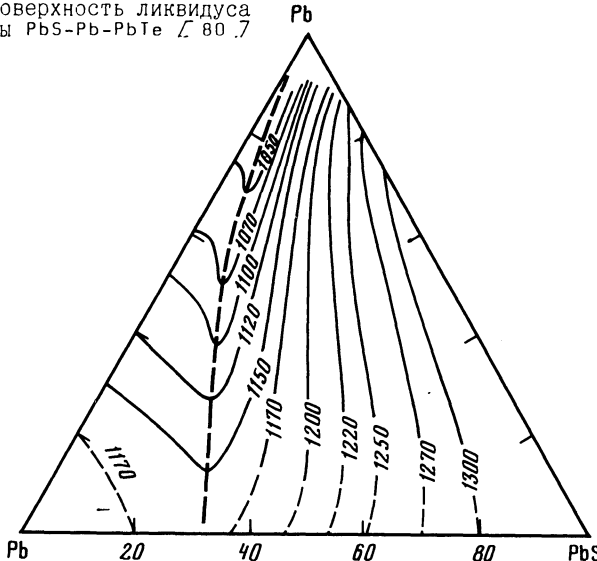


Рис. 9.22. Диаграмма состояния системы  $\text{PbS}-\text{PbTe}$  [75].  
I - ДТА, 2 - РФА

Рис. 9.23. Поверхность ликвидуса  
тройной системы PbS-Pb-PbTe  $\angle 80\%$



Система исследована методами ДТА, РФА и МСА, а также измерением микротвердости и с помощью рентгеновского микроанализа [70-73, 75, 77, 78].

#### Система PbS-PbCl<sub>2</sub>

Диаграмма состояния системы PbS-PbCl<sub>2</sub> (рис. 9.24) эвтектического типа [22, 24, 84, 85]. Эвтектика содержит 24,7 % (22 мас.%) PbS и кристаллизуется при 715 К [22] (18 % PbS и 723 К [85]; 726 К [66]). В системе образуется соединение 2PbS·5PbCl<sub>2</sub> желто-лимонного цвета, разлагающееся при 453 К [84] (согласно [24] соединение плавится инконгруэнтно при 823 К), устойчивое на воздухе, но разлагающееся холодной водой. По данным [85] в системе обнаружено соединение Pb<sub>4</sub>S<sub>6</sub>Cl<sub>6</sub>, кристаллизующееся в ромбической структуре с параметрами элементарной ячейки  $a = 4,23 \text{ \AA}$ ,  $b = 9,22 \text{ \AA}$ ,  $c = 14,96 \text{ \AA}$ , рентгенографической и пикнометрической плотностью соответственно 6,10 и 6,08 г/см<sup>3</sup>. Взаимная растворимость исходных компонентов незначительна [24].

Растворимость Pb в расплавах PbS-PbCl<sub>2</sub> при температурах ниже 856 К не превышает 0,02 % и увеличивается с повышением температуры и увеличением содержания PbS достигая 0,65 % при 50 % PbS и 1159 К [86].

Соединение 2PbS·5PbCl<sub>2</sub> получали методом закалки расплавленных образцов от 1270-1370 К в воду со льдом. Растворимость Pb в расплавах PbS-PbCl<sub>2</sub> определяли весовым методом. Для достижения равновесия образцы выдерживали при заданной температуре в течение нескольких дней [86].

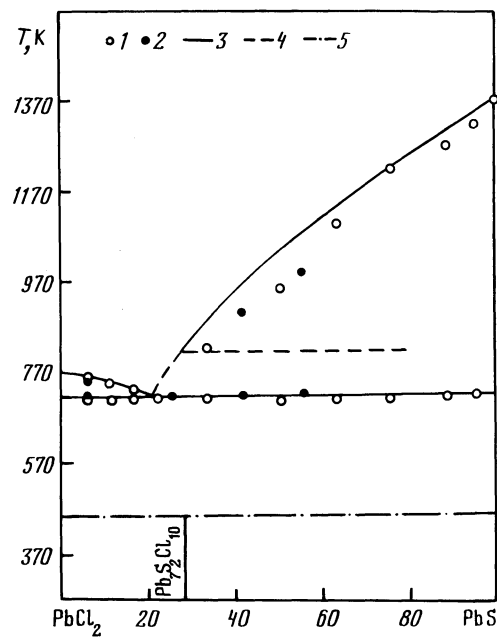
Система исследована методами ДТА, РФА и МСА [22, 24, 84, 85].

#### Система PbS-PbBr<sub>2</sub>

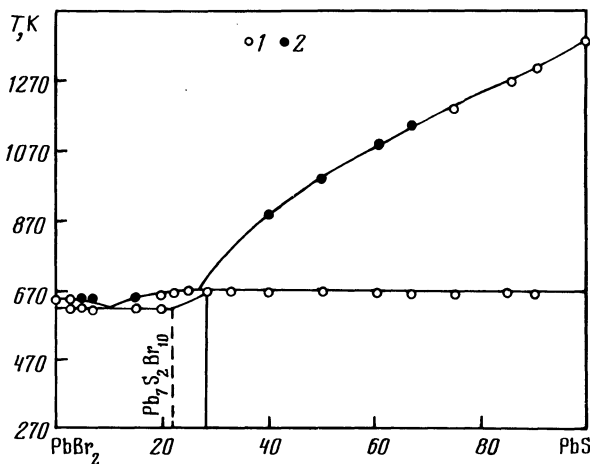
Диаграмма состояния системы PbS-PbBr<sub>2</sub> представлена на рис. 9.25 [84, 87]. Эвтектика содержит 9 % PbS и кристаллизуется при 622 К. В

Р и с. 9.24. Диаграмма состояния системы PbS-PbCl<sub>2</sub>

I и 2 -  $\lceil 22 \text{ J}$ ,  
 3 и 4 -  $\lceil 24 \text{ J}$ , 5 -  
 $\lceil 84 \text{ J}$



системе образуется соединение  $\text{Pb}_{7-x}\text{S}_{2-2x}\text{Br}_{10+2x}$ , плавящееся инконгруэнтно при 667 К (654 К  $\lceil 85 \text{ J}$ ), имеющее область гомогенности около 7 % и кристаллизующееся в гексагональной структуре с параметрами элементарной ячейки  $a = 12,27 \text{ \AA}$ ,  $c = 4,318 \text{ \AA}$   $\lceil 87-89 \text{ J}$ . При  $x = 0$  (26,8 % PbS) соединение  $\text{Pb}_7\text{S}_2\text{Br}_{10}$  образует иглообразные кристалллы красно-оранжевого цвета с рентгенографической и пикнометрической плотностью соответственно 6,79 и 6,70 г/см<sup>3</sup>  $\lceil 87 \text{ J}$  (6,76 и 6,60 г/см<sup>3</sup>  $\lceil 88 \text{ J}$ ; 6,82 и 6,77 г/см<sup>3</sup>



Р и с. 9.25. Диаграмма состояния системы PbS-PbBr<sub>2</sub>  $\lceil 87 \text{ J}$   
 I - нагревание, 2 - охлаждение

( $\angle 85$  J). Это соединение устойчиво на воздухе при комнатной температуре, но разлагается холодной водой ( $\angle 87$  J).

В тройной системе Pb-Br-S обнаружено соединение  $Pb_2SBr_2$ , которое по спектрам отражения аналогично соединению  $Pb_7S_2Br_{10}$  ( $\angle 90$  J).

Соединение  $Pb_7S_2Br_{10}$  получали отжигом смесей  $PbS$  и  $PbBr_2$  при 590 К ( $\angle 88$  J), а  $Pb_2SBr_2$  - введением  $H_2S$  в раствор  $PbBr_2$  в бензole ( $\angle 90$  J). Монокристаллы  $Pb_7S_2Br_{10}$  выращивали методом гидротермального синтеза, а также кристаллизацией из расплава под давлением инертного газа ( $\angle 89$  J). Указанные монокристаллы могут быть получены разделением исходных компонентов шихты в независимых растворителях ( $\angle 91$  J).

Исходные образцы отжигали при 610 К в течение 1000 ч ( $\angle 87$  J). Система исследована методами ДТА, РФА и МСА ( $\angle 85, 87$  J).

### Система $PbS-PbJ_2$

Диаграмма состояния системы  $PbS-PbJ_2$  представлена на рис. 9.26 ( $\angle 85$ , 92 J). В системе образуется соединение  $Pb_5S_2J_6$  (A) красного цвета, плавящееся инконгруэнтно при 688-691 К ( $\angle 85, 92$  J) и кристаллизующееся в моноклинной структуре с параметрами элементарной ячейки  $a = 14,33 \text{ \AA}$ ,  $b = 4,434 \text{ \AA}$ ,  $c = 14,53 \text{ \AA}$ ,  $\beta = 98,0^\circ$  ( $\angle 85, 89, 93$  J), рентгенографической и пикнометрической плотностью 6,79 и 6,61 г/см<sup>3</sup> соответственно. Соединение A имеет полиморфное превращение при 563 К и является фоточувствительным полупроводником с шириной запрещенной зоны 1,8 эВ ( $\angle 89, 93$  J). Растворимость  $PbJ_2$  в  $PbS$  при 690 К составляет 0,8 % ( $\angle 92$  J).

В тройной системе Pb-J-S образуется соединение  $Pb_2SJ_2$  светло-красного цвета, которое по спектрам отражения аналогично соединению A, при 340 К разлагается с образованием A и кристаллизуется в тетрагональной структуре с параметрами элементарной ячейки  $a = 11,1 \text{ \AA}$ ,  $c = 13,2 \text{ \AA}$  ( $\angle 90$  J).

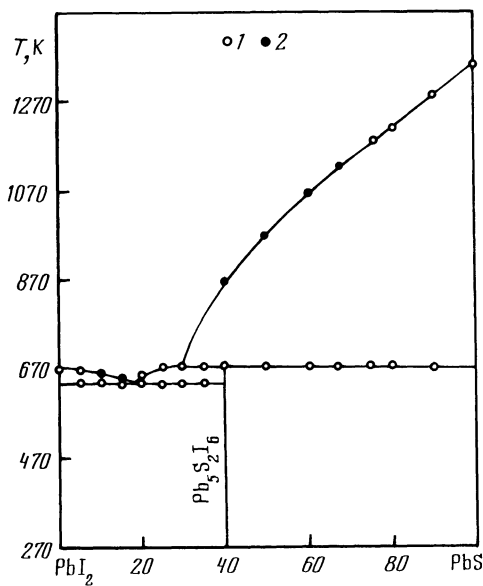


Рис. 9.26. Диаграмма состояния системы  $PbS-PbJ_2$  ( $\angle 92$  J)  
1 - нагревание,  
2 - охлаждение

Соединение А получали отжигом смесей PbS и PbJ<sub>2</sub> при 620 К  $\sim$  88 J, а Pb<sub>2</sub>SJ<sub>2</sub> - введением H<sub>2</sub>S в раствор PbKJ<sub>3</sub> в ацетоне  $\sim$  90 J. Монокристаллы А выращивали методом гидротермального синтеза, а также кристаллизацией из расплава под давлением инертного газа  $\sim$  89 J.

Исходные образцы отжигали при 640 К в течение 1000 ч  $\sim$  92 J. Система исследована методами ДТА, РФА и МСА  $\sim$  85, 92 J.

#### Система PbS-TiS<sub>2</sub>

В системе PbS-TiS<sub>2</sub> образуется соединение PbTiS<sub>3</sub>  $\sim$  94-96 J темно-серого металлического цвета, кристаллизующееся в тетрагональной структуре с параметрами элементарной ячейки  $a = 4,16 \text{ \AA}$ ,  $c = 11,752 \text{ \AA}$ , рентгенографической и пикнометрической плотностью 5,74 и 5,6 г/см<sup>3</sup> соответственно  $\sim$  95, 96 J.

Соединение PbTiS<sub>3</sub> получали спеканием PbS и TiS<sub>2</sub> при 870-1070 К  $\sim$  95 J (при 1320 К в течение 500 ч  $\sim$  94 J).

#### Система PbS-ZrS<sub>2</sub>

В системе PbS-ZrS<sub>2</sub> образуется соединение PbZrS<sub>3</sub> коричневого цвета, кристаллизующееся в ромбической структуре с параметрами элементарной ячейки  $a = 15,17 \text{ \AA}$ ,  $b = 11,77 \text{ \AA}$ ,  $c = 18,16 \text{ \AA}$   $\sim$  95 J ( $a = 9,0134 \text{ \AA}$ ,  $b = 3,7660 \text{ \AA}$ ,  $c = 13,9237 \text{ \AA}$  / 97 /) и пикнометрической плотностью 6,1 г/см<sup>3</sup>  $\sim$  95 J.

Соединение PbZrS<sub>3</sub> получали спеканием PbS и ZrS<sub>2</sub> при 870 и 1070 К  $\sim$  95, 97 J.

#### Система PbS-HfS<sub>2</sub>

В системе PbS-HfS<sub>2</sub> образуется соединение PbHfS<sub>3</sub> коричневого цвета, кристаллизующееся в ромбической структуре с параметрами элементарной ячейки  $a = 15,14 \text{ \AA}$ ,  $b = 11,74 \text{ \AA}$ ,  $c = 18,16 \text{ \AA}$  и пикнометрической плотностью 7,8 г/см<sup>3</sup>  $\sim$  95 J.

Соединение PbHfS<sub>3</sub> получали спеканием PbS и HfS<sub>2</sub> при 870 и 1070 К  $\sim$  95 J.

#### Система PbS-NH<sub>4</sub>NO<sub>3</sub>

При взаимодействии PbS и NH<sub>4</sub>NO<sub>3</sub> в интервале 450-650 К образуются PbSO<sub>4</sub>, PbO, Pb и (NH<sub>4</sub>)<sub>2</sub>SO<sub>4</sub>  $\sim$  98, 99 J. Система исследована методами ДТА, РФА и ХА  $\sim$  98, 99 J.

#### Система PbS-" $P_2S_4$ "

Диаграмма состояния системы PbS-" $P_2S_4$ " представлена на рис. 9.27  $\sim$  100 J. В системе образуется соединение Pb<sub>2</sub>P<sub>2</sub>S<sub>6</sub> желтого цвета, плавящееся конгруэнто при 1193 К, претерпевающее полиморфное превращение при 695 К и кристаллизующееся в моноклинной структуре с параметрами элементарной ячейки  $a = 6,572 \text{ \AA}$ ,  $b = 7,441 \text{ \AA}$ ,  $c = 11,562 \text{ \AA}$ ,  $\beta = 126,21^\circ$   $\sim$  100 J ( $a = 6,606 \text{ \AA}$ ,  $b = 7,464 \text{ \AA}$ ,  $c = 11,346 \text{ \AA}$ ,  $\beta = 124,11^\circ$   $\sim$  101 J);

$a = 6,62 \text{ \AA}$ ,  $b = 7,46 \text{ \AA}$ ,  $c = 11,37 \text{ \AA}$ ,  $\beta = 124,5^\circ$  [102], рентгенографической и пикнометрической плотностью соответственно 4,79 и 4,66  $\text{g/cm}^3$  [101] (4,83 и 4,78  $\text{g/cm}^3$  [102]). Соединение  $\text{Pb}_2\text{P}_2\text{S}_6$  химически устойчиво, растворяется только в концентрированной  $\text{HNO}_3$ , царской водке, концентрированных и расплавленных щелочах [102]. Эвтектика содержит 75 %  $\text{PbS}$  и кристаллизуется при 1055 К.

Монокристаллы  $\text{Pb}_2\text{P}_2\text{S}_6$  получали методом ХТР [101, 102]. Исходные образцы отжигали при 770 К в течение двух недель [100]. Система исследована методами ДТА, РФА и измерением плотности [100].

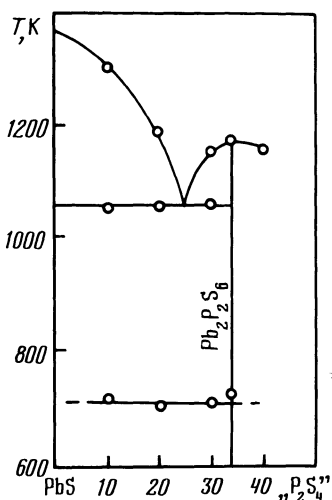


Рис. 9.27. Часть диаграммы состояния системы  $\text{PbS}-\text{P}_2\text{S}_4$  [100]

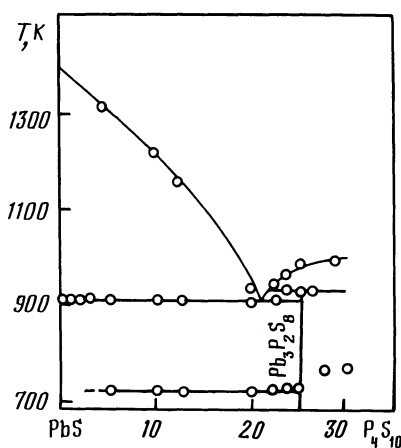


Рис. 9.28. Часть диаграммы состояния системы  $\text{PbS}-\text{P}_4\text{S}_{10}$  [100]

#### Система $\text{PbS}-\text{P}_4\text{S}_{10}$

Диаграмма состояния системы  $\text{PbS}-\text{P}_4\text{S}_{10}$  представлена на рис. 9.28 [100]. Эвтектика содержит 79 %  $\text{PbS}$  и кристаллизуется при 908 К. В системе образуется соединение  $\text{Pb}_3\text{P}_2\text{S}_8$ , плавящееся инконгруэнтно при 928 (993 К [103]), претерпевающее полиморфное превращение при 708 К и кристаллизующееся в кубической структуре с параметрами элементарной ячейки  $a = 10,9272 \text{ \AA}$  [100] ( $a = 10,9393 \text{ \AA}$  [103]), рентгенографической и пикнометрической плотностью 4,769 и 4,794  $\text{g/cm}^3$  [103] (4,78  $\text{g/cm}^3$  [100]) соответственно. Растворимость  $\text{P}_4\text{S}_{10}$  в  $\text{PbS}$  достигает 2 % [100].

Соединение  $\text{Pb}_3\text{P}_2\text{S}_8$  синтезировали из элементарных компонентов при 870 К в течение недели, а его монокристаллы выращивали методом ХТР (носитель - иод) [103]. При 655 К  $\text{Pb}_3\text{P}_2\text{S}_8$  разлагается с образованием  $\text{Pb}_2\text{P}_2\text{S}_6$ .

Исходные образцы отжигали при 770 К в течение двух недель [100]. Система исследована методами ДТА, РФА и измерением плотности [100].

### Система PbS-As<sub>2</sub>S<sub>2</sub>

В системе PbS-As<sub>2</sub>S<sub>2</sub> образуются соединения PbS·As<sub>2</sub>S<sub>2</sub>, 2PbS·As<sub>2</sub>S<sub>2</sub> и 3PbS·As<sub>2</sub>S<sub>2</sub>, разлагающиеся при 730-760 К на исходные бинарные компоненты и образующиеся при сульфидировании арсенатов свинца [I04, I05].

В тройной системе Pb-As-S твердых растворов на основе As не обнаружено [I06].

### Система PbS-As<sub>2</sub>S<sub>3</sub>

Диаграмма состояния системы PbS-As<sub>2</sub>S<sub>3</sub> представлена на рис. 9.29 [I07]. Одна эвтектика содержит 72 % PbS и кристаллизуется при 798 К [I07], а другая вырождена со стороны As<sub>2</sub>S<sub>3</sub> [I07, I08]. В системе образуется четыре инконгруэнтно и одно конгруэнтно плавящееся соединения (табл. 9.2).

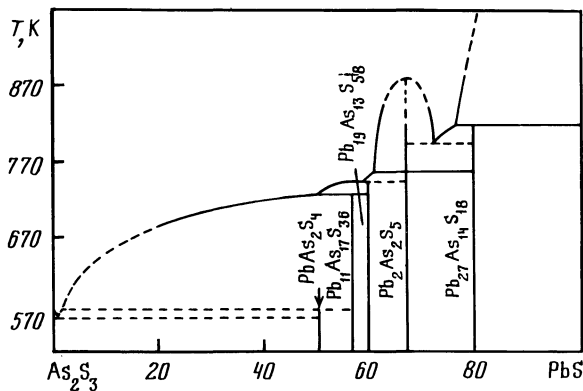


Рис. 9.29. Диаграмма состояния системы PbS-As<sub>2</sub>S<sub>3</sub> [I07]

Таблица 9.2

Свойства соединений в системе PbS-As<sub>2</sub>S<sub>3</sub> [I07]

Соединение	PbS, %	Параметры элементарной ячейки				T <sub>пл</sub> , К	Характер плавления
		a, Å	b, Å	c, Å	β, °		
PbAs <sub>2</sub> S <sub>4</sub>	50,0	19,56	7,911	4,181	90	578	Инконгруэнт.
Pb <sub>11</sub> As <sub>17</sub> S <sub>36</sub>	56,4	22,80	8,339	7,901	97,49	731	Инконгруэнт.
Pb <sub>19</sub> As <sub>13</sub> S <sub>58</sub>	59,4	8,429	70,91	7,916	90,00	747	Инконгруэнт.
Pb <sub>2</sub> As <sub>2</sub> S <sub>5</sub>	66,7	8,403	25,86	7,88	90,58	850-920	Конгруэнт
Pb <sub>27</sub> As <sub>14</sub> S <sub>48</sub>	79,4	8,951	31,90	8,489	117,82	822	Инконгруэнт.

Соединение  $Pb_2As_2S_5$  характеризуется наличием полиморфного превращения при 760 К, а  $Pb_{27}As_{14}S_{48}$  - при 782 К, причем для каждого соединения обе полиморфные фазы незначительно отличаются друг от друга [107]. Согласно [104] в системе существует соединение  $Pb_3As_2S_6$ , которое, как  $PbAs_2S_4$  и  $PbAs_2S_5$ , при 708 К разлагается с образованием S и тиоарсенинов свинца  $PbS \cdot As_2S_2$ ,  $2PbS \cdot As_2S_2$  и  $3PbS \cdot As_2S_2$ . Образование химических соединений в системе  $PbS \cdot As_2S_3$  подтверждается также изучением процессов соосаждения свинца с  $As_2S_3$  [65].

Исходные образцы отжигали при 550 К в течение 1000 ч [108]. Система исследована методами ДТА, РФА, МСА и ХА [104, 107, 108].

#### Система $PbS \cdot As_2Se_3$

Диаграмма состояния системы  $PbS \cdot As_2Se_3$  представлена на рис. 9.30 [109]. В системе образуется соединение  $PbAs_2Se_3$ , плавящееся инконгруэнтно при 690 К. Эвтектика содержит 8 %  $PbS$  и кристаллизуется при 570 К. При комнатной температуре растворимость  $PbS$  в  $As_2Se_3$  составляет 1,5 %, а  $As_2Se_3$  в  $PbS$  - 2 %.

Исходные образцы отжигали при температурах ниже температуры солидуса в течение 450 ч. Система исследована методами ДТА, РФА и МСА, а также измерением микротвердости [109].

#### Система $PbS \cdot Sb$

Диаграмма состояния системы  $PbS \cdot Sb$  (рис. 9.3I) эвтектического типа [110]. Эвтектика содержит 4 % (7,5 мас.%)  $PbS$  и кристаллизуется при 863 К. Растворимость  $Sb$  в  $PbS$  достигает 4 % (2 мас.%).

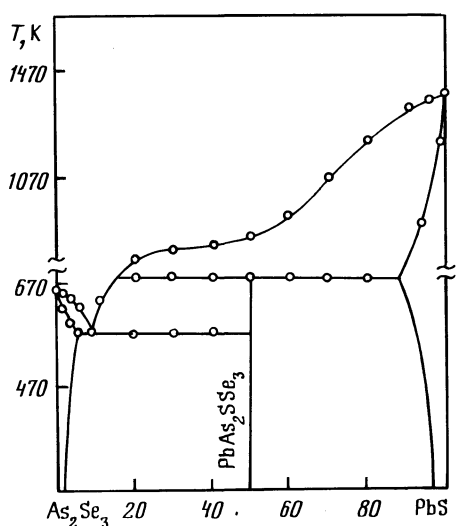


Рис. 9.30. Диаграмма состояния системы  $PbS \cdot As_2Se_3$  [109]

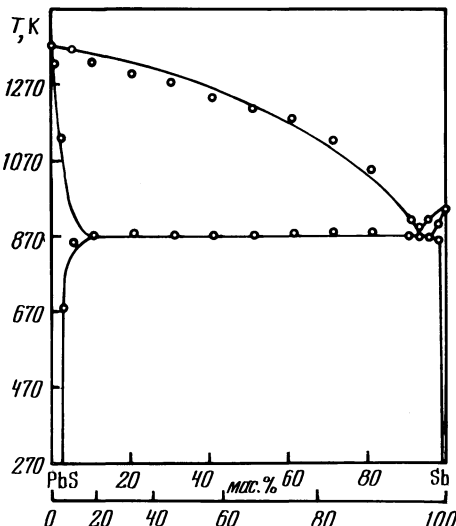


Рис. 9.3I. Диаграмма состояния системы  $PbS \cdot Sb$  [110]

Изотермические сечения тройной системы  $Pb-Sb-S$  при 570, 670, 770, 880, 905, 970 и 1320 К построены в работах [III, II2]. Тройная эвтектика  $Sb+PbSb_2S_4+Sb_2S_3$ , кристаллизуется при 753 К, а  $PbS+Pb+Sb$  – при 513 К и содержит 77,8 %  $Pb$ , 16,5 %  $Sb$  и 5,7 %  $S$  (88 мас.%  $Pb$ , 11 мас.%  $Sb$  и 1 мас.%  $S$ ) [III].

Исходные образцы отжигали при 770 К в течение 100 ч [II10].

Система исследована методами ДТА, РФА и МСА, а также измерением микротвердости, термоДС и с помощью электронного микроанализа [II10, III].

### Система $PbS-Sb_2S_3$

Диаграмма состояния системы  $PbS-Sb_2S_3$  представлена на рис. 9.32 [III-II4]. В системе образуется целый ряд инконгруэнтно плавящихся соединений [I6, III-I21]. Эвтектика содержит 20 %  $PbS$  и кристаллизуется при 796 К [III].

Соединение  $Pb_2Sb_2S_6$  плавится инконгруэнтно при 915 К [III] (910 К [II13]) и разлагается при 878 К [III] (894 К [II13]).

Соединение  $Pb_5Sb_4S_{11}$  плавится инконгруэнтно при 911 К [III] (904 К [II13], 907 К [II2], 915 К [II5]), характеризуется наличием полиморфного превращения при 733 К и имеет ширину запрещенной зоны 1,32 эВ [II5]. Максимальная растворимость  $Sb_2S_3$  в  $Pb_5Sb_4S_{11}$  при 778 К составляет 2,5 % [II3]. Это соединение кристаллизуется в моноклинной структуре с параметрами элементарной ячейки  $a = 21,50 \text{ \AA}$ ,  $b = 23,47 \text{ \AA}$ ,  $c = 8,05 \text{ \AA}$ ,  $\gamma = 99,26^\circ$  [I6].

Соединение  $Pb_3Sb_4S_9$  плавится инконгруэнтно при 876 К [III] (870 К [II13]) и разлагается при 698 К [III, II2] (778 К [II13]).

Соединение  $Pb_6Sb_{10}S_{21}$  плавится инконгруэнтно при 855 К [III, II3], разлагается при 591 К [III] и кристаллизуется в триклинной структуре с параметрами  $a = 16,41 \text{ \AA}$ ,  $b = 17,89 \text{ \AA}$ ,  $c = 4,02 \text{ \AA}$ ,  $\alpha = 99,24^\circ$ ,  $\beta = 95,76^\circ$ ,  $\gamma = 89,46^\circ$  [I6].

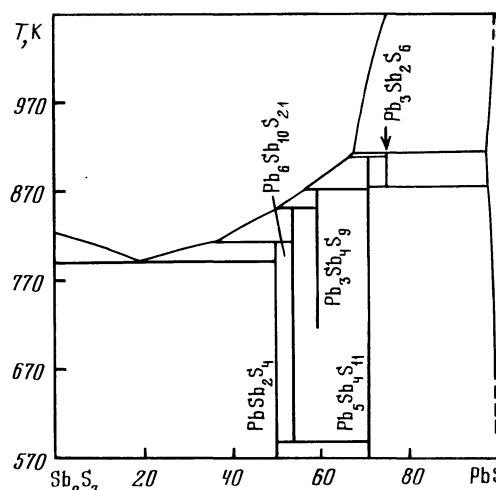


Рис. 9.32. Диаграмма состояния системы  $PbS-Sb_2S_3$  [III].

Соединение  $PbSb_2S_4$  в  $\langle III, II3, II6 \rangle$  ( $Pb_6Sb_{14}S_{27}$  в  $\langle II2, II7, II8 \rangle$ ) плавится инконгруэнтно при  $818\text{ K}$  в  $\langle III, II3 \rangle$  ( $813\text{ K}$  в  $\langle II2 \rangle$ ) и кристаллизуется в гексагональной структуре с параметрами  $a = 44,13\text{ \AA}$ ,  $c = 8,64\text{ \AA}$  в  $\langle II6 \rangle$  ( $a = 22,148\text{ \AA}$ ,  $c = 4,333\text{ \AA}$  в  $\langle II7 \rangle$ ;  $a = 22,126\text{ \AA}$ ,  $c = 4,342\text{ \AA}$  в  $\langle II6 \rangle$ ), рентгенографической и пикнометрической плотностью соответственно  $5,16$  и  $5,36\text{ g/cm}^3$  в  $\langle II7 \rangle$ . Ширина области гомогенности  $PbSb_2S_4$  не превышает  $1,5\%$  в  $\langle II3 \rangle$ . Электронно-микроскопическое исследование  $PbSb_2S_4$  выявило существование микродоменов, обладающих сверхструктурой с параметрами  $a = 38,323\text{ \AA}$ ,  $c = 8,684\text{ \AA}$  в  $\langle II6 \rangle$ .

Кроме указанных на диаграмме состояния соединений в литературе имеются сведения еще о трех соединениях:  $Pb_2Sb_2S_5$ , кристаллизующееся в моноклинной структуре с параметрами  $a = 16,16\text{ \AA}$ ,  $b = 18,75\text{ \AA}$ ,  $c = 4,30\text{ \AA}$ ,  $\beta = 91,24^\circ$  (в ромбической структуре с параметрами  $a = 19,808\text{ \AA}$ ,  $b = 4,042\text{ \AA}$ ,  $c = 11,353\text{ \AA}$  в  $\langle II9 \rangle$ ), рентгенографической и пикнометрической плотностью  $5,692$  и  $5,78\text{ g/cm}^3$  соответственно в  $\langle I20 \rangle$ ;  $Pb_7Sb_8S_{17}$ , кристаллизующееся в моноклинной структуре с параметрами  $a = 13,628\text{ \AA}$ ,  $b = 11,943\text{ \AA}$ ,  $c = 21,285\text{ \AA}$ ,  $\beta = 90^\circ 55'$ , рентгенографической и пикнометрической плотностью  $5,81$  и  $5,73\text{ g/cm}^3$  соответственно в  $\langle I21 \rangle$  и  $Pb_7Sb_{12}S_{25}$ , плавящееся инконгруэнтно при  $855\text{ K}$  в  $\langle II2 \rangle$ .

В неравновесных условиях со стороны  $Sb_2S_3$  образуются различные дефектные структуры в  $\langle I22 \rangle$ .

Согласно в  $\langle I23 \rangle$  в системе  $PbS-Sb_2S_3$  образуются соединения  $PbSb_2S_4$  и  $Pb_5Sb_4S_{11}$ , плавящиеся конгруэнтно соответственно при  $1073$  и  $893\text{ K}$ . Эвтектика содержит  $22$ ,  $40$  и  $80\%$   $Sb_2S_3$  и кристаллизуются соответственно при  $923$ ,  $823$  и  $773\text{ K}$ .

Область твердых растворов на основе  $PbS$  не превышает  $2\%$  при  $670\text{ K}$ ,  $3\%$  при  $870$ - $910\text{ K}$  и достигает  $5\%$  при эвтектической температуре в  $\langle III-II3, I23 \rangle$ , а растворимость  $PbS$  в  $Sb_2S_3$  при  $790\text{ K}$  не превышает  $2\%$  в  $\langle II2, II3 \rangle$ .

Исходные образцы отжигали при  $620\text{ K}$  в  $\langle I23 \rangle$ . Система исследована методами ДТА, РФА, МСА, электронной микроскопии, а также измерением микротвердости и с помощью электронного микроанализа в  $\langle III-II3, I22, I23 \rangle$ .

### Система $PbS-SbJ_3$

В системе  $PbS-SbJ_3$  образуется соединение  $Pb_2SbS_2J_3$ , плавящееся при  $683\text{ K}$  и кристаллизующееся в ромбической структуре с параметрами элементарной ячейки  $a = 4,334\text{ \AA}$ ,  $b = 14,195\text{ \AA}$ ,  $c = 16,552\text{ \AA}$  в  $\langle I24, I25 \rangle$ . Указанное соединение имеет заметную область гомогенности по разрезу  $PbJ_2-PbSb_2S_4$ . По данным в  $\langle I25 \rangle$  в системе обнаружено также соединение  $Pb_{11}Sb_4S_{11}J_{12}$ .

### Система $PbS-Bi_2S_3$

Диаграмма состояния системы  $PbS-Bi_2S_3$  приведена в работах в  $\langle II, I3, I24-I30 \rangle$ . Эвтектика содержит  $24\%$   $PbS$  и кристаллизуется при  $995\text{ K}$  в  $\langle I28 \rangle$  ( $21\%$   $PbS$  и  $986\text{ K}$  в  $\langle II, I29 \rangle$ ;  $23\%$   $PbS$  и  $1003\text{ K}$  в  $\langle I26, I27 \rangle$ ).

В системе образуется 5 инконгруэнтно плавящихся соединений. Соединение  $\text{Pb}_{\text{Bi}_2\text{S}_4} \angle \text{II}, \text{I3}, \text{I6}, \text{2I}, \text{II4}, \text{II5}, \text{I26}-\text{I29}, \text{I3I}-\text{I34}$  плавится инконгруэнтно при  $1023 \text{ K} \angle \text{II}, \text{I3}, \text{I28}, \text{I29}$  (1028 К  $\angle \text{II4}, \text{II5}$ , 998 К  $\angle \text{I33}$ ) и кристаллизуется в ромбической структурке  $\angle \text{I3}, \text{I6}, \text{2I}, \text{I33}, \text{I34}$  с параметрами элементарной ячейки  $a = 11,753 \text{ \AA}$ ,  $b = 14,612 \text{ \AA}$ ,  $c = 4,087 \text{ \AA} \angle \text{I3I}$  ( $a = 11,61 \text{ \AA}$ ,  $b = 13,57 \text{ \AA}$ ,  $c = 4,08 \text{ \AA} \angle \text{I6}$ ;  $a = 11,59 \text{ \AA}$ ,  $b = 14,36 \text{ \AA}$ ,  $c = 4,14 \text{ \AA} \angle \text{I33}$ ;  $a = 11,79 \text{ \AA}$ ,  $b = 14,59 \text{ \AA}$ ,  $c = 4,10 \text{ \AA} \angle \text{I34}$ ;  $a = 11,73 \text{ \AA}$ ,  $b = 14,47 \text{ \AA}$ ,  $c = 4,08 \text{ \AA} \angle \text{I3}$ ), рентгенографической и пикнометрической плотностью соответственно  $7,18 \text{ (7, I36} \angle \text{I29})$  и  $7,12 \text{ g/cm}^3 \angle \text{I33}$ . Соединение  $\text{Pb}_{\text{Bi}_2\text{S}_4}$  имеет определенную область гомогенности  $\angle \text{I3}, \text{I26}, \text{I28}, \text{I29}$ . Его состав смешен в сторону большего содержания  $\text{Bi}_2\text{S}_3 \angle \text{I28}$  и при  $1009 \text{ K} \text{ Pb}_{\text{Bi}_2\text{S}_4}$  содержит около 2 %  $\text{Bi}_2\text{S}_3 \angle \text{I26}$ .

Соединение  $\text{Pb}_4\text{Bi}_2\text{S}_7$  плавится инконгруэнтно при  $1107 \text{ K} \angle \text{II}, \text{I29}$  ( $1104 \text{ K} \angle \text{I28}$ ,  $1102 \text{ K} \angle \text{I3}$ ), содержит 80 %  $\text{PbS} \angle \text{I3}, \text{I27}$ , кристаллизуется в ромбической структуре с параметрами  $a = 13,71 \text{ \AA}$ ,  $b = 31,46 \text{ \AA}$ ,  $c = 4,13 \text{ \AA} \angle \text{I6}$  ( $a = 13,51 \text{ \AA}$ ,  $b = 23,41 \text{ \AA}$ ,  $c = 4,11 \text{ \AA} \angle \text{I35}$ ) и разлагается при температурах ниже  $750 \text{ K} \angle \text{I3}, \text{I28}$ . Иногда этому соединению приписывают формулу  $\text{Pb}_9\text{Bi}_4\text{S}_{15} \angle \text{I3}, \text{I20}, \text{I28}$  или  $\text{Pb}_6\text{Bi}_2\text{S}_9 \angle \text{II}, \text{2I}, \text{I36}$ , первая из которых лучше описывает состав соединения при высоких температурах, а вторая - при низких  $\angle \text{I26}$ .

Соединение  $\text{Pb}_3\text{Bi}_2\text{S}_6$  плавится инконгруэнтно при  $1089 \text{ K} \angle \text{II}, \text{I3}, \text{I29}$  ( $1079 \text{ K} \angle \text{I27}$ ,  $1077 \text{ K} \angle \text{I28}$ ,  $1053 \text{ K} \angle \text{I33}$ ), кристаллизуется в ромбической структуре с параметрами  $a = 13,47 \text{ \AA}$ ,  $b = 20,75 \text{ \AA}$ ,  $c = 4,13 \text{ \AA} \angle \text{I6}$  ( $a = 12,80 \text{ \AA}$ ,  $b = 31,12 \text{ \AA}$ ,  $c = 4,78 \text{ \AA} \angle \text{I33}$ ), рентгенографической и пикнометрической плотностью  $5,92$  и  $5,95 \text{ g/cm}^3$  соответственно  $\angle \text{I33}$ . Область гомогенности при  $1020 \text{ K}$  находится в интервале 25-29 %  $\text{Bi}_2\text{S}_3 \angle \text{I3}$  (26-31 %  $\text{Bi}_2\text{S}_3 \angle \text{I29}$ ).

Соединение  $\text{PbBi}_4\text{S}_7$  плавится инконгруэнтно при  $1009 \text{ K} \angle \text{II}, \text{I26}-\text{I29}$  ( $1003 \text{ K} \angle \text{I3}$ ), кристаллизуется в моноклинной структуре с параметрами  $a = 13,461 \text{ \AA}$ ,  $b = 12,371 \text{ \AA}$ ,  $c = 4,028 \text{ \AA}$ ,  $\beta = 99,19^\circ \angle \text{I3I}$  (в ромбической структуре с параметрами  $a = 7,74 \text{ \AA}$ ,  $b = 6,92 \text{ \AA}$ ,  $c = 6,00 \text{ \AA} \angle \text{I33}$ ), рентгенографической и пикнометрической плотностью соответственно  $6,78$  и  $6,97 \text{ g/cm}^3 \angle \text{I33}$ . При  $950 \text{ K}$  это соединение разлагается с образованием  $\text{Bi}_2\text{S}_3$  и  $\text{Pb}_{\text{Bi}_2\text{S}_4} \angle \text{II}, \text{I3}, \text{I26}-\text{I29}$ . Соединение  $\text{PbBi}_4\text{S}_7$  содержит 33-35 %  $\text{PbS} \angle \text{I3}, \text{I28}$  и при  $1000 \text{ K}$  растворяет до 8 %  $\text{Bi}_2\text{S}_3 \angle \text{I26}$ .

Соединение  $\text{Pb}_2\text{Bi}_2\text{S}_5$  при понижении температуры ниже  $1030 \text{ K}$  изменяет свой состав сначала до  $\text{Pb}_8\text{Bi}_6\text{S}_{17}$ , а затем до  $\text{Pb}_5\text{Bi}_4\text{S}_{11} \angle \text{I26}$ . В связи с этим его не удалось получить путем отжига исходных компонентов при  $470$ - $870 \text{ K} \angle \text{I3}, \text{I28}$ , хотя согласно  $\angle \text{I3}$  верхняя граница стабильности  $\text{Pb}_2\text{Bi}_2\text{S}_5$  в присутствии паров серы составляет  $700$  $\pm$  $25 \text{ K}$ . Соединение  $\text{Pb}_2\text{Bi}_2\text{S}_5$  кристаллизуется в ромбической структуре с параметрами  $a = 19,098 \text{ \AA}$ ,  $b = 23,890 \text{ \AA}$ ,  $c = 4,057 \text{ \AA} \angle \text{I37}$  ( $a = 19,101 \text{ \AA}$ ,  $b = 23,913 \text{ \AA}$ ,  $c = 4,061 \text{ \AA} \angle \text{I38}$ ) и рентгенографической плотностью  $7,17 \text{ g/cm}^3 \angle \text{I37}$ .

Кроме вышеуказанных соединений отмечается также существование  $Pb_5Bi_6S_{14}$ ,  $Pb_3Bi_8S_{15}$ ,  $PbBi_6S_{10}$  [21],  $Pb_2Bi_6S_{11}$  (ромбическая структура,  $a = 13,278 \text{ \AA}$ ,  $b = 36,768 \text{ \AA}$ ,  $c = 4,034 \text{ \AA}$ ),  $Pb_3Bi_{10}S_{18}$  (ромбическая структура,  $a = 13,366 \text{ \AA}$ ,  $b = 59,542 \text{ \AA}$ ,  $c = 4,060 \text{ \AA}$ ) [131] и  $Pb_5Bi_2S_8$  (ромбическая структура,  $a = 13,56 \text{ \AA}$ ,  $b = 28,05 \text{ \AA}$ ,  $c = 4,14 \text{ \AA}$ ) [135]. Предполагается, что некоторые из этих соединений существуют в твердой фазе при достаточно низких температурах, в связи с чем при их получении трудно достичь равновесного состояния [21].

Согласно [21, 133] диаграмма состояния системы  $PbS-Bi_2S_3$  эвтектического типа с перитектическими превращениями и образованием конгруэнтно плавящегося при 1063 К соединения  $PbBi_4S_7$ . Эвтектики содержат 40 и 84 %  $Bi_2S_3$  и кристаллизуются соответственно при 863 и 953 К [133].

Растворимость  $Bi_2S_3$  в  $PbS$  достигает 10 % при 1110 К и 2 % при 670 К [11, 128, 129] (II % при 1000 К [127]; 9 % при 1070 К и 1-3 % при 670 К [21]; 7,5 % при 1050 К и 5 % при 770 К [133]), а растворимость  $PbS$  в  $Bi_2S_3$  при эвтектической температуре составляет 6 % [133] (0,8 % [129]).

Изотермические сечения тройной системы  $Pb-Bi-S$  при некоторых температурах приведены в работах [13, 127].

Исходные образцы отжигали при 670 К в течение 1000 ч [128] (при 770 К в течение 350 ч [133]; при 1070 К в течение недели [136]; при 998 К в течение трех дней [131]). Система исследована методами ДТА, РФА, МСА и ХА, а также измерением микротвердости и плотности [11, 13, 21, 126-129, 131, 133, 136].

#### Система $PbS-Bi_2Te_3$

В системе  $PbS-Bi_2Te_3$  образуется соединение  $PbS \cdot Bi_2Te_3$ , плавящееся инконгруэнтно при 848 К и образующее эвтектику с  $Bi_2Te_3$  при 835 К (рис. 9.33) [139]. Система исследована методами ДТА и РФА.

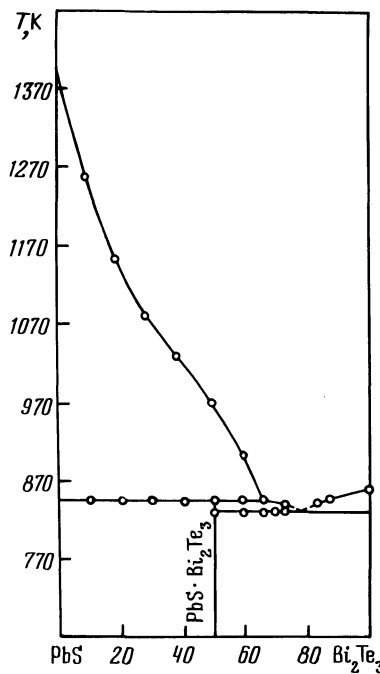
#### Система $PbS-NbS_2$

В системе  $PbS-NbS_2$  образуются соединения  $PbNbS_3$  и  $PbNb_2S_5$ , кристаллизующиеся в ромбической структуре с параметрами элементарной ячейки  $a = 23,162$  и  $23,280 \text{ \AA}$ ,  $b = 5,790$  и  $5,777 \text{ \AA}$ ,  $c = 23,901$  и  $35,84 \text{ \AA}$  соответственно [140]. В тройной системе  $Pb-Nb-S$  образуется соединение  $Pb_{0,15}Nb_3S_4$ , кристаллизующееся в гексагональной структуре с параметрами  $a = 9,626 \text{ \AA}$ ,  $c = 3,390 \text{ \AA}$  и рентгенографической плотностью  $5,37 \text{ г/см}^3$  [141].

Соединения  $PbNbS_3$  и  $PbNb_2S_5$  получали нагреванием соответствующих смесей элементарных веществ при 1170 К в течение 15 дней с последующим отжигом при 570 К, а  $Pb_{0,15}Nb_3S_4$  - методом XTP (носитель - хлор) [140, 141].

#### Система $PbS-TaS_2$

В системе  $PbS-TaS_2$  образуется соединение  $PbTaS_3$ , кристаллизующееся в ромбической структуре с параметрами элементарной ячейки  $a = 11,44 \text{ \AA}$ ,



Р и с. 9.33. Диаграмма состояния системы  $\text{PbS}-\text{Bi}_2\text{Te}_3$  [139]

$b = 6,29 \text{ \AA}$ ,  $c = 11,97 \text{ \AA}$ , рентгенографической и пикнометрической плотностью 7,51 и 7,32 г/см<sup>3</sup> соответственно [94].

Соединение  $\text{PbTa}_3$  получали отжигом смеси исходных бинарных компонентов при 1320 К в течение 500 ч [94].

#### Система $\text{PbS}-\text{O}_2$

Конечным продуктом взаимодействия  $\text{PbS}$  с газовой средой, содержащей  $\text{O}_2$  и несколько процентов  $\text{SO}_2$ , является  $\text{PbSO}_4$  [142]. При 1170 К взаимодействие  $\text{PbS}$  с  $\text{PbSO}_4$  или  $\text{PbO}$ , образующимися в системе, протекает с образованием  $\text{Pb}$  и выделением  $\text{SO}_2$ . При 1370 К все соединения, за исключением  $\text{PbSO}_4$ , находятся в расплавленном состоянии. При этой температуре становится возможной реакция  $\text{PbS}+\text{O}_2=\text{Pb}+\text{SO}_2$ .

#### Система $\text{PbS}-\text{Mo}$

В тройной системе  $\text{Pb}-\text{Mo}-\text{S}$  образуется соединение  $\text{Pb}_x\text{Mo}_6\text{S}_{8-y}$  ( $0,9 \leq x \leq 1,1$  и  $0,4 \leq y \leq 0,1$ ) [143-150], кристаллизующееся в ромбоэдрической структуре. В области гомогенности угол  $\alpha$  изменяется от 89,25 до 89,50°, параметр  $a$  достигает максимального значения при составе  $\text{Pb}_x\text{Mo}_6\text{S}_7$  [144] ( $a = 6,544 \text{ \AA}$  [143];  $a = 6,551 \text{ \AA}$  [147];  $a = 6,5382 \text{ \AA}$  [148]).

Согласно [149] указанное соединение кристаллизуется в гексагональной структуре с параметрами элементарной ячейки  $a = 9,2073 \text{ \AA}$ ,  $c = 11,4702 \text{ \AA}$ .

Соединение  $\text{Pb}_x\text{Mo}_6\text{S}_{8-y}$  плавится инконгруэнтно при  $1803 \text{ K}$  [144] и характеризуется переходом в сверхпроводящее состояние при  $14,1-14,5 \text{ K}$  [147]. Его рентгенографическая и пикнометрическая плотность равны соответственно  $6,06$  ( $6,15$  [148]) и  $6,10 \text{ g/cm}^3$  [143].

Изотермические сечения тройной системы  $\text{Pb}-\text{Mo}-\text{S}$  при  $1170$ ,  $1270$  и  $1320 \text{ K}$  построены в работе [150]. Соединение  $\text{Pb}_x\text{Mo}_6\text{S}_{8-y}$  синтезировали из  $\text{PbS}$  и  $\text{Mo}$  при постепенном нагревании с выдержкой в течение  $16$  ч при  $850 \text{ K}$ , в течение  $22$  ч при  $1120 \text{ K}$  и в течение  $3$  ч при  $1370 \text{ K}$  [147], а его монокристаллы выращивали методом XTP (носитель -  $\text{PbBr}_2$ ) [145, 146] или кристаллизацией из раствора в расплаве  $\text{SnMo}_6\text{Se}_{8-y}$ , или  $\text{Cu}_{1,8}\text{Mo}_6\text{S}_{8-y}$  [144].

Исходные образцы отжигали при  $1370-1520 \text{ K}$  в течение  $30$  ч [144] (при  $1320 \text{ K}$  в течение  $48$  ч [150]). Система исследована методами ДТА, РФА, МСА и ХА [144, 148, 150].

#### Система $\text{PbS}-\text{MnS}$

Система  $\text{PbS}-\text{MnS}$  является неквазибинарным сечением тройной системы  $\text{Pb}-\text{Mn}-\text{S}$  [151]. Растворимость  $\text{MnS}$  в  $\text{PbS}$  при  $1200 \text{ K}$  составляет  $2 \%$ , при  $1140 \text{ K}$  -  $6 \%$ , при  $990 \text{ K}$  -  $3 \%$  и при  $850 \text{ K}$  -  $1 \%$ . На рентгенограммах образцов, содержащих  $65 \%$   $\text{PbS}$ , отмечено появление рефлексов не описанной в литературе фазы. С увеличением содержания  $\text{MnS}$  интенсивность этих рефлексов возрастает, а интенсивность линий, принадлежащих твердому раствору  $\text{Pb}_{1-x}\text{Mn}_x\text{S}$ , уменьшается. На стенках ампул обнаружен элементарный свинец.

Исходные образцы отжигали при  $850$ ,  $990$ ,  $1140$  и  $1200 \text{ K}$  в течение  $1100$ ,  $400$ ,  $200$  и  $150$  ч соответственно и исследовали методом РФА [151].

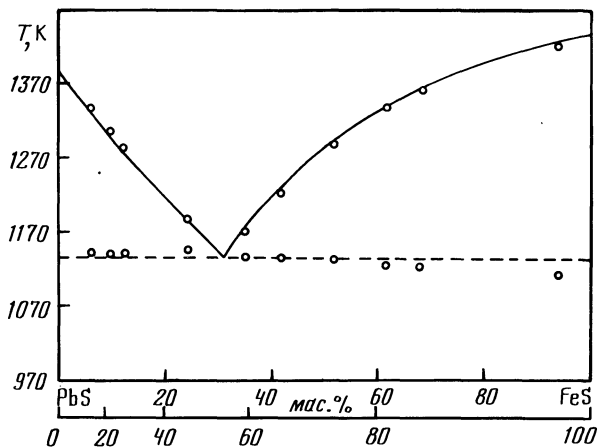
#### Система $\text{PbS}-\text{Fe}$

Система  $\text{PbS}-\text{Fe}$  является неквазибинарным сечением тройной системы  $\text{Pb}-\text{Fe}-\text{S}$  [151, 152]. Поверхность ликвидуса подсистемы  $\text{Pb}-\text{PbS}-\text{FeS}-\text{Fe}$  характеризуется наличием трех областей первичной кристаллизации фаз  $\text{PbS}$ ,  $\text{FeS}$  и  $\text{Fe}$  [151]. Обменная реакция  $\text{PbS}+\text{Fe} \rightleftharpoons \text{FeS}+\text{Pb}$  обратима. В подсистеме  $\text{PbS}-\text{FeS}-\text{S}$  тройная эвтектика содержит  $21,1 \%$   $\text{Pb}$ ,  $17,4 \%$   $\text{Fe}$  и  $61,5 \%$   $\text{S}$  ( $60$  мас.%  $\text{Pb}$ ,  $13$  мас.%  $\text{Fe}$  и  $27$  мас.%  $\text{S}$ ) [152].

Исходные образцы отжигали при  $970 \text{ K}$  в течение  $30$  дней [152]. Система исследована методами ДТА, РФА и МСА [151, 152].

#### Система $\text{PbS}-\text{FeS}$

Диаграмма состояния системы  $\text{PbS}-\text{FeS}$  (рис. 9.34) эвтектического типа [23, 25, 152, 154]. Эвтектика содержит  $53,8 \%$  (30 мас.%)  $\text{FeS}$  и кристаллизуется при  $1138 \text{ K}$  [152] ( $53 \%$   $\text{FeS}$  и  $1123 \text{ K}$  [25];  $1133 \text{ K}$  [154];  $1121 \text{ K}$  [153];  $1136 \text{ K}$  [23]). Взаимная растворимость исходных компонен-



Р и с. 9.34. Диаграмма состояния системы PbS-FeS [152].

тров незначительна [153]. Давление пара PbS в системе в интервале 1320–1520 К незначительно отклоняется от закона Рауля [155].

Исходные образцы отжигали при 970 К в течение 30 дней [153] (при 1110 К в течение 2–3 дней [25]). Система исследована методами ДТА, РФА и МСА [25, 152–154].

#### Система PbS-FeS<sub>2</sub>

В системе PbS-FeS<sub>2</sub> при содержании 54 % PbS на термограммах образцов наблюдается сильный термический эффект при 992 К, обусловленный наличием перитектического взаимодействия, и второй термический эффект при 1000 К [153]. Растворимость PbS в FeS<sub>2</sub> при 970 К незначительна.

Исходные образцы отжигали при 970 К в течение 30 дней. Система исследована методами ДТА, РФА и МСА [153].

#### Система PbS-Co

В системе PbS-Co образуется соединение Co<sub>3</sub>Pb<sub>2</sub>S<sub>2</sub>, кристаллизующееся в гексагональной структуре [156, 157]. Соединение Co<sub>3</sub>Pb<sub>2</sub>S<sub>2</sub> может быть получено взаимодействием элементарных веществ, взаимодействием Co<sub>3</sub>S<sub>2</sub> и Pb или взаимодействием PbS и Co [156].

#### Система PbS-Ni

Диаграмма состояния системы PbS-Ni представлена на рис. 9.35 [158]. В системе образуется соединение Ni<sub>3</sub>Pb<sub>2</sub>S<sub>2</sub> [156–159], плавящееся инконгруэнтно при 1033 К. Полное плавление сплава, отвечающего составу соединения, происходит при 1073 К. На термограмме Ni<sub>3</sub>Pb<sub>2</sub>S<sub>2</sub> кроме эффектов плавления и разложения, фиксируется термический эффект при 833 К, отдающий, по-видимому, полиморфное превращение, происходящее во всех спла-

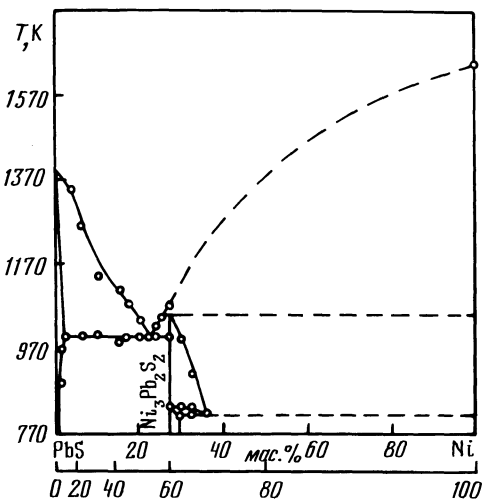


Рис. 9.35. Диаграмма состояния системы PbS-Ni [158]

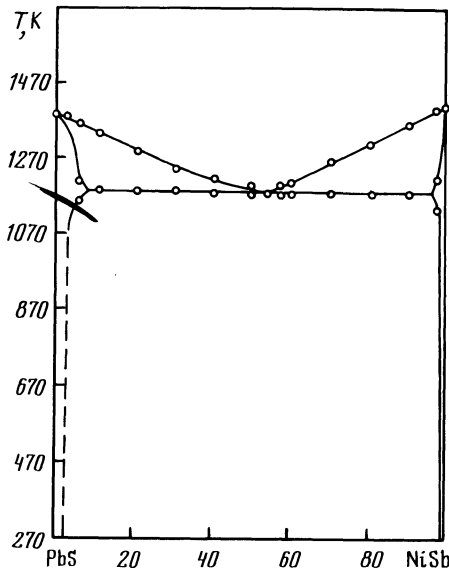


Рис. 9.36. Диаграмма состояния системы PbS-NiSb [160]

вах с более высоким содержанием Ni и представленное на диаграмме состояния эвтектоидным равновесием при 823 К. На основе  $\text{Ni}_3\text{Pb}_2\text{S}_2$  имеется узкая область гомогенности со стороны Ni. Эвтектика содержит 46,4 % (77,9 мас. %) PbS и кристаллизуется при 1003 К.

Соединение  $\text{Ni}_3\text{Pb}_2\text{S}_2$  кристаллизуется в гексагональной структуре с параметрами элементарной ячейки  $a = 5,594 \text{ \AA}$ ,  $c = 13,165 \text{ \AA}$  [156,157]. В моноклинной структуре с параметрами  $a = 9,645 \text{ \AA}$ ,  $b = 5,577 \text{ \AA}$ ,  $c = 5,602 \text{ \AA}$ ,  $\beta = 125,00^\circ$  [159].

Растворимость Ni в PbS при эвтектической температуре составляет 2,8 % [158].

Соединение  $\text{Ni}_3\text{Pb}_2\text{S}_2$  может быть получено взаимодействием либо элементарных веществ, либо PbS и Ni [156], либо  $\text{Ni}_3\text{S}_2$  и Pb [156,159]. Система исследована методами ДИА, РФА и МСА, а также измерением микротвердости и термоЭДС [158].

#### Система PbS-NiSb

Диаграмма состояния системы PbS-NiSb (рис. 9.36) эвтектического типа [160]. Эвтектика содержит 46 % PbS и кристаллизуется при 1183 К. Растворимость NiSb в PbS достигает 2-3 %, а PbS в NiSb - 1 %.

Исходные образцы отжигали при 920 К в течение 100 ч. Система исследована методами ДТА, РФА и МСА, а также измерением микротвердости и термоЭДС [160].

### Система PbS-Rh

В системе PbS-Rh образуется соединение  $Rh_3Pb_2S_2$ , кристаллизующееся в гексагональной структуре с параметрами элементарной ячейки  $a = 5,704 \text{ \AA}$ ,  $c = 13,800 \text{ \AA}$  [156,157]. Указанное соединение может быть получено взаимодействием либо элементарных веществ, либо  $Rh_3S_2$  и Pb либо PbS и Rh [156].

### Система PbS-Pd

В системе PbS-Pd образуется соединение  $Pd_3Pb_2S_2$ , кристаллизующееся в гексагональной структуре [156,157]. Соединение  $Pd_3Pb_2S_2$  может быть получено взаимодействием либо элементарных веществ, либо  $Pd_3S_2$  и Pb, либо PbS и Pd [156].

### Литература

1. Смирнов М.П., Кудряшова Л.Н. // Цв. металлы. 1956. № 12. С. 36-42.
2. Копылов Н.И. // Журн. неорган. химии. Т. I2, № 10. С. 2832-2837.
3. Pelton A.D., Flengas S.N. // Can. J. Chem. 1970. Vol. 48, N 13. P. 2016-2020.
4. Бартон П.Б., Скиппер Б.Дж. // Геохимия гидротермальных рудных месторождений. М.: Мир, 1970. С. 211-285.
5. Wagner J.B., Wagner C. // J.Electrochem. Soc. 1957. Vol. 104, N 8. P. 509-511.
6. Craig J.R., Kullerud G. // Amer. Miner. 1968. Vol. 53, N 1/2. P. 145-161.
7. Craig J.R., Kullerud G. // Carnegie Instn. Washington Year Book. 1965-1966. Baltimore. P. 342-344.
8. Копылов Н.И., Тогузов М.З., Минкевич С.М. и др. // Изв. АН СССР. Металлы. 1976. № 3. С. 226-228.
9. Копылов Н.И., Тогузов М.З., Ярыгин В.И. и др. // Журн. неорган. химии. 1976. Т. 21, № 6. С. 1698-1701.
10. Гусейнов Г.Д., Годжаев Э.М., Халилов Х.Я. и др. // Изв. АН СССР. Неорг. материалы. 1972. Т. 8, № 9. С. 1569-1572.
- II. Годовиков А.А., Федорова Ж.Н. // Эксперимент. исслед. по минералогии (1968-1969 г.). Новосибирск. 1969. С. 42-49.
12. Ангелова В., Димитров Р., Хекимова А. // Научн. тр. Пловдив. ун-та. Сер. Химия. 1975(1976). Т. I3, № 3. С. 313-322.
13. Craig J.R. // Miner. Deposita. 1967. Vol. 1, N 4. P. 278-306.
14. Vogel R. // Z. Metallk. 1953. Bd. 44, N 4, S. 133-135.
15. Слинкина М.В., Жуковский В.М., Жуковская А.С. // Изв. АН СССР. Неорг.материалы. 1985. Т. 21. № 6. С. 1045-1046.
16. Hoda S.N., Chang L.Y. // Amer. Miner. 1975. Vol. 60, N 7/8. P.621-633.
17. Wernick J.H. // Amer. Miner. 1960. Vol. 45, N 5/6. P.591-611..
18. Годовиков А.А., Ненашева С.Н. // Эксперимент. исслед. по минералогии (1968-1969 г.) Новосибирск, 1969. С. 61-64.
19. Годовиков А.А., Ненашева С.Н. // Докл. АН СССР. 1969. Т. I85, № 1. С. 159-162.
20. Amcoff O. // Acta Univ. upsal. Abstrs Uppsala Diss. Fac. Sci. 1978. N 494. 10 p.
21. Van Hook H.J. // Econ. Geol. 1960. Vol. 55, N 4. P. 759-788.
22. Уразов Г.Г., Соколова М.А. // Изв. СФХА. 1941. С. 317-337.
23. Справочник металлурга по цветным металлам // Под ред. Н.Н.Мурача. М.: Металлургиздат. 1947. Т. 2. 784 с.

24. Bell M.C., Flengas S.N. // J. Electrochem. Soc. 1966. Vol. 113. N 1. P. 27-31.
25. Dutrizac J.E. // Can. J. Chem. 1980. Vol. 58, N 7. P.739-743.
26. Бундель А.А., Вишняков А.В., Зубковская В.Н., Клыкова А.И. // Тр. Моск. хим.-технол. института им. Д.И.Менделеева. 1969. Вып. 62. С. 87-89.
27. Зубковская В.Н., Вишняков А.В. // Журн. физ. химии. 1981. Т. 55, № 6. С. 1457-1460.
28. Calawa A.R., Mroczkowski J.A., Harman T.C. // J. Electron. Mater. 1972. Vol. 1, N 1. P. 191-201.
29. Олейник Г.С., Мизецкий П.А., Низкова А.И. и др. // Изв. АН СССР. Неорган. материалы. 1983. Т. I9, № II. С. 1799-1801.
30. Bethke P.M., Barton P.B. // Amer. Miner. 1971. Vol. 56. N 11/12. P. 2034-2039.
31. Kobayashi T., Susa K., Taniguchi S. // J. Phys. and Chem. Solids. 1979. Vol. 40, N 10. P. 781-785.
32. Leute V., Böttner H. // Ber. Bunsenges. phys. Chem. 1978. Bd. 82, N 3. S. 302-306.
33. Кулаков М.П., Соколовская Ж.Д. // Журн. неорган.химии. 1975. Т. 20, № 8. С. 2290-2291.
34. Sharma N.C., Pandya D.K., Sehgal H.K., Chopra K.L. // Thin Solid Films. 1977. Vol. 42, N 3, P. 383-391.
35. Hagenmuller P., Chopin F., Castagna B. // C.r. Acad. sci. 1966. Vol. C262, N 5. P. 418.421.
36. Flahaut J. // Ann. Chim. 1952. Ser. 12. Vol. 7. P. 632-696.
37. Меликова З.Д., Рустамов П.Г. // Журн. неорган. химии. 1982. Т. 27, № 5. С. 1330-1331.
38. Головей В.М., Оболончик В.А., Головей М.И. // Журн. неорган.химии. 1981. Т. 26, № 7. С. 1976-1978.
39. Меликова З.Д., Рустамов П.Г. // Журн. неорган. химии. 1983. Т. 28, № 6. С. 1626-1628.
40. Головей В.М., Оболончик В.А., Лада А.В. // Изв. АН СССР. Неорган. материалы. 1981. Т. I7, № 3. С. 540-541.
41. Chiouler A., Mazurier A., Guittard M. // Mater. Res. Bull. 1979. Vol. 14, N 9. P. 1119-1124.
42. Mazurier A., Jaulmes S., Guittard M. // Acta crystallogr. 1980. Vol. B36, N 9. 1990-1993.
43. Williamson M.A., Edwards J.G. // Thermochim. acta. 1986. Vol. 107. P. 83-100.
44. Krämer V., Berroth K. // Mater. Res. Bull. 1980. Vol. 15, N 3. P.299-308.
45. Рустамов П.Г., Меликова З.Д., Гамидов Р.С. // Азерб. хим. журн. 1976. № 6. С. III-II3.
46. Hahn H., Klingler W. // Z. anorg. und allg. Chem. 1950. Bd. 263, N 4. S. 177-190.
47. Ginderow D. // Acta crystallogr. 1978. Vol. B34, N 6. P. 1804-1811.
48. Рустамов П.Г., Меликова З.Д. // Журн. неорган. химии. 1981. Т. 26. № 5. С. 1432-1434.
49. Латыпов З.М., Файзуллина Н.Р., Сидорова Н.Г. и др. // Исслед. в обл. химии простых и комплексных соединений некоторых металлов. Казань, 1979. С. 224-228.
50. Готук Али Аларик, Бабанлы М.Б., Кулиев А.А. // Журн. неорган. химии. 1979. Т. 24, № 9. С. 2497-2501.
51. Файзуллина Н.Р., Латыпов З.М., Савельев В.П. // Изв. АН СССР. Неорг. материалы. 1983. Т. I9. № 4. С. 678-679.
52. Гицу Д.В., Попович Н.С., Збигли К.Р., Чумак Г.Д. // Изв. АН СССР. Неорган. материалы. 1975. Т. II, № II. С. 2068-2069.

53. Малевский А.Ю. // Докл. АН СССР. 1966. Т. I69. № 6. С. I324-I327.
54. Готук Али Аларик, Бабанлы М.Б., Кулиев А.А. // Журн. неорган. химии. 1978. Т. 23. № 3. С. 851-853.
55. Латыпов З.М., Файзуллина Н.Р., Шипачева В.Е. // Изв. АН СССР. Неорг. материалы. 1979. Т. I5, № 5. С. 893-894.
56. Patrie M., Guittard M., Pardo M.-P. // Bull. Soc. chim. France. 1969. N 11, P. 3832-3834.
57. Elli M., Mugnoli A. // Atti Acad. naz. Lincei. Rend. Cl. sci. fis., mat. e natur. 1962(1963). Vol. 33. N 5. P. 315-319.
58. Susa K., Steinfink H. // J. Solid State Chem. 1971. Vol. 3. N 1. P. 75-82.
59. Alpen U.V., Gmelin E., Rabenau A. // J. Phys. (France). 1975. Vol. 36. N 9. Suppl. P.82.
60. Fenner J., Mootz D. // Naturwissenschaften. 1974. Bd. 61. N 3. S. 127.
61. Ribes M., Olivier-Fourcade J., Philippot E., Maurin M. // Acta crystallogr. 1974. Vol. B30. N 6. P. 1391-1395.
62. Jumas J.-c., Ribes M., Philippot E., Maurin M. // C.r. Acad. sci. 1972. Vol. C275. N 4. P. 269-272.
63. Yamaoka S., Okai B. // Mater. Res. Bull. 1970. Vol. 5 N 10. P. 789-794.
64. Bok L.D.C., Boeyens J.C.A. // J. South African Chem. Inst. 1957. Vol. 10, N 2. P. 49-53.
65. Топтыгина Г.М., Кочеткова Н.В., Евдокимов В.И. // Комплекс. использ. минеральн. сырья. 1979. № I. С. 46-51.
66. Морозов И.С., Ли Чи-фа. // Журн. неорган. химии. 1963. Т. 9, № 7. С. 1688-1692.
67. Strauss A.J., Harman T.C. // J. Electron Mater. 1973. Vol. 2, N 1. P. 71-85.
68. Simpson D.K. // Econ. Geol. 1964. Vol. 59, N 1. P. 150-153.
69. Wright H.D., Barnard W.M., Halbig J.B. // Econ. Geol. 1964. Vol. 59, N 7. P. 1424.
70. Синдеева Н.Д., Годовиков А.А. // Докл. АН СССР. 1959. Т. I27. № 2. С. 43I-434.
71. Darrow M.S., White W.B., Roy R. // J. Mater. Sci. 1969. Vol. 4, N 4. P. 313-319.
72. Громаков С.Д., Зороацкая И.В., Латыпов З.М. и др. // Журн. неорган. химии. 1964. Т. 9. № IO. С. 2485-2487.
73. Новоселова А.В., Зломанов В.П., Гаськов А.М. и др. // Журн. неорган. химии. 1986. Т. 3I, № II. С. 2957-2967.
74. Кузнецова Л.А., Штанов В.И., Зломанов В.П., Кузнецов В.Л. // Изв. АН СССР. неорган. материалы. 1987. Т. 23, № 3. С. 390-393.
75. Darrow M.S., White W.B., Roy R. // Mater. Sci. and Eng. 1969. Vol. 3, N 5, P. 289-292.
76. Leute V., Volkmer N. // Z. phys. Chem. (BRD). 1985. Bd, 144. S. 145-155.
77. Малевский А.Ю. // Докл. АН СССР. 1963. Т. I52, № I. С. I9I-I93.
78. Романенко В.Н., Сидоров А.Ф. // Изв. АН СССР. Неорган. материалы. 1975. Т. II, № 3. С. 432-437.
79. Darrow M.C., White W.B., Roy R. // Trans. Metallurg. Soc. AIME. 1966. Vol. 236, N 5. P. 654-658.
80. Талакин К.Н., Цвейбак И.Я., Соколов И.А., Карпухин В.В. // Расплавы. 1987. Т. I, № 3. С. I23-I25.
81. Талакин К.Н., Цвейбак И.Я., Соколов И.А. // Расплавы. 1988. Т. 2, № 6. С. 8I-83.
82. Демин В.Н., Букреева И.Г., Гаськов А.М. и др. // Изв. АН СССР. Неорг. материалы. 1986. Т. 22, № I. С. 33-35.

83. Касимов С., Регель А.Р., Субашиев В.К. // ФТТ. 1967. Т. 9, № 12. С. 3653-3654.
84. Новоселова А.В., Один И.Н., Поповкин Б.А. // Изв. АН СССР. Неорган. материалы. 1970. Т. 6, № 2. С. 381-382.
85. Rabenau A., Rau H. // Z. anorg. und allg. Chem. 1969. Bd. 369, N 3/6. S.295-305.
86. Bell M.C., Flengas S.N. // J. Electrochem. Soc. 1966. Vol. 113, N 1. P. 31-37.
87. Новоселова А.В., Один И.Н., Поповкин Б.А. // Изв. АН СССР. Неорган. материалы. 1970. Т. 6, № 2. С. 257-261.
88. Rabenau A., Rau H., Rosenstein G. // Naturwissenschaften. 1968. Bd. 55, N 2.S.82.
89. Пополитов В.И., Мининзон Ю.М. // Гидротермальный синтез и выращивание монокристаллов. М.: Наука, 1982. С. 149-157.
90. Hardt H.D., Scheepker H. // Naturwissenschaften. 1970. Bd. 57. N 1. S. 39.
91. Пополитов В.И., Мининзон Ю.М., Лобачев А.Н. // Изв. АН СССР. Неорган. материалы. 1982. Т. 18, № 7. С. II130-II135.
92. Новоселова А.В., Один И.Н., Федоссеева И.Н., Поповкин Б.А. // Изв. АН СССР. Неорган. материалы. 1970. Т. 6, № 1. С. 135-137.
93. Пополитов В.И., Плахов Г.Ф. // Изв. АН СССР. Неорган. материалы. 1989. Т. 25, № 5. С. 726-730.
94. Новоселова А.В., Асланов Л.А. // Докл. АН СССР. 1967. Т. I72. № 2. С. 357-360.
95. Stezzel W., Horn J. // Z. anorg. und allg. Chem. 1970. Bd. 376, N 3. S. 254-260.
96. Stezzel W. // Naturwissenschaften. 1966. Bd. 53, N 8. S. 199.
97. Lelieveld R., Ijdo D.J.W. // Acta crystallogr. 1978. Vol. B34, N 11. P. 3348-3349.
98. Hincu I. // Bull. Inst. politehn. Iasi. 1971. Sec. 2. Vol. 17. N. 3-4. P. 35-47.
99. Hincu I., Golgotiu T. // Bul. Inst. politehn. Iasi. 1973. Sec. 2. Vol. 19. N 1-2. P. 25-33.
100. Приц И.П., Поторий М.В., Ворошилов Ю.В. // Укр. хим. журн. 1989. Т. 55, № 2. С. 135-137.
101. Carpentier C.D., Nitsche R. // Mater. Res. Bull. 1974. Vol. 9, N 4. P. 401-410.
102. Klingen W., Ott R., Hahn H. // Z. anorg. und allg. Chem. 1973. Bd. 396, N 3. S. 271-278.
103. Post E., Kramer V. // Mater. Res. Bull. 1984. Vol. 19, N 12. P. 1607-1612.
104. Исабаев С.М., Жумашев К., Полукаров А.Н.// Рукопись деп. в ВНИИТИ, № 5II13-80 Деп.
105. Жумашев К. // Термич. анализ и фазовые равновесия. Пермъ: Перм. гос. ун-т, 1983. С. 67-70.
106. Krebs H., Grün K., Kallen D., Lippert W. // Z. anorg. und allg. Chem. 1961. Bd. 308. N 1/6. S. 200-211.
107. Kutoglu A. // Neues Jahrb. Mineral. Monatsh. 1969. N 2. S. 68-72.
108. Коломиец Б.Т., Поляков Ю.А. // Изв. АН СССР. Неорган. материалы. 1965. Т. I, № 5. С. 721-724.
109. Гуршумов А.П., Мургузов М.И., Наджафова З.З. и др. // Журн. неорган. химии. 1986. Т. 31, № 1. С. 264-266.
110. Заргарова М.И., Каҳраманов К.Ш., Рошаль Р.М. // Изв. АН СССР. Неорган. материалы. 1975. Т. II, № 6. С. II138-II139.
- III. Craig J.R., Chang L.L.Y., Lees W.R. // Can. Miner. 1973. Vol.12, N 3. P. 199-206.
- II2. Garvin P.L. // Neues Jahrb. Mineral. Abh. 1973. Bd. 118, N 3. S. 235-267.
- II3. Salanci B., Moh G.H. // Neues Jahrb. Mineral. Monatsh. 1970. N 11. S. 524-527.
- II4. Дмитрив А.Ю. // Рукопись деп. в УкрНИИТИ, № 369Ук-Д83.
- II5. Frumar M. // Collect. Czech. Chem. Comms. 1969. Vol. 34, N 10. P. 2865-2872.

- I16. Tilley R.J.D., Wright A.C. // *Chem. Scr.* 1987. Vol. 27, N 3. P. 459-465.
- I17. Portheine J.C., Nowacki W. // *Z. Kristallogr.* 1975. Bd. 141, N 1/2. S. 79-96.
- I18. Harris D.C. // *Can. Miner.* 1965. Vol. 8, N 3. P. 381-382.
- I19. Smith P.P.K., Hyde B.G. // *Acta crystallogr.* 1983. Vol. C39, N 11. P. 1498-1502.
- I20. Дмитриев А.Ю. // Вестн. Львовск. политехн. ин-та. 1975. № 94. С. 14-18.
- I21. Edenhalter A. // *Z. Kristallogr.* 1980. Bd. 151, N 3/4. S. 193-202.
- I22. Tilley R.J.D., Wright A.C. // *J. Solid State Chem.* 1986. Vol. 64, N 1. P. 1-21.
- I23. Рустамов П.Г., Аждарова Д.С., Сафаров М.Г. // Журн. неорган. химии. 1977. Т. 22, № 10. С. 2867-2870.
- I24. Долгих В.А. // Изв. АН СССР. Неорган. материалы. 1985. Т. 2I. № 7. С. I2I5-I2I8.
- I25. Долгих В.А. // Изв. АН СССР. Неорган. материалы. 1985. Т. 2I, № 7. С. I2II-I2I4.
- I26. Salancı B. // *Neues Jahrb. Mineral. Minatsh.* 1965. N 12. S. 384-388.
- I27. Salancı B., Moh H.G. // *Neues Jahrb. Mineral. Abh.* 1969. Bd. 112, N 1. S. 63-95.
- I28. Господинов Г.Г., Один И.Н., Новоселова А.В. // Докл. Болг. АН. 1974. Т. 27, № 7. С. 933-936.
- I29. Годовиков А.А., Кляхин В.А., Федорова Ж.Н., Лейбсон Р.М. // Материалы по генетической и экспериментальной минералогии. Новосибирск: Наука, 1967. Т. 5. С. 10-13.
- I30. Малевский А.Ю., Рихтер Т.Л., Верес Г.И. // Тр. Ин-та минералогии, геохимии и кристаллохимии редких элементов. М., 1963. Вып. I8. С. 30-43.
- I31. Tilley R.J.D., Wright A.C. // *J. Solid State Chem.* 1986. Vol. 65, N. 1. P. 45-62.
- I32. Bok L.D.C., Wit J.H. // *Z. anorg. und allg. Chem.* 1963. Bd. 324, N 3/4. S. 162-167.
- I33. Садыхова С.А., Сафаров М.Г., Рустамов П.Г. // Журн. неорган. химии. 1977. Т. 22, № 10. С. 283I-2835.
- I34. Iitaka Y., Nowacki W. // *Acta crystallogr.* 1962. Vol. 15, N 7. P. 691-698.
- I35. Гасымов В.А., Мамедов Х.С. // Азерб. хим. журн. 1978, № 5. С. II5-II9.
- I36. Prodan A., Bakker M., Versteegh M., Hyde B.G. // *Phys. and Chem. Mineral.* 1982. Vol. 8, N 4. P. 188-192.
- I37. Srikbishnan T., Nowacki W. // *Z. Kristallogr.* 1974. Bd. 140, N 1/2. S. 114-136.
- I38. Weitz G., Hellner E. // *Z. Kristallogr.* 1960. Bd. 113. S. 385-402.
- I39. Даценко А.М., Разважной Е.М., Чащин В.А. // Тр. Моск. хим.-технол. ин-та. 1981. № I20. С. 32-34.
- I40. Guemas L., Rabu P., Meerschaut A., Rouxel J. // *Mater. Res. Bull.* 1988. Vol. 23, N 7. P. 1061-1069.
- I41. Amberger E., Polborn K., Grimm P. // *Acta crystallogr.* 1985. Vol. C41, N 3. P. 306-307.
- I42. Yazawa Akira, Gubcova A. // *Trans. Metallurg. Soc. AIME.* 1967. Vol. 239, N 12. P. 2004-2005.
- I43. Guillevic J., Lestrat H., Grandjean D. // *Acta crystallogr.* 1976. Vol. B32, N 5. P. 1342-1345.
- I44. Hauck J. // *Mater. Res. Bull.* 1977. Vol. 12, N 10. P. 1015-1019.
- I45. Krabbes G., Oppermann H. // *Crast. Res. and Technol.* 1981. Vol. 16, N 7, p. 777-784.
- I46. Krabbes G., Oppermann H. // *Z. anorg. und allg. Chem.* 1981. Bd. 481, N 10. S. 13-21.

- I47. Marezio M., Dernier P.D., Remeika J.P. // Mater. Res. Bull. 1973. Vol. 8, N 6. Р. 657-668.
- I48. Федоров В.Е., Мищенко А.В., Логвиненко З.М., Кирик С.Д. // Изв. АН СССР. неорган. материалы. 1982. Т. I8, № I. С. 23-28.
- I49. Nanjundaswamy K.S., Vasanthacharya N.Y., Gopalakrishnan J., Rao C.N.R. // Inorg. Chem. 1987. Vol. 26, N 25. Р. 4286-4288.
- I50. Рикель М.О., Алексеева З.М. // Изв. АН СССР. Неорган.материалы. 1981. Т. I7, № II. С. 2089-2094.
- I51. Ванярхо В.Г., Зломанов В.П., Новоселова А.В., Новожилов А.Ф. // Изв. АН СССР. Неорган. материалы. 1973. Т. 9, № 2. С. 313-314.
- I52. Уразов Г.Г., Воробьев П.А., Айнбinder Я.В. // Металлургия. 1936. № 2. С. 9-26; № 3. С. 15-27.
- I53. Brett R., Kullerud G. // Econ. Geol. 1967. Vol. 62, N 3. Р. 354-365.
- I54. Копылов Н.И., Смаилов Д.Б., Минкевич С.М., Тогузов М.З. // Журн. неорган. химии. 1977. Т. 22, № 4. С. 1069-1073.
- I55. Исакова Р.А., Шендяпин А.С., Нестеров В.Н. // Тр. Ин-та металлургии и обогащения АН КазССР. Алма-Ата, 1964. Т. II. С. 160-162.
- I56. Zabel M., Wandinger S., Range K.-J. // Z. Kristallogr. 1979. Bd. 149, N 1/2. S 157.
- I57. Zabel M., Wandinger S., Range K.-J. // Z. Naturforsch. 1979. Bd. B34, N 2. S. 238-241
- I58. Заргарова М.И., Каҳраманов К.Ш., Рошаль Р.М., Гусейнов Г.Г. // Изв. АН СССР. Неорган. материалы. 1976. Т. I2, № 9. С. 1557-1559.
- I59. Michelet A., Collin G. // J. Less-Common Metals. 1976. Vol. 45, N 2. Р. 185-191.
- I60. Заргарова М.И., Каҳраманов К.Ш., Рошаль Р.М. // Изв. АН СССР. Неорган. материалы. 1975. Т. II, № I. С. 165.

## Г л а в а 10

### СИСТЕМА НА ОСНОВЕ PbSe

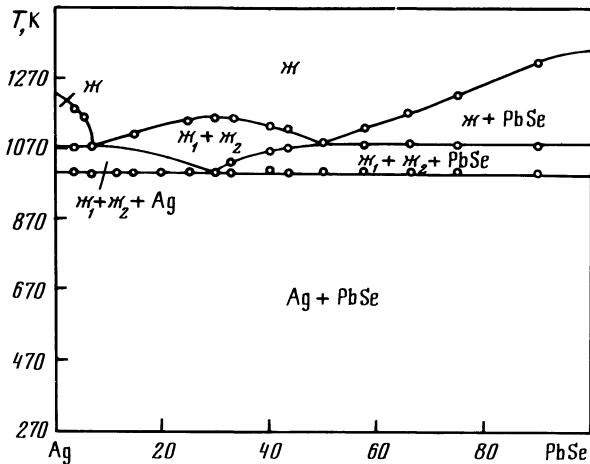
#### Система PbSe-CuBiSe<sub>2</sub>

В системе PbSe-CuBiSe<sub>2</sub> образуется соединение CuPbBiSe<sub>3</sub>, плавящееся при 778 К и кристаллизующееся в кубической структуре с параметром элементарной ячейки  $a = 6,046 \text{ \AA}$ , рентгенографической и пикнометрической плотностью 5,38 и 5,34 г/см<sup>3</sup> соответственно и шириной запрещенной зоны 0,07 эВ [17].

#### Система PbSe-Ag

Диаграмма состояния системы PbSe-Ag представлена на рис. 10.1 [2]. Эвтектика кристаллизуется при 1015 К. В интервале 1015-1089 К наблюдается расслаивание. В тройной системе Pb-Ag-Se имеются две области расслаивания, разделенные квазибинарным сечением PbSe-Ag<sub>2</sub>Se. В подсистеме PbSe-Ag<sub>2</sub>Se-Se тройная эвтектика вырождена и по температуре совпадает с температурой плавления Se, в подсистеме PbSe-Ag<sub>2</sub>Se-Ag - кристаллизуется при 929 К, а в подсистеме PbSe-Ag-Pb - 563 К.

Система исследована методами ДТА, РФА и МСА, а также измерением микротвердости [2].



Р и с. I0.1. Диаграмма состояния системы PbSe-Ag [2]

#### Система PbSe-AgGaSe<sub>2</sub>

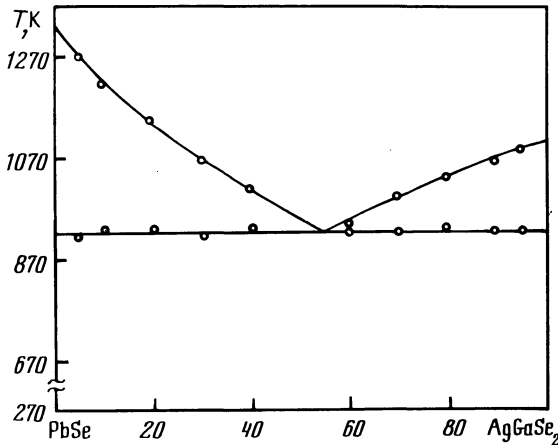
Диаграмма состояния системы PbSe-AgGaSe<sub>2</sub> (рис. I0.2) эвтектического типа [3]. Эвтектика содержит 45 % AgGaSe<sub>2</sub> и кристаллизуется при 928 К. Взаимной растворимости исходных компонентов не обнаружено.

Система исследована методами ДТА и РФА [3].

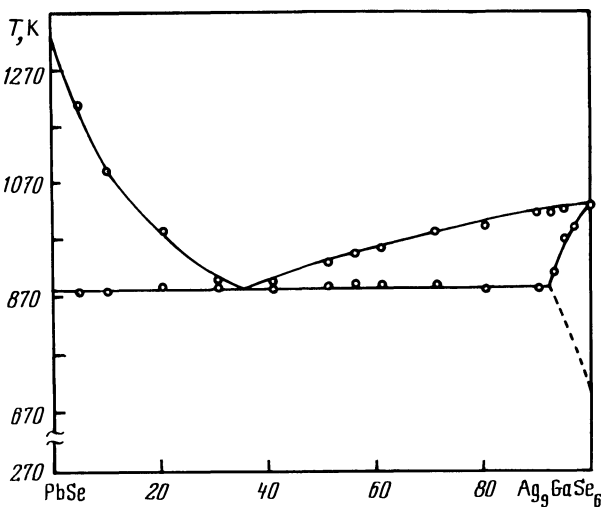
#### Система PbSe-Ag<sub>9</sub>GaSe<sub>6</sub>

Диаграмма состояния системы PbSe-Ag<sub>9</sub>GaSe<sub>6</sub> (рис. I0.3) эвтектического типа [3]. Эвтектика содержит 65 % PbS и кристаллизуется при 880 К. Со стороны Ag<sub>9</sub>GaSe<sub>6</sub> существуют ограниченные твердые растворы. При комнатной температуре растворимости PbSe в Ag<sub>9</sub>GaSe<sub>6</sub> не обнаружено.

Система исследована методами ДТА и РФА [3].



Р и с. I0.2. Диаграмма состояния системы PbSe-AgGaSe<sub>2</sub> [3]



Р и с. I0.3. Диаграмма состояния системы  $\text{PbSe}-\text{Ag}_9\text{GaSe}_6$  [3]

#### Система $\text{PbSe}-\text{AgBiSe}_2$

В системе  $\text{PbSe}-\text{AgBiSe}_2$  образуется соединение  $\text{AgPbBiSe}_3$ , плавящееся при 1014 К и имеющее ширину запрещенной зоны 0,13 эВ [1].

#### Система $\text{PbSe}-\text{AgSe}$

Система  $\text{PbSe}-\text{AgSe}$  является неквазибинарным сечением тройной системы  $\text{Pb}-\text{Ag}-\text{Se}$  [2]. Термические эффекты при 401 К соответствуют фазовому превращению  $\text{Ag}_2\text{Se}$ , при 489 К - тройной эвтектике, при 739 К - монотектической реакции. Растворимость  $\text{AgSe}$  в  $\text{PbSe}$  при 870 К составляет 0,25 %. Состав  $\text{AgSe}$  находится в области расслаивания бинарной системы  $\text{Ag}-\text{Se}$ .

Исходные образцы отжигали при 870 К в течение 48 ч. Система исследована методами ДТА, РФА и МСА, а также измерением микротвердости [2].

#### Система $\text{PbSe}-\text{Ag}_2\text{Se}$

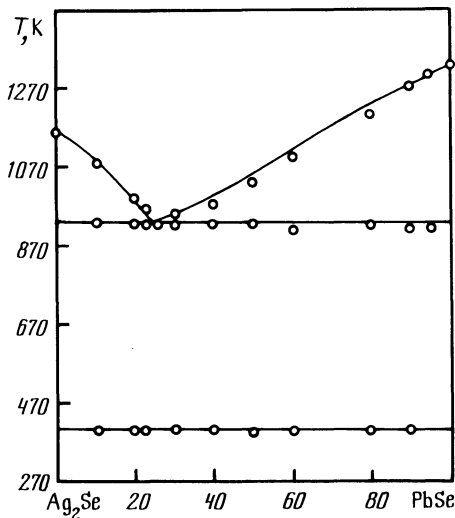
Диаграмма состояния системы  $\text{PbSe}-\text{Ag}_2\text{Se}$  (рис. I0.4) эвтектического типа [2,4]. Эвтектика содержит 25 %  $\text{PbSe}$  и кристаллизуется при 933 К. Растворимость  $\text{Ag}_2\text{Se}$  в  $\text{PbSe}$  при 870-920 К составляет 0,20-0,25 %.

Исходные образцы отжигали при 920 К в течение 220-250 ч [4] (при 870 К в течение 48 ч [2]). Система исследована методами ДТА, РФА и МСА, а также измерением микротвердости [2,4].

#### Система $\text{PbSe}-\text{Au}$

Диаграмма состояния системы  $\text{PbSe}-\text{Au}$  (рис. I0.5) эвтектического типа с монотектическим превращением [5]. Эвтектика кристаллизуется при 1228 К. В интервале 1228-1291 К наблюдается расслаивание. При 620-870 К растворимость Au в  $\text{PbSe}$  непрерывно растет с температурой [6]. Начиная с 920 К

Р и с. I0.4. Диаграмма состояния системы PbSe-Ag<sub>2</sub>Se [2]



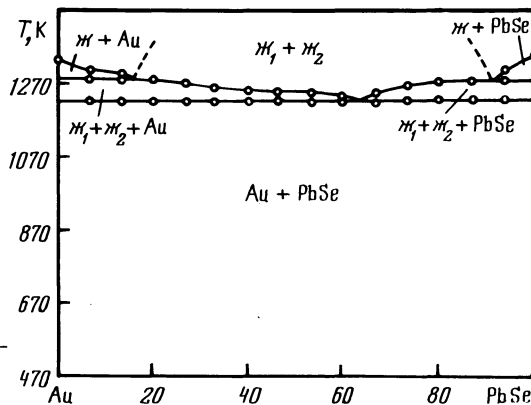
происходит оплавление позолоченных поверхностей образцов PbSe, что свидетельствует об образовании на поверхности новой фазы.

Схема проекции поверхности ликвидуса тройной системы Pb-Au-Se приведена в [5]. Система исследована методами ДТА, РФА и МСА [5].

#### Система PbSe-MgSe

Растворимость MgSe в PbSe при 1070 К достигает 6 %, а при 670 К - 0,5 % [7]. В области твердых растворов параметр элементарной ячейки в зависимости от состава изменяется согласно правилу Вегарда. При содержании 3 и 6 % MgSe равновесный коэффициент распределения MgSe в PbSe равен соответственно 0,99 и 0,70, что свидетельствует о понижении температуры ликвидуса при увеличении содержания MgSe.

Исходные образцы отжигали при 670-1020 К. Монокристаллы твердых растворов, содержащих 6 % MgSe, получали методом Бриджмена.



Р и с. I0.5. Диаграмма состояния системы PbSe-Au [5]

### Система PbSe-Zn

Растворимость Zn в PbSe в интервале 970-1170 К имеет ретроградный характер и лежит в пределах  $8 \cdot 10^{18}$ - $5 \cdot 10^{20} \text{ см}^{-3}$  [8].

Исходные образцы отжигали при 970-1150 К в течение 20-123 ч. Растворимость Zn в PbSe определяли с помощью радиоактивных изотопов [8].

### Система PbSe-ZnS

Диаграмма состояния системы PbSe-ZnS (рис. I0.6) эвтектического типа [9]. Эвтектика содержит 18 % ZnS и кристаллизуется при 1292 К. Взаимная растворимость PbSe и ZnS не превышает 1 %.

Система исследована методами ДТА, РФА и МСА [9].

### Система PbSe-ZnSe

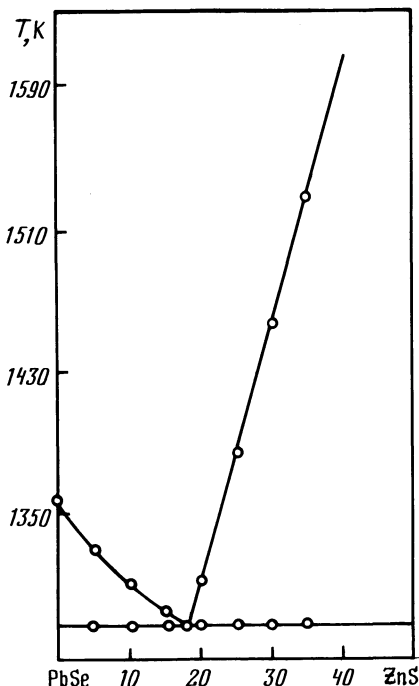
Диаграмма состояния системы PbSe-ZnSe (рис. I0.7) эвтектического типа [9]. Эвтектика содержит 22 % ZnSe и кристаллизуется при 1283 К.

Взаимная растворимость PbSe и ZnSe не превышает 1 %.

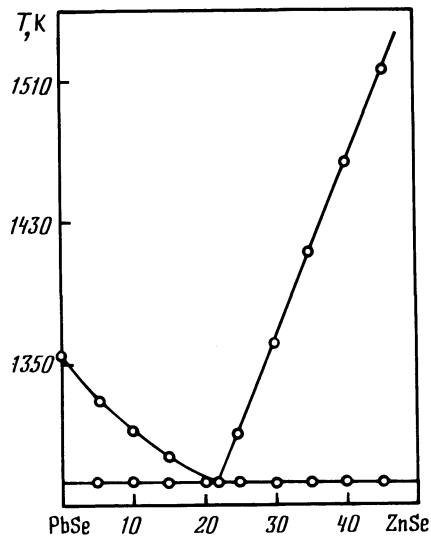
Система исследована методами ДТА, РФА и МСА [9].

### Система PbSe-Cd

Растворимость Cd в PbSe в интервале 970-1170 К имеет ретроградный характер и лежит в пределах  $8 \cdot 10^{18}$ - $5 \cdot 10^{20} \text{ см}^{-3}$  [8].



Р и с. I0.6. Часть диаграммы состояния системы PbSe-ZnS [9]



Р и с. I0.7. Часть диаграммы состояния системы PbSe-ZnSe [9]

Исходные образцы отжигали при 970-II50 К в течение I2,5-93 ч. Растворимость Cd в PbSe определяли с помощью радиоактивных изотопов [8].

#### Система PbSe-CdS

Диаграмма состояния системы PbSe-CdS (рис. I0.8) эвтектического типа [10]. Эвтектика содержит 42 % CdS и кристаллизуется при 1273 К. Растворимость PbSe в CdS при эвтектической температуре составляет 33 % (30 % при 1270 К [33]), при 1070 К - II % и при 1020 К - 9 %, а растворимость PbSe в CdS не превышает I %.

Исходные образцы отжигали при 1020 и 1070 К в течение I00 ч. Система исследована методами ДТА, РФА и МСА, а также измерением микротвердости [10].

#### Система PbSe-CdSe

Диаграмма состояния системы PbSe-CdSe (рис. I0.9) эвтектического типа [12]. Эвтектика содержит 46 % CdSe и кристаллизуется при 1268 К. Неквазибинарность системы [13] не подтверждена [12].

Растворимость CdSe в PbSe при эвтектической температуре составляет 30 % [12], а при 1210, 1070 и 870 К - соответственно 26, 12 и 6 % [7, 13]. Растворимость PbSe в CdSe при эвтектической температуре не превышает I % [12]. Система исследована методами ДТА, МСА и измерения микротвердости [12].

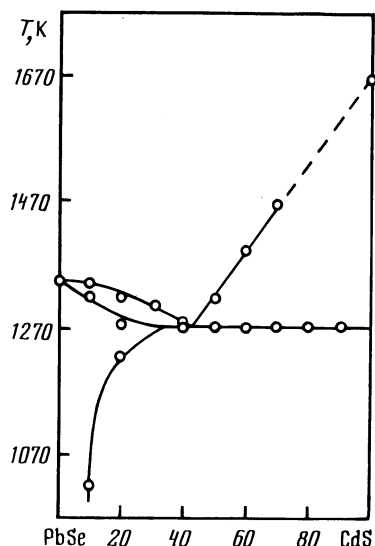


Рис. I0.8. Диаграмма состояния системы PbSe-CdS [10]

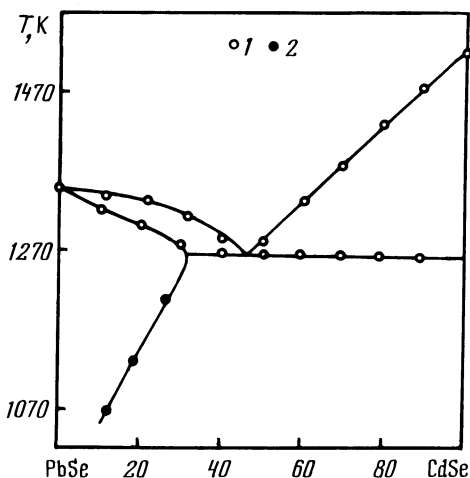


Рис. I0.9. Диаграмма состояния системы PbSe-CdSe [12]

I - ДТА, 2 - РФА

## Система PbSe-CdTe

Система PbSe-CdTe является неквазибинарным диагональным сечением тройной взаимной системы Pb, Cd и Se, Te (рис. I0.I0) [14]. В интервале 60-70 % CdTe твердые растворы CdSe<sub>x</sub>Te<sub>1-x</sub> претерпевают переход вюрцит-сфалерит, поэтому в узкой области (не более 3 %) в равновесии в твердом состоянии находятся три фазы: твердые растворы на основе PbSe и твердые растворы CdSe<sub>x</sub>Te<sub>1-x</sub> со структурами вюрцита и сфалерита. Трехфазное равновесие имеет место при 1158 К и 38 % CdTe. Растворимость CdTe в PbSe максимальна (27,5 %) при 1150 К, а растворимость PbSe в CdTe при 1120 К не превышает 2,5 %. В области твердых растворов на основе PbSe параметр элементарной ячейки в зависимости от состава изменяется согласно правилу Вегарда.

Исходные образцы отжигали при 860, 1080 и 1100 К.

Система исследована методами ДТА, РФА и МСА, а также измерением микротвердости [14].

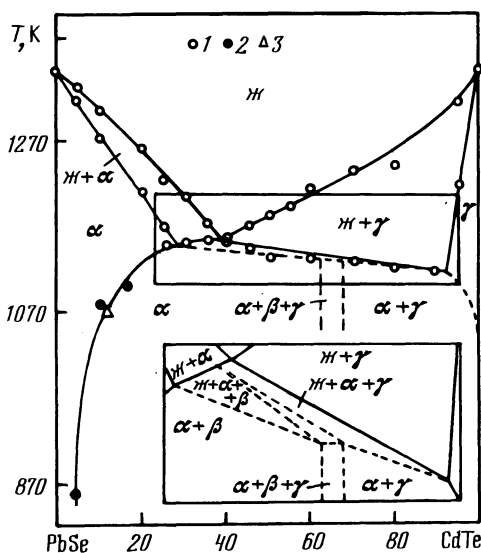


Рис. I0.I0. Политермическое сечение PbSe-CdTe [14]  
1 - ДТА, 2 - РФА, 3 - МСА

## Система PbSe-HgSe

Диаграмма состояния системы PbSe-HgSe (рис. I0.II) эвтектического типа [15-18]. Эвтектика содержит 70 % HgSe и кристаллизуется при 963 К [15-17] (969 К [18]). Растворимость HgSe в PbSe при эвтектической температуре составляет 6,7 %, при 900 К - 5 %, при 800 К - 3 %, при 750 К - 2,5 % и при 700 К - 1,5 %, а растворимость PbSe в HgSe при этих же температурах не превышает 0,5 % [18].

Исходные образцы отжигали при 1090 К [15-17]. Система исследована методами ДТА, РФА и МСА, а также измерением микротвердости [15-18].

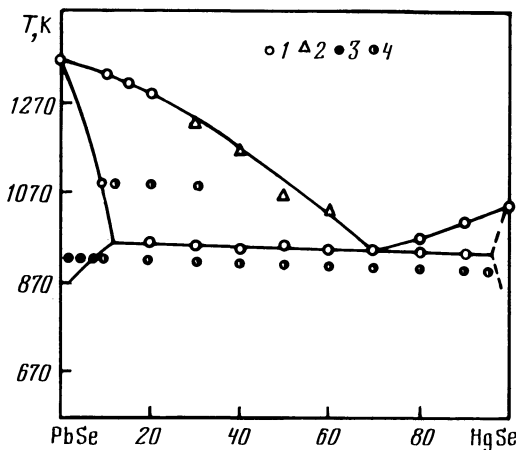


Рис. I0.II. Диаграмма состояния системы PbSe-HgSe  
[15-17]

1 - нагревание, 2 - охлаждение, 3 - одно и 4 - двухфазные образцы

#### Система PbSe-Al<sub>2</sub>Se<sub>3</sub>

В системе PbSe-Al<sub>2</sub>Se<sub>3</sub> образуется соединение PbAl<sub>2</sub>Se<sub>4</sub>, кристаллизующееся в ромбической структуре с параметрами элементарной ячейки  $a = 6,36 \text{ \AA}$ ,  $b = 10,53 \text{ \AA}$ ,  $c = 10,78 \text{ \AA}$ , рентгенографической и пикнометрической плотностью 5,26 и 5,23 г/см<sup>3</sup> соответственно [19].

#### Система PbSe-GaSe

Диаграмма состояния системы PbSe-GaSe (рис. I0.I2) эвтектического типа [20,21]. Эвтектика содержит 40 % GaSe и кристаллизуется при 945 К [20], (50 % GaSe и 973 К [21]). Растворимость GaSe в PbSe достигает 4 %, а PbSe в GaSe - 1 % [20]. Обнаружение в системе соединения PbGa<sub>2</sub>Se<sub>4</sub> [21,22], по-видимому, объясняется неравновесностью образцов.

В тройной системе Pb-Ga-Se имеется широкая область расслаивания, призывающая к стороне Ga-Se [22].

Исходные образцы отжигали при 620 К в течение 150 ч. Система исследована методами ДТА, РФА и МСА, а также измерением микротвердости и плотности [20-22].

#### Система PbSe-Ga<sub>2</sub>Se<sub>3</sub>

Диаграмма состояния системы 2PbSe-Ga<sub>2</sub>Se<sub>3</sub> представлена на рис. I0.I3 [21,22]. В системе образуется соединение PbGa<sub>2</sub>Se<sub>4</sub>, плавящееся инконгруэнтно при 1053 К и кристаллизующееся в ромбической структуре с параметрами элементарной ячейки  $a = 10,64 \text{ \AA}$ ,  $b = 10,77 \text{ \AA}$ ,  $c = 6,36 \text{ \AA}$  [21,22] ( $a = 21,37 \text{ \AA}$ ,  $b = 21,47 \text{ \AA}$ ,  $c = 12,73 \text{ \AA}$  [19]), рентгенографической и пик-

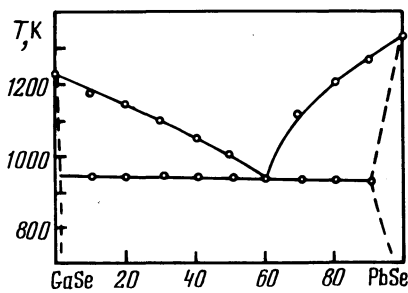


Рис. 10.12. Диаграмма состояния системы  $\text{PbSe}-\text{GaSe}$  [20, 21]

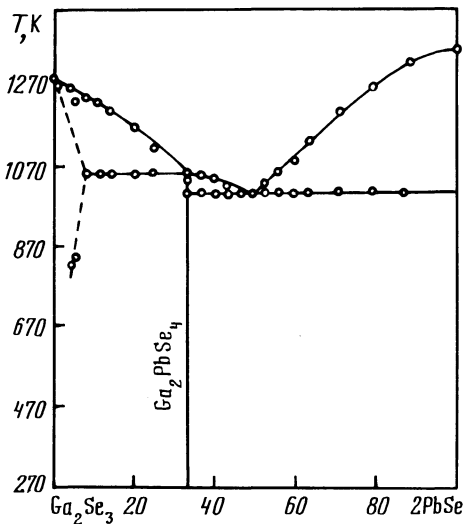


Рис. 10.13. Диаграмма состояния системы  $2\text{PbSe}-\text{Ga}_2\text{Se}_3$  [22]

нометрической плотностью 6,04 и 6,36 г/см<sup>3</sup> соответственно [21, 22] (6,03 и 5,97 г/см<sup>3</sup> [19]), Эвтектика содержит 50 %  $\text{Ga}_2\text{Se}_3$  и кристаллизуется при 1005 К. Растворимость  $\text{PbSe}$  в  $\text{Ga}_2\text{Se}_3$  при эвтектической температуре достигает 8 % ( $2\text{PbSe}$ ), а при 820 К - 4 %  $2\text{PbSe}$  [22].

Исходные образцы отжигали при 970 К в течение четырех дней [22]. Система исследована методами ДТА и РФА [21, 22].

#### Система $\text{PbSe-In}$

Система  $\text{PbSe-In}$  является неквазибинарным сечением тройной системы  $\text{Pb-In-Se}$  [23], пересекающим поля первичной кристаллизации  $\text{PbSe}$ ,  $\text{InSe}$ ,  $\text{In}_2\text{Se}$  и  $\text{In}$ . Термические эффекты при 873 К обусловлены началом совместной кристаллизации  $\text{PbSe}$  и  $\text{InSe}$ , при 548 К - кристаллизацией тройной эвтектики, а при 523 К - тройной перитектики. Растворимость  $\text{In}$  в  $\text{PbSe}$  при 870 К составляет 1,5 %, а при 300 К - 0,1 % [23]. Согласно [8] растворимость  $\text{In}$  в  $\text{PbSe}$  в интервале 970-1170 К имеет ретроградный характер и лежит в пределах  $8 \cdot 10^{18} - 5 \cdot 10^{20} \text{ см}^{-3}$ .

На поверхности ликвидуса тройной системы  $\text{Pb-In-Se}$  (рис. 10.14) имеются 9 полей первичной кристаллизации фаз, а также области расслаивания, ограниченные на рис. 10.14 пунктирными линиями [23, 24]. Фазовые равновесия в системе обусловлены шестью эвтектическими и двумя перитектическими процессами (табл. 10.1).

Исходные образцы отжигали при 970-II50 К в течение 100-136 ч [8]. Система исследована методами ДТА и МСА, а также измерением микротвердости [23]. Растворимость  $\text{In}$  в  $\text{PbSe}$  определяли с помощью радиоактивных изотопов [8].

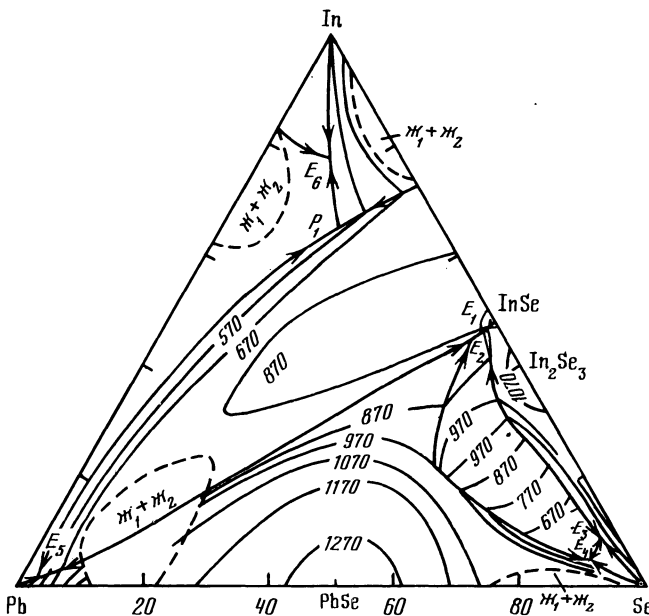


Рис. I0.14. Поверхность ликвидуса тройной системы Pb-In-Se [23, 24]

Таблица I0.I

Нонвариантные равновесия в тройной системе Pb-In-Se [23, 34]

Обозначение	T, K	Реакция
E <sub>1</sub>	823	$\text{ж} \rightleftharpoons \text{A} + \text{InSe} + \text{In}_5\text{Se}_6$
E <sub>2</sub>	773	$\text{ж} \rightleftharpoons \text{A} + \text{InSe} + \text{PbSe}$
E <sub>3</sub>	443	$\text{ж} \rightleftharpoons \text{A} + \text{In}_2\text{Se}_3 + \text{Se}$
E <sub>4</sub>	423	$\text{ж} \rightleftharpoons \text{A} + \text{PbSe} + \text{Se}$
E <sub>5</sub>	548	$\text{ж} \rightleftharpoons \text{PbSe} + \text{InSe} + \text{Pb}$
E <sub>6</sub>	353	$\text{ж} \rightleftharpoons \text{In}_2\text{Se} + \text{Pb} + \text{In}$
P <sub>1</sub>	568	$\text{ж} + \text{InSe} \rightleftharpoons \text{In}_2\text{Se} + \text{Pb}$
P <sub>2</sub>	838	$\text{ж} + \text{In}_2\text{Se}_3 \rightleftharpoons \text{A} + \text{In}_5\text{Se}_6$

Примечание. A - PbIn<sub>2</sub>Se<sub>4</sub>.

#### Система PbSe-InSe

Диаграмма состояния системы PbSe-InSe (рис. I0.15) эвтектического типа [13, 25]. Эвтектика содержит 10 % PbSe и кристаллизуется при 823 K [25] (818 K [13]). Растворимость InSe в PbSe при эвтектической температуре составляет 4,5-5 % [13, 25], а при 870 K - 3,3 % [13].

Система исследована методами ДТА, РФА и МСА, а также измерением микротвердости, электропроводности и термоЭДС [13,25].

#### Система PbSe-Tl

Система PbSe-Tl является неквазибинарным сечением тройной системы Pb-Tl-Se [26]. Первичное выделение PbSe протекает в интервале 1358-813 К и заканчивается при содержании 60 % Tl. Далее, вплоть до чистого Tl, выделяется  $\delta$ -фаза бертолидного типа на основе соединения  $Tl_4PbSe$ . Термические эффекты при 813 К соответствуют началу совместной кристаллизации PbSe и  $\delta$ -фазы. Затвердевание всех сплавов заканчивается кристаллизацией твердых растворов на основе Pb. Термические эффекты при температурах ниже 505 К обусловлены полиморфным превращением Tl.

Поверхность ликвидуса тройной системы Pb-Tl-Se (рис. 10.16) состоит из областей первичной кристаллизации PbSe и  $\delta$ -твердых растворов на основе  $Tl_2Se$ , а также двух областей расслаивания [27]. Поверхности первичной кристаллизации Pb, Tl, Se и  $TlSe$  вырождены. При 300 К в системе имеется значительная область гомогенности на основе  $Tl_2Se$ .

Исходные образцы отжигали при 570 К в течение 300 ч [26]. Система исследована методами ДТА, РФА и МСА [26,27].

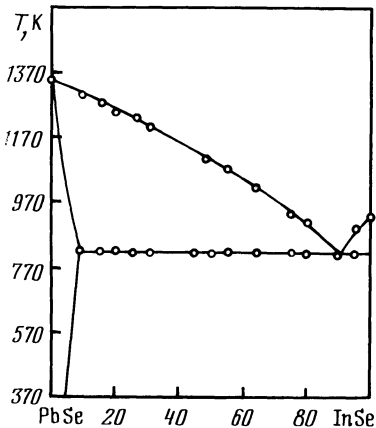


Рис. 10.15. Диаграмма состояния системы PbSe-InSe [25]

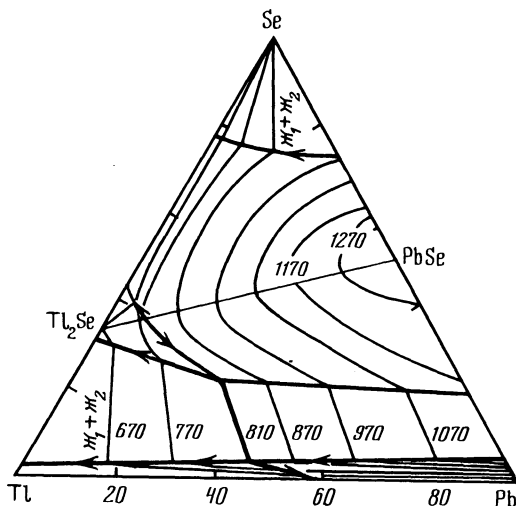


Рис. 10.16. Поверхность ликвидуса тройной системы Pb-Tl-Se [27]

#### Система PbSe-TlSbSe<sub>2</sub>

Система  $2PbSe-TlSbSe_2$  является неквазибинарным сечением четвертой системы Pb-Tl-Sb-Se, так как  $TlSbSe_2$  образуется по перитектической реакции [28]. Со стороны PbSe до содержания 40 % ( $2PbSe$ ) существует область твердых растворов.

Исходные образцы отжигали в ступенчатом режиме при 690 и 576 К в течение 240 ч при каждой температуре, так как  $Tl_5Se_2$  при 653 К претерпевает полиморфное превращение. Система исследована методами ДТА, РФА и МСА [28].

#### Система PbSe-Tl<sub>2</sub>Se<sub>2</sub>

Диаграмма состояния системы  $2PbSe-Tl_2Se_2$  (рис. I0.I7) принадлежит к типу I по классификации Розебома [29]. При температурах ниже 770 К в системе наблюдается распад твердых растворов. Соединение  $TlPb_2Se_3$  (температура плавления 870 К, кубическая структура,  $a = 6,274 \text{ \AA}$ , рентгенографическая и пикнометрическая плотность соответственно 5,76 и 5,73  $\text{г}/\text{см}^3$  [1]) не обнаружено [29].

Исходные образцы отжигали при 940 К в течение 720 ч. Система исследована методами ДТА, РФА и МСА [29].

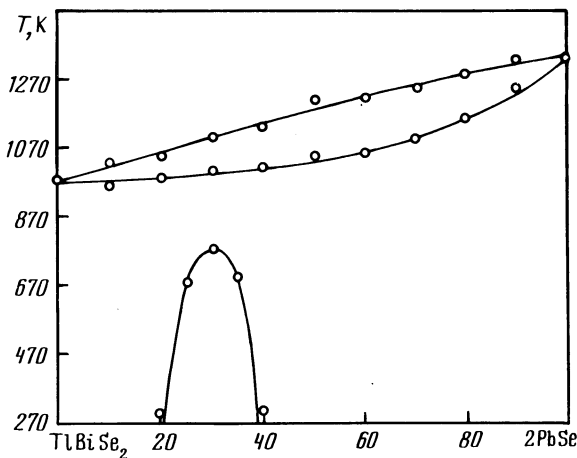


Рис. I0.I7. Диаграмма состояния системы  $2PbSe-Tl_2Se_2$  [19]

#### Система PbSe-TlSe

Диаграмма состояния системы  $PbSe-TlSe$  (рис. I0.I8) эвтектического типа [30]. Эвтектика вырождена со стороны  $TlSe$  и кристаллизуется при 609 К. Тройных соединений в системе не обнаружено [27,30].

Исходные образцы отжигали при 570 К в течение 100 ч [30] (при температурах ниже температуры эвтектики в течение 300-500 ч [27]). Система исследована методами ДТА, РФА и МСА, а также измерением микротвердости, электропроводности, термоЭДС и ЭДС концентрационных цепей [27,30].

#### Система PbSe-Tl<sub>2</sub>Se

Диаграмма состояния системы  $PbSe-Tl_2Se$  представлена на рис. I0.I9 [31]. В системе образуется соединение  $Tl_4PbSe_3$ , плавящееся конгруэнтно

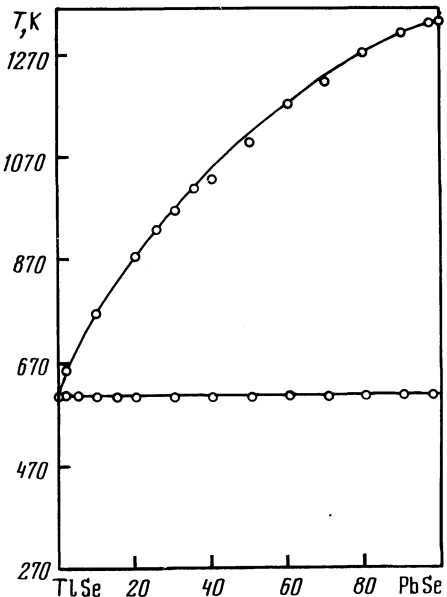


Рис. 10.18. Диаграмма состояния системы  $\text{PbSe}-\text{TlSe}$  [30]

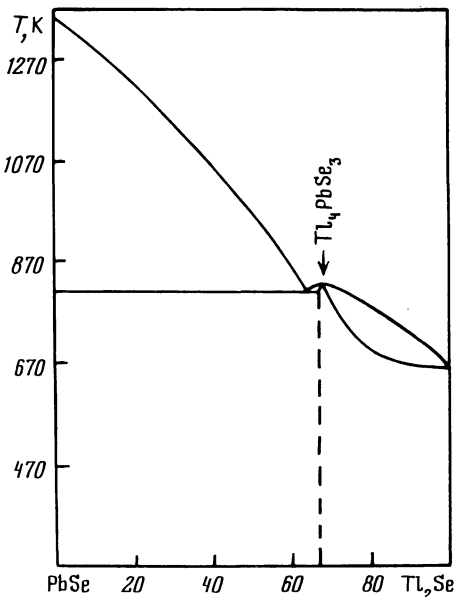


Рис. 10.19. Диаграмма состояния системы  $\text{PbSe}-\text{Tl}_2\text{Se}$  [31]

при 823 К и образующее непрерывные твердые растворы с  $\text{Tl}_2\text{Se}$ . Растворимость  $\text{PbSe}$  в  $\text{Tl}_2\text{Se}$  при 570 К не превышает 1 % [32].

Согласно [30, 32] диаграмма состояния указанной системы перитектического типа с перитектической горизонталью при 818 К [32] (823 К [31]). По данным [27, 30, 32] тройных соединений в системе не обнаружено.

Исходные образцы отжигали при 720 К в течение 350 ч [32] (при 570 К в течение 100 ч [30]; при температурах ниже температуры эвтектики в течение 300–500 ч [27]).

Система исследована методами ДТА, РФА и МСА, а также измерением микротвердости, электропроводности, термоЭДС и ЭДС концентрационных цепей [27, 30–32].

#### Система $\text{PbSe}-\text{La}_2\text{Se}_3$

Диаграмма состояния системы  $\text{PbSe}-\text{La}_2\text{Se}_3$  представлена на рис. 10.20 [33]. Две из трех эвтектик кристаллизуются при 1173 К, одна из которых содержит 13 %  $\text{La}_2\text{Se}_3$ . В системе образуются два конгруэнтно плавящихся соединения:  $\text{La}_2\text{PbSe}_4$ , претерпевающее полиморфные превращения при 1073 и 1273 К [33] и кристаллизующееся в кубической структуре с параметром элементарной ячейки  $a = 9,106 \text{ \AA}$  [34], и  $\text{La}_2\text{Pb}_4\text{Se}_7$ , претерпевающее полиморфное превращение при 993 К [33]. Соединения  $\text{La}_2\text{PbSe}_4$  и  $\text{La}_2\text{Pb}_4\text{Se}_7$

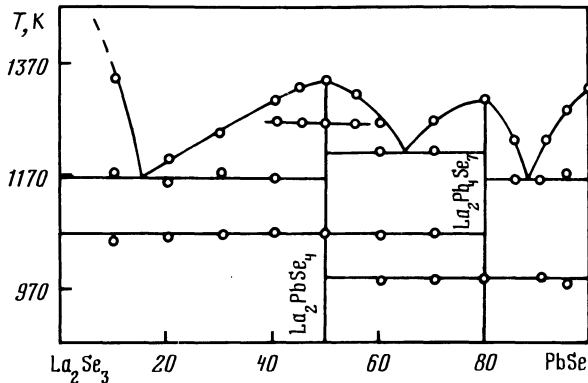


Рис. 10.20. Диаграмма состояния системы  $\text{PbSe}-\text{La}_2\text{Se}_3$   
[33]

являются полупроводниками р-типа с шириной запрещенной зоны соответственно I, 26 и 0,86 эВ [35]. Они частично гидролизуются на влажном воздухе, взаимодействуют с разбавленными и концентрированными минеральными кислотами и щелочами, не чувствительны к действию органических растворителей [33]. Согласно [34] в интервале 0-50 %  $\text{PbSe}$  в системе образуются твердые растворы, кристаллизующиеся в кубической структуре.

Система исследована методами ДТА, РФА и МСА, а также измерением микротвердости [33].

#### Система $\text{PbSe}-\text{Ce}_2\text{Se}_3$

Диаграмма состояния системы  $\text{PbSe}-\text{Ce}_2\text{Se}_3$  аналогична приведенной на рис. 10.20 [36]. Эвтектики кристаллизуются при 1173, 1223 и 1227 К. В системе образуются два соединения:  $\text{Ce}_2\text{PbSe}_4$ , плавящееся конгруэнтно при 1373 К, претерпевающее полиморфные превращения при 1123 и 1323 К [36] и кристаллизующееся в кубической структуре с параметром элементарной ячейки  $a = 9,045 \text{ \AA}$  [34], и  $\text{Ce}_2\text{Pb}_4\text{Se}_7$ , плавящееся конгруэнтно при 1348 К и претерпевающее полиморфное превращение при 1033 К [36]. Эти соединения частично гидролизуются на влажном воздухе, взаимодействуют с разбавленными и концентрированными минеральными кислотами и щелочами, не чувствительны к действию органических растворителей. Согласно [34] в интервале 0-50 %  $\text{PbSe}$  в системе образуются твердые растворы, кристаллизующиеся в кубической структуре.

Исходные образцы отжигали при 770-820 К в течение 600 ч [36]. Система исследована методами ДТА, РФА и МСА, а также измерением микротвердости и плотности [36].

#### Система $\text{PbSe}-\text{Pr}_2\text{Se}_3$

Диаграмма состояния системы  $\text{PbSe}-\text{Pr}_2\text{Se}_3$  аналогична приведенной на рис. 10.20 [37]. Эвтектики кристаллизуются при 1173 и 1223 К. В системе

ме образуются два соединения:  $\text{PrPbSe}_4$ , плавящееся конгруэнтно, претерпевающее полиморфное превращение при 1073 К [37] и кристаллизующееся в кубической структуре с параметром элементарной ячейки  $a = 8,996 \text{ \AA}$  [34], и  $\text{Pr}_2\text{Pb}_4\text{Se}_7$ , плавящееся инконгруэнтно [37]. Эти соединения частично гидролизуются на влажном воздухе, взаимодействуют с разбавленными минеральными кислотами и щелочами, не чувствительны к действию органических растворителей. Растворимость  $\text{Pr}_2\text{Se}_3$  в  $\text{PbSe}$  достигает 5 % [38]. Согласно [34] в интервале 0-50 %  $\text{PbSe}$  в системе образуются твердые растворы кубической структуры.

Исходные образцы отжигали при 770-820 К в течение 600 ч [37]. Система исследована методами ДТА, РФА и МСА, а также измерением микротвердости, плотности и электрофизических свойств [37,38].

#### Система $\text{PbSe-Nd}_2\text{Se}_3$

Диаграмма состояния системы  $\text{PbSe-Nd}_2\text{Se}_3$  аналогична приведенной на рис. I0.20 [39,40]. Эвтектики кристаллизуются при 1173 и 1223 К, причем последняя содержит 25 %  $\text{PbSe}$ . В системе образуются два соединения:  $\text{Nd}_2\text{PbSe}_4$ , плавящееся конгруэнтно, претерпевающее полиморфное превращение при 1103 К [39,40] и кристаллизующееся в кубической структуре с параметром элементарной ячейки  $a = 8,968 \text{ \AA}$  [34], и  $\text{Nd}_2\text{Pb}_4\text{Se}_7$ , плавящееся инконгруэнтно [40]. Эти соединения частично гидролизуются на влажном воздухе, взаимодействуют с разбавленными и концентрированными минеральными кислотами и щелочами, не чувствительны к действию органических растворителей. Согласно [34] в интервале 0-50 %  $\text{PbSe}$  в системе образуются твердые растворы кубической структуры.

Исходные образцы отжигали при 770-820 К в течение 600 ч. Система исследована методами ДТА, РФА и МСА, а также измерением микротвердости и плотности [39,40].

#### Система $\text{PbSe-Sm}_2\text{Se}_3$

Диаграмма состояния системы  $\text{PbSe-Sm}_2\text{Se}_3$  аналогична приведенной на рис. I0.20 [41]. Эвтектики кристаллизуются при 1203 и 1173 К, причем последняя содержит 35 %  $\text{PbSe}$ . В системе образуются два соединения:  $\text{Sm}_2\text{PbSe}_4$ , плавящееся конгруэнтно при 1468 К, претерпевающее полиморфное превращение при 1073 К [41] и кристаллизующееся в кубической структуре с параметром элементарной ячейки  $a = 8,909 \text{ \AA}$  [34], и  $\text{Sm}_2\text{Pb}_4\text{Se}_7$  плавящееся инконгруэнтно [41]. Эти соединения частично гидролизуются на влажном воздухе, взаимодействуют с разбавленными и концентрированными минеральными кислотами и щелочами, не чувствительны к действию органических растворителей. Согласно [34] в интервале 0-50 %  $\text{PbSe}$  в системе образуются твердые растворы с кубической структурой.

Исходные образцы отжигали при 770-820 К в течение 600 ч. Система исследована методами ДТА, РФА и МСА, а также измерением микротвердости и плотности [41].

### Система PbSe-Gd<sub>2</sub>Se<sub>3</sub>

Диаграмма состояния системы PbSe-Gd<sub>2</sub>Se<sub>3</sub> представлена на рис. 10.21 [42]. Эвтектики кристаллизуются при 1023, 1223 и 1333 К. В системе образуются три соединения: Gd<sub>2</sub>PbSe<sub>4</sub>, плавящееся конгруэнтно и претерпевающее полиморфное превращение при 973 К, Gd<sub>4</sub>PbSe<sub>7</sub>, плавящееся конгруэнтно и претерпевающее полиморфное превращение при 1073 К, и Gd<sub>2</sub>Pb<sub>4</sub>Se<sub>7</sub>, плавящееся инконгруэнтно. Соединения Gd<sub>2</sub>PbSe<sub>4</sub> и Gd<sub>4</sub>PbSe<sub>7</sub> устойчивы в вакууме до своей температуры плавления, а Gd<sub>2</sub>Pb<sub>4</sub>Se<sub>7</sub> - до температуры перитектики. Все они частично гидролизуются на влажном воздухе, взаимодействуют с разбавленными и концентрированными минеральными кислотами и щелочами, не чувствительны к действию органических растворителей [42]. Согласно [34] со стороны Gd<sub>2</sub>Se<sub>3</sub> до состава PbSe•1,6Gd<sub>2</sub>Se<sub>3</sub> в системе образуются твердые растворы.

Система исследована методами ДТА, РФА и МСА; а также измерением микротвердости и плотности [42].

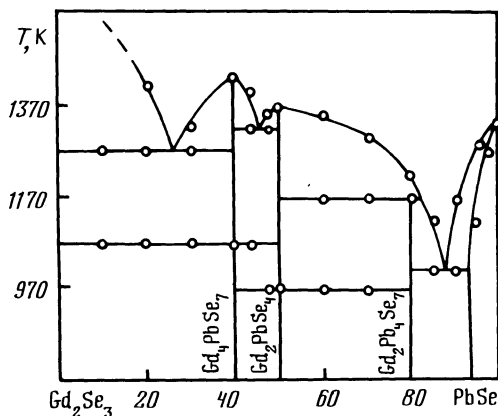


Рис. 10.21. Диаграмма состояния системы PbSe-Gd<sub>2</sub>Se<sub>3</sub> [42].

### Система PbSe-Tb<sub>2</sub>Se<sub>3</sub>

Диаграмма состояния системы PbSe-Tb<sub>2</sub>Se<sub>3</sub> аналогична приведенной на рис. 10.21 [43]. Эвтектики кристаллизуются при 1073, 1273 и 1373 К. В системе образуются три соединения: Tb<sub>2</sub>PbSe<sub>4</sub> и Tb<sub>4</sub>PbSe<sub>7</sub> плавящиеся конгруэнтно и претерпевающие полиморфное превращение при 1023 и 1143 К соответственно и Tb<sub>2</sub>Pb<sub>4</sub>Se<sub>7</sub>, плавящееся инконгруэнтно. Соединения Tb<sub>2</sub>PbSe<sub>4</sub> и Tb<sub>4</sub>PbSe<sub>7</sub> устойчивы в вакууме до своей температуры плавления, а Tb<sub>2</sub>Pb<sub>4</sub>Se<sub>7</sub> - до температуры перитектики. Все они частично гидролизуются на влажном воздухе, взаимодействуют с HCl, H<sub>2</sub>SO<sub>4</sub>, HNO<sub>3</sub>, сравнительно медленно реагируют с щелочами, устойчивы по отношению к органическим растворителям [43]. Согласно [34] со стороны Tb<sub>2</sub>Se<sub>3</sub> область твердых растворов достигает 20 % PbSe.

Система исследована методами ДТА, РФА и МСА, а также измерением микротвердости и плотности [43].

#### Системы PbSe-In<sub>2</sub>Se<sub>3</sub> (In = Dy, Ho, Er, Tm, Yb)

В системах образуются соединения In<sub>2</sub>PbSe<sub>4</sub> [34]. В случае Dy, Ho и Y эти соединения кристаллизуются в неидентифицированной структуре, а в случае Er, Tm и Yb - в ромбической структуре с параметрами элементарной ячейки: для Er<sub>2</sub>PbSe<sub>4</sub> - a = 12,45 Å, b = 14,85 Å, c = 51,29 Å; для Tm<sub>2</sub>PbSe<sub>4</sub> - a = 12,59 Å, b = 14,75 Å, c = 52,62 Å; для Yb<sub>2</sub>PbSe<sub>4</sub> - a = 12,83 Å, b = 14,64 Å, c = 52,35 Å. В случае Ho, Y, Er, Tm и Yb в системах существует ограниченная область твердых растворов со структурой типа NaCl на основе PbSe [34].

#### Система PbSe-Lu<sub>2</sub>Se<sub>3</sub>

Диаграмма состояния системы PbSe-Lu<sub>2</sub>Se<sub>3</sub> аналогична приведенной на рис. 10.20 [44]. Эвтектики кристаллизуются при I123 и I173 К. В системе образуются два соединения: Lu<sub>2</sub>PbSe<sub>4</sub>, плавящееся конгруэнтно при I473 К, претерпевающее полиморфное превращение при I273 К [44] и кристаллизующееся в ромбической структуре с параметрами элементарной ячейки a = 12,87 Å, b = 14,59 Å, c = 52,38 Å [34], и Lu<sub>2</sub>Pb<sub>4</sub>Se<sub>7</sub>, плавящееся инконгруэнтно при I223 К и претерпевающее полиморфное превращение при I023 К [44]. Соединения Lu<sub>2</sub>PbSe<sub>4</sub> и Lu<sub>2</sub>Pb<sub>4</sub>Se<sub>7</sub> являются полупроводниковыми веществами p-типа. Они частично гидролизуются на влажном воздухе, взаимодействуют с разбавленными и концентрированными минеральными кислотами и щелочами, не чувствительны к действию органических растворителей. Растворимость Lu<sub>2</sub>Se<sub>3</sub> в PbSe достигает 5 %.

Исходные образцы отжигали при 820 К в течение 400 ч. Система исследована методами ДТА, РФА и МСА, а также измерением микротвердости [44].

#### Система PbSe-Ge<sub>1,5</sub>As<sub>0,5</sub>Se<sub>3</sub>

Методом визуальных наблюдений и с помощью электронного микроскопа в системе PbSe-Ge<sub>1,5</sub>As<sub>0,5</sub>Se<sub>3</sub> определена область несмешиваемости и кривая ликвидуса [45].

#### Система PbSe-GeSe<sub>2</sub>

Диаграмма состояния системы PbSe-GeSe<sub>2</sub> представлена на рис. 10.22 [46, 47]. Эвтектика содержит 54 % PbSe и кристаллизуется при 836 К. В области эвтектики имеется узкая область стеклообразования. В системе образуется соединение Pb<sub>2</sub>GeSe<sub>4</sub>, плавящееся инконгруэнтно при 863 К.

Исходные образцы отжигали при 670 К в течение трех недель. Система исследована методами ДТА и РФА [47].

#### Система PbSe-Sn

Система PbSe-Sn является неквазибинарным сечением тройной системы Pb-Sn-Se [48]. Основной первично кристаллизующейся фазой является

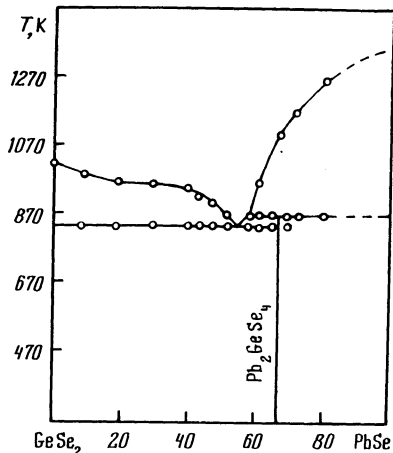


Рис. 10.22. Диаграмма состояния системы  $\text{PbSe}-\text{GeSe}_2$  [47]

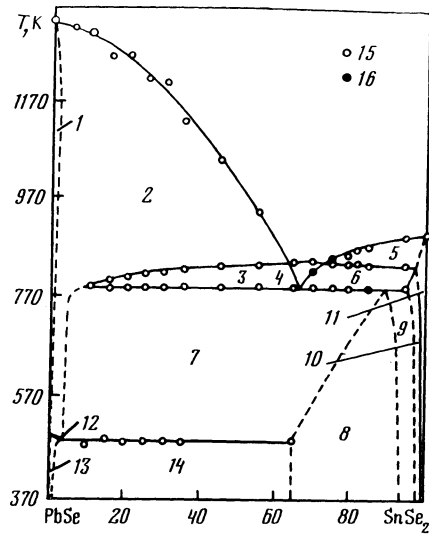


Рис. 10.23. Политермическое сечение  $\text{PbSe}-\text{SnSe}_2$  [52]

I -  $\alpha$ ; 2 -  $\beta + \alpha$ ; 3 -  $\beta + \alpha + \gamma$ ;  
4 -  $\beta + \gamma$ ; 5 -  $\beta + \delta$ ; 6 -  $\beta + \delta + \gamma$ ;  
 $\gamma$  -  $\beta + \delta + \beta$ ; 8 -  $\alpha + \beta$ ; 9 -  $\alpha + \beta + \gamma$ ;  
10 -  $\beta + \delta$ ; 11 -  $\beta$ ; 12 -  $\beta + \alpha + \delta$ ;  
13 -  $\alpha + \delta$ ; 14 -  $\alpha + \beta + \delta$ ; 15 - нагревание, 16 - охлаждение

$\text{PbSe}$ , так как со стороны  $\text{Sn}$  линия ликвидуса вырождена. Полное затвердевание образцов происходит при 453 К. Селенид свинца, кристаллизующийся из расплава, содержит такое количество Se, что по составу более близок к разрезу  $\text{PbSe}-\text{SnSe}$ , чем к  $\text{PbSe}-\text{Sn}$ .

Исходные образцы отжигали при 450 К в течение 600 ч. Система исследована методами ДТА, РФА и МСА, а также измерением микротвердости, электропроводности и термоЭДС [48].

#### Система $\text{PbSe}-\text{SnS}_2$

В системе образуется соединение  $\text{PbSnSe}_2$ , кристаллизующееся в ромбической структуре с параметрами элементарной ячейки  $a = 8,902 \text{ \AA}$ ,  $b = 3,840 \text{ \AA}$ ,  $c = 14,197 \text{ \AA}$ , рентгенографической и пикнометрической плотностью соответственно 6,43 и 6,41  $\text{г}/\text{см}^3$  [49].

#### Система $\text{PbSe}-\text{SnSe}_2$

Система  $\text{PbSe}-\text{SnSe}_2$  является неквазибинарным сечением тройной системы  $\text{Pb}-\text{Sn}-\text{Se}$  [50-52]. В интервале 0-65 %  $\text{SnSe}_2$  первично кристаллизуется  $\text{PbSe}$  в интервале 65-100 %  $\text{SnSe}_2$  - диселенид олова [51]. Затвердевание всех сплавов заканчивается при 489 К [50, 51].

Согласно [52] характер взаимодействия в системе более сложный (рис. 10.23). Со стороны  $\text{PbSe}$  первично выделяются твердые растворы на основе  $\text{PbSe}$  ( $\alpha$ -фаза), со стороны  $\text{SnSe}_2$  - твердые растворы на основе  $\text{SnSe}_2$

( $\beta$ -фаза), а между этими областями находится небольшая область первичной кристаллизации твердых растворов на основе  $\text{SnSe}_2$  ( $\gamma$ -фаза). Горизонтальная линия при 808 К соответствует перитектическому взаимодействию, а при 493 К - кристаллизации тройной эвтектики. Границы фазовых полей  $\alpha$ ,  $\alpha + \delta'$ ,  $\chi + \alpha + \delta'$ ,  $\chi + \alpha + \beta$ ,  $\alpha + \beta + \delta$ ,  $\alpha + \beta$ ,  $\alpha + \beta + \gamma$  и  $\beta + \gamma$  представлены пунктирными линиями, так как в отожженных и переплавленных образцах обнаружены лишь фазы  $\alpha$  и  $\beta$ . Фазы  $\chi$  и  $\delta'$  не обнаружены, что может быть связано с образованием аморфных (стеклообразных) фаз и нечувствительностью РФА к небольшим количествам  $\gamma$ -фазы из-за наложения рентгеновских рефлексов фаз  $\gamma$  и  $\beta$  [52]. Область гомогенности  $\alpha$ -фазы при 710 К не превышает 5 %  $\text{SnSe}_2$ , а  $\beta$ -фазы - 1 % при 670 и 2 % при 770 К.

Исходные образцы отжигали при 770 К в течение 200 ч [50, 51] (при 670, 710, 720, 780 и 820 К в течение соответственно 180 и 900, 670, 550, 870-1900 и 400 ч [52]). Система исследована методами ДТА, РФА и МСА, а также измерением электропроводности, термоЭДС и с помощью ядерного гамма-резонанса [50-52].

#### Система $\text{PbSe}-\text{PbO}$

Диаграмма состояния системы  $\text{PbSe}-\text{PbO}$  (рис. 10.24) эвтектического типа [53]. Эвтектика содержит 20 %  $\text{PbSe}$  и кристаллизуется при 1033 К. Система исследована методами ДТА и РФА [53].

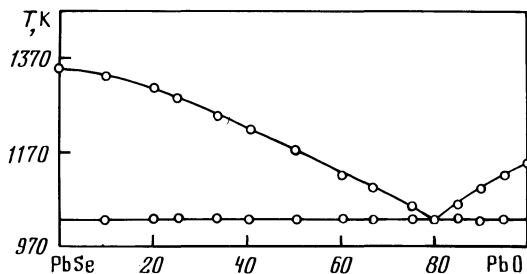
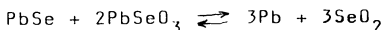


Рис. 10.24. Диаграмма состояния системы  $\text{PbSe}-\text{PbO}$  [53]

#### Система $\text{PbSe}-\text{PbSeO}_3$

Рентгенографические исследования показали [54], что после отжига при 770-870 К в течение 10 ч равновесие реакций:

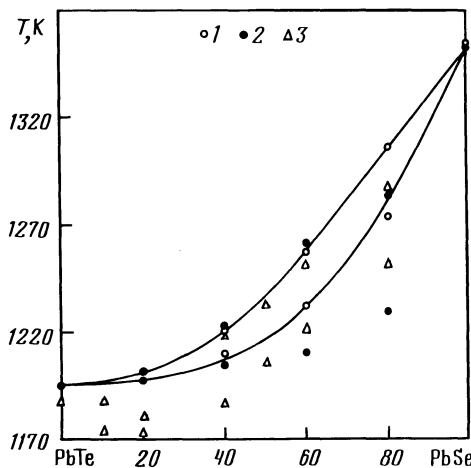


$3\text{PbSe} + 2(2\text{PbO} \cdot \text{PbSeO}_3) \rightleftharpoons 9\text{Pb} + 5\text{SeO}_2$  сдвинуто в сторону образования  $\text{PbSe}$  и  $\text{PbSeO}_3$  (или  $2\text{PbO} \cdot \text{PbSeO}_3$ ).

#### Система $\text{PbSe}-\text{PbTe}$

Диаграмма состояния системы  $\text{PbSe}-\text{PbTe}$  (рис. 10.25) принадлежит к типу I [18, 55-57] (к типу III [58]) по классификации Розебома. В системе

Рис. 10.25. Диаграмма состояния системы PbSe-PbTe  
 I - [55], 2 - [56],  
 3 - [58]



образуется непрерывный ряд твердых растворов [55-60]. Согласно [58] в системе имеется минимум при 18 % PbSe и 1173 К, который позднее не был обнаружен [55,56]. Причиной расхождения результатов является недостаточность гомогенизации в твердом состоянии и недостаточная чистота используемых образцов [55]. Однако отсутствие минимума можно объяснить и тем, что авторы [55,56] исследовали систему через 20 % и тем самым могли его не обнаружить.

Параметр элементарной ячейки твердых растворов в зависимости от состава изменяется линейно [18,59] (с небольшим отрицательным отклонением от линейности [58]).

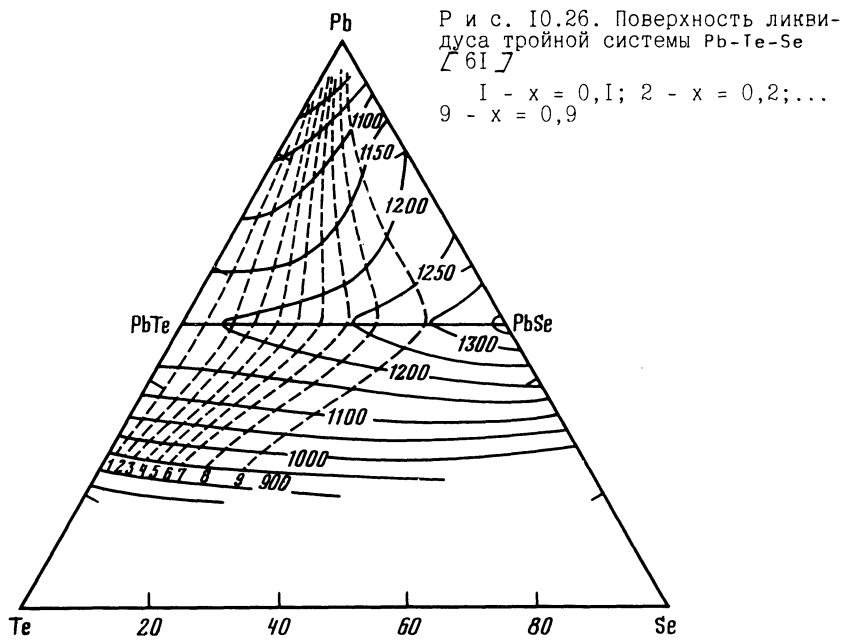
Поверхность ликвидуса тройной системы Pb-Te-Se (рис. 10.26) имеет резкий максимум в области квазибинарного разреза PbSe-PbTe [57,61-63]. При кристаллизации из расплава состав твердого раствора  $PbTe_xSe_{1-x}$  обогащается селенидом свинца [57,61,62]. Координаты поверхности солидуса твердых растворов  $Pb_{1-y}(Se_{1-x}Te_x)_y$  определены в работах [61,64]. Со стороны избытка Pb (n-тип) поверхность солидуса плавно меняется от PbTe до PbSe во всем изученном интервале температур, а в области p-типа обнаружено несоответствие полученных результатов с литературными данными для PbTe и PbSe, которое может быть связано с высокой скоростью распада пересыщенного твердого раствора  $Pb_{1-y}(Se_{1-x}Te_x)_y$ .

Авторами [65] рассчитаны температурные зависимости парциального давления Pb, PbSe и PbTe для твердых растворов  $Pb_{1-y}(Se_{1-x}Te_x)_y$ .

Исходные образцы отжигали при 1070 и 1170 К в атмосфере аргона в течение 720 ч [58] (при 1070 К в течение 14 дней [59]). Система исследована методами ДТА, РФА и МСА, а также измерением микротвердости [55-65].

#### Система PbSe-PbCl<sub>2</sub>

Диаграмма состояния системы PbSe-PbCl<sub>2</sub> (рис. 10.27) эвтектического типа [66]. Эвтектика содержит 7 % PbSe и кристаллизуется при 751 К.



Тройных соединений в системе не обнаружено. Согласно  $\lceil 67 \rfloor$  при 870 К в расплаве  $\text{PbCl}_2$  растворяется 12,8 %  $\text{PbSe}$ .

Исходные образцы отжигали при 720 К в течение 200 ч  $\lceil 66 \rfloor$ . Система исследована методами ДТА, РФА и МСА  $\lceil 66 \rfloor$ . Растворимость  $\text{PbSe}$  в расплаве  $\text{PbCl}_2$  определяли методом изотермического насыщения с последующим анализом солевой фазы  $\lceil 67 \rfloor$ .

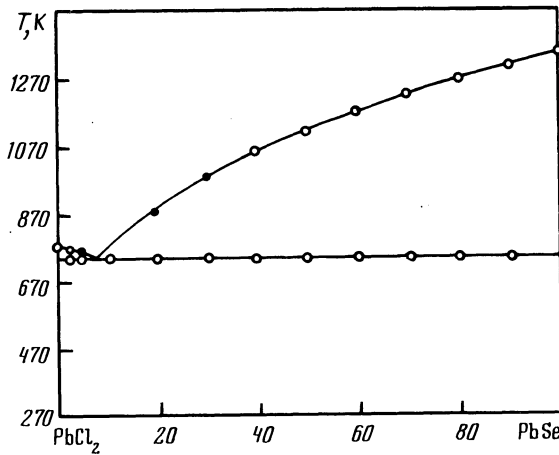


Рис. 10.27. Диаграмма состояния системы  $\text{PbSe}-\text{PbCl}_2$   
 $\lceil 66 \rfloor$   
I - нагревание, 2 - охлаждение

### Система PbSe-PbBr<sub>2</sub>

Диаграмма состояния системы PbSe-PbBr<sub>2</sub> представлена на рис. 10.28 [68, 69]. Эвтектика содержит 6 % PbSe и кристаллизуется при 626 К. В системе образуется соединение Pb<sub>4</sub>SeBr<sub>6</sub> (согласно [68] его формула Pb<sub>7-x</sub>Se<sub>2-2x</sub>Br<sub>10+2x</sub> при 0 < x < 0,25), плавящееся инконгруэнтно при 656 К, имеющее область гомогенности шириной 6 % PbSe [68] и кристаллизующееся в ромбической структуре с параметрами элементарной ячейки  $a = 4,36 \text{ \AA}$ ,  $b = 9,72 \text{ \AA}$ ,  $c = 15,78 \text{ \AA}$ , рентгенографической и пикнометрической плотностью соответственно 6,88 и 6,84 г/см<sup>3</sup> [69]. Селенидобромид свинца устойчив на воздухе, но разлагается холодной водой.

Исходные образцы отжигали при 610 К в течение 1000 ч [68]. Система исследована методами ДТА, РФА и МСА [68, 69].

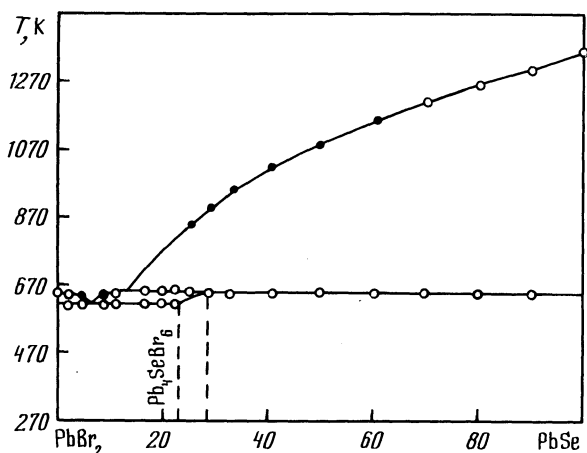


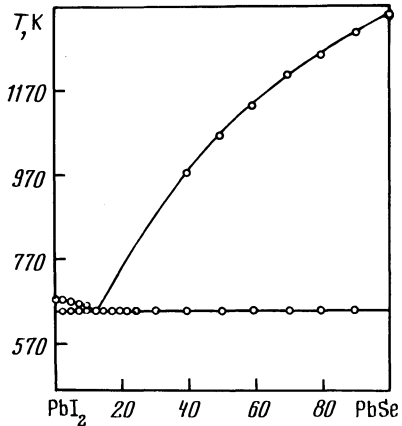
Рис. 10.28. Диаграмма состояния системы PbSe-PbBr<sub>2</sub> [68]

I - нагревание 2 - охлаждение

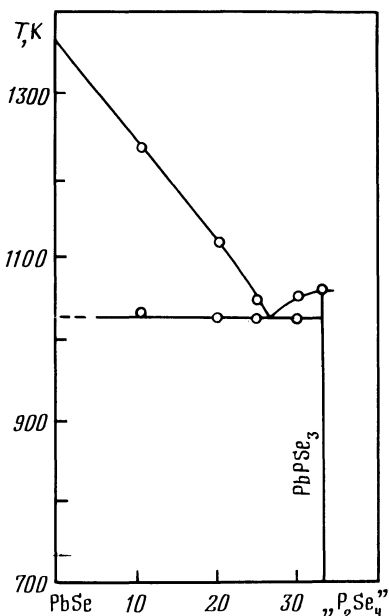
### Система PbSe-PbJ<sub>2</sub>

Диаграмма состояния системы PbSe-PbJ<sub>2</sub> (рис. 10.29) эвтектического типа [70]. Эвтектика содержит 14 % PbSe и кристаллизуется при 657 К. На кривых охлаждения в интервале 13-100 % PbSe кроме эффектов, соответствующих ликвидусу, наблюдали два удовлетворительно разрешающихся эффекта при 661 и 646 К, что обусловлено неравновесным характером кристаллизации. Растворимость PbJ<sub>2</sub> в PbSe при эвтектической температуре достигает 0,8 % [70, 71]. Согласно [67] при 780 и 870 К в расплаве PbJ<sub>2</sub> растворяется соответственно 15,1 и 22,5 % PbSe.

Исходные образцы отжигали при 657, 770, 870 и 1020 К в течение соответственно 800, 600, 500 и 350 ч [71]. Система исследована методами ДТА, РФА и МСА, а также измерением микротвердости и термоЭДС [70, 71]. Растворимость PbSe в расплаве PbJ<sub>2</sub> определяли методом изотермического насыщения с последующим анализом солевой фазы [67].



Р и с. I0.29. Диаграмма состояния системы PbSe-PbI<sub>2</sub> [70]



Р и с. I0.30. Часть диаграммы состояния системы PbSe-" $P_2Se_4$ " [72]

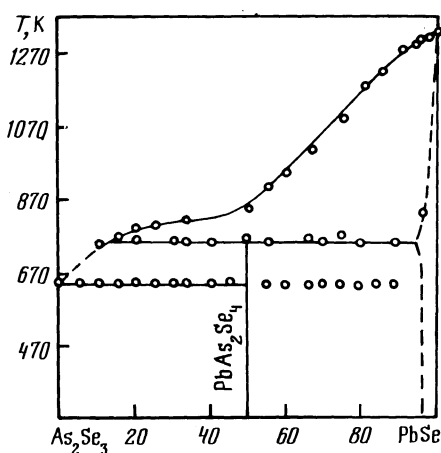
#### Система PbSe-" $P_2Se_4$ "

Часть диаграммы состояния системы PbSe-" $P_2Se_4$ " представлена на рис. I0.30 [72]. Эвтектика содержит 26 % " $P_2Se_4$ " и кристаллизуется при 1030 К. В системе образуется соединение Pb<sub>2</sub>P<sub>2</sub>Se<sub>6</sub> [72-77], плавящееся конгруэнтно при 1057 К [72, 73] и кристаллизующееся в моноклинной структуре с параметрами элементарной ячейки  $a = 6,911 \text{ \AA}$ ,  $b = 7,661 \text{ \AA}$ ,  $c = 12,101 \text{ \AA}$ ,  $\beta = 126,247^\circ$  [72] ( $a = 6,910 \text{ \AA}$ ,  $b = 7,670 \text{ \AA}$ ,  $c = 11,816 \text{ \AA}$ ,  $\beta = 124,35^\circ$  [74];  $a = 6,90 \text{ \AA}$ ,  $b = 7,65 \text{ \AA}$ ,  $c = 11,84 \text{ \AA}$ ,  $\beta = 124,5^\circ$  [76];  $a = 6,897 \text{ \AA}$ ,  $b = 7,642 \text{ \AA}$ ,  $c = 9,696 \text{ \AA}$ ,  $\beta = 91,51^\circ$  [74];  $a = 9,742 \text{ \AA}$ ,  $b = 7,662 \text{ \AA}$ ,  $c = 6,898 \text{ \AA}$ ,  $\beta = 91,44^\circ$  [73]), рентгенографической и пикнометрической плотностью соответственно 6,10(6,174 [74]) и 5,98(6,10 [72]) г/см<sup>3</sup> [75] (6,13 и 6,08 г/см<sup>3</sup> [73, 76]). Соединение Pb<sub>2</sub>P<sub>2</sub>Se<sub>6</sub> химически устойчиво, растворяется только в концентрированной HNO<sub>3</sub>, царской водке, концентрированных и расплавленных щелочах [76]. При нагревании в вакууме до 770 К разлагается на PbSe и летучие селениды фосфора [77].

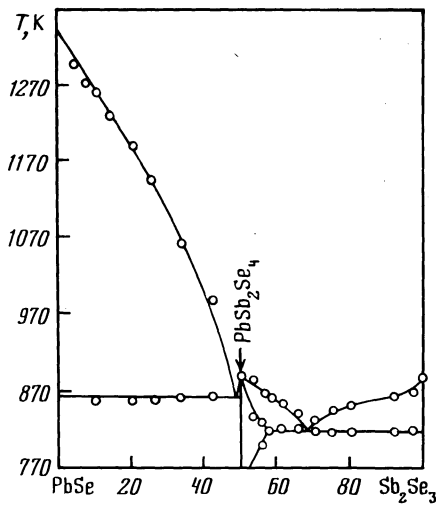
Исходные образцы отжигали при 770 К в течение двух недель [72]. Монокристаллы Pb<sub>2</sub>P<sub>2</sub>Se<sub>6</sub> получали методом XTP [75, 76]. Система исследована методами ДТА и РФА, а также измерением плотности [72].

#### Система PbSe-As<sub>2</sub>Se<sub>3</sub>

Диаграмма состояния системы PbSe-As<sub>2</sub>Se<sub>3</sub> представлена на рис. I0.31 [78, 79]. Эвтектика вырождена, по температуре плавления совпадает с тем-



Р и с. 10.31. Диаграмма состояния системы  $\text{PbSe}-\text{As}_2\text{Se}_3$  [78]



Р и с. 10.32. Диаграмма состояния системы  $\text{PbSe}-\text{Sb}_2\text{Se}_3$  [80]

пературой плавления  $\text{As}_2\text{Se}_3$ . В системе образуется соединение  $\text{PbAs}_2\text{Se}_4$ , плавящееся инконгруэнто и существующее в интервале 650-750 К. На основе  $\text{PbSe}$  обнаружена незначительная область твердых растворов.

Исходные образцы отжигали при 620-770 К. Система исследована методами ДТА, РФА и МСА, а также измерением микротвердости [78, 79].

#### Система $\text{PbSe}-\text{Sb}_2\text{Se}_3$

Диаграмма состояния системы  $\text{PbSe}-\text{Sb}_2\text{Se}_3$  представлена на рис. 10.32 [80]. Эвтектики кристаллизуются при 863 и 820 К, причем последняя содержит 68 %  $\text{Sb}_2\text{Se}_3$ . В системе образуется соединение  $\text{PbSb}_2\text{Se}_4$ , плавящееся конгруэнто при 891 К [80] (инконгруэнто при 863 К [81]). При 770 и 820 К область гомогенности  $\text{PbSb}_2\text{Se}_4$  находится в интервалах соответственно 50-53 и 49-56 %  $\text{Sb}_2\text{Se}_3$ . Соединение  $\text{PbSb}_2\text{Se}_4$  обладает n-типов проводимости и имеет ширину запрещенной зоны 1,8 эВ [80].

Исходные образцы отжигали при 770 К в течение 1-4 месяцев. Система исследована методами ДТА, РФА и МСА, а также измерением микротвердости, термоЭДС, электрической и теплопроводности [80].

#### Система $\text{PbSe}-\text{BiSe}$

Диаграмма состояния системы  $\text{PbSe}-\text{BiSe}$  изучалась в работах [82-84]. Растворимость  $\text{PbSe}$  в  $\text{BiSe}$  при 720 К достигает 5 % [83], а  $\text{BiSe}$  в  $\text{PbSe}$  не превышает 1 % [84].

В системе  $\text{PbSe}-\text{BiSe}$  образуется соединение  $\text{PbBiSe}_2$ , кристаллизующееся в тетрагональной структуре с параметрами элементарной ячейки  $a = 5,26 \text{ \AA}$ ,  $c = 3,84 \text{ \AA}$ , рентгенографической и пикнометрической плотностью соответственно 8,9 и 8,5  $\text{г}/\text{см}^3$  [87].

Исходные образцы отжигали при 870-1070 К в течение 200 ч [84], (при 520 и 720 К в течение соответственно 10 и 30 дней [83]). Система исследована методами РФА и МСА, а также измерением микротвердости и термоЭДС [82-84].

### Система PbSe-Bi<sub>2</sub>Se<sub>3</sub>

Диаграмма состояния системы PbSe-Bi<sub>2</sub>Se<sub>3</sub> представлена на рис. 10.33 [85-87]. Эвтектика содержит 21 % PbSe и кристаллизуется при 958 К [86]. В системе обнаружены три соединения: PbBi<sub>2</sub>Se<sub>4</sub> и PbBi<sub>4</sub>Se<sub>7</sub>, плавящиеся инконгруэнтно соответственно при 998 и 978 К [86] (973 и 948 К [85]), а также фаза, имеющая область гомогенности при 1000 К в интервале 69-72 % Bi<sub>2</sub>Se<sub>3</sub> и плавящаяся инконгруэнтно при 1023 К [86] (соединение Pb<sub>3</sub>Bi<sub>4</sub>Se<sub>9</sub>, плавящееся инконгруэнтно при 993 К [85]). При изучении тонких пленок в системе обнаружено соединение Pb<sub>2</sub>Bi<sub>2</sub>Se<sub>5</sub> [88]. Соединения Pb<sub>3</sub>Bi<sub>4</sub>Se<sub>9</sub>, PbBi<sub>2</sub>Se<sub>4</sub> и PbBi<sub>4</sub>Se<sub>7</sub> имеют ширину запрещенной зоны соответственно 0,24, 0,32 и 0,12 эВ [85]. Растворимость Bi<sub>2</sub>Se<sub>3</sub> в PbSe достигает 11 % [86] (20 % [85]). Параметр элементарной ячейки в зависимости от состава в области твердых растворов изменяется линейно [86].

Исходные образцы отжигали при 920-1020 К в течение 720-1824 ч [86] (при 820-990 К в течение 1-5 месяцев [85]). Соединения PbBi<sub>2</sub>Se<sub>4</sub> и Pb<sub>2</sub>Bi<sub>2</sub>Se<sub>5</sub> получали перекристаллизацией через газовую фазу [88, 89]. Сис-

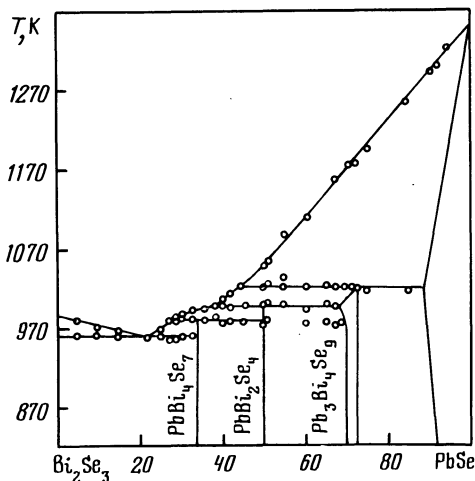


Рис. 10.33. Диаграмма состояния системы PbSe-Bi<sub>2</sub>Se<sub>3</sub> [86]

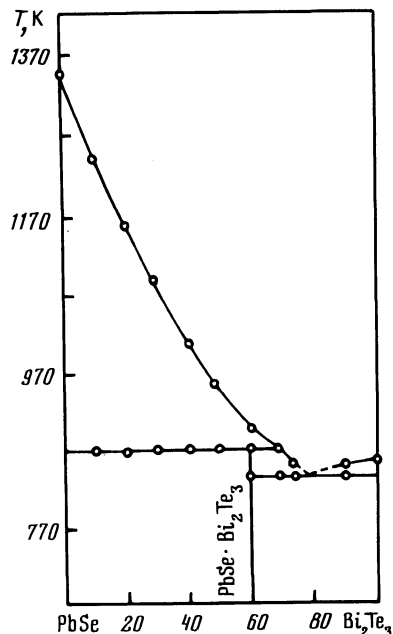


Рис. 10.34. Диаграмма состояния системы PbSe-Bi<sub>2</sub>Te<sub>3</sub> [90]

тема исследована методами ДТА, РФА, МСА и ХА, а также измерением микротвердости, термоЭДС, электро- и теплопроводности [85].

#### Система PbSe-Bi<sub>2</sub>Te<sub>3</sub>

В системе PbSe-Bi<sub>2</sub>Te<sub>3</sub> образуется соединение 2PbSe•3Bi<sub>2</sub>Te<sub>3</sub>, плавящееся инконгруэнтно и дающее эвтектику с Bi<sub>2</sub>Te<sub>3</sub> при 851 К (рис. I0.34) [90]. Система исследована методами ДТА и РФА.

#### Система PbSe-Nb

В тройной системе Pb-Nb-Se образуется соединение Pb<sub>0,40</sub>Nb<sub>6</sub>Se<sub>8</sub>, кристаллизующееся в тетрагональной структуре с параметрами элементарной ячейки  $a = 10,004 \text{ \AA}$  и  $c = 3,465 \text{ \AA}$  [91].

#### Система PbSe-Mo

В тройной системе Pb-Mo-Se образуется соединение Pb<sub>0,5</sub>Mo<sub>3</sub>Se<sub>4</sub>, кристаллизующееся в ромбоэдрической структуре с параметрами элементарной ячейки  $a = 6,810 \text{ \AA}$ ,  $\alpha = 89,23^\circ$ , рентгенографической и пикнометрической плотностью соответственно 7,4 и 7,42 г/см<sup>3</sup> [92].

Синтез с помощью низкотемпературной диффузии Pb в Mo<sub>15</sub>Se<sub>19</sub> при 750 К приводит к образованию фаз Pb<sub>2,3</sub>Mo<sub>15</sub>Se<sub>19</sub> (A) (если исходный Mo<sub>15</sub>Se<sub>19</sub> получен при взаимодействии HCl с In<sub>2</sub>Mo<sub>15</sub>Se<sub>19</sub>), Pb<sub>2</sub>Mo<sub>15</sub>Se<sub>19</sub> (B) и Pb<sub>2,15</sub>Mo<sub>15</sub>Se<sub>19</sub> (C) (если исходный Mo<sub>15</sub>Se<sub>19</sub> получен взаимодействием HCl с In<sub>2</sub>Mo<sub>15</sub>Se<sub>19</sub>), кристаллизующихся в гексагональной структуре с параметрами элементарной ячейки: A -  $a = 9,611 \text{ \AA}$ ,  $c = 19,591 \text{ \AA}$ ; B -  $a = 9,6832 \text{ \AA}$ ,  $c = 57,782 \text{ \AA}$ ; C -  $a = 9,680 \text{ \AA}$ ,  $c = 57,772 \text{ \AA}$  [93]. Фазы A, B и C разлагаются при температурах выше 1070 К.

#### Система PbSe-MnSe

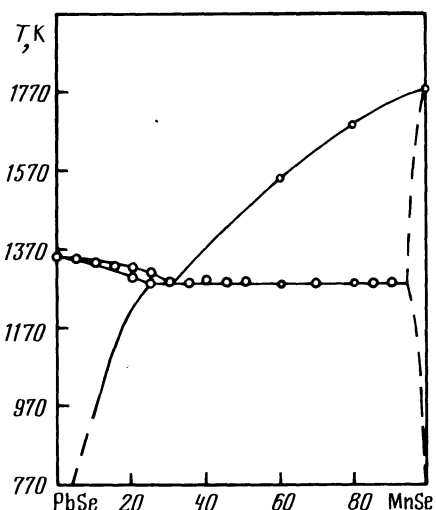
Диаграмма состояния системы PbSe-MnSe (рис. I0.35) эвтектического типа [94]. Эвтектика содержит 30 % MnSe и кристаллизуется при 1298 К. Растворимость  $\alpha$ -MnSe в PbSe увеличивается от 10 % при 990 К [16,94] до 17 % при 1200 К и 25 % при эвтектической температуре [94]. Растворимость PbSe в  $\alpha$ -MnSe при эвтектической температуре не превышает 5 %. Параметр элементарной ячейки в зависимости от состава в области твердых растворов на основе PbSe изменяется линейно [94].

Исходные образцы отжигали при 990, 1140 и 1200 К в течение соответственно 820, 520 и 450 ч [16,94]. Система исследована методами ДТА, РФА и МСА, а также измерением микротвердости [94].

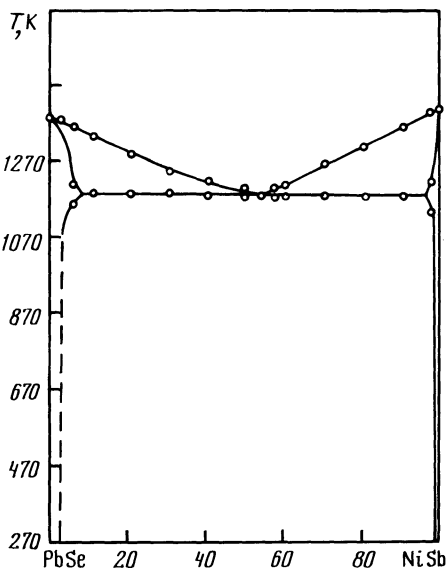
#### Система PbSe-Fe

Растворимость Fe в PbSe в интервале 970-1170 К имеет ретроградный характер и находится в пределах  $8 \cdot 10^{-5} \text{--} 10^{20} \text{ см}^{-3}$  [8].

Исходные образцы отжигали при 970-1150 К в течение 100-136 ч. Растворимость Fe в PbSe определяли с помощью радиоактивных изотопов [8].



Р и с. 10.35. Диаграмма состояния системы PbSe-MnSe [94]



Р и с. 10.36. Диаграмма состояния системы PbSe-NiSb [99]

#### Система PbSe-Co

В системе PbSe-Co образуется соединение  $\text{Co}_3\text{Pb}_2\text{Se}_2$ , кристаллизующееся в гексагональной структуре [95, 96]. Указанное соединение может быть получено взаимодействием либо элементарных веществ, либо  $\text{Co}_3\text{Se}_2$  и Pb, либо PbSe и Co [95].

#### Система PbSe-Ni

В системе PbSe-Ni образуется соединение  $\text{Ni}_3\text{PbSe}_2$ , плавящееся инконгруэнтно при 973 К [97] и кристаллизующееся в гексагональной структуре [95, 96] с параметрами элементарной ячейки  $a = 5,616 \text{ \AA}$ ,  $c = 14,292 \text{ \AA}$  [96] (в моноклинной структуре с параметрами  $a = 9,719 \text{ \AA}$ ,  $b = 5,755 \text{ \AA}$ ,  $c = 5,608 \text{ \AA}$ ,  $\beta = 124,24^\circ$  [98]). Эвтектика содержит 55 % (20 мас.%) Ni и кристаллизуется при 943 К. Взаимная растворимость исходных компонентов незначительна [97].

Исходные образцы отжигали при 900 К в течение 500 ч [97]. Соединение  $\text{Ni}_3\text{Pb}_2\text{Se}_2$  получали взаимодействием либо элементарных веществ, либо PbSe и Ni [95], либо  $\text{Ni}_3\text{Se}_2$  и Pb [98]. Система исследована методами ДТА, РФА и МСА, а также измерением микротвердости [97].

#### Система PbSe-NiSb

Диаграмма состояния системы PbSe-NiSb (рис. 10.36) эвтектического типа [99]. Эвтектика содержит 32 % NiSb и кристаллизуется при 1173 К. Растворимость NiSb в PbSe достигает 2 %, а PbSe в NiSb - 1 %.

Исходные образцы отжигали при 870 К в течение трех дней. Система исследована методами ДТА и МСА, а также измерением микротвердости [99].

#### Система PbSe-Rh

В системе PbSe-Rh образуется соединение  $\text{Rh}_3\text{Pb}_2\text{Se}_2$ , кристаллизующееся в гексагональной структуре [95, 96]. Соединение  $\text{Rh}_3\text{Pb}_2\text{Se}_2$  получали взаимодействием либо элементарных веществ, либо  $\text{Rh}_3\text{Se}_2$  и Pb, либо PbSe и Rh [95].

#### Система PbSe-Pd

В системе PbSe-Pd образуется соединение  $\text{Pd}_3\text{Pb}_2\text{Se}_2$ , кристаллизующееся в гексагональной структуре [95, 96] с параметрами элементарной ячейки  $a = 5,893 \text{ \AA}$  и  $c = 14,621 \text{ \AA}$  [96]. Соединение  $\text{Pd}_3\text{Pb}_2\text{Se}_2$  получали либо взаимодействием элементарных веществ, либо  $\text{Pd}_3\text{Se}_2$  и Pb, либо PbSe и Pd [95].

#### Литература

1. Гусейнов Г.Д., Годжаев Э.М., Халилов Х.Я. и др. // Изв. АН СССР. Неорган. материалы. 1972. Т. 8, № 9. С. 1569-1572.
2. Legendre B., Souleau C. // Bull. Soc. chim. France. 1972. N 2. P. 463-472.
3. Vlayet F., Roubin M. // C.r. Acad. sci. 1978. Vol. C286, N 9. P. 285-288.
4. Новоселова А.В., Шлейфман Ж.Г., Зломанов В.П., Слома Р.К. // Изв. АН СССР. Неорган. материалы. 1967. Т. 3, № 7. С. II43-II46.
5. Rouland J.-Ch., Legendre B., Souleau C. // J. Chem. Res. Synop. 1977. N 10. P. 242-243.
6. Харахорин Ф.Ф., Гамбарова Д.А., Аксенов В.В. // Изв. АН СССР. Неорган. материалы. 1965. Т. I, № 9. С. 1502-1505.
7. Sealy B.J., Crocker J. // J. Mater. Sci. 1973. Vol.8, N 9. P. 1247-1252.
8. Харахорин Ф.Ф., Гамбарова Д.А., Аксенов В.В. // Изв. АН СССР. Неорган. материалы. 1966. Т. 2, № 3. С. 489-490.
9. Олейник Г.С., Мизецкий П.А., Низкова А.И. // Изв. АН СССР. Неорган. материалы. 1982. Т. I8, № 5. С. 873-874.
10. Томашик З.Ф., Олейник Г.С., Томашик В.Н., Низкова А.И. // Изв. АН СССР. Неорган. материалы. 1981. Т. I7, № 12. С. 2155-2158.
- II. Leute V., Böttner H. // Ber. Bunsenges. phys. Chem. 1978. Bd. 82, N 3. S. 302-306.
12. Томашик З.Ф., Олейник Г.С., Томашик В.Н. // Изв. АН СССР. Неорган. материалы. 1980. Т. I6, № 2. С. 261-263.
13. Wald F., Rosenberg A.J. // J. Phys. and Chem. Solids. 1965. Vol 26, N 7.P.1087-1091.
14. Раевский С.Д., Збигли К.Р., Казак Г.Ф., Прунич М.Д. // Изв. АН СССР. Неорган. материалы. 1982. Т. I8, № 8. С. I267-I270.
15. Ванярхо В.Г., Зломанов В.П., Новоселова А.В.// Изв. АН СССР. Неорган. материалы. 1969. Т. 5, № II. С. 2025-2026.
16. Ванярхо В.Г., Зломанов В.П., Новоселова А.В. // Изв. АН СССР. Неорган. материалы. 1967. Т. 3, № 7. С. I276-I277.
17. Ванярхо В.Г., Зломанов В.Г., Новоселова А.В. // Вестн. МГУ. Сер. 2, Химия. 1968. № 6. С. I08-I09.
18. Leute V., Köller H.-J. // Z. phys. Chem. (BRD). 1986. Bd. 149, N 2. S. 213-227.
19. Klee W., Schäfer H. // Mater. Res. Bull. 1980. Vol. 15, N 7. P. 1033-1038.

20. Балицкий; А.И., Луцый Н.Ю., Стакира И.М. // Изв. АН СССР. Неорган. материалы. 1981. Т. 17, № II. С. 1988-1991.
21. Eholié R., Kamsu K.J., Flahaut J. // C.r. Acad. sci. 1969. Vol. C268, N 8. P. 700-702.
22. Eholié R., Flahaut J. // Bull. Soc. chim. France. 1972. N 4. P. 1245-1249.
23. Меликова З.Д., Рустамов П.Г. // Журн. неорган. химии. 1977. Т. 22, № IO. С. 2877-2879.
24. Меликова З.Д., Рустамов П.Г. // Журн. неорган. химии. 1979. Т. 24. №IO. С. 2847-2849.
25. Рустамов П.Г., Меликова З.Д., Алиджанов М.А. // Азерб. хим. журн. 1974. № 5/6. С. II8-I20.
26. Латыпов З.М., Файзуллина Н.Р. // Журн. неорган. химии. 1978. Т. 23, № I. С. 253-254.
27. Готук Али Аларик, Бабанлы М.Б., Кулиев А.А. // Изв. АН СССР. Неорган. материалы. 1980. Т. 16, № 9. С. 1519-1521.
28. Гицу Д.В., Попович Н.С., Чебановский А.В. // Изв. АН СССР. Неорган. материалы. 1981. Т. 17, № 7. С. II83-II85.
29. Гицу Д.В., Попович Н.С., Чебановский А.В. // Изв. АН СССР. Неорган. материалы. 1980. Т. 16, № 6. С. 988-990.
30. Латыпов З.М., Файзуллина Н.Р., Аббасова Э.И. // Изв. АН СССР.Неорган. материалы. 1976. Т. I2, № 9. С. I67I-I673.
31. Файзуллина Н.Р., Латыпов З.М., Савельев В.П. // Тр. 7-го Науч. семинара по терм. анализу. Казань, 2-4 июня 1981. Казань. 1983. С. 49-54 / Рукопись деп. в ОНИИТЭХим г.Черкассы. № II50хп-Д83.
32. Готук Али Аларик, Бабанлы М.Б., Кулиев А.А. // Изв. АН СССР. Неорган. материалы. 1978. Т. 14, № 3. С. 587-588.
33. Насибов И.О., Султанов Т.И., Шафагатова Г.Г. // Науч. тр. Азерб. ун-та. Сер. хим. наук, 1979. № 3. С. II-I4.
34. Patrie M., Guittard M., Pardo M.-P. // Bull. Soc. chim. France. 1969. N 11. P. 3832-3834.
35. Насибов И.О., Султанов Т.И., Шафагатова Г.Г., Абилов Ч.И. // Изв. АН СССР. неорган. материалы. 1987. Т. 23, № 3. С. 403-405.
36. Насибов И.О., Султанов Т.И., Шафагатова Г.Г. Журн. неорган. химии. 1979. Т. 24, № 9. С. 2574-2577.
37. Насибов И.О., Султанов Т.И., Рустамов П.Г. и др. // Изв. АН СССР. Неорган. материалы. 1979. Т. 15, № 9. С. I535-I537.
38. Насибов И.О., Султанов Т.И., Мургузов М.И., Шафагатова Г.Г. // Изв. АН СССР. неорган. материалы. 1989. Т. 25, № 4. С. 556-558.
39. Насибов И.О., Мардахаев Б.Н., Султанов Т.И. // Уч. зап. Азерб. ун-та. Сер. хим. наук. 1978. № 2. С. 58-63.
40. Насибов И.О., Султанов Т.И., Рустамов П.Г. и др. // Изв. АН СССР. Неорган. материалы. 1980. Т. 16, № 3. С. 426-428.
41. Шафагатова Г.Г., Насибов И.О., Султанов Т.И. и др. // Журн. неорган. химии. 1979. Т. 24, № 8. С. 2197-2200.
42. Насибов И.О., Султанов Т.И., Шафагатова Г.Г. // Науч. тр. Азерб.ун-т. Сер. хим. наук. 1979. № 4. С. 3-6.
43. Насибов И.О., Султанов Т.И., Шафагатова Г.Г. // Азерб. хим. журн. 1981. № 5. С. 94-97.
44. Насибов И.О., Султанов Т.И., Мардахаев Б.Н. // Журн. неорган.химии. 1981. Т. 26. № 8. С. 2263-2264.
45. Mecholsky J.J., Srinivasan G.R., Meynihan C.T., Macedo P.B. // J. Non-Cryst. Solids. 1973. Vol. 11, N 4. P. 331-340.
46. Feltz A., Senf L. // Z. anorg. und allg. Chem. 1978. Bd. 444, N 7. S. 195-210.

47. Ludwig W., Feltz A. // 12-й Менделеевский съезд по общ. и прикл. химии: Реф. докл. и сообщ. № 7. Тез. докл., предст. иностр.учеными. М.: Наука, 1981. С. 98-100.
48. Латыпов З.М., Савельев В.П., Зломанов В.П., Аверьянов И.С. // Сб. аспирантских работ Казан. ун-та. Естеств. науки. Химия. Казань: Изд-во Казан. ун-та, 1973. С. 46-52.
49. Jumas J.-C., Ribes M., Philippot E., Maurin M. // C.r. Acad. sci. 1972. Vol. C275, N 4. P. 269-272.
50. Латыпов З.М., Савельев В.П., Аверьянов И.С., Ульданов А.С.// Изв. АН СССР. Неорган. материалы. 1971. Т. 7, № II. С. 2092-2094.
51. Латыпов З.М., Савельев В.П., Зломанов В.П., Парфенов В.В. // Физико-химическое изучение неорганических соединений. Чебоксары. 1976. Вып. 3. С. 135-140.
52. Штанов В.И., Зломанов В.П., Новоселова А.В. // Изв. АН СССР. Неорган. материалы. 1975. Т. II, № 2. С. 358-360.
53. Поповкин Б.А., Один И.Н., Новоселова А.В. // Журн. неорган. химии. 1963. Т. 8, № 5. С. 1224-1227.
54. Зломанов В.П., Поповкин Б.А., Тананаева О.И., Новоселова А.В. // Журн. неорган. химии. 1962. Т. 7, № 12. С. 2746-2751.
55. Steininger J. // Met. Trans. 1970. Vol. 1, N 10. P. 2939-2941.
56. Grimes D.E. // Trans. Metallurg. Soc. AIME. 1965. Vol. 233, N 7. P. 1442-1444.
57. Кузнецов В.Л., Гаськов А.М., Зломанов В.П. // Изв. АН СССР. Неорган. материалы. 1987. Т. 23, № 6. С. 902-906.
58. Елагина Е.И., Абрикосов Н.Х. // Докл. АН СССР. 1956. Т. III, № 2. С. 353-354.
59. Ganguly A. // Trans. Metallurg. Soc. AIME. 1969. Vol. 245, N 8. P. 1839-1840.
60. Darrow M.S., White W.B., Roy R. // J. Mater. Sci. 1969. Vol. 4, N 4. P. 313-319.
61. Новоселова А.В., Зломанов В.П., Гаськов А.М. и др. // Журн. неорган. химии. 1986. Т. 31, № II. С. 2957-2967.
62. Новоселова А.В., Зломанов В.П., Гаськов А.М., Кузнецов В.Л. // Журн. неорган. химии. 1984. Т. 29, № 2. С. 393-401.
63. Крапухин В.В., Соколов И.А., Цвейбак И.Я. и др. // Журн. физ. химии. 1984. Т. 58, № 9. С. 2370-2372.
64. Кузнецов В.Л., Гаськов А.М., Зломанов В.П., Новоселова А.В. // Изв. АН СССР. неорган. материалы. 1984. Т. 20, № 9. С. 1483-1485.
65. Кузнецов В.Л., Гаськов А.М., Зломанов В.П., Новоселова А.В. // Изв. АН СССР. неорган. материалы. 1984. Т. 20, № 5. С. 848-850.
66. Новоселова А.В., Один И.Н., Поповкин Б.А. // Изв. АН СССР. Неорган. материалы. 1970. Т. 6, № 2. С. 381-382.
67. Родионов Ю.И., Клокман В.Р., Мякишев К.Г. // Журн. неорган. химии. 1972. Т. 17, № 3. С. 846-851.
68. Новоселова А.В., Один И.Н., Поповкин Б.А. // Изв. АН СССР. Неорган. материалы. 1970. Т. 6, № 2. С. 257-261.
69. Rabenau A., Rau H. // Z. anorg. und allg. Chem. 1968. Bd. 369, N 3/6. S. 295-305.
70. Новоселова А.В., Один И.Н., Поповкин Б.А. // Изв. АН СССР. Неорган. материалы. 1966. Т. 2, № 8. С. 1397-1402.
71. Один И.Н., Поповкин Б.А., Новоселова А.В. // Изв. АН СССР. Неорган. материалы. 1970. Т. 6, № 6. С. II73-II74.
72. Приц И.П., Поторий М.В., Ворошилов Ю.В. // Укр. хим. журн. 1989. Т. 55, № 2. С. 135-137.
73. Becker R., Brockner W., Schäfer H. // Z. Naturforsch. 1984. Bd. A39, N 4, S. 357-361.

74. Yun H., Ibers J.A. // *Acta crystallogr.* 1987. Vol. C43, N 10. P. 2002-2004.
75. Carpentier C.D., Nitsche R. // *Mater. Res. Bull.* 1974. Vol. 9, N 4. P. 401-410.
76. Klingen W., Ott R., Hahn H. // *Z. anorg. und allg. Chem.* 1973. Bd. 396, N 3. S. 271-278.
77. Брусиловец А.И., Теплякова Н.В. // Журн. неорган. химии. 1974. Т. 19, № II. С. 3167-3168.
78. Дембовский С.А., Кириленко В.В., Хворостенко А.С. // Изв. АН СССР. Неорган. материалы. 1971. Т. 7, № 10. С. 1859-1861.
79. Дембовский С.А., Кириленко В.В., Хворостенко А.С., Лужная Н.П. // Некот. вопросы химии и физики полупроводн. сложного состава. Ужгород: Ужгород. ун-т. 1970. С. 64-68.
80. Елагина Е.И. // Вопр. металлургии и физ. полупроводников. М.: АН СССР. 1961. С. 148-152.
81. Frumar M., Řehák B., Ticha H., Koudelka L. // *Collect. Czech. Chem. Commun.* 1972. Vol. 37, N 7. P. 2317-2323.
82. Палатник Л.С., Коновалов О.М., Гладких Н.Т., Колесников В.Н. // Физика металлов и металловедение. 1961. Т. II, № 5. С. 677-680.
83. Абрикосов Н.Х., Банкина В.Ф., Коломоец Л.А. и др. // Изв. АН СССР. Неорган. материалы. 1972. Т. 8, № 12. С. 2120-2124.
84. Ефимова Б.Е., Захарюгина Г.Ф., Коломоец Л.А. // Изв. АН СССР. Неорган. материалы. 1968. Т. 4, № 1. С. 32-38.
85. Елагина Е.И. // Вопр. металлургии и физ. полупроводников. М.: Изд-во АН СССР, 1961. С. 153-158.
86. Годовиков А.А., Ненашева С.Н., Лейбсон Р.М. // Материалы по генетич. и эксп. минералогии. Новосибирск: Наука, 1967. Т. 5. С. 34-54.
87. Малевский А.Ю., Рихтер Т.Л., Верес Г.И. // Тр. Ин-та минералогии, геохимии и кристаллохимии редких элементов. 1963. Вып. 18. С. 30-43.
88. Агаев К.А., Талыбов А.Г., Семилетов С.А. // Кристаллография. 1966. Т. II, № 5. С. 736-740.
89. Агаев К.А., Семилетов С.А. // Кристаллография. 1968. Т. I3, № 2. С. 258-260.
90. Даценко А.М., Разважной Е.И., Чашин В.А. // Тр. Моск. хим.-технол. ин-та. 1981. № 120. С. 32-34.
91. Huan G., Greenblatt M. // *Mater. Res. Bull.* 1987. Vol. 22, N 4. P. 505-512.
92. Guillevic J., Lestrat H., Grandjean D. // *Acta crystallogr.* 1976. Vol. B32, N 5. P. 1342-1345.
93. Tarascon J.M., Hull G.W., Waszcak J.V. // *Mater. Res. Bull.* 1985. Vol. 20, N 8. P. 935-946.
94. Ванярхо В.Г., Зломанов В.П., Новоселова А.В., Фокин В.Н. // Изв. АН СССР. неорган. материалы. 1969. Т. 5, № 10. С. 1699-1702.
95. Zabel M., Wandinger S., Range K.-J. // *Z. Kristallogr.* 1979. Bd. 149. N 1-2. S. 157.
96. Zabel M., Wandinger S., Range K.-J. // *Z. Naturforsch.* 1979. Bd. B34, N 2. S. 238-241.
97. Мюллер Н.Н., Сотникова Л.И. // Изв. АН СССР. неорган. материалы. 1969. Т. 5, № II. С. 1899-1902.
98. Michelet A., Collin G. // *J. Less-Common Metals.* 1976. Vol. 45, N 2. P. 185-191.
99. Заргарова М.И., Кулиев А.З., Каҳраманов К.Ш., Рошаль Р.М. // Азерб. хим. журн. 1975. № 6. С. 138-140.

## Г л а в а II

### СИСТЕМЫ НА ОСНОВЕ PbTe

#### Система PbTe-Na<sub>2</sub>Te

Система PbTe-Na<sub>2</sub>Te является неквазибинарным сечением тройной системы Pb-Na-Te в связи с инконгруэнтным характером плавления Na<sub>2</sub>Te [1]. В системе первично кристаллизуются PbTe и Na<sub>2</sub>Te. Термические эффекты при 633 К соответствуют совместной кристаллизации PbTe и Na<sub>2</sub>Te, а при 593 К - перитектическому выделению Na<sub>2</sub>Te [1]. Равновесный коэффициент распределения Na<sub>2</sub>Te в PbTe составляет 0,20 [2].

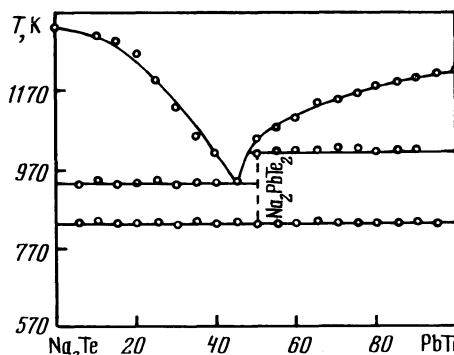
Исходные образцы отжигали при 550 К в течение 170 ч. Система исследована методами ДТА и РФА [1].

#### Система PbTe-Na<sub>2</sub>Te

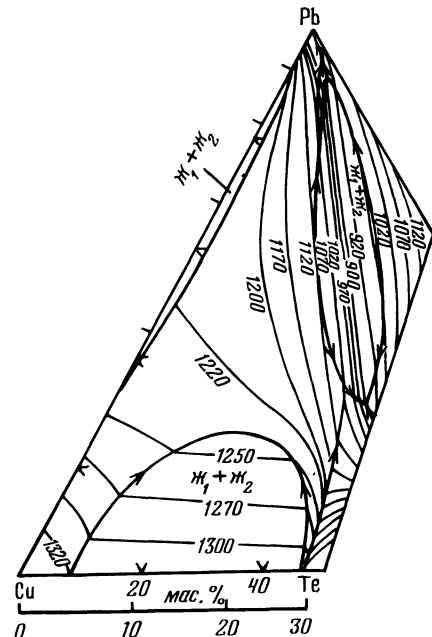
Диаграмма состояния системы PbTe-Na<sub>2</sub>Te представлена на рис. II.1 [1]. Эвтектика содержит 50 % Na<sub>2</sub>Te и кристаллизуется при 923 К. В системе образуется соединение Na<sub>2</sub>PbTe<sub>2</sub>, плавящееся инконгруэнтно при 993 К. Система исследована методами ДТА и РФА [1].

#### Система PbTe-CsCl

При 910 К в расплаве CsCl растворяется 0,001 % PbTe [3]. Растворимость PbTe в CsCl определяли методом изотермического насыщения с последующим анализом солевой фазы.



Р и с. II.1. Диаграмма состояния системы PbTe-Na<sub>2</sub>Te [1]



Р и с. II.2. Часть поверхности ликвидуса тройной системы Pb-Cu-Te [5]

### Система PbTe-CsJ

Диаграмма состояния системы PbTe-CsJ эвтектического типа  $\angle 4 \angle$ . Эвтектика вырождена со стороны CsJ и кристаллизуется при 913 К. В системе имеется широкая область расслаивания при 1183 К. Растворимость CsJ в PbTe достигает 0,4 %.

Исходные образцы отжигали при 570 К в течение 300 ч. Система исследована методами ДТА, РФА и МСА, а также измерением электропроводности и термоЕДС  $\angle 4 \angle$ .

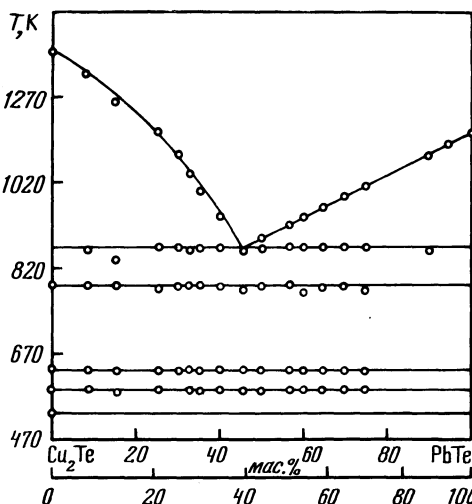
### Система PbTe-Cu

Система PbTe-Cu является неквазибинарным сечением тройной системы Pb-Cu-Te  $\angle 5-7 \angle$ .

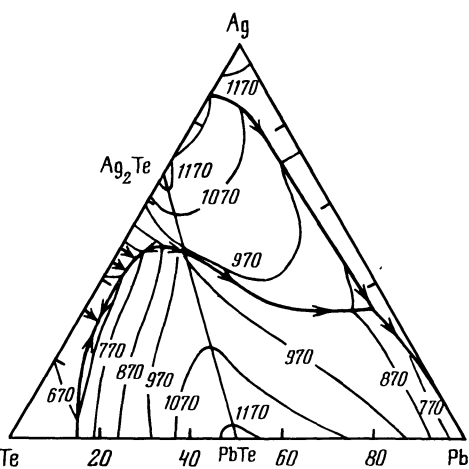
На поверхности ликвидуса системы PbTe-Cu<sub>2</sub>Te-Cu-Pb (рис. II.2), являющейся частью тройной системы Pb-Cu-Te, имеются три области расслаивания, две из которых примыкают к сторонам Cu-Cu<sub>2</sub>Te и Cu-Pb, а третья находится внутри концентрационной трапеции  $\angle 5 \angle$ . В системе имеется тройная эвтектика при 598,5 К и тройная перитектика при 868 К. Система исследована методами ДТА, РФА и МСА, а также измерением микротвердости  $\angle 5-7 \angle$ .

### Система PbTe-Cu<sub>2</sub>Te

Диаграмма состояния системы PbTe-Cu<sub>2</sub>Te (рис. II.3) эвтектического типа  $\angle 5,7 \angle$ . Эвтектика содержит 38,8 % (45,5 мас.%) PbTe и кристаллизуется при 922 К. Термические эффекты при 533, 589, 635 и 833 К соответствуют полиморфным превращениям Cu<sub>2</sub>Te. Растворимость исходных компонентов друг в друге незначительна. Система исследована методами ДТА, РФА и МСА  $\angle 5,7 \angle$ .



Р и с. II.3. Диаграмма состояния системы PbTe-Cu<sub>2</sub>Te  $\angle 5 \angle$



Р и с. II.4. Поверхность ликвидуса тройной системы Pb-Ag-Te  $\angle 8 \angle$

### Система PbTe-Ag

Система PbTe-Ag является неквазибинарным сечением тройной системы Pb-Ag-Te [6,8]. В системе первично кристаллизуются PbTe, Ag<sub>2</sub>Te и Ag.

Поверхность ликвидуса тройной системы Pb-Ag-Te представлена на рис. II.4 [8]. На концентрационном треугольнике неибольшую область занимает поле первичной кристаллизации PbTe.

Исходные образцы отжигали при 540 К в течение четырех недель [8] (при 920 и 1220 К в течение соответственно 46 и 20 ч [6]). Система исследована методами ДТА, РФА и МСА [6,8].

### Система PbTe-AgSbTe<sub>2</sub>

Система PbTe-AgSbTe<sub>2</sub> является неквазибинарным сечением четверной системы Pb-Ag-Sb-Te [9,10]. Со стороны AgSbTe<sub>2</sub> в системе образуется Ag<sub>2</sub>Te. При 670 и 770 К область твердых растворов на основе PbTe достигает соответственно 79 и 74 % AgSbTe<sub>2</sub> [9] и увеличивается с понижением температуры [9,10]. В области твердых растворов параметр элементарной ячейки в зависимости от состава изменяется линейно [II,12].

Исходные образцы отжигали при 670, 770 и 820 К в течение соответственно 750, 500 и 300 ч. Система исследована методами ДТА, МСА и дилатометрического анализа [9].

### Система PbTe-Ag<sub>19</sub>Sb<sub>29</sub>Te<sub>52</sub>

Система PbTe-Ag<sub>19</sub>Sb<sub>29</sub>Te<sub>52</sub> является неквазибинарным сечением четверной системы Pb-Ag-Sb-Te [13]. Со стороны Ag<sub>19</sub>Sb<sub>29</sub>Te<sub>52</sub> в системе образуется Sb<sub>2</sub>Te<sub>3</sub>. При температурах выше 800 К в системе существует непрерывный ряд твердых растворов. При 520, 610 и 670 К область твердых растворов на основе PbTe составляет соответственно 85, 77 и 64 % Ag<sub>19</sub>Sb<sub>29</sub>Te<sub>52</sub>.

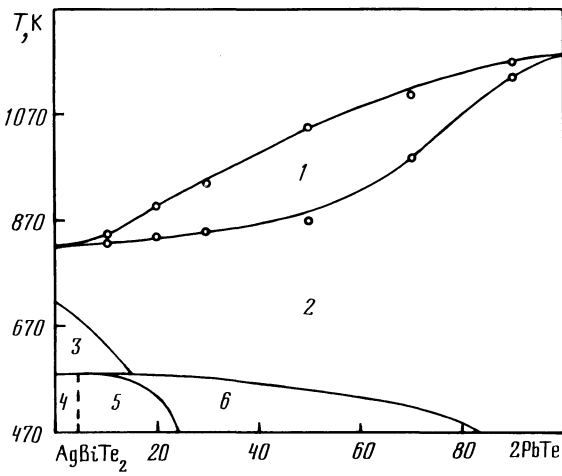
Исходные образцы отжигали при 480-800 К в течение 500-1300 ч. Система исследована методами РФА и МСА [13].

### Система PbTe-AgBiTe<sub>2</sub>

Система 2PbTe-AgBiTe<sub>2</sub> является неквазибинарным сечением четвертной системы Pb-Ag-Bi-Te (рис. II.5) [14]. При температурах выше температуры разложения AgBiTe<sub>2</sub> в системе образуется непрерывный ряд твердых растворов [II,14], которые при понижении температуры распадаются с образованием Ag<sub>2</sub>Te, Bi<sub>2</sub>Te<sub>3</sub> и PbBi<sub>4</sub>Te<sub>7</sub> [14]. При 593 К в системе протекает перитектическая реакция. В области твердых растворов параметр элементарной ячейки в зависимости от состава изменяется линейно [II].

Согласно [15] в системе образуется соединение AgPbBiTe<sub>3</sub>, плавящееся при 978 К и кристаллизующееся в кубической структуре с параметром элементарной ячейки  $a = 6,306 \text{ \AA}$ , рентгенографической и пикнометрической плотностью соответственно 6,00 и 5,96 г/см<sup>3</sup>.

Исходные образцы отжигали при 420, 740 и 790 К в течение соответственно 60, 8 и 9 дней. Система исследована методами ДТА, РФА и МСА [14].



Р и с. II.5. Политермическое сечение  $2\text{PbTe}-\text{AgBiTe}_2$  [14].

1 -  $\text{x}+\alpha$ ; 2 -  $\alpha$ ; 3 -  $\alpha + \text{Ag}_2\text{Te} + \text{Bi}_2\text{Te}_3$ ; 4 -  $\text{Ag}_2\text{Te} + \text{Bi}_2\text{Te}_3 + \text{PbBi}_4\text{Te}_7$ ; 5 -  $\text{PbBi}_4\text{Te}_7 + \text{Ag}_2\text{Te}$ ; 6 -  $\alpha + \text{PbBi}_4\text{Te}_7 + \text{Ag}_2\text{Te}$

#### Система PbTe-Ag<sub>2</sub>Te

Растворимость Ag<sub>2</sub>Te в PbTe достигает 1,5 % [16].

#### Система PbTe-Ag<sub>2</sub>Te

Диаграмма состояния системы PbTe-Ag<sub>2</sub>Te (рис. II.6) эвтектического типа [16, 17]. Эвтектика содержит 62 % Ag<sub>2</sub>Te, и кристаллизуется при 967 К. Со стороны Ag<sub>2</sub>Te имеются два полиморфных превращения. При введении PbTe в Ag<sub>2</sub>Te стабилизируется модификация  $\beta$ -Ag<sub>2</sub>Te, температура  $\alpha$ - $\beta$ -превращения понижается от 420 до 413 К, а температура  $\beta$ - $\gamma$ -превращения повышается от 1076 до 1151 К. Термические эффекты при 748 К [16] не обнаружены [17]. Растворимость PbTe в  $\alpha$ -Ag<sub>2</sub>Te не обнаружена, в  $\beta$ -Ag<sub>2</sub>Te достигает 29 %, в  $\gamma$ -Ag<sub>2</sub>Te - 1,5 %, а растворимость  $\beta$ -Ag<sub>2</sub>Te в PbTe - 12 % [17]. Система исследована методами ДТА, РФА и МСА [16, 17].

#### Система PbTe-Ag<sub>5</sub>Te<sub>3</sub>

Растворимость Ag<sub>5</sub>Te<sub>3</sub> в PbTe достигает 3,9 % Ag [16].

#### Система PbTe-Au

Диаграмма состояния системы PbTe-Au (рис. II.7) эвтектического типа [18, 19]. Эвтектика содержит 57,15 % Au и кристаллизуется при 1021 К [18] (42 % Au и 1015 К [19]). Взаимная растворимость исходных компонентов незначительна.

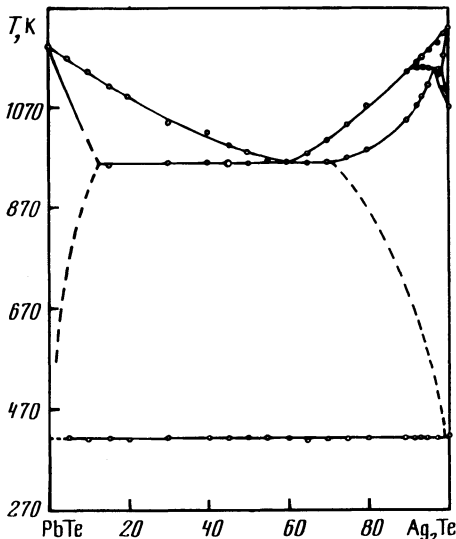


Рис. II.6. Диаграмма состояния системы PbTe-Ag<sub>2</sub>Te [17]

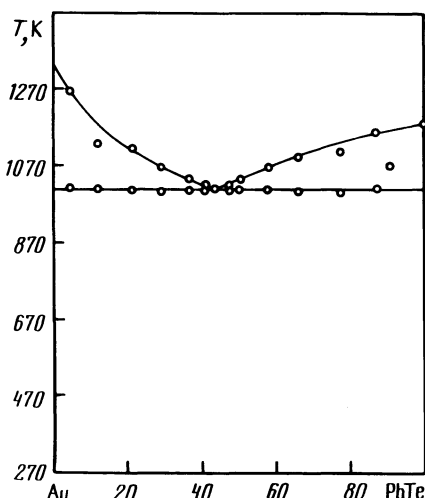


Рис. II.7. Диаграмма состояния системы PbTe-Au [18]

Поверхность ликвидуса тройной системы Pb-Au-Te представлена на рис. II.8 [18]. В подсистеме PbTe-AuTe<sub>2</sub>-Te тройная эвтектика ( $E_1$ ) содержит 5,6 % Pb, 81,7 % Te, 17,7 % Au и кристаллизуется при 661 К, а в подсистеме PbTe-AuTe<sub>2</sub>-Au - ( $E_2$ ) 35,7 % Au, 10,7 % Pb, 53,6 % Te и кристаллизуется при 675 К. В подсистеме PbTe-Au-Pb имеются три тройные перитектические точки:  $P_1$  (693 К),  $P_2$  (522 К),  $P_3$  (488 К) и тройная эвтектическая точка ( $E_3$ ) при 483 К, которая практически сливается с эвтектикой в системе Au-Pb. Система исследована методами ДТА, РФА и МСА [18,19].

#### Система PbTe-AuTe<sub>2</sub>

Диаграмма состояния системы PbTe-AuTe<sub>2</sub> (рис. II.9) эвтектического типа [18]. Эвтектика содержит 22,5 % PbTe и кристаллизуется при 699 К. Взаимная растворимость исходных компонентов незначительна. Система исследована методами ДТА, РФА и МСА [18].

#### Система PbTe-MgTe

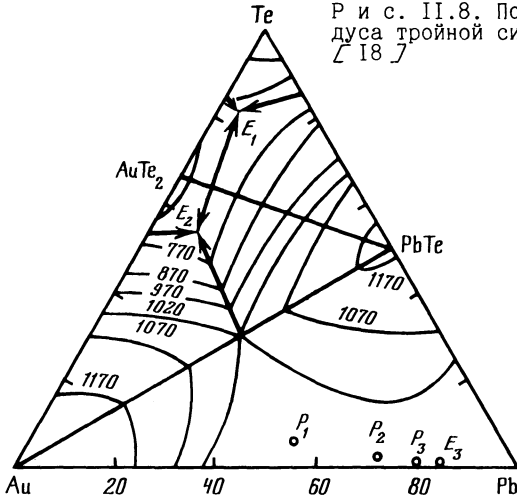
Часть диаграммы состояния системы PbTe-MgTe имеет аномальный максимум при 7-8 % MgTe [20]. Предельная растворимость MgTe в PbTe достигает 6,5 %. Коэффициент распределения MgTe в PbTe  $k > 1$  [20,21].

Исходные образцы отжигали при 520-1070 К в течение 3-170 ч. Система исследована методами ДТА, РФА и МСА [20].

#### Система PbTe-Zn

Система PbTe-Zn является неквазибинарным сечением тройной системы Pb-Zn-Te [6,22]. Процесс выделения ZnTe происходит под расслаиванием,

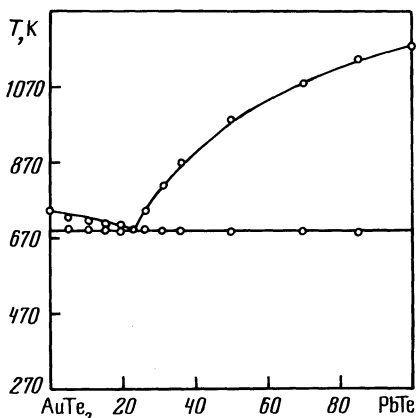
Р и с. II.8. Поверхность ликвидуса тройной системы Pb-Au-Te  
[18]



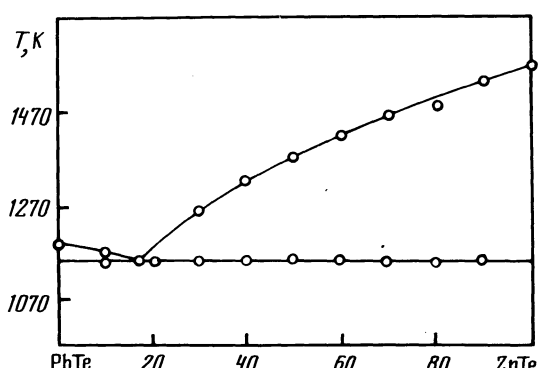
которое находится в интервале 13-100 % Zn. Полная кристаллизация всех фаз в области вторичной системы PbTe-ZnTe-Pb заканчивается при 573 К и 49 % Zn, а системы Pb-Zn-ZnTe -при 583 К и 50,5 % Zn [22].

Поверхность ликвидуса тройной системы Pb-Zn-Te состоит из 5 полей первичной кристаллизации [22]. Основную часть треугольника занимает поле первичной кристаллизации ZnTe, большая часть которого находится под областью расслаивания. Тройная эвтектика PbTe+ZnTe+Te кристаллизуется при 673 К.

Исходные образцы отжигали при температурах ниже температур солидуса в течение 200 ч [22] (при 1220 К в течение 15 ч, а затем при 870 К в течение 48 ч [6]). Система исследована методами ДТА, РФА, МСА и измерением микротвердости [6, 22].



Р и с. II.9. Диаграмма состояния системы PbTe-AuTe<sub>2</sub> [18]



Р и с. II.10. Диаграмма состояния системы PbTe-ZnTe [23]

### Система PbTe-ZnTe

Диаграмма состояния системы PbTe-ZnTe (рис. II.10) эвтектического типа [22,23]. Эвтектика содержит 17 % ZnTe и кристаллизуется при 1160 К [23] (10 % ZnTe и 1148 К [22]). Растворимость ZnTe в PbTe при 1070 К составляет 1,5 %, а при 520 К - 1 % [24]. Система исследована методами ДТА, РФА, МСА и измерением микротвердости [22,23].

### Система PbTe-Cd

Система PbTe-Cd является неквазибинарным сечением тройной системы Pb-Cd-Te [6,25,26]. Тепловые эффекты при 521 и 600 К соответствуют кристаллизации тройных эвтектик CdTe+Pb+Cd и CdTe+Pb+PbTe. Растворимость Cd в PbTe при 670 К монотонно увеличивается при увеличении давления паров кадмия [27].

Исходные образцы отжигали при 1220 К в течение 15 ч, а затем при 870 К в течение 48 ч [6]. Система исследована методами ДТА, РФА и МСА, а также измерением микротвердости [6,25,26].

### Система PbTe-CdS

Диаграмма состояния системы PbTe-CdS (рис. II.11) эвтектического типа [28]. Эвтектика содержит 20 % CdS и кристаллизуется при 1147 К. Растворимость CdS в PbTe при эвтектической температуре составляет 13 %, а PbTe в CdS - не превышает 1 %. Система исследована методами ДТА и МСА [28].

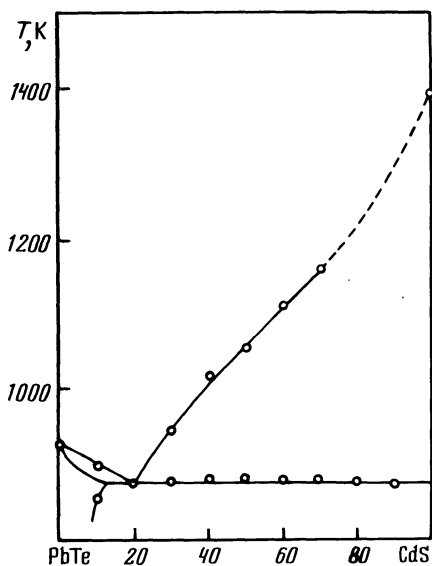


Рис. II.11. Диаграмма состояния системы PbTe-CdS [28].

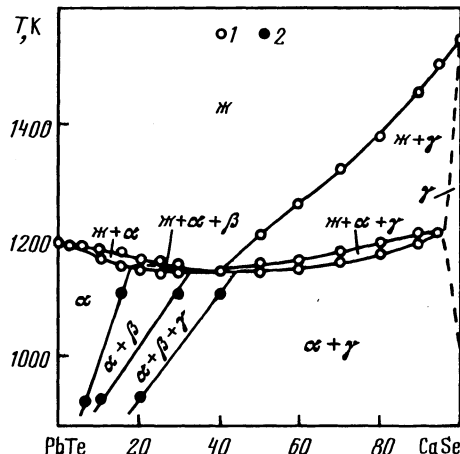


Рис. II.12. Политермическое сечение PbTe-CdS [29].

1 - ДТА, 2 - РФА

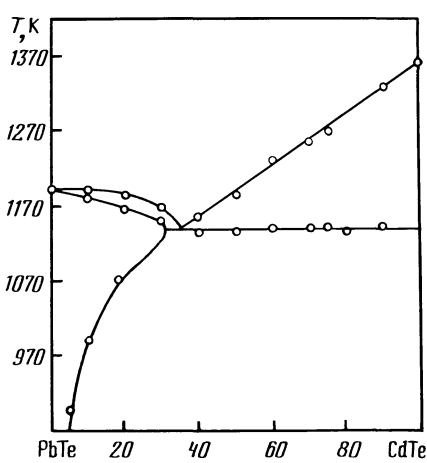
### Система PbTe-CdSe

Система PbTe-CdSe является неквазибинарным сечением тройной взаимной системы Pb,Cd||Se,Te (рис. II.12) [29,30]. В твердом состоянии в равновесии находятся три фазы:  $\alpha$  (твердые растворы PbSe<sub>x</sub>Te<sub>1-x</sub> со структурой типа NaCl),  $\beta$  и  $\gamma$  (твердые растворы CdSe<sub>x</sub>Te<sub>1-x</sub> со структурами вюрцита и сфалерита). Растворимость CdSe в PbTe при 1140 К составляет 16 %, а PbTe в CdSe при 1270 К не превышает 2 %. Параметр элементарной ячейки в области твердых растворов на основе PbTe в зависимости от состава изменяется линейно.

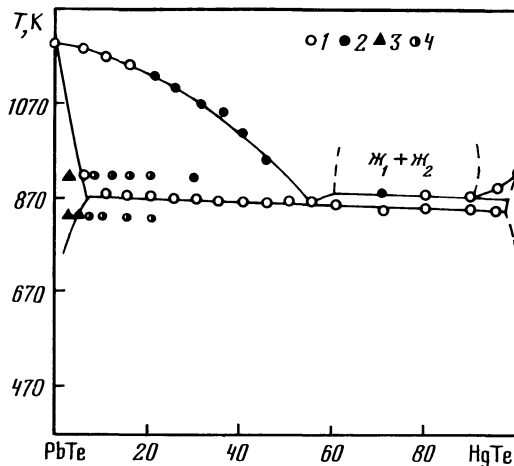
Исходные образцы отжигали при 920 и 1100 К в течение соответственно 340 и 120 ч. Система исследована методами ДТА, РФА, МСА и измерением микротвердости [29,30].

### Система PbTe-CdTe

Диаграмма состояния системы PbTe-CdTe (рис. II.13) эвтектического типа [26,31,32]. Эвтектика содержит 35 % CdTe и кристаллизуется при 1143 К [31] (36 % CdTe и 1157 К [26]; 40 % CdTe и 1113 К [32]; 1139 К [33]). Растворимость CdTe в PbTe при 520, 900, 990 и 1070 К составляет соответственно 3; 4,6; 10 и 17 % [32-35] (при 720, 820 и 920 К соответственно 2, 3 и 4 % [36]). В области разбавленных твердых растворов на основе PbTe обнаружен немонотонный характер концентрационных зависимостей электрофизических свойств, что объясняется переходом разбавленных твердых растворов, в которых межпримесным взаимодействием можно пренебречь, к концентрированным, когда взаимодействие между частицами переводит кристалл в качественно новое состояние [36]. В системе PbTe-CdTe этот переход осуществляется при 0,4 % PbTe.



Р и с. II.13. Диаграмма состояния системы PbTe-CdTe [31].



Р и с. II.14. Диаграмма состояния системы PbTe-HgTe [37,38].

I - нагревание, 2 - охлаждение, 3 - одно- и 4 - двухфазные образцы

Исходные образцы отжигали при 720, 820 и 920 К в течение 400 и 100 ч  $\Delta 36$  J. Система исследована методами ДТА, РФА и МСА и измерением микротвердости  $\Delta 26,31,32$  J.

#### Система PbTe-HgTe

Диаграмма состояния системы PbTe-HgTe (рис. II.14) эвтектического типа  $\Delta 37-39$  J. Эвтектика содержит 55 % HgTe и кристаллизуется при 878 К  $\Delta 37,38$  J (76 % HgTe и 883 К  $\Delta 39$  J). В интервале 60-90 % HgTe в системе имеется расслаивание  $\Delta 37,38$  J (расслаивания в системе не наблюдается  $\Delta 39$  J). Растворимость HgTe в PbTe при 700, 800, 883 и 900 К составляет соответственно 1,5; 3; 4,6 и 4,0 %, а растворимость PbTe в HgTe не превышает 0,5 %  $\Delta 39$  J.

Система исследована методами ДТА, РФА и МСА, а также измерением микротвердости и термоЭДС  $\Delta 37-39$  J.

#### Система PbTe-Ga

Система PbTe-Ga является неквазибинарным сечением тройной системы Pb-Ga-Te  $\Delta 6$  J. При взаимодействии PbTe и Ga в системе обнаружены  $\text{Ga}_2\text{Te}_3$ , Pb, а также неидентифицированная фаза (возможно, твердый раствор GaTe в PbTe).

Область твердых растворов на основе PbTe в тройной системе Pb-Ga-Te вытянута в направлении разреза PbTe-GaTe (рис. II.15), причем введение Ga расширяет область гомогенности PbTe как в сторону Pb, так и в сторону Te  $\Delta 40,41$  J.

Исходные образцы отжигали при 1220 К в течение 15 ч, а затем при 870 К в течение 48 ч  $\Delta 6$  J (при 820 К в течение 300 ч  $\Delta 40$  J). Система исследована методами РФА и МСА, а также измерением микротвердости, термоЭДС, электропроводности и концентрации носителей тока  $\Delta 6,40,41$  J.

#### Система PbTe-GaAs

Диаграмма состояния системы PbTe-GaAs эвтектического типа  $\Delta 42$  J. Эвтектика содержит 11,5 % GaAs и кристаллизуется при 1148 К. Низкотемпературный термический эффект распада твердого раствора проявляется при содержании 0,7 % GaAs.

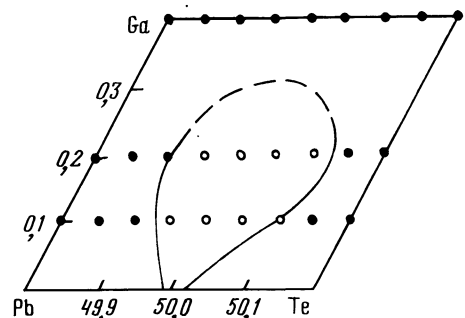


Рис. II.15. Область твердых растворов на основе PbTe в тройной системе Pb-Ga-Te при 820 К  $\Delta 40$  J

1 - одно- и 2 - двухфазные образцы

Исходные образцы отжигали при 970 К в течение 100 ч. Система исследована методами ДТА и МСА, а также измерением микротвердости  $\zeta$  42  $J$ .

### Система PbTe-Ga<sub>2</sub>Se<sub>3</sub>

Диаграмма состояния системы PbTe-Ga<sub>2</sub>Se<sub>3</sub> (рис. II.I6) эвтектического типа  $\zeta$  43  $J$ . Эвтектика содержит 40 % Ga<sub>2</sub>Se<sub>3</sub> и кристаллизуется при 913 К. Растворимость PbTe в Ga<sub>2</sub>Se<sub>3</sub> при эвтектической температуре достигает 38 %. Система исследована методами ДТА и РФА  $\zeta$  43  $J$ .

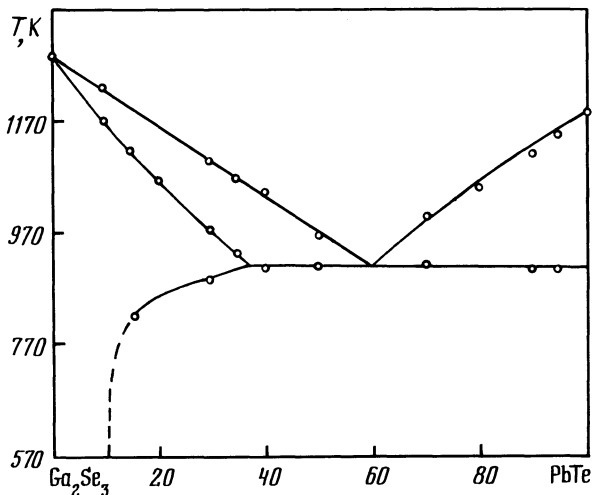


Рис. II.I6. Диаграмма состояния системы PbTe-Ga<sub>2</sub>Se<sub>3</sub>  $\zeta$  43  $J$

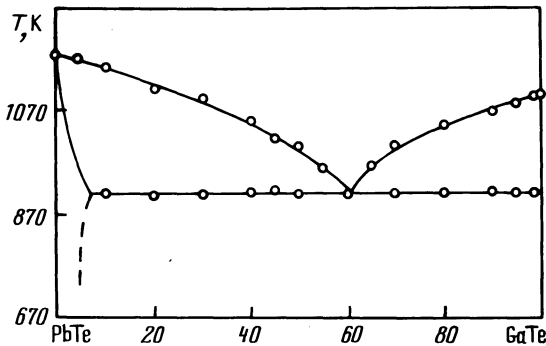
### Система PbTe-GaTe

Диаграмма состояния системы PbTe-GaTe (рис. II.I7) эвтектического типа  $\zeta$  44  $J$ . Эвтектика содержит 40 % PbTe и кристаллизуется при 903 К. Растворимость GaTe в PbTe достигает 5 %  $\zeta$  44  $J$  (15 %  $\zeta$  45  $J$ ; 1,25 % при 870 К  $\zeta$  46  $J$ ). На основе GaTe область твердых растворов незначительна  $\zeta$  44  $J$ .

Исходные образцы отжигали при 870 К в течение 500 ч  $\zeta$  44  $J$ . Монокристаллы твердых растворов на основе PbTe получали методом Бриджмена  $\zeta$  24  $J$ . Система исследована методами ДТА, РФА и МСА, а также измерением микротвердости, электропроводности и термоЭДС  $\zeta$  44-46  $J$ .

### Система PbTe-Ga<sub>2</sub>Te<sub>3</sub>

Диаграмма состояния системы PbTe-Ga<sub>2</sub>Te<sub>3</sub> представлена на рис. II.I8  $\zeta$  47  $J$ . В системе образуется соединение PbGa<sub>6</sub>Te<sub>10</sub>, плавающееся инкогруэнтно при 1010 К  $\zeta$  47  $J$  (998 К  $\zeta$  48  $J$ ) и кристаллизующееся в кубической структуре с параметром элементарной ячейки  $a = 10,23 \text{ \AA}$   $\zeta$  49  $J$  (в ромбоэдрической структуре  $\zeta$  48  $J$ ). В области 80-95 % Ga<sub>2</sub>Te<sub>3</sub> имеются термические эф-

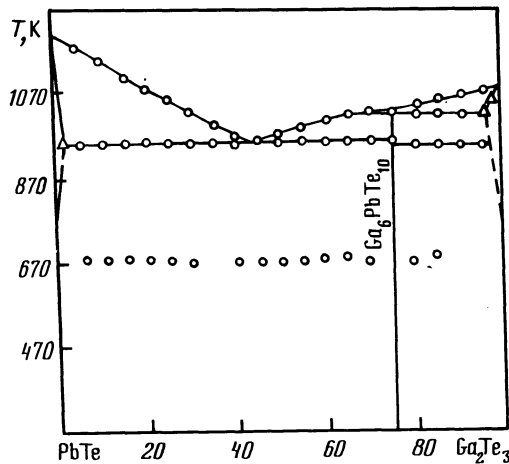


Р и с. II.17. Диаграмма состояния системы PbTe-Ga<sub>2</sub>Te<sub>3</sub>  
[44]

фекты при 939 К, обусловленные полиморфным превращением Ga<sub>2</sub>Te<sub>3</sub>, а термические эффекты при 673 К авторы [47] связывают со смещением состава исследуемых образцов с разреза PbTe-Ga<sub>2</sub>Te<sub>3</sub>. Эвтектика содержит 43 % Ga<sub>2</sub>Te<sub>3</sub> и кристаллизуется при 951 К. Растворимость PbTe в Ga<sub>2</sub>Te<sub>3</sub> достигает 4 %, а Ga<sub>2</sub>Te<sub>3</sub> в PbTe не превышает 1 % [47, 50].

Согласно [50, 51] диаграмма состояния системы PbTe-Ga<sub>2</sub>Te<sub>3</sub> эвтектического типа. Эвтектика содержит 40 % Ga<sub>2</sub>Te<sub>3</sub> и кристаллизуется при 823 К [50] (50 % Ga<sub>2</sub>Te<sub>3</sub> и 969 К [51]). Добавление PbTe к Ga<sub>2</sub>Te<sub>3</sub> повышает температуру полиморфного превращения твердых растворов на основе Ga<sub>2</sub>Te<sub>3</sub> от 953 до 973 К [50], а по данным [51] полиморфное превращение Ga<sub>2</sub>Te<sub>3</sub> наблюдается в системе при 943 К.

Исходные образцы отжигали при 620 (менее 60 % Ga<sub>2</sub>Te<sub>3</sub>) и 930 К (более 60 % Ga<sub>2</sub>Te<sub>3</sub>) в течение 150 ч [47] (при 670 К в течение 500 ч [50];



Р и с. II.18. Диаграмма состояния системы PbTe-Ga<sub>2</sub>Te<sub>3</sub>  
[47]

при 920 К в течение 350 ч [51]. Система исследована методами ДТА, РГА и МСА, а также измерением микротвердости [47, 49-51].

### Система PbTe-In

Система PbTe-In является неквазибинарным сечением тройной системы Pb-In-Te [52]. При взаимодействии PbTe и In в системе обнаружены  $In_2Te_3$  и Pb.

Поверхность ликвидуса тройной системы Pb-In-Te (рис. II.19) состоит из 6 полей первичной кристаллизации [52]. Самую большую область занимает поле первичной кристаллизации PbTe. В системе имеется пять нонвариантных точек (табл. II.1).

Таблица II.1

Нонвариантные равновесия в тройной системе Pb-In-Te [52].

Обозначение	T, K	Реакция
$E_1$	643	$\text{Ж} \rightleftharpoons \text{PbTe} + \text{Te} + \text{In}_2\text{Te}_3$
$E_2$	863	$\text{Ж} \rightleftharpoons \text{PbTe} + \text{In}_2\text{Te}_3 + \text{InTe}$
$P_1$	723	$\text{Ж} + \text{In}_2\text{Te}_3 \rightleftharpoons \text{PbTe} + \text{In}_2\text{Te}_5$
$P_2$	698	$\text{Ж} + \text{InTe} \rightleftharpoons \text{PbTe} + \text{In}_9\text{Te}_7$
$P_3$	523	$\text{Ж} + \text{PbTe} \rightleftharpoons \gamma + \text{In}_9\text{Te}_7$

Примечание.  $\gamma$  - твердые растворы на основе Pb.

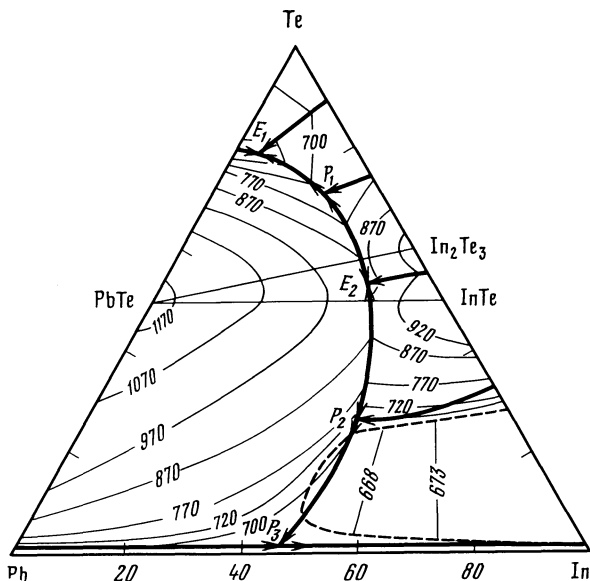


Рис. II.19. Поверхность ликвидуса тройной системы Pb-In-Te [52].

Исходные образцы отжигали при 1220 К в течение 15 ч, а затем при 870 К в течение 48 ч [6,52].

Система исследована методами ДТА, РФА и МСА, а также измерением микротвердости [6,52].

#### Система PbTe-InSe

Диаграмма состояния системы PbTe-InSe (рис. II.20) эвтектического типа [53]. Эвтектика содержит 8 % PbTe и кристаллизуется при 773 К. Растворимость InSe в PbTe при эвтектической температуре достигает 35 %, а PbTe в InSe не превышает 2 %.

Исходные образцы отжигали при 670 К в течение 220 ч. Система исследована методами ДТА, РФА и МСА, а также измерением микротвердости [53].

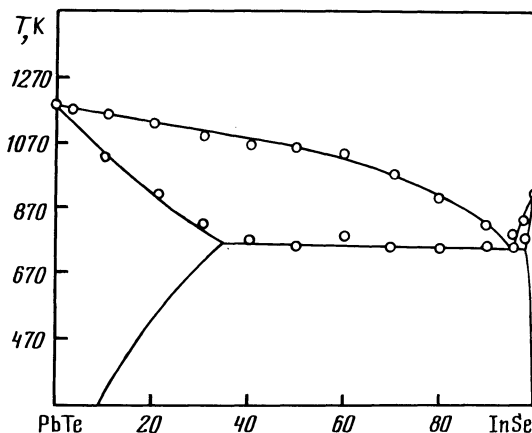


Рис. II.20. Диаграмма состояния системы PbTe-InSe [53].

#### Система PbTe-InTe

Диаграмма состояния системы PbTe-InTe (рис. II.21) эвтектического типа [33,54,55]. Эвтектика содержит 25-26 % InTe и кристаллизуется при 913 К [54,55] (919 К [33]). Растворимость InTe в PbTe достигает 15 % [45] (35 % [33]); 7 % [56,57], а растворимость PbTe в InTe - 3 % [57,58]. Параметр элементарной ячейки твердых растворов на основе PbTe в зависимости от состава изменяется линейно [33].

Согласно [57] диаграмма состояния системы PbTe-InTe эвтектического типа с перитектическим превращением. Эвтектика содержит 15 % PbTe и кристаллизуется при 673 К. В системе образуется соединение  $InPbTe_2$ , плавящееся инконгруэнтно при 923 К и содержащее 52 % PbTe [57,59].

Исходные образцы отжигали при 570-970 К в течение 150-500 ч [54] (при 870 К в течение 400 ч [57]). Система исследована методами ДТА, РФА и МСА, а также измерением микротвердости, термоЭДС, электро- и теплопроводности [33,45,54-59].

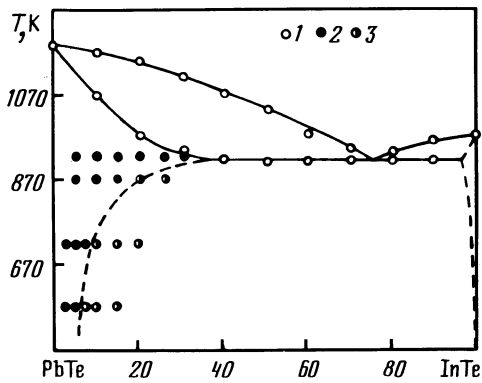


Рис. II.21. Диаграмма состояния системы  $\text{PbTe}-\text{InTe}$  [54].

1 - ДТА, 2 - одно- и 3 - двухфазные образцы

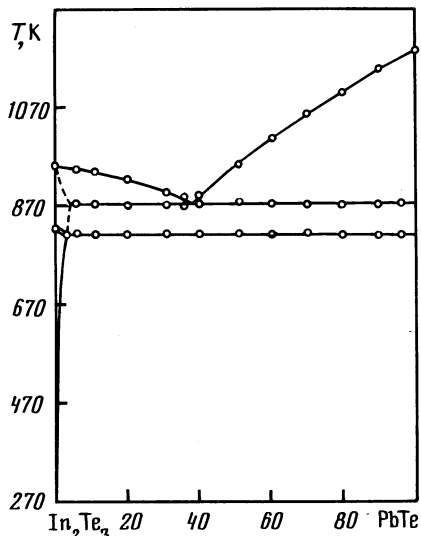


Рис. II.22. Диаграмма состояния системы  $\text{PbTe}-\text{In}_2\text{Te}_3$  [60].

### Система $\text{PbTe}-\text{In}_2\text{Te}_3$

Диаграмма состояния системы  $\text{PbTe}-\text{In}_2\text{Te}_3$  (рис. II.22) эвтектического типа [60, 61]. Эвтектика содержит 38 %  $\text{PbTe}$  и кристаллизуется при 873 К. Температура полиморфного превращения  $\text{In}_2\text{Te}_3$  при введении  $\text{PbTe}$  понижается от 821 до 817 К. Растворимость  $\text{PbTe}$  в  $\text{In}_2\text{Te}_3$  при 770 К достигает 1,5 и уменьшается до 0,05 % при комнатной температуре.

В системе образуется соединение  $\text{PbIn}_6\text{Te}_{10}$  [61, 62], кристаллизующееся в кубической структуре с параметром элементарной ячейки  $a = 19,39 \text{ \AA}$  [62].

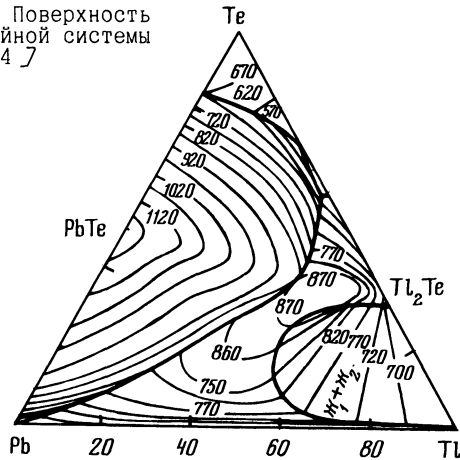
Исходные образцы отжигали при 720 К в течение 300 ч [60] (при 570–1050 К в течение 200–500 ч [62]). Система исследована методами ДТА, РФА, МСА и рентгеноспектрального микроанализа, а также измерением микротвердости [60–62].

### Система $\text{PbTe}-\text{Tl}$

Система  $\text{PbTe}-\text{Tl}$  является неквазибинарным сечением тройной системы  $\text{Pb-Tl-Te}$  [63]. Линия ликвидуса, соответствующая первичному выделению  $\text{PbTe}$ , продолжается до 55 % Tl. Эффект при 865 К соответствует началу совместной кристаллизации  $\text{PbTe}$  и  $\sigma$ -фазы ( $\text{Tl}_4\text{PbTe}_3$ ). Кристаллизация сплавов заканчивается затвердеванием твердых растворов Tl в Pb. Соединения  $\text{Tl}_2\text{PbTe}$  в системе не существует.

Поверхность ликвидуса тройной системы  $\text{Pb-Tl-Te}$  (рис. II.23) состоит из пяти полей первичной кристаллизации фаз [64]. Границы области крис-

Рис. II.23. Поверхность ликвидуса тройной системы  $\text{Pb}-\text{Tl}-\text{Te}$   $\angle 64 \angle$



тальлизации  $\text{Tl}_5\text{Te}_3$  установить не удалось. Предполагается  $\angle 64 \angle$ , что эта область находится в виде узкой полосы вдоль системы  $\text{Tl}-\text{Te}$ . При 520 К в тройной системе существует одна тройная фаза  $\text{Tl}_4\text{PbTe}_3$  со значительной областью гомогенности  $\angle 65 \angle$ .

Исходные образцы отжигали при 570 К в течение 800 ч. Система исследована методами ДТА, РФА и МСА, а также измерением микротвердости, электропроводности и термоЭДС  $\angle 63, 64 \angle$ .

#### Система $\text{PbTe}-\text{TlSbTe}_2$

Система  $2\text{PbTe}-\text{TlSbTe}_2$  является неквазибинарным сечением четверной системы  $\text{Pb}-\text{Tl}-\text{Sb}-\text{Te}$  (рис. II.24) в связи с инконгруэнтным характером плавления  $\text{TlSbTe}_2$   $\angle 66 \angle$ . При температурах выше 600 К в системе существует непрерывный ряд твердых растворов, а при понижении температуры в интервале 20-40 % ( $2\text{PbTe}$ ) происходит распад твердых растворов. Со стороны  $\text{PbTe}$  твердые растворы кристаллизуются в кубической структуре, а со стороны  $\text{TlSbTe}_2$  - в ромбоэдрической  $\angle 66, 67 \angle$ .

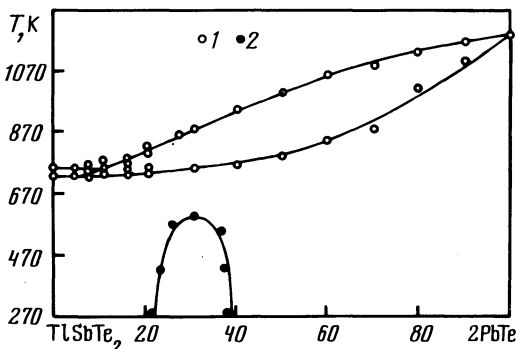


Рис. II.24. Политетмическое сечение  $2\text{PbTe}-\text{TlSbTe}_2$   $\angle 66 \angle$

I - ДТА, 2 - РФА

Исходные образцы отжигали при 700 К в течение 240 ч, а часть из них в ступенчатом режиме при 870 и 670 К в течение соответственно 300 и 400 ч. Система исследована методами ДТА, РФА и МСА, а также измерением электропроводности и термоЭДС  $\mathcal{E} 66 \text{ J}$ .

#### Система PbTe-TlBiTe<sub>2</sub>

Система 2PbTe-TlBiTe<sub>2</sub> является неквазибинарным сечением четверной системы Pb-Tl-Bi-Te (рис. II.25) в связи с инконгруэнтным характером плавления TlBiTe<sub>2</sub>  $\mathcal{E} 68 \text{ J}$ . При температурах выше 650 К в системе существует непрерывный ряд твердых растворов, а при понижении температуры в интервале 20-30 % (2PbTe) происходит распад твердых растворов. Со стороны PbTe твердые растворы кристаллизуются в кубической, а со стороны TlBiTe<sub>2</sub> - в ромбоэдрической структурах  $\mathcal{E} 67,68 \text{ J}$ . Соединение TlPbBiTe<sub>3</sub> (температура плавления 908 К, кубическая структура,  $a = 6,488 \text{ \AA}$ , рентгенографическая и пикнометрическая плотность соответственно 8,042 и 8,038 г/см<sup>3</sup>  $\mathcal{E} 15 \text{ J}$ ) в системе не обнаружено  $\mathcal{E} 67,68 \text{ J}$ .

Исходные образцы отжигали при 770 К в течение 560 ч. Система исследована методами ДТА, РФА и МСА  $\mathcal{E} 68 \text{ J}$ .

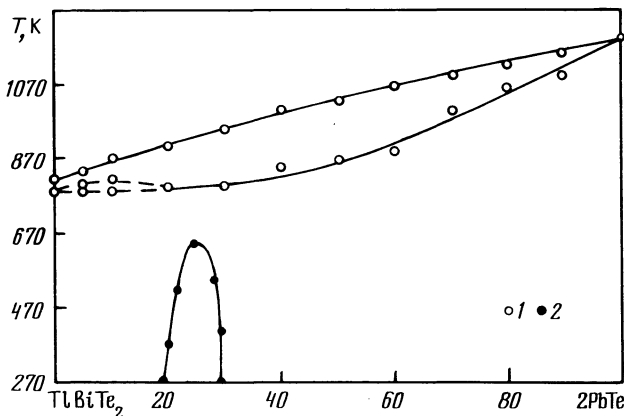


Рис. II.25. Политермическое сечение 2PbTe-TlBiTe<sub>2</sub>  $\mathcal{E} 68 \text{ J}$   
I - ДТА, 2 - РФА

#### Система PbTe-TlSe

Диаграмма состояния системы PbTe-TlSe (рис. II.26) эвтектического типа  $\mathcal{E} 69 \text{ J}$ . Эвтектика содержит 4 % PbTe и кристаллизуется при 523 К. Растворимость TlSe в PbTe составляет 6 %, а PbTe в TlSe не превышает 1 %.

Исходные образцы отжигали при температурах на 50-60 К ниже температуры солидуса в течение месяца. Система исследована методами ДТА, МСА и измерения микротвердости  $\mathcal{E} 69 \text{ J}$ .

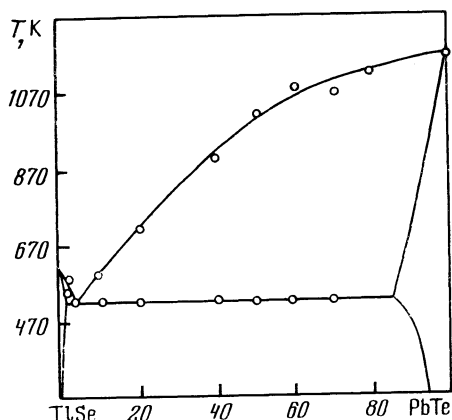
### Система PbTe-TlTe

Система PbTe-TlTe является неквазибинарным сечением тройной системы Pb-Tl-Te [70,71]. На кривых нагревания образцов, содержащих 5-90 % TlTe имеются два эндотермических эффекта при 553 и 823 К и один высокотемпературный эндотермический эффект, температура которого понижается с увеличением содержания TlTe [71]. В интервале 90-100 % TlTe появляется термический эффект при 573 К. На термограммах неотожженных сплавов проявляются эффекты при 497 и 513 К. Отожженные образцы состоят из фаз PbTe и TlTe, а неотожженные содержат третью фазу, которая, по-видимому, имеет состав  $Tl_4PbTe_3$ . Согласно [70] при 523 К протекает нонвариантное взаимодействие  $\text{Ж} + Tl_5Te_3 \rightleftharpoons TlTe + \alpha$  (PbTe). Термический эффект при 723 К [71] в системе не зафиксированы [70]. Растворимость TlTe в PbTe при 520 К достигает 17 % " 45,70 / (1,2 % при 470 К [72]).

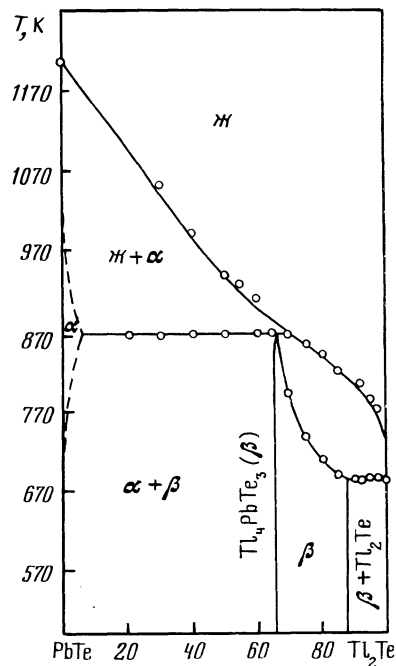
Исходные образцы отжигали при 470 К в течение 500-600 ч [71,72]. Система исследована методами ДТА, РФА и МСА, а также измерением микротвердости, плотности, электропроводности и термоЭДС [45,70-72].

### Система PbTe-Tl<sub>2</sub>Te

Диаграмма состояния системы PbTe-Tl<sub>2</sub>Te представлена на рис. II.27 [73]. В системе образуется соединение  $Tl_4PbTe_3$ , плавящееся инконгруэнт-



Р и с. II.26. Диаграмма состояния системы PbTe-TlSe [69]



Р и с. II.27. Диаграмма состояния системы PbTe-Tl<sub>2</sub>Te [73]

но при 867 К, кристаллизующееся в тетрагональной структуре с параметрами элементарной ячейки  $a = 8,838 \text{ \AA}$ ,  $c = 13,063 \text{ \AA}$  и имеющее область гомогенности в интервале 66,5-88 %  $\text{Tl}_2\text{Te}$ . Эвтектика вырождена со стороны  $\text{Tl}_2\text{Te}$  и кристаллизуется при 687 К. Растворимость  $\text{Tl}_2\text{Te}$  в  $\text{PbTe}$  при 867 К достигает 7 % (при 470 К составляет 1 %).

Согласно Г 74 Г система  $\text{PbTe}-\text{Tl}_2\text{Te}$  является неквазибинарным сечением тройной системы  $\text{Pb}-\text{Tl}-\text{Te}$ .

Исходные образцы отжигали при 470-570 ч в течение 500 ч Г 72,74 Г. Монокристаллы  $\text{Tl}_4\text{PbTe}_3$  получали методом Бриджмена-Стокбаргера Г 65 Г. Система исследована методами ДТА, РФА и МСА, а также измерением микротвердости, электропроводности и термоЭДС Г 72-74 Г.

#### Система $\text{PbTe}-\text{Tl}_2\text{Te}_3$

Система  $\text{PbTe}-\text{Tl}_2\text{Te}_3$  является неквазибинарным сечением тройной системы  $\text{Pb}-\text{Tl}-\text{Te}$  в связи с инконгруэнтным характером плавления  $\text{Tl}_2\text{Te}_3$  Г 64 Г. В интервале 0-1 %  $\text{PbTe}$  происходит первичное выделение  $\text{TlTe}$ , а при большем содержании  $\text{PbTe}$  - первичное выделение  $\text{PbTe}$ . Совместная кристаллизация  $\text{TlTe}$  и  $\text{PbTe}$  начинается при 553 К, а при 513 К происходит окончательная кристаллизация сплавов. Растворимость  $\text{Tl}_2\text{Te}_3$  в  $\text{PbTe}$  достигает 0,5 % Г 64,72 Г.

Исходные образцы отжигали при 470 К в течение 500 ч Г 72 Г. Система исследована методами ДТА, РФА и МСА, а также измерением микротвердости, электропроводности и термоЭДС Г 64,72 Г.

#### Система $\text{PbTe}-\text{Tl}_5\text{Te}_3$

Система  $\text{PbTe}-\text{Tl}_5\text{Te}_3$  является неквазибинарным сечением тройной системы  $\text{Pb}-\text{Tl}-\text{Te}$  Г 64,65 Г. Сечение содержит фазу переменного состава в на основе  $\text{Tl}_4\text{PbTe}_3$ , образующуюся по перитектической реакции при 850 К. Обнаружено полиморфное превращение тройной фазы, температура которого понижается с увеличением содержания  $\text{PbTe}$  от 590 до 565 К. Область гомогенности на основе  $\text{Tl}_5\text{Te}_3$  не превышает 3 %, а на основе  $\text{PbTe}$  - 5 % Г 65 Г.

Исходные образцы отжигали при 520 К в течение 500 ч Г 65 Г. Система исследована методами ДТА, РФА и МСА, а также измерением микротвердости и плотности Г 64,65 Г.

#### Система $\text{PbTe}-\text{Nd}_2\text{Te}_3$

Диаграмма состояния системы  $\text{PbTe}-\text{Nd}_2\text{Te}_3$  представлена на рис. II.28 Г 75 Г. В системе образуется соединение  $\text{PbNd}_2\text{Te}_4$ , плавящееся инконгруэнтно при 1223 К. Термические эффекты при 1263 К соответствуют полиморфному превращению твердых растворов на основе  $\text{Nd}_2\text{Te}_3$ . Эвтектика содержит 7 %  $\text{Nd}_2\text{Te}_3$  и кристаллизуется при 1148 К. Растворимость  $\text{Nd}_2\text{Te}_3$  в  $\text{PbTe}$  составляет 3 %.

Система исследована методами ДТА, МСА и измерением микротвердости Г 75 Г.

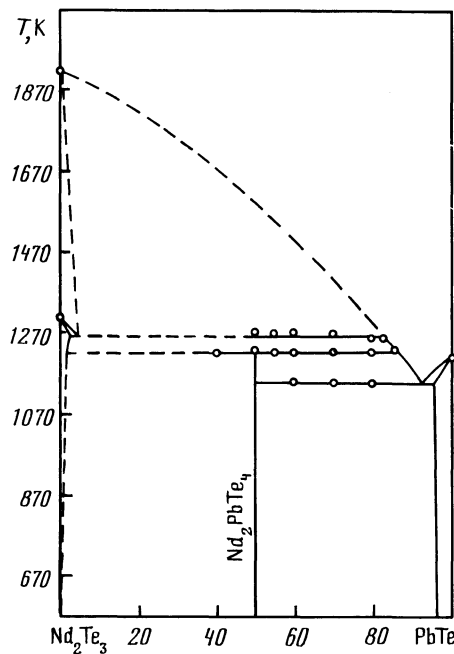


Рис. II.28. Диаграмма состояния системы  $\text{PbTe}-\text{Nd}_2\text{Te}_3$  [75].

#### Система $\text{PbTe}-\text{SmTe}$

Диаграмма состояния системы  $\text{PbTe}-\text{SmTe}$  перитектического типа с температурой перитектического взаимодействия около 1273 К [76,77]. Растворимость  $\text{SmTe}$  в  $\text{PbTe}$  при 970 К не превышает 10 % и с увеличением температуры увеличивается приблизительно до 20 %. На кривой зависимости параметра элементарной ячейки от содержания  $\text{SmTe}$  имеется минимум при 3 %  $\text{SmTe}$ . Установлен необычный донорный характер поведения  $\text{Sm}$  в  $\text{PbTe}$ , характеризующийся наличием максимальной электроактивности в области концентраций до 5 %  $\text{SmTe}$ .

Исходные образцы отжигали при 770–970 К в течение 500–700 ч. Система исследована методами ДТА, РФА и МСА и рентгеноспектрального анализа, а также измерением микротвердости [76,77].

#### Системы $\text{PbTe}-\text{EuTe}$ ( $\text{Eu}_2\text{Te}_3$ )

Растворимость  $\text{EuTe}$  в  $\text{PbTe}$  достигает 25 % [77]. В тонкопленочном состоянии в системе  $\text{PbTe}-\text{EuTe}$  образуется непрерывный ряд твердых растворов [78].

Диаграмма состояния системы  $\text{PbTe}-\text{Eu}_2\text{Te}_3$  эвтектического типа [79]. Эвтектика содержит 9,8 %  $\text{Eu}_2\text{Te}_3$  и кристаллизуется при 1023 К.

Исходные образцы системы  $\text{PbTe}-\text{EuTe}$  отжигали при 770-870 К в течение 500-700 ч [77], а системы  $\text{PbTe}-\text{Eu}_2\text{Te}_3$  - при 720-770 К в течение 250-300 ч [79]. Системы исследованы методами ДТА, РФА, МСА и рентгеноспектрального анализа, а также измерением электрофизических свойств [77, 79].

#### Система $\text{PbTe}-\text{Gd}_2\text{Te}_3$

Диаграмма состояния системы  $\text{PbTe}-\text{Gd}_2\text{Te}_3$  представлена на рис. II.29 [80, 81]. В системе образуются два химических соединения [80]:  $\text{Gd}_2\text{Pb}_4\text{Te}_4$ , плавящееся конгруэнтно при 1373 К, имеющее ширину запрещенной зоны 0,46 эВ и характеризующееся узкой областью гомогенности и  $\text{Gd}_2\text{Pb}_4\text{Te}_7$ , плавящееся инконгруэнтно при 1123 К и имеющее ширину запрещенной зоны 0,58 эВ. Оба соединения устойчивы при длительном хранении на сухом воздухе, гидролизуются в воде и во влажном воздухе, реагируют с разбавленными и концентрированными  $\text{HCl}$ ,  $\text{H}_2\text{SO}_4$ ,  $\text{HNO}_3$  и щелочами, устойчивы по отношению к органическим растворителям. Эвтектики кристаллизуются при 1223 и 1023 К. Растворимость  $\text{Gd}_2\text{Te}_3$  в  $\text{PbTe}$  при 1100 К составляет 6 % и уменьшается до 4 % при комнатной температуре [80, 81].

Исходные образцы отжигали при 870-920 К в течение 500 ч [80] (при 770 К в течение 600 ч [81]). Система исследована методами ДТА, РФА и МСА, а также измерением микротвердости, плотности и электрофизических свойств [80, 81].

#### Система $\text{PbTe}-\text{Tb}_2\text{Te}_3$

Диаграмма состояния системы  $\text{PbTe}-\text{Tb}_2\text{Te}_3$  аналогична представленному на рис. II.29 [82]. В системе образуются два химических соединения:  $\text{Tb}_2\text{Pb}_4\text{Te}_4$ , плавящееся конгруэнтно при 1398 К, имеющее ширину запрещенной

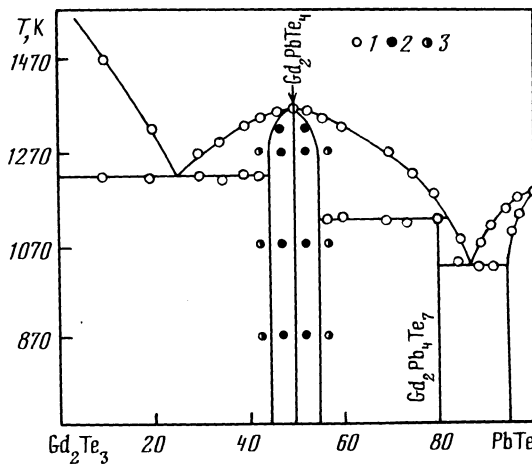


Рис. II.29. Диаграмма состояния системы  $\text{PbTe}-\text{Gd}_2\text{Te}_3$  [80]

I - ДТА, 2 - одно и 3 - двухфазные образцы

зоны 0,49 эВ и характеризующаяся узкой областью гомогенности и  $T_{\text{b}_2\text{Pb}_4\text{Te}_7}$ , плавящееся инконгруэнтно при 1146 К и имеющее ширину запрещенной зоны 0,58 эВ. Оба соединения устойчивы при длительном хранении на сухом воздухе, гидролизуются в воде и во влажном воздухе, реагируют с разбавленными и концентрированными  $\text{HCl}$ ,  $\text{H}_2\text{SO}_4$ ,  $\text{HNO}_3$  и щелочами, устойчивы по отношению к органическим растворителям. Эвтектики кристаллизуются при 1223 и 1098 К. Растворимость  $\text{Pb}_2\text{Te}_3$  в  $\text{PbTe}$  при 300 К составляет 5 %, а при 1210 К - 10 % [83].

Исходные образцы отжигали при 920-970 К в течение 500 ч [82] (при 820 К в течение 550 ч [83]). Система исследована методами ДТА, РФА, МСА, а также измерением микротвердости и электрофизических свойств [82, 83].

#### Система $\text{PbTe}-\text{YbTe}$

Растворимость  $\text{YbTe}$  в  $\text{PbTe}$  достигает 33 % [77].

Исходные образцы отжигали при 770-870 К и исследовали методами РФА, МСА и рентгеноспектрального анализа [77].

#### Система $\text{PbTe}-\text{UTe}$

Диаграмма состояния системы  $\text{PbTe}-\text{UTe}$  эвтектического типа [84]. Эвтектика кристаллизуется при 1173 К. Растворимость  $\text{UTe}$  в  $\text{PbTe}$  незначительно изменяется с температурой и при 770 и 1070 К составляет соответственно 5,2 и 5,8 %. В области твердых растворов параметр элементарной ячейки в зависимости от состава не изменяется.

Исходные образцы отжигали при 1070, 920 и 770 К в течение соответственно 3, 7 и 96 ч. Система исследована методами ДТА, РФА и МСА [84].

#### Система $\text{PbTe}-\text{Ge}$

Диаграмма состояния системы  $\text{PbTe}-\text{Ge}$  (рис. II.30) эвтектического типа [85]. Эвтектика содержит 25 % Ge и кристаллизуется при 1138 К. Растворимость

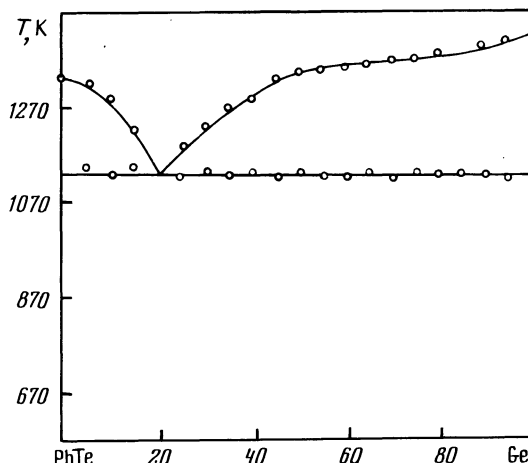


Рис. II.30. Диаграмма состояния системы  $\text{PbTe}-\text{Ge}$  [85].

растворимость Ge в PbTe при комнатной температуре составляет 0,1 %, а при эвтектической - 0,22 %, а растворимость PbTe в Ge при этих же температурах - 0,45 и 0,74 %.

Исходные образцы отжигали при 1120 К в течение 300 ч. Система исследована методами ДТА, РФА, МСА и измерениями микротвердости  $\Gamma 85 \text{ J}$ .

#### Система PbTe-GeSe<sub>2</sub>

Диаграмма состояния системы PbTe-GeSe<sub>2</sub> (рис. II.31) эвтектического типа  $\Gamma 86 \text{ J}$ . Эвтектика содержит 58 % GeSe<sub>2</sub> и кристаллизуется при 703 К. Растворимость GeSe<sub>2</sub> в PbTe при 300 К составляет 2 %, а при 700 К - 6 %, а область твердых растворов на основе GeSe<sub>2</sub> при 300 К не превышает 1 %.

Исходные образцы отжигали при 650 К в течение 400 ч. Система исследована методами ДТА, РФА, МСА, а также измерениями микротвердости и электрофизических свойств  $\Gamma 86 \text{ J}$ .

#### Система PbTe-PbTeO<sub>3</sub>

Диаграмма состояния системы PbTe-PbTeO<sub>3</sub> (рис. II.32) эвтектического типа  $\Gamma 87 \text{ J}$ . Эвтектика содержит 17 % PbTe и кристаллизуется при 793 К. Система исследована методами ДТА и РФА  $\Gamma 87 \text{ J}$ .

#### Система PbTe-PbCl<sub>2</sub>

Диаграмма состояния системы PbTe-PbCl<sub>2</sub> (рис. II.33) эвтектического типа  $\Gamma 88,89 \text{ J}$ . Эвтектика вырождена со стороны PbCl<sub>2</sub> и кристаллизуется при 769 К. В интервале 36-78 % PbTe в системе наблюдается расслаивание при монотектической температуре 1133 К. При 870 К в расплаве PbCl<sub>2</sub> растворяется 3,1 % PbTe  $\Gamma 3 \text{ J}$ .

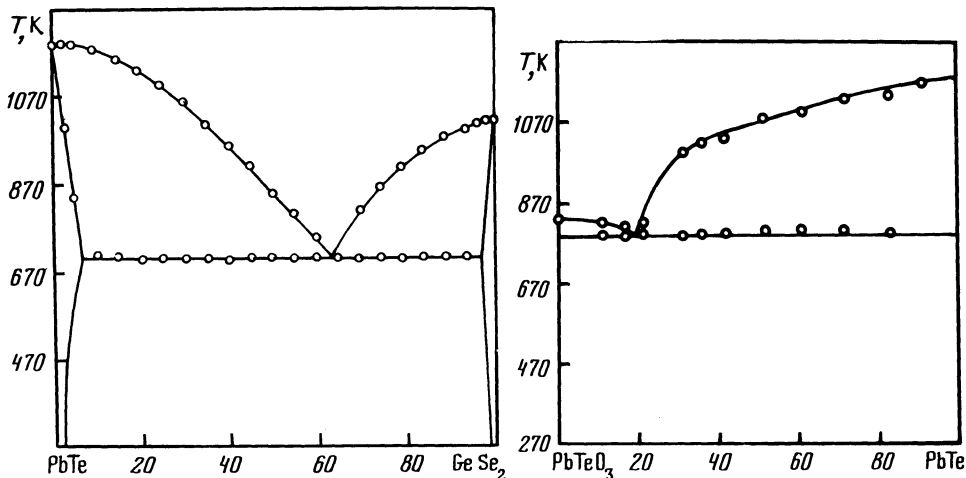
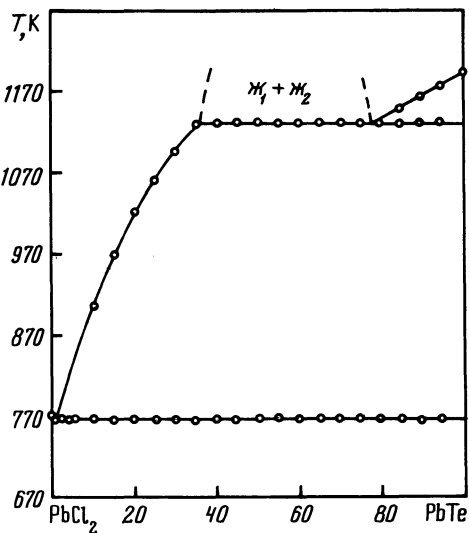


Рис. II.31. Диаграмма состояния системы PbTe-GeSe<sub>2</sub>  $\Gamma 86 \text{ J}$

Рис. II.32. Диаграмма состояния системы PbTe-PbTeO<sub>3</sub>  $\Gamma 87 \text{ J}$



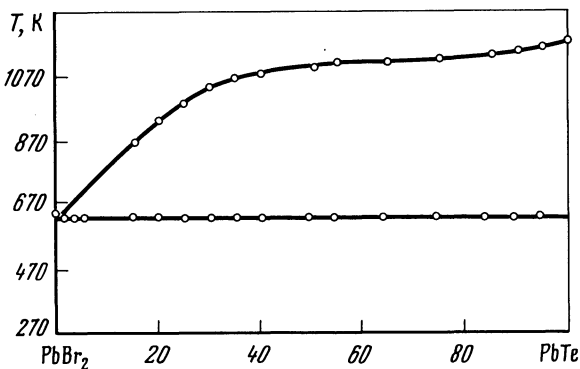
Р и с. II.33. Диаграмма состояния системы  $\text{PbTe}-\text{PbCl}_2$  [89].

Исходные образцы отжигали при 770, 870 и 1020 К в течение соответственно 600, 500 и 350 ч [89]. Растворимость  $\text{PbTe}$  в расплаве  $\text{PbCl}_2$  определяли методом изотермического насыщения с последующим анализом солевой фазы [3]. Система исследована методами ДТА, РФА и МСА [89].

#### Система $\text{PbTe}-\text{PbBr}_2$

Диаграмма состояния системы  $\text{PbTe}-\text{PbBr}_2$  (рис. II.34) эвтектического типа [88, 90]. Эвтектика вырождена со стороны  $\text{PbBr}_2$  и кристаллизуется при 641 К.

Исходные образцы отжигали при 610 К в течение 1000 ч. Система исследована методами ДТА, РФА и МСА [90].



Р и с. II.34. Диаграмма состояния системы  $\text{PbTe}-\text{PbBr}_2$  [90].

## Система PbTe-PbI<sub>2</sub>

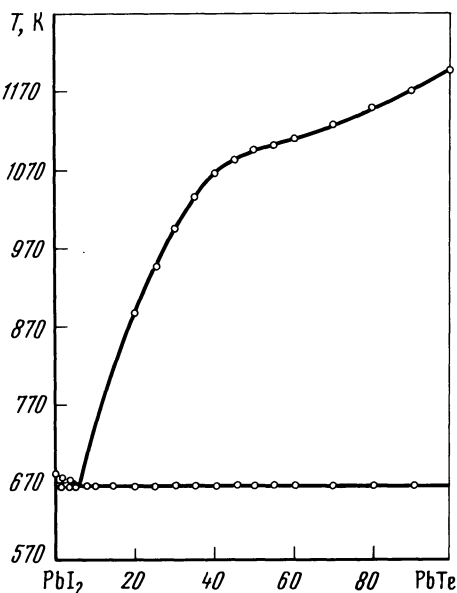
Диаграмма состояния системы PbTe-PbI<sub>2</sub> (рис. II.35) эвтектического типа [88, 91, 92]. Эвтектика содержит 6 % PbTe и кристаллизуется при 671 К [92]. (Эвтектика вырождена [91]). На кривых охлаждения образцов в области первичной кристаллизации PbTe кроме эффектов, соответствующих ликвидусу, наблюдали два экзотермических эффекта при 675 и 670 К, обусловленных неравновесностью кристаллизации. Растворимость PbI<sub>2</sub> в PbTe при эвтектической температуре достигает 0,3 % [92, 93]. При 870 К в расплаве PbI<sub>2</sub> растворяется 10,5 % PbTe [3].

Исходные образцы отжигали при 770, 870 и 1020 К в течение соответственно 600, 500 и 350 ч [92] (при 671 К в течение 1100 ч [93]). Растворимость PbTe в расплаве PbI<sub>2</sub> определяли методом изотермического насыщения с последующим анализом солевой фазы [3]. Система исследована методами ДТА, РФА и МСА [92].

## Системы PbTe-Ti (Zr)

Системы PbTe-Ti(Zr) являются неквазибинарными сечениями тройных систем Pb-Ti(Zr)-Te [6]. При взаимодействии PbTe и Ti в системе обнаружены Pb<sub>2</sub>Ti и Ti<sub>2</sub>Te, а в случае взаимодействия PbTe и Zr фазовый состав образовавшихся продуктов не установлен.

Исходные образцы, содержащие 33,3 % Ti(Zr), отжигали при 1370 К в течение 14 ч (21 ч) и исследовали методами РФА и МСА, а также измерением микротвердости [6].



Р и с. II.35. Диаграмма состояния системы PbTe-PbI<sub>2</sub> [92]

### Система PbTe-P

В тройной системе Pb-P-Te образуется соединение  $Pb_2P_2Te_6$ , плавящееся при 679 К и имеющее плотность  $6,73 \text{ г/см}^3$  [94]. Указанное соединение синтезировали из элементарных компонентов.

### Система PbTe-As<sub>2</sub>Te<sub>3</sub>

Диаграмма состояния системы PbTe-As<sub>2</sub>Te<sub>3</sub> (рис. II.36) эвтектического типа [95, 96]. Эвтектика содержит 10 % (5,3 мас.% [96]) PbTe и кристаллизуется при 623 К [95] (632 К [96]). Растворимость PbTe в As<sub>2</sub>Te<sub>3</sub> при 560 К не превышает 2 % [95] (2-3 мас.% при эвтектической температуре [96]), а растворимость As<sub>2</sub>Te<sub>3</sub> в PbTe достигает 0,5 % [95] (8 мас.% при эвтектической температуре [96]).

Исходные образцы отжигали при 560 К в течение 500 ч [95]. Система исследована методами ДТА, РФА, а также с помощью рентгеновского микронализа [95, 96].

### Система PbTe-Sb

Диаграмма состояния системы PbTe-Sb (рис. II.37) эвтектического типа [97, 98]. Эвтектика содержит 94,5 % Sb [98] (85,9 мас.% Sb [97]) и кристаллизуется при 878 К [98] (874 К [97], 516-523 К [99]). Растворимость Sb в PbTe при 820 К составляет 1,5 % [98] (менее 0,1 мас.% при 860 К [97]), а растворимость PbTe в Sb при 720 К не превышает 0,5 % [98] (менее 0,5 мас.% при 860 К [97]).

Растворимость Sb в PbTe, насыщенном Pb и Te, достигает максимально-го значения ( $2 \cdot 10^{19} \text{ см}^{-3}$ ) в области 920 К [99], причем растворимость

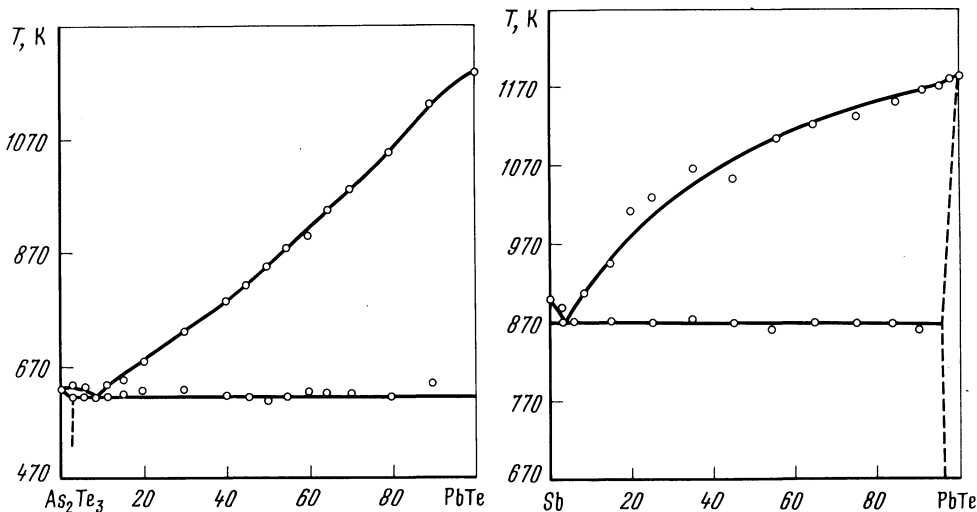


Рис. II.36. Диаграмма состояния системы PbTe-As<sub>2</sub>Te<sub>3</sub> [95]

Рис. II.37. Диаграмма состояния системы PbTe-Sb [98]

Sb при насыщении Te значительно возрастает, что свидетельствует о том, что концентрация растворимой Sb непосредственно связана с электронно-дырочным равновесием, существующим в полупроводнике.

Большую часть поверхности ликвидуса тройной системы Pb-Sb-Te (рис. II.38) занимает поле первичной кристаллизации PbTe [98, 100]. Область первичной кристаллизации  $Pb_2Sb_6Te_{11}$  незначительна.

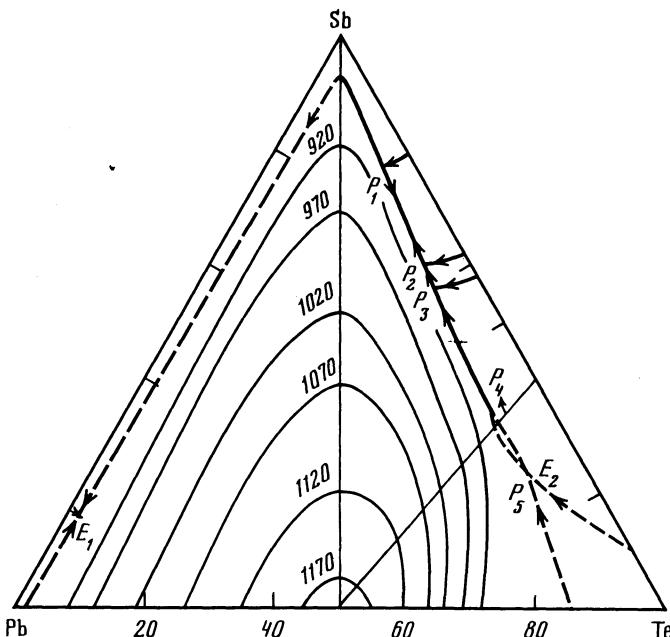


Рис. II.38. Поверхность ликвидуса тройной системы Pb-Sb-Te [98].

Область твердых растворов на основе PbTe в тройной системе Pb-Sb-Te вытянута в направлении разреза PbTe-Sb<sub>2</sub>Te<sub>3</sub> (рис. II.39) [101].

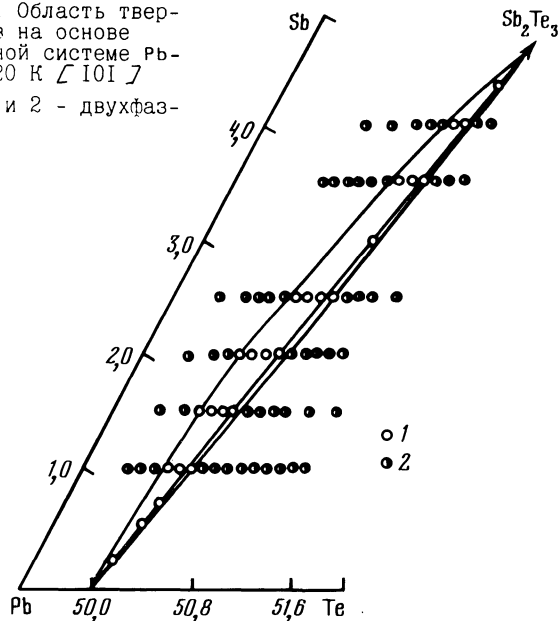
Исходные образцы отжигали при 720 K в течение месяца, а затем при 820 K в течение двух месяцев [98] (при 860 K [97]; при 820 K в течение 350 ч [101]). Система исследована методами ДТА, РФА и МСА, а также измерением микротвердости и электрофизических свойств [97, 98, 101].

#### Система PbTe-SbTe

Система PbTe-SbTe является неквазибинарным сечением тройной системы Pb-Sb-Te в связи с инконгруэнтным характером плавления SbTe [98]. Разрез пересекает поля первичной кристаллизации твердых растворов на основе PbTe и Sb<sub>2</sub>Te<sub>3</sub>. В средней части разреза кристаллизуется бинарная эвтектика, а при 843 K протекает перитектическая нонвариантная реакция. Область твердых растворов на основе PbTe не превышает 2%, а на основе SbTe - 20 %.

Р и с. II.39. Область твердых растворов на основе PbTe в тройной системе Pb-Sb<sub>2</sub>Te при 820 К [101]

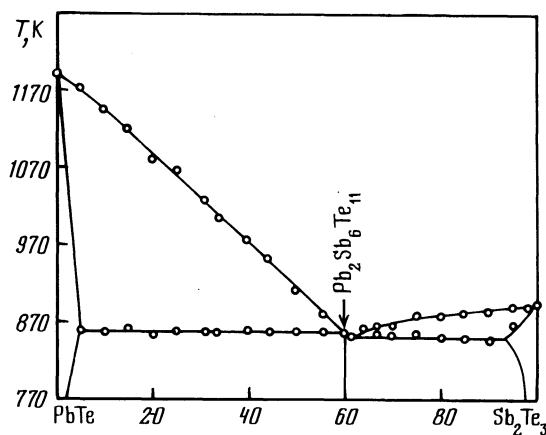
I - одно- и 2 - двухфазные образцы



Исходные образцы отжигали сначала при 720 К в течение месяца, а затем сплавы, обогащенные Sb<sub>2</sub>Te, отжигали при 770 К в течение 1,5 месяцев, а обогащенные PbTe, - при 850 К в течение двух месяцев. Система исследована методами ДТА и МСА [98].

#### Система PbTe-Sb<sub>2</sub>Te<sub>3</sub>

Диаграмма состояния системы PbTe-Sb<sub>2</sub>Te<sub>3</sub> представлена на рис. II.40 [102]. В системе образуется соединение Pb<sub>2</sub>Sb<sub>6</sub>Te<sub>11</sub>, плавящееся инкон-



Р и с. II.40. Диаграмма состояния системы PbTe-Sb<sub>2</sub>Te<sub>3</sub> [102]

груэнтно при 860 К (I02), (согласно I03, I04) соединения в системе не существует). Эвтектика содержит 39 % PbTe и кристаллизуется при 855 К (I02) (40 % PbTe и 863 К (I03); 861 К (I04)). Растворимость Sb<sub>2</sub>Te<sub>3</sub> в PbTe при 820 К достигает 3 % (4,5 % (I01)), а PbTe в Sb<sub>2</sub>Te<sub>3</sub> - находится в интервале 2-5 % и при эвтектической температуре составляет 7 % (I02).

Исходные образцы отжигали в атмосфере аргона под давлением  $2,9 \cdot 10^4$  Па при 820 К в течение 600 ч (I02) (при 820 К в течение 350 ч (I01)).

Система исследована методами ДТА, РФА и МСА, а также измерением микротвердости (I02-I04).

#### Система PbTe-Bi

Диаграмма состояния системы PbTe-Bi (рис. II.4I) эвтектического типа (I05-I07). Эвтектика содержит менее 1 % PbTe и кристаллизуется при 539-540 К. Растворимость Bi в PbTe достигает 1 %, а со стороны Bi твердых растворов не обнаружено (I08).

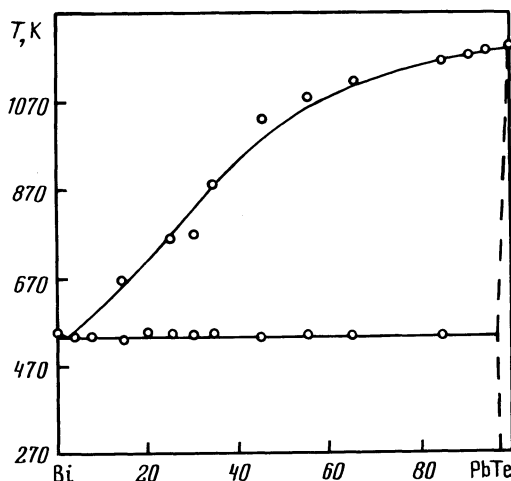


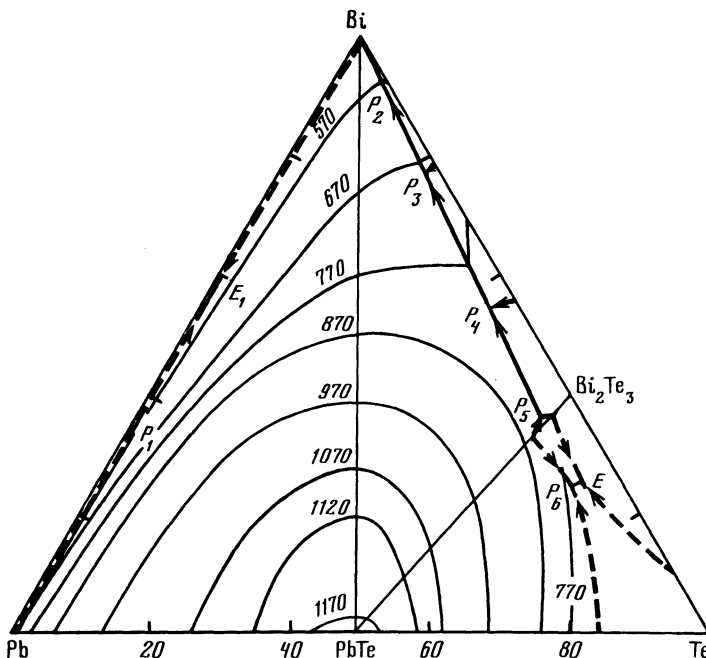
Рис. II.4I. Диаграмма состояния системы PbTe-Bi (I05, I06).

На поверхности ликвидуса тройной системы Pb-Bi-Te (рис. II.42) большую часть занимает поле первичной кристаллизации PbTe (I05, I06, I09). Область твердых растворов на основе PbTe в тройной системе Pb-Bi-Te вытянута в направлении разреза PbTe-Bi<sub>2</sub>Te<sub>3</sub> (рис. II.43) (I10).

Исходные образцы отжигали при 820 К в течение 350 ч (I10). Система исследована методами ДТА, РФА и МСА, а также измерением микротвердости и электрофизических свойств (I05-I07, I09, I10).

#### Система PbTe-Bi<sub>2</sub>Se

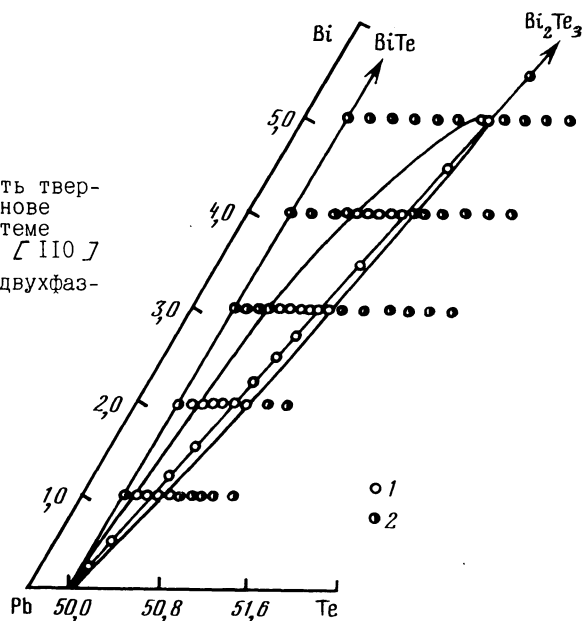
При 720 и 770 К в Bi<sub>2</sub>Se растворяется соответственно 25 и 27 % PbTe (III). Исходные образцы отжигали при 520 и 720 К в течение соответствен-



Р и с. II.42. Поверхность ликвидуса  
тройной системы Pb-Bi-Te [105]

Р и с. II.43. Область твердых растворов на основе  
PbTe в тройной системе  
Pb-Bi-Te при 820 К [110]

I - одно- и 2 - двухфазные  
образцы



но 10 и 30 дней и исследовали методами РФА и МСА и измерением микротвердости  $\zeta$  IIJ.

#### Система PbTe-BiTe

Система PbTe-BiTe является неквазибинарным сечением тройной системы Pb-Bi-Te в связи с инконгруэнтным характером плавления BiTe  $\zeta$  I05,I06, II2J. Разрез пересекает поля первичной кристаллизации твердых растворов на основе PbTe ( $\alpha$ -фаза) и Bi<sub>2</sub>Te<sub>3</sub> ( $\delta$ -фаза).  $\gamma$ -Твердый раствор на основе BiTe кристаллизуется по перитектической реакции  $\chi + \delta \rightleftharpoons \alpha + \gamma$ . Область твердых растворов на основе PbTe не превышает 1,5 %, а на основе BiTe - 30%  $\zeta$  I05,I06J.

Исходные образцы отжигали при 870-1070 K в течение 200 ч  $\zeta$  II2J. Система исследована методами ДТА и МСА  $\zeta$  I05,I06,II2J.

#### Система PbTe-Bi<sub>2</sub>Te<sub>3</sub>

Диаграмма состояния системы PbTe-Bi<sub>2</sub>Te<sub>3</sub> (рис. II.44) эвтектического типа  $\zeta$  II3J. Эвтектики содержат 55 и 91 % Bi<sub>2</sub>Te<sub>3</sub> и кристаллизуются соответственно при 850 и 848 K. В системе образуется соединение PbBi<sub>4</sub>Te<sub>7</sub>, плавящееся конгруэнтно при 858 K. Термические эффекты при 668 K, по-видимому, обусловлены несовпадением максимальной температуры плавления со стехиометрическим составом Bi<sub>2</sub>Te<sub>3</sub> и смещением состава исследуемых образцов с разреза PbTe-Bi<sub>2</sub>Te<sub>3</sub> тройной системы Pb-Bi-Te в сторону Te. В области I063-I068 K на термограммах нагревания образцов состава 6-7 % Bi<sub>2</sub>Te<sub>3</sub> появляются эндотермические эффекты, обусловленные распадом твердого раствора.

Согласно  $\zeta$  I03,II3-II7J в системе образуется соединение PbBi<sub>4</sub>Te<sub>7</sub>, плавящееся инконгруэнтно при 850 K  $\zeta$  II4,II5J (883 K  $\zeta$  II8J; 856 K  $\zeta$  II6,II7J). По данным  $\zeta$  I03J в системе образуется соединение Pb<sub>3</sub>Bi<sub>4</sub>Te<sub>9</sub>,

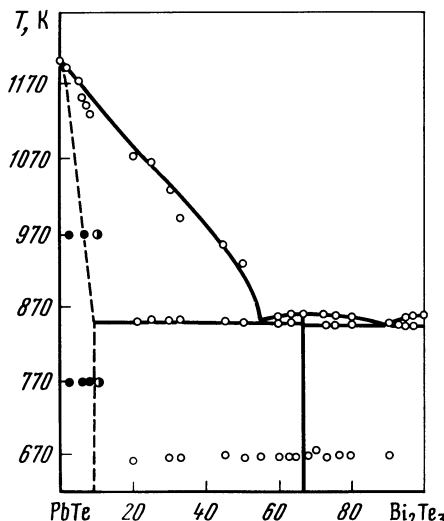


Рис. II.44. Диаграмма состояния системы PbTe-Bi<sub>2</sub>Te<sub>3</sub>  $\zeta$  II3J  
1 - ДТА, 2 - одно- и 3 - двухфазные образцы

плавящееся инконгруэнтно при 851 К и разлагающееся при 668 К. Эвтектика содержит I9 % (9 мас.%) РbTe и кристаллизуется при 839 К  $\angle$  II4,II5  $\gamma$  (10 % РbTe и 837 К  $\angle$  I03  $\gamma$ ; I8 % РbTe и 845 К  $\angle$  II6,II7  $\gamma$ ; 848 К  $\angle$  II7  $\gamma$

Соединение РbВi<sub>4</sub>Te<sub>7</sub> кристаллизуется в гексагональной структуре с параметрами элементарной ячейки  $a = 4,451 \text{ \AA}$ ,  $c = 41,532 \text{ \AA}$   $\angle$  II9-II22  $\gamma$  ( $a = 4,42 \text{ \AA}$ ,  $c = 23,60 \text{ \AA}$   $\angle$  I23  $\gamma$ ;  $a = 4,285 \text{ \AA}$ ,  $c = 77,086 \text{ \AA}$   $\angle$  II3  $\gamma$ ;  $a = 4,50 \text{ \AA}$ ,  $c = 17,60 \text{ \AA}$   $\angle$  I24  $\gamma$ ) (в ромбоэдрической структуре с параметрами  $a = 8,425 \text{ \AA}$ ,  $\alpha = 30,39^\circ$  или в гексагональной установке  $a = 4,417 \text{ \AA}$ ,  $c = 24,09 \text{ \AA}$   $\angle$  II6,II7  $\gamma$ ), энталпиями образования и плавления соответственно -223 и 292 кДж/моль  $\angle$  I25,I26  $\gamma$ , пикнометрической и рентгенографической плотностью соответственно 7,73  $\angle$  I20,I21  $\gamma$  и 7,91 г/см<sup>3</sup>  $\angle$  II6,II7  $\gamma$ .

В системе обнаружены еще два соединения: Рb<sub>2</sub>Bi<sub>2</sub>Te<sub>5</sub>, кристаллизующееся в гексагональной структуре с параметрами  $a = 4,46 \text{ \AA}$ ,  $c = 17,5 \text{ \AA}$   $\angle$  I23, I27  $\gamma$ , энталпиями образования и плавления соответственно -225 и 185 кДж/моль  $\angle$  I25,I26  $\gamma$  и РbВi<sub>2</sub>Te<sub>4</sub>, кристаллизующееся в гексагональной структуре с параметрами  $a = 4,452 \text{ \AA}$ ,  $c = 41,531 \text{ \AA}$   $\angle$  I02-I22  $\gamma$  (в ромбоэдрической структуре с параметрами  $a = 14,16 \text{ \AA}$ ,  $\alpha = 18,04^\circ$  или в гексагональной установке  $a = 4,441 \text{ \AA}$ ,  $c = 41,80 \text{ \AA}$   $\angle$  II6,II7  $\gamma$ ), энталпиями образования и плавления соответственно -150 и 154 кДж/моль  $\angle$  I25,I26  $\gamma$ , рентгенографической и пикнометрической плотностью соответственно 7,93  $\angle$  II6,II7  $\gamma$  и 7,92 г/см<sup>3</sup>  $\angle$  I20,I21  $\gamma$ .

Растворимость РbTe в Bi<sub>2</sub>Te<sub>3</sub> достигает 5 % при 837 К и находится в интервале 10-15 % при 668 К  $\angle$  I03  $\gamma$  (со стороны Bi<sub>2</sub>Te<sub>3</sub> твердые растворы не образуются  $\angle$  II6,II7  $\gamma$ ), а растворимость Bi<sub>2</sub>Te<sub>3</sub> в РbTe составляет 5 % при 820 К  $\angle$  II0  $\gamma$  и 12 % при 856 К  $\angle$  II6,II7  $\gamma$  (не превышает 5 %  $\angle$  II2  $\gamma$ ).

Исходные образцы отжигали при 770 К в течение 30-60 дней, а в области составов 0,5-33 % Bi<sub>2</sub>Te<sub>3</sub> дополнительно при 970 К в течение 14 дней  $\angle$  II3  $\gamma$  (при 770 К в течение месяца  $\angle$  II6,II7  $\gamma$ ; при 820 К в течение 350 ч  $\angle$  II0  $\gamma$ ; при 720-770 К в течение 30-50 ч  $\angle$  I21  $\gamma$ ; при 670 К в течение 360 ч  $\angle$  II4,II5  $\gamma$ ; при 870-1070 К в течение 200 ч  $\angle$  II2  $\gamma$ ).

Система исследована методами ДТА, РФА и МСА, а также измерением микротвердости и электрофизических свойств  $\angle$  I03,II0,II2-II6,II8  $\gamma$ .

### Системы РbTe-V(Nb)

Системы РbTe-V(Nb) являются неквазибинарными сечениями тройных систем Рb-V(Nb)-Te  $\angle$  6  $\gamma$ . В образцах, содержащих 20 % V(Nb), после отжига при 1370 К в течение 15 ч методами РФА и МСА, а также измерением микротвердости обнаружены продукты взаимодействия, фазовый состав которых не установлен.

### Система РbTe-Ta

Система РbTe-Ta является неквазибинарным сечением тройной системы Рb-Ta-Te  $\angle$  6  $\gamma$ . При взаимодействии РbTe и Та обнаружены Рb и теллуриды tantalа, состав которых не отвечает составам TaTe<sub>3</sub>, TaTe<sub>2</sub> и TaTe.

Исходные образцы отжигали при 1238 К в течение 20 ч и исследовали методами ДТА и РФА, а также измерением микротвердости [6].

#### Система PbTe-O<sub>2</sub>

Система PbTe-O<sub>2</sub> является неквазибинарным сечением тройной системы Pb-O-Te [128]. Окисление PbTe является сложным процессом, протекающим в зависимости от температуры различными путями. В интервале 670-870 К продуктами окисления являются  $\alpha$ - и  $\beta$ -PbTeO<sub>3</sub>, при 870-920 К образуется также  $\beta$ -PbTeO<sub>4</sub>, а выше 1070 К - оксидная фаза переменного состава, содержащая Te<sup>4+</sup> и Te<sup>6+</sup>.

Кинетику взаимодействия PbTe с кислородом в области 420-1070 К изучали тензиметрическим методом в сочетании с РФА [128].

#### Система PbTe-TeJ<sub>4</sub>

Диаграмма состояния системы представлена на рис. II.45 [129]. В системе образуется соединение Pb<sub>3</sub>Te<sub>5</sub>J<sub>8</sub>, плавящееся инконгруэнтно при 658 К. Перитектической точке отвечает состав 40 % PbTe. Эвтектика содержит 3 % PbTe и кристаллизуется при 448 К.

Исходные образцы отжигали при 438 К в течение 1400 ч. Система исследована методами ДТА и РФА [129].

#### Система PbTe-Cr

Система PbTe-Cr является неквазибинарным сечением тройной системы Pb-Cr-Te [6]. При взаимодействии PbTe и Cr образуются CrTe и Pb.

Исходные образцы отжигали при 1270 К в течение 15 ч, затем при 870 К в течение 48 ч, при 1370 К в течение 15 и 72 ч и при 1270 К в течение

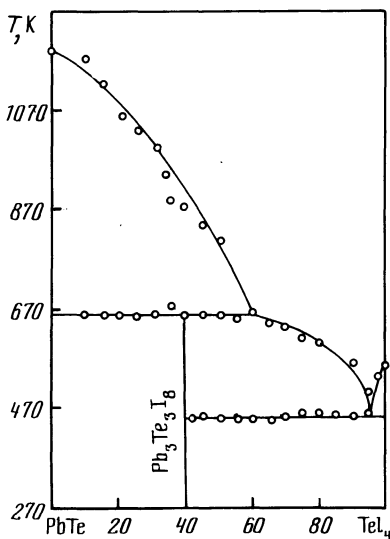


Рис. II.45. Диаграмма состояния системы PbTe-TeJ<sub>4</sub> [129]

88 ч и исследовали методами РФА и МСА, а также измерением микротвердости  $\zeta$  6  $\zeta$ .

#### Система PbTe-CrTe

Растворимость CrTe в PbTe при 500 К составляет 1 %, при 770 К - 1,3 % и при 1100 К - 2 %  $\zeta$  I30, I31  $\zeta$  (при 1070 К - 0,7 %  $\zeta$  I32  $\zeta$ ).

Исходные образцы отжигали при 1100, 825 и 500 К в течение соответственно 200, 250 и 280 ч  $\zeta$  I31  $\zeta$  (при 1070 К в течение 250 ч  $\zeta$  I32  $\zeta$ ; при 770 К в течение 5 дней  $\zeta$  I30  $\zeta$ ) и исследовали методами РФА, МСА и лазерного спектрального микроанализа, а также измерением электрофизических свойств  $\zeta$  I30-I32  $\zeta$ .

#### Система PbTe-Cr<sub>2</sub>Te<sub>3</sub>

Диаграмма состояния системы PbTe-Cr<sub>2</sub>Te<sub>3</sub> представлена на рис. II.46  $\zeta$  I33  $\zeta$ . В системе образуется соединение PbCr<sub>2</sub>Te<sub>4</sub>, плавящееся конгруэнтно при 1193 К. Растворимость Cr<sub>2</sub>Te<sub>3</sub> в PbTe при 300 К достигает 2 %, а растворимость PbTe в Cr<sub>2</sub>Te<sub>3</sub> незначительна.

Исходные образцы отжигали при 1020 К в течение 500 ч. Система исследована методами ДТА, РФА и МСА, а также измерением микротвердости, плотности и электрофизических свойств  $\zeta$  I33  $\zeta$ .

#### Система PbTe-Cr<sub>3</sub>Te<sub>4</sub>

Растворимость Cr<sub>3</sub>Te<sub>4</sub> в PbTe незначительна и при 1100 К составляет 0,5 %  $\zeta$  I34  $\zeta$ .

Исходные образцы отжигали при 1100, 825 и 500 К в течение соответственно 200, 250 и 280 ч. Система исследована методами ДТА, РФА и МСА, а также измерением электрофизических свойств  $\zeta$  I34  $\zeta$ .

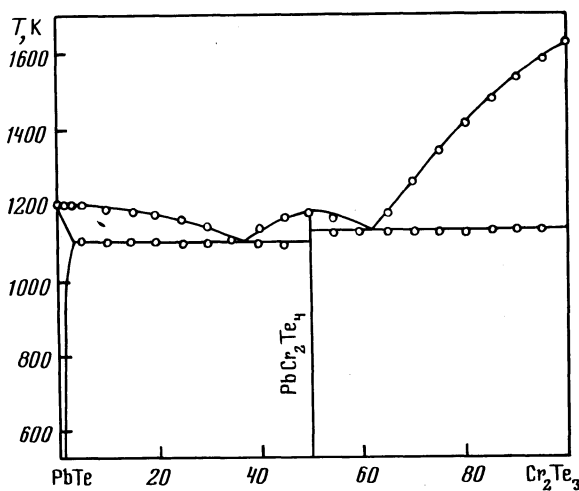


Рис. II.46. Диаграмма состояния системы PbTe-Cr<sub>2</sub>Te<sub>3</sub>  $\zeta$  I33  $\zeta$

### Система PbTe-Mo

В образцах, содержащих 20 и 33,3 % Mo и отожженных при 1370 К в течение 15 ч, обнаружены только PbTe и Mo  $\angle 6 \text{ J}$ . В случае отжига при 1240 К в течение 21 ч в системе обнаружено образование новой фазы, которая исчезает после отжига при 1370 К. Возможно, что новая фаза является перитектическим соединением.

Система исследована методами РФА и МСА  $\angle 6 \text{ J}$ .

### Система PbTe-W

Система PbTe-W является квазибинарным сечением тройной системы Pb-W-Te  $\angle 6 \text{ J}$ . При отжиге образцов, содержащих 33,3 % W, при 1220-1470 К в течение 15-100 ч методом РФА образования новых фаз не обнаружено.

### Система PbTe-J<sub>2</sub>

Система PbTe-J<sub>2</sub> является неквазибинарным сечением тройной системы Pb-J-Te, пересекающим поля первичной кристаллизации PbTe, Te и PbJ<sub>2</sub>  $\angle 135 \text{ J}$ . В системе существует обширная область расслаивания. При температурах ниже 683 К начинается совместная кристаллизация PbTe и Te, ниже 678 К - PbTe, PbJ<sub>2</sub> и Te, ниже 438 К в интервале 15-25 % PbTe-PbJ<sub>2</sub>, TeJ<sub>4</sub> и TeJ, а в интервале 25-50 % PbTe-Te, TeJ и PbJ<sub>2</sub> и ниже 373 К - PbJ<sub>2</sub>, TeJ и J<sub>2</sub>.

Система исследована методами ДТА, РФА и МСА  $\angle 135 \text{ J}$ .

### Система PbTe-Mn

Система PbTe-Mn является неквазибинарным сечением тройной системы Pb-Mn-Te  $\angle 6 \text{ J}$ . При взаимодействии PbTe и Mn обнаружены Pb, MnTe и твердые растворы Pb<sub>x</sub>Mn<sub>1-x</sub>Te.

Исходные образцы отжигали при 1220 К в течение 20 ч, а затем при 870 К в течение 46 ч и при 1370 К в течение 15 ч и исследовали методами РФА и МСА, а также измерением микротвердости  $\angle 6 \text{ J}$ .

### Система PbTe-MnTe

Система PbTe-MnTe является неквазибинарным сечением тройной системы Pb-Mn-Te (рис. II.47), так как со стороны MnTe в небольшом интервале концентраций первично кристаллизуется Mn  $\angle 136 \text{ J}$ . Эвтектика содержит 30 % MnTe и кристаллизуется при 1173 К. Границу между твердыми растворами на основе PbTe и MnTe удалось зафиксировать только для перехода  $\beta \rightarrow \gamma$ . Температура эвтектоидных превращений для  $\delta$ -,  $\gamma$ - и  $\beta$ -фаз составляют соответственно 1148, 1073 и 923 К. Растворимость PbTe в MnTe при 990 К не превышает 5 %, а растворимость MnTe в PbTe при 770, 890, 990 и 1170 К равна соответственно 3, 10, 12 и 20 %  $\angle 130, 136 \text{ J}$ .

Исходные образцы отжигали при 890, 990 и 1150 К в течение соответственно 720, 450 и 300 ч  $\angle 136 \text{ J}$  (при 770 К в течение 5 дней  $\angle 130 \text{ J}$ ). Система исследована методами ДТА, РФА и МСА  $\angle 136 \text{ J}$ .

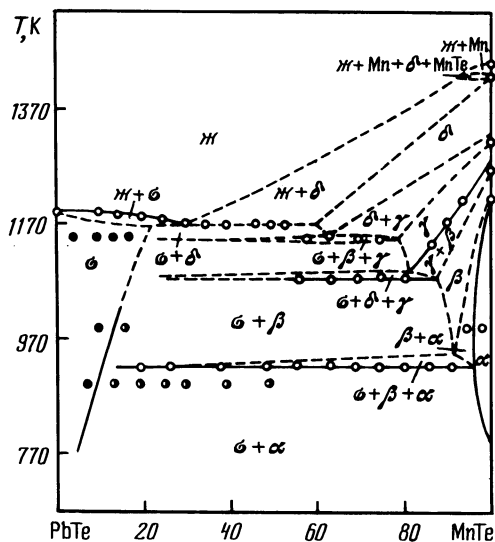


Рис. II.47. Политегмическое сечение PbTe-MnTe  
[136].

I - ДТА, 2 - одно и 3 - двухфазные  
образцы

#### Система PbTe-MnTe<sub>2</sub>

Система PbTe-MnTe<sub>2</sub> является неквазибинарным сечением тройной системы Pb-Mn-Te [137]. В интервале 8-100 % MnTe<sub>2</sub> и 1008-633 К в системе проходит перитектическое превращение, которое при 633 К заканчивается реакцией  $\mu + \text{MnTe} \rightleftharpoons \text{MnTe}_2 + \alpha(\text{PbTe})$ . Растворимость MnTe<sub>2</sub> в PbTe при 300 К достигает 3 %, а PbTe в MnTe<sub>2</sub> - незначительна.

Исходные образцы отжигали при 570 К в течение 500 ч. Система исследована методами ДТА, РФА и МСА, а также измерением электрофизических свойств [137].

#### Система PbTe-Fe

Диаграмма состояния системы PbTe-Fe (рис. II.48) эвтектического типа [6, 138, 139]. Эвтектика содержит 27 % Fe и кристаллизуется при 1130 К [138] (14 % Fe и 1148 К [6, 139]). Твердые растворы на основе Fe претерпевают полиморфные превращения при 1020, 1130 и 11640 К. Растворимость Fe в PbTe достигает 3 % при 300 К [138] (0,3 % [139]). Согласно [6, 139] в системе наблюдается монотектическое превращение. В области 5-10 % Fe обнаружены небольшие отклонения от квазибинарного поведения, обусловленные наличием небольших количеств теллурида железа [139].

При наплавлении на заготовку из Fe при 1270 К в атмосфере Ar слоя PbTe на границе раздела наблюдается образование твердого раствора Te в Fe [140]. Проникновение Pb в слой Fe практически отсутствует, а диффузия Fe в слой наплавленного PbTe незначительна.

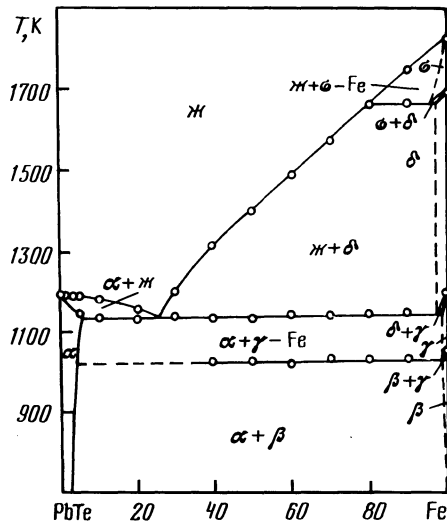


Рис. II.48. Диаграмма состояния системы PbTe-Fe [I38].

Исходные образцы отжигали при 920 К в течение 400 ч [I38] (при 1220-1370 К в течение 15-41 ч [6]). Система исследована методами ДТА, РФА и МСА, а также измерением микротвердости и плотности [6, I38, I39].

#### Система PbTe-FeTe

Система PbTe-FeTe является неквазибинарным сечением тройной системы Pb-Fe-Te [I41]. В системе при 878 К протекает четырехфазная перитектическая реакция  $\text{Ж} + \text{Fe}_2\text{Te} \rightleftharpoons \text{FeTe} + \alpha$  (PbTe). При 763 К происходит разложение FeTe и вплоть до комнатной температуры кристаллизуется смесь  $\text{Fe}_2\text{Te} + \text{FeTe}_2$ . Со стороны FeTe возможно существование  $\xi$  и  $\eta$ -фаз ( $\text{FeTe}_{0,9}$  и  $\text{FeTe}_{1,2}$ ). Растворимость FeTe в PbTe при комнатной температуре достигает 4 % [I41] (при 770 К не превышает 3 % [I30]). Области гомогенности на основе FeTe не обнаружено [I41].

Исходные образцы отжигали при 720 К в течение 500 ч [I41] (при 770 К в течение 5 дней [I30]). Система исследована методами ДТА, РФА и МСА, а также измерением микротвердости, электропроводности и термоЭДС [I30, I41].

#### Система PbTe-FeTe<sub>2</sub>

Система PbTe-FeTe<sub>2</sub> является неквазибинарным сечением тройной системы Pb-Fe-Te [I42]. В системе первично кристаллизуется  $\sigma$ -фаза системы Fe-Te, содержащая 59,2-65,1 % Te. При температурах ниже 922 К в системе протекает перитектическое превращение, которое заканчивается четырехфазной реакцией:  $\text{Ж} + \sigma \rightleftharpoons (\text{PbTe}) + \text{FeTe}_2$ .

Система исследована методами ДТА, РФА и МСА, а также измерениями микротвердости, термоЭДС, электро- и теплопроводности [I42].

#### Система PbTe-Fe<sub>2</sub>Te

Диаграмма состояния системы PbTe-Fe<sub>2</sub>Te (рис. II.49) эвтектического типа [I43]. Эвтектика содержит 57 % Fe<sub>2</sub>Te и кристаллизуется при 1020 К. Растворимость Fe<sub>2</sub>Te в PbTe при 300 К достигает 5 %, в PbTe в Fe<sub>2</sub>Te - 2%.

Исходные образцы отжигали при 970 К в течение 400 ч. Система исследована методами ДТА, РФА и МСА, а также измерением микротвердости, плотности и электрофизических свойств [I43].

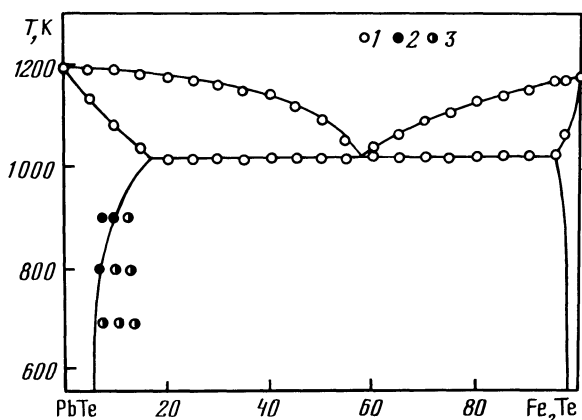


Рис. II.49. Диаграмма состояния системы PbTe-Fe<sub>2</sub>Te [I43].

1 — ДТА, 2 — одно- и 3 — двухфазные образцы

#### Система PbTe-Fe<sub>2</sub>Te<sub>3</sub>

Диаграмма состояния системы PbTe-Fe<sub>2</sub>Te<sub>3</sub> представлена на рис. II.50 [I44]. В системе образуется соединение PbFe<sub>2</sub>Te<sub>4</sub>, плавящееся конгруэнтно при 1145 К и имеющее ширину запрещенной зоны 0,55 эВ. При 300 К растворимость Fe<sub>2</sub>Te<sub>3</sub> в PbTe достигает 3 %, в PbTe в Fe<sub>2</sub>Te<sub>3</sub> - 0,5 %.

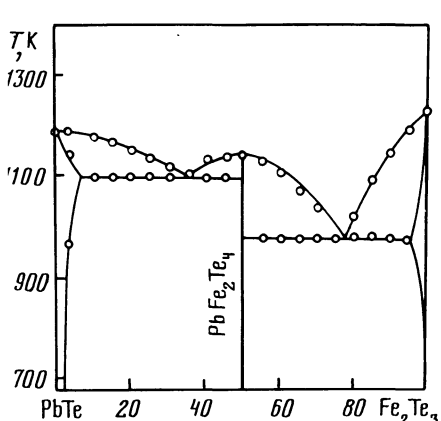
Исходные образцы отжигали при 900 К в течение 400 ч. Система исследована методами ДТА, РФА, МСА, а также измерением микротвердости и плотности [I44].

#### Система PbTe-Co

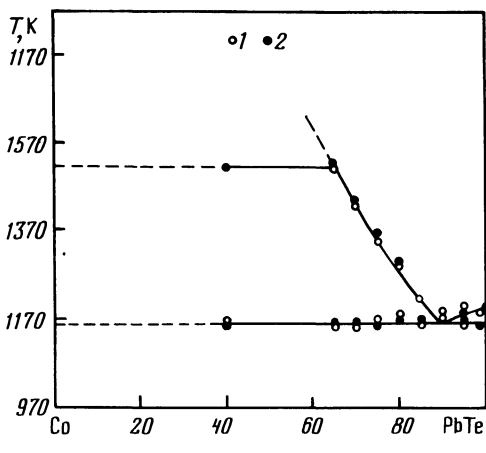
Диаграмма состояния системы PbTe-Co (рис. II.51) эвтектического типа с монотектическим превращением [I45]. Растворимость Co в PbTe не превышает 1 %. Система исследована методами ДТА, РФА и МСА [I45].

#### Система PbTe-CoTe<sub>2</sub>

Система PbTe-CoTe<sub>2</sub> является неквазибинарным сечением тройной системы Pb-Co-Te в связи с инконгруэнтным характером плавления CoTe, [I46].



Р и с. II.50. Диаграмма состояния системы  $\text{PbTe}-\text{Fe}_2\text{Te}_3$  [144].



Р и с. II.51. Диаграмма состояния системы  $\text{PbTe}-\text{Co}$  [145].

I - нагревание, 2 - охлаждение

В системе первично кристаллизуется  $\text{Co}_3\text{Te}_4$  ( $\gamma$ -фаза). При температурах ниже 1037 К протекает реакция  $\text{ж} + \gamma \rightleftharpoons \text{CoTe}_2 + \text{ж}_1$ . Растворимость  $\text{CoTe}_2$  в  $\text{PbTe}$  достигает 8 %, а твердых растворов на основе  $\text{CoTe}_2$  не обнаружено.

Исходные образцы отжигали при 900 К в течение 500 ч. Система исследована методами ДТА, РФА и МСА, а также измерением микротвердости [146].

#### Система $\text{PbTe}-\text{Ni}$

Система  $\text{PbTe}-\text{Ni}$  является неквазибинарным сечением тройной системы  $\text{Pb}-\text{Ni}-\text{Te}$  [6, 140, 147]. В подсистеме  $\text{PbTe}-\text{Pb}-\text{Ni}_3\text{Te}_2$  (0-52 % Ni) при 18 % Ni и 580 К находится тройная эвтектическая точка. Сплавы другой подсистемы (52-100 % Ni) заканчивают кристаллизацию в тройной эвтектике при 63 % Ni и 900 К. При 300 К растворимость Ni в  $\text{PbTe}$  достигает 2 %, а твердых растворов на основе Ni не обнаружено [147].

На проекции поверхности ликвидуса тройной системы  $\text{Pb}-\text{Ni}-\text{Te}$  имеются 8 полей первичной кристаллизации фаз и область расслаивания [147]. В системе имеются 4 тройных эвтектики и три тройных перитектики:  $E_1$  - 675 К,  $E_2$  - 900 К,  $E_3$  - 580 К,  $E_4$  - 575 К,  $P_1$  - 950 К,  $P_2$  - 915 К,  $P_3$  - 850 К.

Исходные образцы отжигали в течение 400 ч [147] (при 1220 и 870 К в течение соответственно 15 и 45 ч [6]). Система исследована методами ДТА, РФА и МСА, а также измерением микротвердости и плотности [6, 147].

#### Система $\text{PbTe}-\text{NiSb}$

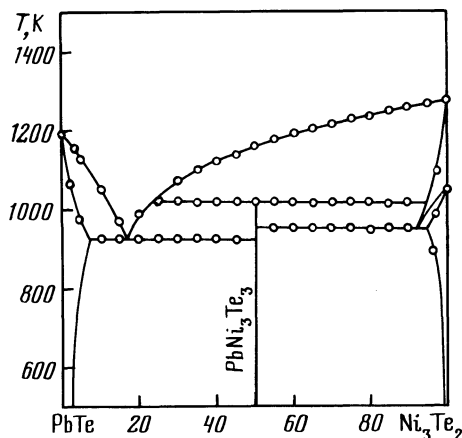
Диаграмма состояния системы  $\text{PbTe}-\text{NiSb}$  эвтектического типа [148]. Эвтектика содержит 8 % NiSb и кристаллизуется при 1143 К. Растворимость NiSb в  $\text{PbTe}$  не превышает 0,5 %, а  $\text{PbTe}$  в NiSb - 1 %.

Исходные образцы отжигали при 970 К в течение 100 ч. Система исследована методами ДТА и МСА, а также измерением микротвердости и термоЭДС

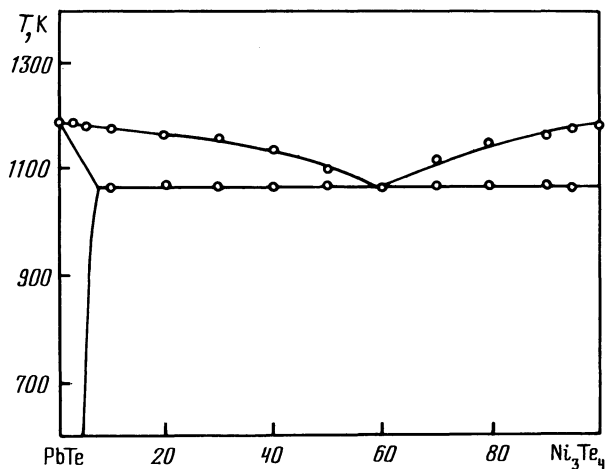
Г 148 Г.

#### Система PbTe-Ni<sub>3</sub>Te<sub>2</sub>

Диаграмма состояния системы PbTe-Ni<sub>3</sub>Te<sub>2</sub> представлена на рис. II.52 Г 149 Г. В системе образуется соединение Ni<sub>3</sub>PbTe<sub>3</sub>, плавящееся инконгруэнто при 1020 К. Эвтектика содержит 17 % Ni<sub>3</sub>Te<sub>2</sub> и кристаллизуется при 925 К. При 300 К растворимость Ni<sub>3</sub>Te<sub>2</sub> в PbTe составляет 3 %, а PbTe в Ni<sub>3</sub>Te<sub>2</sub> - 1 %.



Р и с. II.52. Диаграмма состояния системы PbTe-Ni<sub>3</sub>Te<sub>2</sub> Г 149 Г



Р и с. II.53. Диаграмма состояния системы PbTe-Ni<sub>3</sub>Te<sub>4</sub> Г 150 Г

Исходные образцы отжигали при 900 К в течение 350 ч. Система исследована методами ДТА, РФА и МСА, а также измерением микротвердости и термоЕДС  $\Delta$ I49  $\mu$ .

### Система PbTe-Ni<sub>3</sub>Te<sub>4</sub>

Диаграмма состояния системы PbTe-Ni<sub>3</sub>Te<sub>4</sub> (рис. II.53) эвтектического типа  $\Delta$ I50  $\mu$ . Эвтектика содержит 42 % Ni<sub>3</sub>Te<sub>4</sub> и кристаллизуется при 1055 К. Растворимость Ni<sub>3</sub>Te<sub>4</sub> в PbTe при 300 К составляет 5 %.

Исходные образцы отжигали при 900 К в течение 500 ч. Система исследована методами ДТА, РФА, МСА, а также измерением микротвердости и плотности  $\Delta$ I50  $\mu$ .

### Литература

1. Финогенова В.К., Климаков А.М., Поповкин Б.А., Новоселова А.В. // Изв. АН СССР. Неорганические материалы. 1971. Т. 7, № 10. С. 1862-1863.
2. Ненсберг Е.Д., Агабаев Ч., Гольцман Б.М. и др. // Изв. АН СССР. Неорганические материалы. 1969. Т. 5, № 2. С. 374-375.
3. Родионов Ю.И., Клокман В.Р., Мякишев К.Г. // Журн. неорганической химии. 1972. Т. 17, № 3. С. 846-851.
4. Бурмистрова Н.П., Фицева Р.Г., Гольмгрейн Л.А., Давлетшин Р.Ю. // Изв. АН СССР. Неорганические материалы. 1980. Т. 16, № 10. С. 1768-1770.
5. Gravermann H., Wallbaum H.I. // Z. Metallk. 1956. Bd. 47, N 6. S. 433-441.
6. Bates H.E., Wald F., Weinstein M. // Adv. Energy Convers. 1968. Vol. 7, N 4. P. 275-287.
7. Грыцив В.И., Венгель П.Ф. // Изв. АН СССР. Неорганические материалы. 1984. Т. 20, № 12. С. 1972-1975.
8. Blachnik R., Bolte G. // Z. Metallk. 1978. Bd. 69, N 10. S. 667-672.
9. Maier R.G. // Z. Metallk. 1963. Bd. 54, N 5. S. 311-312.
10. Fleischmann H., Luy H., Rupprecht J. // Z. Naturforsch. 1963. Bd. A18, N 5. S. 646-649.
- II. Fleischmann H., Folberth O.G., Pfister H. // Z. Naturforsch. 1959. Bd. A15, N 11. S. 999-1000.
12. Rodot H. // C.r. Acad. sci. 1959. Vol. 249, N 19. P. 1872-1874.
13. Kuchar F., Heinrich H. // Z. Naturforsch. 1967. Bd. 22, N 9. S. 982-983.
14. Stegherr A., Eckerlin P.; Wald F. // Z. Metallk. 1963. Bd. 54, N 10. S. 598-600.
15. Гусейнов Г.Д., Годжаев Э.М., Халилов Х.Я. и др. // Изв. АН СССР. Неорганические материалы. 1972. Т. 8, № 9. С. 1569-1572.
16. Wald F. // J. Less-Common Metals. 1967. Vol. 13, N 6. P. 579-590.
17. Blachnik R., Gather B. // J. Less-Common Metals. 1978. Vol. 60, N 1. P. 25-32.
18. Legendre B., Souleau C. // Bull. Soc. chim. France. 1972. N 2. P. 473-479.
19. Mottern D.J., Wald F. // Trans. Metallurg. Soc. AIME. 1968. Vol. 242, N 1. P. 150-151.
20. Crocker A.J., Sealy B.J. // J. Phys. Chem. Solids. 1972. Vol. 33, N 12. P. 2183-2190.
21. Sealy B.J., Crocker A.J. // J. Mater. Sci. 1973. Vol. 8, N 9. P. 1247-1252.
22. Мовсум-заде А.А., Аллазов М.Р., Сулейманова А.У., Сейдова Н.А. // Журн. неорганической химии. 1986. Т. 31, № 1. С. 198-201.

23. Грыцив В.И., Томашик В.Н., Олейник Г.С., Томашик З.Ф. // Изв. АН СССР. Неорган. материалы. 1980. Т.16, № 3. С. 543-544.
24. Sealy B.J., Crocker A.J. // J. Mater. Sci. 1973. Vol.8, N 12. P. 1731-1736.
25. Грыцив В.И. // Изв. АН СССР. Неорган. материалы. 1980. Т. 16, № 3. С. 545-546.
26. Morgant G., Legendre B., Souleau C. // Bull. Soc. chem. France. 1980. Pt. 1, N 3/4. P. 133-136.
27. Silberg E., Zemel A. // Appl. Phys. Lett. 1977. Vol. 31, N 12. P. 807-809.
28. Томашик З.Ф., Томашик В.Н. // Изв. АН СССР. Неорган. материалы. 1987. Т. 23, № 12. С. 1981-1984.
29. Раевский С.Д., Збигли К.Р., Казак Г.Ф., Прунич М.Д. // Изв. АН СССР. Неорган. материалы. 1983. Т. 19, № 6. С. 889-892.
30. Раевский С.Д., Збигли К.Р., Казак Г.Ф., Прунич М.Д. // Изв. АН СССР. Сер. физ.-техн. и мат. наук. 1983. № 2. С. 42-44.
31. Томашик З.Ф., Томашик В.Н. // Изв. АН СССР. Неорган. материалы. 1982. Т. 18, № 12. С. 1994-1996.
32. Hirai T., Kurata K. // Trans. Jap. Inst. Metals. 1968. Vol. 9, N 4. P. 301-303.
33. Rosenberg A.J., Grierson R., Wooley J.C., Nikolić P. // Trans. Metallurg. Soc. AIME. 1964. Vol. 230, N 2. P. 342-350.
34. Crocker A.J. // J. Mater. Sci. 1968. Vol. 3. N 5. P. 534-539.
35. Nikolić P.M. // Brit. Appl. Phys. 1966. Vol. 17, N 3. P. 341-344.
36. Рогачева Е.И., Жигарева Н.К., Иванова А.Б. // Изв. АН СССР. Неорган. материалы. 1988. Т. 24, № 10. С. 1629-1633.
37. Ванярхо В.Г., Зломанов В.П., Новоселова А.В. // Изв. АН СССР. Неорган. материалы. 1970. Т. 6, № 1. С. 133-134.
38. Ванярхо В.Г., Зломанов В.П., Новоселова А.В. // Вестн. МГУ. Сер. 2, Химия. 1968, № 6. С. 108-109.
39. Leute V., Köller H.-J. // Ztschr. phys. Chem. (BRD). 1986. Bd. 149, N 2. S. 213-227.
40. Рогачева Е.И., Ефимова Б.А., Лаптев С.А. // Изв. АН СССР. Неорган. материалы. 1983. Т. 19, № 2. С. 204-206.
41. Бушмарина Г.С., Грузинов Б.Ф., Драбкин И.А. и др. // Изв. АН СССР. Неорган. материалы. 1987. Т. 23, № 2. С. 222-227.
42. Раевский С.Д. // Изв. АН СССР. неорган. материалы. 1981. Т. 17, № 8. С. 1385-1387.
43. Mayet F., Roubin M. // C.r. Acad. sci. 1979. Vol. C288, N 17, P. 433-436.
44. Абилов Ч.И., Рустамов П.Г., Алиджанов М.А. // Изв. АН СССР. Неорган. материалы. 1974. Т. 10, № 1. С. 142-143.
45. Рустамов П.Г., Алиджанов М.А., Абилов Ч.И. // Халькогениды. Киев: Наук.думка. 1974. Вып. 3. С. 98-105.
46. Бушмарина Г.С., Грузинов Б.Ф., Дедегкаев Т.Т. и др. // Изв. АН СССР. Неорган. материалы. 1980. Т. 16, № 12. С. 2136-2140.
47. Баранец С.М., Дедегкаев Т.Т., Дугужев Ш.М. и др. // Изв. АН СССР. Неорган. материалы. 1987. Т. 23, № 7. С. 1221-1224.
48. Guittard M., Alapini F., Jaulmes S. et. al. // Mater. Res. Bull. 1978. Vol. 13, N 11. P. 1157-1161.
49. Дедегкаев Т.Т., Дугужев Ш.М., Жукова Т.Б. и др. // Изв. АН СССР. Неорган. материалы. 1986. Т. 22, № 10. С. 1741-1743.
50. Рустамов П.Г., Алиджанов М.А., Абилов Ч.И. // Изв. АН СССР. Неорган. материалы. 1979. Т. 15, № 7. С. 1294-1295.
51. Давлетшин Р.Ю., Файзуллина Н.Р., Савельев В.П. // Исследован. в обл. химии простых и комплексных соединений некоторых металлов. Казань, 1979. С. 221-223.

52. Латыпов З.М., Файзуллина Н.Р., Давлетшин Р.Ю., Савельев В.П. // Изв. АН СССР. Неорган. материалы. 1989. Т. 25, № 12. С. 2073-2075.
53. Гуршумов А.П., Мургузов М.И., Асадов Ю. и др. // Журн. неорган. химии. 1984. Т. 29, № 9. С. 2433-2435.
54. Рогачева Е.И., Горне Г.В., Панасенко Н.М. // Изв. АН СССР. Неорган. материалы. 1979. Т. 15, № 8. С. 1366-1369.
55. Niehus E., Nieke H. // Ann. Phys. (BRD). 1966. Bd. 17, N 1/2. S. 77-88.
56. Алиджанов М.А., Абилов Ч.И., Рустамов П.Г. // Полуметаллы и полупроводники с узкими запрещенными зонами. Львов, 1973. С. 133-136.
57. Rustamov P.G., Alijanov M.A., Abilov Ch.I., Kuliev B.B. // Phys. status solidi. 1973. Vol. A20, N 1. P. K17-K20.
58. Рустамов П.Г., Алиджанов М.А., Насиров Я.Н. и др. // Теплофизические свойства твердых веществ. М.: Наука, 1976. С. 92-97.
59. Рустамов П.Г., Алиджанов М.А., Абилов Ч.И. // Всесоюз. конф. по физ.-хим. анализу полупроводн. материалов (Баку, 23-26 окт. 1972 г.). Баку: Элм, 1972. С. 38.
60. Латыпов З.М., Файзуллина Н.Р., Давлетшин Р.Ю., Музурова Л.И. // Изв. АН СССР. Неорган. материалы. 1977. Т. 13, № 5. С. 824-826.
61. Ильин Ю.Л., Махин А.В., Мошников В.А. // Изв. АН СССР. Неорган. материалы. 1988. Т. 24, № 6. С. 1043-1045.
62. Рогачева Е.И., Панасенко Н.М., Серегин П.П. // Изв. АН СССР. неорган. материалы. 1980. Т. 16, № 2. С. 264-267.
63. Берг Л.Г., Латыпов З.М. // Изв. АН СССР. Неорган. материалы. 1970. Т. 6, № 10. С. 1804-1806.
64. Берг Л.Г., Латыпов З.М. // Изв. АН СССР. неорган. материалы. 1977. Т. 13, № 9. С. 1596-1599.
65. Ворошилов Ю.В., Гурзан М.И., Киш З.З., Лада Л.В. // Изв. АН СССР. Неорган. материалы. 1988. Т. 24, № 9. С. 1479-1484.
66. Гицу Д.В., Попович Н.С., Шура В.К. // Изв. АН СССР. неорган. материалы. 1980. Т. 16, № 8. С. 1387-1389.
67. Mazelsky R., Lubell M.S. // J. Phys. Chem. 1962. Vol. 66, N 8. P. 1408-1411.
68. Гицу Д.В., Попович Н.С., Шура В.К. // Изв. АН СССР. Неорган. материалы. 1980. Т. 16, № 12. С. 2130-2132.
69. Гуршумов А.П., Асадов Ю., Мургузов М.И. и др. // Журн. неорган. химии. 1984. Т. 29, № 9. С. 2432-2433.
70. Рустамов П.Г., Алиджанов М.А., Абилов Ч.И. // Изв. АН СССР. Неорган. материалы. 1974. Т. 10, № 7. С. 1230-1233.
71. Берг Л.Г., Латыпов З.М. // Изв. АН СССР. неорган. материалы. 1972. Т. 8, № 9. С. 1573-1576.
72. Берг Л.Г., Латыпов З.М. // Изв. АН СССР. Неорган. материалы. 1970. Т. 6, № 10. С. 1889-1890.
73. Chami R., Tedenac J.-C., Brun G., Maurin M. // Mater. Res. Bull. 1983. Vol. 18, N 7. P. 803-808.
74. Берг Л.Г., Латыпов З.М., Чечеткин Р.М. // Докл. АН СССР. 1969. Т. 185, № 2. С. 335-337.
75. Габиб-заде С.А., Меликова З.Д. // Уч. зап. Азерб. ун-та. Сер. хим. наук. 1978. № 1. С. 14-16.
76. Ерофеев Р.С., Соломатникова О.В. // Изв. АН СССР. неорган. материалы. 1974. Т. 10, № 3. С. 423-426.
77. Ерофеев Р.С., Соломатникова О.В., Гайдукова В.С., Репенько С.И. // Харьковениды. Киев: Наук. думка, 1974. Вып. 3. С. 187-198.
78. Suryanarayanan R., Parapoditis C. // J. Phys. 1968. Vol. 29, Colloque C4. Suppl. N 11-12. P. C4-46-C4-49.

79. Насибов И.О., Султанов Т.И., Валиев В.К., Алиджанова С.М. // Изв. АН СССР. Неорганические материалы. 1987. Т. 23, № 3. С. 515-517.
80. Валиев В.К., Насибов И.О., Султанов Т.И., Халилов А.Н. // Журн. неорганической химии. 1989. Т. 34, № 4. С. 979-983.
81. Насибов И.О., Султанов Т.И., Мургузов М.И. и др. // Изв. АН СССР. Неорганические материалы. 1985. Т. 21, № 12. С. 2090-2091.
82. Насибов И.О., Валиев В.К., Халилов А.Н. и др. // Журн. неорганической химии. 1987. Т. 32, № 4. С. 1011-1015.
83. Насибов И.О., Султанов Т.И., Мургузов М.И. и др. // Изв. АН СССР. Неорганические материалы. 1985. Т. 21, № 12. С. 2019-2020.
84. Терехов Г.И., Синякова С.И., Иванов О.С. // Изв. АН СССР. Неорганические материалы. 1972. Т. 8, № 4. С. 701-703.
85. Бурмистрова Н.П., Фицева Р.Г., Файзуллина Н.Р., Муллина В.А. // Изв. АН СССР. Неорганические материалы. 1983. Т. 18, № 5. С. 876-877.
86. Рустамов П.Г., Абилов Ч.И., Ильясов Т.М. // Изв. АН СССР. Неорганические материалы. 1988. Т. 24, № 1. С. 52-54.
87. Тананаева О.И., Латыпова З.Х., Новоселова А.В. // Изв. АН СССР. Неорганические материалы. 1977. Т. 13, № 2. С. 386-387.
88. Новоселова А.В., Один И.Н., Поповкин Б.А. // Журн. неорганической химии. 1969. Т. 14, № 10. С. 2659-2665.
89. Новоселова А.В., Один И.Н., Валитова Н.Р., Поповкин Б.А. // Изв. АН СССР. Неорганические материалы. 1968. Т. 4, № 5. С. 777.
90. Новоселова А.В., Один И.Н., Поповкин Б.А. // Изв. АН СССР. Неорганические материалы. 1970. Т. 6, № 2. С. 257-261.
91. Берг Л.Г., Малкова Т.И., Павлова А.К. // Журн. неорганической химии. 1967. Т. 12, № 1. С. 213-215.
92. Новоселова А.В., Один И.Н., Трифонов В.А., Поповкин Б.А. // Изв. АН СССР. Неорганические материалы. 1967. Т. 3, № 11. С. 2101-2103.
93. Один И.Н., Поповкин Б.А., Новоселова А.В. // Изв. АН СССР. Неорганические материалы. 1970. Т. 6, № 3. С. 482-485.
94. Ворошилов Ю.В., Поторий М.В., Приц И.П., // Изв. вузов. Химия и химическая технология. 1986. Т. 29, № 2. С. 19-21.
95. Koudelka L., Frumar M. // J. Therm. Anal. 1972. Vol. 4, N 4. P. 471-474.
96. Gaumann A. // J. Less-Common Metals. 1974. Vol. 38, N 2. P. 245-247.
97. Henger G.W., Peretti E.A. // J. Chem. Eng. Data. 1965. Vol. 10, N 1. P. 16-18.
98. Абрикосов Н.Х., Скуднова Е.В., Порецкая Л.В., Осипова Т.А. // Изв. АН СССР. Неорганические материалы. 1969. Т. 5, № 4. С. 741-745.
99. Раевский С.Д. // Полуметаллы и узкозонные полупроводники. Кишинев, 1979. С. 153-158.
100. Henger G.W., Peretti E.A. // J. Less-Common Metals. 1965. Vol. 8, N 2. P. 124-135.
101. Рогачева Е.И., Лаптев С.А. // Изв. АН СССР. Неорганические материалы. 1984. Т. 20, № 8. С. 1347-1349.
102. Абрикосов Н.Х., Елагина Е.И., Попова М.А. // Изв. АН СССР. Неорганические материалы. 1965. Т. 1, № 12. С. 2151-2153.
103. Hirai T., Takeda Y., Kurata K. // J. Less-Common Metals. 1967. Vol. 13, N 3. P. 352-356.
104. Reynolds R.A. // J. Electrochem. Soc. 1967. Vol. 114, N 5. P. 526-529.
105. Абрикосов Н.Х., Скуднова Е.В., Порецкая Л.В., Осипова Т.А. // Изв. АН СССР. Неорганические материалы. 1969. Т. 5, № 10. С. 1682-1686.
106. Абрикосов Н.Х., Скуднова Е.В., Порецкая Л.В. // Низкотемпературные термоэлектрические материалы. Кишинев, 1970. С. 22-26.

- I07. O'Shea R.P., Donovan J.A., Peretti E.A. // Trans. Metallurg. Soc. AIME. 1961. Vol. 221. N 12. P. 1266-1267.
- I08. Krebs H., Grün K., Kallen D., Lippert W. // Z. anorg. und allg. Chem. 1961. Bd. 308, N 1/6. S. 200-211.
- I09. Donovan L.A., O'Shea R.P., Peretti E.A. // Trans. Amer. Soc. Metals. 1963. Vol. 56. P. 153-159.
- I10. Рогачева Е.И., Лаптев С.А., Плоская В.С., Ефимова Б.А. // Изв. АН СССР. Неорган. материалы. 1984. Т. 20, № 8. С. 1350-1353.
- I11. Абрикосов Н.Х., Банкина В.Ф., Коломоец Л.А. и др. // Изв. АН СССР. Неорган. материалы. 1972. Т. 8, № 12. С. 2120-2124.
- I12. Ефимова Б.А., Захарюгина Г.Ф., Коломоец Л.А. // Изв. АН СССР. Неорган. материалы. 1968. Т. 4, № 1. С. 32-38.
- I13. Голованова Н.С., Зломанов В.П., Тананаева О.И. // Изв. АН СССР. Неорган. материалы. 1983. Т. 19, № 5. С. 740-743.
- I14. Елагина Е.И., Абрикосов Н.Х. // Журн. неорган. химии. 1959. Т. 4, № 7. С. 1634-1642.
- I15. Елагина Е.И., Абрикосов Н.Х. // Сб. тр. Воронежского отделения Все-союз. хим. о-ва им. Д.И.Менделеева. 1959. Вып. 2. С. 43-46.
- I16. Chami Rajae, Brun G., Tedenac J.-C. // Rev. chim. minér. 1983. Vol. 20, N 3. P. 305-315.
- I17. Dumas J.F., Liautard B., Brun G., Tedenac J.-C. // Calorim. Anal. therm. Vol. 16. Journees JCAT. Montpellier, Mai 20-22. 1985. P. 335-341.
- I18. Даценко А.М., Разважной Е.М., Чащин В.А. // Тр. Моск. хим.-технол. ин-та. 1981. № 120. С. 32-34.
- I19. Жукова Т.Б., Заславский А.И. // Журн. структ. химии. 1970. Т. II, № 3. С. 462-468.
- I20. Жукова Т.Б., Заславский А.И. // Кристаллография. 1971. Т. 16, № 5. С. 918-922.
- I21. Жукова Т.Б., Заславский А.И. // Некот. вопросы химии и физики полупроводников сложн. состава. Ужгород : Ужгород. гос. ун-т, 1970. С. 158-163.
- I22. Жукова Т.Б., Заславский А.И. // Изв. АН СССР. Неорган. материалы. 1976. Т. 12, № 3. С. 539-541.
- I23. Петров И.И., Иманов Р.М. // Кристаллография. 1969. Т. 14, № 4. С. 699-703.
- I24. Талыбов А.Г., Вайнштейн Б.К. // Кристаллография. 1961. Т. 6, № 4. С. 541-548.
- I25. Skoropanov A.S., Valevsky B.L., Skums V.F., Samal G.I. // Thermochim. acta. 1985. Vol. 92, Pt. A. P. 595-598.
- I26. Skoropanov A.S., Valevsky B.L., Skums V.F. et al. // Thermochim. acta. 1985. Vol. 90. Compl.P. 331-334.
- I27. Вайнштейн Б.К., Иманов Р.М., Талыбов А.Г. // Кристаллография. 1969. Т. 14, № 4. С. 703-704.
- I28. Тананаева О.И., Сапожников Р.А., Новоселова А.В. // Изв. АН СССР. Неорган. материалы. 1969. Т. 5, № 4. С. 737-740.
- I29. Берг Л.Г., Малкова Т.И. // Изв. вузов. Химия и хим. технология. 1969. Т. 12, № 6. С. 691-693.
- I30. Chomentowski M., Rodot H., Villers G., Rodot M. // C.r. Acad. sci. 1965. Vol. 261, N 11. P. 2198-2201.
- I31. Ставрианидис С.А., Куция А.А., Маркеляя Р.А. и др. // Изв. АН СССР. Неорган. материалы. 1986. Т. 22, № 5. С. 744-746.
- I32. Vulchev V.D., Borisova L.D., Dimitrova S.K. // Phys. status solidi. 1986. Vol. A97, N 1. P. K79-K82.

- I33. Рустамов П.Г., Абилов Ч.И., Агдамская С.Г. // Азерб. хим. журн. 1985. № 4. С. 99-102.
- I34. Кейян Г.А., Куцая А.А., Маркелия Р.А., Ставрианидис С.А. // Изв. АН СССР. Неорган. материалы. 1988. Т. 24, № 4. С. 588-590.
- I35. Малкова Т.И., Латыпова З.М. // Изв. АН СССР. неорган. материалы. 1974. Т. 10, № 7. С. I234-I236.
- I36. Ванярхо В.Г., Зломанов В.П., Новоселова А.В. // Изв. АН СССР. Неорган. материалы. 1970. Т. 6, № 8. С. I534-I535.
- I37. Рустамов П.Г., Абилов Ч.И., Агдамская С.Г. // Изв. АН СССР. Неорган. материалы. 1986. Т. 22, № 2. С. 228-230.
- I38. Рустамов П.Г., Абилов Ч.И. // Журн. неорган. химии. 1987. Т. 32, № 7. С. I710-I712.
- I39. Wald F., Stormont R.W. // Trans. Metallurg. Soc. AIME. 1968. Vol. 242, N 1. P. 72-75.
- I40. Амбарцумян Р.С., Арабей Б.Г., Ромашов В.М., Романович И.В. // Изв. АН СССР. Неорган. материалы. 1968. Т. 4, № I2. С. 2191-2193.
- I41. Рустамов П.Г., Алиджанов М.А., Абилов Ч.И. // Изв. АН СССР. Неорган. материалы. 1982. Т. 18, № 2. С. 223-225.
- I42. Абилов Ч.И., Рустамов П.Г., Агдамская С.Г. // Журн. неорган. химии. 1986. Т. 31, № 6. С. I516-I518.
- I43. Абилов Ч.И., Агдамская С.Г. // Изв. АН СССР. Неорган. материалы. 1987. Т. 23, № 10. С. I649-I650.
- I44. Агдамская С.Г., Абилов Ч.И., Алиджанов М.А. // Изв. АН СССР. Неорган. материалы. 1989. Т. 25, № 9. С. I564-I565.
- I45. Wald F., Stormont R.W. // Trans. Metallurg. Soc. AIME. 1968. Vol. 242, N 4. P. 747-749.
- I46. Рустамов П.Г., Абилов Ч.И. // Журн. неорган. химии. 1985. Т. 30. № I. С. 261-262.
- I47. Абилов Ч.И. // Журн. неорган. химии. 1989. Т. 34, № 4. С. I004-I008.
- I48. Заргарова М.И., Каҳраманов К.Ш., Рошаль Р.М. // Изв. АН АзербССР. Сер. физ.-техн. и мат. наук. 1975. № 4. С. I07-I09.
- I49. Абилов Ч.И., Искандер-заде З.А. // Изв. АН СССР. Неорган. материалы. 1989. Т. 25, № 2. С. 250-253.
- I50. Абилов Ч.И., Рустамов П.Г. // Изв. АН СССР. Неорган. материалы. 1984. Т. 20, № 4. С. 582-584.

### УКАЗАТЕЛЬ СИСТЕМ

SiS	-CuS 55 -Zr 56 -Se 56 -Te 56 -Pt 56	"SiTe <sub>2</sub> "-Ag <sub>2</sub> Te 57 "Si-Te"-GaTe 57 -GeTe 57 Si <sub>2</sub> Te <sub>3</sub> -Cr <sub>2</sub> Te <sub>3</sub> 58 -MnTe 58	GeS-TlS 62 -Tl <sub>2</sub> S 64 -In <sub>2</sub> S <sub>3</sub> (In =Pr, Nd, Sm, Gd) 64 -EuS 65
SiSe	-Na 56 -Te 56	GeS -Cu <sub>2</sub> S 59 -Ag 59	-U 65 -GeSe 65
Si <sub>2</sub> Te <sub>3</sub>	-Na <sub>2</sub> Te 56 -K <sub>2</sub> Te 57 -Cs 57 -Cu 57	-Ag <sub>2</sub> S 60 -Cd 61 -CdS 61 -In <sub>2</sub> S <sub>3</sub> 62	-GeTe 66 -GeJ <sub>2</sub> 66 -SnS 67 -PbSe 67 -PbTe 68

GeS	-P 68 -As 68 -Bi <sub>2</sub> S <sub>3</sub> 68 -FeS 69 -Pt 70	GeTe	-GaSe 106 -GaTe 107 -Ga <sub>2</sub> Te <sub>3</sub> 107 -In 108 -InTe 110		SnS	-BaS 146 -ZnS 146 -Cd 146 -CdSn <sub>2</sub> S <sub>5</sub> 147 -CdS 148
GeSe	-Na 72 -Cu <sub>2</sub> Se 72 -Ag 73 -Ag <sub>8</sub> GeSe <sub>6</sub> 74 -AgSe 74 -Ag <sub>2</sub> Se 74 -CdSe 75 -GaSe 77 -Ga <sub>2</sub> Se <sub>3</sub> 79 -InSe 79 -Tl 80 -TlSe 81 -Tl <sub>2</sub> Se 81 -U 82 -GeTe 82 -SnSe 85 -SnTe 85 -PbS 86 -PbSe 86 -PbTe 87 -P 87 -As 88 -SbSe 88 -Sb <sub>2</sub> Se <sub>3</sub> 89 -BiSe 91 -Te 91 -J <sub>2</sub> 92 -Pt 92	GeSe	-In <sub>2</sub> Te <sub>3</sub> 110 -Tl 111 -TlTe 113 -Tl <sub>2</sub> Te 113 -Tl <sub>2</sub> Te <sub>3</sub> (Tl <sub>5</sub> Te <sub>3</sub> ) 114 -ScTe 114 -SmTe 115 -Sm <sub>2</sub> Te <sub>3</sub> 115 -YbTe 115 -U 116 -GeAs 116 -GeAs <sub>2</sub> 116 -GeS <sub>2</sub> 117 -GeSe <sub>2</sub> 117 -SnSe 118 -SnTe 119 -PbSe 120 -PbTe 121 -As 122 -As <sub>2</sub> Te <sub>3</sub> 123 -Sb 125 -SbTe 127 -Sb <sub>2</sub> Te <sub>3</sub> 127 -Bi 128 -SiSe 130 -BiTe 130 -Bi <sub>2</sub> Te <sub>3</sub> 130 -O <sub>2</sub> 131 -O <sub>2</sub> SeTe" 131 -CrTe 132 -Cr <sub>3</sub> Te <sub>4</sub> 132 -MnTe 132 -FeGe <sub>2</sub> 134 -FeTe 134 -Co 134 -CoGe <sub>2</sub> 136 -Co <sub>2</sub> Ge 137 -CoTe 137 -CoTe <sub>2</sub> 137 -Co <sub>3</sub> Te <sub>4</sub> 138 -NiSb 139 -NiTe 139 -Cu <sub>2</sub> S 145 -CaS 145			-HgS 148 -Ga <sub>2</sub> S <sub>3</sub> 148 -In <sub>2</sub> S <sub>3</sub> 149 -Tl <sub>2</sub> S 151 -EuS 151 -GeS <sub>2</sub> 152 -SnSe 152 -SnTe 152 -SnCl <sub>2</sub> 153 -SnBr <sub>2</sub> 154 -SnJ <sub>2</sub> 154 -PbS 156 -PbSe 157 -PbTe 157 -PbCl <sub>2</sub> 157 -TiS <sub>2</sub> 157 -P 158 -As <sub>2</sub> S <sub>3</sub> 158 -Sb 159 -Sb <sub>2</sub> S <sub>3</sub> 159 -Sb <sub>2</sub> Se <sub>3</sub> 161 -SbJ <sub>3</sub> 162 -Bi 162 -Bi <sub>2</sub> S <sub>3</sub> 163 -NbS <sub>2</sub> 164 -Ta 164 -O <sub>2</sub> 164 -Mo 164 -W 165 -Br <sub>2</sub> 165 -J <sub>2</sub> 165 -FeS 165 -Co 165 -Ni 166 -Rh(Pd) 166 -Cu <sub>2</sub> SnSe <sub>3</sub> 169 -Cu <sub>2</sub> Se 170 -Ag 171 -Ag <sub>8</sub> SnSe <sub>6</sub> 172 -"AgSe" 172 -Ag <sub>2</sub> Se 172 -Au 172 -AuSn 174 -ZnSe 175
GeTe	-Li 94 -Na 95 -K 95 -Cs 95 -Cu 95 -Cu <sub>2</sub> Te 97 -AgSbTe <sub>2</sub> " 98 -AgBiTe <sub>2</sub> 99 -Ag <sub>2</sub> Te 101 -Au 102 -AuTe <sub>2</sub> 102 -Ba 102 -ZnTe 103 -CdTe 104 -HgTe 104 -Ga 105	GeTe	-Cr <sub>3</sub> Te <sub>4</sub> 132 -MnTe 132 -FeTe 134 -Co 134 -Co <sub>2</sub> Ge 137 -CoTe 137 -CoTe <sub>2</sub> 137 -NiSb 139 -NiTe 139 -Cu <sub>2</sub> S 145		SnSe	

SnSe	-Cd 175	SnSe	-Br <sub>2</sub> (J <sub>2</sub> ) 199	SnTe	-SnBr <sub>2</sub> 224
	-CdSe 176		-FeSe 199		-CnJ <sub>2</sub> 224
	-Ga 177		-Co 199		-PbSe 225
	-GaSe 178		-CoSe 200		-PbTe 225
	-Ga <sub>2</sub> Se <sub>3</sub> 178		-Ni 200		-P 228
	-In 179		-NiSe 201		-As 228
	-InSe 179		-Rh(Pd) 201		-As <sub>2</sub> S <sub>3</sub> 230
	-In <sub>2</sub> Se <sub>3</sub> 180	SnTe	-Na 205		-As <sub>2</sub> Te <sub>3</sub> 230
	-TlSe 180		-K 205		-Sb 230
	-Tl <sub>2</sub> Se 181		-Rb(Cs) 205		-Sb <sub>2</sub> Te <sub>3</sub> 232
	-La Se 182		-Cu 205		-BiSe 233
	-CeSe 182		-Cu <sub>2</sub> Te 206		-BiTe 233
	-Ce <sub>2</sub> Se <sub>3</sub> 182		-Ag 207		-Bi <sub>2</sub> Te <sub>3</sub> 233
	-PrSe 183		-AgSb(Bi)Te <sub>2</sub> 207		-Nb 235
	-Pr <sub>2</sub> Se <sub>3</sub> 183		-AgTe 207		-Ta 235
	-NdSe 183		-Ag <sub>2</sub> Te 208		-O <sub>2</sub> 235
	-Nd <sub>2</sub> Se <sub>3</sub> 184		-Au 208		-CrTe 235
	-SmSe 184		-AuSn 209		-Cr <sub>3</sub> Te <sub>4</sub> 235
	-Sm <sub>2</sub> Se <sub>3</sub> 185		-AuTe <sub>2</sub> 209		-Mo 235
	-GdSe 185		-Zn 209		-W 236
	-TbSe 185		-ZnS 209		-Br <sub>2</sub> 236
	-DySe 186		-ZnSe 211		-J <sub>2</sub> 236
	-HoSe 186		-ZnTe 211		-Mn 236
	-ErSe 186		-Cd 211		-MnTe 236
	-YbSe 186		-CdS 211		-Fe 236
	-Yb <sub>2</sub> Se <sub>3</sub> 186		-CdSe 211		-FeSe 237
	-LuSe 187		-CdTe 213		-Co 237
	-Ge 187		-HgTe 213		-CoSn 239
	-GeSn 187		-GaTe 213		-CoSn <sub>2</sub> 239
	-GeSe <sub>2</sub> 187		-Ga <sub>2</sub> Te <sub>3</sub> 215		-Co <sub>3</sub> Sn <sub>2</sub> 239
	-SnTe 188		-In 215		-CoSe 240
	-SnCl <sub>2</sub> 189		-InSe 216		-CoTe 240
	-SnBr <sub>2</sub> 189		-InTe 217		-CoTe <sub>2</sub> 240
	-SnJ <sub>2</sub> 190		-In <sub>2</sub> Te <sub>3</sub> 218		-Co <sub>3</sub> Te <sub>4</sub> 241
	-PbS 190		-Tl 218		-Ni 241
	-PbSe 190		-TlSbTe <sub>2</sub> 219		-NiSb 242
	-PbTe 192		-TlBiTe <sub>2</sub> 220		-NiSe 242
	-P 192		-Tl <sub>2</sub> Se 220		-Ni <sub>3</sub> Te <sub>2</sub> 242
	-As <sub>2</sub> S <sub>3</sub> 193		-TlTe 220		-Ni <sub>3</sub> Te <sub>4</sub> 743
	-As <sub>2</sub> Se <sub>3</sub> 193		-Tl <sub>2</sub> Te 220	PbS	-Na <sub>2</sub> S 249
	-Sb 195		-Tl <sub>2</sub> Te <sub>3</sub> 221		-Na <sub>2</sub> SO <sub>4</sub> 249
	-Sb <sub>2</sub> S <sub>3</sub> 195		-Tl <sub>5</sub> Te <sub>3</sub> 221		-3Na <sub>2</sub> S·4FeS 249
	-Sb <sub>2</sub> Se <sub>3</sub> 195		-InTe(Ln=La, Nd, Sm, Eu, Gd) 222		-NaCl 250
	-SbJ <sub>3</sub> 196		-UTe 222		-KCl 250
	-Bi 196		-SnAs 222		-RbCl 250
	-BiSe 198		-Sn <sub>4</sub> As <sub>3</sub> 222		-CsCl 251
	-Bi <sub>2</sub> Se <sub>3</sub> 198		-SnSb 224		-Cu 251
	-O <sub>2</sub> 199		-SnCl <sub>2</sub> 224		-Cu <sub>3</sub> As 251
	-Mo 199				-CuBiS <sub>2</sub> 252

PbS	-Cu <sub>2</sub> S 252 -CuSeO <sub>3</sub> 252 -Ag 252 -AgSbS <sub>2</sub> 253 -AgBiS <sub>2</sub> 254 -Ag <sub>2</sub> S 255 -AgCl 255 -BaCl <sub>2</sub> 255 -ZnS 255 -CdS 256 -CdSe 256 -HgS 257 -B <sub>2</sub> S <sub>3</sub> 257 -Al <sub>2</sub> S <sub>3</sub> 257 -GaS 257 -Ge <sub>2</sub> S <sub>3</sub> 257 -In <sub>2</sub> S <sub>3</sub> 258 -Tl 260 -TlBiS <sub>2</sub> 261 -TlS 261 -Tl <sub>2</sub> S 262 -Tl <sub>4</sub> S <sub>3</sub> 263 -Ln <sub>2</sub> S <sub>3</sub> {Ln=La,Ce, Pr,Nd,Sm, Gd,Tb,Dy, Ho,Er,Tm, Yb,Lu} 263 -SiS <sub>2</sub> 264 -GeS <sub>2</sub> 264 -SnS <sub>2</sub> 265 -SnCl <sub>2</sub> 265 -PbSe 265 -PbTe 266 -PbCl <sub>2</sub> 268 -PbBr <sub>2</sub> 268 -PbJ <sub>2</sub> 270 -TiS <sub>2</sub> 271 -ZrS <sub>2</sub> 271 -HfS <sub>2</sub> 271 -NH <sub>4</sub> NO <sub>3</sub> 271 -P <sub>2</sub> S <sub>4</sub> " 271 -P <sub>4</sub> S <sub>10</sub> 272 -As <sub>2</sub> S <sub>2</sub> 273 -As <sub>2</sub> S <sub>3</sub> 273 -As <sub>2</sub> Se <sub>3</sub> 274 -Sb 274 -Sb <sub>2</sub> S <sub>3</sub> 275 -SbJ <sub>3</sub> 276 -Bi <sub>2</sub> S <sub>3</sub> 276 -Bi <sub>2</sub> Te <sub>3</sub> 278	PbSe	-NbS <sub>2</sub> 278 -Ta <sub>2</sub> S <sub>2</sub> 278 -O <sub>2</sub> 279 -Mo 279 -MnS 280 -Fe 280 -FeS 280 -FeS <sub>2</sub> 281 -Co 281 -Ni 281 -NiSb 282 -Rh 283 -Pd 283 -CuBiSe <sub>2</sub> 288 -Ag 288 -AgGaSe <sub>2</sub> 289 -Ag <sub>9</sub> GaSe <sub>6</sub> 289 -AgBiSe <sub>2</sub> 290 -AgSe 290 -Ag <sub>2</sub> Se 290 -Au 290 -MgSe 291 -Zn 292 -ZnSe 292 -Cd 292 -CdS 293 -CdSe 293 -CdTe 294 -HgSe 294 -Al <sub>2</sub> Se <sub>3</sub> 295 -GaSe 295 -Ga <sub>2</sub> Se <sub>3</sub> 295 -In 296 -InSe 297 -Tl 298 -TlSbSe <sub>2</sub> 298 -TlBiSe <sub>2</sub> 299 -TlSe 299 -Tl <sub>2</sub> Se 299 -La <sub>2</sub> Se <sub>3</sub> 300 -Ce <sub>2</sub> Se <sub>3</sub> 301 -Pr <sub>2</sub> Se <sub>3</sub> 301 -Nd <sub>2</sub> Se <sub>3</sub> 302 -Sm <sub>2</sub> Se <sub>3</sub> 302 -Gd <sub>2</sub> Se <sub>3</sub> 303 -Tb <sub>2</sub> Se <sub>3</sub> 303 -Ln <sub>2</sub> Se <sub>3</sub> {Ln=Dy,Ho, Y,Er,Tm, Yb} 304	PbSe	-Lu <sub>2</sub> Se <sub>3</sub> 304 -Ge <sub>1,5</sub> As <sub>0,5</sub> Se <sub>3</sub> 304 -GeSe <sub>2</sub> 304 -Sn 304 -SnS <sub>2</sub> 305 -SnSe <sub>2</sub> 305 -PbO 306 -PbSeO <sub>3</sub> 306 -PbTe 306 -PbCl <sub>2</sub> 307 -PbBr <sub>2</sub> 309 -PbJ <sub>2</sub> 309 -P <sub>2</sub> Se <sub>4</sub> " 310 -As <sub>2</sub> Se <sub>3</sub> 310 -Sb <sub>2</sub> Se <sub>3</sub> 311 -BiSe 311 -Bi <sub>2</sub> Se <sub>3</sub> 312 -Bi <sub>2</sub> Te <sub>3</sub> 313 -Nb 313 -Mo 313 -MnSe 313 -Fe 313 -Co 314 -Ni 314 -NiSb 314 -Rh 315 -Pd 315 PbTe -NaTe 319 -Na <sub>2</sub> Te 319 -CsCl 319 -CsJ 320 -Cu 320 -Cu <sub>2</sub> Te 320 -Ag 321 -AgSbTe <sub>2</sub> 321 -Ag <sub>19</sub> Sb <sub>29</sub> Te <sub>52</sub> 321 -AgBiTe <sub>2</sub> 321 -AgTe 322 -Ag <sub>2</sub> Te 322 -Ag <sub>5</sub> Te <sub>3</sub> 322 -Au 322 -AuTe <sub>2</sub> 323 -MgTe 323 -Zn 323 -ZnTe 325 -Cd 325 -CdS 325 -CdSe 326 -CdTe 326
-----	---	------	--	------	--

PbTe	-HgTe 327	PbTe	-Tb <sub>2</sub> Te <sub>3</sub> 338	PbTe	-TeJ <sub>4</sub> 350
	-Ga 327		-YbTe 339		-Cr 350
	-GaAs 327		-UTe 339		-CrTe 351
	-Ga <sub>2</sub> Se <sub>3</sub> 328		-Ge 339		-Cr <sub>2</sub> Te <sub>3</sub> 351
	-GaTe 328		-GeSe <sub>2</sub> 340		-Cr <sub>3</sub> Te <sub>4</sub> 351
	-Ga <sub>2</sub> Te <sub>3</sub> 328		-PbTeO <sub>3</sub> 340		-Mo 352
	-In 330		-PbCl <sub>2</sub> 340		-W 352
	-InSe 331		-PbBr <sub>2</sub> 341		-J <sub>2</sub> 352
	-InTe 331		-PbJ <sub>2</sub> 342		-Mn 352
	-In <sub>2</sub> Te <sub>3</sub> 332		-Ti(Zr) 342		-NTe 352
	-Tl 332		-P 343		-MnTe <sub>2</sub> 353
	-TlSbTe <sub>2</sub> 333		-As <sub>2</sub> Te <sub>3</sub> 343		-Fe 353
	-TlBiTe <sub>2</sub> 334		-Sb 343		-FeTe 354
	-TlSe 334		-SbTe 344		-FeTe <sub>2</sub> 354
	-TlTe 335		-Sb <sub>2</sub> Te <sub>3</sub> 345		-Fe <sub>2</sub> Te 355
	-Tl <sub>2</sub> Te 335		-Bi 346		-Fe <sub>2</sub> Te <sub>3</sub> 355
	-Tl <sub>2</sub> Te <sub>3</sub> 336		-BiSe 346		-Co 355
	-Tl <sub>5</sub> Te <sub>3</sub> 336		-TiTe 348		-CoTe <sub>2</sub> 355
	-Nd <sub>2</sub> Te <sub>3</sub> 336		-Bi <sub>2</sub> Te <sub>3</sub> 348		-Ni 356
	-SmTe 337		-V(Nb) 349		-NiSb 356
	-EuTe(Eu <sub>2</sub> Te <sub>3</sub> ) 337		-Ta 349		-Ni <sub>3</sub> Te <sub>2</sub> 357
	-Gd <sub>2</sub> Te <sub>3</sub> 338		-O <sub>2</sub> 350		-Ni <sub>3</sub> Te <sub>4</sub> 358

## ОГЛАВЛЕНИЕ

Предисловие . . . . .	3
Глава I. Полупроводниковые соединения A <sup>IV</sup> B <sup>VI</sup> . . . . .	7
I.I. Фазовые равновесия в двойных системах A <sup>IV</sup> -B <sup>VI</sup> . . . . .	7
I.I.1. Системы кремний - халькоген . . . . .	7
I.I.2. Системы германий - халькоген . . . . .	7
I.I.3. Системы олово-халькоген . . . . .	13
I.I.4. Системы свинец - халькоген . . . . .	17
I.2. Кристаллографическая структура и химическая связь в соединениях A <sup>IV</sup> B <sup>VI</sup> . . . . .	22
I.3. Фазовые переходы в соединениях A <sup>IV</sup> B <sup>VI</sup> . . . . .	29
I.4. Термодинамические свойства соединений A <sup>IV</sup> B <sup>VI</sup> . . . . .	36
I.5. Основные физические свойства соединений A <sup>IV</sup> B <sup>VI</sup> . . . . .	42
I.6. Особенности образования твердых растворов на основе соединений A <sup>IV</sup> B <sup>VI</sup> . . . . .	47
Литература . . . . .	49
Глава 2. Системы на основе SiB <sup>VI</sup> . . . . .	55
Литература . . . . .	58
Глава 3. Системы на основе GeS . . . . .	59
Литература . . . . .	70
Глава 4. Системы на основе GeSe . . . . .	72
Литература . . . . .	92
Глава 5. Системы на основе GeTe . . . . .	94
Литература . . . . .	139

Глава 6. Системы на основе SnS . . . . .	145
Литература . . . . .	166
Глава 7. Системы на основе SnSe . . . . .	169
Литература . . . . .	201
Глава 8. Системы на основе SnTe . . . . .	205
Литература . . . . .	243
Глава 9. Системы на основе PbS . . . . .	249
Литература . . . . .	283
Глава 10. Системы на основе PbSe . . . . .	288
Литература . . . . .	315
Глава 11. Системы на основе PbTe . . . . .	319
Литература . . . . .	357
Указатель систем . . . . .	363

#### CONTENTS

Preface . . . . .	3
Chapter 1. IV-VI semiconducting compounds . . . . .	7
1.1. Phase equilibria in IV-VI binary systems . . . . .	7
1.1.1. Systems silicon-chalcogen . . . . .	7
1.1.2. Systems germanium-chalcogen . . . . .	7
1.1.3. Systems tin-chalcogen . . . . .	13
1.1.4. Systems lead-chalcogen . . . . .	17
1.2. Crystal structure and chemical bonding in IV-VI compounds . . . . .	22
1.3. Phase transitions in IV-VI compounds . . . . .	29
1.4. Thermodynamic properties of IV-VI compounds . . . . .	36
1.5. Fundamental physical properties of IV-VI compounds . . . . .	42
1.6. Peculiarities of formation of solid solutions based on IV-VI compounds . . . . .	47
References . . . . .	49
Chapter 2. Systems based on SiS, SiSe, SiTe . . . . .	55
References . . . . .	58
Chapter 3. Systems based on GeS . . . . .	59
References . . . . .	70
Chapter 4. Systems based on GeSe . . . . .	72
References . . . . .	92
Chapter 5. Systems based on GeTe . . . . .	94
References . . . . .	139
Chapter 6. Systems based on SnS . . . . .	145
References . . . . .	166
Chapter 7. Systems based on SnSe . . . . .	169
References . . . . .	201
Chapter 8. Systems based on SnTe . . . . .	205
References . . . . .	243
Chapter 9. Systems based on PbS . . . . .	249
References . . . . .	283
Chapter 10. Systems based on PbSe . . . . .	288
References . . . . .	315
Chapter 11. Systems based on PbTe . . . . .	319
References . . . . .	357
Systems index . . . . .	363

Научное издание

Людмила Евгеньевна ШЕЛИМОВА

Василий Николаевич ТОМАШИК

Василий Иванович ГРЫЦИВ

ДИАГРАММЫ СОСТОЯНИЯ В ПОЛУПРОВОДНИКОВОМ

МАТЕРИАЛОВЕДЕНИИ (системы на основе халькогенидов  
Si, Ge, Sn, Pb)

Утверждено к печати

Институтом металлургии им. А.А. Байкова АН СССР

Редактор Г.П. Осадчая

Художественный редактор Т.В. Болотина

Технический редактор Т.В. Фараонова

ИБ № 48174

Подписано к печати 22.II.91

Формат 60x90/16. Бумага офсетная № I. Печать офсетная

Усл.печ.л. 23,0. Усл.кр.-отт. 23,4. Уч.-изд.л. 24,9.

Тираж 450 экз. Тип.зак. 1636. Цена 10р. 50к.

Ордена Трудового Красного Знамени издательство "Наука"  
117864 ГСП-7, Москва В-485, Профсоюзная ул., д. 90

Ордена Трудового Красного Знамени I-я типография  
издательства "Наука"  
199034, Ленинград В-34, 9-я линия, 12